

# International Nonproprietary Names for Pharmaceutical Substances (INN)

Notice is hereby given that, in accordance with article 3 of the Procedure for the Selection of Recommended International Nonproprietary Names for Pharmaceutical Substances, the names given in the list on the following pages are under consideration by the World Health Organization as Proposed International Nonproprietary Names. The inclusion of a name in the lists of Proposed International Nonproprietary Names does not imply any recommendation of the use of the substance in medicine or pharmacy.

Lists of Proposed (1–117) and Recommended (1–78) International Nonproprietary Names can be found in *Cumulative List No. 17, 2017* (available in CD-ROM only). The statements indicating action and use are based largely on information supplied by the manufacturer. **This information is merely meant to provide an indication of the potential use of new substances at the time they are accorded Proposed International Nonproprietary Names.** WHO is not in a position either to uphold these statements or to comment on the efficacy of the action claimed. Because of their provisional nature, these descriptors will neither be revised **nor included in the Cumulative Lists of INNs.**

## Dénominations communes internationales des Substances pharmaceutiques (DCI)

Il est notifié que, conformément aux dispositions de l'article 3 de la Procédure à suivre en vue du choix de Dénominations communes internationales recommandées pour les Substances pharmaceutiques les dénominations ci-dessous sont mises à l'étude par l'Organisation mondiale de la Santé en tant que dénominations communes internationales proposées. L'inclusion d'une dénomination dans les listes de DCI proposées n'implique aucune recommandation en vue de l'utilisation de la substance correspondante en médecine ou en pharmacie.

On trouvera d'autres listes de Dénominations communes internationales proposées (1–117) et recommandées (1–78) dans la *Liste récapitulative No. 17, 2017* (disponible sur CD-ROM seulement). Les mentions indiquant les propriétés et les indications des substances sont fondées sur les renseignements communiqués par le fabricant. **Elles ne visent qu'à donner une idée de l'utilisation potentielle des nouvelles substances au moment où elles sont l'objet de propositions de DCI.** L'OMS n'est pas en mesure de confirmer ces déclarations ni de faire de commentaires sur l'efficacité du mode d'action ainsi décrit. En raison de leur caractère provisoire, ces informations **ne figureront pas dans les listes récapitulatives de DCI.**

## Denominaciones Comunes Internacionales para las Sustancias Farmacéuticas (DCI)

De conformidad con lo que dispone el párrafo 3 del "Procedimiento de Selección de Denominaciones Comunes Internacionales Recomendadas para las Sustancias Farmacéuticas", se comunica por el presente anuncio que las denominaciones detalladas en las páginas siguientes están sometidas a estudio por la Organización Mundial de La Salud como Denominaciones Comunes Internacionales Propuestas. La inclusión de una denominación en las listas de las DCI

Propuestas no supone recomendación alguna en favor del empleo de la sustancia respectiva en medicina o en farmacia.

Las listas de Denominaciones Comunes Internacionales Propuestas (1–117) y Recomendadas (1–78) se encuentran reunidas en *Cumulative List No. 17, 2017* (disponible sólo en CD-ROM). Las indicaciones sobre acción y uso que aparecen se basan principalmente en la información facilitada por los fabricantes. **Esta información tiene por objeto dar una idea únicamente de las posibilidades de aplicación de las nuevas sustancias a las que se asigna una DCI Propuesta.** La OMS no está facultada para respaldar esas indicaciones ni para formular comentarios sobre la eficacia de la acción que se atribuye al producto. Debido a su carácter provisional, esos datos descriptivos **no deben incluirse en las listas recapitulativas de DCI.**

## Proposed International Nonproprietary Names: List 130

Comments on, or formal objections to, the proposed names may be forwarded by any person to the INN Programme of the World Health Organization within four months of the date of their publication in *WHO Drug Information*, i.e., for **List 130 of Proposed INN not later than 30 June 2024**. **Publication date:** 01.03.2024

## Dénominations communes internationales proposées: Liste 130

Des observations ou des objections formelles à l'égard des dénominations proposées peuvent être adressées par toute personne au Programme des Dénominations communes internationales de l'Organisation mondiale de la Santé dans un délai de quatre mois à compter de la date de leur publication dans *WHO Drug Information*, c'est à dire pour la **Liste 130 de DCI Proposées le 30 juin 2024 au plus tard**. **Date de publication :** 01.03.2024

## Denominaciones Comunes Internacionales Propuestas: Lista 130

Cualquier persona puede dirigir observaciones u objeciones respecto de las denominaciones propuestas, al Programa de Comunes Internacionales de la Organización Mundial de la Salud, en un plazo de cuatro meses, contados desde la fecha de su publicación en *WHO Drug Information*, es decir, para la **Lista 130 de DCI Propuestas el 30 de Junio de 2024 a más tardar**. **Fecha de publicación:** 01.03.2024

<i>Proposed INN</i> (Latin, English, French, Spanish)	<i>Chemical name or description: Action and use: Molecular formula</i> <i>Chemical Abstracts Service (CAS) registry number:</i> <i>Graphic formula</i>
<i>DCI Proposée</i>	<i>Nom chimique ou description: Propriétés et indications: Formule brute</i> <i>Numéro dans le registre du CAS: Formule développée</i>
<i>DCI Propuesta</i>	<i>Nombre químico o descripción: Acción y uso: Fórmula molecular</i> <i>Número de registro del CAS: Fórmula desarrollada</i>

### abenacianinum

#### abenacianine

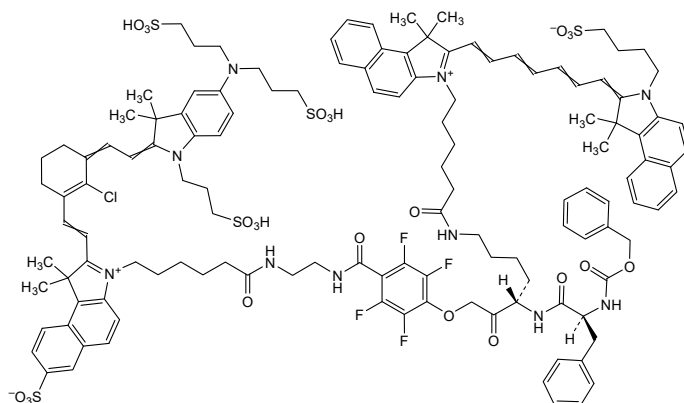
(1<sup>2</sup>(2)Ξ,3(4<sup>1</sup>)Ξ,4<sup>2</sup>Ξ,5Ξ,23S,36Ξ,38Ξ,40Ξ,42(43<sup>2</sup>)Ξ)-23-[(2S)-2-[[[(benzyloxy)carbonyl]amino]-3-phenylpropanamido]-1<sup>5</sup>-[bis(3-sulfopropyl)amino]-4<sup>2</sup>-chloro-19<sup>2</sup>,19<sup>3</sup>,19<sup>5</sup>,19<sup>6</sup>-tetrafluoro-1<sup>3</sup>,1<sup>3</sup>,7<sup>1</sup>,7<sup>1</sup>,35<sup>1</sup>,35<sup>1</sup>,43<sup>1</sup>,43<sup>1</sup>-octamethyl-13,18,22,29-tetraoxo-43<sup>3</sup>-(4-sulfonatobutyl)-1<sup>1</sup>-(3-sulfopropyl)-1<sup>1</sup>,1<sup>3</sup>,43<sup>1</sup>,43<sup>3</sup>-tetrahydro-7<sup>1</sup>H,35<sup>1</sup>H-20-oxa-14,17,28-triaza-7(2,3),35(3,2),43(2)-tris(benzo[e]indola)-1(2)-indola-19(1,4)-benzena-4(1,3)-cyclohexanatrítetracontaphane-1<sup>2</sup>(2),3(4<sup>1</sup>),4<sup>2</sup>,5,36,38,40,42(43<sup>2</sup>)-octaene-7<sup>3</sup>,35<sup>3</sup>-dium-7<sup>7</sup>-sulfonate  
*diagnostic imaging agent*

abénacianine (1<sup>2</sup>(2)≡,3(4<sup>1</sup>)≡,4<sup>2</sup>≡,5≡,23S,36≡,38≡,40≡,42(43<sup>2</sup>)≡)-23-[(2S)-2-[(benzyloxy)carbonyl]amino]-3-phénylpropanamido]-1<sup>5</sup>-[bis(3-sulfopropyl)amino]-4<sup>2</sup>-chloro-19<sup>2</sup>,19<sup>3</sup>,19<sup>5</sup>,19<sup>6</sup>-tétrafluoro-1<sup>3</sup>,1<sup>3</sup>,7<sup>1</sup>,7<sup>1</sup>,35<sup>1</sup>,35<sup>1</sup>,43<sup>1</sup>,43<sup>1</sup>-octaméthyl-13,18,22,29-tétraoxo-43<sup>3</sup>-(4-sulfonatobutyl)-1<sup>1</sup>-(3-sulfopropyl)-1<sup>1</sup>,1<sup>3</sup>,43<sup>1</sup>,43<sup>3</sup>-tétrahydro-7<sup>1</sup>H,35<sup>1</sup>H-20-oxa-14,17,28-triaza-7(2,3),35(3,2),43(2)-tris(benzo[e]indola)-1(2)-indola-19(1,4)-benzéna-4(1,3)-cyclohexanatrítetracontaphane-1<sup>2</sup>(2),3(4<sup>1</sup>),4<sup>2</sup>,5,36,38,40,42(43<sup>2</sup>)-octaène-7<sup>3</sup>,35<sup>3</sup>-dium-7<sup>7</sup>-sulfonate  
*agent d'imagerie diagnostique*

abenacianina (1<sup>2</sup>(2)≡,3(4<sup>1</sup>)≡,4<sup>2</sup>≡,5≡,23S,36≡,38≡,40≡,42(43<sup>2</sup>)≡)-23-[(2S)-2-[(benzyloxi)carbonil]amino]-3-fenilpropanamido]-1<sup>5</sup>-[bis(3-sulfopropil)amino]-4<sup>2</sup>-cloro-19<sup>2</sup>,19<sup>3</sup>,19<sup>5</sup>,19<sup>6</sup>-tetrafluoro-1<sup>3</sup>,1<sup>3</sup>,7<sup>1</sup>,7<sup>1</sup>,35<sup>1</sup>,35<sup>1</sup>,43<sup>1</sup>,43<sup>1</sup>-octametil-13,18,22,29-tetraoxo-43<sup>3</sup>-(4-sulfonatobutil)-1<sup>1</sup>-(3-sulfopropil)-1<sup>1</sup>,1<sup>3</sup>,43<sup>1</sup>,43<sup>3</sup>-tetrahydro-7<sup>1</sup>H,35<sup>1</sup>H-20-oxa-14,17,28-triaza-7(2,3),35(3,2),43(2)-tris(benzo[e]indola)-1(2)-indola-19(1,4)-bencena-4(1,3)-ciclohexanatrítetracontafano-1<sup>2</sup>(2),3(4<sup>1</sup>),4<sup>2</sup>,5,36,38,40,42(43<sup>2</sup>)-octaeno-7<sup>3</sup>,35<sup>3</sup>-dio-7<sup>7</sup>-sulfonato  
*agente de diagnóstico por imagen*

C<sub>127</sub>H<sub>145</sub>ClF<sub>4</sub>N<sub>10</sub>O<sub>23</sub>S<sub>5</sub>

2231255-31-3



### adakitugum # adakitug

immunoglobulin G1-kappa, anti-[*Homo sapiens* CXCL8 (C-X-C motif chemokine ligand 8, interleukin 8, IL8)], *Homo sapiens* monoclonal antibody;  
H-gamma1 heavy chain *Homo sapiens* (1-447) [VH (*Homo sapiens* IGHV3-30-5\*03 (93.9%) -(IGHD) -IGHJ4\*01 (100%), CDR-IMGT [8.8.10] (26-33,51-58,97-106)) (1-117) -*Homo sapiens* IGHG1\*03 (100%), G1m3, nG1m1 CH1 R120, CH3 E12, M14(CH1 R120 (214) (118-215), hinge 1-15 (216-230), CH2 (231-340), CH3 E12 (356), M14 (358) (341-445), CHS (446-447)) (118-447)], (220-214')-disulfide with L-kappa light chain *Homo sapiens* (1'-214') [V-KAPPA (*Homo sapiens* IGKV3-20\*01 (95.8%) -IGKJ3\*01 (91.7%), CDR-IMGT [7.3.8] (27'-33'.51'-53'.90'-97')) (1'-107') -*Homo sapiens* IGKC\*01 (100%), Km3 A45.1 (153'), V101 (191') (108'-214')]; dimer (226-226''-229-229'')-bisdisulfide, produced in Chinese hamster ovary (CHO) cells, glycoform alfa  
*antineoplastica*

adakitug immunoglobuline G1-kappa, anti-[*Homo sapiens* CXCL8 (C-X-C motif chimiokine ligand 8, interleukine 8, IL8)], anticorps monoclonal *Homo sapiens*; chaîne lourde H-gamma1 *Homo sapiens* (1-447) [VH (*Homo sapiens* IGHV3-30-5\*03 (93.9%) -(IGHD) -IGHJ4\*01 (100%), CDR-IMGT [8.8.10] (26-33.51-58.97-106)) (1-117) -*Homo sapiens* IGHG1\*03 (100%), G1m3, nG1m1 CH1 R120, CH3 E12, M14 (CH1 R120 (214) (118-215), charnière 1-15 (216-230), CH2 (231-340), CH3 E12 (356), M14 (358) (341-445), CHS (446-447)) (118-447)], (220-214')-disulfure avec la chaîne légère L-kappa *Homo sapiens* (1'-214') [V-KAPPA (*Homo sapiens* IGKV3-20\*01 (95.8%) -IGKJ3\*01 (91.7%), CDR-IMGT [7.3.8] (27'-33'.51'-53'.90'-97')) (1'-107')] -*Homo sapiens* IGKC\*01 (100%), Km3 A45.1 (153'), V101 (191') (108'-214')]; dimère (226-226'' : 229-229'')-bisdisulfure, produit dans des cellules ovariennes de hamster chinois (CHO), glycoforme alfa *antineoplasique*

adakitug inmunoglobulina G1-kappa, anti-[*Homo sapiens* CXCL8 (C-X-C ligando 8 del motivo quimiocina, interleukina 8, IL8)], anticuerpo monoclonal *Homo sapiens*; cadena pesada H-gamma1 *Homo sapiens* (1-447) [VH (*Homo sapiens* IGHV3-30-5\*03 (93.9%) -(IGHD) -IGHJ4\*01 (100%), CDR-IMGT [8.8.10] (26-33.51-58.97-106)) (1-117) -*Homo sapiens* IGHG1\*03 (100%), G1m3, nG1m1 CH1 R120, CH3 E12, M14 (CH1 R120 (214) (118-215), bisagra 1-15 (216-230), CH2 (231-340), CH3 E12 (356), M14 (358) (341-445), CHS (446-447)) (118-447)], (220-214')-disulfuro con la cadena ligera L-kappa *Homo sapiens* (1'-214') [V-KAPPA (*Homo sapiens* IGKV3-20\*01 (95.8%) -IGKJ3\*01 (91.7%), CDR-IMGT [7.3.8] (27'-33'.51'-53'.90'-97')) (1'-107')] -*Homo sapiens* IGKC\*01 (100%), Km3 A45.1 (153'), V101 (191') (108'-214')]; dímero (226-226'' : 229-229'')-bisdisulfuro, producido en las células ováricas de hámster chino (CHO), forma glicosilada alfa *antineoplásico*

2837159-88-1

## Heavy chain / Chaîne lourde / Cadena pesada

QVQLVDSGGG	VVQPRGSLRL	SCTASGFTFS	HYGMYWVRQA	PGKGLEWVAV	50
IWYDGSYEYN	ADSVKGRFTI	SRDNSKNTLY	LQMNLSRAED	TAVYICARDR	100
VGLFDYWGQG	TLVTVSSAST	KGPSVFFPLAP	SSKSTSGGTA	ALGCLVKDYF	150
PEPVTVSWNS	GALTSQVHTF	PAVLQSSGLY	SLSSVTVFPS	SSLGTQTYIC	200
NVNHKPSNTK	VDKRVEPKSC	KRHTCTPCPC	APELLGGPSV	FLPPKPKRDT	250
LMISRTPEVT	CVVVDVSHED	PEVKFNWYVD	GVEVHNAKTK	PREEQYNSTY	300
RVVSVLTVHL	QDVLNGKEYK	CKVSNKALPA	PIEKTISKAK	GQPREPQVYT	350
LPPSRREEMTK	NQVSLTCLVK	GFYPSDIAVE	WESNGQPENN	YKTTTPPLVDS	400
DGSFFLYSKL	TVDKSRWQQG	NVFSCSVMEH	ALHNHYTQKS	LSLSLPGK	447

## Light chain / Chaîne légère / Cadena ligera

EIVLTQSPGT	LSLSPGERAT	LSCRASQGIS	SSYLAWYQQK	PGQAPRLLIY	50
GPSSRATGIP	DRFSGSGSGT	DFTLTISRLE	PEDFAVYYCQ	QYAGSLTFGP	100
GTKVDIKRTV	AAPSVFIFPP	SDEQLKSGTA	SVCCLLNFFY	PREAKVQWKV	150
DNALQSGNSQ	ESVTEQDSKD	STYLSLSTLT	LSKADYEKHK	VYACEVTHQG	200
LSSPVTKSFN	RGEC				214

## Post-translational modifications

Disulfide bridges location / Position des ponts disulfure / Posiciones de los puentes disulfuro

Intra-H (C23-C104)	22-96	144-200	261-321	367-425
	22"-96"	144"-200"	261"-321"	367"-425"

Intra-L (C23-C104)	23'-89'	134'-194'
--------------------	---------	-----------

	23"-89"	134"-194"
--	---------	-----------

Inter-H-L (h 5-CL 126)	220-214'	220"-214"
------------------------	----------	-----------

Inter-H-H (h 11, h 14)	226-226'	229"-229"
------------------------	----------	-----------

N-terminal glutaminyl cyclization / Cyclisation du glutaminyle N-terminal / Ciclación del

glutaminilo N-terminal

Q &gt; pyroglutamyl (pE, 5-oxopropyl) / pyroglutamyle (pE, 5-oxopropyle) / piroglutamilo

(pE, 5-oxoprolilo)

H VH Q1: 1, 1"

N-glycosylation sites / Sites de N-glycosylation / Posiciones de N-glicosilación

H CH2 N84.4: 297, 297"

Fucosylated complex bi-antennary CHO-type glycans / glycanes de type CHO bi-antennaires complexes fucosylés / glicanos de tipo CHO biantenaricos complejos fucosilados

C-terminal lysine clipping / Coupure de la lysine C-terminale / Recorte de lisina C-terminal

H CHS K2: 447, 447"

**admilparantum**

admilparant

(1*S*,3*S*)-3-({2-methyl-6-[1-methyl-5-  
 ({[methyl(propyl)carbamoyl]oxy)methyl]-1*H*-1,2,3-  
 triazol-4-yl]pyridin-3-yl}oxy)cyclohexane-1-carboxylic  
 acid

*lysophosphatidic acid receptor 1 (LPA1) antagonist*

admilparant

acide (1*S*,3*S*)-3-({2-méthyl-6-[1-méthyl-5-  
 ({[méthyl(propyl)carbamoyl]oxy)méthyl]-1*H*-1,2,3-  
 triazol-4-yl]pyridin-3-yl}oxy)cyclohexane-1-  
 carboxylique

*antagoniste du récepteur 1 de l'acide*

*lysophosphatidique (LPA1)*

admilparant

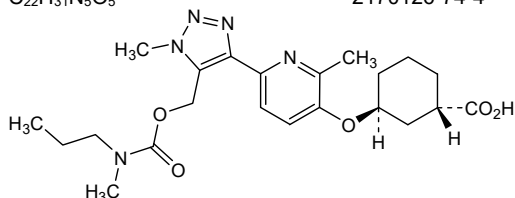
ácido (1*S*,3*S*)-3-({6-[1-metil-5-  
 ({[metil(propil)carbamoil]oxi)metil]-1*H*-1,2,3-triazol-4-il]-  
 2-metilpiridin-3-il}oxi)ciclohexano-1-carboxílico

*antagonista del receptor 1 del ácido lisofosfatídico*

*(LPA1)*

C<sub>22</sub>H<sub>31</sub>N<sub>5</sub>O<sub>5</sub>

2170126-74-4

**albigagrastimum alfa #**

albigagrastim alfa

human serum albumin fragment 25-609 (1-585 in the  
 current sequence) fused to human granulocyte colony-  
 stimulating factor fragment 27-200 (586-759 in the  
 current sequence) [T<sup>200</sup>>A<sup>586</sup>, 202LGP<sup>204</sup>>588TYR<sup>590</sup>,  
 C<sup>216</sup>>S<sup>602</sup>]-variant, produced in *Pichia pastoris*,

glycoform alfa

*granulocyte colony-stimulating factor*

albigagrastim alfa

fragment 25-609 (1-585 dans la séquence actuelle) de  
 l'albumine sérique humaine fusionné au fragment 27-  
 200 (586-759 dans la séquence actuelle) du facteur de  
 stimulation des colonies de granulocytes humains,  
 [T<sup>200</sup>>A<sup>586</sup>, 202LGP<sup>204</sup>>588TYR<sup>590</sup>, C<sup>216</sup>>S<sup>602</sup>]-variant,  
 produit chez *Pichia pastoris*, glycoforme alfa

*facteur de stimulation des colonies de granulocytes*

albigagrastim alfa

fragmento de albúmina sérica humana 25-609 (1-585  
 en la secuencia actual) fusionado al fragmento del  
 factor estimulador de colonias del granulocito humano  
 27-200 (586-759 en la secuencia actual) [T<sup>200</sup>>A<sup>586</sup>,  
 202LGP<sup>204</sup>>588TYR<sup>590</sup>, C<sup>216</sup>>S<sup>602</sup>]-variante, producido en  
*Pichia pastoris*, glicoforma alfa

*factor estimulante de las colonias de granulocitos*

Sequence / Séquence / Secuencia	
DAHKSEVAHR FKDLGEEENFK ALVLIIFAQY LQQCPFEDHV KLVNEVTEFA	50
KTCVADESAA NDKSLHTLF GDKLCTVATL RETYGMADCC CARQEPPERNE	100
CFLQHKDDNP NLPRLVRPEV DVMCTAFHDN EETFLLKLYL EIARRHPYFY	150
APPELLFVAKR YKAAFTECCQ AADKAACLLP KLDELRLDEGK ASSAKQRLKC	200
ASLQKFGERA FKAWAVARLS QRFPKAEFAE VSKLVTDLTK VHTECCHGDL	250
LECADDRADL AKYICENQDS ISSKLKECCE KFLLEKSHCI AEVENDEMPA	300
DLFSLAADFV ESKDVCKNYA EAKDVFELGMF LYEYARRHPD YSVVLLRLA	350
KTYETTLEK CAAADPHECY AKVFDEFKPL VEEPNLIKQ NCELFEQLGE	400
YKFNALLVR YTKKVPQVST PTLVEVSRNL GRVGSCKCKH PEAKRMPCAE	450
DYLSVVLNQL CVLHEKTPVS DRVTKCTES LVNRRPCFSA LEVDETYVFK	500
EFNAETFTFH ADICTLSEKE RQIKQTALV ELVKRHKPKAT KEQLKAVMDD	550
FAAFVFKCKC ADDKCTCPAE EGKLVVAASQ AALGLA <b>PTVR</b> ASSLPQSFL	600
<b>K</b> SLQVQRKIQ GDGAALQEKL CATYKLCHEP ELVLGLGSHLG IPWAPLSSCP	650
SQALQLAGCL SQLHSGFLFY QGLLQALEGI SPELGPGLTD LQLDVAADFAT	700
TIWQOMEELG MAPALQPTQG AMPAFASAFQ RRAGGVLVAS HLQSFLEVS	750
RVLRHLAQF	759

Mutation / Mutation / Mutación  
T<sup>200</sup>→**A**<sup>S86</sup>, 202LGP<sup>204</sup>→**S88**, **TVR**<sup>S90</sup>, C<sup>216</sup>→**S**<sup>602</sup>

**Post-translation modifications**

Disulfide bridges location / Position des ponts disulfure / Posiciones de los puentes disulfuro  
53-62, 75-91, 90-101, 124-169, 168-177, 200-246, 245-253, 265-279, 278-289, 316-361, 360-369, 392-438, 437-448, 461-477, 476-487, 514-559, 558-567, 621-627, 649-659

Oxidation sites / Sites d'oxydation / Posiciones de oxidación  
M123, M298, M329, M548, W703, M711, M722

Deamidation sites / Sites de désamidation / Posiciones de desamidación  
N18, Q29, Q32, Q33, N61

**aldastotugum #**

aldastotug

immunoglobulin G1-kappa, anti-[*Homo sapiens* SIGLEC15 (sialic acid-binding Ig-like lectin 15, CD33-like 3, CD33L3)], *Homo sapiens* monoclonal antibody;

H-gamma1 heavy chain *Homo sapiens* (1-449) [VH (*Homo sapiens* IGHV5-10-1\*01 (95.9%) -(IGHD) -IGHJ4\*01 (100%), CDR-IMGT [8.8.12] (26-33.51-58.97-108)) (1-119) -*Homo sapiens* IGHG1\*01 (100%), G1m17,1 CH1 K120, CH3 D12, L14 (CH1 K120 (216) (120-217), hinge 1-15 (218-232), CH2 (233-342), CH3 D12 (358), L14 (360) (343-447), CHS (448-449)) (120-449)], (222-215')-disulfide with L-kappa light chain *Homo sapiens* (1'-215') [V-KAPPA (*Homo sapiens* IGKV3-20\*01 (94.8%) -IGKJ1\*01 (90.9%) I126>F (107'), CDR-IMGT [7.3.9] (27'-33'.51'-53'.90'-98')) (1'-108') -*Homo sapiens* IGKC\*01 (100%), Km3 A45.1 (154'), V101 (192') (109'-215')]; dimer (228-228":231-231")-bisdisulfide, produced in Chinese hamster ovary (CHO) cells, cell line CHO-K1, glycoform alfa *immunostimulant, antineoplastic*

aldastotug

immunoglobuline G1-kappa, anti-[*Homo sapiens* SIGLEC15 (Ig-like lectine 15 liant l'acide sialique, CD33-like 3, CD33L3)], anticorps monoclonal *Homo sapiens*;

chaîne lourde H-gamma1 *Homo sapiens* (1-449) [VH (*Homo sapiens* IGHV5-10-1\*01 (95.9%) -(IGHD) -IGHJ4\*01 (100%), CDR-IMGT [8.8.12] (26-33.51-58.97-108)) (1-119) -*Homo sapiens* IGHG1\*01 (100%), G1m17,1 CH1 K120, CH3 D12, L14 (CH1 K120 (216) (120-217), charnière 1-15 (218-232), CH2 (233-342), CH3 D12 (358), L14 (360) (343-447), CHS (448-449)) (120-449)], (222-215')-disulfure avec la chaîne légère L-kappa *Homo sapiens* (1'-215') [V-KAPPA (*Homo sapiens* IGKV3-20\*01 (94.8%) -IGKJ1\*01 (90.9%) I126>F (107'), CDR-IMGT [7.3.9] (27'-33'.51'-53'.90'-98')) (1'-108') -*Homo sapiens* IGKC\*01 (100%), Km3 A45.1 (154'), V101 (192') (109'-215')]; dimer (228-228":231-231")-bisdisulfide, produit dans des cellules ovariennes de hamster chinois (CHO), lignée cellulaire CHO-K1, glycoforme alfa *immunostimulant, antinéoplasique*

aldastotug immunoglobulina G1-kappa, anti-[*Homo sapiens* SIGLEC15 (Ig-like lectina 15 que une el ácido siálico, CD33-like 3, CD33L3)], anticuerpo monoclonal *Homo sapiens*;  
cadena pesada H-gamma1 *Homo sapiens* (1-449) [VH (*Homo sapiens* IGHV5-10-1\*01 (95.9%) -(IGHD) -IGHJ4\*01 (100%), CDR-IMGT [8.8.12] (26-33.51-58.97-108))] (1-119) -*Homo sapiens* IGHG1\*01 (100%), G1m17,1 CH1 K120, CH3 D12, L14 (CH1 K120 (216) (120-217), bisagra 1-15 (218-232), CH2 (233-342), CH3 D12 (358), L14 (360) (343-447), CHS (448-449)) (120-449)], (222-215')-disulfuro con la cadena ligera L-kappa *Homo sapiens* (1'-215') [V-KAPPA (*Homo sapiens* IGKV3-20\*01 (94.8%) -IGKJ1\*01 (90.9%) I126>F (107'), CDR-IMGT [7.3.9] (27'-33'.51'-53'.90'-98'')) (1'-108') -*Homo sapiens* IGKC\*01 (100%), Km3 A45.1 (154'), V101 (192') (109'-215')]; dímero (228-228'':231-231'')-bisulfuro, producido en las células ováricas de hámster chino (CHO), línea celular CHO-K1, forma glicosilada alfa  
*inmunoestimulante, antineoplásico*

2865844-59-1

## Heavy chain / Chaîne lourde / Cadena pesada

EVQLVQSGAE	VKPKGESLRI	SCKGSQYSFT	TYWISWVRQM	PGKGLEWML	50
IDFSDSYTNY	SPSFKGHVTI	STDKSISTAY	LQWSSLKASD	TAMYCCARGG	100
YIGSEEDYWG	QGLTLVTVSSA	STKGPSVFFL	APSSKSTSGG	TAALGLGVKD	150
YFPEPVTYSW	NSGALTSGVH	TFPAVLQSSG	LYSLSSVTV	PSSSLGTQTY	200
ICNVNHNKPSN	TKVDKKEVEPK	SCDKTHTCPP	CPAPELLGGP	SVFLFPKPK	250
DTLMISRTPPE	VTCVVVDVSH	EDPEVKFNWY	VDGVEVHNAK	TKPREPKNS	300
TYRVVSVLTV	LHQVDLNGKE	YKCKVSNKAL	PAPIEKTISK	AKGQPREPV	350
YTLPPSRDEL	TKNQVSLTCL	VKGFYPSDIA	VEWESNGQPE	NNYKTTFPVL	400
DSDGSFFFLYS	KLTVDKSRWQ	QGNVFSQSV	HEALHNHYTQ	KSLSLSPGK	449

## Light chain / Chaîne légère / Cadena ligera

EIVLTQSPGT	LSLSGGERAT	LSCRASQSVS	SSRLAWFQOK	SGQAPRLLIF	50
DASSRATGIP	DRFSGSGSGT	DFTLTISRLE	PEDFAVYCYQ	QYGSSPRTFG	100
QGTKVEFKRT	VAAPSVFIFP	PSDEQLKSGT	ASVVCLLNFF	YPREARVQWK	150
VDNALQSGNS	QESVTEQDSK	DSTYLSLSTL	TLSKADYEKH	KVYACEVTHQ	200
GLSSPVTKSF	NRGEC				215

## Post-translational modifications

Disulfide bridges location / Position des ponts disulfure / Posiciones de los puentes disulfuro

Intra-H (C23-C104)	22-96	146-202	263-323	369-427
	22"-96"	146"-202"	263"-323"	369"-427"
Intra-L (C23-C104)	23'-89'	135'-195'		
	23'''-89'''	135'''-195'''		
Inter-H-L (h 5-CL 126)	222-215'	222"-215"		
Inter-H-H (h 11, h 14)	228-228"	231-231"		

N-glycosylation sites / Sites de N-glycosylation / Posiciones de N-glicosilación

H VH 66: 59, 59" (very low N-glycosylation)

H CH2 N84.4: 299, 299"

Fucosylated complex bi-antennary CHO-type glycans / glycanes de type CHO bi-antennaires complexes fucosylés / glicanos de tipo CHO biantenaricos complejos fucosilados

C-terminal lysine clipping / Coupure de la lysine C-terminale / Recorte de lisina C-terminal

H CHS K2: 449, 449"

**amlenetugum #**

amlenetug immunoglobulin G1-kappa, anti-[*Homo sapiens* SNCA (synuclein alpha, PARK1, PARK4, Parkinson disease (autosomal dominant, Lewy body) 4, synuclein alpha (non A4 component of amyloid precursor))], *Homo sapiens* monoclonal antibody;  
H-gamma1 heavy chain *Homo sapiens* (1-445) [VH (*Homo sapiens* IGHV3-23\*01 (90.8%) -(IGHD) -IGHJ4\*01 (92.9%), CDR-IMGT [8.8.9] (26-33.51-58.97-105))] (1-116) -*Homo sapiens* IGHG1\*03 (100%), G1m3, nG1m1 CH1 R120, CH3 E12, M14 (CH1 R120 (213) (117-214), hinge 1-15 (215-229), CH2 (230-339), CH3 E12 (355), M14 (357) (340-444), CHS K2>del (445)) (117-445)], (219-215')-disulfide with L-kappa light chain *Homo sapiens* (1'-215') [V-KAPPA (*Homo sapiens* IGKV3-20\*01 (100%) -IGKJ1\*01 (100%), CDR-IMGT [7.3.9] (27'-33'.51'-53'.90'-98'')) (1'-108') -*Homo sapiens* IGKC\*01 (100%), Km3 A45.1 (154'), V101 (192') (109'-215')]; dimer (225-225'':228-228'')-bisulfuro, produced in Chinese hamster ovary (CHO) cells, cell line CHO-K1SV, lacking the glutamine synthetase (GS-KO) gene, glycoform alfa  
*treatment of alpha-synucleinopathies*

amlénétug

immunoglobuline G1-kappa, anti-[*Homo sapiens* SNCA (synucléine alpha, alpha-synucléine, PARK1, PARK4, maladie de Parkinson (autosomique dominante, corps de Lewy) 4, synucléine alpha (composant non A4 du précurseur amyloïde))], anticorps monoclonal *Homo sapiens*; chaîne lourde H-gamma1 *Homo sapiens* (1-445) [VH (*Homo sapiens* IGHV3-23\*01 (90.8%) -(IGHD) -IGHJ4\*01 (92.9%), CDR-IMGT [8.8.9] (26-33.51-58.97-105)) (1-116) -*Homo sapiens* IGHG1\*03 (100%), G1m3, nG1m1 CH1 R120, CH3 E12, M14 (CH1 R120 (213) (117-214), charnière 1-15 (215-229), CH2 (230-339), CH3 E12 (355), M14 (357) (340-444), CHS K2>del (445)) (117-445)], (219-215')-disulfure avec la chaîne légère L-kappa *Homo sapiens* (1'-215') [V-KAPPA (*Homo sapiens* IGKV3-20\*01 (100%) -IGKJ1\*01 (100%), CDR-IMGT [7.3.9] (27'-33'.51'-53'.90'-98')) (1'-108') -*Homo sapiens* IGKC\*01 (100%), Km3 A45.1 (154'), V101 (192') (109'-215')]; dimère (225-225":228-228")-bisdisulfure, produit dans des cellules ovariennes de hamster chinois (CHO), lignée cellulaire CHO-K1SV, ne présentant pas le gène de la glutamine synthétase (GS-KO), glycoforme alfa  
*traitement des alpha-synucléinopathies*

amlenetug

immunoglobulina G1-kappa, anti-[*Homo sapiens* SNCA (sinucleína alfa, PARK1, PARK4, enfermedad de Parkinson (autosómico dominante, cuerpos de Lewy) 4, sinucleína alfa (que se compone de precursor amiloide no A4))], anticuerpo monoclonal *Homo sapiens*; cadena pesada H-gamma1 *Homo sapiens* (1-445) [VH (*Homo sapiens* IGHV3-23\*01 (90.8%) -(IGHD) -IGHJ4\*01 (92.9%), CDR-IMGT [8.8.9] (26-33.51-58.97-105)) (1-116) -*Homo sapiens* IGHG1\*03 (100%), G1m3, nG1m1 CH1 R120, CH3 E12, M14 (CH1 R120 (213) (117-214), bisagra 1-15 (215-229), CH2 (230-339), CH3 E12 (355), M14 (357) (340-444), CHS K2>del (445)) (117-445)], (219-215')-disulfuro con la cadena ligera L-kappa *Homo sapiens* (1'-215') [V-KAPPA (*Homo sapiens* IGKV3-20\*01 (100%) -IGKJ1\*01 (100%), CDR-IMGT [7.3.9] (27'-33'.51'-53'.90'-98')) (1'-108') -*Homo sapiens* IGKC\*01 (100%), Km3 A45.1 (154'), V101 (192') (109'-215')]; dímero (225-225":228-228")-bisdisulfuro, producido en las células ováricas de hámster chino (CHO), línea celular CHO-K1SV en ausencia del gen glutamina sintetasa (GS-KO), forma glicosilada alfa  
*tratamiento de las alfa-sinucleinopatías*

2850367-41-6

Heavy chain / Chaîne lourde / Cadena pesada

```
EVQLLESGGG LVQGTGSSRLR SCAASGFTFS SYAMTWVRQA PGKGLEWVSA 50
IRSQGDRDRTY ADSVKGRETFI SRDNSQNTLY LQMNSLRAED TAVVYCAKNW 100
APFDSWGQGT LVTVSSASTK GPSVFPLAPS SKSTSGGTAA LGCLVKDYFP 150
EPVTVSNWNG ALTSVGVHTFP AVLQSSGLYS LSSVVTVPSS SLGTYQYICN 200
VNHKPSNTRK DKRVFEPKSCD KHTCPPCPA PELLGGPSVF LFPPKPKDTL 250
MISRTPEVTK VVVDVSHEDP EVKFNWYVDG VEVHNAKTKP REEQYNSTYR 300
VVSVLTVLHQ DWLNGKEYKC KVSNKALPAP IEKTISKAKG QPREPQVYTL 350
PFSREEMTKN QVSLTCLVKG FYPSPDIAVEW ESNQGPENNY KTFPPVLDS 400
GSFFLYSKLT VDKSRWQQGN VFSCSVMHEA LNHHTYQKSL SLSPG 445
```

Light chain / Chaîne légère / Cadena ligera

```
EIVLTQSPGT LSLSPGERAT LSCRASQSVS SSYLAWYQQK PGQAPRLLIY 50
GASSRATGIP DRFSGSGSGT DFTLTISRLE PEDFAVYYCQ QYGGSPWTFG 100
QGTQVEIKRT VAAPSVFIFF PSDEQLKSGT ASVVCLLNNF YPREAKVQWK 150
VDNALQSGNS QESVTEQDSK DSTYLSSTL TSKADYEKH KYVACEVTHQ 200
GLSSPVTKSF NRGEC 215
```

Post-translational modifications

Disulfide bridges location / Position des ponts disulfure / Posiciones de los puentes disulfuro

Intra-H (C23-C104) 22-96 143-199 260-320 366-424  
 22"-96" 143"-199" 260"-320" 366"-424"  
 Intra-L (C23-C104) 23'-89' 135'-195'  
 23"'-89'" 135"'-195'"  
 Inter-H-L (h 5-CL 126) 219-215' 219"-215"  
 Inter-H-H (h 11, h 14) 225-225" 228-228"

N-glycosylation sites / Sites de N-glycosylation / Posiciones de N-glicosilación  
 H CH2 N84.4: 296, 296"

Fucosylated complex bi-antennary CHO-type glycans / glycanes de type CHO bi-antennaires complexes fucosylés / glicanos de tipo CHO biantenaricos complejos fucosilados



**amostomigum #**

## amostomig

immunoglobulin G1-lambda, anti-[*Homo sapiens* CD47 (CD47 molecule, integrin associated protein, IAP, MER6, OA3)] and anti-[*Homo sapiens* CD274 (programmed cell death 1 ligand 1, PDL1, PD-L1, B7 homolog 1, B7H1, B7-H1, PDCD1LG1)], humanized monoclonal antibody, bispecific; H-gamma1 heavy chain anti-CD47 humanized (1-464) [VH (*Homo sapiens* IGHV3-23\*04 (83.8%) -(IGHD) -IGHJ4\*01 (92.3%) L123>T (129), CDR-IMGT [8.10.20] (26-33.51-60.104-123))] (1-134)-*Homo sapiens* IGHG1\*01v, G1m17,1>G1m3,1 CH1 R120, CH3 D12, L14, G1v14 CH2 A1.3, A1.2, G1v74 CH3 C10, G1v32 CH3 W22 (knob) (CH1 R120 (231) (135-232), hinge 1-15 (233-247), CH2 L1.3>A (251), L1.2>A (252) (248-357), CH3 D12 (373), L14 (375), S10>C (371), T22>W (383) (358-462), CHS (463-464)) (135-464)], (237-215')-disulfide with common L-lambda2 light chain humanized (1'-216') [V-LAMBDA (*Homo sapiens* IGLV8-61\*01 (85.6%) -IGLJ2\*01 (90.9%), CDR-IMGT [9.3.10] (26'-34'.52'-54'.91'-100')) (1'-110') -*Homo sapiens* IGLC2\*01 (100%) (111'-216')]; H-gamma1 heavy chain anti-CD274 humanized (1"-453") [VH (*Homo sapiens* IGHV3-20\*01 (92.9%) -(IGHD) -IGHJ5\*01 (100%), CDR-IMGT [8.8.15] (26"-33".51"-58".97"-111")) (1"-122")-*Homo sapiens* IGHG1\*03v, G1m3>G1m17, nG1m1, CH1 K120, CH3 E12, M14, G1v14 CH2 A1.3, A1.2, G1v75 CH3 C5, G1v33 CH3 S22, A24, V86 (hole) (CH1 R120>K (219") (123"-220"), hinge 1-15 K7>G (227"), T8>P (228"), H9>GG (229"-230") (221"-236"), CH2 L1.3>A (240"), L1.2>A (241") (237"-346"), CH3 E12 (362"), M14 (364"), Y5>C (355"), T22>S (372"), L24>A (374"), Y86>V (413") (347"-451"), CHS (452"-453")) (123"-453"), (225"-215")-disulfide with common L-lambda2 light chain humanized (11"-216") [V-LAMBDA (*Homo sapiens* IGLV8-61\*01 (85.6%) -IGLJ2\*01 (90.9%), CDR-IMGT [9.3.10] (26""-34""-52""-54""-91""-100"")) (11""-110"")-*Homo sapiens* IGLC2\*01 (100%) (111""-216"")]; dimer (243-232":246-235")-bisdisulfide, produced in Chinese hamster ovary (CHO) cells, cell line CHO-S, glycoform alfa  
*immunostimulant, antineoplastic*

## amostomig

immunoglobuline G1-lambda, anti-[*Homo sapiens* CD47 (CD47 molécule, protéine associée à l'intégrine, IAP, MER6, OA3)] et anti-[*Homo sapiens* CD274 (ligand 1 de mort cellulaire programmée 1, PDL1, PD-L1, B7 homologue 1, B7H1, B7-H1, PDCD1LG1)], anticorps monoclonal humanisé, bispécifique;  
chaîne lourde H-gamma1 anti-CD47 humanisée (1-464) [VH (*Homo sapiens* IGHV3-23\*04 (83.8%) -(IGHD) -IGHJ4\*01 (92.3%) L123>T (129), CDR-IMGT [8.10.20] (26-33.51-60.104-123))] (1-134)-*Homo sapiens* IGHG1\*01v, G1m17,1>G1m3,1 CH1 R120, CH3 D12, L14, G1v14 CH2 A1.3, A1.2, G1v74 CH3 C10, G1v32 CH3 W22 (knob) (CH1 R120 (231) (135-232), charnière 1-15 (233-247), CH2 L1.3>A (251), L1.2>A (252) (248-357), CH3 D12 (373), L14 (375), S10>C (371), T22>W (383) (358-462), CHS (463-464)) (135-464)], (237-215')-disulfure avec la chaîne commune légère L-lambda2 humanisée (1'-216') [V-LAMBDA (*Homo sapiens* IGLV8-61\*01 (85.6%) -IGLJ2\*01 (90.9%), CDR-IMGT [9.3.10] (26'-34'.52'-54'.91'-100')) (1'-110') -*Homo sapiens* IGLC2\*01 (100%) (111'-216')];

	<p>cadena pesada H-gamma1 anti-CD274 humanizada (1"-453") [VH (<i>Homo sapiens</i> IGHV3-20*01 (92.9%) -(IGHD) -IGHJ5*01 (100%), CDR-IMGT [8.8.15] (26"-33".51"-58".97"-111")) (1"-122")]-<i>Homo sapiens</i> IGHG1*03v, G1m3&gt;G1m17, nG1m1, CH1 K120, CH3 E12, M14, G1v14 CH2 A1.3, A1.2, G1v75 CH3 C5, G1v33 CH3 S22, A24, V86 (hole) (CH1 R120&gt;K (219")) (123"-220"), charnière 1-15 K7&gt;G (227"), T8&gt;P (228"), H9&gt;G (229"-230") (221"-236"), CH2 L1.3&gt;A (240"), L1.2&gt;A (241") (237"-346"), CH3 E12 (362"), M14 (364"), Y5&gt;C (355"), T22&gt;S (372"), L24&gt;A (374"), Y86&gt;V (413") (347"-451"), CHS (452"-453")) (123"-453")), (225"-215")-disulfuro avec la chaîne commune légère L-lambda2 humanisée (1"-216") [V-LAMBDA (<i>Homo sapiens</i> IGLV8-61*01 (85.6%) -IGLJ2*01 (90.9%), CDR-IMGT [9.3.10] (26"-34".52"-54".91"-100")) (1"-110")]-<i>Homo sapiens</i> IGLC2*01 (100%) (111"-216")); dimère (243-232":246-235")-bisulfuro, produit dans des cellules ovariennes de hamster chinois (CHO), lignée cellulaire CHO-S, glycoforme alfa immunostimulant, antinéoplasique</p>
amostomig	<p>inmunoglobulina G1-lambda, anti-[<i>Homo sapiens</i> CD47 (CD47 molécula, proteína asociada a la integrina, IAP, MER6, OA3)] y anti-[<i>Homo sapiens</i> CD274 (ligando 1 de muerte celular programada 1, PDL1, PD-L1, B7 homólogo 1, B7H1, B7-H1, PDCD1LG1)], anticuerpo monoclonal humanizado, biespecifico; cadena pesada H-gamma1 anti-CD47 humanizada (1-464) [VH (<i>Homo sapiens</i> IGHV3-23*04 (83.8%) -(IGHD) -IGHJ4*01 (92.3%) L123&gt;T (129), CDR-IMGT [8.10.20] (26-33.51-60.104-123)) (1-134)]-<i>Homo sapiens</i> IGHG1*01v, G1m17, 1&gt;G1m3, 1 CH1 R120, CH3 D12, L14, G1v14 CH2 A1.3, A1.2, G1v74 CH3 C10, G1v32 CH3 W22 (knob) (CH1 R120 (231) (135-232), bisagra 1-15 (233-247), CH2 L1.3&gt;A (251), L1.2&gt;A (252) (248-357), CH3 D12 (373), L14 (375), S10&gt;C (371), T22&gt;W (383) (358-462), CHS (463-464)) (135-464)], (237-215')-disulfuro con la cadena común ligera L-lambda2 humanizada (1'-216') [V-LAMBDA (<i>Homo sapiens</i> IGLV8-61*01 (85.6%) -IGLJ2*01 (90.9%), CDR-IMGT [9.3.10] (26'-34'.52'-54'.91'-100')) (1'-110')]-<i>Homo sapiens</i> IGLC2*01 (100%) (111'-216')); cadena pesada H-gamma1 anti-CD274 humanizada (1"-453") [VH (<i>Homo sapiens</i> IGHV3-20*01 (92.9%) -(IGHD) -IGHJ5*01 (100%), CDR-IMGT [8.8.15] (26"-33".51"-58".97"-111")) (1"-122")]-<i>Homo sapiens</i> IGHG1*03v, G1m3&gt;G1m17, nG1m1, CH1 K120, CH3 E12, M14, G1v14 CH2 A1.3, A1.2, G1v75 CH3 C5, G1v33 CH3 S22, A24, V86 (hole) (CH1 R120&gt;K (219")) (123"-220"), bisagra 1-15 K7&gt;G (227"), T8&gt;P (228"), H9&gt;G (229"-230") (221"-236"), CH2 L1.3&gt;A (240"), L1.2&gt;A (241") (237"-346"), CH3 E12 (362"), M14 (364"), Y5&gt;C (355"), T22&gt;S (372"), L24&gt;A (374"), Y86&gt;V (413") (347"-451"), CHS (452"-453")) (123"-453")), (225"-215")-disulfuro con la cadena común ligera L-lambda2 humanizada (1"-216") [V-LAMBDA (<i>Homo sapiens</i> IGLV8-61*01 (85.6%) -IGLJ2*01 (90.9%), CDR-IMGT [9.3.10] (26"-34".52"-54".91"-100")) (1"-110")]-<i>Homo sapiens</i> IGLC2*01 (100%) (111"-216")); dímero (243-232":246-235")-bisulfuro, producido en las células ováricas de hámster chino (CHO), línea celular CHO-S, forma glicosilada alfa immunostimulante, antineoplásico</p>

Heavy chain / Chaîne lourde / Cadena pesada : H-gamma1 (H) anti-CD47 (knob)  
 QVQLVDSGGG LVQPGGSLRL SCAASGFTFS RYWMYVVRQA PGKGLEWVSS 50  
 IEDSSINTGG GTETTYTDS VKGRFTISRDN AKNTLYLQM NSLRAEDTAV 100  
 YCAKAGDYIC TTYECQHYHG MDYWGQGTTFV TVSSASTKGP SVFPLAPSSK 150  
 STSGGTAALG CLVKDYFPEP VTVSWNSGAL TSGVHTFPAV LQSSGLYSL 200  
 SVVTVFSSSL GTQTYICNVN HKPSTNTKVDK RVEPKSCDKT HTCPCCPAPE 250  
 AAGGSPVFLF PPKKDTLMI SRTPVETCVV VDVSHEDPEV KFNWYVDGVE 300  
 VHNAKTKPRE EQYNSTYRVV SVLTVLHQDW LNKGEYKCKV SNKALPAPIE 350  
 KTISKAKGQP REPQVYTLPP CRDELTKNQV SLWCLVKGYF PSDIAVEWES 400  
 NGQPENNYKT TFPVLDSDGS FFLYSKLTVD KSRWQQGNVF SCSVMHEALH 450  
 NHYTKQSLSL SPGK 464

Heavy chain / Chaîne lourde / Cadena pesada : H-gamma1 (H<sup>1</sup>) CD274 (hole)  
 EQQLVDSGGG VVRPGGSLRL SCAASGFTFD DYAMSWVRQA PGKGLEWVSD 50  
 ISWGSSTNNY ADSVKGRFTI SRDNAKNSLY LQMNSLRAED TALYHARAP 100  
 LLLAMTFGVG SWGQGLVTVV SSASTKGPSV FELAPSSKST SGGTAAALGCL 150  
 VKDYFPEPVT VSWNSGALTS GVHTFPAVLQ SSGLYSLSV VVVPSSSLGT 200  
 QTYICNVNKH PSNTKVDKVKV EPKSCDGPVG TCPPCPAPEA AGGSPVFLFP 250  
 PKPKDTLMI SRTPVETCVV VDVSHEDPEV FNMWYVDGVEV HNAKTKPRE 300  
 QYNSTYRVVSV VLTVLHQDWL NGEYKCKVSN NKALPAPIEK TISKAKGQPR 350  
 EFQVCTLPSS REEMTKNQVS LSCAVKGFYP SDIAVEWESN GQPENNYKTT 400  
 PFVLDSDGSF FLVSKLTVDK SRWQQGNVFS CSVMHEALHN HYTKQSLSL 450  
 PGK 463

Light chain / Chaîne légère / Cadena ligera : L-lambda2 (L<sup>1</sup>, L<sup>2</sup>) common  
 QTVVTQEPSL SVSPGGTVTL TCGLSSGTVT AINYPGWYQQ TPGQAPRTLI 50  
 YNTNTRHSGV PDRFSGSISG NKAALITGA QAEDEADYYC ALYMGNGGHH 100  
 FGGGKTLTVL GQPKAAPSVT LFPSSSEELQ ANKATLVCLI SDFYPGAVTV 150  
 AWKADSSPVK AGVETTTPSK QSNNKYAASS YLSLTPQWVK SHRSYSCQVT 200  
 HEGSTVEKTV APTECS 216

#### Post-translational modifications

Disulfide bridges location / Position des ponts disulfure / Posiciones de los puentes disulfuro

Intra-H (C23-C104) 22-103 161-217 278-338 384-442  
 22"-96" 149"-205" 267"-327" 373"-431"

Intra-H CDR3 110-115

Intra-L (C23-C104) 22"-90' 138"-197"  
 22"-90" 138"-197"

Inter-H-L (h 5-CL 126) 237-215' 225"-215"

Inter-H-H (h 11, h 14) 243-232" 246-235"

Inter-H-H (CH3 C10-C5)\* 371-355"

\*variants G1v74 (CH3 C10) and G1v75 (CH3 C5) creating an additional inter-H-H disulfide bond

\*variantes G1v74 (CH3 C10) et G1v75 (CH3 C5) créant une liaison disulfure inter-H-H supplémentaire

\*variantes G1v74 (CH3 C10) y G1v75 (CH3 C5) que crean un enlace disulfuro inter-H-H adicional

N-terminal glutaminylation cyclization / Cyclisation du glutaminyle N-terminal / Ciclación del glutamínico N-terminal

Q > pyroglutamyl (pE, 5-oxoprolyl) / pyroglutamate (pE, 5-oxoprolyle) / piroglutamilo (pE, 5-oxoprolilo)

H VH Q1:1

L VL V-LAMBDA Q1: 1', 1"

N-glycosylation sites / Sites de N-glycosylation / Posiciones de N-glicosilación

H CH2 N84.4: 314, 303"

fucosylated complex bi-antennary CHO-type glycans / glycanes de type CHO bi-antennaires complexes fucosylés / glicanos de tipo CHO biantenaricos complejos fucosilados.

C-terminal lysine clipping / Coupure de la lysine C-terminale / Recorte de lisina C-terminal  
 H CHS K2: 464, 453"

## amulirafusp alfa # amulirafusp alfa

human signal regulatory protein alpha (SIRP $\alpha$ ) fragment, anti-(human CD47, integrin associated protein (IAP)), fused via a (G<sub>4</sub>S)<sub>2</sub> peptide linker to the N-terminus of both heavy chains of a chimeric immunoglobulin G1-kappa anti-(human B-lymphocyte antigen CD20), glycoform alfa;  
 human signal regulatory protein alpha (SIRP alpha variant V2 extracellular D1 domain, SIRP alpha V2D1) fragment 31-163, comprising the first two extracellular loops of the D1 domain, [N<sup>110</sup>>A<sup>80</sup>]-variant, anti-(human CD47, integrin associated protein (IAP)) (1-133 in the current sequence) fused via a (G<sub>4</sub>S)<sub>2</sub> peptide linker (134-143) to gamma 1 heavy chain (144-594) [VH (*Mus musculus* IGHV1-12\*01 -(IGHD) -IGHJ1\*01, CDR-Kabat [5.17.12] (174-178.193-209.242-253)) (144-264) -*Homo sapiens* IGHG1\*03 (CH1 (265-362), hinge (363-377), CH2 S<sup>445</sup>>A, E<sup>480</sup>>A, K<sup>481</sup>>A (378-487), CH3 (488-592), CHS (593-594)) (265-594)], (367-213')-disulfide with kappa light chain (1'-213') [V-KAPPA (*Mus musculus* IGKV4-72\*01 -IGKJ1\*01, CDR-Kabat [10.7.9] (24'-33'.49'-55'.88'-96')) (1'-106') -*Homo sapiens* IGKC\*01 (107'-213')]; dimer (373-373":376-376")-bisdisulfide, produced in Chinese hamster ovary (CHO) cells, cell line CHO-K1, glycoform alfa  
*antineoplastic*

amulirafusp alfa

fragment de la protéine humaine de régulation du signal alpha (SIRP $\alpha$ ), anti-(CD47 humain, protéine associée à l'intégrine (IAP)), fusionné, via un peptide liant (G<sub>4</sub>S)<sub>2</sub>, à l'extrémité N-terminale des deux chaînes lourdes d'une immunoglobuline chimérique G1-kappa anti-(antigène CD20 des lymphocytes B humains), glycoforme alfa;

fragment 31-163 de la protéine humaine de régulation du signal alpha (variant V2 SIRP alpha du domaine extracellulaire D1, SIRP alpha V2D1), comprenant les deux premières boucles extracellulaires du domaine D1, [N<sup>110</sup>>A<sup>80</sup>]-variant, anti-(CD47 humain, protéine associée à l'intégrine (IAP)) (1-133 dans la séquence actuelle) fusionné via un peptide liant (G<sub>4</sub>S)<sub>2</sub> (134-143) à la chaîne lourde gamma 1 (144-594) [VH (*Mus musculus* IGHV1-12\*01 -(IGHD) -IGHJ1\*01, CDR-Kabat [5. 17.12] (174-178.193-209. 242-253)) (144-264) -*Homo sapiens* IGHG1\*03 (CH1 (265-362), charnière (363-377), CH2 S<sup>445</sup>>A, E<sup>480</sup>>A, K<sup>481</sup>>A (378-487), CH3 (488-592), CHS (593-594)) (265-594)], (367-213')-disulfure avec la chaîne légère kappa (1'-213') [V-KAPPA (*Mus musculus* IGKV4-72\*01 -IGKJ1\*01, CDR-Kabat [10. 7.9] (24'-33'.49'-55'.88'-96')) (1'-106') -*Homo sapiens* IGKC\*01 (107'-213')]; dimère (373-373'':376-376'')-bisdisulfure, produit dans des cellules ovariennes de hamster chinois (CHO), lignée cellulaire CHO-K1, glycoforme alfa  
*antineoplasique*

amulirafusp alfa

fragmento de proteína reguladora de señal alfa (SIRP $\alpha$ ) humana, anti-(CD47 humano, integrina asociada a proteína (IAP)), fusionada, a través de un enlace peptídico (G<sub>4</sub>S)<sub>2</sub>, al terminal N de ambas cadenas pesadas de una inmunoglobulina quimérica G1-kappa anti-(antígeno de linfocito B humano CD20), glicofoma alfa;

proteína reguladora de señal alfa humana (SIRP alpha variante V2 extracelular dominio D1, SIRP alpha V2D1) fragmento 31-163, que comprende los dos primeros loops extracelulares del dominio D1, [N<sup>110</sup>>A<sup>80</sup>]-variante, anti-(CD47 humano, integrina asociada a proteína (IAP)) (1-133 en la actual secuencia) fusionada a través de un enlace peptídico (G<sub>4</sub>S)<sub>2</sub> (134-143) a una cadena pesada gamma 1 (144-594) [VH (*Mus musculus* IGHV1-12\*01 -(IGHD) -IGHJ1\*01, CDR-Kabat [5.17.12] (174-178.193-209.242-253)) (144-264) -*Homo sapiens* IGHG1\*03 (CH1 (265-362), bisagra (363-377), CH2 S<sup>445</sup>>A, E<sup>480</sup>>A, K<sup>481</sup>>A (378-487), CH3 (488-592), CHS (593-594)) (265-594)], (367-213')-disulfuro con cadena ligera kappa (1'-213') [V-KAPPA (*Mus musculus* IGKV4-72\*01 -IGKJ1\*01, CDR-Kabat [10.7.9] (24'-33'.49'-55'.88'-96')) (1'-106') -*Homo sapiens* IGKC\*01 (107'-213')]; dímero (373-373'':376-376'')-bisdisulfuro, producido en las células ováricas de hámster chino (CHO), línea celular CHO-K1, glicofoma alfa  
*antineoplásico*

Sequence / Séquence / Secuencia

SIRPα IgG1 heavy chain

<b>EEELQVIQPD</b>	<b>KSVSVAAGES</b>	<b>AILHCTVTSL</b>	<b>IPVGPQWFR</b>	<b>GAGPARELIY</b>	50
<b>NQKEGHFPRV</b>	<b>TFVSESTKRE</b>	<b>NMDFSISISA</b>	<b>ITPADAGTYI</b>	<b>CVKFRKGSFD</b>	100
<b>TEFKSGAGTE</b>	<b>LSVRAKPSAP</b>	<b>VVSGPAARAT</b>	<b>PQHGGGSSGG</b>	<b>GGSQVQLQQP</b>	150
GAEIVKPGAS	VKMSCKASGY	TFTSYNMHWV	KQTPGRGLEW	IGAIYPGND	200
TSYNQKFKGK	ATLTADKSSS	TAYMQLSLLT	SEDSAVYICA	RSTYYGGDWY	250
FNWVGAGTTV	TVSAASTKGF	SVFFLAPSSK	STSGGTAALG	CLVKDYFPEP	300
VTVSWNSGAL	TSGVHTFFAV	LQSSGLYLSL	SVVTVPSSSL	GTQTYICNVN	350
HKPSNTRKVDK	RVEPKSCDKT	HTCPCCPAPE	LLGGPSVFLF	PPKPKDTLMI	400
SRTPEVTCVV	VDVSHEDPEV	KFNWYVDGVE	VHNAKTKPRE	EQYNA <sup>1</sup> TYRVV	450
SVLTVLHQDW	LNGKEYKCKV	SNKALPAPIA	<b>A</b> TISKARGQP	REPQVYTLPI	500
SREEMTRNQV	SLTCLVKGFY	PSDIAVEWES	NGQPENNYKT	TPPVLDSDDG	550
FPLYSKLTVD	KSRWQQGNVF	SCSVMHEALH	NHYTQKLSLS	SPGK	594

IgG1 light chain

QIVLSQSPAI	LSASPGKEKVT	MTCRASSSVS	YIHWFQQKPG	SSPKPIYAT	50
SNLASGVPVR	FSGSGSGTSY	SLTISRVEAE	DAATYYCQQW	TSNPPTFGGG	100
TKHELKRTVA	APSVFIFPPS	DEQLKSGTAS	VVCLLNFFYP	REAKVQWKVD	150
NALQSGNSQE	SVTEIQDSKDS	TYLSLSTLTL	SKADYEKKHV	YACEVTHQGL	200
SSPVTKSFNR	GEC				213

Mutation / Mutation / Mutación

SIRPα IgG1 heavy chain: N<sup>110</sup>>A<sup>80</sup>, A<sup>80\*</sup>, S<sup>445</sup>, S<sup>445\*</sup>>A, E<sup>480</sup>, E<sup>480\*</sup>>A, K<sup>481</sup>, K<sup>481\*</sup>>A

Peptide linker / Peptide liant / Péptido de unión

<sup>134</sup>GGGGGGGG<sup>143</sup>

Post-translation modifications

Disulfide bridges location / Position des ponts disulfure / Posiciones de los puentes disulfuro

Intra SIRPα heavy chain: 25-91, 165-239, 291-347, 408-468, 514-572,

25"-91", 165"-239", 291"-347", 408"-468", 514"-572"

Intra light chain: 23-87, 25'-91', 133'-193'; 23"-87", 25"-91", 133"-193"

Inter light chain-SIRPα heavy chain: 213'-367; 213"-367"

Inter SIRPα heavy chain: 373-373", 376-376"

N-glycosylation sites / Sites de N-glycosylation / Posiciones de N-glicosilación

SIRPα IgG1 heavy chain: 444, 444"

N-terminal glutaminyl cyclization / Cyclisation du glutaminyle N-terminal / Ciclación del glutaminilo N-terminal

kappa chain Q1', Q1'" > pyroglutamyl (pE, 5-oxo-L-prolyl)

C-terminal lysine clipping / Coupeure de la lysine C-terminale / Recorte de lisina C-terminal

H CHS: 594, 594"

**ansipastobartum #**

ansipastobart

immunoglobulin G1-lambda2, anti-[*Homo sapiens* NT5E (5'-nucleotidase ecto, 5' nucleotidase, NT5, eN, eNT NTE, CALJA, CD73)], *Homo sapiens* monoclonal antibody;

H-gamma1 heavy chain *Homo sapiens* (1-447) [VH (*Homo sapiens* IGHV3-23\*01 (93.9%) -(IGHD) -IGHJ2\*01 (92.3%), CDR-IMGT [8.8.10] (26-33.51-58.97-106))] (1-117) -*Homo sapiens* IGHG1\*03,G1m3, nG1m1 CH1 R120, CH3 E12, M14, G1v39 CH2 F1.3, E1.2, S116 (CH1 R120 (214) (118-215), hinge 1-15 (216-230), CH2 L1.3>F (234), L1.2>E (235), P116>S (331) (231-340), CH3 E12 (356), M14 (358) (341-445), CHS (446-447)) (118-447)], (220-215')-disulfide with L-lambda2 light chain *Homo sapiens* (1'-216') [V-LAMBDA (*Homo sapiens* IGLV1-44\*01 (89.8%) -IGLJ2\*01 (100%), CDR-IMGT [8.3.11] (26'-33'.51'-53'.90'-100'')] (1'-110') -*Homo sapiens* IGLC2\*01 (100%) (111'-216'')]; dimer (226-226'':229-229'')-bisdisulfide, produced in Chinese hamster ovary (CHO) cells, cell line CHO-DG44, glycoform alfa *immunostimulant, antineoplastic*

ansipastobart

immunoglobuline G1-lambda2, anti-[*Homo sapiens* NT5E (5' ecto nucléotidase, 5' nucléotidase, NT5, eN, eNT NTE, CALJA, CD73)], anticorps monoclonal *Homo sapiens*;

chaîne lourde H-gamma1 *Homo sapiens* (1-447) [VH (*Homo sapiens* IGHV3-23\*01 (93.9%) -(IGHD) -IGHJ2\*01 (92.3%), CDR-IMGT [8.8.10] (26-33.51-58.97-106)) (1-117) -*Homo sapiens* IGHG1\*03, G1m3, nG1m1 CH1 R120, CH3 E12, M14, G1v39 CH2 F1.3, E1.2, S116 (CH1 R120 (214) (118-215), charnière 1-15 (216-230), CH2 L1.3>F (234), L1.2>E (235), P116>S (331) (231-340), CH3 E12 (356), M14 (358) (341-445), CHS (446-447)) (118-447)], (220-215')-disulfure avec la chaîne légère L-lambda2 *Homo sapiens* (1'-216') [V-LAMBDA (*Homo sapiens* IGLV1-44\*01 (89.8%) -IGLJ2\*01 (100%), CDR-IMGT [8.3.11] (26'-33'.51'-53'.90'-100')) (1'-110') - *Homo sapiens* IGLC2\*01 (100%) (111'-216')]; dimère (226-226":229-229")-bisdisulfure, produit dans des cellules ovariennes de hamster chinois (CHO), lignée cellulaire CHO-DG44, glycoforme alfa  
*immunostimulant, antinéoplasique*

ansipastobart

immunoglobulina G1-lambda2, anti-[*Homo sapiens* NT5E (5' ecto nucleotidasa, 5' nucleotidasa, NT5, eN, eNT NTE, CALJA, CD73)], anticuerpo monoclonal *Homo sapiens*;  
cadena pesada H-gamma1 *Homo sapiens* (1-447) [VH (*Homo sapiens* IGHV3-23\*01 (93.9%) -(IGHD) -IGHJ2\*01 (92.3%), CDR-IMGT [8.8.10] (26-33.51-58.97-106)) (1-117) -*Homo sapiens* IGHG1\*03, G1m3, nG1m1 CH1 R120, CH3 E12, M14, G1v39 CH2 F1.3, E1.2, S116 (CH1 R120 (214) (118-215), bisagra 1-15 (216-230), CH2 L1.3>F (234), L1.2>E (235), P116>S (331) (231-340), CH3 E12 (356), M14 (358) (341-445), CHS (446-447)) (118-447)], (220-215')-disulfuro con la cadena ligera L-lambda2 *Homo sapiens* (1'-216') [V-LAMBDA (*Homo sapiens* IGLV1-44\*01 (89.8%) -IGLJ2\*01 (100%), CDR-IMGT [8.3.11] (26'-33'.51'-53'.90'-100')) (1'-110') - *Homo sapiens* IGLC2\*01 (100%) (111'-216')]; dímero (226-226":229-229")-bisdisulfuro, producido en las células ováricas de hámster chino (CHO), línea celular CHO-DG44, forma glicosilada alfa  
*inmunostimulante, antineoplásico*

2829250-32-8

Heavy chain / Chaîne lourde / Cadena pesada : H-gamma1 (H, H<sup>n</sup>) anti-NT5E

```
EVQLLESGGG LVQPGGSLRL SCAASGSSFS SYAYSWVRQA PGKLEWISA 50
ISGSGGRITY ADSVKGRFTI SRDNSKNTLY LQMNLSRAED TAVYYCARLG 100
YSRADEWGRG TLTVSSAST KGPSVFFLAP SSRSTSGGTA ALGCLVKDYF 150
PEPVTVSWNS GALTSGVHTF PAVLQSSGLY SLSSVVTVPS SSLGTQTYIC 200
NVNKKPSNTK VDKRVEPKSC DKTHTCPPCP APEFEGGFSV FLFFPKPKDT 250
LMISRTPEVT CVVVVDVSHED PEVKFNWYVD GVEVHNAKTK PREEQYNSTY 300
RVVSVLTVLH QDWLNKGEYK CKVSNKALPA SIEKTIKAK GQPREPQVYT 350
LPFSSREEMTK NQVSLTCLVK GFYFSDIAVE WESNGQPENN YKTTTPVLDS 400
DGSFFLYSKL TVDKSRWQQG NVFSCSVMHE ALHNHYTQKS LLSLSPGK 447
```

Light chain / Chaîne légère / Cadena ligera : L-lambda2 (L, L<sup>n</sup>) anti-NT5E

```
QSVLTQPPSA SGTPEGQVTE SCSSGISNIG RNPVNWYQQL PGTA PKLLIY 50
LDNLRLSGVP DRFSGSKSGT SASLAISGLQ SEDEADYYCA TWDDSHPGWT 100
FGGGTKLTVL GQPKAAPSVT LFPSSSEELQ ANKATLVCLL SDFYPGAQVY 150
AWKADSSPEVK AGVETITPSK QSNKNYAASS YLSLTPEQWK SHRSYSCQVT 200
HEGSTVEKTV APTECS 216
```

**Post-translational modifications**

Disulfide bridges location / Position des ponts disulfure / Posiciones de los puentes disulfuro

Intra-H (C23-C104) 22-96 144-200 261-321 367-425  
22"-96" 144"-200" 261"-321" 367"-425"

Intra-L (C23-C104) 22-89" 138"-197"  
22"-89" 138"-197"

Inter-H-L (h 5-CL 126) 220-215" 220"-215"

Inter-H-H (h 11, h 14) 226-226" 229-229"

N-terminal glutaminyl cyclization / Cyclisation du glutaminyle N-terminal / Ciclación del glutaminilo N-terminal

Q &gt; pyroglutamyl (pE, 5-oxopropyl) / pyroglutamyle (pE, 5-oxopropyle) / piroglutamilo (pE, 5-oxoprolilo)

L VL V-LAMBDA Q1: 1, 1"

N-glycosylation sites / Sites de N-glycosylation / Posiciones de N-glicosilación

H CH2 N84.4: 297, 297"

Fucosylated complex bi-antennary CHO-type glycans / glycanes de type CHO bi-antennaires complexes fucosylés / glicanos de tipo CHO biantenarios complejos fucosilados

C-terminal lysine clipping / Coupure de la lysine C-terminale / Recorte de lisina C-terminal

H CHS K2: 447, 447"

**aplitabartum #**

aplitabart immunoglobulin M-kappa cyclic pentamer bisdisulfide with the JCHAIN (joining chain of multimeric IgA and IgM), anti-[*Homo sapiens* TNFRSF10B (TNF receptor superfamily member 10B, death receptor 5, DR5, TNF-related apoptosis-inducing ligand TRAIL receptor 2, TRAILR2, TRAIL-R2, TR-2, CD262)], humanized monoclonal antibody, monospecific, decavalent, agonist;  
H-mu heavy chain anti-TNFRSF10B humanized (1-572) [VH (*Homo sapiens*IGHV3-23\*03 (90.8%) -(IGHD) -IGHJ4\*01 (100%), CDR-IMGT [8.8.12] (26-33.51-58.97-108)) (1-119) -*Homo sapiens*IGHM\*03 (100%) (CH1 (120-223), CH2 (224-335), CH3 (336-441), CH4 (442-552), CH5 (553-572)) (120-572)], (133-213')-disulfide with L-kappa light chain anti-TNFRSF10B humanized (1'-213') [V-KAPPA (*Homo sapiens*IGKV1-13\*02 (84.9%) -IGKJ1\*01 (100%), CDR-IMGT [6.3.8] (27'-32'.50'-52'.89'-96')) (1'-106') -*Homo sapiens*IGKC\*01 (100%), Km3 A45.1 (152'), V101 (190') (107'-213')]; dimer (333-333":410-410")-bisdisulfide, 5 [H-mu\_L-kappa]2 dimers forming a cyclic pentamer, disulfide 4 x (571"-571), and 1x (571"-15""-69""-571)-bisdisulfide with the JCHAIN Y102>A (102""') (1""-137""'), produced in a cell line derived from Chinese hamster ovary (CHO) cells,  
glycoform alfa  
*antineoplastica*

aplitabart immunoglobuline M-kappa pentamère cyclique bisdisulfure avec la JCHAIN (chaîne de jonction des IgA et IgM multimériques), anti-[*Homo sapiens* TNFRSF10B (membre 10B de la superfamille des récepteurs du TNF, récepteur de mort 5, DR5, récepteur 2 du ligand TRAIL apparenté au TNF induisant l'apoptose, TRAIL-R2, TR2, CD262)], anticorps monoclonal humanisé, monospécifique, décavalent, agoniste;  
chaîne lourde H-mu anti-TNFRSF10B (1-572) [VH (*Homo sapiens*IGHV3-23\*03 (90.8%) -(IGHD) -IGHJ4\*01 (100%), CDR-IMGT [8.8.12] (26-33.51-58.97-108)) (1-119) -*Homo sapiens*IGHM\*03 (100%) (CH1 (120-223), CH2 (224-335), CH3 (336-441), CH4 (442-552), CH5 (553-572)) (120-572)], (133-213')-disulfure avec la chaîne légère L-kappa anti-TNFRSF10B humanisée (1'-213') [V-KAPPA (*Homo sapiens*IGKV1-13\*02 (84.9%) -IGKJ1\*01 (100%), CDR-IMGT [6.3.8] (27'-32'.50'-52'.89'-96')) (1'-106') -*Homo sapiens*IGKC\*01 (100%), Km3 A45.1 (152'), V101 (190') (107'-213')]; dimère (333-333":410-410")-bisdisulfure, 5 dimères [H-mu\_L-kappa]2 formant un pentamère cyclique disulfure 4x (571"-571), et 1x (571"-15""-69""-571)-bisdisulfure avec la JCHAIN Y102>A (102""') (1""-137""'), produite dans une lignée cellulaire dérivée des cellules ovariennes de hamster chinois (CHO), glycoforme alfa  
*antineoplasique*

aplitabart immunoglobulina M-kappa pentámero cíclico bisdisulfuro con la JCHAIN (cadena de unión de las IgA e IgM multiméricas), anti-[*Homo sapiens* TNFRSF10B (miembro 10B de la superfamilia de los receptores del TNF, receptor de muerte 5, DR5, receptor 2 del ligando TRAIL relacionado con TNF que induce la apoptosis, TRAIL-R2, TR2, CD262)], anticuerpo monoclonal humanizado, monoespecífico, decavalente, agonista;  
cadena pesada H-mu anti-TNFRSF10B (1-572) [VH (*Homo sapiens*IGHV3-23\*03 (90.8%) -(IGHD) -IGHJ4\*01 (100%), CDR-IMGT [8.8.12] (26-33.51-58.97-108)) (1-119) -*Homo sapiens*IGHM\*03 (100%) (CH1 (120-223), CH2 (224-335), CH3 (336-441), CH4 (442-552), CH5 (553-572)) (120-572)], (133-213')-disulfuro con la cadena ligera L-kappa anti-TNFRSF10B humanizada (1'-213') [V-KAPPA (*Homo sapiens*IGKV1-13\*02 (84.9%) -IGKJ1\*01 (100%), CDR-IMGT [6.3.8] (27'-32'.50'-52'.89'-96')) (1'-106') -*Homo sapiens*IGKC\*01 (100%), Km3 A45.1 (152'), V101 (190') (107'-213')]; dímero (333-333":410-410")-bisdisulfuro, 5 dímeros [H-mu\_L-kappa]2 que forman un pentámero cíclico disulfuro 4x (571"-571), y 1x (571"-15""-69""-571)-bisdisulfuro con la JCHAIN Y102>A (102""') (1""-137""'), producido en una línea celular derivada de las células ováricas de hámster chino (CHO), forma glicosilada alfa  
*antineoplásico*

2796349-94-3

Heavy chain / Chaîne lourde / Cadena pesada : H-mu (H, H<sup>μ</sup>) anti-TNFRSF10B (x10)

EVQLVESGGG LVQPGGSLRL SCAASGFTFS SYVMSWVRQA PGKLEWVAT 50  
 ISSGGSITYY FDSVKGRETI SRDANKNTLY LQMNSLRAED TAVVYCARRG 100  
 DSMITTDYWG QGTLVTVSSG SASAPTLFPL VSCENSPSDT SSVAVGCLAQ 150  
 DFLPDSITFS WKYKNSDIS STRGFPSVLR GKYAATSQV LLPSKDVMQG 200  
 TDEHVVCKVQ HPNGNKEKNV PLPVIAELFP KVSFVFPFRD GFFGNPKRSK 250  
 LICQATGFSF RQIQVSWLRE GKQVGSQVTT DQVQAEAKES GFTTYKVTST 300  
 LTIKESDWLS QSMFTCRVDH RGLTFQQNAS SMCVPDQDTA IRVFAIPPSF 350  
 ASIFLTKSTK LTCLVTDLTT YDSVTISWTR QNGEAVKTHT NISESHPNAT 400  
 FSAVGEASIC EDDWNSGERF TCTVTHDLP SPLKQITSRP KGVALHRPDV 450  
 YLLPPAREQL NLRASATITC LVTGFSPADV FVQWMQRGQP LSPKIVTSA 500  
 PMPEPQAPGR YFAHSILTVS EEEWNTGETY TCVVAHEALP NRVTERTVDK 550  
 STGKPTLYNV SLVMSDTAGT CY 572

Light chain / Chaîne légère / Cadena ligera : L-kappa (L', L<sup>κ</sup>) anti-TNFRSF10B (x10)

DIQMTQSPSS LSASVGDRTV ITCKASQDVG TAVAWYQQKPK GKAPKLLIYW 50  
 ASTRHTGVPS RFGSGSGSDT FTLTISLQPF EDFATYYCQQ YSSYRTFQQG 100  
 TKVELIKRTVA APSVFIFPPS DEQLKSGTAS VVCLLNFFYP REAKVQKWDV 150  
 NALQSGNSQE SVTEQDSKDS TYSLSSTLTL SKADYERHKV YACEVTHQGL 200  
 SSPVTKSFNR GEC 213

Joining chain / Chaîne de jonction / Cadena de unión : JCHAIN (J<sup>μ</sup>) (x1)

QEDERIVLVD NKCKCARITS RIIRSSDPN EDIVERNIRI IVPLNNRENI 50  
 SDPTSPRLTR FVYHLSDLCK KCDPTEVELD NQIVTATQSN ICDEDSATET 100  
 CATYDRNKCY TAVVPLVYGG ETMKVETALT PDACYPD 137

## Post-translational modifications

## Disulfide bridges location / Position des ponts disulfure / Posiciones de los puentes disulfuro

Intra-H (C23-C104)	22-96	147-207	253-316	363-422	470-532	5x5
	22"-96"	147"-207"	253"-316"	363"-422"	470"-532"	5x5
Intra-L (C23-C104)	23"-88"	133"-193"				2x5
	23""-88""	133""-193""				2x5
Intra-J (JCHAIN)	13 <sup>'''</sup> -101 <sup>'''</sup>	72 <sup>'''</sup> -92 <sup>'''</sup>	109 <sup>'''</sup> -134 <sup>'''</sup>			3
Inter-H-L (CH1 10-CL 126)	133-213 <sup>''</sup>	133"-213"				2x5
Inter-H-H (CH2 125)	333-333 <sup>'</sup>					5
Inter-H-H (CH3 92)	410-410 <sup>'</sup>					4*
Inter-H-H (CHS 147)	571"-571"					2
Inter-H-J (CHS 147-J) (J-CHS 147)	571"-15 <sup>'''</sup>	69 <sup>'''</sup> -571				4
Total S-S per pentamer						98

\*two unpaired cysteines 410, 410"

## N-terminal glutaminyl cyclization / Cyclisation du glutaminyle N-terminal / Ciclación del glutaminilo N-terminal

Q &gt; pyroglutamyl (pE, 5-oxopropyl) / pyroglutamyle (pE, 5-oxopropyle) / piroglutamilo

(pE, 5-oxopropilo)

J chain Q1: 1<sup>'''</sup>

## N-glycosylation sites / Sites de N-glycosylation / Posiciones de N-glicosilación

H CH1 N45, CH2 N120, CH3 N81, N84.4, CHS N7 (50 sites per pentamer):

N165, N328, N391, N398, N559 (5x)

N165", N328", N391", N398", N559" (5x)

J JCHAIN (1x): 49<sup>'''</sup>

Fucosylated complex bi-antennary CHO-type glycans or high mannose glycans / glycanes de type CHO bi-antennaires complexes fucosylés ou glycanes riche en mannose / glicanos de tipo CHO biantenaricos complejos fucosilados o glicanos ricos en manosa

biantenaricos complejos fucosilados o glicanos ricos en manosa

**arlocabtagenium autoleucelum #**

## arlocabtagene autoleucel

autologous T lymphocytes obtained from peripheral blood mononuclear cells (PBMCs) by leukapheresis, transduced with a self-inactivating, non-replicating lentiviral vector encoding a chimeric antigen receptor (CAR) targeting G protein-coupled receptor, class C group 5 member D (GPCR5D). The expressed transgene comprises a human CD33 leader sequence, a human GPCR5D-specific single chain variable fragment (scFv) binding domain (clone ET150-8), an IgG4 hinge region, CD28 transmembrane domain, 4-1BB co-stimulatory domain and CD3ζ signalling domain, under control of a hybrid human elongation factor 1 alpha (EF-1α) promoter / human T-cell leukemia virus type 1 (HTLV-1) R enhancer. The construct is flanked by 5' and 3' long terminal repeats (LTRs) and also contains a ψ packaging signal, partial gag, a Rev response element (RRE), a Flap structure and a Woodchuck hepatitis virus posttranscriptional regulatory element (WPRE). The vector is pseudotyped with the vesicular stomatitis virus (VSV) G envelope protein. The PBMCs are enriched for CD8+ and CD4+ T lymphocytes, which are subsequently cultured together, activated with a magnetic-based CD3/CD28 activation reagent, and then



transduced with the lentiviral vector encoding the GPRC5D-specific CAR. The cells are expanded in serum-free media containing interleukin-2, interleukin-7 and interleukin-15 to obtain the necessary number of CD3+ CAR+ cells and then harvested. The cells are ≥80% CD3+, with ≥10% CAR+. The cells respond to GPRC5D-expressing target cells by producing an array of pro-inflammatory cytokines and demonstrate cytotoxicity against the target tumour cells  
*cell-based gene therapy (antineoplastic)*

arlocabtagène autoleucel

lymphocytes T autologues obtenus à partir de cellules mononucléaires de sang périphérique (PBMC) par leucaphérèse, transduits avec un vecteur lentiviral auto-inactif et non répliquant codant un récepteur antigénique chimérique (CAR) ciblant le récepteur couplé à la protéine G, classe C groupe 5 membre D (GPRC5D). Le transgène exprimé comprend une séquence de tête CD33 humaine, un domaine de liaison du fragment variable à chaîne unique (scFv) spécifique du GPRC5D humain (clone ET150-8), une région charnière IgG4, un domaine transmembranaire CD28, un domaine de costimulation 4-1BB et un domaine de signalisation CD3ζ, sous le contrôle d'un promoteur hybride du facteur d'élongation 1 alpha humain (EF-1α) / d'un amplificateur R du virus de la leucémie à cellules T humaines de type 1 (HTLV-1). La construction est flanquée de répétitions terminales longues (LTR) en 5' et 3' et contient également un signal d'encapsidation ψ, un gag partiel, un élément de réponse Rev (RRE), une structure Flap et un élément de régulation post-transcriptionnelle du virus de l'hépatite de la marmotte (WPRE). Le vecteur est pseudotypé avec la protéine d'enveloppe G du virus de la stomatite vésiculaire (VSV).  
Les PBMCs sont enrichis en lymphocytes T CD8+ et CD4+ qui sont ensuite cultivés ensemble, activés avec un réactif d'activation CD3/CD28 à base magnétique, puis transduits avec le vecteur lentiviral codant le CAR spécifique du GPRC5D. Les cellules sont amplifiées dans un milieu sans sérum contenant de l'interleukine-2, de l'interleukine-7 et de l'interleukine-15 afin d'obtenir le nombre de cellules CD3+ CAR+ nécessaire, puis elles sont prélevées. Les cellules sont ≥80 % CD3+, avec ≥10 % CAR+. Les cellules répondent aux cellules cibles exprimant le GPRC5D en produisant une série de cytokines pro-inflammatoires et démontrent une cytotoxicité contre les cellules tumorales cibles  
*thérapie génique à base de cellules (antineoplasique)*

arlocabtagén autoleucel

linfocitos T autólogos obtenidos de células mononucleares de sangre periférica (PBMC) mediante leucoaféresis, transducidos con un vector lentiviral no replicativo, auto inactivante, que codifica para un receptor de antígenos quimérico (CAR) dirigido al receptor acoplado a proteína G, clase C, grupo 5, miembro D (GPRC5D). El transgén expresado contiene una secuencia líder del CD33 humano, un dominio de unión como fragmento variable de cadena sencilla (scFv) específico de GPRC5D humano (clon ET150-8), una región bisagra de IgG4, un dominio transmembrana de CD28, un dominio coestimulador de 4-1BB y un dominio de señalización de CD3ζ, bajo el control de un promotor híbrido del factor de elongación 1 alfa (EF-1α) humano / potenciador R del virus de la leucemia de linfocitos T tipo 1 (HTLV-1) humano. El constructo está flanqueado por repeticiones terminales largas (LTRs) en 5' y 3' y también

contiene una señal de empaquetamiento  $\psi$ , *gag* parcial, un elemento de respuesta Rev (RRE), una estructura Flap y un elemento regulador post-transcripcional del virus de la hepatitis de la marmota (WPRE). El vector está seudotipado con la proteína G de la envuelta del virus de la estomatitis vesicular (VSV).

Las PBMCs se enriquecen para linfocitos T CD4+ y CD8+ que son después cultivados juntos, activados con un reactivo de activación CD3/CD28 de base magnética y después transducidos con el vector lentiviral que codifica para el CAR específico de GPRC5D. Las células se expanden en medio sin suero que contiene interleuquina 2, interleuquina 7 e interleuquina 15 para obtener el número de células CD3+ CAR+ necesario y después se cosechan. Las células son  $\geq 80\%$  CD3+, con  $\geq 10\%$  CAR+. Las células responden a células diana que expresan GPRC5D produciendo un conjunto de citoquinas proinflamatorias y demuestran citotoxicidad contra las células diana tumorales

*terapia génica basada en células (antineoplásico)*

### asandeutertinibum

asandeutertinib

*N*-[2-{{[2-(dimethylamino)ethyl](methyl)amino]-4-methoxy-5-{{4-[1-( $^2$ H<sub>3</sub>)methyl-1*H*-indol-3-yl]pyrimidin-2-yl}amino)phenyl]prop-2-enamide  
*epidermal growth factor receptor (EGFR) tyrosine kinase inhibitor, antineoplastic*

asandeutertinib

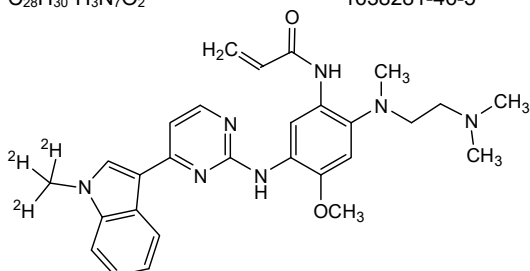
*N*-[2-{{[2-(diméthylamino)éthyl](méthyl)amino]-4-méthoxy-5-{{4-[1-( $^2$ H<sub>3</sub>)méthyl-1*H*-indol-3-yl]pyrimidin-2-yl}amino)phényl]prop-2-énamide  
*inhibiteur de la tyrosine kinase du récepteur du facteur de croissance épidermique (EGFR), antinéoplasique*

asandeutertinib

*N*-[2-{{[2-(dimetilamino)etil](metil)amino]-5-{{4-[1-( $^2$ H<sub>3</sub>)metil-1*H*-indol-3-il]pirimidin-2-il}amino)-4-metoxifenil]prop-2-enamida  
*inhibidor de la tirosina kinasa del receptor del factor de crecimiento epidérmico (EGFR), antineoplásico*

C<sub>28</sub>H<sub>30</sub><sup>2</sup>H<sub>3</sub>N<sub>7</sub>O<sub>2</sub>

1638281-46-5



**asengeprastum**

asengeprast

2-[(2*E*)-3-{3-methoxy-4-[(prop-2-yn-1-yl)oxy]phenyl}prop-2-enamido]benzoic acid  
*G protein-coupled receptor 68 (GPR68) antagonist, anti-inflammatory*

asengéprast

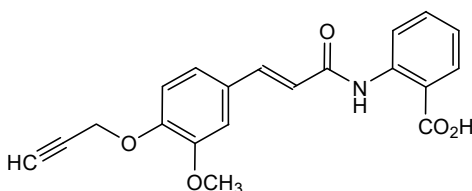
acide 2-[(2*E*)-3-{3-méthoxy-4-[(prop-2-yn-1-yl)oxy]phényl}prop-2-énamido]benzoïque  
*antagoniste du récepteur 68 couplé aux protéines G (GPR68), anti-inflammatoire*

asengeprast

ácido 2-[(2*E*)-3-{3-metoxi-4-[(prop-2-in-1-il)oxi]fenil}prop-2-enamido]benzoico  
*antagonista del receptor acoplado a proteína G 68 (GPR68), antiinflamatorio*

C<sub>20</sub>H<sub>17</sub>NO<sub>5</sub>

1001288-58-9

**ateganosinum**

ateganosine

2'-deoxy-6-thioguanosine  
*nucleoside analogue, antineoplastic*

atéganosine

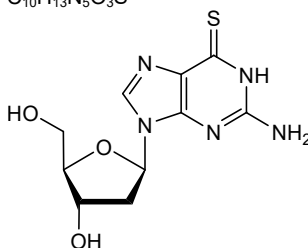
2'-désoxy-6-thioguanosine  
*analogue de nucléoside, antinéoplasique*

ateganosina

2'-desoxi-6-tioguanosina  
*análogo de nucleósido, antineoplásico*

C<sub>10</sub>H<sub>13</sub>N<sub>5</sub>O<sub>3</sub>S

789-61-7

**atigotatugum #**

atigotatug

immunoglobulin G1-kappa, anti-[Fucosyl-GM1 (fucosylated monosialoganglioside 1)], *Homo sapiens* monoclonal antibody;  
 H-gamma1 heavy chain *Homo sapiens* (1-452) [VH (*Homo sapiens* IGHV3-48\*02 (90.7%) -(IGHD) - IGHJ3\*01 (92.3%) M123>T (117), CDR-IMGT [8.8.15] (26-33.51-58.97-111)) (1-122) -*Homo sapiens* IGHG1\*03 (100%), G1m3, nG1m1 CH1 R120, CH3 E12, M14 (CH1 R120 (219) (123-220), hinge 1-15 (221-235), CH2 (236-345), CH3 E12 (361), M14 (363) (346-450), CHS (451-452)) (123-452)], (225-214')-

- disulfide with L-kappa light chain *Homo sapiens* (1'-214') [V-KAPPA (*Homo sapiens* IGKV1D-16\*01 (100%) -IGKJ4\*01 (100%), CDR-IMGT [6.3.9] (27'-32'.50'-52'.89'-97')) (1'-107') -*Homo sapiens* IGKC\*01 (100%), Km3 A45.1 (153'), V101 (191') (108'-214')]; dimer (231-231":234-234")-bisdisulfide, produced in a Chinese hamster ovary (CHO) cell line lacking the enzyme alpha-(1,6)-fucosyltransferase (FUT8), glycoform alfa  
*antineoplastica*
- atigotatug immunoglobuline G1-kappa, anti-[Fucosyl-GM1 (monosialoganglioside 1 fucosylé)], anticorps monoclonal *Homo sapiens*;  
chaîne lourde H-gamma1 *Homo sapiens* (1-452) [VH (*Homo sapiens* IGHV3-48\*02 (90.7%) -(IGHD) -IGHJ3\*01 (92.3%) M123>T (117), CDR-IMGT [8.8.15] (26-33.51-58.97-111)) (1-122) -*Homo sapiens* IGHG1\*03 (100%), G1m3, nG1m1 CH1 R120, CH3 E12, M14 (CH1 R120 (219) (123-220), charnière 1-15 (221-235), CH2 (236-345), CH3 E12 (361), M14 (363) (346-450), CHS (451-452)) (123-452)], (225-214')-disulfure avec la chaîne légère L-kappa *Homo sapiens* (1'-214') [V-KAPPA (*Homo sapiens* IGKV1D-16\*01 (100%) -IGKJ4\*01 (100%), CDR-IMGT [6.3.9] (27'-32'.50'-52'.89'-97')) (1'-107') -*Homo sapiens* IGKC\*01 (100%), Km3 A45.1 (153'), V101 (191') (108'-214')]; dimère (231-231":234-234")-bisdisulfure, produit dans une lignée cellulaire des cellules ovariennes de hamster chinois (CHO) ne présentant pas l'enzyme alpha-(1,6)-fucosyltransférase (FUT8), glycoforme alfa  
*antineoplastique*
- atigotatug inmunoglobulina G1-kappa, anti-[Fucosil-GM1 (monosialogangliósido 1 fucosilado)], anticuerpo monoclonal *Homo sapiens*;  
cadena pesada H-gamma1 *Homo sapiens* (1-452) [VH (*Homo sapiens* IGHV3-48\*02 (90.7%) -(IGHD) -IGHJ3\*01 (92.3%) M123>T (117), CDR-IMGT [8.8.15] (26-33.51-58.97-111)) (1-122) -*Homo sapiens* IGHG1\*03 (100%), G1m3, nG1m1 CH1 R120, CH3 E12, M14 (CH1 R120 (219) (123-220), bisagra 1-15 (221-235), CH2 (236-345), CH3 E12 (361), M14 (363) (346-450), CHS (451-452)) (123-452)], (225-214')-disulfuro con la cadena ligera L-kappa *Homo sapiens* (1'-214') [V-KAPPA (*Homo sapiens* IGKV1D-16\*01 (100%) -IGKJ4\*01 (100%), CDR-IMGT [6.3.9] (27'-32'.50'-52'.89'-97')) (1'-107') -*Homo sapiens* IGKC\*01 (100%), Km3 A45.1 (153'), V101 (191') (108'-214')]; dímero (231-231":234-234")-bisdisulfuro, producido en una línea celular de las células ováricas de hámster chino (CHO) en ausencia de la enzima alfa-1,6-fucosiltransferasa (FUT8), forma glicosilada alfa  
*antineoplásico*

2733581-82-1

Heavy chain / Chaîne lourde / Cadena pesada

EVQLVESGGG	SVQPGEISRL	SCVASGFTFS	RYKMNWVRQA	PGKLEWVSY	50
ISRSGRDIYY	ADSVKGRFTI	SRDNAKNSLY	LQMNSLRDED	TAVYYCAGTV	100
TTYYYDFGMD	VWGQGTIVTV	SSASTKGPSV	FPLAFSSKST	SGGTAALGCL	150
VKDYFPEPVT	VSWNSGALTS	GVHTFPAVLQ	SSGLYLSLSSV	VTVPSSSLGT	200
QTYICNVNHR	FSNTKVDKRV	EPKSCDKTHT	CPFCFAPELL	GGPSVFLFPP	250
KPKDTLMISR	TPDYTCVVVD	VSHEDPEVFK	NWYVDGVEVH	NAKTKFREQ	300
YNSTYRVVSV	ITVLIHQDWLN	GKEYKCKVSN	KALPAPIEKT	ISKAKGQPRE	350
PQVYTLPPSR	EMTKNQVSL	TCLVKGFYPS	DAVAEWESNG	QPENNYKTFP	400
PVLDSDGGSFF	LYSKLTVDKS	RWQQNVFSC	SVMHEALHNN	YTKSLSLSP	450
GK					452

Light chain / Chaîne légère / Cadena ligera

DIQMTQSPFS	LSASVGDRTV	ITCRASQGIS	SWLAWYQQKPK	EKAPKSLIYA	50
ASSLQSGVPS	RFGSGSGSDT	FTLTISLQPF	EDFATYYCQQ	YNSYPTFGG	100
GTRVEIKRIV	AAPSVFIFPP	SDEQLKSGTA	SUVCLLNIFY	PREAKVQWRK	150
DNALQSGNSQ	ESVTEQDSKD	STYLSLSTLT	LSKADYEKHK	VIACEVTHGG	200
LSSPVTKSFN	RGEC				214

**Post-translational modifications**

Disulfide bridges location / Position des ponts disulfure / Posiciones de los puentes disulfuro

Intra-H (C23-C104) 22-96 149-205 266-326 372-430  
 22"-96" 149"-205" 266"-326" 372"-430"

Intra-L (C23-C104) 23"-88" 134"-194"  
 23"-88" 134"-194"

Inter-H-L (h 5-CL 126) 225-214" 225"-214"

Inter-H-H (h 11, h 14) 231-231" 234-234"

N-glycosylation sites / Sites de N-glycosylation / Posiciones de N-glicosilación

H CH2 N84.4: 302, 302"

Afucoylated complex bi-antennary CHO-type glycans / glycanes de type CHO bi-antennair complexes afucosylés / glicanos de tipo CHO biantenarijos complejos afucosilados

C-terminal lysine clipping / Coupeure de la lysine C-terminale / Recorte de lisina C-terminal  
H CHS K2: 452, 452"**atumelnantum**

atumelnant

*N*-[(3*S*)-1-azabicyclo[2.2.2]octan-3-yl]-6-(2-ethoxyphenyl)-3-{{(2*R*)-2-ethyl-4-[1-(trifluoromethyl)cyclobutane-1-carbonyl]piperazin-1-yl}pyridine-2-carboxamide  
*adrenocorticotropic hormone receptor antagonist*

atumelnant

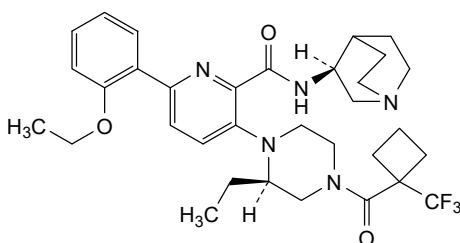
*N*-[(3*S*)-1-azabicyclo[2.2.2]octan-3-yl]-6-(2-éthoxyphényl)-3-{{(2*R*)-2-éthyl-4-[1-(trifluorométhyl)cyclobutane-1-carbonyl]pipérazin-1-yl}pyridine-2-carboxamide  
*antagoniste du récepteur de l'hormone adrénocorticotrope*

atumelnant

*N*-[(3*S*)-1-azabicyclo[2.2.2]octan-3-il]-3-{{(2*R*)-2-etil-4-[1-(trifluorometil)ciclobutano-1-carbonil]piperazin-1-il}-6-(2-etoxifenil)piridina-2-carboxamida  
*antagonista del receptor de la hormona adrenocorticotrópica*

C<sub>33</sub>H<sub>42</sub>F<sub>3</sub>N<sub>5</sub>O<sub>3</sub>

2392970-97-5



**avitotamigum #**  
avitotamig

immunoglobulin G1<sub>L</sub>-kappa-scFv<sub>h</sub>k, anti-[*Homo sapiens* CD33 (sialic acid binding Ig-like lectin 3, SIGLEC3, SIGLEC-3, gp67, p67)] and anti-[*Homo sapiens* CD3E (CD3 epsilon, Leu-4)], humanized monoclonal antibody, bispécifique, tétravalent; H-gamma1 heavy chain anti-CD33 humanized (1-449) [VH (*Homo sapiens* IGHV1-2\*02 (85.7%) -(IGHD) -IGHJ4\*01 (86.7%) T122>S (113), L123>S (114), CDR-IMGT [8.8.12] (26-33.51-58.97-108)) (1-119)-*Homo sapiens* IGHG1\*01v, G1m17,1>G1m3,1 CH1 R120, CH3 D12, L14, G1v29 CH2 A84.4, G1v20 CH2 A105 (CH1 R120 (216) (120-217), hinge 1-15 (218-232), CH2 N84.4>A (299), K105>A (324) (233-342), CH3 D12 (358), L14 (360) (343-447), CHS (448-449)) (120-449)], (222-213')-disulfide with the L-kappa-scFv<sub>h</sub>k chain humanized (1'-486') [L-kappa light chain anti-CD33 humanized (1'-213') [V-KAPPA (*Homo sapiens* IGKV1-33\*01 (88.3%) -IGKJ2\*01 (88.3%) Q120>A (99'), I126>L (105'), CDR-IMGT [6.3.8] (27'-32'.50'-52'.89'-96')) (1'-106') -*Homo sapiens* IGKC\*01 (100%), Km3, A45.1 (152'), V101 (190') (107'-213')] - 17-mer threonyl-seryl-tris(tétraglycyl-séryl) linker (214'-230') - scFv<sub>h</sub>k anti-CD3E humanized (231'-486') [VH (*Homo sapiens* IGHV3-30\*10 (70.4%) -(IGHD) -IGHJ4\*01 (85.7%) L123>P (344'), CDR-IMGT [8.8.12] (255'-263'.281'-288'.327'-338') C114>S (335')) (231'-349') -30-mer hexakis(tétraglycyl-séryl) linker (350'-379') -V-KAPPA (*Homo sapiens* IGKV1-33\*01 (81.1%) -(IGHD) -IGKJ2\*02 (80.0%) Q120>C (478'), E125>Q (483'), CDR-IMGT [5.3.9] (406'-410'.428'-430'.467'-475')) (380'-486')]]; dimer (228-228":231-231")-bisdisulfide, produced in Chinese hamster ovary (CHO) cells, cell line CHO-DG44, non-glycosylated  
*antineoplastic*

avitotamig

immunoglobuline G1<sub>L</sub>-kappa-scFv<sub>h</sub>k, anti-[*Homo sapiens* CD33 (lectine 3 de type Ig-like liant l'acide sialique, SIGLEC3, SIGLEC-3, gp67, p67)] et anti-[*Homo sapiens* CD3E (CD3 epsilon, Leu-4)], anticorps monoclonal humanisé, bispécifique, tétravalent; chaîne lourde H-gamma1 anti-CD33 humanisée (1-449) [VH (*Homo sapiens* IGHV1-2\*02 (85.7%) -(IGHD) -IGHJ4\*01 (86.7%) T122>S (113), L123>S (114), CDR-IMGT [8.8.12] (26-33.51-58.97-108)) (1-119)-*Homo sapiens* IGHG1\*01v, G1m17,1>G1m3,1 CH1 R120, CH3 D12, L14, G1v29 CH2 A84.4, G1v20 CH2 A105 (CH1 R120 (216) (120-217), charnière 1-15 (218-232), CH2 N84.4>A (299), K105>A (324) (233-342), CH3 D12 (358), L14 (360) (343-447), CHS (448-449)) (120-449)], (222-213')-disulfure avec la chaîne L-kappa-scFv<sub>h</sub>k humanisée (1'-486') [L-kappa chaîne légère anti-CD33 humanisée (1'-213') [V-KAPPA (*Homo sapiens* IGKV1-33\*01 (88.3%) -IGKJ2\*01 (88.3%) Q120>A (99'), I126>L (105'), CDR-IMGT [6.3.8] (27'-32'.50'-52'.89'-96')) (1'-106') -*Homo sapiens* IGKC\*01 (100%), Km3, A45.1 (152'), V101 (190') (107'-213')] - 17-mer thréonyl-séryl-tris(tétraglycyl-séryl) linker (214'-230') - scFv<sub>h</sub>k anti-CD3E humanisé (231'-486') [VH (*Homo sapiens* IGHV3-30\*10 (70.4%) -(IGHD) -IGHJ4\*01 (85.7%) L123>P (344'), CDR-IMGT [8.8.12] (255'-263'.281'-288'.327'-338') C114>S (335')) (231'-349') -30-mer hexakis(tétraglycyl-séryl) linker (350'-379') -V-KAPPA (*Homo sapiens* IGKV1-33\*01 (81.1%) -(IGHD) -IGKJ2\*02 (80.0%) Q120>C (478'), E125>Q (483'), CDR-IMGT [5.3.9] (406'-410'.428'-430'.467'-475')) (380'-486')]]; dimère (228-228":231-231")-bisdisulfure, produit dans des cellules ovariennes de hamster chinois (CHO), lignée cellulaire CHO-DG44, non-glycosylé  
*antinéoplasique*

avitotamig

inmunoglobulina G1<sub>L</sub>-kappa-scFv<sub>h</sub>k, anti-[*Homo sapiens* CD33 (lectina 3 de tipo Ig que se une al ácido siálico, SIGLEC3, SIGLEC-3, gp67, p67)] y anti-[*Homo sapiens* CD3E (CD3 épsilon, Leu-4)], anticuerpo monoclonal humanizado, biespecífico, tetravalente; cadena pesada H-gamma1 anti-CD33 humanizada (1-449) [VH (*Homo sapiens* IGHV1-2\*02 (85.7%) -(IGHD) -IGHJ4\*01 (86.7%) T122>S (113), L123>S (114), CDR-IMGT [8.8.12] (26-33.51-58.97-108)) (1-119)-*Homo sapiens* IGHG1\*01v, G1m17.1>G1m3,1 CH1 R120, CH3 D12, L14, G1v29 CH2 A84.4, G1v20 CH2 A105 (CH1 R120 (216) (120-217), bisagra 1-15 (218-232), CH2 N84.4>A (299), K105>A (324) (233-342), CH3 D12 (358), L14 (360) (343-447), CHS (448-449)) (120-449)], (222-213')-disulfuro con la cadena L-kappa-scFv<sub>h</sub>k humanizada (1'-486') [L-kappa cadena ligera anti-CD33 humanizada (1'-213') [V-KAPPA (*Homo sapiens* IGKV1-33\*01 (88.3%) -IGKJ2\*01 (88.3%) Q120>A (99'), I126>L (105') , CDR-IMGT [6.3.8] (27'-32'.50'-52'.89'-96'')] (1'-106') -*Homo sapiens* IGKC\*01 (100%), Km3, A45.1 (152'), V101 (190') (107'-213')] -17-mer treonil-seril-tris(tetraglicil-seril) enlace (214'-230') -scFv<sub>h</sub>k anti-CD3E humanizado (231'-486') [VH (*Homo sapiens* IGHV3-30\*10 (70.4%) -(IGHD) -IGHJ4\*01 (85.7%) L123>P (344'), CDR-IMGT [8.8.12] (255'-263'.281'-288'.327'-338') C114>S (335'')] (231'-349') -30-mer hexakis(tetraglicil-seril) enlace (350'-379') -V-KAPPA (*Homo sapiens* IGKV1-33\*01 (81.1%) -(IGHD) -IGKJ2\*02 (80.0%) Q120>C (478'), E125>Q (483'), CDR-IMGT [5.3.9] (406'-410'.428'-430'.467'-475'')] (380'-486'')]; dímero (228-228":231-231")-bisdisulfuro, producido en las células ováricas de hámster chino (CHO), línea celular CHO-DG44, no glicosilado *antineoplásico*

2577961-36-3

Heavy chain / Chaîne lourde / Cadena pesada : H-gamma1 (H, H<sup>m</sup>) anti-CD3

QVQLQQSGAE	VVKPGASVKV	SCKASGYSFT	DYNYMWRQA	PGQGLEWMGY	50
IDPKRGGTIY	NQKFRGRATL	TRDTSISTAY	MELSRRLRSD	TAVYYCAREM	100
ITAYYFDYWG	QGSSVTSSA	STKGPSVFP	APSSKSTSGG	TAALGCLVKD	150
YFPEPVTWSW	NSGALTSVGH	TFPAVLQSSG	LYSLSSVTV	PSSSLGTQTY	200
ICMNVNPKPSN	TKVDKRVPEK	SCDKTHTCCP	CPAPELLGGP	SVFLFPPKPK	250
DTLMSRTPTE	VTCVVVDVSH	EDPEVKFNWY	VDGVEVHNAK	TKPREEQYAS	300
TYRIVSVLTV	LHQDWLNGKE	YKCAVSNKAL	PAPIEKTISK	ARGQPPEPVV	350
YTLPPSRDEL	TKNQVSLTCL	VKGFPYSDIA	VEWESNGQPE	NNYKTTTPPVV	400
DSDGSEFFLYS	KLTVDKSRWQ	QGNVDFSCVM	HEALHNHYTQ	KSLSLSPGK	449

Light chain / Chaîne légère / Cadena ligera : L-kappa (L, L<sup>m</sup>) anti-CD33 - scFv<sub>h</sub>k anti-CD3E

DIQMTQSPSS	LSASVGRDVT	ITCKAQSDIN	KYIAWYQHKP	GRAPKLLIYY	50
ASNLQPGVPS	RFSGSGSGRD	FTFTISSLQP	EDIATYCYCLQ	YDNLITFGAG	100
TKLELKRITVA	APSVFIFPPS	DEQLKSGTAS	VVCLLNNFYP	REAKVQWVKD	150
NALQSGNSQE	SVTEQDSKDS	TYSLSSTLTL	SKADYEKHKV	YACEVTHQGL	200
SSPVTKSPNR	GECTSGGGGS	GGGSGGGGGS	QVQLVQSGGG	VVQPGRSRLR	250
SCKASGYTFT	RYTMHWVRQA	PGKCLEWIGY	INPSRGYTNY	NQKFKDRFTI	300
SRDNSKNTAF	LQMDSLRPEL	TGVIYFCARY	DDHYSLDYWG	QGTPTVTVSSG	350
GGGSGGGGGS	GGGSGGGGSG	GGGSGGGGSD	IQMTQSPSSL	SASVGRDVTY	400
TCSASSVSYS	MNWYQQTGPK	APKRWIYDTS	KLASGVPSRF	SGSGSGTDTY	450
FTISLQLPED	IATYCCQQWS	SNPFTFGCGT	KLQITR		486

**Post-translational modifications**

Disulfide bridges location / Position des ponts disulfure / Posiciones de los puentes disulfuro

Intra-H (C23-C104)	22'-96"	146"-202"	263"-323"	369"-427"
	22"-96"	146"-202"	263"-323"	369"-427"
Intra-L (C23-C104)	23'-88"	133'-193"	252'-326"	402'-466"
	23"-88"	133"-193"	252"-326"	402"-466"
Intra-L scFv C49 (VH)-C120 (VL)*		274"-478"		
		274"-478"		
Inter-H-L (h 5-CL 126)	222-213'	222"-213"		
Inter-H-H (h 11, h 14)	228-228"	231-231"		

\* Engineered additional disulfide bond to stabilize the scFv.

N-terminal glutaminyl cyclization / Cyclisation du glutaminyle N-terminal / Ciclación del glutaminilo N-terminal  
 Q > pyroglutamyl (pE, 5-oxopropyl) / pyroglutamyle (pE, 5-oxopropyle) / piroglutamilo (pE, 5-oxoprolilone)  
 H VH Q1: 1, 1"

No N-glycosylation sites / pas de sites de N-glycosylation / ningún posición de N-glycosilación  
 H CH2 N84.4>A (G1v29): 299, 299"

C-terminal lysine clipping / Coupure de la lysine C-terminale / Recorte de lisina C-terminal  
 H CHS K2: 449, 449"

**azirkitugum #**  
azirkitug

immunoglobulin G1-kappa, anti-[*Homo sapiens* CCR8 (C-C motif chemokine receptor 8, CKR-L1, CDw198)], humanized monoclonal antibody;

H-gamma1 heavy chain humanized (1-450) [VH (*Homo sapiens* IGHV3-73\*01 (84.8%) -(IGHD) -IGHJ4\*01 (92.9%), CDR-IMGT [8.10.11] (26-33.51-60.99-109)) (1-120) -*Homo sapiens* IGHG1\*03v, G1m3>G1m17, nG1m1 CH1 K120, CH3 E12, M14 (CH1 R120>K (217) (121-218), hinge 1-15 (219-233), CH2 (234-343), CH3 E12 (359), M14 (361) (344-448), CHS (449-450)) (121-450)], (223-214')-disulfide with L-kappa light chain humanized (1'-214') [V-KAPPA (*Homo sapiens* IGKV3-11\*01 (78.9%) -IGKJ2\*01 (100%), CDR-IMGT [6.3.9] (27'-32'.50'-52'.89'-97')) (1'-107') -*Homo sapiens* IGKC\*01 (100%), Km3 A45.1 (153'), V101 (191') (108'-214')]; dimer (229-229":232-232")-bisdisulfide, produced in a Chinese hamster ovary (CHO) cell line, derived from the cell line CHO-DUX-B11, lacking the enzyme dihydrofolate reductase (DHFR), and co-expressing the RMD enzyme (GDP-6-deoxy-D-lyxo-4-hexulose reductase), glycoform alfa  
*immunomodulator, antineoplastique*

azirkitug

immunoglobuline G1-kappa, anti-[*Homo sapiens* CCR8 (récepteur 8 de chimiokine C-C motif, CKR-L1, CDw198)], anticorps monoclonal humanisé;

chaîne lourde H-gamma1 humanisée (1-450) [VH (*Homo sapiens* IGHV3-73\*01 (84.8%) -(IGHD) -IGHJ4\*01 (92.9%), CDR-IMGT [8.10.11] (26-33.51-60.99-109)) (1-120) -*Homo sapiens* IGHG1\*03v, G1m3>G1m17, nG1m1 CH1 K120, CH3 E12, M14 (CH1 R120>K (217) (121-218), charnière 1-15 (219-233), CH2 (234-343), CH3 E12 (359), M14 (361) (344-448), CHS (449-450)) (121-450)], (223-214')-disulfure avec la chaîne légère L-kappa humanisée (1'-214') [V-KAPPA (*Homo sapiens* IGKV3-11\*01 (78.9%) -IGKJ2\*01 (100%), CDR-IMGT [6.3.9] (27'-32'.50'-52'.89'-97')) (1'-107') -*Homo sapiens* IGKC\*01 (100%), Km3 A45.1 (153'), V101 (191') (108'-214')]; dimère (229-229":232-232")-bisdisulfure, produit dans une lignée cellulaire des cellules ovariennes de hamster chinois (CHO), dérivant de la lignée cellulaire CHO-DUX-B11, ne présentant pas l'enzyme dihydrofolate réductase (DHFR), et co-exprimant l'enzyme RMD (GDP-6-désoxy-D-lyxo-4-hexulose réductase), glycoforme alfa  
*immunomodulateur, antinéoplasique*

azirkitug

inmunoglobulina G1-kappa, anti-[*Homo sapiens* CCR8 (receptor 8 de quimiocina C-C motivo, CKR-L1, CDw198)], anticuerpo monoclonal humanizado;

cadena pesada H-gamma1 humanizada (1-450) [VH (*Homo sapiens* IGHV3-73\*01 (84.8%) -(IGHD) -IGHJ4\*01 (92.9%), CDR-IMGT [8.10.11] (26-33.51-60.99-109)) (1-120) -*Homo sapiens* IGHG1\*03v, G1m3>G1m17, nG1m1 CH1 K120, CH3 E12, M14 (CH1 R120>K (217) (121-218), bisagra1-15 (219-233), CH2 (234-343), CH3 E12 (359), M14 (361) (344-448), CHS (449-450)) (121-450)], (223-214')-disulfuro con la cadena ligera L-kappa humanizada (1'-214') [V-KAPPA (*Homo sapiens* IGKV3-11\*01 (78.9%) -IGKJ2\*01 (100%), CDR-IMGT [6.3.9] (27'-32'.50'-52'.89'-97')) (1'-107') -*Homo sapiens* IGKC\*01 (100%), Km3 A45.1 (153'), V101 (191') (108'-214')]; dímero (229-229":232-232")-bisdisulfuro, producido en una línea celular de las células ováricas de hámster chino (CHO), línea celular derivada de CHO-DUX-B11, en ausencia de la enzima dihidrofolato reductasa (DHFR), y coexpresando la enzima RMD (GDP-6-desoxi-D-lixo-4-hexulosa reductasa), forma glicosilada alfa  
*immunomodulador, antineoplásico*



2837169-12-5

Heavy chain / Chaîne lourde / Cadena pesada  
 EVQLVESGGG LVQPGGSLKL SCAASGPIFS NAVMYWVRQA SGKGLEWVAR 50  
 IKTKFNRYAT YYADAVKGRF TISRDDSKNM VYLQMNLSKT EDTAVYYCTA 100  
 GDRNKFPAFAY GQGTLVTVSS ASTKGPSVFP LAPSSKSTSG GTAALGCLVK 150  
 DYFPEFVTVS WNSGALTSKV HTFPAVLQSS GLYSLSSVVT VPSSSLGCTQ 200  
 YICNVNHPKS NTKVDKVEP KSCDKTHTCP PCPAPELLGG PSVFLFPPPK 250  
 KDTLMISRTF EIVTCVVVDVSD HEDPEVKFNW YVDGVEVHNA KTKPREEQYN 300  
 STYRVVSVLT VLHQDWLNGK EYCKKVSNKA LPAPIEKTIS KAKGQPREPK 350  
 VYTLPPSREE MTKNQVSLTLC LVKGFYPSDI AVEWESNGQP ENNYKTTTPV 400  
 LDDSGSFFLY SKLTVDKSRW QQGNVDFSCSV MHEALHNHYT QKSLSLSPGK 450

Light chain / Chaîne légère / Cadena ligera  
 EVVVTQSPAT LSLSPGERAT LSCRASTSVI TLLHWFQQKP GQAPRLLIHG 50  
 ASNLESRVPA RFGSGSGGTD FTLTISLLEP EDFATYFCQQ SWNDPPTFGQ 100  
 GTKLEIKRTV AAPSVFIFPP SDEQLKSGTA SVVCLLNNFY PREAKVQWKV 150  
 DNALQSGNSQ ESVTEQDSKD STYLSLSSTLT LSKADYEKHK VYACEVTHQG 200  
 LSSPVTKSFN RGEK 214

**Post-translational modifications**  
 Disulfide bridges location / Position des ponts disulfure / Posiciones de los puentes disulfuro  
 Intra-H (C23-C104) 22-98 147-203 264-324 370-428  
 22"-98" 147"-203" 264"-324" 370"-428"  
 Intra-L (C23-C104) 23"-88" 134"-194"  
 23"-88" 134"-194"  
 Inter-H-L (h 5-CL 126) 223-214" 223"-214"  
 Inter-H-H (h 11, h 14) 229-229" 232-232"

N-glycosylation sites / Sites de N-glycosylation / Posiciones de N-glicosilación  
 H CH2 N84.4: 300, 300"  
 Afucosylated complex bi-antennary CHO-type glycans / glycanes de type CHO bi-antennaires complexes afucosylés / glicanos de tipo CHO biantennarios complejos afucosilados  
 C-terminal lysine clipping / Coupure de la lysine C-terminale / Recorte de lisina C-terminal  
 H CHS K2: 450, 450"

**belacabnagenum franleucelum #**  
 belacabnagene franleuce!

allogeneic natural killer (NK) cells obtained from peripheral blood mononuclear cells (PBMC) by leukapheresis, transduced with a non-replicating gamma (γ)-retroviral vector encoding a chimeric antigen receptor (CAR) targeting CD19 together with a membrane bound form of human interleukin-15 (mbIL15). The expressed transgene comprises a CD8 alpha (CD8α) leader sequence, a humanized anti-CD19 single-chain variable fragment derived from murine FMC63, a CD8α transmembrane domain, an OX40 costimulatory domain, and a CD3ζ signalling domain, separated by a self-cleaving T2A peptide from IL-15 fused to a CD8α transmembrane domain, which creates a membrane bound form of IL-15 (mbIL-15) under control of a promoter derived from the U3 region of the murine stem cell virus (MSCV) 5' long terminal repeat (LTR). The construct is flanked by 5' and 3' long terminal repeats (LTRs) and also contains a murine embryonic stem cell virus packaging signal. The CD56+ CD3- NK cells are isolated by leukapheresis and co-cultured with a modified and irradiated K562 cell line. Specifically, the NK cells are isolated through a series of steps, first to reduce platelets and red blood cells, followed by a CD3+ depletion step, and lastly a positive selection using CD56+ enrichment. The cells are cultured in serum replacement media containing interleukin-12 (IL-12), interleukin-18 (IL-18) and interleukin-2 (IL-2) and co-cultured with a modified and irradiated K562 cell line. The cells are then transduced with the retroviral vector, and the transduced NK cells are further expanded in media containing human AB serum and IL-2.

The final substance consists of  $\geq 90\%$  CD56+CD3-NK cells with  $\geq 20\%$  CD56+ cells expressing the transgene. Cells secrete granulocyte-macrophage colony-stimulating factor (GM-CSF), interferon gamma (IFN- $\gamma$ ), and tumor necrosis factor alpha (TNF- $\alpha$ ) when co-cultured with CD19-beads  
*cell-based gene therapy (antineoplastic)*

bélacabnagène franleucel

cellules tueuses naturelles (NK) allogéniques obtenues par leucaphérèse à partir de cellules mononucléaires de sang périphérique (PBMC), transduites avec un vecteur non répliquant rétroviral-gamma ( $\gamma$ ) codant un récepteur antigénique chimérique (CAR) ciblant le CD19 ainsi qu'une forme liée à la membrane de l'interleukine-15 humaine (mbL15). Le transgène exprimé comprend une séquence de tête CD8 alpha (CD8 $\alpha$ ), un fragment à chaîne unique variable humanisé anti-CD19 dérivé du FMC63 murin, un domaine transmembranaire CD8 $\alpha$ , un domaine co-stimulateur OX40 et un domaine de signalisation CD3 $\zeta$ , séparée par un peptide T2A auto-clivant de l'IL-15 fusionné à un domaine transmembranaire CD8 $\alpha$ , qui crée une forme d'IL-15 liée à la membrane (mbL-15) sous le contrôle d'un promoteur dérivé de la région U3 du virus des cellules souches murines (MSCV). La construction est flanquée de répétitions terminales longues (LTR) en 5' et 3' et contient également un signal d'encapsulation du MSCV.

Les cellules NK CD56+ CD3- sont isolées par leucaphérèse et co-cultivées avec une lignée cellulaire K562 modifiée et irradiée. Plus précisément, les cellules NK sont isolées par une série d'étapes, d'abord pour réduire les plaquettes et les globules rouges, puis par une étape d'élimination des CD3+, et enfin d'une sélection positive par enrichissement des CD56+. Les cellules sont cultivées dans un milieu de remplacement du sérum contenant de l'interleukine-12 (IL-12), de l'interleukine-18 (IL-18) et de l'interleukine-2 (IL-2) et co-cultivées avec une lignée cellulaire K562 modifiée et irradiée. Les cellules sont ensuite transduites avec le vecteur rétroviral et les cellules NK transduites sont encore amplifiées dans un milieu contenant du sérum AB humain et de l'IL-2.

La substance finale est constituée de  $\geq 90\%$  de cellules CD56+CD3-NK dont  $\geq 20\%$  des cellules CD56+ expriment le transgène. Les cellules sécrètent du facteur de stimulation des granulocytes et des macrophages (GM-CSF), de l'interféron gamma (IFN- $\gamma$ ) et du facteur de nécrose tumorale alpha (TNF- $\alpha$ ) lorsqu'elles sont co-cultivées avec des billes CD19  
*thérapie génique à base de cellules (antineoplasique)*

belacabnagén franleucel

células natural killer (NK) alogénicas obtenidas de células mononucleares de sangre periférica (PBMC) mediante leucoaféresis, transducidas con un vector gamma ( $\gamma$ )-retroviral no replicativo que codifica para un receptor de antígeno quimérico (CAR) dirigido a CD19 junto con una forma unida a membrana de la interleuquina 15 humana (mbL-15). El transgén expresado cotiene una secuencia líder de CD8 alfa (CD8 $\alpha$ ), un fragmento variable de cadena sencilla (scFv) humanizado anti-CD19 derivado del FMC63 murino, un domino transmembrana de CD8 $\alpha$ , un domino coestimulador de OX40 y un dominio de señalización de CD3 $\zeta$ , separado mediante un péptido de autoexcisión T2A de IL-15 fusionada a un domino transmembrana de CD8 $\alpha$ , lo que crea una forma unida a membrana de IL-15 (mbL-15), bajo el control de un promotor

derivado de la región U3 de la repetición terminal larga (LTR) 5' del virus de células madre murino (MSCV).

El constructo está flanqueado por repeticiones terminales largas (LTRs) en 5' y 3' y también contiene una señal de empaquetamiento del virus de células madre embrionarias murino.

Las células NK CD56+ CD3- se aíslan por leucoaféresis y se cocultivan con una línea celular K562 modificada e irradiada.

Específicamente, las células NK se aíslan mediante una serie de pasos, primero para reducir las plaquetas y los eritrocitos, seguido de un paso de depleción de CD3+ y finalmente una selección positiva usando un enriquecimiento en CD56+. Las células se cultivan en medio con sustituto de suero que contiene interleuquina 12 (IL-12), interleuquina 18 (IL-18) e interleuquina 2 (IL-2) y se cocultivan con una línea celular K562 modificada e irradiada. Las células se transducen después con un vector retroviral y las células NK transducidas se expanden en medio que contiene suero humano AB e IL-2.

La substancia final consiste en  $\geq 90\%$  células NK CD56+CD3- con  $\geq 20\%$  de las células CD56+ que expresan el transgén. Las células secretan factor estimulador de colonias granulocito-macrófago (GM-CSF), interferón gamma (IFN- $\gamma$ ) y factor de necrosis tumoral alfa (TNF- $\alpha$ ) cuando se cocultivan con bolas CD19  
*terapia génica basada en células (antineoplásico)*

**beretemcelum**

beretemcel

allogeneic stem cells derived from donor adult liver tissue. The liver biopsy is digested, and the released cells placed in culture media containing fetal bovine serum (FBS), fibroblast growth factor-2 (FGF-2) and epidermal growth factor (EGF). The cells are frozen to generate a master cell bank (MCB) at an early passage, and then resuscitated and culture-expanded.

The cells are characterized as adherent with an elongated morphology, the presence ( $\geq 70\%$ ) of cellular markers CD29, CD73, CD90, CD105, CD44 and albumin, and the absence of CD34 ( $< 5\%$ ), CD45 ( $< 2\%$ ) and CD14 ( $< 5\%$ ). The cells differentiate into functional hepatocytes in a rotary cell culture system in media containing fetal calf serum (FCS), hepatocyte growth factor (HGF), and fibroblast growth factor 4 (FGF4) with the ability to transport indocyanine green (ICG)

*cell therapy (urea cycle disorders)*

## bérétemcel

cellules souches allogéniques dérivées du tissu hépatique de donneurs adultes. La biopsie du foie est digérée et les cellules libérées sont placées dans un milieu de culture contenant du sérum bovin fœtal (FBS), du facteur de croissance des fibroblastes 2 (FGF-2) et du facteur de croissance épidermique (EGF). Les cellules sont congelées à un passage précoce pour générer une banque cellulaire maîtresse (MCB), puis ressuscitées et mises en culture.

Les cellules se caractérisent par leur adhérence et leur morphologie allongée, la présence ( $\geq 70\%$ ) des marqueurs cellulaires CD29, CD73, CD90, CD105, CD44 et de l'albumine, et l'absence de CD34 ( $< 5\%$ ), CD45 ( $< 2\%$ ) et CD14 ( $< 5\%$ ). Les cellules se différencient en hépatocytes fonctionnels dans un système de culture cellulaire rotatif dans un milieu contenant du sérum de veau fœtal (SVF), du facteur de croissance des hépatocytes (HGF) et du facteur de croissance des fibroblastes 4 (FGF4) avec la capacité de transporter du vert d'indocyanine (ICG)

*thérapie cellulaire (troubles du cycle de l'urée)*

beretemcel

células madre alogénicas derivadas de tejido de hígado de donante adulto. La biopsia de hígado se digiere y las células se liberadas se ponen en medio de cultivo que contiene suero bovino fetal (FBS), factor 2 de crecimiento de fibroblastos (FGF-2) y factor de crecimiento epidérmico (EGF). Las células se congelan para general un banco de células maestro (MCB) en un pase temprano y después se resucitan y se expanden en cultivo.

Las células se caracterizan por ser adherentes con morfología alargada, la presencia ( $\geq 70\%$ ) de los marcadores celulares CD29, CD73, CD90, CD105, CD44 y albúmina, y la ausencia de CD34 ( $<5\%$ ), CD45 ( $<2\%$ ) y CD14 ( $<5\%$ ). Las células se diferencian a hepatocitos funcionales en un sistema de cultivo celular rotativo en medio que contiene suero de ternera fetal (FCS), factor de crecimiento de hepatocitos (HGF) y factor 4 de crecimiento de fibroblastos (FGF4) con la capacidad de transportar indocianina verde (ICG)

*terapia celular (trastornos del ciclo de la urea)*

**bexatamigum #**

bexatamig

immunoglobulin (H-gamma1-VH-G1CH1h\_L-kappa)\_L-kappa-G1hCH2CH3, anti-[*Homo sapiens* IL3RA (interleukin 3 receptor subunit alpha, interleukin 3 receptor alpha (low affinity), CD123)] and anti-[*Homo sapiens* NCR1 (natural cytotoxicity triggering receptor 1, NKP46, NKp46, NK cell-activating receptor, LY94, CD335)], humanized monoclonal antibody, bispecific;

[H-gamma1-VH-G1CH1h chain anti-IL3RA and anti-NCR1 humanized (1-861) [H-gamma1 anti-IL3RA [VH (*Homo sapiens* IGHV5-10-1\*04 (82.7%) -(IGHD) -IGHJ6\*01 (90.9%) T123>M (115), CDR-IMGT [8.8.13] (26-33.51-58.97-109)) (1-120) -*Homo sapiens* IGHG1\*03 (100%), G1m3, nG1m1 CH1 R120, CH3 E12, M14 (CH1 R120 (217) (121-218), hinge 1-15 (219-233), CH2 (234-343), CH3 (344-448), CHS K2>del (449) (121-449))] -4-mer-seryl-threonyl-glycyl-seryl linker (450-453) -VH-G1CH1h anti-NCR1 humanized (454-681) [VH (*Homo sapiens* IGHV1-69\*08 (83.7%) -(IGHD) -IGHJ4\*01 (92.3%) L123>T (568), CDR-IMGT [8.8.13] (479-486.504-511.551-562)) (454-573) -IGHG1\*03 CH1-h (100%), G1m3 CH1 R120 (CH1 R120 (670) (574-671), hinge 1-10 (672-681)) (574-681)];

(676-214')-disulfide with L-kappa light chain anti-NCR1 humanized (1'-214') [V-KAPPA (*Homo sapiens* IGKV1-33\*01 (88.4%) -IGKJ4\*01 (100%), CDR-IMGT [6.3.9] (27'-32'.50'-52'.89'-97')) (1'-107') -*Homo sapiens* IGKC\*01 (100%), Km3 A45.1 (153'), V101 (191') (108'-214')];

(223-220":229-226":232-229")-trisdissulfide with the L-kappa-G1hCH2CH3 chain anti-IL3RA humanized (1-447") [L-kappa anti-IL3RA (1"-220") [V-KAPPA (*Homo sapiens* IGKV4-1\*01 (90.1%) -IGKJ2\*01 (100%), CDR-IMGT [12.3.9] (27"-38"'.56"-58".95"-103")) (1"-113") -*Homo sapiens* IGKC\*01 (100%), Km3 A45.1 A45.1 (159"), V101 (197") (114"-220")]] -G1hCH2CH3 (221"-447") [*Homo sapiens* IGHG1\*03 h-CH2-CH3-CHS (100%), nG1m1 CH3 E12, M14 (hinge 6-15 (221"-230"), CH2 (231"-340"), CH3 E12 (356"), M14 (358") (341"-445"), CHS (446"-447"))]]], produced in a cell line from Chinese hamster ovary (CHO) cells, derived from the cell line CHO-DXB11, glycoform alfa

*antineoplastic*

- bexatamig immunoglobuline (H-gamma1-VH-G1CH1h\_L-kappa)\_L-kappa-G1hCH2CH3, anti-[*Homo sapiens* IL3RA (sous-unité alpha du récepteur de l'interleukine 3, récepteur alpha (faible affinité) de l'interleukine 3, CD123)] et anti-[*Homo sapiens* NCR1 (récepteur 1 déclenchant la cytotoxicité naturelle, NKP46, NKP46, récepteur d'activation des cellules NK, LY94, CD335)], anticorps monoclonal humanisé, bispécifique; [chaîne H-gamma1-VH-G1CH1h anti-IL3RA et anti-NCR1 humanisée (1-861) [H-gamma1 anti-IL3RA [VH (*Homo sapiens* IGHV5-10-1\*04 (82.7%) -(IGHD) -IGHJ6\*01 (90.9%) T123>M (115), CDR-IMGT [8.8.13] (26-33.51-58.97-109))] (1-120) -*Homo sapiens* IGHG1\*03 (100%), G1m3, nG1m1 CH1 R120, CH3 E12, M14 (CH1 R120 (217) (121-218), charnière 1-15 (219-233), CH2 (234-343), CH3 (344-448), CHS K2>del (449) (121-449))] -4-mer-séryl-thréonil-glycyl-séryl linker (450-453) -VH-G1CH1h anti-NCR1 humanisé (454-681) [VH (*Homo sapiens* IGHV1-69\*08 (83.7%) -(IGHD) -IGHJ4\*01 (92.3%) L123>T (568), CDR-IMGT [8.8.13] (479-486.504-511.551-562)) (454-573) -IGHG1\*03 CH1-h (100%), G1m3 CH1 R120 (CH1 R120 (670) (574-671), charnière 1-10 (672-681)) (574-681)]; (676-214')-disulfure avec la chaîne légère L-kappa anti-NCR1 humanisée (1'-214') [V-KAPPA (*Homo sapiens* IGKV1-33\*01 (88.4%) -IGKJ4\*01 (100%), CDR-IMGT [6.3.9] (27'-32'.50'-52'.89'-97'') (1'-107') -*Homo sapiens* IGKC\*01 (100%), Km3 A45.1 (153'), V101 (191') (108'-214'')]; (223-220'':229-226'':232-229'')-trisdifure avec la chaîne L-kappa-G1hCH2CH3 anti-IL3RA humanisée (1-447'') [L-kappa anti-IL3RA (1''-220'') [V-KAPPA (*Homo sapiens* IGKV4-1\*01 (90.1%) -IGKJ2\*01 (100%), CDR-IMGT [12.3.9] (27''-38''.56''-58''.95''-103'')] (1''-113'') -*Homo sapiens* IGKC\*01 (100%), Km3 A45.1 A45.1 (159''), V101 (197'') (114''-220'')] -G1hCH2CH3 (221''-447'') [*Homo sapiens* IGHG1\*03 h-CH2-CH3-CHS (100%), nG1m1 CH3 E12, M14 (charnière 6-15 (221''-230''), CH2 (231''-340''), CH3 E12 (356''), M14 (358'') (341''-445''), CHS (446''-447'')]]], produit dans une lignée cellulaire des cellules ovariennes de hamster chinois (CHO), dérivant de la lignée cellulaire CHO-DXB11, glycoforme alfa  
*antineoplasique*
- bexatamig immunoglobulina (H-gamma1-VH-G1CH1h\_L-kappa)\_L-kappa-G1hCH2CH3, anti-[*Homo sapiens* IL3RA (subunidad alfa del receptor de la interleukina 3, receptor alfa (baja afinidad) de la interleukina 3, CD123)] y anti-[*Homo sapiens* NCR1 (receptor 1 desencadenante de la citotoxicidad natural, NKP46, NKP46, receptor de la activación de las células NK, LY94, CD335)], anticuerpo monoclonal humanizado, biespecífico; [cadena H-gamma1-VH-G1CH1h anti-IL3RA y anti-NCR1 humanizada (1-861) [H-gamma1 anti-IL3RA [VH (*Homo sapiens* IGHV5-10-1\*04 (82.7%) -(IGHD) -IGHJ6\*01 (90.9%) T123>M (115), CDR-IMGT [8.8.13] (26-33.51-58.97-109))] (1-120) -*Homo sapiens* IGHG1\*03 (100%), G1m3, nG1m1 CH1 R120, CH3 E12, M14 (CH1 R120 (217) (121-218), bisagra 1-15 (219-233), CH2 (234-343), CH3 (344-448), CHS K2>del (449) (121-449))] -4-mer-seril-treonil-glicil-seril enlace (450-453) -VH-G1CH1h anti-NCR1 humanizado (454-681) [VH (*Homo sapiens* IGHV1-69\*08 (83.7%) -(IGHD) -IGHJ4\*01 (92.3%) L123>T (568), CDR-IMGT [8.8.13] (479-486.504-511.551-562)) (454-573) -IGHG1\*03 CH1-h (100%), G1m3 CH1 R120 (CH1 R120 (670) (574-671), bisagra 1-10 (672-681)) (574-681)]; (676-214')-disulfuro con la cadena ligera L-kappa anti-NCR1 humanizada (1'-214') [V-KAPPA (*Homo sapiens* IGKV1-33\*01 (88.4%) -IGKJ4\*01 (100%), CDR-IMGT [6.3.9] (27'-32'.50'-52'.89'-97'') (1'-107') -*Homo sapiens* IGKC\*01 (100%), Km3 A45.1 (153'), V101 (191') (108'-214'')]; (223-220'':229-226'':232-229'')-trisdifuro con la cadena L-kappa-G1hCH2CH3 anti-IL3RA humanizada (1-447'') [L-kappa anti-IL3RA (1''-220'') [V-KAPPA (*Homo sapiens* IGKV4-1\*01 (90.1%) -IGKJ2\*01 (100%), CDR-IMGT [12.3.9] (27''-38''.56''-58''.95''-103'')] (1''-113'') -*Homo sapiens* IGKC\*01 (100%), Km3 A45.1 A45.1 (159''), V101 (197'') (114''-220'')] -G1hCH2CH3 (221''-447'') [*Homo sapiens* IGHG1\*03 h-CH2-CH3-CHS (100%), nG1m1 CH3 E12, M14 (bisagra 6-15 (221''-230''), CH2 (231''-340''), CH3 E12 (356''), M14 (358'') (341''-445''), CHS (446''-447'')]]], producido en una línea celular de las células ováricas de hámster chino (CHO), línea celular derivada de CHO-DXB11, forma glicosilada alfa  
*antineoplásico*

## Heavy chain / Chaîne lourde / Cadena pesada : H-gamma1 (anti-IL3RA) -VH-G1CH1h (anti-NCR1) (H)

EVQLVDSGAE	VKKPGESLKI	SCKGGSGYSFT	DYIMKWARQM	PKGGLWMDG	50
IIPSSGATFY	NQKFKGQVTI	SADKSIISTY	LQWSSLKASD	TAMYICARSH	100
LLRASWFAYW	GQGTMTVSS	ASTKGPSVFP	LAPSSKSTSG	GTAALGCLVK	150
DYFPEPVTYS	WNSGALTSV	HTFPAVLQSS	GLYSLSSVVT	VPSSSLGTQT	200
YICNVNHKPS	NTKVDKRVPE	KSCDKTHTCP	PCPAPELLGG	PSVFLFPPPK	250
KDTLMSRTP	EVTCVVVDVS	HEDPEVKFNW	YVDGVEVHNA	KTKPREEQYN	300
STYRVVSVLT	VLHQDWLNGK	EYKCKVSNKA	LPAPIEKTIS	KAKGQPREPQ	350
VYTLPPSREE	MTKNQVSLTC	LVKGFYPSDI	AVEWESNGQP	ENNYKTTPTP	400
LDSDSGFFLY	SKLTVDKSRW	QQGNVFSCSV	MHEALHNHYT	QKSLSLSPGS	450
TGSQVQLVQS	GAEVKPKGSS	VKVSCKASGY	TFSDYVINWV	RQAPGQGLEW	500
MGEIYPGSGT	NYNEKFKKAK	ATITADKSTS	TAYMELSSLR	SEDTAVYYCA	550
RRGRYGLYAM	DYWGQGTIVT	VSSASTKGPS	VFPLAPSSKS	TSGGTAALGK	600
LVKDYFPPEV	TVSWNSGALT	SGVHTFPAVL	QSSGLYSLSS	VVTPVSSSLG	650
TQTYICNVNH	KPSNTKVDKDR	VEPKSCDKTH	S		681

## Light chain / Chaîne légère / Cadena ligera : L-kappa anti-NCR1 (L')

DIQMTQSPSS	LSASVGDRTV	ITCRASQDIS	NYLNWYQQK	PKAPKLLIYY	50
TSRLHSGVPS	RFGSGSGSDT	FTFTISSLQP	EDIATYFCCQ	GNTRPWTFFG	100
GTRLEIKRTV	AAPSVFIAPP	SDEQLKSGTA	SVVCLLNIFY	PREAKVQWVK	150
DNALQSGNSQ	ESVTEQDSKD	STYSLSTLT	LSKADYEKHK	VYACEVTHQG	200
LSSPVTKSFN	RGEC				214

## Heavy chain / Chaîne lourde / Cadena pesada : L-kappa-G1hCH2CH3 (anti-IL3RA) (LH')

DIVMTQSPDS	LAVSLGERAT	INCESSQSL	SSGNQKNYLT	WYQQKPGQP	50
KPLIYWASTR	ESGVDRFSG	SGSGTDFTLT	ISSLQAEVDA	VYYQNDYISY	100
PYTPGQGTKL	EIKRTVAAPS	VFIPTPSDEQ	LKSGTASVVC	LLNIFYPREA	150
KVQHKVDNAL	QSGNSQESVT	EQDSKDSSTYS	LSSTLTLSKA	DYKHKVYAC	200
EVTHQGLSSP	VTKSFNRGEC	DKTHTCCPPC	APPELLGGPVS	FLFPPKPKDT	250
LMSRTPPEVT	CVVVDVSHED	PEVKFNWYVD	GVEVHNAKTK	PREEQYNSTY	300
RVVSVLTVLH	QDWLNGKEYK	CKVSNKALPA	PIEKTISKAK	GQPREPQVST	350
LPFSREEMTK	NQVSLTCLVK	GFYPSDIAVE	WESNGQPENN	YKTTTPVPLDS	400
DGSFFLYSKL	TVDKSRWQQG	NVFSCVMHE	ALHNHYTQKS	LSLSPGK	447

## Post-translational modifications

Disulfide bridges location / Position des ponts disulfure / Posiciones de los puentes disulfuro

Intra-H (C23-C104) 22-96 147-203 264-324 370-428 475-549 600-656

Intra-LH (C23-C104) 23"-94" 140"-200" 261"-321" 367"-425"

Intra-L (C23-C104) 23"-88" 134"-194"

Inter-H-L (h5-CL126) 676-214'

Inter-H-LH (h5-CL126\*) or (-h5\*) 223-220"

Inter-H-LH (h11, h14) 229-226" 232-229"

\* 220" may be identified as CL126, last amino acid of the L part of LH (anti-IL3RA Fab arm) or as h5,

first amino acid of the H part of LH (hinge).

N-glycosylation sites / Sites de N-glycosylation / Posiciones de N-glicosilación

H CH2 N84.4: 300, 297"

Fucosylated complex bi-antennary CHO-type glycans / glycanes de type CHO bi-antennaires complexes

fucosylés / glicanos de tipo CHO biantennarios complejos fucosilados

C-terminal lysine clipping / Coupure de la lysine C-terminale / Recorte de lisina C-terminal

H CHS K2: 447"

**bimokalnerum**

bimokalner

(1*S*,2*S*,4*R*)-*N*-{[3-(pentafluoro-λ<sup>6</sup>-sulfanyl)phenyl]methyl}bicyclo[2.2.1]heptane-2-carboxamide  
voltage-gated potassium channel (Kv7.4) agonist

bimokalner

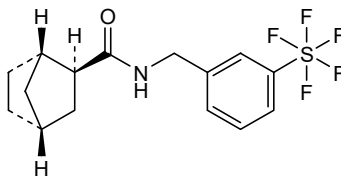
(1*S*,2*S*,4*R*)-*N*-{[3-(pentafluoro-λ<sup>6</sup>-sulfanyl)phényl]méthyl}bicyclo[2.2.1]heptane-2-carboxamide  
agoniste des canaux potassiques voltage-dépendants (Kv7.4)

bimokalner

(1*S*,2*S*,4*R*)-*N*-{[3-(pentafluoro-λ<sup>6</sup>-sulfanyl)fenil]metil}bicyclo[2.2.1]heptano-2-carboxamida  
agonista del canal de potasio dependiente de voltaje (Kv7.4)

C<sub>15</sub>H<sub>18</sub>F<sub>5</sub>NOS

2243284-19-5



**bofanglutidum**

bofanglutide

L-histidylglycyl-L- $\alpha$ -glutamylglycyl-L-threonyl-L-phenylalanyl-L-threonyl-L-seryl-L- $\alpha$ -aspartyl-L-valyl-L-seryl-L-seryl-L-tyrosyl-L-leucyl-L- $\alpha$ -glutamylglycyl-L-glutaminy-L-alanyl-L-alanyl-N<sup>6</sup>-[(22S)-22,44-dicarboxy-10,19,24-trioxo-3,6,12,15-tetraoxa-9,18,23-triazatetratecanta-1-oyl]-L-lysyl-L- $\alpha$ -glutamyl-L-phenylalanyl-L-isoleucyl-L-alanyl-L-tryptophyl-L-leucyl-L-valyl-L-arginylglycyl-L-arginylglycine

*glucagon-like peptide 1 (GLP-1) receptor agonist*

bofanglutide

L-histidylglycyl-L- $\alpha$ -glutamylglycyl-L-thréonyl-L-phénylalanyl-L-thréonyl-L-séryl-L- $\alpha$ -aspartyl-L-valyl-L-séryl-L-séryl-L-tyrosyl-L-leucyl-L- $\alpha$ -glutamylglycyl-L-glutaminy-L-alanyl-L-alanyl-N<sup>6</sup>-[(22S)-22,44-dicarboxy-10,19,24-trioxo-3,6,12,15-tétraoxa-9,18,23-triazatétratecanta-1-oyl]-L-lysyl-L- $\alpha$ -glutamyl-L-phénylalanyl-L-isoleucyl-L-alanyl-L-tryptophyl-L-leucyl-L-valyl-L-arginylglycyl-L-arginylglycine

*agoniste du récepteur du peptide 1 de type glucagon (GLP-1)*

bofanglutida

L-histidilglicil-L- $\alpha$ -glutamilglicil-L-treonil-L-fenilalanil-L-treonil-L-seril-L- $\alpha$ -aspartil-L-valil-L-seril-L-seril-L-tirosil-L-leucil-L- $\alpha$ -glutamilglicil-L-glutamini-L-alanil-L-alanil-N<sup>6</sup>-[(22S)-22,44-dicarboxi-10,19,24-trioxo-3,6,12,15-tetraoxa-9,18,23-triazatetratecanta-1-oiil]-L-lisil-L- $\alpha$ -glutamil-L-fenilalanil-L-isoleucil-L-alanil-L-triptofil-L-leucil-L-valil-L-arginilglicil-L-arginilglicina

*agonista del receptor del péptido 1 similar al glucagón (GLP-1)*

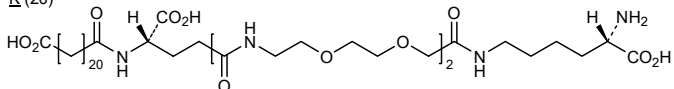
C<sub>189</sub>H<sub>295</sub>N<sub>45</sub>O<sub>59</sub>

2668298-70-0

HGEGTFTSDV SSYLEGQAAK EFIAWLVRGR G 31

Modified residue / Résidu modifié / Resto modificado

K (20)

**bosakitugum #**

bosakitug

immunoglobulin G1-kappa, anti-[*Homo sapiens* TSLP (thymic stromal lymphopoietin)], humanized monoclonal antibody; H-gamma1 heavy chain humanized (1-447) [VH (*Homo sapiens* IGHV1-46\*01 (88.8%) -(IGHD)-IGHJ4\*01 (93.3%), CDR-IMGT [8.8.10] (26-33.51-58.97-106)) (1-117) -*Homo sapiens* IGHG1\*01 (100%), G1m17,1 CH1 K120, CH3 D12, L14 (CH1 K120 (214) (118-215), hinge 1-15 (216-230), CH2 (231-340), CH3 D12 (356), L14 (358) (341-445), CHS (446-447)) (118-447)], (220-214')-disulfide with L-kappa light chain humanized (1'-214') [V-KAPPA (*Homo sapiens* IGKV1-39\*01 (85.3%) -IGKJ4\*01 (100%), CDR-IMGT [6.3.9] (27'-32'.50'-52'.89'-97')) (1'-107') -*Homo sapiens* IGKC\*01 (100%), Km3 A45.1 (153'), V101 (191') (108'-214')]; dimer (226-226"::229-229")-bisdisulfide, produced in Chinese hamster ovary (CHO) cells, cell line CHO-S, glycoform alfa  
*anti-inflammatory*

bosakitug

immunoglobuline G1-kappa, anti-[*Homo sapiens* TSLP (lymphopoïétine stromale thymique)], anticorps monoclonal humanisé;

chaîne lourde H-gamma1 humanisée (1-447) [VH (*Homo sapiens* IGHV1-46\*01 (88.8%) -(IGHD) -IGHJ4\*01 (93.3%), CDR-IMGT [8.8.10] (26-33.51-58.97-106)) (1-117) -*Homo sapiens* IGHG1\*01 (100%), G1m17,1 CH1 K120, CH3 D12, L14 (CH1 K120 (214) (118-215), charnière 1-15 (216-230), CH2 (231-340), CH3 D12 (356), L14 (358) (341-445), CHS (446-447)) (118-447)], (220-214')-disulfure avec la chaîne légère L-kappa humanisée (1'-214') [V-KAPPA (*Homo sapiens* IGKV1-39\*01 (85.3%) -IGKJ4\*01 (100%), CDR-IMGT [6.3.9] (27'-32'.50'-52'.89'-97')) (1'-107') -*Homo sapiens* IGKC\*01 (100%), Km3 A45.1 (153'), V101 (191') (108'-214')]; dimère (226-226":229-229")-bisdisulfure, produit dans des cellules ovariennes de hamster chinois (CHO), lignée cellulaire CHO-S, glycoforme alfa  
*anti-inflammatoire*

bosakitug

inmunoglobulina G1-kappa, anti-[*Homo sapiens* TSLP (linfopoetina estromal tímica)], anticuerpo monoclonal humanizado; cadena pesada H-gamma1 humanizada (1-447) [VH (*Homo sapiens* IGHV1-46\*01 (88.8%) -(IGHD) -IGHJ4\*01 (93.3%), CDR-IMGT [8.8.10] (26-33.51-58.97-106)) (1-117) -*Homo sapiens* IGHG1\*01 (100%), G1m17,1 CH1 K120, CH3 D12, L14 (CH1 K120 (214) (118-215), bisagra 1-15 (216-230), CH2 (231-340), CH3 D12 (356), L14 (358) (341-445), CHS (446-447)) (118-447)], (220-214')-disulfuro con la cadena ligera L-kappa humanizada (1'-214') [V-KAPPA (*Homo sapiens* IGKV1-39\*01 (85.3%) -IGKJ4\*01 (100%), CDR-IMGT [6.3.9] (27'-32'.50'-52'.89'-97')) (1'-107') -*Homo sapiens* IGKC\*01 (100%), Km3 A45.1 (153'), V101 (191') (108'-214')]; dímero (226-226":229-229")-bisdisulfuro, producido en las células ováricas de hámster chino (CHO), línea celular CHO-S, forma glicosilada alfa  
*antiinflamatorio*

2762183-23-1

## Heavy chain / Chaîne lourde / Cadena pesada

QVQLVQSGAE	VKKPGASVKV	SCKASGYTFT	TYWMMHWVRQA	FGQGLEWMMGV	50
IDFSDSDTTY	NQKFKGRVTM	TRDTSSTSTVY	MELSSLRSED	TAVFYCTRSL	100
DGYDYIWGGQ	TLVTVSSAST	KGPSVFLPLAP	SSKSTSGGTA	ALGCLVKDYF	150
PEPVTYSWNS	GALTSGVHTF	PAVLQSSGLY	SLSSVVTVPS	SSLGTQTYIC	200
NVNHKPSNTK	VDKKVEPKSC	DKTHTCCPPC	APELLGGPSV	FLFPPKPKDT	250
LMISRTPEVT	CVVVDVSHED	PEVKFNWYVD	GVEVHNAKTK	PREEQYNSTY	300
RVVSVLTVLH	QDWLNGKEYK	CKVSNKALPA	PIEKTIKAK	GQPREPQVYT	350
LPPSRDELTK	NOVSLTCLVK	GFYPSDIAVE	WESNGQPENN	YKTTTPVPLDS	400
DGSFFLYSKL	TVDKSRWQQG	NVFSCSVMEH	ALHNHYTQKS	LSSLSPGK	447

## Light chain / Chaîne légère / Cadena ligera

DIQMTQSPSS	LSASVGRVIT	ITCRPTENIY	SYLAWYQQK	GKAPKLLIYF	50
ARTLAEGVPS	RFGSGSGTD	FTLTISLQP	EDFATYYCQ	HYGTPWTFGG	100
GTKVEIKRTV	AAPSVFIFPP	SDEQLKSGTA	SVVCLLNNFY	PREAKVQWVK	150
DNALQSGNSQ	ESVTEQDSK	STYSLSSLT	LSKADYEKHK	VYACEVTHQG	200
LSSPVTKSFN	RGEC				214

## Post-translational modifications

Disulfide bridges location / Position des ponts disulfure / Posiciones de los puentes disulfuro

Intra-H (C23-C104)	22-96	144-200	261-321	367-425
	22"-96"	144"-200"	261"-321"	367"-425"

Intra-L (C23-C104)	23'-88'	134'-194'
	23"-88"	134"-194"

Inter-H-L (h 5-CL 126)	220-214'	220"-214"
------------------------	----------	-----------

Inter-H-H (h 11, h 14)	226-226"	229-229"
------------------------	----------	----------

N-terminal glutaminy cyclization / Cyclisation du glutaminyle N-terminal / Ciclación del glutaminilo N-terminal

Q &gt; pyroglutamyl (pE, 5-oxoprollyl) / pyroglutamide (pE, 5-oxoprollyle) / piroglutamilo (pE, 5-oxoprolililo)

H VH Q1: 1, 1"

N-glycosylation sites / Sites de N-glycosylation / Posiciones de N-glicosilación

H CH2 N84.4: 297, 297"

Fucosylated complex bi-antennary CHO-type glycans / glycanes de type CHO bi-antennaires complexes fucosylés / glicanos de tipo CHO biantenarijos complejos fucosilados

C-terminal lysine clipping / Coupure de la lysine C-terminale / Recorte de lisina C-terminal  
H CHS K2: 447, 447"



**brezivaptanum**

brezivaptan

2-[3-(3-chlorophenyl)-1-[4-[2-(morpholin-4-yl)ethyl]phenyl]-5-oxo-1,5-dihydro-4H-1,2,4-triazol-4-yl]-N-(propan-2-yl)acetamide  
*vasopressin receptor antagonist*

brézivaptan

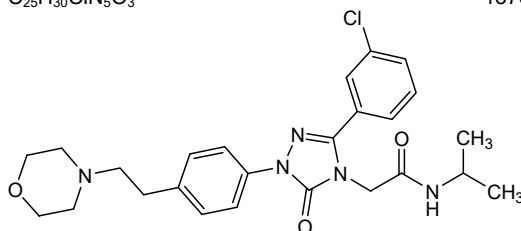
2-[3-(3-chlorophényl)-1-[4-[2-(morpholin-4-yl)éthyl]phényl]-5-oxo-1,5-dihydro-4H-1,2,4-triazol-4-yl]-N-(propan-2-yl)acétamide  
*antagoniste du récepteur de la vasopressine*

brezivaptán

2-[3-(3-clorofenil)-1-[4-[2-(morfolin-4-il)etil]fenil]-5-oxo-1,5-dihidro-4H-1,2,4-triazol-4-il]-N-(propan-2-il)acetamida  
*antagonista del receptor de vasopresina*

C<sub>25</sub>H<sub>30</sub>ClN<sub>5</sub>O<sub>3</sub>

1370444-22-6

**brimarafenibum**

brimarafenib

*N*-{[(1*S*,1*aS*,6*bS*)-5-[(7-oxo-5,6,7,8-tetrahydro-1,8-naphthyridin-4-yl)oxy]-1*a*,6*b*-dihydro-1*H*-cyclopropa[*b*]benzofuran-1-yl]-*N'*-(2,4,5-trifluorophenyl)urea  
*rapidly accelerated fibrosarcoma (Raf) kinase inhibitor, antineoplastic*

brimarafénib

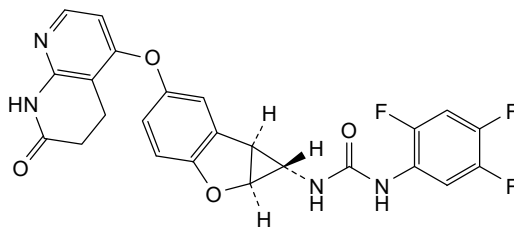
*N*-{[(1*S*,1*aS*,6*bS*)-5-[(7-oxo-5,6,7,8-tétrahydro-1,8-naphtyridin-4-yl)oxy]-1*a*,6*b*-dihydro-1*H*-cyclopropa[*b*]benzofuran-1-yl]-*N'*-(2,4,5-trifluorophényl)urée  
*inhibiteur de la kinase du fibrosarcome à accélération rapide (Raf), antinéoplasique*

brimarafenib

*N*-{[(1*S*,1*aS*,6*bS*)-5-[(7-oxo-5,6,7,8-tetrahydro-1,8-naftiridin-4-il)oxil]-1*a*,6*b*-dihidro-1*H*-ciclopropa[*b*]benzofuran-1-il]-*N'*-(2,4,5-trifluorofenil)urea  
*inhibidor de la kinasa del fibrosarcoma (Raf) rápidamente acelerado, antineoplásico*

C<sub>24</sub>H<sub>17</sub>F<sub>3</sub>N<sub>4</sub>O<sub>4</sub>

1643326-82-2



**brivekimigum #**  
brivekimig

immunoglobulin IG single chain of 5 VH (VH-VH-VH'-VH''-VH') monomer, anti-[*Homo sapiens* TNFSF4 (TNF superfamily member 4, tumor necrosis factor superfamily member 4, OX40 ligand, OX40L, TAX transcriptionally-activated glycoprotein 1, TXGP1, gp34, CD252)], anti-[*Homo sapiens* TNF (tumor necrosis factor, TNF superfamily member 2, TNFSF2, TNF-alpha, TNFA)] and anti-[*Homo sapiens* ALB (albumin, human serum albumin, HSA)], monoclonal antibody VH-VH-VH'-VH''-VH', trispécific, pentavalent; IG single chain VH-VH-VH'-VH''-VH' (1-630) [VH anti-TNFSF4 Vicpac/Homsap (*Vicugna pacos*IGHV3-3\*01 (89.8%) -(IGHD) -IGHJ7\*01 (92.3%) K120>Q (116)/*Homo sapiens*IGHV3-23\*04 (82.7%) -(IGHD) -IGHJ4\*01 (92.9%), CDR-IMGT [9.8.16] (26-34.52-59.98-113)) (1-124) -9-mer (tétraglycyl-séryl-triglycyl-séryl) linker (125-133) -VH anti-TNFSF4 Vicpac/Homsap (*Vicugna pacos*IGHV3-3\*01 (88.9%) -(IGHD) -IGHJ7\*01 (92.3%) K120>Q (249)/*Homo sapiens*IGHV3-23\*04 (83.7%) -(IGHD) -IGHJ4\*01 (92.9%), CDR-IMGT [9.8.16] (159-167.185-192.231-246)) (134-257) -9-mer (tétraglycyl-séryl-triglycyl-séryl) linker (258-266) -VH anti-TNF (*Homo sapiens*IGHV3-20\*04 (87.8%) -(IGHD) -IGHJ1\*01 (91.9%) W118>R (371), CDR-IMGT [8.8.8] (292-299.317-324.363-370)) (267-381) -9-mer (tétraglycyl-séryl-triglycyl-séryl) linker (382-390) -VH anti-ALB (*Homo sapiens*IGHV3-23\*04 (88.5%) -(IGHD) -IGHJ1\*01 (81.8%) W118>S (495), G119>S (496), CDR-IMGT [8.8.8] (416-423.441-448.487-494)) (391-505) -9-mer (tétraglycyl-séryl-triglycyl-séryl) linker (506-514) -VH anti-TNF (*Homo sapiens*IGHV3-20\*04 (87.8%) -(IGHD) -IGHJ1\*01 (90.0%) W118>R (619), CDR-IMGT [8.8.18] (540-547.565-572.611-618)) (515-630)], produced in the yeast *Pichia pastoris* (*Komagataella phaffii*), non-glycosylated  
*anti-inflammatory*

## brivékimig

immunoglobuline IG chaîne unique de 5 VH (VH-VH-VH'-VH''-VH') monomère, anti-[*Homo sapiens* TNFSF4 (membre 4 de la superfamille du TNF membre 4 de la superfamille du facteur de nécrose tumorale, OX40 ligand, OX40L, glycoprotéine 1 activée transcriptionnellement par TAX, TXGP1, gp34, CD252)], anti-[*Homo sapiens* TNF (facteur de nécrose tumorale, membre 2 de la superfamille du TNF, TNFSF2, TNF-alpha, TNFA)] et anti-[*Homo sapiens* ALB (albumine, sérum albumine humaine, SAH)], anticorps monoclonal VH-VH-VH'-VH''-VH', trispécifique, pentavalent;  
IG chaîne unique VH-VH-VH'-VH''-VH' (1-630) [VH anti-TNFSF4 Vicpac/Homsap (*Vicugna pacos*IGHV3-3\*01 (89.8%) -(IGHD) -IGHJ7\*01 (92.3%) K120>Q (116)/*Homo sapiens*IGHV3-23\*04 (82.7%) -(IGHD) -IGHJ4\*01 (92.9%), CDR-IMGT [9.8.16] (26-34.52-59.98-113)) (1-124) -9-mer (tétraglycyl-séryl-triglycyl-séryl) linker (125-133) -VH anti-TNFSF4 Vicpac/Homsap (*Vicugna pacos*IGHV3-3\*01 (88.9%) -(IGHD) -IGHJ7\*01 (92.3%) K120>Q (249)/*Homo sapiens*IGHV3-23\*04 (83.7%) -(IGHD) -IGHJ4\*01 (92.9%), CDR-IMGT [9.8.16] (159-167.185-192.231-246)) (134-257) -9-mer (tétraglycyl-séryl-triglycyl-séryl) linker (258-266) -VH anti-TNF (*Homo sapiens*IGHV3-20\*04 (87.8%) -(IGHD) -IGHJ1\*01 (91.9%) W118>R (371), CDR-IMGT [8.8.8] (292-299.317-324.363-370)) (267-381) -9-mer (tétraglycyl-séryl-triglycyl-séryl) linker (382-390) -VH anti-ALB (*Homo sapiens*IGHV3-23\*04 (88.5%) -(IGHD) -IGHJ1\*01 (81.8%) W118>S (495), G119>S (496), CDR-IMGT [8.8.8] (416-423.441-448.487-494)) (391-505) -9-mer (tétraglycyl-séryl-triglycyl-séryl) linker (506-514) -VH anti-TNF (*Homo sapiens*IGHV3-20\*04 (87.8%) -(IGHD) -IGHJ1\*01 (90.0%) W118>R (619), CDR-IMGT [8.8.18] (540-547.565-572.611-618)) (515-630)], produit dans la levure *Pichia pastoris* (*Komagataella phaffii*), non-glycosylé  
*anti-inflammatoire*

brivekimig

immunoglobulina IG cadena única de 5 VH (VH-VH-VH'-VH"-VH') monómero, anti-[*Homo sapiens* TNFSF4 (miembro 4 de la superfamilia del TNF miembro 4 de la superfamilia del factor de necrosis tumoral, OX40 ligando, OX40L, glicoproteína 1 activada transcripcionalmente por TAX, TXGP1, gp34, CD252)], anti-[*Homo sapiens* TNF (factor de necrosis tumoral, miembro 2 de la superfamilia del TNF, TNFSF2, TNF-alfa, TNFA)] y anti-[*Homo sapiens* ALB (albúmina, albumina sérica humana, SAH), anticuerpo monoclonal VH-VH-VH'-VH"-VH', triespecífico, pentavalente; IG cadena única VH-VH-VH'-VH"-VH' (1-630) [VH anti-TNFSF4 Vicpac/Homsap (*Vicugna pacos*IGHV3-3\*01 (89.8%) -(IGHD) -IGHJ7\*01 (92.3%) K120>Q (116)/*Homo sapiens* IGHV3-23\*04 (82.7%) -(IGHD) -IGHJ4\*01 (92.9%), CDR-IMGT [9.8.16] (26-34.52-59.98-113)) (1-124) -9-mer (tetraglicil-seril-triglicil-seril) enlace (125-133) -VH anti-TNFSF4 Vicpac/Homsap (*Vicugna pacos* IGHV3-3\*01 (88.9%) -(IGHD) -IGHJ7\*01 (92.3%) K120>Q (249)/*Homo sapiens* IGHV3-23\*04 (83.7%) -(IGHD) -IGHJ4\*01 (92.9%), CDR-IMGT [9.8.16] (159-167.185-192.231-246)) (134-257) -9-mer (tetraglicil-seril-triglicil-seril) enlace (258-266) -VH anti-TNF (*Homo sapiens* IGHV3-20\*04 (87.8%) -(IGHD) -IGHJ1\*01 (91.9%) W118>R (371), CDR-IMGT [8.8.8] (292-299.317-324.363-370)) (267-381) -9-mer (tetraglicil-seril-triglicil-seril) enlace (382-390) -VH anti-ALB (*Homo sapiens* IGHV3-23\*04 (88.5%) -(IGHD) -IGHJ1\*01 (81.8%) W118>S (495), G119>S (496), CDR-IMGT [8.8.8] (416-423.441-448.487-494)) (391-505) -9-mer (tetraglicil-seril-triglicil-seril) enlace (506-514) -VH anti-TNF (*Homo sapiens* IGHV3-20\*04 (87.8%) -(IGHD) -IGHJ1\*01 (90.0%) W118>R (619), CDR-IMGT [8.8.18] (540-547.565-572.611-618)) (515-630)], producido en la levadura *Pichia pastoris* (*Komagataella phaffii*), no glicosilado antiinflamatorio

2834733-45-6

Single chain / Chaîne unique / Cadena única : VH-VH-VH'-VH"-VH' (anti-TNFSF4, anti-TNF, anti-ALB)

DVQLVESGGG VVQPGGSLRL SCAASGRFTFS SIYAKGWFQK APGKEREFVA 50  
 AISRSRSTST YADSVKGRFT ISRDNSKNTV YLQMNSLRPE DTALYCAAV 100  
 GGATVTVTASE WDYWGQGLTLV TVSSGGGGSGS GGSSEVLVES GGGVQPGGS 150  
 LRLSCAASGR TFS SIYAKGW FRQAPGKERE FVA AISRSR STSYADSVKKG 200  
 RPTISRDNK NTVYLQMSL RPEDTALYCC AAVGATTVT ASEDWYVQGG 250  
 TLVTYSSGGG GSGGGSEVQL VESGGGVVQK GGLRRLSCAA SGPTFSDYVM 300  
 YWVQRAPGKG LEWVSEINTN GLITKYPPDSV KGRFTISRDN AKNTLYLQMN 350  
 SLRPEDTALY YCARSPSPGFN RGQGLTLVTVS SGGGGSGGGS EVQLVESGGG 400  
 VVQPGGSLRL SCAASGFTFR SFGMSWVRQA PKGPEWVSS ISGSGSDTLY 450  
 ADSVKGRFTI SRDMSKNTLY LQMNSLRPE DTALYCTIGG SLRSGSQGTL 500  
 TVTSSGGGGS GGSSEVLVE SGGGVVQPGG LRLSCAASG FTFSYVMYMW 550  
 VRQAPGKGLE WVSEINTNGL ITKYPPDSVKG RFTISRDNK NTVYLQMSL 600  
 RPEDTALYCC ARSPSPGFN RGQGLTLVTVS 630

**Post-translational modifications**

Disulfide bridges location / Position des ponts disulfure / Posiciones de los puentes disulfuro  
 Intra chain (C23-C104) 22-97 155-230 288-362 412-486 536-610

cafelkibartum #  
 cafelkibart

immunoglobulin G1-kappa, anti-[*Homo sapiens* CCR8 (C-C motif chemokine receptor 8, CKR-L1, CDw198)];  
 H-gamma1 heavy chain (1-453) [VH Musmus/Homsap (*Mus musculus* IGHV10-1\*02 (92.9%) -(IGHD) -IGHJ4\*01 (93.8%) S123>L (118)/*Homo sapiens* IGHV3-73\*01 (88.0%) -(IGHD) -IGHJ4\*01 (100%), CDR-IMGT [8.10.14] (26-33.51-60.99-112)) (1-123) -*Homo sapiens* IGHG1\*01, G1m17.1 CH1 K120, CH3 D12, L14, G1v7 CH2 D3, E117 (CH1 K120 (220) (124-221), hinge 1-15 (222-236), CH2 S3>D (245), I117>E (338) (237-346), CH3 D12 (362), L14 (364) (347-451), CHS (452-453)) (124-453)], (226-219')-disulfide with L-kappa light chain (1'-219') [V-KAPPA Musmus/Homsap (*Mus musculus* IGKV2-137\*01 (91.0%) -IGKJ4\*01 (91.7%) S120>Q (115')/*Homo sapiens* IGKV2-28\*01 (87.0%) -IGKJ2\*02 (100%), CDR-IMGT [1.1.3.9] (27'-37'.55'-57'.94'-102'')] (1'-112') -*Homo sapiens* IGKC\*01 (100%), Km3 A45.1 (158'), V101 (196') (113'-219')]; dimer (232-232":235-235")-bisdisulfide, produced in Chinese hamster ovary (CHO) cells, cell line CHO-K1, glycoform alfa antineoplastic

- cafelkibart immunoglobuline G1-kappa, anti-[*Homo sapiens* CCR8 (récepteur 8 de chimiokine C-C motif, CKR-L1, CDw198)]; chaîne lourde H-gamma1 (1-453) [VH *Mus musculus* IGHV10-1\*02 (92.9%) -(IGHD) -IGHJ4\*01 (93.8%) S123>L (118)/*Homo sapiens* IGHV3-73\*01 (88.0%) -(IGHD) -IGHJ4\*01 (100%), CDR-IMGT [8.10.14] (26-33.51-60.99-112)] (1-123) -*Homo sapiens* IGHG1\*01, G1m17,1 CH1 K120, CH3 D12, L14, G1v7 CH2 D3, E117 (CH1 K120 (220) (124-221), charnière 1-15 (222-236), CH2 S3>D (245), I117>E (338) (237-346), CH3 D12 (362), L14 (364) (347-451), CHS (452-453)) (124-453)], (226-219')-disulfure avec la chaîne légère L-kappa (1'-219') [V-KAPPA *Mus musculus* IGHV2-137\*01 (91.0%) -IGKJ4\*01 (91.7%) S120>Q (115')/*Homo sapiens* IGHV2-28\*01 (87.0%) -IGKJ2\*02 (100%), CDR-IMGT [11.3.9] (27'-37'.55'-57'.94'-102')] (1'-112') -*Homo sapiens* IGKC\*01 (100%), Km3 A45.1 (158'), V101 (196') (113'-219')]; dimère (232-232''-235-235'')-bisdisulfure, produit dans des cellules ovariennes de hamster chinois (CHO), lignée cellulaire CHO-K1, glycoforme alfa antinéoplasique
- cafelkibart immunoglobuline G1-kappa, anti-[*Homo sapiens* CCR8 (receptor 8 de quimiocina C-C motivo, CKR-L1, CDw198)]; cadena pesada H-gamma1 (1-453) [VH *Mus musculus* IGHV10-1\*02 (92.9%) -(IGHD) -IGHJ4\*01 (93.8%) S123>L (118)/*Homo sapiens* IGHV3-73\*01 (88.0%) -(IGHD) -IGHJ4\*01 (100%), CDR-IMGT [8.10.14] (26-33.51-60.99-112)] (1-123) -*Homo sapiens* IGHG1\*01, G1m17,1 CH1 K120, CH3 D12, L14, G1v7 CH2 D3, E117 (CH1 K120 (220) (124-221), bisagra 1-15 (222-236), CH2 S3>D (245), I117>E (338) (237-346), CH3 D12 (362), L14 (364) (347-451), CHS (452-453)) (124-453)], (226-219')-disulfuro con la cadena ligera L-kappa (1'-219') [V-KAPPA *Mus musculus* IGHV2-137\*01 (91.0%) -IGKJ4\*01 (91.7%) S120>Q (115')/*Homo sapiens* IGHV2-28\*01 (87.0%) -IGKJ2\*02 (100%), CDR-IMGT [11.3.9] (27'-37'.55'-57'.94'-102')] (1'-112') -*Homo sapiens* IGKC\*01 (100%), Km3 A45.1 (158'), V101 (196') (113'-219')]; dímero (232-232''-235-235'')-bisdisulfuro, producido en las células ováricas de hamster chino (CHO), línea celular CHO-K1, forma glicosilada alfa antineoplásico

2851855-89-3

Heavy chain / Chaîne lourde / Cadena pesada : H-gamma1 (H, H<sup>+</sup>) anti-CCR8  
 EVQLVESGGG LVQPGGSEKLL SCAASGFTFM TYAMNWVRQA SGRGLEWVAR 50  
 IRSKANNYAT YRDSVKDRF TISRDDSKNT LYLQMNLLKT EDTAVYYCVR 100  
 DRSRGEDYAM DWYQGTLVTVSSASTKGPS VFPLAPSSKS TSGGTAALGC 150  
 LVKDYFPEPVT VTSWNSGALT SGVHTFPAVL QSSGLYSLSS VVTVFSSSLG 200  
 TQTYICNVNH KFSNTKVDKK VEPKSCDKTH TCPPCPAPEL LGGPDPVFLFP 250  
 PKPKDTLMIS RTPEVTCVVV DVSHEDEPKV FNIWYDGEV HNAKTKPREE 300  
 QYNSTYRVVLS VLTVLHQDWL NGKEYKCKVS NKALPAPEEK TISKAGQPR 350  
 EPQVYTLPPS RDELTKNQVSL LTLCLVKGFYP SDIAVEWESN GQPFENYKTT 400  
 PFLVDSGSPF FLYSKITVDK SRWQQGNVFS CSMVHEALHN HYTKQSLSL 450  
 PGK 453

Light chain / Chaîne légère / Cadena ligera : L-kappa (L, L<sup>+</sup>) anti-CCR8  
 DIVMTQSPIS LPVTPGEPAS ISCRSSKSL HSNANTVLYW FLQKPGQSPQ 50  
 LLIVRMSNLA SGVDFRFGSGS GSGTAFTLKI SRVEAEDVGV YYCMQHLEYP 100  
 FTFGGQTKLE IKRTVAAPSV FIFPPSDEQL KSGTASVIVCL LNNFYPREAK 150  
 VQWKVDNALQ SGNSSQESVTE QDSKDSYSL SSTLTLSKAD YEKHKVYACE 200  
 VTHQGLSSPV TKSFNREGC 219

**Post-translational modifications**

Disulfide bridges location / Position des ponts disulfure / Posiciones de los puentes disulfuro

Intra-H (C23-C104) 22-98 150-206 267-327 373-431  
 22''-98'' 150''-206'' 267''-327'' 373''-431''

Intra-L (C23-C104) 23'-93' 139'-199'  
 23'''-93''' 139'''-199'''

Inter-H-L (h 5-CL 126) 226-219' 226''-219''

Inter-H-H (h 11, h 14) 232-232' 235-235''

N-glycosylation sites / Sites de N-glycosylation / Posiciones de N-glicosilación

H CH2 N84.4: 303, 303''

Fucosylated complex bi-antennary CHO-type glycans / glycanes de type CHO bi-antennaires complexes fucosylés / glicanos de tipo CHO biantenarijos complejos fucosilados

C-terminal lysine clipping / Coupure de la lysine C-terminale / Recorte de lisina C-terminal

H CHS K2: 453, 453''

**calotatugum #**  
calotatug

immunoglobulin G1-kappa, anti-[*Homo sapiens* ERBB2 (receptor tyrosine-protein kinase erbB-2, epidermal growth factor receptor 2, EGFR2, HER2, HER-2, p185c-erbB2, NEU, CD340)], *Homo sapiens* monoclonal antibody;  
H-gamma1 heavy chain *Homo sapiens* (1-446) [VH (*Homo sapiens* IGHV3-48\*01 (100%) -(IGHD) -IGHJ2\*01 (100%), CDR-IMGT [8.8.10] (26-33.51-58.97-106)) (1-117) -*Homo sapiens* IGHG1\*01 (100%), G1m17,1 CH1 K120, CH3 D12, L14 (CH1 K120 (214) (118-215), hinge 1-15 (216-230), CH2 (231-340), CH3 D12 (356), L14 (358) (341-445), CHS K2>del (446)) (118-446)], (220-215')-disulfide with L-kappa light chain *Homo sapiens* (1'-215') [V-KAPPA (*Homo sapiens* IGKV3-20\*01 (97.9%) -IGKJ4\*01 (100%), CDR-IMGT [7.3.9] (27'-33'.51'-53'.90'-98')) (1'-108') -*Homo sapiens* IGKC\*01 (100%), Km3, A45.1 (154'), V101 (192') (109'-215')]; dimer (226-226":229-229")-bisdisulfide, produced in Chinese hamster ovary (CHO) cells, cell line CHO-K1SV, glycoform alfa  
*antineoplastico*

## calotatug

immunoglobuline G1-kappa, anti-[*Homo sapiens* ERBB2 (récepteur tyrosine-protéine kinase erbB-2, récepteur 2 du facteur de croissance épidermique, EGFR2, HER2, HER-2, p185c-erbB2, NEU, CD340)], anticorps monoclonal *Homo sapiens*;  
chaîne lourde H-gamma1 *Homo sapiens* (1-446) [VH (*Homo sapiens* IGHV3-48\*01 (100%) -(IGHD) -IGHJ2\*01 (100%), CDR-IMGT [8.8.10] (26-33.51-58.97-106)) (1-117) -*Homo sapiens* IGHG1\*01 (100%), G1m17,1 CH1 K120, CH3 D12, L14 (CH1 K120 (214) (118-215), charnière 1-15 (216-230), CH2 (231-340), CH3 D12 (356), L14 (358) (341-445), CHS K2>del (446)) (118-446)], (220-215')-disulfure avec la chaîne légère L-kappa *Homo sapiens* (1'-215') [V-KAPPA (*Homo sapiens* IGKV3-20\*01 (97.9%) -IGKJ4\*01 (100%), CDR-IMGT [7.3.9] (27'-33'.51'-53'.90'-98')) (1'-108') -*Homo sapiens* IGKC\*01 (100%), Km3, A45.1 (154'), V101 (192') (109'-215')]; dimère (226-226":229-229")-bisdisulfure, produit dans des cellules ovariennes de hamster chinois (CHO), lignée cellulaire CHO-K1SV, glycoforme alfa  
*antinéoplasique*

## calotatug

immunoglobulina G1-kappa, anti-[*Homo sapiens* ERBB2 (receptor tirosina-proteína kinasa erbB-2, receptor 2 del factor de crecimiento epidérmico, EGFR2, HER2, HER-2, p185c-erbB2, NEU, CD340)], anticuerpo monoclonal *Homo sapiens*;  
cadena pesada H-gamma1 *Homo sapiens* (1-446) [VH (*Homo sapiens* IGHV3-48\*01 (100%) -(IGHD) -IGHJ2\*01 (100%), CDR-IMGT [8.8.10] (26-33.51-58.97-106)) (1-117) -*Homo sapiens* IGHG1\*01 (100%), G1m17,1 CH1 K120, CH3 D12, L14 (CH1 K120 (214) (118-215), bisagra 1-15 (216-230), CH2 (231-340), CH3 D12 (356), L14 (358) (341-445), CHS K2>del (446)) (118-446)], (220-215')-disulfuro con la cadena ligera L-kappa *Homo sapiens* (1'-215') [V-KAPPA (*Homo sapiens* IGKV3-20\*01 (97.9%) -IGKJ4\*01 (100%), CDR-IMGT [7.3.9] (27'-33'.51'-53'.90'-98')) (1'-108') -*Homo sapiens* IGKC\*01 (100%), Km3, A45.1 (154'), V101 (192') (109'-215')]; dímero (226-226":229-229")-bisdisulfuro, producido en las células ováricas de hámster chino (CHO), línea celular CHO-K1SV, forma glicosilada alfa  
*antineoplásico*

2254097-05-5

<b>Heavy chain / Chaîne lourde / Cadena pesada</b>			
EVQLVESGGG	LVQPGGSLRL	SCAASGFTFS	SYSMNWVROA PGKGLEWVSY 50
ISSSSSTIYY	ADSVKGRFTI	SRDNAKNSLY	LQMNSLRAED TAVYYCARGG 100
HGYFDLWGRG	TLVTVSSAST	KGPSVFLPLAP	SSKSTSGGTA ALGCLVKDYF 150
PEPVTVSWNS	GALTSGVHTF	PAVLQSSGLY	SLSSVTVTPS SSLGTPTYIC 200
NVNHKPSNTK	VDKKVEPKSC	DKTHTCPPCP	APELLGGPSV FLFPPKPKDT 250
LMISRTPEVT	CVVVDVSHED	PEVKFNWYVD	GVEVHNAKTK PREEQYNSTY 300
RVVSVLTVLH	QDWLNGKEYK	CKVSNKALPA	PIEKTIISKAK GQPREPQVYV 350
LPSPRDELTK	NQVSLTCLVK	GFYPSDIAVE	WESNGQPENN YKTTTPVLDL 400
DGSFFLYSKL	TVDKSRWQQG	NVFSCSVMHE	ALHNHYTQKS LSLSPG 446
<b>Light chain / Chaîne légère / Cadena ligera</b>			
EIVLTQSPGT	LSSLSPGERAT	LSCRASQSVS	SSYLAWYQQK PGQAPRLLIY 50
GASSRATGIP	DRFSGSGSGT	DFTLTISRLE	PEDFAVYVYQ QYHHSPLTFG 100
GGTKVEIKRT	VAAPSVFIFP	PSDEQLKSGT	ASVVCLLNFF YPREAKVQWK 150
VDNALQSGNS	QESVTEQDSK	DSTYSLSSSTL	TLSKADYEKH KVYACEVTHQ 200
GLSSPVTKSF	NRGEC		215

**Post-translational modifications**

Disulfide bridges location / Position des ponts disulfure / Posiciones de los puentes disulfuro

Intra-H (C23-C104) 22-96 144-200 261-321 367-425  
22"-96" 144"-200" 261"-321" 367"-425"Intra-L (C23-C104) 23"-89" 135"-195"  
23"<sup>m</sup>-89"<sup>m</sup> 135"<sup>m</sup>-195"<sup>m</sup>

Inter-H-L (h 5-CL 126) 220-215" 220"-215"

Inter-H-H (h 11, h 14) 226-226" 229-229"

N-glycosylation sites / Sites de N-glycosylation / Posiciones de N-glicosilación  
H CH2 N84.4: 297, 297"Fucosylated complex bi-antennary CHO-type glycans / glycanes de type CHO bi-antennaires  
complexes fucosylés / glicanos de tipo CHO biantennarios complejos fucosilados**calotatugum ginistinagum #**

calotatug ginistinag

immunoglobulin G1-kappa, anti-[*Homo sapiens* ERBB2 (receptor tyrosine-protein kinase erbB-2, epidermal growth factor receptor 2, EGFR2, HER2, HER-2, p185c-erbB2, NEU, CD340)], *Homo sapiens* monoclonal antibody, conjugated on 8 cysteinyl residues to a STING agonist, with a ratio of 1 to 8;

H-gamma1 heavy chain *Homo sapiens* (1-446) [VH (*Homo sapiens* IGHV3-48\*01 (100%) -(IGHD) -IGHJ2\*01 (100%), CDR-IMGT [8.8.10] (26-33.51-58.97-106)) (1-117) -*Homo sapiens* IGHG1\*01 (100%), G1m17,1 CH1 K120, CH3 D12, L14 (CH1 K120 (214) (118-215), hinge 1-15 (216-230), CH2 (231-340), CH3 D12 (356), L14 (358) (341-445), CHS K2>del (446)) (118-446)], (220-215")-disulfide with L-kappa light chain *Homo sapiens* (1'-215') [V-KAPPA (*Homo sapiens* IGKV3-20\*01 (97.9%) -IGKJ4\*01 (100%), CDR-IMGT [7.3.9] (27'-33'.51'-53'.90'-98'')) (1'-108') -*Homo sapiens* IGKC\*01 (100%), Km3 A45.1 (154'), V101 (192') (109'-215')]; dimer (226-226"':229-229"')-bisdisulfide, produced in Chinese hamster ovary (CHO) cells, cell line CHO-K1SV, glycoform alfa; substituted at the sulfur atom of eight L-cysteinyl residues at position 220, 226, 229, 215', 220", 226", 229" and 215" with radical group (3RS)-1-[(4S,47S,53S,54R,55R,56R)-4-[(15S)-20-[[[(6E)-4<sup>6</sup>,9<sup>5</sup>-dicarbamoyl-1<sup>4</sup>,12<sup>4</sup>-diethyl-1<sup>2</sup>,12<sup>2</sup>-dimethyl-2,11-dioxo-3,10-diaza-1,12(5)-bis[1,3]oxazola-4(2,3)-imidazo[4,5-b]pyridina-9(1,2)-[1,3]benzimidazoladodecaphan-6-en-9<sup>7</sup>-yl]oxy]-15-methyl-3,13,16-trioxo-7,10,17-trioxa-4,14-diazaicosan-1-yl]-53,54,55,56,57-pentahydroxy-2,5,8,11,14,17,45,50-octaooxo-47-[[[(2S,3R,4R,5R)-2,3,4,5,6-pentahydroxyhexyl]carbamoyle]-21,24,27,30,33,36,39,42-octaooxa-3,6,9,12,15,18,46,51-octaazaheptapentacontan-1-yl]-2,5-dioxopyrrolidin-3-yl] (*ginistinag*)  
*antineoplastic*

calotatug ginistinag

immunoglobuline G1-kappa, anti-[*Homo sapiens* ERBB2 (récepteur tyrosine-protéine kinase erbB-2, récepteur 2 du facteur de croissance épidermique, EGFR2, HER2, HER-2, p185c-erbB2, NEU, CD340)], anticorps monoclonal *Homo sapiens*, conjugué par 8 résidus cystéinyle à un agoniste STING avec un rapport de 1 à 8;

chaîne lourde H-gamma1 *Homo sapiens* (1-446) [VH (*Homo sapiens* IGHV3-48\*01 (100%) -(IGHD) -IGHJ2\*01 (100%), CDR-IMGT [8.8.10] (26-33.51-58.97-106)) (1-117) -*Homo sapiens* IGHG1\*01 (100%), G1m17,1 CH1 K120, CH3 D12, L14 (CH1 K120 (214) (118-215), charnière 1-15 (216-230), CH2 (231-340), CH3 D12 (356), L14 (358) (341-445), CHS K2>del (446)) (118-446)], (220-215')-disulfure avec la chaîne légère L-kappa *Homo sapiens* (1'-215') [V-KAPPA (*Homo sapiens* IGKV3-20\*01 (97.9%) -IGKJ4\*01 (100%), CDR-IMGT [7.3.9] (27'-33'.51'-53'.90'-98')) (1'-108') -*Homo sapiens* IGKC\*01 (100%), Km3 A45.1 (154'), V101 (192') (109'-215')]; dimère (226-226":229-229")-bisdisulfure, produit dans des cellules ovariennes de hamster chinois (CHO), lignée cellulaire CHO-K1SV, glycoforme alfa; substitué sur l'atome de soufre de 8 résidus L-cystéinyle en position 220, 226, 229, 215', 220", 226", 229" et 215" avec le groupement radical (3RS)-1-[(4S,47S,53S,54R,55R,56R)-4-[(15S)-20-[[[(6E)-4<sup>9</sup>,9<sup>5</sup>-dicarbamoil-1<sup>4</sup>,12<sup>4</sup>-diéthyl-1<sup>2</sup>,12<sup>2</sup>-diméthyl-2,11-dioxo-3,10-diaza-1,12(5)-bis[1,3]oxazola-4(2,3)-imidazo[4,5-b]pyridina-9(1,2)-[1,3]benzimidazoladodécaphan-6-én-9<sup>7</sup>-yl]oxy]-15-méthyl-3,13,16-trioxo-7,10,17-trioxa-4,14-diazaicosan-1-yl]-53,54,55,56,57-pentahydroxy-2,5,8,11,14,17,45,50-octaoxo-47-[[[(2S,3R,4R,5R)-2,3,4,5,6-pentahydroxyhexyl]carbamoil]-21,24,27,30,33,36,39,42-octaoxa-3,6,9,12,15,18,46,51-octazaheptapentacontan-1-yl]-2,5-dioxopyrrolidin-3-yle (*ginistinag*)  
*antineoplasique*

calotatug ginistinag

immunoglobulina G1-kappa, anti-[*Homo sapiens* ERBB2 (receptor tirosina-proteína kinasa erbB-2, receptor 2 del factor de crecimiento epidérmico, EGFR2, HER2, HER-2, p185c-erbB2, NEU, CD340)], anticuerpo monoclonal *Homo sapiens*, conjugado por 8 residuos cisteinilo a un agonista STING con un ratio de 1 a 8;  
cadena pesada H-gamma1 *Homo sapiens* (1-446) [VH (*Homo sapiens* IGHV3-48\*01 (100%) -(IGHD) -IGHJ2\*01 (100%), CDR-IMGT [8.8.10] (26-33.51-58.97-106)) (1-117) -*Homo sapiens* IGHG1\*01 (100%), G1m17,1 CH1 K120, CH3 D12, L14 (CH1 K120 (214) (118-215), bisagra 1-15 (216-230), CH2 (231-340), CH3 D12 (356), L14 (358) (341-445), CHS K2>del (446)) (118-446)], (220-215')-disulfuro con la cadena ligera L-kappa *Homo sapiens* (1'-215') [V-KAPPA (*Homo sapiens* IGKV3-20\*01 (97.9%) -IGKJ4\*01 (100%), CDR-IMGT [7.3.9] (27'-33'.51'-53'.90'-98')) (1'-108') -*Homo sapiens* IGKC\*01 (100%), Km3 A45.1 (154'), V101 (192') (109'-215')]; dímero (226-226":229-229")-bisdisulfuro, producido en las células ováricas de hámster chino (CHO), línea celular CHO-K1SV, forma glicosilada alfa; substituido sobre el átomo de azufre de 8 residuos L-cisteinilo en posición 220, 226, 229, 215', 220", 226", 229" y 215" con el grupo radical (3RS)-1-[(4S,47S,53S,54R,55R,56R)-4-[(15S)-20-[[[(6E)-4<sup>9</sup>,9<sup>5</sup>-dicarbamoil-1<sup>4</sup>,12<sup>4</sup>-diétil-1<sup>2</sup>,12<sup>2</sup>-dimetil-2,11-dioxo-3,10-diaza-1,12(5)-bis[1,3]oxazola-4(2,3)-imidazo[4,5-b]piridina-9(1,2)-[1,3]benzimidazoladodecaphan-6-en-9<sup>7</sup>-il]oxi]-15-metil-3,13,16-trioxo-7,10,17-trioxa-4,14-diazaicosan-1-il]-53,54,55,56,57-pentahidroxi-2,5,8,11,14,17,45,50-octaoxo-47-[[[(2S,3R,4R,5R)-2,3,4,5,6-pentahidroxihexil]carbamoil]-21,24,27,30,33,36,39,42-octaoxa-3,6,9,12,15,18,46,51-octazaheptapentacontan-1-il]-2,5-dioxopirrolidin-3-ilo (*ginistinag*)  
*antineoplásico*

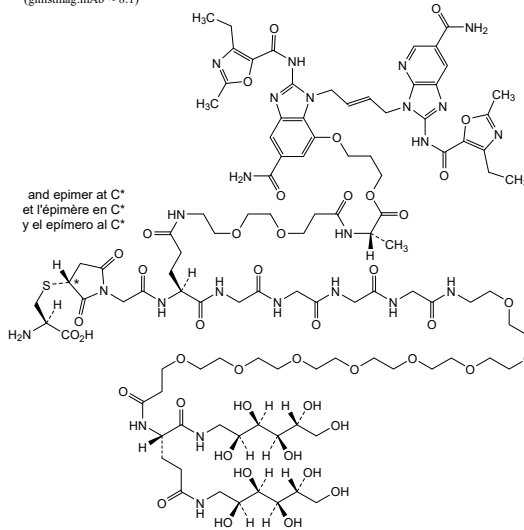
2847102-44-5

Heavy chain / Chaîne lourde / Cadena pesada  
 EVQLVESGGG LVQPGGSLRL SCAASGFTFS SYSMNWRQA PGKLEWVSY 50  
 ISSSSITTF ADSVGRFTI SRDANNSLY LQMNSLRAED TAVYFCARGG 100  
 HCYFDLNRGR TLVTVSSAST KGSVFPFAP SRSSTSGCTA ALGCLNRYDF 150  
 PEPVTVSWSN GALTSGVHTF PAVLQSSGLY SLSSTVTVFS SSLGTQTYIC 200  
 NVNHKFSNTK VDKKVEPKSC DKRHTCPPCP APELLGGPSV FLFPPKPKDT 250  
 LMISRTPEVT CVVVVDSHED PEVKFNWYVD GVEVHNAKTK PREEQYNSTY 300  
 RVVSVLTVLH QDWLNGKEYK CKVSNKALPA PIEKTIKAK QGPREFQVYT 350  
 LPFSRDELTK NQVSLTCLVK GFYPSDIAVE WESNGQPENN YKTTFPVPLDS 400  
 DGSFFLYSKL TVDKSRWQGG NVFSCSVMHE ALHNHYTQKS LLSLSPG 446

Light chain / Chaîne légère / Cadena ligera  
 EIVLTQSPGT LSLSPGERAT LSCRAGQSVS SSYLAWYQQK FGGAPRLLIY 50  
 GASSRATGIF DRFSGGGSGT DFTLTISRLE PEDFAVYTCQ QYHHSPLTFG 100  
 GGTKVEIKRT VAAFSVFIFF FSDEQLKSGT ASVVCLLNNE YPREAKVQWK 150  
 VDMNLGSGNS QESVTEQDSK DSTYISLSTL TISKADYEKH KVVACEVTHQ 200  
 GLSSPVTKSF NRGEC 215

**Post-translational modifications**  
 Disulfide bridges location / Position des ponts disulfure / Posiciones de los puentes disulfuro  
 Intra-H (C23-C104) 22°-96' 144°-200' 261°-321' 367°-425'  
 22°-96" 144°-200" 261°-321" 367°-425"  
 Intra-L (C23-C104) 23°-89' 135°-195'  
 23°-89" 135°-195"  
 Inter-H-L\* (h 5-CL 126) 220°-215' 220°-215"  
 Inter-H-H\* (h 11, h 14) 226°-226' 229°-229"  
 \* The four inter-chain disulfide bridges are not present, an average of 8 cysteinyl being conjugated each via a thioether bond to a drug linker.  
 \* Les quatre ponts disulfures inter-chaînes ne sont pas présents, 8 cystéinyl en moyenne étant chacun conjugué via une liaison thioéther à un linker-principe actif.  
 \* Los cuatro puentes disulfuro inter-catenarios no estan presentes, una media de 8 cisteinil está conjugada a conectores de principio activo.

N-glycosylation sites / Sites de N-glycosylation / Posiciones de N-glicosilación  
 H CH2 N84.4: 297, 297"  
 Fucosylated complex bi-antennary CHO-type glycans / glycanes de type CHO bi-antennaires complexes fucosylés / glicanos de tipo CHO biantennarios complejos fucosilados  
 Potential modified residues / résidus modifiés potentiels / restos modificados potenciales\*  
 C (220,226,229,215;220°,226°,229°,215°)  
 \*(ginistinag.mAb ~ 8.1)



**camalprina alfa #**  
 camalprina alfa

human alpha-1-antitrypsin (alpha-1 protease inhibitor, alpha-1-antiproteinase, serpin A1) [C<sup>232</sup>>S, <sup>357</sup>PMS<sup>359</sup>>KRK]-variant, produced in Chinese hamster ovary (CHO) cells, cell line CHO-GS, glycoform alfa  
*activated protein C inhibitor*

camalprina alfa

alpha-1-antitrypsine humaine (inhibiteur de la protéase alpha-1, alpha-1-antiprotéinase, serpine A1), [C<sup>232</sup>>S, <sup>357</sup>PMS<sup>359</sup>>KRK]-variant, produite dans des cellules ovariennes de hamster chinois (CHO) lignée cellulaire CHO-GS, glycoforme alfa  
*inhibiteur de la protéine C activée*



camalprina alfa

antitripsina alfa 1 humana (inhibidor de la proteasa alfa-1, antiproteinasas alfa-1, serpin A1) [C<sup>232</sup>>S, <sup>357</sup>PMS<sup>359</sup>>KRK]-variante, producido en las células ováricas de hámster chino (CHO), línea celular CHO-GS, glicofoma alfa  
*inhibidor de la proteína C activada*

2853491-11-7

Sequence / Séquence / Secuencia

EDPQGDAAQK	TDTSHHDQDH	PTFNKITPNL	AFAFSLYRQ	LAHQSNSTNI	50	
FFSPVSIATA	FAMLSLGTKA	DTHDEILEGL	NFNLTEIPEA	QIHEGFQELL	100	
RTLNQPDSQL	QLTTGNLFL	SEGLKLVDFK	LEDVKKLYHS	EAFVTNFGDT	150	
EEAKKQINDY	VEKGTQGKIV	DLVKELDRDT	VFALVNYIFF	KGKWERPFV	200	
KDTEEDDFHV	DQVTTVKVPM	MKRLGMFNIQ	HSKLLSSWVL	LMKYLGNATA	250	
IFFLPDEGKL	QHLENELTHD	IITKFLNED	RRSASLHLPK	LSITGTYDLK	300	
SVLGQLGITK	VFSNGADLSG	VTEEAPLKLS	KAVHKAVLTI	DEKGETAAGA	350	
MFLEAI	<b>KRK</b>	PPEVKFNKPF	VFLMIEQNTK	SPLFMGKVVN	PTQK	394

Mutation / Mutation / Mutación

C<sup>232</sup>>S, <sup>357</sup>PMS<sup>359</sup>>**KRK****Post-translation modifications**Disulfide bridges location / Position des ponts disulfure / Posiciones de los puentes disulfuro  
none / aucun / ninguna

N-glycosylation sites / Sites de N-glycosylation / Posiciones de N-glicosilación

N46, N83, N247

Oxidation sites / Sites d'oxydation / Posiciones de oxidación

M226, M242, M351, M374

Deamidation sites / Sites de désamidation / Posiciones de desamidación

N104, N116, N314, N378

**camibirstatum**

camibirstat

*N*-{(2S)-1-[(4-{6-[(2R,6S)-2,6-dimethylmorpholin-4-yl]pyridin-2-yl}-1,3-thiazol-2-yl)amino]-3-methoxy-1-oxopropan-2-yl}-1-(methanesulfonyl)-1*H*-pyrrole-3-carboxamide  
*ATPase inhibitor, antineoplastic*

camibirstat

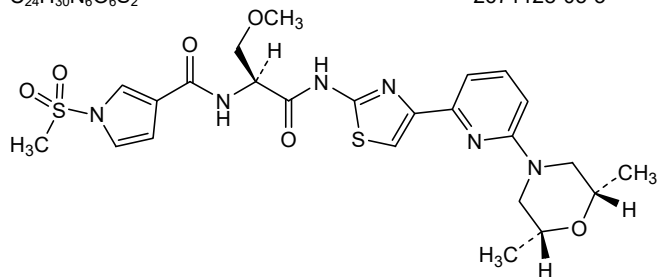
*N*-{(2S)-1-[(4-{6-[(2R,6S)-2,6-diméthylmorpholin-4-yl]pyridin-2-yl}-1,3-thiazol-2-yl)amino]-3-méthoxy-1-oxopropan-2-yl}-1-(méthanesulfonyl)-1*H*-pyrrole-3-carboxamide  
*inhibiteur de l'ATPase, antinéoplasique*

camibirstat

*N*-{(2S)-1-[(4-{6-[(2R,6S)-2,6-dimetilmorfolin-4-il]piridin-2-il}-1,3-tiazol-2-il)amino]-3-metoxi-1-oxopropan-2-il)-1-(metanosulfonyl)-1*H*-pirrol-3-carboxamida  
*inhibidor de ATPasa, antineoplásico*

C<sub>24</sub>H<sub>30</sub>N<sub>6</sub>O<sub>6</sub>S<sub>2</sub>

2671128-05-3



**cesnicabtagenum autoleucelum #**

cesnicabtagene autoleucel autologous T lymphocytes obtained from peripheral blood mononuclear cells (PBMC) by leukapheresis, transduced with a self-inactivating, non-replicating lentiviral vector encoding a chimeric antigen receptor (CAR) targeting the B-cell maturation antigen (BCMA). The expressed transgene comprises an IgGk chain V-III leader sequence, a humanized anti-BCMA single chain variable fragment (scFv, clone J22.9), a CD8 $\alpha$  hinge and transmembrane domain, and a 4-1BB co-stimulatory domain and CD3 $\zeta$  signalling domain, under control of the human elongation factor 1 alpha (EF-1 $\alpha$ ) promoter. The construct is flanked by 5' and 3' long terminal repeats (LTRs) and also contains a  $\psi$  packaging signal, a Rev response element (RRE), a central polypurine tract (cPPT) sequence and a Woodchuck hepatitis virus posttranscriptional regulatory element (WPRE). The vector is pseudotyped with the vesicular stomatitis virus (VSV) G envelope protein.

The leukapheresis material is enriched for CD4+ and CD8+ T lymphocytes by positive immunoselection prior to activation with CD3 and CD28 agonists in growth media containing interleukin 7 (IL-7) and interleukin 5 (IL-5). The cells are then transduced with the lentiviral vector and expanded in growth media containing interleukin 7 (IL-7) and interleukin 5 (IL-5). The cell suspension consists of T lymphocytes (>70%), with greater than 20% of the T lymphocytes expressing the CAR-BCMA transgene. The transduced T lymphocytes demonstrate cytotoxicity against BCMA-expressing cells

*cell-based gene therapy (antineoplastic)*

## cesnicabtagène autoleucel

lymphocytes T autologues obtenus à partir de cellules mononucléaires de sang périphérique (PBMC) par leucaphérèse, transduits avec un vecteur lentiviral auto-inactivant et non répliquant codant un récepteur antigénique chimérique (CAR) ciblant l'antigène de maturation des cellules B (BCMA). Le transgène exprimé comprend une séquence de tête de la chaîne IgGk V-III, un fragment variable à chaîne unique (scFv) humanisé anti-BCMA (clone J22.9), une charnière CD8 $\alpha$  et un domaine transmembranaire, ainsi qu'un domaine de costimulation 4-1BB et un domaine de signalisation CD3 $\zeta$ , sous le contrôle du promoteur du facteur d'élongation 1 alpha humain (EF-1 $\alpha$ ). La construction est flanquée de répétitions terminales longues (LTR) en 5' et 3' et contient également un signal d'encapsulation  $\psi$ , un élément de réponse Rev (RRE), une séquence du tractus polypurine central (cPPT) et un élément de régulation post-transcriptionnelle du virus de l'hépatite de la marmotte (WPRE). Le vecteur est pseudotypé avec la protéine d'enveloppe G du virus de la stomatite vésiculaire (VSV).

Le matériel de leucaphérèse est enrichi en lymphocytes T CD4+ et CD8+ par immunosélection positive avant d'être activé avec des agonistes CD3 et CD28 dans des milieux de croissance contenant de l'interleukine 7 (IL-7) et de l'interleukine 5 (IL-5). Les cellules sont ensuite transduites avec le vecteur lentiviral et amplifiées dans un milieu de croissance contenant de l'interleukine 7 (IL-7) et de l'interleukine 5 (IL-5). La suspension cellulaire est composée de lymphocytes T (>70%), dont plus de 20% expriment le transgène CAR-BCMA. Les lymphocytes T transduits présentent une cytotoxicité contre les cellules exprimant le BCMA

*thérapie génique à base de cellules (antinéoplasique)*

cesnicabtagén autoleucel

linfocitos T autólogos obtenidos de células mononucleares de sangre periférica (PBMC) mediante leucoaféresis, transducidos con un vector lentiviral no replicativo, auto inactivante, que codifica para un receptor de antígenos quimérico (CAR) dirigido al antígeno de maduración de linfocitos B (BCMA). El transgén expresado contiene una secuencia líder de la cadena IgGκV-III, un fragmento variable de cadena sencilla (scFv) humanizado anti-BCMA (clon J22.9), un dominio bisagra y transmembrana de CD8α, y un dominio coestimulador de 4-1BB y un dominio de señalización de CD3ζ, bajo el control del promotor del factor de elongación 1 alfa (EF-1α) humano. El constructo está flanqueado por repeticiones terminales largas (LTRs) en 5' y 3' y también contiene una señal de empaquetamiento ψ, un elemento de respuesta Rev (RRE), una secuencia de tracto de polipurina central (cPPT) y un elemento regulador post-transcripcional del virus de la hepatitis de la marmota (WPRE). El vector está pseudotipado con la proteína G de la envuelta del virus de la estomatitis vesicular (VSV).

El material de leucoaféresis se enriquece para linfocitos T CD4+ y CD8+ mediante inmunoselección positiva antes de la activación con agonistas de CD3 y CD28 en medio de crecimiento que contiene interleuquina 7 (IL-7) e interleuquina 5 (IL-5). Las células se transducen después con el vector lentiviral y se expanden en medio de cultivo que contiene interleuquina 7 (IL-7) e interleuquina 5 (IL-5). La suspensión celular consiste en linfocitos T (>70%), con más del 20% de los linfocitos T que expresan el transgén CAR-BCMA. Los linfocitos T transducidos demuestran citotoxicidad contra células que expresan BCMA *terapia génica basada en células (antineoplásico)*

**ciracigenum golparovecum #**

ciracigene golparovec

recombinant, self-complementary non-replicating adeno-associated virus vector with Olig-001\* capsid (rAAV-Olig-001) encoding codon-optimized human aspartoacylase (ASPA, ASP, ACY2) under control of a cytomegalovirus (CMV) enhancer/chicken β-actin (CBh) hybrid promoter and terminated by a bovine growth hormone polyadenylation signal, flanked by adeno-associated virus 2 (AAV2) inverted terminal repeats (ITRs). The vector genome is a head-to-head, self-complementary dimer, with the vector genome cassette located 5' of the mutated internal inverted terminal repeat (Δ-ITR) in a reverse complementary orientation and 3' of the Δ-ITR in a forward orientation.

\*The Olig-001 capsid is a chimeric mixture of AAV1, 2, 6, 8 and 9 that facilitates entry into oligodendrocytes.  
*gene therapy (Canavan disease)*

ciracigène golparovec

vecteur recombinant, auto-complémentaire et non répliquant avec une capside Olig-001\* du virus adéno-associé (rAAV-Olig-001) codant une aspartoacylase humaine aux codons optimisés (ASPA, ASP, ACY2) sous le contrôle d'un amplificateur du cytomegalovirus (CMV)/promoteur hybride de la β-actine de poulet (CBh) et terminé par un signal de polyadénylation de l'hormone de croissance bovine, flanqué de répétitions terminales inversées (ITR) du virus adéno-associé 2 (AAV2). Le génome du vecteur est un dimère tête à tête, auto-complémentaire, avec la cassette du génome du vecteur localisée en 5' de la répétition terminale inversée interne mutée

	(Δ-ITR) dans une orientation complémentaire inverse et en 3' de la Δ-ITR dans une orientation vers l'avant *La capsid d'Olig-001 est un mélange chimérique d'AAV1, 2, 6, 8 et 9 qui facilite l'entrée dans les oligodendrocytes. <i>thérapie génique (maladie de Canavan)</i>
ciracigén golparvec	vector de virus adenoasociado con cápsida Olig-001* recombinante (rAAV-Olig-001), auto complementario, no replicativo, que codifica, con codones optimizados, para la aspartoacilasa humana (ASPA, ASP, ACY2) bajo el control de un potenciador del citomegalovirus/promotor híbrido de la β-actina de pollo (CBh) y terminado por una señal de poliadenilación de la hormona de crecimiento bovina, flanqueado por repeticiones terminales invertidas (ITRs) del virus adenoasociado 2 (AAV2). El genoma del vector es un dímero auto complementario en disposición cabeza con cabeza, con el casete del genoma del vector localizado en posición 5' de la repetición terminal invertida interna mutada (Δ-ITR) en una orientación complementaria inversa y 3' de la Δ-ITR) en una orientación directa *La cápsida Olig-001 es una mezcla quimérica de AAV1, 2, 6, 8 y 9 que facilita la entrada en oligodendrocitos. <i>terapia génica (enfermedad de Canavan)</i>

2847055-64-3

**claziprotamidum**

claziprotamide

1-[4-(6-chloropyridazin-3-yl)piperazin-1-yl]-2-(4-cyclopropyl-3-fluorophenyl)ethan-1-one  
*pantothenate kinases 1 and 3 (Pank1 and Pank3) positive allosteric modulator*

claziprotamide

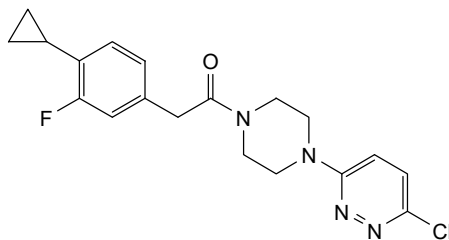
1-[4-(6-chloropyridazin-3-yl)pipérazin-1-yl]-2-(4-cyclopropyl-3-fluorophényl)éthan-1-one  
*modulateur allostérique positif des pantothénates kinases 1 et 3 (Pank1 et Pank3)*

claziprotamida

2-(4-ciclopropil-3-fluorofenil)-1-[4-(6-cloropiridazin-3-il)piperazin-1-il]etan-1-ona  
*modulador alostérico positivo de las pantotenato kinasas 1 y 3 (Pank1 y Pank3)*

C<sub>19</sub>H<sub>20</sub>ClFN<sub>4</sub>O

2361124-03-8



**comekibartum #**  
comekibart

immunoglobulin G4-kappa, anti-[*Homo sapiens* IL4R (interleukin 4 receptor, IL4RA, IL-4RA, interleukin 13 receptor, CD124)], humanized monoclonal antibody; H-gamma4 heavy chain humanized (1-448) [VH (*Homo sapiens* IGHV3-48\*01 (93.9%) -(IGHD) -IGHJ4\*01 (100%), CDR-IMGT [8.8.15] (26-33.51-58.97-111)) (1-122)-*Homo sapiens* IGHG4\*01, nG4m(a) CH2 L92, G4v5 h P10, G4v24 CH3 L107, S114 (CH1 (123-220), hinge 1-12 S10>P (230) (221-232), CH2 L92 (311) (233-342), CH3 M107>L (430), N114>S (436) (343-447), CHS K2>del (448)) (123-448)], (136-214')-disulfide with L-kappa light chain humanized (1'-214') [V-KAPPA (*Homo sapiens* IGKV1-33\*01 (89.5%) -IGKJ2\*02 (100%), CDR-IMGT [6.3.9] (27'-32'.50'-52'.89'-97')) (1'-107') -*Homo sapiens* IGKC\*01 (100%), Km3 A45.1 (153'), V101 (191') (108'-114')]; dimer (228-228":231-231")-bisdisulfide, produced in Chinese hamster ovary (CHO) cells, cell line CHO-K1, glycoform alfa  
*anti-inflammatory*

## comékibart

immunoglobuline G4-kappa, anti-[*Homo sapiens* IL4R (récepteur de l'interleukine 4, IL4RA, IL-4RA, récepteur de l'interleukine 13, CD124)], anticorps monoclonal humanisé; chaîne lourde H-gamma4 humanisée (1-448) [VH (*Homo sapiens* IGHV3-48\*01 (93.9%) -(IGHD) -IGHJ4\*01 (100%), CDR-IMGT [8.8.15] (26-33.51-58.97-111)) (1-122)-*Homo sapiens* IGHG4\*01, nG4m(a) CH2 L92, G4v5 h P10, G4v24 CH3 L107, S114 (CH1 (123-220), charnière 1-12 S10>P (230) (221-232), CH2 L92 (311) (233-342), CH3 M107>L (430), N114>S (436) (343-447), CHS K2>del (448)) (123-448)], (136-214')-disulfure avec la chaîne légère L-kappa humanisée (1'-214') [V-KAPPA (*Homo sapiens* IGKV1-33\*01 (89.5%) -IGKJ2\*02 (100%), CDR-IMGT [6.3.9] (27'-32'.50'-52'.89'-97')) (1'-107') -*Homo sapiens* IGKC\*01 (100%), Km3 A45.1 (153'), V101 (191') (108'-114')]; dimère (228-228":231-231")-bisdisulfure, produit dans des cellules ovariennes de hamster chinois (CHO), lignée cellulaire CHO-K1, glycoforme alfa  
*anti-inflammatoire*

## comekibart

immunoglobulina G4-kappa, anti-[*Homo sapiens* IL4R (receptor de la interleukina 4, IL4RA, IL-4RA, receptor de la interleukina13, CD124)], anticuerpo monoclonal humanizado; cadena pesada H-gamma4 humanizada (1-448) [VH (*Homo sapiens* IGHV3-48\*01 (93.9%) -(IGHD) -IGHJ4\*01 (100%), CDR-IMGT [8.8.15] (26-33.51-58.97-111)) (1-122)-*Homo sapiens* IGHG4\*01, nG4m(a) CH2 L92, G4v5 h P10, G4v24 CH3 L107, S114 (CH1 (123-220), bisagra 1-12 S10>P (230) (221-232), CH2 L92 (311) (233-342), CH3 M107>L (430), N114>S (436) (343-447), CHS K2>del (448)) (123-448)], (136-214')-disulfuro con la cadena ligera L-kappa humanizada (1'-214') [V-KAPPA (*Homo sapiens* IGKV1-33\*01 (89.5%) -IGKJ2\*02 (100%), CDR-IMGT [6.3.9] (27'-32'.50'-52'.89'-97')) (1'-107') -*Homo sapiens* IGKC\*01 (100%), Km3 A45.1 (153'), V101 (191') (108'-114')]; dímero (228-228":231-231")-bisdisulfuro, producido en las células ováricas de hámster chino (CHO), línea celular CHO-K1, forma glicosilada alfa  
*antiinflamatorio*

2833673-47-3

**Heavy chain / Chaîne lourde / Cadena pesada : H-gamma4 (H, H<sup>1</sup>) anti-IL4R**

EVQLVESGGG	LVQPGGSLRL	SCAASGFTFS	DYGMHWVRQA	PGKLEWVSY	50
ISSGSTTIYY	ADTVKGRFTI	SRDNAKNSLY	LQMNSLRAED	TAVYYCARIS	100
TVVAKRYAMD	YWGQGLVTV	SSASTKGPSV	FPLAPCSRST	SESTAALGCL	150
VKDYFPEPVT	VSWNSGALTS	GVHTFPAVLQ	SSGLYLSLSSV	VTVFSSSLGT	200
KTYTCNVDPK	FSNTRKDKRV	ESKYGPPCFP	CPAPEFLGGP	SVFLFPKPK	250
DTLMSRTPTE	VTCVVVDVDSQ	EDPEVQFNMY	VDGVEVHNAK	TKPREEQFNS	300
TYRVVSVLTV	LHQDWLNGKE	YKCKVSNKGL	PSSIEKTIISK	AKGQPREPQV	350
YTLPPSQEEM	TKNQVSLTCL	VKGFPYSDIA	WEVESNGQPE	NNYKTTFFVL	400
DSDGSEFFLYS	RLTVDKSRWQ	EGNVFSCSVL	HEALHSHYTQ	KSLSLSLG	448

**Light chain / Chaîne légère / Cadena ligera : L-kappa (L, L<sup>1</sup>) anti-IL4R**

DIQMTQSPSS	LSASVGDRTV	ITCRASQDIS	NYLNWYQQKF	GKAPKLLIYY	50
TSRLHSGVPS	RFGSGSGSDT	FTLTISLQEP	EDIAITYYCCQ	INALPFTFGQ	100
GTKLEIKRTV	AAPSVFIFPP	SDEQLKSGTA	SVVCLLNNFY	PREAKVQWKV	150
DNALQSGNSQ	ESVTEQDSK	STYLSLSTLT	LSKADYEEKH	VYACEVTHQG	200
LSSPVTKSFN	RGEC				214

**Post-translational modifications**

Disulfide bridges location / Position des ponts disulfure / Posiciones de los puentes disulfuro

Intra-H (C23-C104)	22°-96°	149°-205°	263°-323°	369°-427°
	22°-96°	149°-205°	263°-323°	369°-427°
Intra-L (C23-C104)	23°-88°	134°-194°		
	23°-88°	134°-194°		
Inter-H-L (H1 10-CL 126)	136°-214°	136°-214°		
Inter-H-H (h 8, h 11)	228°-228°	231°-231°		

N-glycosylation sites / Sites de N-glycosylation / Posiciones de N-glicosilación

H CH2 N84.4: 299, 299°

Fucosylated complex bi-antennary CHO-type glycans / glycanes de type CHO bi-antennaires complexes fucosylés / glicanos de tipo CHO biantennarios complejos fucosilados

**copper (<sup>64</sup>Cu) adarulatidum tetraxetanum**copper (<sup>64</sup>Cu) adarulatide tetraxetan

[N-({4,10-bis[(carboxylato-κO)methyl]-7-(carboxymethyl)-1,4,7,10-tetraazacyclododecan-1-yl-κ<sup>4</sup>N<sup>1</sup>,N<sup>4</sup>,N<sup>7</sup>,N<sup>10</sup>}acetyl)-L-α-aspartyl-3-cyclohexyl-L-alanyl-L-phenylalanyl-D-seryl-D-arginyl-L-tyrosyl-L-leucyl-L-tryptophyl-L-serine](<sup>64</sup>Cu)copper  
*diagnostic imaging agent*

cuivre (<sup>64</sup>Cu) adarulatide tétraxétan

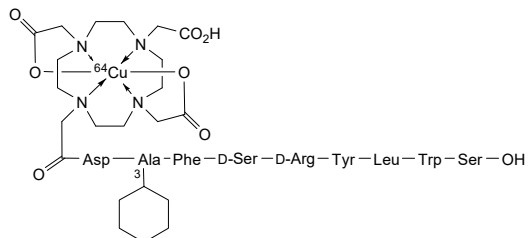
[N-({4,10-bis[(carboxylato-κO)méthyl]-7-(carboxyméthyl)-1,4,7,10-tétraazacyclododécane-1-yl-κ<sup>4</sup>N<sup>1</sup>,N<sup>4</sup>,N<sup>7</sup>,N<sup>10</sup>}acétyl)-L-α-aspartyl-3-cyclohexyl-L-alanyl-L-phénylalanyl-D-séryl-D-arginyl-L-tyrosyl-L-leucyl-L-tryptophyl-L-sérine](<sup>64</sup>Cu)cuivre  
*agent d'imagerie diagnostique*

cobre (<sup>64</sup>Cu) adarulatida tetraxetán

[N-({4,10-bis[(carboxilato-κO)metil]-7-(carboximetil)-1,4,7,10-tetraazaciclododecan-1-il-κ<sup>4</sup>N<sup>1</sup>,N<sup>4</sup>,N<sup>7</sup>,N<sup>10</sup>}acetil)-L-α-aspartil-3-ciclohexil-L-alanil-L-fenilalanil-L-seril-L-arginil-L-tirosil-L-leucil-L-triptofil-L-serina](<sup>64</sup>Cu)cobre  
*agente de diagnóstico por imagen*

C<sub>76</sub>H<sub>107</sub><sup>64</sup>CuN<sub>17</sub>O<sub>22</sub>

2841388-40-5



**crebankitugum #**

crebankitug

immunoglobulin G1-lambda2, anti-[*Homo sapiens* IL7R (interleukin 7 receptor, IL7RA, CD127)], *Homo sapiens* monoclonal antibody;  
 H-gamma1 heavy chain *Homo sapiens* (1-447) [VH (*Homo sapiens* IGHV3-43D\*03 (87.8%) -(IGHD) -IGHJ4\*01 (100%), CDR-IMGT [8.8.10] (26-33.51-58.97-106))] (1-117) -*Homo sapiens* IGHG1\*03v (100%), G1m3>G1m17, nG1m1 CH1 K120, CH3 E12, M14 (CH1 R120>K (214) (118-215), hinge 1-15 (216-230), CH2 (231-340), CH3 E12 (356), M14 (358) (341-445), CHS (446-447)) (118-447)], (220-215')-disulfide with L-lambda2 light chain *Homo sapiens* (1'-216') [V-LAMBDA (*Homo sapiens* IGLV6-57\*01 (96.8%) -IGLJ3\*02 (100%), CDR-IMGT [8.3.9] (26'-33'.51'-53'.92'-100')) (1'-110') -*Homo sapiens* IGLC2\*01 (100%) (111'-216')]; dimer (226-226":229-229")-bisdisulfide, produced in Chinese hamster ovary (CHO) cells, cell line CHO-K1SV, glycoform alfa *immunomodulator*

crébankitug

immunoglobuline G1-lambda2, anti-[*Homo sapiens* IL7R (récepteur de l'interleukine 7, IL7RA, CD127)], anticorps monoclonal *Homo sapiens*;  
 chaîne lourde H-gamma1 *Homo sapiens* (1-447) [VH (*Homo sapiens* IGHV3-43D\*03 (87.8%) -(IGHD) -IGHJ4\*01 (100%), CDR-IMGT [8.8.10] (26-33.51-58.97-106))] (1-117) -*Homo sapiens* IGHG1\*03v (100%), G1m3>G1m17, nG1m1 CH1 K120, CH3 E12, M14 (CH1 R120>K (214) (118-215), charnière 1-15 (216-230), CH2 (231-340), CH3 E12 (356), M14 (358) (341-445), CHS (446-447)) (118-447)], (220-215')-disulfure avec la chaîne légère L-lambda2 *Homo sapiens* (1'-216') [V-LAMBDA (*Homo sapiens* IGLV6-57\*01 (96.8%) -IGLJ3\*02 (100%), CDR-IMGT [8.3.9] (26'-33'.51'-53'.92'-100')) (1'-110') -*Homo sapiens* IGLC2\*01 (100%) (111'-216')]; dimère (226-226":229-229")-bisdisulfure, produit dans des cellules ovariennes de hamster chinois (CHO), lignée cellulaire CHO-K1SV, glycoforme alfa *immunomodulateur*

crebankitug

immunoglobulina G1-lambda2, anti-[*Homo sapiens* IL7R (receptor de la interleukina 7, IL7RA, CD127)], anticuerpo monoclonal *Homo sapiens*;  
 cadena pesada H-gamma1 *Homo sapiens* (1-447) [VH (*Homo sapiens* IGHV3-43D\*03 (87.8%) -(IGHD) -IGHJ4\*01 (100%), CDR-IMGT [8.8.10] (26-33.51-58.97-106))] (1-117) -*Homo sapiens* IGHG1\*03v (100%), G1m3>G1m17, nG1m1 CH1 K120, CH3 E12, M14 (CH1 R120>K (214) (118-215), bisagra 1-15 (216-230), CH2 (231-340), CH3 E12 (356), M14 (358) (341-445), CHS (446-447)) (118-447)], (220-215')-disulfuro con la cadena ligera L-lambda2 *Homo sapiens* (1'-216') [V-LAMBDA (*Homo sapiens* IGLV6-57\*01 (96.8%) -IGLJ3\*02 (100%), CDR-IMGT [8.3.9] (26'-33'.51'-53'.92'-100')) (1'-110') -*Homo sapiens* IGLC2\*01 (100%) (111'-216')]; dímero (226-226":229-229")-bisdisulfuro, producido en las células ováricas de hámster chino (CHO), línea celular CHO-K1SV, forma glicosilada alfa *immunomodulador*

2893793-17-2

## Heavy chain / Chaîne lourde / Cadena pesada

```

EVQLVESGGG LVKPGGSLRL SCAASGFTFD DSVMHWRQA PGKGLEWVSL 50
VGWDGFFTYI ADSVKGRFTI SRDIAKNSLY LQMNLSRAED TAVYYCARQG 100
DYMGNWVQGG TLVTVSSAST KGPSVFLAP SSKSTSGGTA ALGCLVKDYF 150
PEPVTVSWNS GALTSGVHTF PAVLQSSGLY SLSSVTVVPS SSLGTQTYIC 200
NVNHKPSNTK VDKKVEPKSC DKHTCTPCCP APELLGGPSV FLFPPKPKDT 250
LMISRTPEVT CVVVDVSHED FEVKFNWYVD GVEVHNAKTK PREEQYNSTY 300
RVVSVLTVLH QDWLNGKEYK CKVSNKALPA PIEKTIKAK GQPREPQVYT 350
LPPSREEMTK NQVSLTCLVK GFYPSDIAVE WESNGQPENN YKTTTPVLDL 400
DGSFFLYSKL TVDKSRWQQG NVFSCSVMHE ALHNYHTQKS LSLSPGK 447

```

## Light chain / Chaîne légère / Cadena ligera

```

NFMLTQPHSV SESPGKVTI SCTRSSGSD SSVVQWYQQR PGSSPTTVIY 50
EDDQRPGVDP DRFSGSIDSS SNSASLTISG LKTEDEADYY CQSYDFHHLV 100
FGGCKLTVL GQPKAAPSVT LFPSSSEELQ ANKATLVCLI SDFYPGAVTV 150
AWKADSSPVK AGVETTTPSK QSNNKYAASS YLSLTPEQWK SHRSYSCQVT 200
HEGSTVEKTV APTFCS 216

```

## Post-translational modifications

Disulfide bridges location / Position des ponts disulfure / Posiciones de los puentes disulfuro

Intra-H (C23-C104) 22-96 144-200 261-321 367-425  
 22"-96" 144"-200" 261"-321" 367"-425"  
 Intra-L (C23-C104) 22'-91' 138'-197'  
 22"-91" 138"-197"  
 Inter-H-L (h 5-CL 126) 220-215' 220"-215"  
 Inter-H-H (h 11, h 14) 226-226" 229-229"

N-glycosylation sites / Sites de N-glycosylation / Posiciones de N-glicosilación

H CH2 N84.4: 297, 297"

Fucosylated complex bi-antennary CHO-type glycans / glycanes de type CHO bi-antennaires complexes fucosylés / glicanos de tipo CHO biantenarijos complejos fucosilados

C-terminal lysine clipping / Coupure de la lysine C-terminale / Recorte de lisina C-terminal  
H CHS K2: 447, 447"**crelosidenibum**

crelosidenib

7-[[[(1S)-1-(4-[[[(1S)-1-[4-(prop-2-enoyl)piperazin-1-yl]-2-cyclopropylethyl]phenyl]amino]-1-ethyl-1,4-dihydro-2H-pyrimido[4,5-d][1,3]oxazin-2-one isocitrate dehydrogenase 1 (IDH1) inhibitor, antineoplastic

crélosidénib

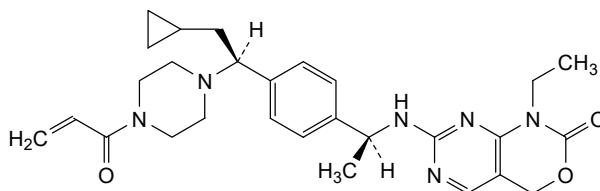
7-[[[(1S)-1-(4-[[[(1S)-1-[4-(prop-2-énoyl)pipérazin-1-yl]-2-cyclopropyléthyl]phényl]éthyl]amino]-1-éthyl-1,4-dihydro-2H-pyrimido[4,5-d][1,3]oxazin-2-one inhibiteur de l'isocitrate déshydrogénase 1 (IDH1), antinéoplasique

crelosidenib

7-[[[(1S)-1-(4-[[[(1S)-1-[4-(prop-2-enoyl)piperazin-1-yl]-2-cyclopropylethyl]phenyl]ethyl]amino]-1-ethyl-1,4-dihydro-2H-pyrimido[4,5-d][1,3]oxazin-2-one inhibidor de la isocitrato deshidrogenasa 1 (IDH1), antineoplásico

C<sub>28</sub>H<sub>36</sub>N<sub>6</sub>O<sub>3</sub>

2230263-60-0





**cugrastomigum #**

**cugrastomig** immunoglobulin IG fused to 2 scFv (H-gamma1-scFv<sub>hk</sub>\_L'-kappa) dimer bisdisulfide, anti-[*Homo sapiens* LAG3 (lymphocyte activating 3, lymphocyte-activation 3, CD223)] and scFv anti-[*Homo sapiens* PDCD1 (programmed cell death 1, PD-1, PD1, CD279)], *Homo sapiens*, humanized and chimeric monoclonal antibody, bispecific, tetravalent; H-gamma1 heavy chain anti-LAG3 fused to a scFv anti-PDCD1 (1-716) [H-gamma1 heavy chain anti-LAG3 *Homo sapiens* (1-450) [VH (*Homo sapiens* IGHV4-34\*01 (90.6%) -(IGHD) -IGHJ5\*02 (93.8%), CDR-IMGT [8.7.14] (26-33.51-57.96-109)) (1-120)-*Homo sapiens* IGHG1\*01, G1m17,1 CH1 K120, CH3 D12, L14, G1v14-1 CH2 A1.3, A1.2, A1 (CH1 K120 (217) (121-218), hinge 1-15 (219-233), CH2 L1.3>A (237), L1.2>A (238), G1>A (240)(234-343), CH3 D12 (359), L14 (361) (344-448), CHS (449-450)) (121-450)] -20-mer tetrakis(tetraglycyl-seryl) linker (451-470) -scFv<sub>hk</sub> anti-PDCD1 humanized and chimeric (471-716) [humanized VH (*Homo sapiens* IGHV3-23\*04 (88.7%) -IGHD -IGHJ6\*01 (90.9%) T123>L (583), CDR-IMGT [8.8.11] (496-503.521-528.567-577)) (471-588) -20-mer tetrakis(tetraglycyl-seryl) linker (589-608) -V-KAPPA Musmus/Homsap (*Mus musculus* IGKV14-111\*01 (86.3%) -IGKJ5\*01 (100%)/*Homo sapiens* IGKV1-16\*01 (80.0%) -IGKJ2\*01 (81.8%) Q120>A (708), I126>L (714), CDR-IMGT [6.3.9] (635-640.658-660.697-705)) (609-716)]; (223-214')-disulfide with L-kappa light chain anti-LAG3 *Homo sapiens* (1'-214') [V-KAPPA (*Homo sapiens* IGKV3-11\*01 (97.9%) -IGKJ5\*01 (91.7%) R123>N (103'), CDR-IMGT [6.3.9] (27'-32'.50'-52'.89'-97')) (1'-107') -*Homo sapiens* IGKC\*01 (100%), Km3 A45.1 (153'), V101 (191') (108'-214')]; dimer (229-229":232-232")-bisdisulfide, produced in Chinese hamster ovary (CHO) cells, glycoform alfa  
*immunostimulant, antineoplastic*

**cugrastomig** immunoglobuline IG fusionnée à 2 scFv (H-gamma1-scFv<sub>hk</sub>\_L'-kappa) dimère bisdisulfure, anti-[*Homo sapiens* LAG3 (activateur 3 des lymphocytes, lymphocyte-activation 3, CD223) et scFv anti-[*Homo sapiens* PDCD1 (protéine 1 de mort cellulaire programmée, PD-1, PD1, CD279)], anticorps monoclonal *Homo sapiens*, humanisé et chimérique, bispécifique, tétravalent; chaîne lourde H-gamma1 anti-LAG3 fusionnée à un scFv anti-PDCD1 (1-716) [chaîne lourde H-gamma1 anti-LAG3 *Homo sapiens* (1-450) [VH (*Homo sapiens* IGHV4-34\*01 (90.6%) -(IGHD) -IGHJ5\*02 (93.8%), CDR-IMGT [8.7.14] (26-33.51-57.96-109)) (1-120)-*Homo sapiens* IGHG1\*01, G1m17,1 CH1 K120, CH3 D12, L14, G1v14-1 CH2 A1.3, A1.2, A1 (CH1 K120 (217) (121-218), charnière 1-15 (219-233), CH2 L1.3>A (237), L1.2>A (238), G1>A (240) (234-343), CH3 D12 (359), L14 (361) (344-448), CHS (449-450)) (121-450)] -20-mer tétrakis(tétraglycyl-séryl) linker (451-470) -scFv heavy-kappa anti-PDCD1 humanisé et chimérique (471-716) [VH humanisé (*Homo sapiens* IGHV3-23\*04 (88.7%) -IGHD -IGHJ6\*01 (90.9%) T123>L (583), CDR-IMGT [8.8.11] (496-503.521-528.567-577)) (471-588) -20-mer tétrakis(tétraglycyl-séryl) linker (589-608) -V-KAPPA Musmus/Homsap (*Mus musculus* IGKV14-111\*01 (86.3%) -IGKJ5\*01 (100%)/*Homo sapiens* IGKV1-16\*01 (80.0%) -IGKJ2\*01 (81.8%) Q120>A (708), I126>L (714), CDR-IMGT [6.3.9] (635-640.658-660.697-705)) (609-716)]; (223-214')-disulfure avec la chaîne légère L-kappa anti-LAG3 *Homo sapiens* (1'-214') [V-KAPPA (*Homo sapiens* IGKV3-11\*01 (97.9%) -IGKJ5\*01 (91.7%) R123>N (103'), CDR-IMGT [6.3.9] (27'-32'.50'-52'.89'-97')) (1'-107') -*Homo sapiens* IGKC\*01 (100%), Km3 A45.1 (153'), V101 (191') (108'-214')]; dimère (229-229":232-232")-bisdisulfure, produit dans des cellules ovariennes de hamster chinois (CHO), glycoforme alfa  
*immunostimulant, antinéoplasique*

**cugrastomig** inmunoglobulina IG fusionada con 2 scFv (H-gamma1-scFv<sub>hk</sub>\_L'-kappa) dímero bisdisulfuro, anti-[*Homo sapiens* LAG3 (activador 3 de los linfocitos, linfocito-activación 3, CD223) y scFv anti-[*Homo sapiens* PDCD1 (proteína 1 de muerte celular programada, PD-1, PD1, CD279)], anticuerpo monoclonal *Homo sapiens*, humanizado y quimérico, biespecífico, tetravalente;

cadena pesada H-gamma1 anti-LAG3 fusionada con un scFv anti-PDCD1 (1-716) [cadena pesada H-gamma1 anti-LAG3 *Homo sapiens* (1-450) [VH (*Homo sapiens* IGHV4-34\*01 (90.6%) -(IGHD) -IGHJ5\*02 (93.8%), CDR-IMGT [8.7.14] (26-33.51-57.96-109)) (1-120)-*Homo sapiens* IGHG1\*01, G1m17.1 CH1 K120, CH3 D12, L14, G1v14-1 CH2 A1.3, A1.2, A1 (CH1 K120 (217) (121-218), bisagra 1-15 (219-233), CH2 L1.3>A (237), L1.2>A (238), G1>A (240) (234-343), CH3 D12 (359), L14 (361) (344-448), CHS (449-450)) (121-450)] -20-mer tetrakis(tetraglicil-seril) enlace (451-470) -scFv pesada-kappa anti-PDCD1 humanizada y quimérica (471-716) [VH humanizada (*Homo sapiens* IGHV3-23\*04 (88.7%) -IGHD -IGHJ6\*01 (90.9%) T123>L (583), CDR-IMGT [8.8.11] (496-503.521-528.567-577)) (471-588) -20-mer tetrakis(tetraglicil-seril) enlace (589-608) -V-KAPPA Musmus/Homsap (*Mus musculus* IGKV14-111\*01 (86.3%) -IGKJ5\*01 (100%)/*Homo sapiens* IGKV1-16\*01 (80.0%) -IGKJ2\*01 (81.8%) Q120>A (708), I126>L (714), CDR-IMGT [6.3.9] (635-640.658-660.697-705)) (609-716)]; (223-214')-disulfuro con la cadena ligera L-kappa anti-LAG3 *Homo sapiens* (1'-214') [V-KAPPA (*Homo sapiens* IGKV3-11\*01 (97.9%) -IGKJ5\*01 (91.7%) R123>N (103'), CDR-IMGT [6.3.9] (27'-32'.50'-52'.89'-97'')] (1'-107') -*Homo sapiens* IGKC\*01 (100%), Km3 A45.1 (153'), V101 (191') (108'-214')]; dímero (229-229':232-232'')-bisdisulfuro, producido en las células ováricas de hámster chino (CHO), forma glicosilada alfa  
*inmunoestimulante, antineoplásico*

2852680-10-3

Heavy chain / Chaîne lourde / Cadena pesada : H-gamma1 (H, H<sup>1</sup>) anti-LAG3 fused to scFvh anti-PDCD1

QVQLQQWAG	LLKPSFTLSL	TCVAVYGGSSIS	DYYWNWIRQP	PGKGLEWIGE	50
INHRGTNSN	PSLKSRTLS	LDTSKNQFSL	KLRVSTAADT	AVYYCAFGYS	100
DYEDYDFDPW	GGQTLTVSS	ASTKGPSVFP	LAPSSKSTSG	GTAALGCLVK	150
DYFPEPVTVS	WNSGALTSV	HTFFPAVLQSS	GLYSLSSVVT	VPSSSLGQT	200
YICNVNPKFS	NTKVDKVEP	KSCDKTHTCP	PCPAPFAAGA	PSVFLPPPK	250
KDLMISRTPT	EVTCVVVDVS	HEDPEVKFNW	YVDGVEVHNA	KTKPREEQYN	300
STYRVVSVLT	VLHQDNLNG	EYKCKVSNKA	LPAPIETIS	KAKGQPREPQ	350
VYTLPPSRDE	LTKNQVSLTC	LVKGFYPSDI	AVEWESNGQP	ENNYKTTTTPV	400
LDSDSGDFLY	SKLTVDKSRW	QQGNVFSQSV	MHEALHNHYT	QKSLSLSPGK	450
GGGSGGGGGS	GGGSGGGGGS	EVQLVESGGG	LVQPGGSLRL	SCAASGFAFS	500
SYDMSVNRQA	PGKGLDQVAT	ISGGGRYTY	PDVSKGRFTI	SRDNSKNNLY	550
LQMNLSRAED	TALYCANRY	GEAMFAYWQG	GLTLVTVSSGG	GGSGGGGSGG	600
GGSGGGGSDI	QMTQSPSSMS	ASVGDRTVFT	CRASQDINTY	LSWFQKPKG	650
SPKTLIYRAN	RLVSGVPSRF	SGSGSGQDYT	LTISSLQPED	MATYYCLQVD	700
EPFLTPGAGT	KLELKR				716

Light chain / Chaîne légère / Cadena ligera: L-kappa (L, L<sup>1</sup>) anti-LAG3

EIVLTQSPAT	LSLSGERAT	LSCRASQTIS	SYLANYQQKP	QAPRLLIYD	50
ASNRATGIPA	RPSGSGSGTD	FTLTISLLEP	EDFAVYYCQ	RSNWPITFGQ	100
CTNLEIKRTV	AAPSVFLFPP	SDEQLKSGTA	SVVCLLNNFY	PREAKVQWVKV	150
DNALQSGNSQ	ESVTEQDSKD	STYLSLSTLT	LSKADYEKHK	VYACEVTHQG	200
LSSFVTKSFN	RGEC				214

#### Post-translational modifications

Disulfide bridges location / Position des ponts disulfure / Posiciones de los puentes disulfuro

Intra-H (C23-C104)	22"-95"	147"-203"	264"-324"	370"-428"
	22"-95"	147"-203"	264"-324"	370"-428"
	492"-566"	631"-696"		
	492"-566"	631"-696"		
Intra-L (C23-C104)	23"-88"	134"-194"		
	23"-88"	134"-194"		
Inter-H-L (h 5-CL 126)	223"-214"	223"-214"		
Inter-H-H (h 11, h 14)	229"-229"	232"-232"		

N-terminal glutaminyl cyclization / Cyclisation du glutaminyle N-terminal / Ciclación del glutaminilo

N-terminal

Q > pyroglutaminyl (pE, 5-oxopropyl) / pyroglutamyle (pE, 5-oxopropyle) / piroglutamilo (pE, 5-oxopropilo)  
H VH Q1: 1, 1"

N-glycosylation sites / Sites de N-glycosylation / Posiciones de N-glicosilación

H CH2 N84.4: 300, 300"

Fucosylated complex bi-antennary CHO-type glycans / glycanes de type CHO bi-antennaires complexes  
fucosylés / glicanos de tipo CHO biantennarios complejos fucosilados

**dalmitamigum #**  
dalmitamig

immunoglobulin G4-kappa, anti-[*Homo sapiens* EGFR (epidermal growth factor receptor, receptor tyrosine-protein kinase erbB-1, ERBB1, HER1, HER-1, ERBB)] and anti-[*Homo sapiens* CD28 (T cell specific surface glycoprotein CD28, TP44)], *Homo sapiens* monoclonal antibody, bispecific, bivalent; H-gamma4 heavy chain anti-EGFR *Homo sapiens* (1-447) [VH (*Homo sapiens* IGHV4-59\*01 (92.8%) -(IGHD) -IGHJ3\*01 (92.3%) M123>T (116), CDR-IMGT [8.7.15] (26-33.51-57.96-110)) (1-121)-*Homo sapiens* IGHG4\*01, G4v5 h P10,nG4m(a) CH2 L92, G4v7 CH2 delE1.4, P1.3, V1.2, A1.1 (CH1 (122-219), hinge 1-12 S10>P (229) (220-231), CH2 E1.4>del, F1.3>P (234), L1.2>V (235), G1.1>A (236), L92 (312) (232-340), CH3 (341-445), CHS (446-447)) (122-447)], (135-215')-disulfide with L-kappa light chain *Homo sapiens* (1'-215') [V-KAPPA (*Homo sapiens* IGKV3-20\*01 (100%) -IGKJ1\*01 (100%), CDR-IMGT [7.3.9] (27'-33'.51'-53'.90'-98')) (1'-108') -*Homo sapiens* IGKC\*01 (100%), Km3 A45.1 (154'), V101 (192') (109'-215')]; H-gamma4 heavy chain anti-CD28 *Homo sapiens* (1"-448") [VH (*Homo sapiens* IGHV4-59\*01 (96.9%) -(IGHD) -IGHJ6\*01 (100%), CDR-IMGT [8.7.16] (26"-33".51"-57".96"-111")) (1"-122")-*Homo sapiens* IGHG4\*01, G4v5 h P10,nG4m(a) CH2 L92, G4v7 CH2 delE1.4, P1.3, V1.2, A1.1, G4v8 CH3 R115, F116, P125 (CH1 (123"-220"), hinge 1-12 S10>P (230") (221"-232"), CH2 E1.4>del, F1.3>P (235"), L1.2>V (236"), G1.1>A (237"), L92 (310") (233"-341"), CH3 H115>R (436"), Y116>F (437"), L125>P (446") (342"-446"), CHS (447"-448")) (123"-448"), (136"-215'")-disulfide with L-kappa light chain *Homo sapiens* common (1'''-215''') [V-KAPPA (*Homo sapiens* IGKV3-20\*01 (100%) -IGKJ1\*01 (100%), CDR-IMGT [7.3.9] (27'''-33''' .51'''-53''' .90'''-98''') (1'''-108''') -*Homo sapiens* IGKC\*01 (100%), Km3 A45.1 (154'''), V101 (192''') (109'''-215''')]; dimer (227-228":230-231")-bisdisulfide, produced in Chinese hamster ovary (CHO) cells, cell line CHO-DG44, glycoform alfa *antineoplastic*

## dalmitamig

immunoglobuline G4-kappa, anti-[*Homo sapiens* EGFR (récepteur du facteur de croissance épidermique, récepteur tyrosine-protéine kinase erbB-1, ERBB1, HER1, HER-1, ERBB)] et anti-[*Homo sapiens* CD28 (glycoprotéine de surface CD28 spécifique des cellules T, TP44)], anticorps monoclonal *Homo sapiens*, bispécifique, bivalent; chaîne lourde H-gamma4 anti-EGFR *Homo sapiens* (1-447) [VH (*Homo sapiens* IGHV4-59\*01 (92.8%) -(IGHD) -IGHJ3\*01 (92.3%) M123>T (116), CDR-IMGT [8.7.15] (26-33.51-57.96-110)) (1-121)-*Homo sapiens* IGHG4\*01, G4v5 h P10,nG4m(a) CH2 L92, G4v7 CH2 delE1.4, P1.3, V1.2, A1.1 (CH1 (122-219), charnière 1-12 S10>P (229) (220-231), CH2 E1.4>del, F1.3>P (234), L1.2>V (235), G1.1>A (236), L92 (312) (232-340), CH3 (341-445), CHS (446-447)) (122-447)], (135-215')-disulfure avec la chaîne légère L-kappa *Homo sapiens* (1'-215') [V-KAPPA (*Homo sapiens* IGKV3-20\*01 (100%) -IGKJ1\*01 (100%), CDR-IMGT [7.3.9] (27'-33'.51'-53'.90'-98')) (1'-108') -*Homo sapiens* IGKC\*01 (100%), Km3 A45.1 (154'), V101 (192') (109'-215')]; chaîne lourde H-gamma4 anti-CD28 *Homo sapiens* (1"-448") [VH (*Homo sapiens* IGHV4-59\*01 (96.9%) -(IGHD) -IGHJ6\*01 (100%), CDR-IMGT [8.7.16] (26"-33".51"-57".96"-111")) (1"-122")-*Homo sapiens* IGHG4\*01, G4v5 h P10,nG4m(a) CH2 L92, G4v7 CH2 delE1.4, P1.3, V1.2, A1.1, G4v8 CH3 R115, F116, P125 (CH1 (123"-220"), charnière 1-12 S10>P (230") (221"-232"), CH2 E1.4>del, F1.3>P (235"), L1.2>V (236"), G1.1>A (237"), L92 (310") (233"-341"), CH3 H115>R (436"), Y116>F (437"), L125>P (446") (342"-446"), CHS (447"-448")) (123"-448"), (136"-215'")-disulfure avec la chaîne légère L-kappa *Homo sapiens* commune (1'''-215''') [V-KAPPA (*Homo sapiens* IGKV3-20\*01 (100%) -IGKJ1\*01 (100%), CDR-IMGT [7.3.9] (27'''-33''' .51'''-53''' .90'''-98''') (1'''-108''') -*Homo sapiens* IGKC\*01 (100%), Km3 A45.1 (154'''), V101 (192''') (109'''-215''')]; dimère (227-228":230-231")-bisdisulfure, produit dans des cellules ovariennes de hamster chinois (CHO), lignée cellulaire CHO-DG44, glycoforme alfa *antinéoplasique*

dalmitamig inmunoglobulina G4-kappa, anti-[*Homo sapiens* EGFR (receptor del factor de crecimiento epidérmico, receptor tirosina-proteína quinasa erbB-1, ERBB1, HER1, HER-1, ERBB)] y anti-[*Homo sapiens* CD28 (glicoproteína de superficie CD28 específica de las células T, TP44)], anticuerpo monoclonal *Homo sapiens*, biespecífico, bivalente;

cadena pesada H-gamma4 anti-EGFR *Homo sapiens* (1-447) [VH (*Homo sapiens*IGHV4-59\*01 (92.8%) -(IGHD) -IGHJ3\*01 (92.3%) M123>T (116), CDR-IMGT [8.7.15] (26-33.51-57.96-110))] (1-121)-*Homo sapiens*IGHG4\*01, G4v5 h P10,nG4m(a) CH2 L92, G4v7 CH2 delE1.4, P1.3, V1.2, A1.1 (CH1 (122-219), bisagra 1-12 S10>P (229) (220-231), CH2 E1.4>del, F1.3>P (234), L1.2>V (235), G1.1>A (236), L92 (312) (232-340), CH3 (341-445), CHS (446-447)) (122-447)], (135-215')-disulfuro con la cadena ligera L-kappa *Homo sapiens*(1'-215') [V-KAPPA (*Homo sapiens*IGKV3-20\*01 (100%) -IGKJ1\*01 (100%), CDR-IMGT [7.3.9] (27-33.51-53.90-98)) (1'-108') -*Homo sapiens*IGKC\*01 (100%), Km3 A45.1 (154), V101 (192) (109'-215')];

cadena pesada H-gamma4 anti-CD28 *Homo sapiens* (1"-448") [VH (*Homo sapiens*IGHV4-59\*01 (96.9%) -(IGHD) -IGHJ6\*01 (100%), CDR-IMGT [8.7.16] (26"-33".51"-57".96"-111"')] (1"-122"')-*Homo sapiens*IGHG4\*01, G4v5 h P10,nG4m(a) CH2 L92, G4v7 CH2 delE1.4, P1.3, V1.2, A1.1, G4v8 CH3 R115, F116, P125 (CH1 (123"-220"'), bisagra 1-12 S10>P (230"') (221"-232"'), CH2 E1.4>del, F1.3>P (235"'), L1.2>V (236"'), G1.1>A (237"'), L92 (310"') (233"-341"'), CH3 H115>R (436"'), Y116>F (437"'), L125>P (446"') (342"-446"'), CHS (447"-448"') (123"-448"')], (136"-215"')-disulfuro con la cadena ligera L-kappa *Homo sapiens* común (1"'-215"') [V-KAPPA (*Homo sapiens*IGKV3-20\*01 (100%) -IGKJ1\*01 (100%), CDR-IMGT [7.3.9] (27"'-33"'-51"'-53"'-90"'-98"') (1"'-108"') -*Homo sapiens*IGKC\*01 (100%), Km3 A45.1 (154"'), V101 (192"') (109"-215"')];dímero (227-228":230-231")-bisulfuro, producido en las células ováricas de hámster chino (CHO), línea celular CHO-DG44, forma glicosilada alfa *antiteoplásico*

2765077-69-6

Heavy chain / Chaîne lourde / Cadena pesada : H-gamma4 (H) anti-EGFR

QVQLQESGPG	LVPKSETLSL	TCTVSGDSII	TFYWSWIRQF	PGRGLEWIGY	50
IYSGITINYN	PSLKSRTVIS	VDTSKNQVSL	KLSSVTAADT	AVYICARWVE	100
DSYPHYGMDV	WGQGT'TVTVS	SASTKGPSV	FLAPCSRST	ESTAALGCLV	150
KDYFPEPVTV	SWNSGALTSG	VHTFPAVLQS	SGLYSLSSVV	TVPSSSLGTK	200
TYTCNVDHKP	SNTKVDKRVK	SKYGPPCPCC	PAPPVAGPSV	FLFPFKPKDT	250
LMISRTPEVT	CVVVDVSDQED	PEVQFNWYVD	GVEVHNAKTK	PREEQPNSTY	300
RVVSVLTVLH	QDWLNGKEYK	CKVSNKGLPS	SIEKTIKAK	GQPREPQVYT	350
LPSPSQEEMT	NQVSLTCLVK	GFYPDSIDIAE	MESNGQPENN	YRTTPFVLDS	400
DGSPFLYSRL	TVDKSRWQEG	GNVFSQVMHE	ALHNHYTQKS	LSLSLQK	447

Heavy chain / Chaîne lourde / Cadena pesada : H-gamma4 (H') anti-CD28

QVQLQESGPG	LVPKSETLSL	TCTVSGGSI	SYWWSWIRQF	PGKLEWIGY	50
IYYSGITINYN	PSLKSRTVIS	VDTSKIQFSL	KLSSVTAADT	AVYICARWGV	100
RRDYIYYGMD	VMGQGT'TVTVS	SSASTKGPSV	FFLAPCSRST	SESTAALGCL	150
VRDYFPEPVT	VSNSGALTS	GVHTFPAVLQ	SSGLYSLSSV	VTVPSSSLGT	200
KTYTCNVDHK	PSNKKVDKRV	ESKYGPPCP	CPAPVAGPSV	VLFPPFKPKD	250
TLMISRTPEV	TCVVVDVSDQE	DPEVQFNWYV	DGVEVHNAKT	KPREEQPNST	300
YRVVSVLTVL	QDWLNGKEYK	CKVSNKGLP	SIEKTIKAK	KQPREPQVY	350
TLFSPSQEEMT	NKQVSLTCLV	KGFYPDSIDIA	EWESNGQFEN	NYKTPFVLVD	400
SDGSPFLYSR	LTVDKSRWQEG	GNVFSQVMH	EALHNRFTQK	SLSLSPGK	448

Light chain / Chaîne légère / Cadena ligera : L-kappa (L, L') common

EIVLTQSPGT	LSLSPGERAT	LSCRASQSVS	SSYLAWIQQK	FGGAPRLLIY	50
GASSTRGCLP	DRFSGSGSGT	FRTLTISRLS	PEEPFVYVYQ	QVGSFPTFTG	100
QGTKVEIKRT	VAAPSFIPEP	PSDEQLKSGT	ASVVCLLNNE	YPREAKVQWK	150
VDNALQSGNS	QESVTEQDSK	DSTYLSSTL	TLISKADYERK	KVYACEVTHQ	200
GLSSPVTKSF	NRGEC				215

**Post-translational modifications**

Disulfide bridges location / Position des ponts disulfure / Posiciones de los puentes disulfuro

Intra-H (C23-C104) 22'-95" 148-204 261-321 367-425  
 22"-95" 149"-205" 262"-322" 368"-426"

Intra-L (C23-C104) 23'-89" 135'-195"  
 23"-89" 135"-195"

Inter-H-L (CH1 10-CL 126) 135-215" 136'-215"  
 Inter-H-H (h 8, h 11) 227-228" 230-231"

N-terminal glutaminyl cyclization / Cyclisation du glutaminyle N-terminal / Ciclación del glutaminilo N-terminal

Q &gt; pyroglutamyl (pE, 5-oxopropyl) / pyroglutamyle (pE, 5-oxopropyle) / piroglutamilo

(pE, 5-oxopropilo)

H VH Q1: 1, 1"

N-glycosylation sites / Sites de N-glycosylation / Posiciones de N-glicosilación

H CH2 N84.4: 297, 298"

Fucosylated complex bi-antennary CHO-type glycans / glycanes de type CHO bi-antennaires

complexes fucosylés / glicanos de tipo CHO biantennarios complejos fucosilados.

C-terminal lysine clipping / Coupeure de la lysine C-terminale / Recorte de lisina C-terminal

H CHS K2: 447, 448"

**dapolsertibum**

dapolsertib

5,6-dibromo-4-nitro-2-(piperidin-4-yl)-1-(propan-2-yl)-1*H*-1,3-benzimidazole  
*serine/ threonine kinase inhibitor, antineoplastic*

dapolsertib

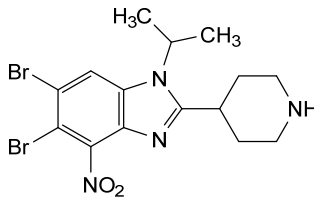
5,6-dibromo-4-nitro-2-(pipéridin-4-yl)-1-(propan-2-yl)-1*H*-1,3-benzimidazole  
*inhibiteur de sérine/ thréonine kinase, antinéoplasique*

dapolsertib

5,6-dibromo-4-nitro-2-(piperidin-4-il)-1-(propan-2-il)-1*H*-1,3-benzimidazol  
*inhibidor de serina/ treonina kinasa, antineoplásico*

C<sub>15</sub>H<sub>18</sub>Br<sub>2</sub>N<sub>4</sub>O<sub>2</sub>

1616359-00-2

**darbinuradum**

darbinurad

[1-({[3-(4-cyanophenyl)pyridin-4-yl]sulfanyl)methyl)cyclopropyl]acetic acid  
*urate transporter inhibitor*

darbinurad

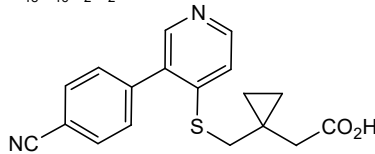
acide [1-({[3-(4-cyanophényl)pyridin-4-yl]sulfanyl)méthyl)cyclopropyl]acétique  
*inhibiteur du transporteur d'urate*

darbinurad

ácido [1-({[3-(4-cianofenil)piridin-4-il]sulfanil]metil)ciclopropil]acético  
*inhibidor del transportador del urato*

C<sub>18</sub>H<sub>16</sub>N<sub>2</sub>O<sub>2</sub>S

1877347-38-0

**denikitugum #**

denikitug

immunoglobulin G1-kappa, anti-[*Homo sapiens* CCR8 (C-C motif chemokine receptor 8, CKR-L1, CDw198)];  
H-gamma1 heavy chain (1-451) [VH Musmus/Homsap (*Mus musculus* IGHV10-1\*02 (90.9%) -(IGHD) -IGHJ1\*01 (82.4%) A120>Q (113)/*Homo sapiens* IGHV3-73\*01 (90.0%) -(IGHD) -IGHJ3\*01 (92.9%) M123>T (116), CDR-IMGT [8.10.12] (26-33.51-60.99-110)) (1-121) -*Homo sapiens* IGHG1\*03v, G1m3>G1m17, nG1m1 CH1 K120, CH3 E12, M14 (CH1 R120>K (218) (122-219), hinge 1-15 (220-234), CH2 (235-344), CH3 E12 (360), M14 (362) (345-449), CHS (450-451)) (122-451)], (224-219')-disulfide with L-kappa light chain (1'-219') [V-KAPPA Musmus/Homsap (*Mus musculus* IGKV2-137\*01 (91.3%) -IGKJ1\*02 (90.0%) L124>V (109')/*Homo sapiens* IGKV2-28\*01 (89.0%) -IGKJ4\*01 (91.7%), CDR-IMGT [11.3.9] (27'-37'.55'-57'.94'-102')) (1'-112') -*Homo*

- sapiens* IGKC\*01 (100%), Km3 A45.1 (158'), V101 (196') (113'-219'); dimer (230-230":233-233")-bisdisulfide, produced in a Chinese hamster ovary (CHO) cell line, derived from the cell line CHO-K1SV, co-expressing the enzyme glutamine synthetase (GS), and lacking the enzyme alpha-(1,6)-fucosyltransferase (FUT8), glycoform alfa  
*immunostimulant, antineoplastic*
- dénikitug immunoglobuline G1-kappa, anti-[*Homo sapiens* CCR8 (récepteur 8 de chimiokine C-C motif, CKR-L1, CDw198)]; chaîne lourde H-gamma1 (1-451) [VH Musmus/Homsap (*Mus musculus* IGHV10-1\*02 (90.9%) -(IGHD) -IGHJ1\*01 (82.4%) A120>Q (113)/*Homo sapiens* IGHV3-73\*01 (90.0%) -(IGHD) -IGHJ3\*01 (92.9%) M123>T (116), CDR-IMGT [8.10.12] (26-33.51-60.99-110)) (1-121) -*Homo sapiens* IGHG1\*03v, G1m3>G1m17, nG1m1 CH1 K120, CH3 E12, M14 (CH1 R120>K (218) (122-219), charnière 1-15 (220-234), CH2 (235-344), CH3 E12 (360), M14 (362) (345-449), CHS (450-451)) (122-451)], (224-219')-disulfure avec la chaîne légère L-kappa (1'-219') [V-KAPPA Musmus/Homsap (*Mus musculus* IGKV2-137\*01 (91.3%) -IGKJ1\*02 (90.0%) L124>V (109)/*Homo sapiens* IGKV2-28\*01 (89.0%) -IGKJ4\*01 (91.7%), CDR-IMGT [11.3.9] (27'-37'.55'-57'.94'-102'') (1'-112') -*Homo sapiens* IGKC\*01 (100%), Km3 A45.1 (158'), V101 (196') (113'-219'); dimère (230-230":233-233")-bisdisulfure, produit dans une lignée cellulaire des cellules ovariennes de hamster chinois (CHO), dérivant de la lignée cellulaire CHO-K1SV, co-exprimant l'enzyme glutamine synthétase (GS), et ne présentant pas l'enzyme alpha-(1,6)-fucosyltransférase (FUT8), glycoforme alfa  
*immunostimulant, antinéoplasique*
- denikitug inmunoglobulina G1-kappa, anti-[*Homo sapiens* CCR8 (receptor 8 de quimiocina C-C motivo, CKR-L1, CDw198)]; cadena pesada H-gamma1 (1-451) [VH Musmus/Homsap (*Mus musculus* IGHV10-1\*02 (90.9%) -(IGHD) -IGHJ1\*01 (82.4%) A120>Q (113)/*Homo sapiens* IGHV3-73\*01 (90.0%) -(IGHD) -IGHJ3\*01 (92.9%) M123>T (116), CDR-IMGT [8.10.12] (26-33.51-60.99-110)) (1-121) -*Homo sapiens* IGHG1\*03v, G1m3>G1m17, nG1m1 CH1 K120, CH3 E12, M14 (CH1 R120>K (218) (122-219), bisagra 1-15 (220-234), CH2 (235-344), CH3 E12 (360), M14 (362) (345-449), CHS (450-451)) (122-451)], (224-219')-disulfuro con la cadena ligera L-kappa (1'-219') [V-KAPPA Musmus/Homsap (*Mus musculus* IGKV2-137\*01 (91.3%) -IGKJ1\*02 (90.0%) L124>V (109)/*Homo sapiens* IGKV2-28\*01 (89.0%) -IGKJ4\*01 (91.7%), CDR-IMGT [11.3.9] (27'-37'.55'-57'.94'-102'') (1'-112') -*Homo sapiens* IGKC\*01 (100%), Km3 A45.1 (158'), V101 (196') (113'-219'); dímero (230-230":233-233")-bisdisulfuro, producido en una línea celular de las células ováricas de hámster chino (CHO), derivada de la línea celular CHO-K1SV, co-expresando la enzima glutamina sintetasa (GS), y en ausencia de la enzima alfa-1,6-fucosiltransferasa (FUT8), forma glicosilada alfa  
*inmuoestimulante, antineoplásico*

2865822-82-6

Heavy chain / Chaîne lourde / Cadena pesada  
 EVQLVESGGG LVQPGGSLKL SCAASGFTFN TYAMNWRQA SGKGLEWVGR 50  
 IRSKSNRYAT YYADSVKDRF TISRDDSKNT AYLQMNLSKT EDTAVYYCVR 100  
 GLLRYRFFDV WQGGTIVTVS SASTKGPSVF PLAPSSKSTS GGTAALGCLV 150  
 KDYFFPEPVTV SWNSGALTSG VHTFPAVLQS SGLYSLSSVV TVPSSSLGTQ 200  
 TYICNVNHKP SNTKVDKKVE PKSCDKTHTC PFCPAPELLG GPSVFLFPFK 250  
 PKDTLMISRT PEVTCVVVDV SHEDPEVKFN WYVDGVEVHN AKTKPREEQY 300  
 NSTYRVVSVL TVLHQDWLNG KEYKCKVSNK ALPAPIEKT SKAKGQPREP 350  
 QVYTLPPSRE EMTKNQVSLT CLVKGFPYPSD IAVEWESNGQ PENNYKTPFP 400  
 VLDSDDGSFFL YSKLTVDKSR WQQGNVFSFS VMHEALHNYH TQKSLSLSPG 450  
 K 451

Light chain / Chaîne légère / Cadena ligera  
 DIVMTQSPFLS LPVTGPEPAS ISCRSSKSLI HSNNGNTYLYW FLQKPGQSPQ 50  
 LLIYRMSNLA SGVPDRFSGS GSGTDFTLKI SRVEAEDVGV YYCMQHLLEYV 100  
 FTFGGGKVE IKRTVAAPSV FTFPPSDEQL KSGTASVVCL LNNFYPREAK 150  
 VQWKVDNALQ SGNSQESVTE QDSKDYSTSL SSTLTLSKAD YEKHKVYACE 200  
 VTHQGLSPV TKSFNREGC 219

**Post-translational modifications**

Disulfide bridges location / Position des ponts disulfure / Posiciones de los puentes disulfuro

Intra-H (C23-C104) 22-98 148-204 265-325 371-429  
 22"-98" 148"-204" 265"-325" 371"-429"  
 Intra-L (C23-C104) 23"-93" 139"-199"  
 23"-93" 139"-199"

Inter-H-L (h 5-CL 126) 224-219" 224"-219"  
 Inter-H-H (h 11, h 14) 230-230" 233-233"

N-glycosylation sites / Sites de N-glycosylation / Posiciones de N-glicosilación

H CH2 N84.4: 301, 301"

Afucosylated complex bi-antennary CHO-type glycans / glycanes de type CHO bi-antennaires complexes afucosylés / glicanos de tipo CHO biantenarijos complejos afucosilados

C-terminal lysine clipping / Coupure de la lysine C-terminale / Recorte de lisina C-terminal

H CHS K2: 451, 451"

**dibotatugum #**  
 dibotatug

immunoglobulin G1-kappa, anti-[*Homo sapiens* KLRD1 (killer cell lectin-like receptor D1, CD94)], *Homo sapiens* monoclonal antibody; H-gamma1 heavy chain *Homo sapiens* (1-450) [VH (*Homo sapiens* IGHV3-21\*01 (95.9%) -(IGHD) -IGHJ6\*04 (94.4%), CDR-IMGT [8.8.13] (26-33.51-58.97-109)) (1-120) -*Homo sapiens* IGHG1\*03 (100%), G1m3, nG1m1 CH1 R120, CH3 E12, M14 (CH1 R120 (217) (121-218), hinge 1-15 (219-233), CH2 (234-343), CH3 E12 (359), M14 (361) (344-448), CHS (449-450)) (121-450)], (223-214')-disulfide with L-kappa light chain *Homo sapiens* (1'-214') [V-KAPPA (*Homo sapiens* IGKV1D-16\*01 (92.6%) -IGKJ3\*01 (100%), CDR-IMGT [6.3.9] (27'-32'.50'-52'.89'-97')) (1'-107') -*Homo sapiens* IGKC\*01 (100%), Km3 A45.1 (153'), V101 (191') (108'-214')]; dimer (229-229":232-232")-bisdisulfide, produced in Chinese hamster ovary (CHO) cells, derived from the cell line CHO-K1SV, glycoform alfa *antineoplastica*

dibotatug

immunoglobuline G1-kappa, anti-[*Homo sapiens* KLRD1 (récepteur D1 lectine-like des cellules tueuses, CD94)], anticorps monoclonal *Homo sapiens*; chaîne lourde H-gamma1 *Homo sapiens* (1-450) [VH (*Homo sapiens* IGHV3-21\*01 (95.9%) -(IGHD) -IGHJ6\*04 (94.4%), CDR-IMGT [8.8.13] (26-33.51-58.97-109)) (1-120) -*Homo sapiens* IGHG1\*03 (100%), G1m3, nG1m1 CH1 R120, CH3 E12, M14 (CH1 R120 (217) (121-218), charnière 1-15 (219-233), CH2 (234-343), CH3 E12 (359), M14 (361) (344-448), CHS (449-450)) (121-450)], (223-214')-disulfure avec la chaîne légère L-kappa *Homo sapiens* (1'-214') [V-KAPPA (*Homo sapiens* IGKV1D-16\*01 (92.6%) -IGKJ3\*01 (100%), CDR-IMGT [6.3.9] (27'-32'.50'-52'.89'-97')) (1'-107') -*Homo sapiens* IGKC\*01 (100%), Km3 A45.1 (153'), V101 (191') (108'-214')]; dimère (229-229":232-232")-bisdisulfure, produit dans des cellules ovariennes de hamster chinois (CHO), dérivant de la lignée cellulaire CHO-K1SV, glycoforme alfa *antineoplastique*

dibotatug      inmuoglobulina G1-kappa, anti-[*Homo sapiens* KLRD1 (receptor D1 tipo lectine de las células asesinas, CD94)], anticuerpo monoclonal *Homo sapiens*;  
 cadena pesada H-gamma1 *Homo sapiens* (1-450) [VH (*Homo sapiens* IGHV3-21\*01 (95.9%) -(IGHD) -IGHJ6\*04 (94.4%), CDR-IMGT [8.8.13] (26-33.51-58.97-109)) (1'-120) -*Homo sapiens* IGHG1\*03 (100%), G1m3, nG1m1 CH1 R120, CH3 E12, M14 (CH1 R120 (217) (121-218), pesada 1-15 (219-233), CH2 (234-343), CH3 E12 (359), M14 (361) (344-448), CHS (449-450)) (121-450)], (223-214')-disulfuro con la cadena ligera L-kappa *Homo sapiens* (1'-214') [V-KAPPA (*Homo sapiens* IGKV1D-16\*01 (92.6%) -IGKJ3\*01 (100%), CDR-IMGT [6.3.9] (27'-32'.50'-52'.89'-97')) (1'-107') -*Homo sapiens* IGKC\*01 (100%), Km3 A45.1 (153'), V101 (191') (108'-214')]; dmero (229-229":232-232")-bisulfuro, producido en las células ováricas de hámster chino (CHO), línea celular derivada de CHO-K1SV, forma glicosilada alfa  
*antineoplásico*

2842038-48-4

## Heavy chain / Chaîne lourde / Cadena pesada

```
EVQLLESGGG LVKPGGSLRL SCAASGFTFS SYSMNWVQRQ PGKLEWVSS 50
ISTSSNFIYY ADSVKGRFTI SRDNAKNSLY LQMNSLRAED TAVYYCARDL 100
GRYYYMDVW GKGTTVTVSS ASTKGPSVFP LAPSSKSTSG GTAALGLVK 150
DYFPEPVTVS WNSGALTSV HTPFAVLQSS GLYSLSSVVT VPSSSLGTQT 200
YICNVNHKPS NTKVDRKRVF KSCDKTHTCP PCPAPELLGG PSVFLFPPK 250
KDTLMISRTPEVTCVVVDVSDHEDEPKVFNWYVDGVEVHNAKTKPREEQYN 300
STYRVVSVLT VLNQDWNLNGK EYKCKVSNKA LPAPIEKTIK KAKGQPREPQ 350
VYTLPPSREE MTKNQVSLTCLVKGFYPSDIAVEWESNGQPENNYKTTTPPV 400
LDSDSGSEFFLY SKLTVDKSRWQQGNVVFSCSV MHEALHNHYT QKSLSLSPGK 450
```

## Light chain / Chaîne légère / Cadena ligera

```
DIVMTQSPSSLSASVGRDRTITCRASQSSISWLAWYQQKPKGKAPKSLIYA 50
ASSLQSGVPSKFGSGSGTDFTLTISSLQPEDVATYYCQKYNAPPTFGP 100
GTKVDIKRTVAAPSVFIFPPSDEQLKSGTASVVCLLNNFYPRKAPQWQVK 150
DNALQSGNSQESVTEQDSKIDSTYLSLSSTLTLSKADYEEKHVVACEVTHQG 200
LSSPVTKSFN RGECL 214
```

## Post-translational modifications

Disulfide bridges location / Position des ponts disulfure / Posiciones de los puentes disulfuro

Intra-H (C23-C104) 22'-96" 147'-203" 264'-324" 370'-428"  
 22"-96" 147"-203" 264"-324" 370"-428"

Intra-L (C23-C104) 23'-88" 134'-194"  
 23"-88" 134"-194"

Inter-H-L (h 5-CL 126) 223'-214' 223"-214"

Inter-H-H (h 11, h 14) 229'-229" 232'-232"

N-glycosylation sites / Sites de N-glycosylation / Posiciones de N-glicosilación

H CH2 N84.4: 300, 300"

Afucosylated complex bi-antennary CHO-type glycans / glycanes de type CHO bi-antennaires complexes afucosylés / glicanos de tipo CHO biantenaricos complejos afucosilados

C-terminal lysine clipping / Coupure de la lysine C-terminale / Recorte de lisina C-terminal

H CHS K2: 450, 450"

**dimethyltryptaminum**

dimethyltryptamine      2-(1*H*-indol-3-yl)-*N,N*-dimethylethan-1-amine  
*serotonin 5-HT2A receptor agonist*

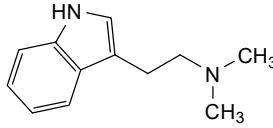
diméthyltryptamine      2-(1*H*-indol-3-yl)-*N,N*-diméthyléthan-1-amine  
*agoniste du récepteur 5-HT2A de la sérotonine*

dimetiltriptamina      2-(1*H*-indol-3-il)-*N,N*-dimetiletan-1-amina  
*agonista del receptor 5-HT2A de la serotonina*





61-50-7

**donitabartum #**

donitabart

immunoglobulin G1-kappa, anti-[*Homo sapiens* GD2 (disialoganglioside GD2)]; H-gamma1 heavy chain (1-443) [VH (*Homo sapiens* IGHV1-2\*06 (82.3%) - (IGHD) -IGHJ4\*01 (100%), CDR-IMGT [8.8.6] (26-33.51-58.97-102)) (1-113) - *Homo sapiens* IGHG1\*01v, G1m17,1>G1m3,1 CH1 R120, CH3 D12, L14, G1v21 CH2 Y15.1, T16, E18, G1v20 A105 (CH1 R120 (210) (114-211), hinge 1-15 (212-226), CH2 M15.1>Y (248), S16>T (250), T18>E (252), K105>A (318) (227-336), CH3 D12 (352), L14 (354) (337-441), CHS (442-443)) (114-443)], (216-220')-disulfide with L-kappa light chain (1'-220') [V-KAPPA Musmus/Homsap (*Mus musculus* IGKV1-110\*01 (87.0%) -IGKJ5\*01 (91.7%) A120>Q (105')/*Homo sapiens* IGKV2D-29\*02 (81.0%) -IGKJ2\*01 (90.9%) I126>L (112'), CDR-IMGT [11.3.10] (27'-37'.55'-57'.94'-103')) (1'-113') -*Homo sapiens* IGKC\*01 (100%), Km3 A45.1 (159'), V101 (197') (114'-220')]; dimer (222-222":225-225")-bisdisulfide, produced in Chinese hamster ovary (CHO) cells, cell line CHO-S, glycoform alfa  
*antineoplastica*

donitabart

immunoglobuline G1-kappa, anti-[*Homo sapiens* GD2 (disialoganglioside GD2)]; chaîne lourde H-gamma1 (1-443) [VH (*Homo sapiens* IGHV1-2\*06 (82.3%) - (IGHD) -IGHJ4\*01 (100%), CDR-IMGT [8.8.6] (26-33.51-58.97-102)) (1-113) - *Homo sapiens* IGHG1\*01v, G1m17,1>G1m3,1 CH1 R120, CH3 D12, L14, G1v21 CH2 Y15.1, T16, E18, G1v20 A105 (CH1 R120 (210) (114-211), charnière 1-15 (212-226), CH2 M15.1>Y (248), S16>T (250), T18>E (252), K105>A (318) (227-336), CH3 D12 (352), L14 (354) (337-441), CHS (442-443)) (114-443)], (216-220')-disulfure avec la chaîne légère L-kappa (1'-220') [V-KAPPA Musmus/Homsap (*Mus musculus* IGKV1-110\*01 (87.0%) -IGKJ5\*01 (91.7%) A120>Q (105')/*Homo sapiens* IGKV2D-29\*02 (81.0%) -IGKJ2\*01 (90.9%) I126>L (112'), CDR-IMGT [11.3.10] (27'-37'.55'-57'.94'-103')) (1'-113') -*Homo sapiens* IGKC\*01 (100%), Km3 A45.1 (159'), V101 (197') (114'-220')]; dimère (222-222":225-225")-bisdisulfure, produit dans des cellules ovariennes de hamster chinois (CHO), lignée cellulaire CHO-S, glycoforme alfa  
*antineoplasique*

donitabart

inmunoglobulina G1-kappa, anti-[*Homo sapiens* GD2 (disialogangliósido GD2)]; cadena pesada H-gamma1 (1-443) [VH (*Homo sapiens* IGHV1-2\*06 (82.3%) - (IGHD) -IGHJ4\*01 (100%), CDR-IMGT [8.8.6] (26-33.51-58.97-102)) (1-113) - *Homo sapiens* IGHG1\*01v, G1m17,1>G1m3,1 CH1 R120, CH3 D12, L14, G1v21 CH2 Y15.1, T16, E18, G1v20 A105 (CH1 R120 (210) (114-211), bisagra 1-15 (212-226), CH2 M15.1>Y (248), S16>T (250), T18>E (252), K105>A (318) (227-336), CH3 D12 (352), L14 (354) (337-441), CHS (442-443)) (114-443)], (216-220')-disulfuro con la cadena ligera L-kappa (1'-220') [V-KAPPA Musmus/Homsap (*Mus musculus* IGKV1-110\*01 (87.0%) -IGKJ5\*01 (91.7%) A120>Q (105')/*Homo sapiens* IGKV2D-29\*02 (81.0%) -IGKJ2\*01 (90.9%) I126>L (112'), CDR-IMGT [11.3.10] (27'-37'.55'-57'.94'-103')) (1'-113') -*Homo sapiens* IGKC\*01 (100%), Km3 A45.1 (159'), V101 (197') (114'-220')]; dímero (222-222":225-225")-bisdisulfuro, producido en las células ováricas de hámster chino (CHO), línea celular CHO-S, forma glicosilada alfa  
*antineoplásico*

2888594-15-6

Heavy chain / Chaîne lourde / Cadena pesada : H-gamma1 (H, H<sup>1</sup>) anti-GD2  
 QVQLVQSGAE VKKPGASVKV SCKASGSSFT GRNMNWRQNI IGQGLEWMGA 50  
 IDPFYGGTSY NQRKFRGRTL TVDKSISTAY MELSLRLSDD TAVYVCVSGM 100  
 FYWQGGLTLT VSSASTKGPS VFPLAPSSKS TSGGTAALGC LVKDYFPEPV 150  
 TVSWNSGALT SGVHTFPFVAVL QSSGLYLSLS VTVFSSSLG TQTYICNVNH 200  
 KFSNTRVDKR VEPKSCDQTH TCFPCFAPEL LGGPSVFLFP PKPKDLYIT 250  
 REPEVTCVVV DVSHEDPEVK FNNYVDGVEV HNAKTKPREE QVNSTYRVVS 300  
 VLTVLHQDWL NKGEYKCAVS NKALPAPIEK TISKARKQPER EFQVYTLFPS 350  
 RDELTRNQVS LTCLVKGFYF SDIAVEWESN GQPENNYKTT PVVLDSDGSF 400  
 FLYSKLTVDK SRWQQGNVFS CSVMHEALHN HVTQKSLSL S PGK 443

Light chain / Chaîne légère / Cadena ligera : L-kappa (L, L<sup>1</sup>) anti-GD2  
 DTVMTQTPLS LSVTFGERAS LSCRSSQNLV HRNGNTYLHW YLQKFGQSPK 50  
 LLILIKVMNRF SGVDFRFGSS GSGTDFTLKI SRVAEDVGV YFCGQSTHVP 100  
 PLTFGQGTKL ELKRTVAAPS VFIFPPSDEQ LKSGTASVVC LLNNFVPREA 150  
 KVQWKVDNAL QSGNSQESVT EQDSKDSSTYS LSSLTLTLSKA DYERHKVYAC 200  
 EVTHQGLSSP VTKSRNFRGC 220

**Post-translational modifications**

Disulfide bridges location / Position des ponts disulfure / Posiciones de los puentes disulfuro

Intra-H (C23-C104) 22-96 140-196 257-317 363-421  
 22-96" 140"-196" 257"-317" 363"-421"

Intra-L (C23-C104) 23"-93" 140"-200"  
 23"-93" 140"-200"

Inter-H-L (h 5-CL 126) 216-220" 216"-220"

Inter-H-H (h 11, h 14) 222-222" 225-225"

N-terminal glutaminylation cyclization / Cyclisation du glutaminyle N-terminal / Ciclación del glutamino N-terminal

Q > pyroglutamyl (pE, 5-oxoprolyl) / pyroglutamyle (pE, 5-oxoprolyle) / piroglutamilo (pE, 5-oxoprolyle)  
 H VH Q1: 1, 1<sup>a</sup>

N-glycosylation sites / Sites de N-glycosylation / Posiciones de N-glicosilación  
 H CH2 N84.4; 293, 293<sup>a</sup>

Mainly (>90%) afucosylated complex bi-antennary CHO-type glycans / glycanes de type CHO bi-antennaires complexes principalement (>90%) afucosylés / glicanos de tipo CHO biantennarios complejos principalmente (>90%) afucosilados

C-terminal lysine clipping / Coupeure de la lysine C-terminale / Recorte de lisina C-terminal  
 H CHS K2: 443, 443<sup>a</sup>

**duvalgagenum otiparovecum #**

duvalgagene otiparovec

recombinant, non-replicating adeno-associated virus serotype 2 variant 4D-C102 (rAAV2 [4D-C102]) vector encoding codon optimized human alpha-galactosidase A (GLA) under control of a CAG promoter (cytomegalovirus (CMV) immediate-early enhancer/chicken  $\beta$ -actin exon 1 plus intron 1/rabbit  $\beta$ -globin splice acceptor) and a simian virus 40 (SV40) late polyadenylation signal, flanked by adeno-associated virus 2 (AAV2) inverted terminal repeats (ITRs)  
*gene therapy (Fabry disease)*

duvalgagène otiparovec

vecteur recombinant et non répliquant du virus adéno-associé de sérotype 2, variant 4D-C102 (rAAV2 [4D-C102]) codant l'alpha-galactosidase A (GLA) humaine aux codons optimisés sous le contrôle d'un promoteur CAG (amplificateur immédiat et précoce du cytomégalovirus (CMV)/exon 1 plus intron 1 de la  $\beta$ -actine de poulet/accepteur d'épissage de la  $\beta$ -globine de lapin) et d'un signal de polyadénylation tardive du virus simien 40 (SV40), flanqué de répétitions terminales inversées (ITR) du virus adéno-associé 2 (AAV2)  
*thérapie génique (maladie de Fabry)*

duvalgagén otiparovec

vector de virus adenoasociado del serotipo 2 variante 4D-C102 recombinante (rAAV2 [4D-C102]), no replicativo, que codifica, con codones optimizados, para la alfa-galactosidasa A (GLA) humana bajo el control de un promotor CAG (potenciador inmediato-temprano de citomegalovirus (CMV)/exón 1 más intrón 1 de la  $\beta$ -actina de pollo/acceptor del procesamiento de la  $\beta$ -globina de conejo) y una señal de poliadenilación del gen tardío del virus simio 40 (SV40), flanqueado por repeticiones terminales invertidas (ITRs) del virus adenoasociado 2 (AAV2)  
*terapia génica (enfermedad de Fabry)*

2768102-81-2

**ebrasodebartum #**

ebrasodebart

immunoglobulin G4-lambda2, anti-[*Homo sapiens* TMEM219 (transmembrane protein 219, insulin-like growth factor-binding protein 3 receptor, IGFBP-3R) extracellular domain], *Homo sapiens* monoclonal antibody;  
 H-gamma4 heavy chain *Homo sapiens* (1-444) [VH (*Homo sapiens*IGHV1-18\*01 (99.0%) -(IGHD) -IGHJ4\*01 (100%), CDR-IMGT [8.8.11] (26-33.51-58.97-107)) (1-118)-*Homo sapiens*IGHG4\*01, *nG4m(a)* CH2 L92, G4v5 h P10, G4v3 CH2 E1.2 (CH1 (119-216), hinge 1-12 S10>P (226) (217-228), CH2 L92 (307), L1.2>E (233) (229-338), CH3 (339-443), CHS K2>del (444)) (119-444)], (132-213')-disulfide with L-lambda2 light chain *Homo sapiens* (1'-214') [V-LAMBDA (*Homo sapiens* IGLV3-1\*01 (90.1%) -IGLJ2\*01 (100%), CDR-IMGT [6.3.11] (26'-31'.49'-51'.88'-98')) (1'-108') -*Homo sapiens* IGLC2\*01 (100%) (109'-214')]; dimer (224-224":227-227")-bisdisulfide, produced in Chinese hamster ovary (CHO) cells, cell line CHO-K1SV lacking the glutamine synthetase (GS-KO) gene, glycoform alfa  
*insulin-like growth factor-binding protein 3 receptor (IGFBP-3R) inhibitor*

ébrasodébart

immunoglobuline G4-lambda2, anti-[*Homo sapiens* TMEM219 (protéine transmembranaire 219, récepteur de la protéine 3 liant le facteur de croissance analogue à l'insuline, IGFBP-3R) domaine extracellulaire], anticorps monoclonal *Homo sapiens*;  
 chaîne lourde H-gamma4 *Homo sapiens* (1-444) [VH (*Homo sapiens*IGHV1-18\*01 (99.0%) -(IGHD) -IGHJ4\*01 (100%), CDR-IMGT [8.8.11] (26-33.51-58.97-107)) (1-118)-*Homo sapiens*IGHG4\*01, *nG4m(a)* CH2 L92, G4v5 h P10, G4v3 CH2 E1.2 (CH1 (119-216), charnière 1-12 S10>P (226) (217-228), CH2 L92 (307), L1.2>E (233) (229-338), CH3 (339-443), CHS K2>del (444)) (119-444)], (132-213')-disulfure avec la chaîne légère L-lambda2 *Homo sapiens* (1'-214') [V-LAMBDA (*Homo sapiens* IGLV3-1\*01 (90.1%) -IGLJ2\*01 (100%), CDR-IMGT [6.3.11] (26'-31'.49'-51'.88'-98')) (1'-108') -*Homo sapiens* IGLC2\*01 (100%) (109'-214')]; dimère (224-224":227-227")-bisdisulfure, produit dans des cellules ovariennes de hamster chinois (CHO), lignée cellulaire CHO-K1SV ne présentant pas le gène de la glutamine synthétase (GS-KO), glycoforme alfa  
*inhibiteur du récepteur de la protéine 3 de liaison au facteur de croissance analogue à l'insuline (IGFBP-3R)*

ebrasodebart

immunoglobulina G4-lambda2, anti-[*Homo sapiens* TMEM219 (proteína transmembranaria 219, receptor de la proteína 3 de unión al factor de crecimiento análogo a la insulina, IGFBP-3R) dominio extracelular], anticuerpo monoclonal *Homo sapiens*;  
 cadena pesada H-gamma4 *Homo sapiens* (1-444) [VH (*Homo sapiens*IGHV1-18\*01 (99.0%) -(IGHD) -IGHJ4\*01 (100%), CDR-IMGT [8.8.11] (26-33.51-58.97-107)) (1-118)-*Homo sapiens*IGHG4\*01, *nG4m(a)* CH2 L92, G4v5 h P10, G4v3 CH2 E1.2 (CH1 (119-216), bisagra 1-12 S10>P (226) (217-228), CH2 L92 (307), L1.2>E (233) (229-338), CH3 (339-443), CHS K2>del (444)) (119-444)], (132-213')-disulfuro con la cadena ligera L-lambda2 *Homo sapiens* (1'-214') [V-LAMBDA (*Homo sapiens* IGLV3-1\*01 (90.1%) -IGLJ2\*01 (100%), CDR-IMGT [6.3.11] (26'-31'.49'-51'.88'-98')) (1'-108') -*Homo sapiens* IGLC2\*01 (100%) (109'-214')]; dímero (224-224":227-227")-bisdisulfuro, producido en las células ováricas de hámster chino (CHO), línea celular CHO-K1SV en ausencia del gen glutamina sintetasa (GS-KO), forma glicosilada alfa  
*inhibidor del receptor de la proteína 3 de unión al factor de crecimiento similar a la insulina (IGFBP-3R)*

Heavy chain / Chaîne lourde / Cadena pesada: H-gamma4 (H, H<sup>4</sup>) anti-TMEM219

QQLVQSGAE VKKPGASVKV SCKASGYTFT SYGISWVRQA PGQGLEWMGW 50  
 ISAYNGNTNY AQLKQGRVTM TTDSTSTAY MELRSLRSDD TAVVYCARWG 100  
 RWLAHDYWGQ GTLTVSSAS TKGPSVFPLA PCSRSTSEST AALGCLVKDY 150  
 FPEPVTYSNV SGALTSVHT FFAVLQSSGL YSLSSVTVTP SSSLGKTYT 200  
 CNVDHKFSNT KVDKRVESKY GPFCPPCPAP EFEGGFSVFL FPPKPKDTLM 250  
 ISRTFPEVTCV VVDVSDQEDPE VQFNWYVDGV EVHNAKTKPR EQQFNSTYRV 300  
 VSVLTVLHQD WLNKKEYKCK VSNKGLPSSI EKTISKAKGQ PREPQVYTLF 350  
 SQEEMTKNQ VSLTCLVKGF YPSDIAVEWE SNGQPENNYK TTPPVLDSDG 400  
 SFFFLYSRLTV DKSRWQEGNV FSCSVMEAL HNHYTQKSL SLSG 444

Light chain / Chaîne légère / Cadena ligera : L-lambda2 (L, L<sup>2</sup>) anti-TMEM219

QAVLTQPPSV SVSPGQTASI TCSGDKLGNK NAYWYQQKPG QSPVLVMYQS 50  
 TRRPSGIPER FSAASNGNTA TLTIISGTQM DEADYYCQAW DSSSGWEVFG 100  
 GGTCLTVLQGK PKAAPSTVTLF PPSSEELQAN KATLVCLISD FYPGAVTVAM 150  
 KADSSPVKAG VETTTPSKQS NNKYAASSYL SLTPEQWQKSH RSYSCQVTHE 200  
 GSTVEKTVAP TECS 214

## Post-translational modifications

Disulfide bridges location / Position des ponts disulfure / Posiciones de los puentes disulfuro

Intra-H (C23-C104) 22-96 145-201 259-319 365-423  
 22<sup>o</sup>-96<sup>o</sup> 145<sup>o</sup>-201<sup>o</sup> 259<sup>o</sup>-319<sup>o</sup> 365<sup>o</sup>-423<sup>o</sup>

Intra-L (C23-C104) 22-87<sup>m</sup> 136-195<sup>m</sup>  
 22<sup>mm</sup>-87<sup>mm</sup> 136<sup>mm</sup>-195<sup>mm</sup>

Inter-H-L (CH1 10-CL 126) 132-213<sup>m</sup> 132<sup>m</sup>-213<sup>m</sup>Inter-H-H (h 8, h 11) 224-224<sup>m</sup> 227-227<sup>m</sup>

N-terminal glutaminyl cyclization / Cyclisation du glutaminyle N-terminal / Ciclación del glutaminilo N-terminal

Q > pyroglutamyl (pE, 5-oxopropyl) / pyroglutamyle (pE, 5-oxopropyle) / piroglutamilo (pE, 5-oxopropililo)

H VH Q1: 1, 1<sup>m</sup>L VL V-LAMBDA Q1: 1, 1<sup>m</sup>

N-glycosylation sites / Sites de N-glycosylation / Posiciones de N-glicosilación

H CH2 N84.4: 295, 295<sup>m</sup>

Fucosylated complex bi-antennary CHO-type glycans / glycanes de type CHO bi-antennaires complexes fucosylés / glicanos de tipo CHO biantennarios complejos fucosilados

**ebribafuspum alfa#**

## ebribafusp alfa

chimeric immunoglobulin G4-kappa anti-(human complement C3d) fused at the C-terminus of the heavy chain, via a (G<sub>4</sub>S)<sub>2</sub> peptide linker to human complement factor H fragment, glycoform alfa;  
 gamma 4 heavy chain (1-437) [VH (*Homo sapiens* IGHV1-46\*01 -(IGHD) -IGHJ4\*01, CDR-Kabat [5.17.2] (31-35.50-66.99-100)) (1-111) -*Homo sapiens* IGHG4\*01 (CH1 (112-209), hinge S<sup>219</sup>>P (210-221), CH2 L<sup>226</sup>>E (222-331), CH3 M<sup>419</sup>>L, N<sup>425</sup>>S (332-436), CHS K<sup>438</sup>>del (437)) (112-437)] fused via a (G<sub>4</sub>S)<sub>2</sub> peptide linker (438-447) to human complement factor H fragment 19-323 (448-752 in the current sequence, containing the first five consensus repeat Sushi domains, residues 19-322, plus the adjacent K<sup>322</sup>), (125-219')-disulfide with kappa light chain (1'-219') [V-KAPPA (*Homo sapiens* IGKV2-30\*01 -IGKJ4\*01, CDR-Kabat [16.7.9] (24'-39'.55'-61'.94'-102')) (1'-112') -*Homo sapiens* IGKC\*01 (113'-219')]; dimer (217-217''-220-220'')-bisdisulfide, produced in Chinese hamster ovary (CHO) cells, cell line CHO-M, glycoform alfa  
*complement cascade inhibitor*

## ébribafusp alfa

immunoglobuline chimérique G4-kappa anti-(complément humain C3d) fusionnée à l'extrémité C-terminale de la chaîne lourde, via un peptide liant (G<sub>4</sub>S)<sub>2</sub>, à un fragment du facteur H du complément humain, glycoforme alfa;  
 chaîne lourde gamma 4 (1-437) [VH (*Homo sapiens* IGHV1-46\*01 -(IGHD) -IGHJ4\*01, CDR-Kabat [5.17.2] (31-35.50-66.99-100)) (1-111) -*Homo sapiens* IGHG4\*01 (CH1 (112-209), charnière S<sup>219</sup>>P (210-221), CH2 L<sup>226</sup>>E (222-331), CH3 M<sup>419</sup>>L, N<sup>425</sup>>S (332-436), CHS K<sup>438</sup>>del (437)) (112-437)] fusionnée, via un peptide liant (G<sub>4</sub>S)<sub>2</sub> (438-447), au fragment 19-323 du facteur H du complément humain (448-752 dans la séquence actuelle), contenant les cinq premiers domaines Sushi à répétition consensuelle, résidus 19-322, plus le K<sup>322</sup> adjacent, (125-219')-disulfure avec la chaîne légère kappa (1'-219') [V-KAPPA (*Homo sapiens* IGKV2-30\*01 -IGKJ4\*01, CDR-Kabat [16.7.9] (24'-39'.55'-61'.94'-102')) (1'-112') -

*Homo sapiens* IGKC\*01 (113'-219'); dimère (217-217":220-220")-bisdisulfure, produit dans des cellules ovariennes de hamster chinois (CHO), lignée cellulaire CHO-M, glycoforme alfa *inhibiteur de la cascade du complément*

ebribafusp alfa

immunoglobulina quimérica G4-kappa anti-(complemento C3d humano) fusionado en el terminal C de la cadena pesada, a través del enlace peptídico (G<sub>4</sub>S)<sub>2</sub> al fragmento del factor H del complemento humano, glicoforma alfa; cadena pesada gamma 4 (1-437) [VH (*Homo sapiens* IGHV1-46\*01 - (IGHD) -IGHJ4\*01, CDR-Kabat [5.17.2] (31-35.50-66.99-100)) (1-111) - *Homo sapiens* IGHG4\*01 (CH1 (112-209), bisagra S<sup>219</sup>-P (210-221), CH2 L<sup>226</sup>>E (222-331), CH3 M<sup>419</sup>>L, N<sup>425</sup>>S (332-436), CHS K<sup>438</sup>>del (437)) (112-437)] fusionado a través del (G<sub>4</sub>S)<sub>2</sub> enlace peptídico (438-447) al fragmento del factor H del complemento humano 19-323 (448-752 en la secuencia actual, que contiene los primeros cinco dominios de repetición consensuada Sushi, residuos 19-322, además del adyacente K<sup>322</sup>), (125-219)-disulfuro con cadena ligera kappa (1'-219') [V-KAPPA (*Homo sapiens* IGKV2-30\*01 -IGKJ4\*01, CDR-Kabat [16.7.9] (24'-39'.55'-61'.94'-102'')) (1'-112') -*Homo sapiens* IGKC\*01 (113'-219')]; dímero (217-217":220-220")-bisdisulfuro, producido en las células ováricas de hámster chino (CHO), línea celular CHO-M, glicoforma alfa *inhibidor de la cascada del complemento*

2839652-75-2

Sequence / Séquence / Secuencia

IgG4 heavy chain-human Factor H

QVQLVQSGAE	VKPKGASVKV	SKKASGYTFT	NYINNWVRQA	PGQGLEWMGV	50
INPYSGGTSY	NQKPKGRVTM	TVDTSTSTAY	MELSSLRSE	TAVYFCSSPY	100
WGQGLTVLTVS	SASTKGPSVF	FLAPCSRSTS	ESTAALGCLV	KDYFPEPVTV	150
SWNSGALTSQ	VHTFPAVLQS	SGLYSLSSVV	TVPSSSLGTK	TYTCNVDPK	200
SNTKVDKRVK	SKYGGPCPC	PAPEFEGGSP	VFLFPKPKD	TLMISRTPK	250
TCVVVDVDSQE	DPEYQFNWYV	DGVEVHNART	KPREEQFNST	YRVVSVLTVL	300
HQDWLNGKEY	KCKVSNKGLP	SSIERTISKA	KGPPEPQVY	TLPPSQEEMT	350
KNQVSLTCLV	KGFYPSDIAV	EWESNQFEN	NYKTTTPVLD	SDGSPFLYSR	400
LTVDKSRWQE	GNVFSQSVLH	EALHSHYTK	SLSLSLGGGG	GGGGGGEDC	450
NELPFRRTTE	ILTGSWSDQT	YPEGTALIK	CRPGYRSLGN	VIMVCRKGEW	500
VALNPLRKCQ	KRCPCHPGDT	PFQTFILTGG	NVFEYGVKAV	YTCNRYQLL	550
GEINRYRCDT	DGWTNDIPTC	EUVKCLPVT	PENKQIVSSA	MEPDREYHFG	600
QAVRFVCSNG	YKIEGDEEMH	CSDDGFWSKE	KPKCVEISCK	SPDVINGSPF	650
SQKILYKENE	RFQYKCNMGY	EYSEKGDVAV	TESGWRPLPS	CEEKSCDNPY	700
IPNGDYSPLR	IKHRTGDEIT	YQCRNGFYPA	TRGNTAKCTS	TGWIIPAPRCT	750
LK					752

IgG4 light chain

DVVMTQSPPLS	LPVTLGQPAS	ISCKSSQSLL	DSDGKTYLNW	FQQRPGQSPR	50
RLIYLVSCLD	SGVPRDRFSGS	SGGTDFTLKI	SRVEAEDVGV	YYCWQGTTHP	100
RTFGGGTKVE	IKRTVAAPSV	FIFPPSDEQL	KSGTASVVCL	LNNFYFREAK	150
VQWKVDNALQ	SGNSQESVTE	QDSKDYSL	SSTLTLSKAD	YEKHKVYACE	200
VTHQGLSSPV	TKSPNRGEC				219

Mutations / Mutation / Mutación

IgG4 heavy chain: S<sup>219</sup>, S<sup>219</sup>>P, L<sup>226</sup>, L<sup>226</sup>>E, M<sup>419</sup>, M<sup>419</sup>>L, N<sup>425</sup>, N<sup>425</sup>>S, K<sup>438</sup>, K<sup>438</sup>>del

Peptide linker / Peptide liant / Péptido de unión

IgG4 heavy chain-human Factor H: <sup>438</sup>GGGGGGGG<sup>447</sup>

Post-translation modifications

Disulfide bridges location / Position des ponts disulfure / Posiciones de los puentes disulfuro

Intra IgG4 heavy chain: 22-99, 138-194, 252-312, 358-416, 22"-99", 138"-194", 252"-312", 358"-416"

Intra Factor H: 450-495, 481-509, 514-558, 543-570, 575-621, 607-634, 639-680, 666-691, 696-738, 723-749, 450"-495", 481"-509", 514"-558", 543"-570", 575"-621", 607"-634", 639"-680", 666"-691", 696"-738", 723"-749"

Intra IgG4 light chain: 23'-93', 139"-199"

Inter IgG4 heavy-light chain: 125'-219', 125"-129"

Inter IgG4 heavy-heavy chain: 217-217", 220-220"

N-glycosylation sites / Sites de N-glycosylation / Posiciones de N-glicosilación

IgG4 heavy chain - Factor H: 288, 288"

N-terminal glutaminyl cyclization / Cyclisation du glutaminyle N-terminal / Ciclación del glutaminilo N-terminal

IgG1-heavy chain Q1.Q1" > pyroglutamy1 (pE, 5-oxo-L-prolyl)

**efimosferminum alfa #**

efimosfermin alfa

Fc fragment of human immunoglobulin G1 (1-227) [*Homo sapiens* IGHG1\*03 (hinge (1-10), CH2 L<sup>14</sup>>A, L<sup>15</sup>>A (11-120), CH3 (121-226), CHS (226-227))] fused via peptide linker <sup>228</sup>GS<sup>229</sup> to human fibroblast growth factor 21 (FGF-21) fragment 33-209 [Q<sup>55</sup>>C<sup>252</sup>, R<sup>105</sup>>K<sup>302</sup>, G<sup>148</sup>>C<sup>345</sup>, K<sup>150</sup>>R<sup>347</sup>, P<sup>158</sup>>S<sup>355</sup>, S<sup>195</sup>>A<sup>392</sup>, P<sup>199</sup>>G<sup>396</sup>, G<sup>202</sup>>A<sup>399</sup>]-variant (230-406 in the current sequence); dimer (6-6', 9-9')-bisdisulfide, produced in Chinese hamster ovary (CHO) cells, cell line CHO-DG44, glycoform alfa  
*fibroblast growth factor*

éfimosfermine alfa

fragment Fc de l'immunoglobuline G1 humaine (1-227) [*Homo sapiens* IGHG1\*03 (charnière (1-10), CH2 L<sup>14</sup>>A, L<sup>15</sup>>A (11-120), CH3 (121-226), CHS (226-227))] fusionné, via un peptide liant <sup>228</sup>GS<sup>229</sup>, au fragment 33-209 du facteur de croissance des fibroblastes 21 (FGF-21) humain, [Q<sup>55</sup>>C<sup>252</sup>, R<sup>105</sup>>K<sup>302</sup>, G<sup>148</sup>>C<sup>345</sup>, K<sup>150</sup>>R<sup>347</sup>, P<sup>158</sup>>S<sup>355</sup>, S<sup>195</sup>>A<sup>392</sup>, P<sup>199</sup>>G<sup>396</sup>, G<sup>202</sup>>A<sup>399</sup>]-variant (230-406 dans la séquence actuelle); dimère (6-6', 9-9')-bisdisulfure, produit dans des cellules ovariennes de hamster chinois (CHO), lignée cellulaire CHO-DG44, glycoforme alfa  
*facteur de croissance des fibroblastes*

efimosfermina alfa

fragmento Fc de la inmunoglobulina G1 humana (1-227) [*Homo sapiens* IGHG1\*03 (bisagra (1-10), CH2 L<sup>14</sup>>A, L<sup>15</sup>>A (11-120), CH3 (121-226), CHS (226-227))] fusionada, a través de enlace peptídico <sup>228</sup>GS<sup>229</sup>, al factor de crecimiento humano de fibroblasto 21 (FGF-21) fragmento 33-209 [Q<sup>55</sup>>C<sup>252</sup>, R<sup>105</sup>>K<sup>302</sup>, G<sup>148</sup>>C<sup>345</sup>, K<sup>150</sup>>R<sup>347</sup>, P<sup>158</sup>>S<sup>355</sup>, S<sup>195</sup>>A<sup>392</sup>, P<sup>199</sup>>G<sup>396</sup>, G<sup>202</sup>>A<sup>399</sup>]-variante (230-406 en la secuencia actual); dímero (6-6', 9-9')-bisdisulfuro, producido en las células ováricas de hámster chino (CHO), línea celular CHO-DG44, glicoforma alfa  
*factor de crecimiento de los fibroblastos*

2765640-39-7

Sequence / Séquence / Secuencia

```
DKTHTCPPCP APEAAGGSPV FLFPKPKKDT LMISRTPEVT CVVVDVSHED 50
PEVKFNWYVD GVEVHNAKTK PREEQYNSTY RVVSVLTVLH QDWLNGKEYK 100
CKVSNKALPA PIEKTISKAK GQPRFPQVYT LPSPREEMTK NQVSLTCLVK 150
GFYPSDIAVE WESNGQPENN YKTTTPVLDL DGSFFLYSKL TVDKSRWQQG 200
NVFSCSVHME ALHNHYTQKS LSLSPGKGS DSSPLLQFGGQ VRQRYLYTDD 250
AQCQTEAHLEI REDGTVGGAA DQSPESLLQL KALKPGVIQI LGVKTSRFLC 300
QKPDGALYGS LHFDPACSF RELLEDGYN VYQSEAHGLP LHLFCNRSFH 350
RDPASRGPAP FLPLPGLPPA LPEPPGILAP QPDPVGSDDP LAMVGGQAR 400
SPSYAS 406
```

Mutation / Mutation / Mutación

L<sup>14</sup>L<sup>14</sup>>A, L<sup>15</sup>L<sup>15</sup>>A, Q<sup>55</sup>>C<sup>252</sup>, C<sup>252</sup>, R<sup>105</sup>>K<sup>302</sup>, K<sup>302</sup>, G<sup>148</sup>>C<sup>345</sup>, C<sup>345</sup>, K<sup>150</sup>>R<sup>347</sup>, R<sup>347</sup>, P<sup>158</sup>>S<sup>355</sup>, S<sup>355</sup>, S<sup>195</sup>>A<sup>392</sup>, A<sup>392</sup>, P<sup>199</sup>>G<sup>396</sup>, G<sup>396</sup>, G<sup>202</sup>>A<sup>399</sup>, A<sup>399</sup>

Peptide linker / Peptide liant / Péptido de unión

<sup>228</sup>GS<sup>229</sup>**Post-translation modifications**

Disulfide bridges location / Position des ponts disulfure / Posiciones de los puentes disulfuro

Intra chain: 41-101, 147-205, 252-345, 300-318,

41'-101', 147'-205', 252'-345', 300'-318'

Inter chain: 6-6', 9-9'

N-glycosylation sites / Sites de N-glycosylation / Posiciones de N-glicosilación

77, 77'

**efparepoetinum alfa #**

efparepoetin alfa

human erythropoietin fragment 28-192 (1-165 in the current sequence) fused via peptide linker <sup>166</sup>GSGGGSGGGGSGGGGS<sup>181</sup> to a Fc fragment of immunoglobulin G2 (182-407) [*Homo sapiens* IGHG1\*01 (hinge N-terminal EPKSC deleted (182-191)), *Homo sapiens* IGHG2\*01 (CH2 P<sup>291</sup>>S (192-300), CH3 (301-405), CHS (406-407))]; dimer (187-187', 190-190')-bisdisulfide, produced in Chinese ovary hamster (CHO) cells, glycoform alfa *antianaemic*

efparépoétine alfa

fragment 28-192 de l'érythropoïétine humaine (1-165 dans la séquence actuelle) fusionné, via un peptide liant <sup>166</sup>GSGGGSGGGGSGGGGS<sup>181</sup>, à un fragment Fc de l'immunoglobuline G2 (182-407) [*Homo sapiens* IGHG1\*01 (charnière N-terminale EPKSC supprimée (182-191)), *Homo sapiens* IGHG2\*01 (CH2 P<sup>291</sup>>S (192-300), CH3 (301-405), CHS (406-407))]; dimère (187-187', 190-190')-bisdisulfure, produit dans des cellules ovariennes de hamster chinois (CHO), glycoforme alfa *antianémique*

efparepoetina alfa

fragmento humano de la eritropoyetina 28-192 (1-165 en la secuencia actual) fusionado a través de un enlace peptídico <sup>166</sup>GSGGGSGGGGSGGGGS<sup>181</sup> a un fragmento Fc de la inmunoglobulina G2 (182-407) [*Homo sapiens* IGHG1\*01 (bisagra N-terminal EPKSC eliminada (182-191)), *Homo sapiens* IGHG2\*01 (CH2 P<sup>291</sup>>S (192-300), CH3 (301-405), CHS (406-407))]; dímero (187-187', 190-190')-bisdisulfuro, producido en las células ováricas de hámster chino (CHO), glicofoma alfa *antianémico*

2761347-19-5

## Sequence / Séquence / Secuencia

```

APPRLICDSR VLERYLLEAK EAENITTTGCA EHCSSLNENIT VPDTKVNFYA 50
WKRMEVGGQA VEVWQGLALL SEAVLRGQAL LVNSSQPWEP LQLHVDKAVS 100
GLRSLTTLR ALGAQKEALS PDAASAAPL RTITADTFRK LFRVYSNFLR 150
GKLLKLTGEA CRTGDGSGGG SGGGGSGGGG SDKTHTCPPC PAPPVAGPSV 200
FLFPPPKPDT LMSRTEPEVT CVVVDVSHED PEVQFNWYVD GVEVHNAKTK 250
PREEQFNSTF RVVSVLTVVH QDWLNGKEYK CKVSNKGLPA SIEKTIKTK 300
GQPREPQVYV LPPSREEMTK NQVSLTCLVK GFYPSDIAVE WESNGQPENN 350
YKTTTFFMLDS DGSFFLYSKL TVDKSRWQQG NWFVSCSMHE ALHNYTKQS 400
LSLSPGK

```

## Mutation / Mutation / Mutación

p<sup>291</sup>, p<sup>291</sup>>S

## Peptide linker / Peptide liant / Péptido de unión

<sup>166</sup>GSGGGSGGGGSGGGGS<sup>181</sup>**Post-translation modifications**

Disulfide bridges location / Position des ponts disulfure / Posiciones de los puentes disulfuro

Intra-chain: 7-161, 29-33, 221-281, 327-385,

7-161', 29'-33', 221'-281', 327'-385'

Inter-chain: 187-187', 190-190'

N-glycosylation sites / Sites de N-glycosylation / Posiciones de N-glicosilación

24, 38, 83, 257; 24', 38', 83', 257'

O-glycosylation sites / Sites de O-glycosylation / Posiciones de O-glicosilación

S126, S126'

Oxidation sites / Sites d'oxydation / Posiciones de oxidación

M54, M212, M357, M388; M54', M212', M357', M388'

Deamidation sites / Sites de désamidation / Posiciones de desamidación

Q115, N147, (<sup>321</sup>NQ<sup>322</sup>)\*, Q115', N147' (<sup>321</sup>NQ<sup>322</sup>)\*

\*Deamidation can be in any of the listed amino acids

C-terminal lysine clipping / Coupure de la lysine C-terminale / Recorte de lisina C-terminal

H CHS: 407, 407'

## elsunersenum

elsunersen

(*all-P-ambo*)-2'-O-(2-methoxyethyl)-5-methyl-*P*-thiocytidylyl-(3'→5')-2'-O-(2-methoxyethyl)-5-methylcytidylyl-(3'→5')-2'-O-(2-methoxyethyl)adenylyl-(3'→5')-2'-O-(2-methoxyethyl)-5-methylcytidylyl-(3'→5')-2'-O-(2-methoxyethyl)guanylyl-(3'→5')-2'-O-(2-methoxyethyl)adenylyl-(3'→5')-2'-deoxy-5-methyl-*P*-thiocytidylyl-(3'→5')-2'-deoxy-*P*-thioadenylyl-(3'→5')-*P*-thiothymidylyl-(3'→5')-2'-deoxy-*P*-thioadenylyl-(3'→5')-*P*-thiothymidylyl-(3'→5')-*P*-thiothymidylyl-(3'→5')-*P*-thiothymidylyl-(3'→5')-*P*-thiothymidylyl-(3'→5')-*P*-thiothymidylyl-(3'→5')-2'-deoxy-5-methyl-*P*-thiocytidylyl-(3'→5')-2'-O-(2-methoxyethyl)-5-methyluridylyl-(3'→5')-2'-O-(2-methoxyethyl)-*P*-thioadenylyl-(3'→5')-2'-O-(2-methoxyethyl)-5-methyl-*P*-thiocytidylyl-(3'→5')-2'-O-(2-methoxyethyl)adenosine

*sodium channel protein type 2 subunit alpha (SCN2A) synthesis reducer*

elsunersen

(*tout-P-ambo*)-2'-O-(2-méthoxyéthyl)-5-méthyl-*P*-thiocytidylyl-(3'→5')-2'-O-(2-méthoxyéthyl)-5-méthylcytidylyl-(3'→5')-2'-O-(2-méthoxyéthyl)adénylyl-(3'→5')-2'-O-(2-méthoxyéthyl)-5-méthylcytidylyl-(3'→5')-2'-O-(2-méthoxyéthyl)guanylyl-(3'→5')-2'-O-(2-méthoxyéthyl)adénylyl-(3'→5')-2'-désoxy-5-méthyl-*P*-thiocytidylyl-(3'→5')-2'-désoxy-*P*-thioadénylyl-(3'→5')-*P*-thiothymidylyl-(3'→5')-2'-désoxy-*P*-thioadénylyl-(3'→5')-*P*-thiothymidylyl-(3'→5')-*P*-thiothymidylyl-(3'→5')-*P*-thiothymidylyl-(3'→5')-*P*-thiothymidylyl-(3'→5')-*P*-thiothymidylyl-(3'→5')-2'-désoxy-5-méthyl-*P*-thiocytidylyl-(3'→5')-2'-O-(2-méthoxyéthyl)-5-méthyluridylyl-(3'→5')-2'-O-(2-méthoxyéthyl)-*P*-thioadénylyl-(3'→5')-2'-O-(2-méthoxyéthyl)-5-méthyl-*P*-thiocytidylyl-(3'→5')-2'-O-(2-méthoxyéthyl)adénosine

*réducteur de synthèse de la sous-unité alpha (SCN2A) de la protéine du canal sodique de type 2*

elsunersén

(*todo-P-ambo*)-5-metil-2'-O-(2-metoxietil)-*P*-tiocitidilil-(3'→5')-5-metil-2'-O-(2-metoxietil)citidilil-(3'→5')-2'-O-(2-metoxietil)adenilil-(3'→5')-5-metil-2'-O-(2-metoxietil)citidilil-(3'→5')-2'-O-(2-metoxietil)guanilil-(3'→5')-2'-O-(2-metoxietil)adenilil-(3'→5')-2'-desoxi-5-metil-*P*-tiocitidilil-(3'→5')-2'-desoxi-*P*-tioadenilil-(3'→5')-*P*-tiotimidilil-(3'→5')-2'-desoxi-*P*-tioadenilil-(3'→5')-*P*-tiotimidilil-(3'→5')-*P*-tiotimidilil-(3'→5')-*P*-tiotimidilil-(3'→5')-*P*-tiotimidilil-(3'→5')-*P*-tiotimidilil-(3'→5')-2'-desoxi-5-metil-*P*-tiocitidilil-(3'→5')-5-metil-2'-O-(2-metoxietil)uridilil-(3'→5')-2'-O-(2-metoxietil)-*P*-tioadenilil-(3'→5')-5-metil-2'-O-(2-metoxietil)-*P*-tiocitidilil-(3'→5')-2'-O-(2-metoxietil)adenosina

*reductor de síntesis de la subunidad alfa de la proteína del canal de sodio tipo 2 (SCN2A)*

C<sub>230</sub>H<sub>320</sub>N<sub>67</sub>O<sub>126</sub>P<sub>19</sub>S<sub>13</sub>

2756001-75-7

(3'-5')m<sup>5</sup>Cmoe=m<sup>5</sup>Cmoe-Amoe-m<sup>5</sup>Cmoe-Gmoe-Amoe-m<sup>5</sup>C<sub>d</sub>=dA=dT=dA=dT=dT=dT=dT=dT=m<sup>5</sup>C<sub>d</sub>=m<sup>5</sup>Umoe-Amoe=m<sup>5</sup>Cmoe=Amoe

N : nucleoside / nucléoside / nucleósido

dN & N<sub>d</sub> : 2'-deoxy-N / 2'-désoxy-N / 2'-desoxi-N

m<sup>5</sup>N : 5-methyl-N / 5-méthyl-N / 5-metil-N

Nmoe : 2'-O-methoxyethyl-N / 2'-O-méthoxyéthyl-N / 2'-O-metoxietil-N

- : -PO(OH)- = : -PO(SH)-



**elzocabtagenium autoleucelum #**

elzocabtagene autoleucel

autologous T lymphocytes from peripheral blood obtained by leukapheresis, transduced with four self-inactivating, non-replicating lentiviral vectors encoding (i) a chimeric antigen receptor (CAR) targeting guanylyl cyclase C (GC-C, GUCY2C), (ii) a chimeric antigen receptor (CAR) targeting CD19 co-expressing interferon gamma (IFN- $\gamma$ ), (iii) a chimeric antigen receptor (CAR) targeting CD19 co-expressing interleukin-6 (IL-6), (iv) a chimeric antigen receptor (CAR) targeting CD19 co-expressing interleukin-12 (IL-12) fused to a von Hippel-Lindau tumour suppressor (VHL) recognition sequence.

Each CAR transgene comprises a signal peptide derived from the CD8 alpha chain, a single chain variable fragment (scFv) binding domain, a CD8 hinge and transmembrane domain, a 4-1BB co-stimulatory domain and a CD3 $\zeta$  signalling domain, under control of the human elongation factor 1 alpha (EF-1 $\alpha$ ) core promoter. For the three vectors that also encode a cytokine, each cytokine gene is preceded by an NFAT enhancer and is under the control of a minimal IL-2 promoter. For the IL-12-VHL expressing vector, a recognition sequence of the von Hippel-Lindau tumour suppressor protein (VHL) is fused to the 3' end of the IL-12 gene via an EA rich linker.

Each construct is flanked by 5' and 3' long terminal repeats (LTRs) and also contains a  $\psi$  packaging signal, a Rev response element (RRE), a central polypurine tract (CPPT) and central termination sequence (CTS) and a Woodchuck hepatitis virus post-transcriptional regulatory element (WPRE). Each vector is pseudotyped with the vesicular stomatitis virus (VSV) G envelope protein.

The leukapheresis material is enriched for CD4/CD8 T lymphocytes by positive immunoselection, activated by CD3 and CD28 agonists and transduced with the vector. The cells are then expanded in media with serum replacement and interleukin 2 (IL-2). The T lymphocytes (>75%) are positive for the transgenes (>5% CAR positive), with less than 0.5 % CD19+ cells. The cells produce cytokines (interleukin-6, interleukin-12, and interferon gamma) in co-culture with B lymphocytes  
*cell-based gene therapy (antineoplastic)*

elzocabtagène autoleucel

lymphocytes T autologues issus de sang périphérique obtenus par leucaphérèse, transduits avec quatre vecteurs lentivirus auto-inactivants et non-répliquants codant (i) un récepteur chimérique d'antigène (CAR) ciblant la guanylyl cyclase C (GC-C, GUCY2C), (ii) un récepteur chimérique d'antigène (CAR) ciblant le CD19 coexprimant l'interféron gamma (IFN- $\gamma$ ), (iii) un récepteur chimérique d'antigène (CAR) ciblant le CD19 coexprimant l'interleukine-6 (IL-6), (iv) un récepteur chimérique d'antigène (CAR) ciblant le CD19 coexprimant l'interleukine-12 (IL-12) fusionné à une séquence de reconnaissance du suppresseur de tumeur de von Hippel-Lindau (VHL).

Chaque transgène CAR comprend un peptide signal dérivé de la chaîne alpha du CD8, un domaine de liaison à un fragment variable à chaîne unique (scFv), une charnière CD8 et un domaine transmembranaire, un domaine de co-stimulation 4-1BB et un domaine de signalisation CD3 $\zeta$ , sous le contrôle du promoteur central du facteur d'élongation 1 alpha (EF-1 $\alpha$ ) humain. Pour les trois vecteurs qui codent également une cytokine, chaque gène de cytokine est précédé d'un amplificateur NFAT et est sous le contrôle d'un promoteur minimal IL-2. Pour le vecteur exprimant l'IL-12-VHL, une séquence de reconnaissance de la protéine suppresseur de tumeur de von Hippel-Lindau (VHL) est fusionnée à l'extrémité 3' du gène de l'IL-12 via un lieu riche en EA.

Chaque construction est flanquée de répétitions terminales longues (LTR) en 5' et 3' et contient également un signal d'encapsidation  $\psi$ , un élément de réponse Rev (RRE), un tractus polypurine central (CPPT) et une séquence de terminaison centrale (CTS), ainsi qu'un élément de régulation post-transcriptionnelle du virus de l'hépatite de la marmotte (WPRE). Chaque vecteur est pseudotypé avec la protéine d'enveloppe G du virus de la stomatite vésiculaire (VSV).

Le matériel de leucoaphérèse est enrichi en lymphocytes T CD4/CD8 par immunosélection positive, activé par des agonistes CD3 et CD28 et transduit avec le vecteur. Les cellules sont ensuite amplifiées dans un milieu contenant du sérum de substitution et de l'interleukine 2 (IL-2). Les lymphocytes T (>75%) sont positifs pour les transgènes (>5% CAR positif), avec moins de 0.5 % de cellules CD19+. Les cellules produisent des cytokines (interleukine-6, interleukine-12 et interféron gamma) en co-culture avec des lymphocytes B

*thérapie génique à base de cellules (antinéoplasique)*

elzocabtagén autoleucel

linfocitos T autólogos de sangre periférica obtenidos por leucoaféresis, transducidos con cuatro vectores lentivirales auto inactivantes, no replicativos, que codifican para (i) un receptor de antígenos quimérico (CAR) dirigido a la guanidil ciclasa C (GC-C, GUCY2C), (ii) un receptor de antígenos quimérico (CAR) dirigido a CD19 coexpresando interferón gamma (IFN- $\gamma$ ), (iii) un receptor de antígenos quimérico (CAR) dirigido a CD19 coexpresando interleuquina 6 (IL-6), (iv) un receptor de antígenos quimérico (CAR) dirigido a CD19 coexpresando interleuquina 12 (IL-12) fusionado a una secuencia de reconocimiento del supresor tumoral von Hippel-Lindau (VHL).

Cada transgén CAR contiene un péptido señal derivado de la cadena alfa de CD8, un dominio de unión de fragmento variable de cadena sencilla (scFv), un dominio bisagra y transmembrana de CD8, un dominio coestimulador de 4-1BB y un dominio de señalización de CD3 $\zeta$ , bajo el control del promotor mínimo del factor de elongación 1 alfa (EF-1 $\alpha$ ) humano. Para los tres vectores que también codifican una citoquina, cada gen de citoquina está precedido por un potenciador NFAT y está bajo el control de un promotor mínimo de IL-2. Para el vector que expresa IL-12-VHL, una secuencia de reconocimiento de la proteína supresora tumoral von Hippel-Lindau (VHL) está fusionada a la región 3' del gen de IL-12 mediante un enlazador rico en EA.

Cada constructo está flanqueado por repeticiones terminales largas (LTRs) en 5' y 3' y también contiene una señal de empaquetamiento  $\psi$ , un elemento de respuesta Rev (RRE), un tracto de polipurina central (CPPT) y una secuencia de terminación central (CTS) y un elemento regulador post-transcripcional del virus de la hepatitis de la marmota (WPRE). Cada vector está pseudotipado con la proteína G de la envuelta del virus de la estomatitis vesicular (VSV).

El material de leucoaféresis se enriquece en linfocitos T CD4/CD8 mediante inmunoselección positiva, se activa mediante agonistas de CD3 y CD28 y se transduce con el vector. Las células después se expanden en medio con sustituto de suero e interleukina 2 (IL-2). Los linfocitos T (>75%) son positivos para los transgènes (>5% CAR positivos), con menos de 0.5% de células CD19+. Las células producen citoquinas (interleukina 6, interleukina 12 e interféron gamma) en cocultivo con linfocitos B

*terapia génica basada en células (antineoplásico)*

**emiltatugum #**

emiltatug

immunoglobulin G1-kappa, anti-[*Homo sapiens* VTCN1(V-set domain containing T cell activation inhibitor 1, B7 family member H4, B7H4, B7-H4)], *Homo sapiens* monoclonal antibody;

H-gamma1 heavy chain *Homo sapiens* (1-445) [VH (*Homo sapiens* IGHV3-53\*01 (91.8%) -(IGHD) -IGHJ6\*01 (93.8%), CDR-IMGT [8.7.10] (26-33.51-57.96-105))] (1-116) -*Homo sapiens* IGHG1\*01 (100%), G1m17,1 CH1 K120, CH3 D12, L14 (CH1 K120 (213) (117-214), hinge 1-15 (215-229), CH2 (230-339), CH3 D12 (355), L14 (357) (340-444), CHS K2>del (445)) (117-445)], (219-216')-disulfide with L-kappa light chain *Homo sapiens* (1'-216') [V-KAPPA (*Homo sapiens* IGKV3-20\*01 (100%) -IGKJ2\*01 (100%), CDR-IMGT [7.3.10] (27'-33'.51'-53'.90'-99')) (1'-109') -*Homo sapiens* IGKC\*01 (100%), Km3 A45.1 (155'), V101 (193') (110'-216')]; dimer (225-225":228-228")-bisdisulfide, produced in Chinese hamster ovary (CHO) cells, cell line CHO-DG44, glycoform alfa

*antineoplastic*

émiltatug

VTCN1 (inhibiteur 1 de l'activation des cellules T contenant un domaine V-like, membre H4 de la famille B7, B7-H4, B7H4)], anticorps monoclonal *Homo sapiens*;

immunoglobuline G1-kappa, anti-[*Homo sapiens* chaîne lourde H-gamma1 *Homo sapiens* (1-445) [VH (*Homo sapiens* IGHV3-53\*01 (91.8%) -(IGHD) -IGHJ6\*01 (93.8%), CDR-IMGT [8.7.10] (26-33.51-57.96-105))] (1-116) -*Homo sapiens* IGHG1\*01 (100%), G1m17,1 CH1 K120, CH3 D12, L14 (CH1 K120 (213) (117-214), charnière 1-15 (215-229), CH2 (230-339), CH3 D12 (355), L14 (357) (340-444), CHS K2>del (445)) (117-445)], (219-216')-disulfure avec la chaîne légère L-kappa *Homo sapiens* (1'-216') [V-KAPPA (*Homo sapiens* IGKV3-20\*01 (100%) -IGKJ2\*01 (100%), CDR-IMGT [7.3.10] (27'-33'.51'-53'.90'-99')) (1'-109') -*Homo sapiens* IGKC\*01 (100%), Km3 A45.1 (155'), V101 (193') (110'-216')]; dimère (225-225":228-228")-bisdisulfure, produit dans des cellules ovariennes de hamster chinois (CHO), lignée cellulaire CHO-DG44, glycoforme alfa

*antineoplasique*

emiltatug

immunoglobulina G1-kappa, anti-[*Homo sapiens* VTCN1 (inhibidor 1 de la activación de las células T que contienen un dominio V-like, miembro H4 de la familia B7, B7-H4, B7H4)], anticuerpo monoclonal *Homo sapiens*;

cadena pesada H-gamma1 *Homo sapiens* (1-445) [VH (*Homo sapiens* IGHV3-53\*01 (91.8%) -(IGHD) -IGHJ6\*01 (93.8%), CDR-IMGT [8.7.10] (26-33.51-57.96-105))] (1-116) -*Homo sapiens* IGHG1\*01 (100%), G1m17,1 CH1 K120, CH3 D12, L14 (CH1 K120 (213) (117-214), bisagra 1-15 (215-229), CH2 (230-339), CH3 D12 (355), L14 (357) (340-444), CHS K2>del (445)) (117-445)], (219-216')-disulfuro con la cadena ligera L-kappa *Homo sapiens* (1'-216') [V-KAPPA (*Homo sapiens* IGKV3-20\*01 (100%) -IGKJ2\*01 (100%), CDR-IMGT [7.3.10] (27'-33'.51'-53'.90'-99')) (1'-109') -*Homo sapiens* IGKC\*01 (100%), Km3 A45.1 (155'), V101 (193') (110'-216')]; dímero (225-225":228-228")-bisdisulfuro, producido en las células ováricas de hámster chino (CHO), línea celular CHO-DG44, forma glicosilada alfa

*antineoplásico*

2855971-15-0

## Heavy chain / Chaîne lourde / Cadena pesada

EVQLVESGGG	LIQPGGSLRL	SCAASGFIIV	RNYMNVWRQA	PGKGLEWVSV	50
IYGSGRTDSA	DSVKGRFTIS	RDNSKNTLYL	QMNSLRAEDT	AVYYCARDAD	100
YGLDVMWGGT	TVTVSSASTK	GFSVFFPLAPS	SKSTSGGTTAA	LGCLVKDYFP	150
EPVTVSWNSG	ALTSVGHFFP	AVLQSSGLYS	LSSVVTVPSS	SLGTQTYICN	200
VNHKPSNTKV	DKKVEPKSCD	KTHTCPPCPA	PELLGGPSVF	LFPPPKPKDTL	250
MISRTPPEVTC	VVVDVSHEDP	EVKFNWYVDG	VEVHNAKTKP	REEQYNSTYR	300
VVSVLTVLHQ	DWLNGKEYKVC	KVSNKALPAP	IEKTIKSKAG	QPREPQVYTL	350
PPSRDELTKN	QVSLTCLVKG	FYPSDIAVEW	ESNGQPENNY	KTTPPVLDSD	400
GSFFLYSKLT	VDKSRWQQGN	VFESCSVMHEA	LHNHYTQKSL	SLSPG	445

## Light chain / Chaîne légère / Cadena ligera

EIVLTQSPGT	LSLSPGERAT	LSCRASQSVS	SSYLAWYQQK	PGQAPRLLIY	50
GASSRATGIP	DRFSGSGSGT	DFTLTISRLE	PDFFAVYYCQ	QYGGSSPLYTF	100
QGGTKLEIKR	TVAAPSVFIF	PPSDEQLKSG	TASVVCCLNN	FYPREAKVQW	150
KVDNALQSGN	SQESVTEQDS	KDSTYLSLST	LTLTKADYEK	HKVYACEVTH	200
QGLSSPVTKS	FNRGEC				216

## Post-translational modifications

Disulfide bridges location / Position des ponts disulfure / Posiciones de los puentes disulfuro

Intra-H (C23-C104)	22-95	143-199	260-320	366-424
	22"-95"	143"-199"	260"-320"	366"-424"

Intra-L (C23-C104)	23'-89'	136'-196'
	23"-89"	136"-196"

Inter-H-L (h 5-CL 126) 219-216' 219"-216"

Inter-H-H (h 11, h 14) 225-225" 228-228"

N-glycosylation sites / Sites de N-glycosylation / Posiciones de N-glicosilación

H CH2 N84.4: 296, 296"

Fucosylated complex bi-antennary CHO-type glycans / glycanes de type CHO bi-antennaire complexes fucosylés / glicanos de tipo CHO biantennarios complejos fucosilados

**emiltatugum ledadotinum #**  
emiltatug ledadotin

immunoglobulin G1-kappa, anti-[*Homo sapiens* VTCN1(V-set domain containing T cell activation inhibitor 1, B7 family member H4, B7H4, B7-H4)], *Homo sapiens* monoclonal antibody; conjugated at glycosylated asparaginyl residues to a derivative of auristatin, with a ratio of 1 to 6, via a cleavable linker;

H-gamma1 heavy chain *Homo sapiens* (1-445) [VH (*Homo sapiens* IGHV3-53\*01 (91.8%) -(IGHD) -IGHJ6\*01 (93.8%), CDR-IMGT [8.7.10] (26-33.51-57.96-105))] (1-116) -*Homo sapiens* IGHG1\*01 (100%), G1m17,1 CH1 K120, CH3 D12, L14 (CH1 K120 (213) (117-214), hinge 1-15 (215-229), CH2 (230-339), CH3 D12 (355), L14 (357) (340-444), CHS K2>del (445)) (117-445)], (219-216')-disulfide with L-kappa light chain *Homo sapiens* (1'-216') [V-KAPPA (*Homo sapiens* IGKV3-20\*01 (100%) -IGKJ2\*01 (100%), CDR-IMGT [7.3.10] (27'-33'.51'-53'.90'-99')) (1'-109') -*Homo sapiens* IGKC\*01 (100%), Km3 A45.1 (155'), V101 (193') (110'-216')]; dimer (225-225":228-228")-bisdisulfide, produced in Chinese hamster ovary (CHO) cells, cell line CHO-DG44, glycoform alfa; substituted at the side chain nitrogen atom of L-asparaginyl residues 296 and 296" with a radical group consisting of 2-acetamido-[(5aRS,6SR,6aSR)-6-[(45S)-22,22-bis[(28S)-28-[(9S,14S)-9-carboxy-19-[[N,N-dimethyl-L-valyl-L-valyl-(3R,4S,5S)-3-methoxy-5-methyl-4-(methylamino)heptanoyl-(2R,3R)-3-methoxy-2-methyl-3-[(2S)-pyrrolidin-2-yl]propanoyl-L-phenylalanyl]amino]-14-methyl-3,7,12,15-tetraoxo-2,16-dioxa-4,8,13-triazanonadecan-1-yl]-27,30,33,36,39,42,46-heptaoxo-2,5,8,11,14,17,20,23,49-nonaoxa-26,29,32,35,38,41,45-heptaazapentacontan-50-yl]-45-[(9S,14S)-9-carboxy-19-

{[N,N-diméthyl-L-valyl-L-valyl-(3R,4S,5S)-3-méthoxy-5-méthyl-4-(méthylamino)heptanoyl-(2R,3R)-3-méthoxy-2-méthyl-3-[(2S)-pyrrolidin-2-yl]propanoyl-L-phénylalanyl]amino}-14-méthyl-3,7,12,15-tétraoxo-2,16-dioxa-4,8,13-triazanonadécane-1-yl]-3,14,17,20,27,31,34,37,40,43,46-undécaoxo-2,7,10,24,50,53,56,59,62,65,68,71-dodécaoxa-4,13,18,21,28,32,35,38,41,45,47-undécaazadoheptacontane-1-yl]-1,4,5,5a,6,6a,7,8-octahydrocyclopropa[5,6]cycloocta[1,2-d][1,2,3]triazol-1-yl]-2,6-didéoxy-β-D-galactopyranosyl-(1→4)-2-acétamido-2-déoxy-6-O-(H or 6-déoxy-α-L-galactopyranosyl)-β-D-glucopyranosyl (*ledadotin*)  
*antineoplastique*

émiltatug ledadotine

immunoglobuline G1-kappa, anti-[*Homo sapiens* VTCN1 (inhibiteur 1 de l'activation des cellules T contenant un domaine V-like, membre H4 de la famille B7, B7-H4, B7H4)], anticorps monoclonal *Homo sapiens*; conjugué, par des résidus asparaginyles glycosylés, à un dérivé de l'auristatine, via un linker clivable avec un rapport de 1 pour 6; chaîne lourde H-gamma1 *Homo sapiens* (1-445) [VH (*Homo sapiens* IGHV3-53\*01 (91.8%) -(IGHD) -IGHJ6\*01 (93.8%), CDR-IMGT [8.7.10] (26-33.51-57.96-105)) (1-116) -*Homo sapiens* IGHG1\*01 (100%), G1m17,1 CH1 K120, CH3 D12, L14 (CH1 K120 (213) (117-214), charnière 1-15 (215-229), CH2 (230-339), CH3 D12 (355), L14 (357) (340-444), CHS K2>del (445)) (117-445)], (219-216')-disulfure avec la chaîne légère L-kappa *Homo sapiens* (1'-216') [V-KAPPA (*Homo sapiens* IGKV3-20\*01 (100%) -IGKJ2\*01 (100%), CDR-IMGT [7.3.10] (27'-33'.51'-53'.90'-99')) (1'-109') -*Homo sapiens* IGKC\*01 (100%), Km3 A45.1 (155'), V101 (193') (110'-216')]; dimère (225-225":228-228")-bisdisulfure, produit dans des cellules ovariennes de hamster chinois (CHO), lignée cellulaire CHO-DG44, glycoforme alfa; substitué sur l'atome d'azote de la chaîne latérale des résidus L-asparaginyles 296 et 296" avec un groupement radical 2-acétamido-[(5aRS,6SR,6aSR)-6-[(45S)-22,22-bis[(28S)-28-[(9S,14S)-9-carboxy-19-[[N,N-diméthyl-L-valyl-L-valyl-(3R,4S,5S)-3-méthoxy-5-méthyl-4-(méthylamino)heptanoyl-(2R,3R)-3-méthoxy-2-méthyl-3-[(2S)-pyrrolidin-2-yl]propanoyl-L-phénylalanyl]amino]-14-méthyl-3,7,12,15-tétraoxo-2,16-dioxa-4,8,13-triazanonadécane-1-yl]-27,30,33,36,39,42,46-heptaoxo-2,5,8,11,14,17,20,23,49-nonaoxa-26,29,32,35,38,41,45-heptaazapentacontane-50-yl]-45-[(9S,14S)-9-carboxy-19-[[N,N-diméthyl-L-valyl-L-valyl-(3R,4S,5S)-3-méthoxy-5-méthyl-4-(méthylamino)heptanoyl-(2R,3R)-3-méthoxy-2-méthyl-3-[(2S)-pyrrolidin-2-yl]propanoyl-L-phénylalanyl]amino]-14-méthyl-3,7,12,15-tétraoxo-2,16-dioxa-4,8,13-triazanonadécane-1-yl]-3,14,17,20,27,31,34,37,40,43,46-undécaoxo-

2,7,10,24,50,53,56,59,62,65,68,71-dodécaoxa-4,13,18,21,28,32,35,38,41,45,47-undécaazadoheptacontan-1-yl]-1,4,5,5a,6,6a,7,8-octahidrociclopropa[5,6]cicloocta[1,2-d][1,2,3]triazol-1-yl]-2,6-didésoxy-β-D-galactopyranosyl-(1→4)-2-acétamido-2-désoxy-6-O-(H ou 6-désoxy-α-L-galactopyranosyl)-β-D-glucopyranosyle (*ledadotina*)  
*antineoplásique*

emiltatug ledadotina

inmunoglobulina G1-kappa, anti-[*Homo sapiens* VTCN1 (inhibidor 1 de la activación de las células T que contienen un dominio V-like, miembro H4 de la familia B7, B7-H4, B7H4)], anticuerpo monoclonal *Homo sapiens*; conjugado, por los residuos asparaginilos glicosilados, con un derivado de la auristatina, a través de un enlace escindible con un ratio de 1 por 6;

cadena pesada H-gamma1 *Homo sapiens* (1-445) [VH (*Homo sapiens*IGHV3-53\*01 (91.8%) -(IGHD) -IGHJ6\*01 (93.8%), CDR-IMGT [8.7.10] (26-33,51-57,96-105)) (1-116) -*Homo sapiens* IGHG1\*01 (100%), G1m17,1 CH1 K120, CH3 D12, L14 (CH1 K120 (213) (117-214), bisagra 1-15 (215-229), CH2 (230-339), CH3 D12 (355), L14 (357) (340-444), CHS K2>del (445)) (117-445)], (219-216')-disulfuro con la cadena ligera L-kappa *Homo sapiens* (1'-216') [V-KAPPA (*Homo sapiens*IGKV3-20\*01 (100%) -IGKJ2\*01 (100%), CDR-IMGT [7.3.10] (27'-33':51'-53':90'-99')) (1'-109') -*Homo sapiens* IGKC\*01 (100%), Km3 A45.1 (155'), V101 (193') (110'-216')]; dímero (225-225":228-228")-bisdisulfuro, producido en las células ováricas de hámster chino (CHO), línea celular CHO-DG44, forma glicosilada alfa; substituido en el átomo de nitrógeno de la cadena lateral de los residuos L-asparaginilo 296 y 296" con un grupo radical 2-acetamido-[(5aRS,6SR,6aSR)-6-[(45S)-22,22-bis[(28S)-28-[(9S,14S)-9-carboxi-19-[[N,N-dimetil-L-valil-L-valil-(3R,4S,5S)-3-metoxi-5-metil-4-(metilamino)heptanoil-(2R,3R)-3-metoxi-2-metil-3-[(2S)-pirrolidin-2-il]propanoil-L-fenilalanil]amino)-14-metil-3,7,12,15-tetraoxo-2,16-dioxa-4,8,13-triazanonadecan-1-il]-27,30,33,36,39,42,46-heptaoxo-2,5,8,11,14,17,20,23,49-nonaoxa-26,29,32,35,38,41,45-heptaazapentacontan-50-il]-45-[(9S,14S)-9-carboxi-19-[[N,N-dimetil-L-valil-L-valil-(3R,4S,5S)-3-metoxi-5-metil-4-(metilamino)heptanoil-(2R,3R)-3-metoxi-2-metil-3-[(2S)-pirrolidin-2-il]propanoil-L-fenilalanil]amino)-14-metil-3,7,12,15-tetraoxo-2,16-dioxa-4,8,13-triazanonadecan-1-il]-3,14,17,20,27,31,34,37,40,43,46-undecaoxo-2,7,10,24,50,53,56,59,62,65,68,71-dodécaoxa-4,13,18,21,28,32,35,38,41,45,47-undécaazadoheptacontan-1-yl]-1,4,5,5a,6,6a,7,8-octahidrociclopropa[5,6]cicloocta[1,2-d][1,2,3]triazol-1-yl]-2,6-didesoxi-β-D-glucopiranosilo (*ledadotina*)4)-2-acetamido-2-desoxi-6-O-(H o 6-desoxi-α-L-galactopiranosil)-β-D-glucopiranosilo (*ledadotina*)  
*antineoplásico*

2855974-40-0

## Heavy chain / Chaîne lourde / Cadena pesada

EVQLVESGGG LIQPGGSLRL SCARASGFIVS RNYMNVWRQA PGKLEWVSV 50  
 IYSGRTDSA DSVKGRFTIS RNSKNLTYL QMNSLRAEDT AVYCARDAD 100  
 YGLDVWGQGT TVTVSSASTK GPSVFPLAPS SKSTSGGTAA LGCLVKDYFF 150  
 EPVTVSNWNG ALTSGVHTFP AVLQSSGLYS LSSVVTVPSS SLGQTYYICN 200  
 VNHKPSNTKV DKKVEPKSCD KTHTCPPCPA PELLGGPSVF LFPKPKDIT 250  
 MISRTPEVTC VVVDVSHEDP EVKFNWYVDG VEVHNAKTKP REEQYNSTYR 300  
 VVSVLTVLHQ DWLNGKEYKC KVSNAKALPAP IEKTIKAKG QPREPQVYTL 350  
 PPSRDELTKN QVSLTCLVKG FYPSEDI AVEW ESNQGFENNY KTTTPVLDSD 400  
 GSFFLYSKLT VDKSRWQQGN VFSCSVMHEA LHNHYTQKSL SLSPG 445

## Light chain / Chaîne légère / Cadena ligera

EIVLTQSPGT LSLSPGERAT LSCRASQSVS SSYLAWYQQK PGQAPRLLIY 50  
 GASSRATGIP DRFSGSGSGT DFTLTISRLE PEDFAVYVYQ QYGSSPLYTF 100  
 GQGTKLEIKR TVAAPSVFIF PPSDEQLKSG TASVVCLLNN FYPREAKVQW 150  
 KVDNALQSGN SQESVTEQDS KDSTYLSLST LTLSKADYEK HKVIACEVTH 200  
 QGLSSPVTKS FNRGEC 216

## Post-translational modifications

Disulfide bridges location / Position des ponts disulfure / Posiciones de los puentes disulfuro

Intra-H (C23-C104) 22<sup>o</sup>-95<sup>o</sup> 143<sup>o</sup>-199<sup>o</sup> 260<sup>o</sup>-320<sup>o</sup> 366<sup>o</sup>-424<sup>o</sup>  
 22<sup>o</sup>-95<sup>o</sup> 143<sup>o</sup>-199<sup>o</sup> 260<sup>o</sup>-320<sup>o</sup> 366<sup>o</sup>-424<sup>o</sup>  
 Intra-L (C23-C104) 23<sup>o</sup>-89<sup>o</sup> 136<sup>o</sup>-196<sup>o</sup>  
 23<sup>o</sup>-89<sup>o</sup> 136<sup>o</sup>-196<sup>o</sup>

Inter-H-L (h 5-CL 126) 219-216<sup>o</sup> 219<sup>o</sup>-216<sup>o</sup>Inter-H-H (h 11, h 14) 225-225<sup>o</sup> 228-228<sup>o</sup>

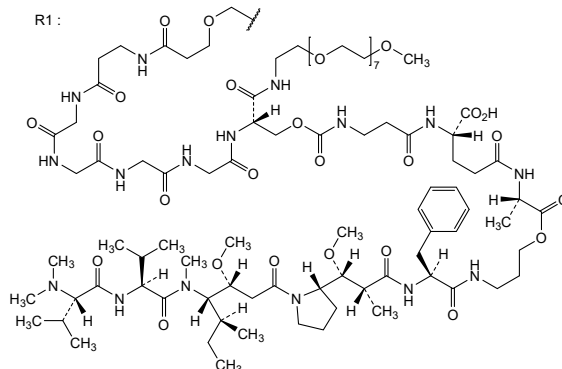
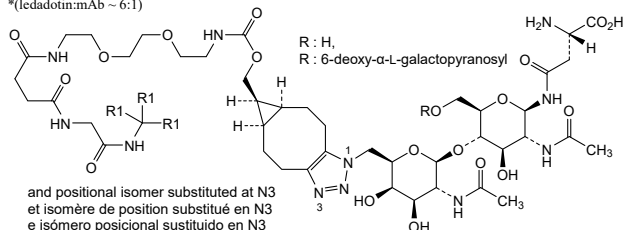
N-glycosylation sites / Sites de N-glycosylation / Posiciones de N-glicosilación

H CH2 N84.4: 296, 296<sup>o</sup>

Specific conjugation sites to remodeled fucosylated CHO-type glycans / sites de conjugaison

spécifiques aux glycanes de type CHO fucosylés remodelés / Sitios de conjugación

específicos para glicanos tipo CHO fucosilados remodelados

Modified residues / résidus modifiés / restos modificados<sup>\*</sup>N (296, 296<sup>o</sup>)<sup>\*</sup>(ledadotin:mAb ~ 6:1)

**envudeucitinibum**  
 envudeucitinib

*N*-[4-{2-methoxy-3-[1-(<sup>2</sup>H<sub>3</sub>)methyl-1*H*-1,2,4-triazol-3-yl]anilino)-5-(3,3,3-<sup>2</sup>H<sub>3</sub>)propanoylpyridin-2-yl]cyclopropanecarboxamide  
*Janus kinase inhibitor, anti-inflammatory*

envudeucitinib

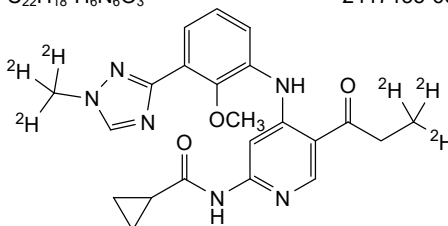
*N*-[4-{2-méthoxy-3-[1-(<sup>2</sup>H<sub>3</sub>)méthyl-1*H*-1,2,4-triazol-3-yl]anilino}-5-(3,3,3-<sup>2</sup>H<sub>3</sub>)propanoylpyridin-2-yl]cyclopropanecarboxamide  
*inhibiteur de la kinase de Janus, anti-inflammatoire*

envudeucitinib

*N*-[4-{3-[1-(<sup>2</sup>H<sub>3</sub>)metil-1*H*-1,2,4-triazol-3-il]-2-metoxianilino}-5-(3,3,3-<sup>2</sup>H<sub>3</sub>)propanoilpiridin-2-il]ciclopropanocarboxamida  
*inhibidor de la kinasa de Janus, antiinflamatorio*

C<sub>22</sub>H<sub>18</sub><sup>2</sup>H<sub>6</sub>N<sub>6</sub>O<sub>3</sub>

2417135-66-9



enzomenibum

enzomenib

5-fluoro-2-[(4-{7-[(1*S*,3*S*,4*R*)-5-méthylidène-2-azabicyclo[2.2.2]octane-3-carbonyl]-2,7-diazaspiro[3.5]nonan-2-yl}pyrimidin-5-yl)oxy]-*N,N*-di(propan-2-yl)benzamide  
*menin-MLL (mixed-lineage leukemia) protein interaction inhibitor, antineoplastic*

enzomérib

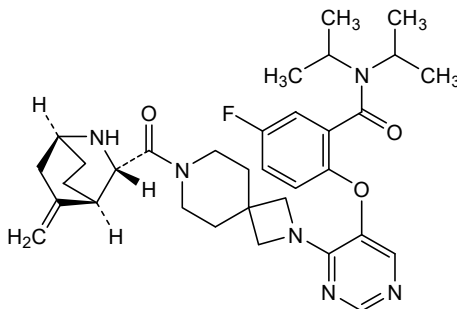
5-fluoro-2-[(4-{7-[(1*S*,3*S*,4*R*)-5-méthylidène-2-azabicyclo[2.2.2]octane-3-carbonyl]-2,7-diazaspiro[3.5]nonan-2-yl}pyrimidin-5-yl)oxy]-*N,N*-di(propan-2-yl)benzamide  
*inhibiteur de l'interaction protéique ménine-LLM (leucémie à lignée mixte), antinéoplasique*

enzomenib

5-fluoro-2-[(4-{7-[(1*S*,3*S*,4*R*)-5-metilideno-2-azabicyclo[2.2.2]octano-3-carbonil]-2,7-diazaespiro[3.5]nonan-2-il}pirimidin-5-il)oxil]-*N,N*-di(propan-2-il)benzamida  
*inhibidor de la interacción proteica menina-LLM (leucemia de linaje mixto), antineoplásico*

C<sub>33</sub>H<sub>43</sub>FN<sub>6</sub>O<sub>3</sub>

2412555-70-3





**epsametostatum**

epsametostat

*N*-[[4-methoxy-6-methyl-2-oxo-1,2-dihydropyridin-3-yl)methyl]-6-methyl-1-(6-methylpyridazin-3-yl)-5-((1*R*)-1-[4-(2,2,2-trifluoroethyl)piperazin-1-yl]ethyl)indolizine-7-carboxamide  
*histone N-methyltransferase inhibitor, antineoplastic*

epsamétostat

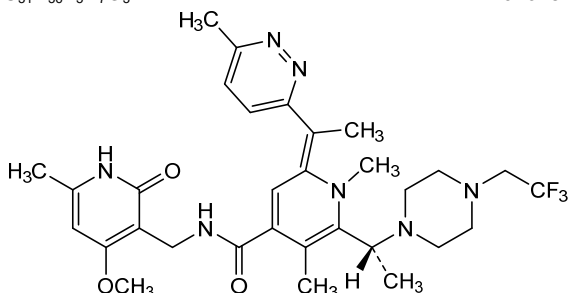
*N*-[[4-méthoxy-6-méthyl-2-oxo-1,2-dihydropyridin-3-yl)méthyl]-6-méthyl-1-(6-méthylpyridazin-3-yl)-5-((1*R*)-1-[4-(2,2,2-trifluoroéthyl)pipérazin-1-yl]éthyl)indolizine-7-carboxamide  
*inhibiteur de l'histone N-méthyltransférase, antinéoplasique*

epsametostat

6-metil-*N*-[[6-metil-4-metoxi-2-oxo-1,2-dihidropiridin-3-il)metil]-1-(6-metilpiridazin-3-il)-5-((1*R*)-1-[4-(2,2,2-trifluoroetil)piperazin-1-il]etil)indolizina-7-carboxamida  
*inhibidor de la histona N-metiltransferasa, antineoplásico*

C<sub>31</sub>H<sub>36</sub>F<sub>3</sub>N<sub>7</sub>O<sub>3</sub>

2202678-06-4

**etakafusp alfa #**

etakafusp alfa

humanized immunoglobulin G1-kappa anti-(human CD8) fused at the C-terminus of one heavy chain, via peptide linker <sup>449</sup>SGGGGSGGGGSGGGGS<sup>464</sup>, to a variant of human interleukin-2, glycoform alfa;  
gamma 1 heavy chain (1-448) [VH (*Homo sapiens* IGHV1-69\*01 - (IGHD) -IGHJ4\*01, CDR-Kabat [5.17.10] (31-35.50-66.99-108)) (1-119) -*Homo sapiens* IGHG1\*03v (CH1 (120-217), hinge (218-232), CH2 L<sup>236</sup>>A, L<sup>237</sup>>A, G<sup>239</sup>>A (233-342), CH3 S<sup>356</sup>>C, T<sup>368</sup>>S, L<sup>370</sup>>A, Y<sup>409</sup>>V (343-447), CHS K<sup>449</sup>>del (448)) (120-448)] fused via a peptide linker <sup>449</sup>SGGGGSGGGGSGGGGS<sup>464</sup> to human interleukin-2 (IL-2, T-cell grow factor (TCGF) fragment 21-153, [H<sup>36</sup>>E<sup>480</sup>, R<sup>58</sup>>E<sup>502</sup>, F<sup>62</sup>>A<sup>506</sup>, C<sup>145</sup>>A<sup>589</sup>]-variant (465-597 in the current sequence), (222-214')-disulfide with kappa light chain (1'-214') [V-KAPPA (*Homo sapiens* IGKV1-39\*01 -IGKJ4\*01, CDR-Kabat [11.7.9] (24'-34'.50'-56'.89'-97')) (1'-107') -*Homo sapiens* IGKC\*01 (108'-214''); (228-228'':231-231'':356-351'')-trisulfide with gamma 1 heavy chain (1''-449'') [VH (*Homo sapiens* IGHV1-69\*01 - (IGHD) - IGHJ4\*01, CDR-Kabat [5.17.10] (31''-35''.50''-66''.99''-108'')) (1''-119'') -*Homo sapiens* IGHG1\*03v (CH1 (120''-217''), hinge (218''-232''), CH2 L<sup>236</sup>>A, L<sup>237</sup>>A, G<sup>239</sup>>A (233''-342''), CH3 Y<sup>351</sup>>C, T<sup>368</sup>>W (343''-447''), CHS (448''-449'')) (120''-449'')], (222''-214''')-disulfide with kappa light chain (1'''-214''') [V-KAPPA (*Homo sapiens* IGKV1-39\*01 -IGKJ4\*01, CDR-Kabat [11.7.9] (24'''-34''' .50'''-56''' .89'''-97''')) (1'''-107''') -*Homo sapiens* IGKC\*01 (108'''-214''')]; produced in Chinese hamster ovary (CHO) cells, glycoform alfa  
*antineoplastic*

étakafusp alfa

immunoglobuline G1-kappa humanisée anti-(CD8 humain) fusionnée à l'extrémité C-terminale d'une chaîne lourde, via un peptide liant <sup>449</sup>SGGGGSGGGGSGGGGS<sup>464</sup>, à un variant de l'interleukine-2 humaine, glycoforme alfa; chaîne lourde gamma 1 (1-448) [VH (*Homo sapiens*IGHV1-69\*01 -(IGHD) -IGHJ4\*01, CDR-Kabat [5.17.10] (31-35.50-66.99-108)) (1-119) -*Homo sapiens*IGHG1\*03v (CH1 (120-217), charnière (218-232), CH2 L<sup>236</sup>>A, L<sup>237</sup>>A, G<sup>239</sup>>A (233-342), CH3 S<sup>356</sup>>C, T<sup>368</sup>>S, L<sup>370</sup>>A, Y<sup>409</sup>>V (343-447), CHS K<sup>449</sup>>del (448)) (120-448)] fusionnée via un peptide liant <sup>449</sup>SGGGGSGGGGSGGGGS<sup>464</sup> à l'interleukine-2 humaine (IL-2, fragment 21-153 du facteur de croissance des lymphocytes T (TCGF), [H<sup>36</sup>>E<sup>480</sup>, R<sup>58</sup>>E<sup>502</sup>, F<sup>62</sup>>A<sup>506</sup>, C<sup>145</sup>>A<sup>589</sup>]-variant (465-597 dans la séquence actuelle), (222-214')-disulfure avec la chaîne légère kappa (1'-214') [V-KAPPA (*Homo sapiens*IGKV1-39\*01 -IGKJ4\*01, CDR-Kabat [11.7.9] (24'-34'.50'-56'.89'-97')) (1'-107') -*Homo sapiens*IGKC\*01 (108'-214')]; (228-228'':231-231'':356-351'')-trisulfure avec la chaîne lourde gamma 1 (1''-449'') [VH (*Homo sapiens*IGHV1-69\*01 -(IGHD) -IGHJ4\*01, CDR-Kabat [5.17.10] (31''-35''.50''-66''.99''-108'')) (1''-119'') -*Homo sapiens*IGHG1\*03v (CH1 (120''-217''), charnière (218''-232''), CH2 L<sup>236</sup>>A, L<sup>237</sup>>A, G<sup>239</sup>>A (233''-342''), CH3 Y<sup>351</sup>>C, T<sup>368</sup>>W (343''-447''), CHS (448''-449'')) (120''-449'')], (222''-214'')-disulfure avec la chaîne légère kappa (1'''-214'') [V-KAPPA (*Homo sapiens*IGKV1-39\*01 -IGKJ4\*01, CDR-Kabat [11.7.9] (24'''-34'''-50'''-56'''-89'''-97'')) (1'''-107''') -*Homo sapiens*IGKC\*01 (108'''-214''')]; produit dans des cellules ovariennes de hamster chinois (CHO), glycoforme alfa  
*antineoplasique*

etakafusp alfa

inmunoglobulina G1-kappa humanizada anti-(human CD8) fusionada en el terminal C de una cadena pesada, a través de un enlace peptídico <sup>449</sup>SGGGGSGGGGSGGGGS<sup>464</sup>, a una variante de interleukina 2 humana, glicoforma alfa; cadena pesada gamma 1 (1-448) [VH (*Homo sapiens*IGHV1-69\*01 -(IGHD) -IGHJ4\*01, CDR-Kabat [5.17.10] (31-35.50-66.99-108)) (1-119) -*Homo sapiens*IGHG1\*03v (CH1 (120-217), bisagra (218-232), CH2 L<sup>236</sup>>A, L<sup>237</sup>>A, G<sup>239</sup>>A (233-342), CH3 S<sup>356</sup>>C, T<sup>368</sup>>S, L<sup>370</sup>>A, Y<sup>409</sup>>V (343-447), CHS K<sup>449</sup>>del (448)) (120-448)] fusionado a través de un enlace <sup>449</sup>SGGGGSGGGGSGGGGS<sup>464</sup> a interleukina 2 humana (IL-2, factor de crecimiento de células T (TCGF) fragmento 21-153, [H<sup>36</sup>>E<sup>480</sup>, R<sup>58</sup>>E<sup>502</sup>, F<sup>62</sup>>A<sup>506</sup>, C<sup>145</sup>>A<sup>589</sup>]-variante (465-597 en la secuencia actual), (222-214')-disulfuro con cadena ligera (1'-214') [V-KAPPA (*Homo sapiens*IGKV1-39\*01 -IGKJ4\*01, CDR-Kabat [11.7.9] (24'-34'.50'-56'.89'-97')) (1'-107') -*Homo sapiens*IGKC\*01 (108'-214')]; (228-228'':231-231'':356-351'')-trisulfuro con cadena pesada gamma 1 (1''-449'') [VH (*Homo sapiens*IGHV1-69\*01 -(IGHD) -IGHJ4\*01, CDR-Kabat [5.17.10] (31''-35''.50''-66''.99''-108'')) (1''-119'') -*Homo sapiens*IGHG1\*03v (CH1 (120''-217''), bisagra (218''-232''), CH2 L<sup>236</sup>>A, L<sup>237</sup>>A, G<sup>239</sup>>A (233''-342''), CH3 Y<sup>351</sup>>C, T<sup>368</sup>>W (343''-447''), CHS (448''-449'')) (120''-449'')], (222''-214'')-disulfuro con cadena ligera kappa (1'''-214'') [V-KAPPA (*Homo sapiens*IGKV1-39\*01 -IGKJ4\*01, CDR-Kabat [11.7.9] (24'''-34'''-50'''-56'''-89'''-97'')) (1'''-107''') -*Homo sapiens*IGKC\*01 (108'''-214''')]; producido en las células ováricas de hámster chino (CHO), glicoforma alfa  
*antineoplásico*

2852680-28-3

## Sequence / Séquence / Secuencia

## IgG1 heavy chain-IL2

QVQLVQSGAE VKKPGSSVKV SCKASGGTFS SYAISWVRQA PGQGLEWMGG 50  
 IIPGYATANY AQKFQGRVTI TADESTSTAY MELSSLRSED TAVYYCARD 100  
 AGIRLFADWG QGTLVTVSSA STKGPSVFPL APSSKSTSGG TAAAGCLVKD 150  
 YFPEPVTVSW NSGALTSGVH TFPVAVLQSSG LYSLSVVTV PSSSLGTQTY 200  
 ICNVNHPKPSN TKVDKKEPK SCDKTHCPP CPAPEAAGAAP SVFLFPPKPK 250  
 DTLMISRTEPE VTCVVVDVSH EDPEVKFNWY VDGVEVHNAK TKPREEQYNS 300  
 TYRVVSVLTV LHQDNLNGKE YKCKVSNKAL PAPIEKTISK AKGQPREPQV 350  
 YTLPPCREEM TKNQVSLSCA VKGFYPSDIA VEWESNGQPE NNYKTTTPVL 400  
 DSDGSFFLYS KLTVDKSRWQ QGNVFSCSVM HEALHNHYTQ KSLSLSPGSG 450  
GGGSGGGSG GGGSAPTSSS TKKTQLQLEE LLLDLQMLLN GINNYKNPKL 500  
 TEMLTAKFFYM PKKATELKHL QCLEELKPL EEVLNLAQSK NFHLRPRDLI 550  
 SNINIVIVLEL KGSETTFMCE YADETATIVE FLNRWITFAQ SIISTLT 597

## IgG1 heavy chain

QVQLVQSGAE VKKPGSSVKV SCKASGGTFS SYAISWVRQA PGQGLEWMGG 50  
 IIPGYATANY AQKFQGRVTI TADESTSTAY MELSSLRSED TAVYYCARD 100  
 AGIRLFADWG QGTLVTVSSA STKGPSVFPL APSSKSTSGG TAAAGCLVKD 150  
 YFPEPVTVSW NSGALTSGVH TFPVAVLQSSG LYSLSVVTV PSSSLGTQTY 200  
 ICNVNHPKPSN TKVDKKEPK SCDKTHCPP CPAPEAAGAAP SVFLFPPKPK 250  
 DTLMISRTEPE VTCVVVDVSH EDPEVKFNWY VDGVEVHNAK TKPREEQYNS 300  
 TYRVVSVLTV LHQDNLNGKE YKCKVSNKAL PAPIEKTISK AKGQPREPQV 350  
 CTLPPSREEM TKNQVSLWCL VKGFYPSDIA VEWESNGQPE NNYKTTTPVL 400  
 DSDGSFFLYS KLTVDKSRWQ QGNVFSCSVM HEALHNHYTQ KSLSLSPGK 449

## IgG1 light chain

DIQMTQSPSS LSASVGRDVT ITCRASQSIY GALNYYQQKP GKAPKLLIYG 50  
 ASNLQSGVPS RFGSGSGTD FTLTISLQP EDFATYYCQS TYTAPWTFGG 100  
 GTKVEIKRTV AAPSVFIFPP SDEQLKSGTA SVVCLLNIFY PREAKVQWKV 150  
 DNALQSGNSQ ESVTEQDSK STYSLSTLT LSKADYEKHK VYACEVTHQG 200  
 LSSPVTKSFN RGEK 214

## Mutations / Mutation / Mutación

IgG1 heavy chain-IL-2: L<sup>236</sup>>A, L<sup>237</sup>>A, G<sup>239</sup>>A, S<sup>356</sup>>C, T<sup>368</sup>>S, L<sup>370</sup>>A, Y<sup>409</sup>>V, K<sup>449</sup>>del,  
 H<sup>36</sup>>E<sup>480</sup>, R<sup>56</sup>>E<sup>202</sup>, F<sup>62</sup>>A<sup>506</sup>, C<sup>145</sup>>A<sup>589</sup>  
 IgG1 heavy chain: L<sup>236</sup>>A, L<sup>237</sup>>A, G<sup>239</sup>>A, Y<sup>351</sup>>C, T<sup>368</sup>>W

## Peptide linker / Peptide liant / Péptido de unión

IgG1 heavy chain-IL2: 449SGGGSGGGSGGGGS<sup>464</sup>

## Post-translation modifications

Disulfide bridges location / Position des ponts disulfure / Posiciones de los puentes disulfuro

Intra IgG1 heavy chain-IL2: 22"-96", 146"-202", 263"-323", 369"-427", 522"-569

Intra IgG1 heavy chain: 22"-96", 146"-202", 263"-323", 369"-427"

Intra IgG1 light chain: 23"-88", 134"-194", 23"-88", 134"-194"

Inter IgG1 heavy chain-heavy chain-IL2: 228"-228", 231"-231", 356"-351"

Inter IgG1 heavy chain-light chain: 222"-214", 222"-214"

## N-glycosylation sites / Sites de N-glycosylation / Posiciones de N-glicosilación

N299, N299"

## O-glycosylation sites / Sites de O-glycosylation / Posiciones de O-glicosilación

T467

## N-terminal glutaminyl cyclization / Cyclisation du glutaminyle N-terminal / Ciclación del glutaminilo N-terminal

IgG1-heavy chain Q1,Q1" > pyroglutamyl (pE, 5-oxo-L-prolyl)

## C-terminal lysine clipping / Coupure de la lysine C-terminale / Recorte de lisina C-terminal

H CHS: 449"

**etentamigum #**  
etentamig

immunoglobulin G4-kappa, anti-[*Homo sapiens* CD3E (CD3 epsilon)] and anti-[*Homo sapiens* TNFRSF17 (TNF receptor superfamily member 17, BCMA, TNFRSF13A, CD269)], *Homo sapiens* and humanized monoclonal antibody, bispecific, trivalent; gamma4 heavy chain anti-CD3E *Homo sapiens* (1-450) [VH (*Homo sapiens* IGHV3-9\*01 (100%) -(IGHD) -IGHJ4\*01 (100%)), CDR-IMGT [8.8.16] (26-33.51-58.97-112)) (1-123) -*Homo sapiens* IGHG4\*01, nG4m(a) CH2 L92, G4v5 h P10, G4v4 CH2 A1.3, A1.2, G1v32 CH3 W22 (knob) (CH1 (124-221), hinge 1-12 S10>P (231) (222-233), CH2 F1.3>A (237), L1.2>A (238), L92 (312) (234-343), CH3 T22>W (369) (344-448), CHS (449-450)) (124-450)], (137-214')-disulfide with a fixed kappa light chain *Homo sapiens* (1'-214') [V-KAPPA (*Homo sapiens* IGKV3-15\*01 (100%) -IGKJ1\*01 (100%)), CDR-IMGT [6.3.9] (27-32.50-52.89-97)) (1'-107') -*Homo sapiens* IGKC\*01 (100%), Km3 A45.1 (153), V101 (191) (108'-214')]; gamma4 heavy chain anti-TNFRSF17 humanized, bivalent (1"-472") [VH humanized (*Homo sapiens* IGHV3-23\*01 (93.9%) -(IGHD) -IGHJ1\*01 W118>R (109) (85.7%)), CDR-IMGT [8.8.12] (26-33.51-58.97-108)) (1"-119")-5-mer tetraglycyl-seryl linker (120"-124") -[VH humanized (*Homo sapiens* IGHV3-23\*01 (93.9%) -(IGHD) -IGHJ1\*01 W118>R (233) (85.7%)), CDR-IMGT [8.8.12] (150-157.175-182.221-232)) (125"-243") -*Homo sapiens* IGHG4\*01, nG4m(a) CH2 L92, G4v5 h P10, G4v4 CH2 A1.3, A1.2, G1v33 CH3 S22, A24, V86 (hole) (hinge 1-12 S10>P (253) (244"-255")), CH2 F1.3>A (259), L1.2>A (260), L92 (334) (256"-365"), CH3 T22>S (391), L24>A (393), Y86>V (432) (366"-470"), CHS (471"-472'')] (244"-472'')] ; dimer (229-251":232-254")-bisdisulfide, produced in Chinese hamster ovary (CHO) cells, cell line CHO-K1, glycoform alfa *antineoplastique*

étentamig

immunoglobuline G4-kappa, anti-[*Homo sapiens* CD3E (CD3 epsilon)] et anti-[*Homo sapiens* TNFRSF17 (membre 17 de la superfamille des récepteurs du TNF, BCMA, TNFRSF13A, CD269)], anticorps monoclonal *Homo sapiens* et humanisé, bispécifique, trivalent; chaîne lourde gamma4 anti-CD3E *Homo sapiens* (1-450) [VH (*Homo sapiens* IGHV3-9\*01 (100%) -(IGHD) -IGHJ4\*01 (100%)), CDR-IMGT [8.8.16] (26-33.51-58.97-112)) (1-123) -*Homo sapiens* IGHG4\*01, G4v5 h P10, nG4m(a) CH2 L92, G4v4 CH2 A1.3, A1.2, G1v32 CH3 W22 (knob) (CH1 (124-221), charnière 1-12 S10>P (231) (222-233), CH2 F1.3>A (237), L1.2>A (238), L92 (312) (234-343), CH3 T22>W (369) (344-448), CHS (449-450)) (124-450)], (137-214')-disulfure avec une chaîne légère kappa fixe *Homo sapiens* (1'-214') [V-KAPPA (*Homo sapiens* IGKV3-15\*01 (100%) -IGKJ1\*01 (100%)), CDR-IMGT [6.3.10] (27-32.50-52.89-97)) (1'-107') -*Homo sapiens* IGKC\*01 (100%), Km3 A45.1 (153), V101 (191) (108'-214')]; chaîne lourde gamma4 anti-TNFRSF17 humanisée, bivalente (1"-472") [VH humanisé (*Homo sapiens* IGHV3-23\*01 (93.9%) -(IGHD) -IGHJ1\*01 W118>R (109) (85.7%)), CDR-IMGT [8.8.12] (26-33.51-58.97-108)) (1"-119") -5-mer tétraglycyl-séryl linker (120"-124") -[VH humanisé (*Homo sapiens* IGHV3-23\*01 (93.9%) -(IGHD) -IGHJ1\*01 W118>R (233) (85.7%)), CDR-IMGT [8.8.12] (150-157.175-182.221-232)) (125"-243") -*Homo sapiens* IGHG4\*01, nG4m(a) CH2 L92, G4v5 h P10, G4v4 CH2 A1.3, A1.2, G1v33 CH3 S22, A24, V86 (hole) (charnière 1-12 S10>P (253) (244"-255")), CH2 F1.3>A (259), L1.2>A (260), L92 (334) (256"-365"), CH3 T22>S (391), L24>A (393), Y86>V (432) (366"-470"), CHS (471"-472'')] (244"-472'')] ; dimère (229-251":232-254")-bisdisulfure, produit dans des cellules ovariennes de hamster chinois (CHO), lignée cellulaire CHO-K1, glycoforme alfa *antineoplastique*

etentamig

inmunoglobulina G4-kappa, anti-[*Homo sapiens* CD3E (CD3 épsilon)] y anti-[*Homo sapiens* TNFRSF17 (miembro 17 de la superfamilia de los receptores del TNF, BCMA, TNFRSF13A, CD269)], anticuerpo monoclonal *Homo sapiens* y humanizado, biespecífico, trivalente;  
 cadena pesada gamma4 anti-CD3E *Homo sapiens* (1-450) [VH (*Homo sapiens* IGHV3-9\*01 (100%) -(IGHD) -IGHJ4\*01 (100%), CDR-IMGT [8.8.16] (26-33.51-58.97-112)) (1-123) -*Homo sapiens* IGHG4\*01, G4v5 h P10, nG4m(a) CH2 L92, G4v4 CH2 A1.3, A1.2, G1v32 CH3 W22 (knob) (CH1 (124-221), bisagra 1-12 S10>P (231) (222-233), CH2 F1.3>A (237), L1.2>A (238), L92 (312) (234-343), CH3 T22>W (369) (344-448), CHS (449-450)) (124-450)], (137-214')-disulfuro con una cadena ligera kappa fija *Homo sapiens* (1'-214') [V-KAPPA (*Homo sapiens* IGKV3-15\*01 (100%) -IGKJ1\*01 (100%), CDR-IMGT [6.3.10] (27-32.50-52.89-97)) (1'-107') -*Homo sapiens* IGKC\*01 (100%), Km3 A45.1 (153), V101 (191) (108'-214')];  
 cadena pesada gamma4 anti-TNFRSF17 humanizada, bivalente (1"-472") [VH humanizado (*Homo sapiens* IGHV3-23\*01 (93.9%) -(IGHD) -IGHJ1\*01 W118>R (109) (85.7%), CDR-IMGT [8.8.12] (26-33.51-58.97-108)) (1"-119") - 5-mer tetraglicil-seril enlace (120"-124") -[VH humanizado (*Homo sapiens* IGHV3-23\*01 (93.9%) -(IGHD) -IGHJ1\*01 W118>R (233) (85.7%), CDR-IMGT [8.8.12] (150-157.175-182.221-232)) (125"-243") -*Homo sapiens* IGHG4\*01, nG4m(a) CH2 L92, G4v5 h P10, G4v4 CH2 A1.3, A1.2, G1v33 CH3 S22, A24, V86 (hole) (bisagra 1-12 S10>P (253) (244"-255"), CH2 F1.3>A (259), L1.2>A (260), L92 (334) (256"-365"), CH3 T22>S (391), L24>A (393), Y86>V (432) (366"-470"), CHS (471"-472")) (244"-472")]; dímero (229-251":232-254")-bisulfuro, producido en las células ováricas de hámster chino (CHO), línea celular CHO-K1, forma glicosilada alfa *antineoplásico*

2490552-52-6

Heavy chain / Chaîne lourde / Cadena pesada: anti-CD3E (H)  
 EVQLVESGGG LVQPGRSLRL SCAASGFTFD DYAMHWVRQA PGRGLEWVSG 50  
 ISWNSGSIY ADSVKGRFTI SRDANKNSLY LQMNSLRAED TALYYCARDS 100  
 RGYGDYRLGG AYWGQGTLLV VSSASTKGPS VFPLAPCSRST TSESTAALGC 150  
 LVKDYFPEPV TVSWNSGALT SGVHTFPAVL QSSGLYLSSS VVTVPSSSLG 200  
 TKYTCNVNDH KPSNPKVDRK VESKYGPPCP PCPAPAEAAAG PSVFLFPKPP 250  
 KDTLMISRTP EVTCVVVDVQ QEDPEVQFNW YVDGVEVHNA KTKPREEQFN 300  
 STYRVVSVLT VLHQDWLNGK EYCKKVSNGK LPSSIEKTIS KARGQPREPQ 350  
 VYTLPPSQEE MTKNQVSLWC LVKGFYPSDI AVEWESNGQP ENNYKTTTPV 400  
 LDDSGSFFLY SRLTVDKSRW QEGNVFSCSV MHEALHNHYT QKSLSLSLGK 450

Heavy chain / Chaîne lourde / Cadena pesada: anti-TNFRSF17, bivalent (H")  
 EVQLLESGGG LVQPGRSLRL SCAASGFTVS SYGMSWVRQA PGRGPEWVSG 50  
 IRGSDGSTRY ADSVKGRFTI SRDNSKNTLY LQMNSLRAED TAVYYCAKQG 100  
 ENDGPFDRHG QGTLVTVSSG GGGSEVQLLE SGGGLVQPGG SLRLSCAASG 150  
 FTVSSYGMWSL VRQAPGKGPPE WVSGIRGSDG STYYADSVKRG RFTISRDNK 200  
 NTLYLQMNLSL RAEDTAVYYC AKQGENGGPF DHRGQGTLLV VSESKYGGP 250  
 CPPCPAPEAA GGPSVFLFPF KPKDTLMISR TPEVTCVVVD VSQEDPEVQF 300  
 NNWYDGEVNH NAKTKPREEQ FNSTYRVVSV LTVLHQDWLNGKEYKCKVSN 350  
 KGLPSSIEKT ISKAKGQPRE PQVYTLPPSQ EEMTKNQVSL SCAVKGFPYS 400  
 DIAVEWESNG QPENNYKTFP VLDDSDGSFF LVSRLLTVDKS RWQEGNVFSC 450  
 SVMHEALHNN YTKSLSLSLG GK 472

Light chain / Chaîne légère / Cadena ligera: (L')  
 EIVMTQSPAT LSVSPGERAT LSCRASQSVS SNLAWYQQKPK QAPRLLIYG 50  
 ASTRATGIPA RFGSGSGSTE FTLTISSLQK EDFAVYYCQQ YNNWPWFPGQ 100  
 GTKVEIKRTV AAPSVFIFPP SDEQLKSGTA SVVCLLNNFY BREAKVQWKV 150  
 DNALQSGNSQ ESVTEQDSKD STYLSLSTLT LSKADYEKHK VYACEVTHQG 200  
 LSSPVTKSFN RGEK 214

**Post-translational modifications**  
 Disulfide bridges location / Position des ponts disulfure / Posiciones de los puentes disulfuro  
 Intra-H (C23-C104) 22-96 150-206 264-324 370-428  
 22"-96" 146"-220" 286"-346" 392"-450"  
 Intra-L (C23-C104) 23'-88' 134'-194'  
 Inter-H-L (CH1 10-CL 126) 137-214'  
 Inter-H-H (h 8, h 11) 229-251" 232-254"

N-glycosylation sites / Sites de N-glycosylation / Posiciones de N-glicosilación  
 H CH2 N84.4: 300, 322"  
 Fucosylated complex bi-antennary CHO-type glycans / glycanes de type CHO bi-antennaires complexes fucosylés / glicanos de tipo CHO biantenaricos complejos fucosilados.

C-terminal lysine clipping / Coupeure de la lysine C-terminale / Recorte de lisina C-terminal  
 H CHS K2: 450, 472"

**ezobresibum**

ezobresib

2-{3-(1,4-dimethyl-1*H*-1,2,3-triazol-5-yl)-5-[(*S*)-(oxan-4-yl)(phenyl)methyl]-5*H*-pyrido[3,2-*b*]indol-7-yl}propan-2-ol  
*bromodomain and extra-terminal motif (BET) inhibitor, antineoplastic*

ézobrésib

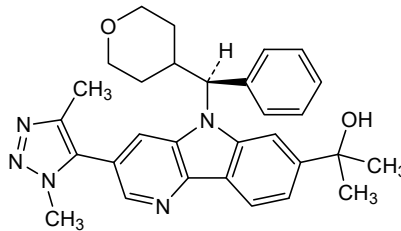
2-{3-(1,4-diméthyl-1*H*-1,2,3-triazol-5-yl)-5-[(*S*)-(oxan-4-yl)(phényl)méthyl]-5*H*-pyrido[3,2-*b*]indol-7-yl}propan-2-ol  
*inhibiteur du bromodomaine et du motif extra-terminal (BET), antinéoplasique*

ezobresib

2-{3-(1,4-dimetil-1*H*-1,2,3-triazol-5-il)-5-[(*S*)-fenil(oxan-4-il)metil]-5*H*-pirido[3,2-*b*]indol-7-il}propan-2-ol  
*inhibidor del bromodominio y del motivo extra-terminal (BET), antineoplásico*

C<sub>30</sub>H<sub>33</sub>N<sub>5</sub>O<sub>2</sub>

1800340-40-2

**ficerafuspum alfa #**

ficerafusp alfa

chimeric immunoglobulin G1-kappa anti-(human epidermal growth factor receptor) fused at the C-terminus of both light chains, via a (G<sub>4</sub>S)<sub>3</sub> peptide linker, to a fragment of the extracellular domain of human TGF-beta receptor type-2 (TGFR-2, TGF-beta type II receptor, transforming growth factor-beta receptor type II), glycoform alfa;  
 gamma 1 heavy chain (1-448) [VH (*Mus musculus* IGHV2-2\*03 -(IGHD) -IGHJ3\*01, CDR-Kabat [5.16.11] (31-35.50-65.98-108)) (1-119) -*Homo sapiens* IGHG1\*08 (CH1 (120-217), hinge (218-232), CH2 (233-342), CH3 (343-447), CHS K<sup>449</sup>>del (448)) (120-448)], (222-214')-disulfide with kappa light chain (1'-214') [V-KAPPA (*Mus musculus* IGKV5-48\*01 -IGKJ5\*01, CDR-Kabat [11.7.9] (24'-34'.50'-56'.89'-97')) (1'-107') -*Homo sapiens* IGKC\*01 (108'-214')] fused via a (G<sub>4</sub>S)<sub>3</sub> peptide linker (215'-229') to human TGF-beta receptor type-2 (TGFR-2, TGF-beta type II receptor, transforming growth factor-beta receptor type II) extracellular domain fragment 23-159 (230-366 in the current sequence); dimer (228-228", 231-231")-bisdisulfide, produced in Chinese hamster ovary (CHO) cells, glycoform alfa  
*antineoplastic*

ficérafusp alfa

immunoglobuline chimérique G1-kappa anti-(récepteur du facteur de croissance épidermique humain) fusionnée à l'extrémité C-terminale des deux chaînes légères, via un peptide liant (G<sub>4</sub>S)<sub>3</sub>, à un fragment du domaine extracellulaire du récepteur humain du TGF-β de type 2 (TGFR-2, récepteur du TGF-β de type II, récepteur du facteur de croissance transformant-β de type II), glycoforme alfa; chaîne lourde gamma 1 (1-448) [VH (*Mus musculus*IGHV2-2\*03 -(IGHD) -IGHJ3\*01, CDR-Kabat [5.16.11] (31-35.50-65.98-108)) (1-119) -*Homo sapiens*IGHG1\*08 (CH1 (120-217), charnière (218-232), CH2 (233-342), CH3 (343-447), CHS K<sup>449</sup>>del (448)) (120-448)], (222-214')-disulfure avec la chaîne légère kappa (1'-214') [V-KAPPA (*Mus musculus*IGKV5-48\*01 -IGKJ5\*01, CDR-Kabat [11.7.9] (24'-34'.50'-56'.89'-97')) (1'-107') -*Homo sapiens*IGKC\*01 (108'-214')] fusionné, via un peptide liant (G<sub>4</sub>S)<sub>3</sub> (215'-229'), au récepteur humain du TGF-β de type 2 (TGFR-2, récepteur du TGF-β de type II, récepteur du facteur de croissance transformant β de type II), fragment 23-159 du domaine extracellulaire (230-366 dans la séquence actuelle); dimère (228-228", 231-231")-bisdisulfure, produit dans des cellules ovariennes de hamster chinois (CHO), glycoforme alfa  
*antineoplasique*

ficerafusp alfa

immunoglobulina quimérica G1-kappa anti-(receptor del factor de crecimiento epidérmico humano) fusionada en el terminal C de ambas cadenas ligeras, a través de un enlace peptídico (G<sub>4</sub>S)<sub>3</sub>, a un fragmento del dominio extracelular de receptor TGF-beta humano de tipo 2 (TGFR-2, receptor TGF-beta de tipo II, receptor de factor de crecimiento beta de transformación de tipo II), glicofoma alfa; cadena pesada gamma 1 (1-448) [VH (*Mus musculus*IGHV2-2\*03 -(IGHD) -IGHJ3\*01, CDR-Kabat [5.16.11] (31-35.50-65.98-108)) (1-119) -*Homo sapiens*IGHG1\*08 (CH1 (120-217), bisagra (218-232), CH2 (233-342), CH3 (343-447), CHS K<sup>449</sup>>del (448)) (120-448)], (222-214')-disulfuro con cadena ligera kappa (1'-214') [V-KAPPA (*Mus musculus*IGKV5-48\*01 -IGKJ5\*01, CDR-Kabat [11.7.9] (24'-34'.50'-56'.89'-97')) (1'-107') -*Homo sapiens*IGKC\*01 (108'-214')] fusionado a través de un enlace peptídico (G<sub>4</sub>S)<sub>3</sub> (215'-229') a un receptor TGF-beta humano de tipo 2 (TGFR-2, receptor TGF-beta de tipo II, receptor de factor de crecimiento beta de transformación de tipo II) fragmento de dominio extracelular 23-159 (230-366 en la secuencia actual); dímero (228-228":231-231")-bisdisulfuro, producido en las células ováricas de hámster chino (CHO), glicofoma alfa  
*antineoplásico*

2764727-44-6

## Sequence / Séquence / Secuencia

## IgG1 heavy chain

QVQLKQSGPG LVQPSQSLSI TCTVSGFSLT NYGVHWRVRS PGKGLEWLVG 50  
 IWSGGNTDYN TFFT SRLSIN KDNSKQVVF KMNSLQSNDD AIYYCARALT 100  
 YYDYEFAYWG QGTLVTVSAA STKGPSVFPPL APSSKSTSGG TAALGCLVKD 150  
 YFPEFVTVSW NSGALTSQVH TFPVAVLQSSG LYSLSVVTV PSSSLGTQTY 200  
 ICNVNHHKFSN TKVDKRVPEK SCDKTHTCP CPAPPELLGGP SVFLFPKPK 250  
 DTLMISRTPE VTCVVVDVSH EDPEVKFNWY VDGVEVHNAK TKPREEQYNS 300  
 TYRVVSVLTV LHQDNLNGKE YKCKVSNKAL PAPIEKTISK AKGQPREPQV 350  
 YTLPPSRDEL TKNQVSLTCL VKGFYPSDIA VEWESNGQPE NNYKTTTPVL 400  
 DSDGSGFFLYS KLTVDKSRWQ QGNVFCSSVM HEALHNHYTQ KSLSLSPG 448

## IgG1 light chain-TGFBRII

DILLTQSPVI LSVSPGERVS FSCRASQSIG TNIHWYQRT NGSPRLLIKY 50  
 ASESISGIPS RFGSGSGGTD FTLSINSVES EDIADYYCQQ NNNWPTTFGA 100  
 GTKLELKRIV AAPSVFIFPP SDEQLKSGTA SVVCLLNNFY PREAKVQWPK 150  
 DNALQSGNSQ ESVTEQDSKD STYLSLSTLT LSKADYEKHK VYACEVTHQG 200  
 LSSPVTKSFN RGECCGGGSG GGGSGGGG**ST** **IPPHVQKSVN NDMIVTDNNG** 250  
**AVKFPQLCKF CDVRFSTCDN QKSCMNSCSI TSICEKPQEV CVAVWRKND** 300  
**NITLETYVCHD PKLPHYDFIL EDAASPKCIM KEKKKPGETF FMCSSSDEC** 350  
**NDNIIFSEY NTSNPD** 366

## Mutation / Mutation / Mutación

IgG1 heavy chain C-term K<sup>449</sup>>del

## Peptide linker / Peptide liant / Péptido de unión

IgG1 light chain-TGFBRII: 215 GGGGSGGGSGGGGS<sup>229</sup>

## Post-translation modifications

Disulfide bridges location / Position des ponts disulfure / Posiciones de los puentes disulfuro

Intra heavy chain: 22-95, 146-202, 263-323, 369-427; 22"-95", 146"-202", 263"-323", 369"-427"

Intra light chain-TGFBRII: 23'-88', 134'-194', 258'-261', 268'-274', 278'-284', 291'-308', 328'-343',  
345'-350'; 23"'-88"', 134"'-194"', 258"'-261"', 268"'-274"', 278"'-284"',  
291"'-308"', 328"'-343"', 345"'-350"

Inter heavy chain - light chain-TGFBRII: 222-214', 222"-214"

Inter heavy chain: 228-228", 231-231"

N-glycosylation sites / Sites de N-glycosylation / Posiciones de N-glicosilación

IgG1 heavy chain: 88, 299, 88", 299"

IgG1 light chain-TGFBRII: 277', 301', 361', 277"', 301"', 361"

O-glycosylation sites / Sites de O-glycosylation / Posiciones de O-glicosilación

Peptide linker: (S219', S224', S229'; S219"', S224"', S229'")\*

\*Glycosylation can be in any of the listed amino acids

IgG1 light chain-TGFBRII: S238', S238"

Oxidation sites / Sites d'oxydation / Posiciones de oxidación

IgG1 heavy chain: M255, M255"

IgG1 light chain-TGFBRII: M243', M243"

Deamidation sites / Sites de désamidation / Posiciones de desamidación

IgG1 light chain-TGFBRII: N249', N386'; N249"', N386"

N-terminal glutaminyl cyclization / Cyclisation du glutaminyle N-terminal / Ciclación del glutaminilo N-terminal

IgG1-heavy chain Q1,Q1" &gt; pyroglutamyl (pE, 5-oxo-L-prolyl)

**flezurafenibum**  
flezurafenib

5-(((3S)-3-[4-(4-fluorophenyl)-1H-imidazol-2-yl]-3,4-dihydro-2H-1-benzopyran-6-yl)oxy)-3,4-dihydro-1,8-naphthyridin-2(1H)-one  
*rapidly accelerated fibrosarcoma (Raf) kinase inhibitor,  
 antineoplastic*



**flezurafenibum**

flezurafenib

5-(((3S)-3-[4-(4-fluorophenyl)-1H-imidazol-2-yl]-3,4-dihydro-2H-1-benzopyran-6-yl)oxy)-3,4-dihydro-1,8-naphthyridin-2(1H)-one  
*rapidly accelerated fibrosarcoma (Raf) kinase inhibitor, antineoplastic*

flézurafénib

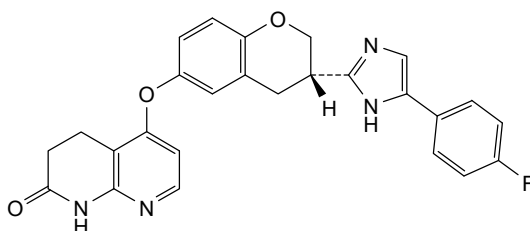
5-(((3S)-3-[4-(4-fluorophényl)-1H-imidazol-2-yl]-3,4-dihydro-2H-1-benzopyran-6-yl)oxy)-3,4-dihydro-1,8-naphthyridin-2(1H)-one  
*inhibiteur de la kinase du fibrosarcome à accélération rapide (Raf), antinéoplasique*

flezurafenib

5-(((3S)-3-[4-(4-fluorofenil)-1H-imidazol-2-il]-3,4-dihidro-2H-1-benzopiran-6-il)oxi)-3,4-dihidro-1,8-naftiridin-2(1H)-ona  
*inhibidor de la kinasa del fibrosarcoma (Raf) rápidamente acelerado, antineoplásico*

C<sub>26</sub>H<sub>21</sub>FN<sub>4</sub>O<sub>3</sub>

2760321-00-2

**fosdesdenosinum sipalabenamidum**

fosdesdenosine sipalabenamide

benzyl *N*-(*P*-ambo-3'-deoxy-*O*<sup>P</sup>-phenyl-5'-adenylyl)-*L*-alaninate  
*nucleoside analogue, antineoplastic*

fosdesdénosine sipalabenamide

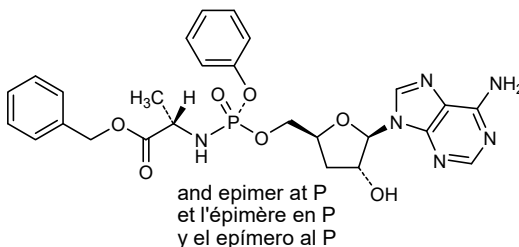
*N*-(*P*-ambo-3'-désoxy-*O*<sup>P</sup>-phényl-5'-adénylyl)-*L*-alaninate de benzyle  
*analogue de nucléoside, antinéoplasique*

fosdesdenosina sipalabenamida

*N*-(*P*-ambo-3'-desoxi-*O*<sup>P</sup>-fenil-5'-adenilil)-*L*-alaninato de bencilo  
*análogo de nucleósido, antineoplásico*

C<sub>26</sub>H<sub>29</sub>N<sub>6</sub>O<sub>7</sub>P

2348493-39-8



**foselutoclaxum**

foselutoclax

(10*R*)-1<sup>4</sup>-chloro-2<sup>5</sup>-methyl-7,7-dioxo-10-  
 [(phenylsulfanyl)methyl]-13<sup>4</sup>-(phosphonoxy)-2<sup>1</sup>-(propan-2-yl)-  
 8<sup>3</sup>-(trifluoromethanesulfonyl)-2<sup>1</sup>*H*-7λ<sup>6</sup>-thia-6,9-diaza-4(1,4)-  
 piperazina-13(1)-piperidina-2(2,3)-pyrrola-1(1),3(1,3),5,8(1,4)-  
 tetrabenzenatridecaphane-2<sup>4</sup>-carboxylic acid  
*B-cell lymphoma 2 (Bcl-2) inhibitor, antineoplastic*

fosélutoclax

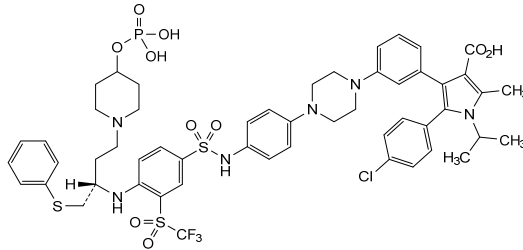
acide (10*R*)-1<sup>4</sup>-chloro-2<sup>5</sup>-méthyl-7,7-dioxo-10-  
 [(phénylsulfanyl)méthyl]-13<sup>4</sup>-(phosphonoxy)-2<sup>1</sup>-(propan-2-yl)-  
 8<sup>3</sup>-(trifluorométhanesulfonyl)-2<sup>1</sup>*H*-7λ<sup>6</sup>-thia-6,9-diaza-4(1,4)-  
 pipérazina-13(1)-pipéridina-2(2,3)-pyrrola-1(1),3(1,3),5,8(1,4)-  
 tétrabenzénatridécaphane-2<sup>4</sup>-carboxylique  
*inhibiteur du lymphome 2 à cellules B (Bcl-2), antinéoplasique*

foselutoclax

ácido (10*R*)-1<sup>4</sup>-cloro-10-[(fenilsulfanil)metil]-13<sup>4</sup>-(fosfonooxi)-  
 2<sup>5</sup>-metil-7,7-dioxo-2<sup>1</sup>-(propan-2-il)-8<sup>3</sup>-(trifluorometanosulfonyl)-  
 2<sup>1</sup>*H*-7λ<sup>6</sup>-tia-6,9-diaza-4(1,4)-piperazina-13(1)-piperidina-2(2,3)-  
 pirrola-1(1),3(1,3),5,8(1,4)-tetrabencenatridecafan-2<sup>4</sup>-  
 carboxílico  
*inhibidor del linfoma 2 de células B (Bcl-2), antineoplásico*

C<sub>53</sub>H<sub>59</sub>ClF<sub>3</sub>N<sub>6</sub>O<sub>10</sub>PS<sub>3</sub>

2271269-01-1

**fovinaciclimum**

fovinaciclím

7-cyclopentyl-*N,N*-dimethyl-2-({5-[4-(4-methylpiperazin-1-  
 yl)piperidin-1-yl]pyridin-2-yl}amino)thieno[3,2-*d*]pyrimidine-6-  
 carboxamide  
*cyclin dependent kinase inhibitor, antineoplastic*

fovinaciclím

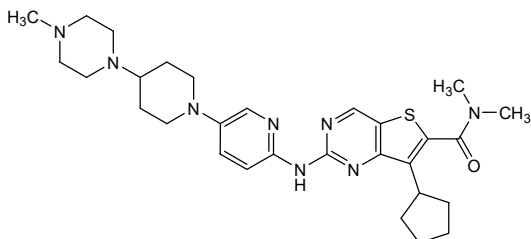
7-cyclopentyl-*N,N*-diméthyl-2-({5-[4-(4-méthylpipérazin-1-  
 yl)pipéridin-1-yl]pyridin-2-yl}amino)thiéno[3,2-*d*]pyrimidine-6-  
 carboxamide  
*inhibiteur des kinases dépendantes des cyclines,  
 antinéoplasique*

fovinaciclím

7-ciclopentil-*N,N*-dimetil-2-({5-[4-(4-metilpiperazin-1-  
 il)piperidin-1-il]piridin-2-il}amino)tieno[3,2-*d*]pirimidina-6-  
 carboxamida  
*inhibidor de las kinasas dependientes de las ciclinas,  
 antineoplásico*

C<sub>29</sub>H<sub>40</sub>N<sub>8</sub>OS

2146171-49-3

**frevecitinibum**

frevecitinib

3-((3S)-3-[1-methyl-2-oxo-5-(pyrazolo[1,5-a]pyridin-3-yl)-1,2-dihydro-3H-imidazo[4,5-b]pyridin-3-yl]piperidin-1-yl)-3-oxopropanenitrile

*Janus kinase inhibitor, anti-inflammatory*

frévécitinib

3-((3S)-3-[1-méthyl-2-oxo-5-(pyrazolo[1,5-a]pyridin-3-yl)-1,2-dihydro-3H-imidazo[4,5-b]pyridin-3-yl]pipéridin-1-yl)-3-oxopropanenitrile

*inhibiteur de la kinase de Janus, anti-inflammatoire*

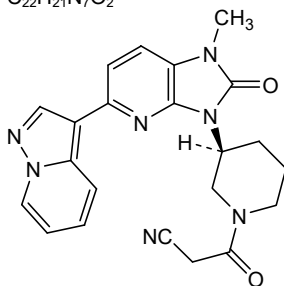
frevecitinib

3-((3S)-3-[1-metil-2-oxo-5-(pirazolo[1,5-a]piridin-3-il)-1,2-dihidro-3H-imidazo[4,5-b]piridin-3-il]piperidin-1-il)-3-oxopropanonitrilo

*inhibidor de la kinasa de Janus, antiinflamatorio*

C<sub>22</sub>H<sub>21</sub>N<sub>7</sub>O<sub>2</sub>

1299417-07-4

**gildeuretinolum**

gildeuretinol

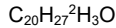
(2E,4E,6E,8E)-3-(<sup>2</sup>H<sub>3</sub>)methyl-7-methyl-9-(2,6,6-trimethylcyclohex-1-en-1-yl)nona-2,4,6,8-tetraen-1-ol;  
(20,20,20-<sup>2</sup>H<sub>3</sub>)retinol  
*vitamin A analogue*

gildeuretinol

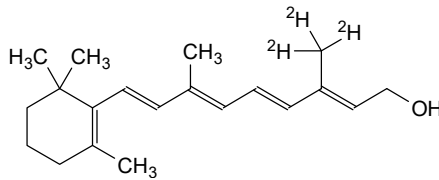
(2E,4E,6E,8E)-3-(<sup>2</sup>H<sub>3</sub>)méthyl-7-méthyl-9-(2,6,6-triméthylcyclohex-1-én-1-yl)nona-2,4,6,8-tétraén-1-ol;  
(20,20,20-<sup>2</sup>H<sub>3</sub>)rétinol  
*analogue de la vitamine A*

gildeuretinol

(2E,4E,6E,8E)-3-(<sup>2</sup>H<sub>3</sub>)metil-7-metil-9-(2,6,6-trimetilciclohex-1-en-1-il)nona-2,4,6,8-tetraen-1-ol;  
(20,20,20-<sup>2</sup>H<sub>3</sub>)retinol  
*análogo de la vitamina A*



118139-35-8

**gimistotugum #**

gimistotug immunoglobulin G1-kappa, anti-[*Homo sapiens* TNFRSF4 (tumor necrosis factor receptor (TNFR) superfamily member 4, OX40, CD134)], humanized monoclonal antibody;

H-gamma1 heavy chain humanized (1-450) [VH (*Homo sapiens* IGHV1-46\*01 (84.7%) -(IGHD) -IGHJ4\*01 (92.3%) L123>T (115), CDR-IMGT [8.8.13] (26-33.51-58.97-109)) (1-120) -*Homo sapiens* IGHG1\*03v, G1m3>G1m17, nG1m1 CH1 K120, CH3 E12, M14 (CH1 R120>K (217) (121-218), hinge 1-15 (219-233), CH2 (234-343), CH3 E12 (359), M14 (361) (344-448), CHS (449-450)) (121-450)], (223-214')-disulfide with L-kappa light chain humanized (1'-214') [V-KAPPA (*Homo sapiens* IGKV1-33\*01 (87.4%) -IGKJ4\*01 (100%), CDR-IMGT [6.3.9] (27'-32'.50'-52'.89'-97')) (1'-107') -*Homo sapiens* IGKC\*01 (100%), Km3 A45.1 (153'), V101 (191') (108'-214')]; dimer (229-229'':232-232'')-bisdisulfide, produced in Chinese hamster ovary (CHO) cells, glycoform alfa  
*immunostimulant, antineoplastic*

gimistotug

immunoglobuline G1-kappa, anti-[*Homo sapiens* TNFRSF4 (membre 4 de la superfamille des récepteurs du facteur de nécrose tumorale (TNFR), OX40, CD134)], anticorps monoclonal humanisé;  
chaîne lourde H-gamma1 humanisée (1-450) [VH (*Homo sapiens* IGHV1-46\*01 (84.7%) -(IGHD) -IGHJ4\*01 (92.3%), CDR-IMGT [8.8.13] (26-33.51-58.97-109)) (1-120) -*Homo sapiens* IGHG1\*03v, G1m3>G1m17, nG1m1 CH1 K120, CH3 E12, M14 (CH1 R120>K (217) (121-218), charnière 1-15 (219-233), CH2 (234-343), CH3 E12 (359), M14 (361) (344-448), CHS (449-450)) (121-450)], (223-214')-disulfure avec la chaîne légère L-kappa humanisée (1'-214') [V-KAPPA (*Homo sapiens* IGKV1-33\*01 (87.4%) -IGKJ4\*01 (100%), CDR-IMGT [6.3.9] (27'-32'.50'-52'.89'-97')) (1'-107') -*Homo sapiens* IGKC\*01 (100%), Km3 A45.1 (153'), V101 (191') (108'-214')]; dimère (229-229'':232-232'')-bisdisulfure, produit dans des cellules ovariennes de hamster chinois (CHO), glycoforme alfa  
*immunostimulant, antinéoplasique*

gimistotug

inmunoglobulina G1-kappa, anti-[*Homo sapiens* TNFRSF4 (miembro 4 de la superfamilia de los receptores del factor de necrosis tumoral (TNFR), OX40, CD134)], anticuerpo monoclonal humanizado;  
cadena pesada H-gamma1 humanizada (1-450) [VH (*Homo sapiens* IGHV1-46\*01 (84.7%) -(IGHD) -IGHJ4\*01 (92.3%), CDR-IMGT [8.8.13] (26-33.51-58.97-109)) (1-120) -*Homo sapiens* IGHG1\*03v, G1m3>G1m17, nG1m1 CH1 K120, CH3 E12, M14 (CH1 R120>K (217) (121-218), bisagra 1-15 (219-233), CH2 (234-343), CH3 E12 (359), M14 (361) (344-448), CHS (449-450)) (121-450)], (223-214')-disulfuro con la cadena ligera L-kappa humanizada (1'-214') [V-KAPPA (*Homo sapiens* IGKV1-33\*01 (87.4%) -IGKJ4\*01 (100%), CDR-IMGT [6.3.9] (27'-32'.50'-52'.89'-97')) (1'-107') -*Homo sapiens* IGKC\*01 (100%), Km3 A45.1 (153'), V101 (191') (108'-214')]; dímero (229-229'':232-232'')-bisdisulfuro, producido en las células ováricas de hámster chino (CHO), forma glicosilada alfa  
*inmunoestimulante, antineoplásico*

2768487-95-0

Heavy chain / Chaîne lourde / Cadena pesada  
 QVQLVQSGAE VKKPGSSVKV SCKASGYKFT SYIIHWVRQA PGQGLEWMGY 50  
 INFNYEGTRY NQKFQGRVTL TADKSTSTAY MELSSLRSSE TAVYVCARGY 100  
 YGSSYAMDYW GQGTITVTVSS ASTKGPSVFP LAPSCKSTSG GTAALGCLVK 150  
 DYFPPFVTVS WNSGALTSKV HTFPAVLQSS GLYSLSVSVT VPSSSLGQT 200  
 YICNVNHKPS NTKVDKKEVEP KSCDKHTHCP PCPAPPELLGG PSVFLFPPKP 250  
 KDTLMISRTPEVTCVVVDVSDHEDPEVKFNWYVDGVEVHNAKTKPREEQYN 300  
 STYRVVSVLT VLNQDNLNGK EYKCKVSNKA LPAPIEKTIIS KAKGQPREPK 350  
 VYTLPPSREE MTKNQVSLTCLVKGFYPSDI AVEWESNGQP ENNYKTTTPPV 400  
 LDDSGSFPLY SKLTVDKSRW QQGNVFSCSV MHEALHNHYT QKSLSLSPGK 450

Light chain / Chaîne légère / Cadena ligera  
 DIQMTQSPSSLSASVGRVTITCRASQGISNYLNWYQQKPDGAIKLLIYD 50  
 ASTLYSGVPSRFSGSGSGTDFTLTISSLQPEDFATYYCQQYSKLPYFFGG 100  
 GTKVEIKRTVAAPSVFIFPPSDEQLKSGTASVVCLLNNFYFREAKVQWKV 150  
 DNALQSGNSQESVTEQDSKIDSTYLSLSLTLSKADYEKHKVYACEVTHQG 200  
 LSSPVTKSFNGEC 214

**Post-translational modifications**

Disulfide bridges location / Position des ponts disulfure / Posiciones de los puentes disulfuro

Intra-H (C23-C104) 22-96 147-203 264-324 370-428  
 22"-96" 147"-203" 264"-324" 370"-428"

Intra-L (C23-C104) 23"-88" 134"-194"  
 23"-88" 134"-194"

Inter-H-L (h 5-CL 126) 223-214" 223"-214"

Inter-H-H (h 11, h 14) 229-229" 232-232"

N-terminal glutaminy cyclization / Cyclisation du glutaminy N-terminal / Ciclación del glutaminy N-terminal

Q > pyroglutamyl (pE, 5-oxoprolyl) / pyroglutamyl (pE, 5-oxoprolyl) / piroglutamyl (pE, 5-oxoprolyl)  
 H VH Q1: 1, 1"

N-glycosylation sites / Sites de N-glycosylation / Posiciones de N-glicosilación

H CH2 N84, 4; 300, 300"

Fucosylated complex bi-antennary CHO-type glycans / glycanes de type CHO bi-antennaires complexes fucosylés / glicanos de tipo CHO biantennarios complejos fucosilados

C-terminal lysine clipping / Coupure de la lysine C-terminale / Recorte de lisina C-terminal  
 H CHS K2: 450, 450"

**girocitinibum**

girocitinib

[(2R,5S)-5-{2-[(1R)-1-hydroxyethyl]-1H-furo[3,2-b]imidazo[4,5-d]pyridin-1-yl}oxan-2-yl]acetonitrile  
*Janus kinase inhibitor, anti-inflammatory*

girocitinib

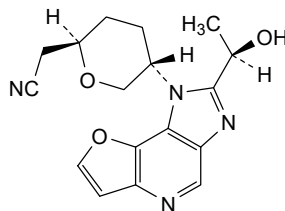
[(2R,5S)-5-{2-[(1R)-1-hydroxyéthyl]-1H-furo[3,2-b]imidazo[4,5-d]pyridin-1-yl}oxan-2-yl]acétonitrile  
*inhibiteur de la kinase de Janus, anti-inflammatoire*

girocitinib

[(2R,5S)-5-{2-[(1R)-1-hidroxietyl]-1H-furo[3,2-b]imidazo[4,5-d]piridin-1-il}oxan-2-il}acetonitrilo  
*inhibidor de la kinasa de Janus, antiinflamatorio*

C<sub>17</sub>H<sub>18</sub>N<sub>4</sub>O<sub>3</sub>

2222137-79-1



**glovadalenum**

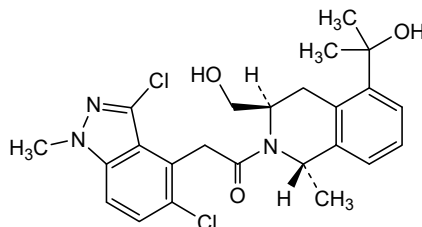
glovadalen

2-(3,5-dichloro-1-methyl-1H-indazol-4-yl)-1-[(1S,3R)-3-(hydroxymethyl)-5-(2-hydroxypropan-2-yl)-1-methyl-3,4-dihydroisoquinolin-2(1H)-yl]ethan-1-one  
*dopamine D1 receptor positive allosteric modulator*

- glovadalène  
2-(3,5-dichloro-1-méthyl-1*H*-indazol-4-yl)-1-[(1*S*,3*R*)-3-(hydroxyméthyl)-5-(2-hydroxypropan-2-yl)-1-méthyl-3,4-dihydroisoquinoléin-2(1*H*)-yl]éthan-1-one  
*modulateur allostérique positif du récepteur D1 de la dopamine*
- glovadalén  
2-(3,5-dicloro-1-metil-1*H*-indazol-4-il)-1-[(1*S*,3*R*)-3-(hidroximetil)-5-(2-hidroxiopropan-2-il)-1-metil-3,4-dihidroisoquinolin-2(1*H*)-il]etan-1-ona  
*modulador alostérico positivo del receptor D1 de la dopamina*

C<sub>24</sub>H<sub>27</sub>Cl<sub>2</sub>N<sub>3</sub>O<sub>3</sub>

2576359-31-2



**gocatamigum #**  
gocatamig

immunoglobulin single chain scFvhl-VH-VH', anti-[*Homo sapiens* CD3E (CD3 epsilon, Leu-4)], anti-[*Homo sapiens* ALB (albumin, human serum albumin, HSA)] and anti-[*Homo sapiens* DLL3 (delta-like ligand 3, delta like canonical Notch ligand 3)], trispécific;  
IG single chain scFvhl-VH-VH' (1-505) [scFvhl anti-CD3E (1-149) [VH Musmus/Homsap (*Mus musculus* IGHV10-1\*02 (89.9%) -(IGHD) -IGHJ3\*01 (100%)/*Homo sapiens* IGHV3-73\*01 (85.0%) -(IGHD) -IGHJ5\*01 (100%), CDR-IMGT [8.10.16] (26-33.51-60.99-114)] (1-125) -15-mer-tris(tetraglycyl-seryl) linker (126-140) -V-LAMBDA (*Homo sapiens* IGLV7-43\*01 (86.2%) -IGLJ3\*02 (100%), CDR-IMGT [9.3.9] (166-174.192-194.231-239)) (141-249)] -9-mer-tetraglycyl-seryl-triglycyl-seryl linker (250-258) -VH anti-ALB (*Homo sapiens* IGHV3-23\*04 (88.5%) -(IGHD) -IGHJ1\*01 (81.8%) W118>S (363), G119>S (364), CDR-IMGT [8.8.8] (284-291.309-316.355-362)) (259-373) -9-mer-tetraglycyl-seryl-triglycyl-seryl linker (374-382) -VH anti-DLL3 Vicpac /Homsap (*Vicugna pacos* IGHV3S53\*01 (77.3%) -(IGHD) -IGHJ5\*01 (100%)/*Homo sapiens* IGHV3-7\*01 (77.1%) -(IGHD) -IGHJ4\*01 (100%), (CDR-IMGT [8.7.11] (408-415.433-440.478-488)) (383-499) - hexahistidine tag (500-505)], produced in Chinese hamster ovary (CHO) cells, cell line CHO-DG44, lacking the enzyme dihydrofolate reductase (DHFR), non-glycosylated  
*antineoplastique*

gocatamig

immunoglobuline à chaîne unique scFvhl-VH-VH', anti-[*Homo sapiens* CD3E (CD3 epsilon, Leu-4)], anti-[*Homo sapiens* ALB (albumine, sérum albumine humaine, SAH)] et anti-[*Homo sapiens* DLL3 (delta-like ligand 3, delta like canonical Notch ligand 3)], trispécifique;

## gocatumig

IG à chaîne unique scFvhl-VH-VH' (1-505) [scFvhl anti-CD3E (1-149) [VH Musmus/Homsap (*Mus musculus* IGHV10-1\*02 (89.9%) -(IGHD) -IGHJ3\*01 (100%)/*Homo sapiens* IGHV3-73\*01 (85.0%) -(IGHD) -IGHJ5\*01 (100%), CDR-IMGT [8.10.16] (26-33.51-60.99-114)) (1-125) -15-mer-tris(tétraglycyl-séryl) linker (126-140) -V-LAMBDA (*Homo sapiens* IGLV7-43\*01 (86.2%) -IGLJ3\*02 (100%)), CDR-IMGT [9.3.9] (166-174.192-194.231-239)) (141-249)] -9-mer-tétraglycyl-séryl-triglycyl-séryl linker (250-258) -VH anti-ALB (*Homo sapiens* IGHV3-23\*04 (88.5%) -(IGHD) -IGHJ1\*01 (81.8%) W118>S (363), G119>S (364), CDR-IMGT [8.8.8] (284-291.309-316.355-362)) (259-373) -9-mer-tétraglycyl-séryl-triglycyl-séryl linker (374-382) -VH' anti-DLL3 Vicpac /Homsap (*Vicugna pacos* IGHV3S53\*01 (77.3%) -(IGHD) -IGHJ5\*01 (100%)/*Homo sapiens* IGHV3-7\*01 (77.1%) -(IGHD) -IGHJ4\*01 (100%), (CDR-IMGT [8.7.11] (408-415.433-440.478-488)) (383-499) -hexahistidine tag (500-505)], produit dans des cellules ovariennes de hamster chinois (CHO), lignée cellulaire CHO-DG44, ne présentant pas l'enzyme dihydrofolate réductase (DHFR), non-glycosylé  
*antineoplasique*

immunoglobulina con cadena única scFvhl-VH-VH', anti-[*Homo sapiens* CD3E (CD3 épsilon, Leu-4)], anti-[*Homo sapiens* ALB (albúmina, albumina sérica humana, SAH) ] y anti-[*Homo sapiens* DLL3 (ligando 3 tipo delta, delta like canonical Notch ligand 3)], trispecifico;  
IG con cadena única scFvhl-VH-VH' (1-505) [scFvhl anti-CD3E (1-149) [VH Musmus/Homsap (*Mus musculus* IGHV10-1\*02 (89.9%) -(IGHD) -IGHJ3\*01 (100%)/*Homo sapiens* IGHV3-73\*01 (85.0%) -(IGHD) -IGHJ5\*01 (100%), CDR-IMGT [8.10.16] (26-33.51-60.99-114)) (1-125) -15-mer-tris(tetraglicil-seril) enlace (126-140) -V-LAMBDA (*Homo sapiens* IGLV7-43\*01 (86.2%) -IGLJ3\*02 (100%)), CDR-IMGT [9.3.9] (166-174.192-194.231-239)) (141-249)] -9-mer-tetraglicil-seril-triglicil-seril enlace (250-258) -VH anti-ALB (*Homo sapiens* IGHV3-23\*04 (88.5%) -(IGHD) -IGHJ1\*01 (81.8%) W118>S (363), G119>S (364), CDR-IMGT [8.8.8] (284-291.309-316.355-362)) (259-373) -9-mer-tetraglicil-seril-triglicil-seril enlace (374-382) -VH' anti-DLL3 Vicpac /Homsap (*Vicugna pacos* IGHV3S53\*01 (77.3%) -(IGHD) -IGHJ5\*01 (100%)/*Homo sapiens* IGHV3-7\*01 (77.1%) -(IGHD) -IGHJ4\*01 (100%), (CDR-IMGT [8.7.11] (408-415.433-440.478-488)) (383-499) -hexahistidina tag (500-505)], producido en las células ováricas de hámster chino (CHO), línea celular CHO-DG44, en ausencia de la enzima dihidrofolato reductasa (DHFR), no glicosilado  
*antineoplásico*

Heavy chain / Chaîne lourde / Cadena pesada : scFvhl (anti-CD3E) -VH (anti-ALB) -VH' (anti-DLL3)  
 EVQLVESGGG LVQPGGSLKL SCAASGFTFN KYAINWVRQA PGKGLEWVAR 50  
 IRSKYNNYAT YYADQVKDRF TISRDDSKNT AYLQMNMLKT EDTAVYYCVR 100  
 HANFGNSYIS YWAYWQQGTL VTVSSGGGGS GGGSGGGGGS QTVVTQEPSL 150  
 TVSPGGTVTL TCASSTGAVT SGNYPNVVQQ KPGQAPRGLI GGTRKFLVPGT 200  
 PARFSGSLLG GKAALTLSGV QPEDEAEYYC TLWYSNRWVF GGGTKLTVLG 250  
 GGGSGGGSEV QLVESGGGLV QPGNSLRLSC AASGFTFSKF GMSWVRQAPG 300  
 KGLEWVSSIS GSGRDTLYAD SVKGRFTISR DNAKTTLVYQ MNSLRPEDTA 350  
 VYYCTIGGSL SVSSQQTTLV VSSGGGGSGG GSEVQLVESG GGLVQPGGSL 400  
 TLRCAASSSS VSLLSLAWYR QAPGKKRELV AGISDDGSIV YMDSVKGRFT 450  
 ISRDNAKNSV YLQMNSLRAE DTAVYYCYAY SWITRSPYWG QGTLVTVSSH 500  
 HHHHH 505

**Post-translational modifications**

Disulfide bridges location / Position des ponts disulfure / Posiciones de los puentes disulfuro  
 Intra-chain (C23-C104) 22-98 162-230 280-354 404-477

No N-glycosylation sites / pas de sites de N-glycosylation / ningún posición de N-glicosilación

**ibrilatazarum**  
ibrilatazar

*rac*-(2*R*)-(9*Z*,12*Z*)-2-hydroxyoctadeca-9,12-dienoic acid  
*peroxisome proliferator activated receptor (PPAR) alpha and gamma*  
*agonist, antineoplastic*

## ibrilatazar

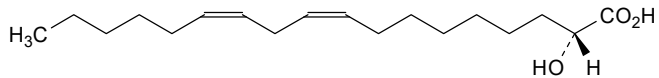
acide *rac*-(2*R*)-(9*Z*,12*Z*)-2-hydroxyoctadéca-9,12-diénoïque  
*agoniste des récepteurs alpha et gamma activés par les proliférateurs*  
*de peroxysomes (PPAR), antinéoplasique*

## ibrilatazar

ácido *rac*-(2*R*)-(9*Z*,12*Z*)-2-hidroioctadeca-9,12-dienoico  
*agonista de los receptores alfa y gamma activados por los factores de*  
*proliferación de peroxisomas (PPAR), antineoplásico*

C<sub>18</sub>H<sub>32</sub>O<sub>3</sub>

57818-44-7

**icotrokinraum**  
icotrokinra

S<sup>3,1</sup>,S<sup>3,6</sup>-cyclo[*N*-acetyl-3-sulfanyl-L-valyl-L-asparaginyL-L-threonyl-7-methyl-L-tryptophyl-*N*<sup>6</sup>-acetyl-L-lysyl-3-sulfanyl-L-valyl-O-(2-aminoethyl)-L-tyrosyl-3-(naphthalen-2-yl)-L-alanyl-4-aminooxan-4-carbonyl-L-α-glutamyl-L-asparaginyL-3-(pyridin-3-yl)-L-alanyl-*N*<sup>2</sup>-methylglycinamide]  
*interleukin-23 receptor antagonist*

## icotrokinra

S<sup>3,1</sup>,S<sup>3,6</sup>-cyclo[*N*-acétyl-3-sulfanyl-L-valyl-L-asparaginyL-L-thréonyl-7-méthyl-L-tryptophyl-*N*<sup>6</sup>-acétyl-L-lysyl-3-sulfanyl-L-valyl-O-(2-aminoéthyl)-L-tyrosyl-3-(naphthalén-2-yl)-L-alanyl-4-aminooxan-4-carbonyl-L-α-glutamyl-L-asparaginyL-3-(pyridin-3-yl)-L-alanyl-*N*<sup>2</sup>-méthylglycinamide]  
*antagoniste du récepteur de l'interleukine-23*

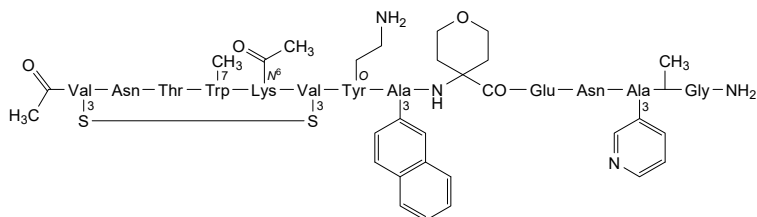
## icotrokinra

S<sup>3,1</sup>,S<sup>3,6</sup>-cyclo[*N*-acetil-3-sulfanil-L-valil-L-asparaginil-L-treonil-7-metil-L-triptofil-*N*<sup>6</sup>-acetil-L-lisil-3-sulfanil-L-valil-O-(2-aminoetil)-L-tirosil-3-(naftalen-2-il)-L-alanil-4-aminooxan-4-carbonil-L-α-glutamil-L-asparaginil-3-(piridin-3-il)-L-alanil-*N*<sup>2</sup>-metilglicinamida]  
*antagonista de receptor de la interleukina-23*



$C_{90}H_{120}N_{20}O_{22}S_2$ 

2763602-16-8

**icovamenibum**

icovamenib

*N*-{4-[4-(morpholin-4-yl)-7*H*-pyrrolo[2,3-*d*]pyrimidin-6-yl]phenyl}-4-[[{(3*R*)-3-(prop-2-enamido)piperidin-1-yl]methyl}pyridine-2-carboxamide  
*menin*-*MLL* (*mixed-lineage leukemia*) *protein interaction inhibitor*,  
*antineoplastic*

icovaménib

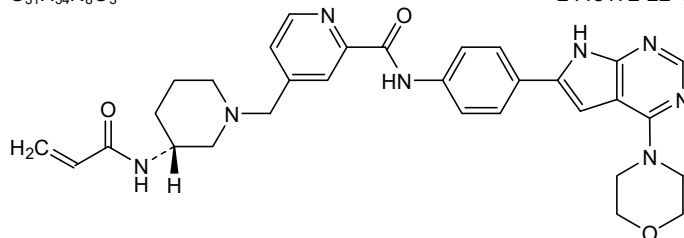
*N*-{4-[4-(morpholin-4-yl)-7*H*-pyrrolo[2,3-*d*]pyrimidin-6-yl]phényl}-4-[[{(3*R*)-3-(prop-2-énamido)pipéridin-1-yl]méthyl}pyridine-2-carboxamide  
*inhibiteur de l'interaction protéique ménine*-*LLM* (*leucémie à lignée mixte*),  
*antineoplasique*

icovamenib

*N*-{4-[4-(morfolin-4-il)-7*H*-pirrolo[2,3-*d*]pirimidin-6-il]fenil}-4-[[{(3*R*)-3-(prop-2-enamido)piperidin-1-il]metil}piridina-2-carboxamida  
*inhibidor de la interacción proteica menina*-*LLM* (*leucemia de linaje mixto*),  
*antineoplásico*

 $C_{31}H_{34}N_8O_3$ 

2448172-22-1

**ilantimodum**

ilantimod

6-(4-chlorophenyl)-*N*-[(2*S*)-1-hydroxypropan-2-yl]-2-(1-methyl-1*H*-pyrazol-4-yl)-3-oxo-2,3-dihydropyridazine-4-carboxamide  
*immunomodulator*

ilantimod

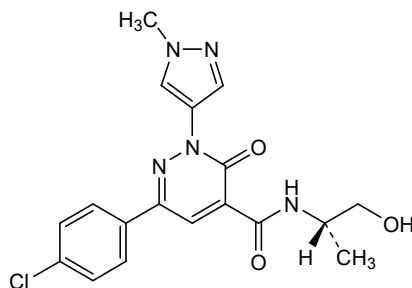
6-(4-chlorophényl)-*N*-[(2*S*)-1-hydroxypropan-2-yl]-2-(1-méthyl-1*H*-pyrazol-4-yl)-3-oxo-2,3-dihydropyridazine-4-carboxamide  
*immunomodulateur*

ilantimod

6-(4-clorofenil)-*N*-[(2*S*)-1-hidroxipropan-2-il]-2-(1-metil-1*H*-pirazol-4-il)-3-oxo-2,3-dihidropiridazina-4-carboxamida  
*inmunomodulador*

C<sub>18</sub>H<sub>18</sub>ClN<sub>5</sub>O<sub>3</sub>

2242464-44-2



**imdusiranum**  
imdusiran

*all-P-ambo-2'-O-methyl-P-thioguanlyl-(3'→5')-2'-O-methyl-P-thiouridylyl-(3'→5')-2'-O-methylguanylyl-(3'→5')-2'-O-methylcytidylyl-(3'→5')-2'-deoxy-2'-fluoroadenylyl-(3'→5')-2'-deoxy-2'-fluorocytidylyl-(3'→5')-2'-deoxy-2'-fluorouridylyl-(3'→5')-2'-O-methyluridylyl-(3'→5')-2'-O-methylcytidylyl-(3'→5')-2'-O-methylguanylyl-(3'→5')-2'-O-methylcytidylyl-(3'→5')-2'-O-methyluridylyl-(3'→5')-2'-O-methyluridylyl-(3'→5')-2'-O-methyluridylyl-(3'→5')-2'-O-methylcytidylyl-(3'→5')-2'-O-methyladenylyl-(3'→5')-2'-O-methylcytidylyl-(3'→5')-3'-O-[[[(3RS,4SR)-1-(10-[[[(2S)-1,5-bis[[2-(3,5-bis[[2-(2-{2-[[2-(2-acetamido-2-deoxy-β-D-galactopyranosyl)oxy]ethoxy)ethoxy]ethyl]carbamoyl]anilino)-2-oxoethyl]amino]-1,5-dioxopentan-2-yl]amino]-10-oxodecanoyl)-4-(hydroxymethyl)-3,4-dimethylpyrrolidin-3-yl]methoxy}(hydroxy)phosphoryl]-2'-O-methyladenosine duplex with *all-P-ambo-uridylyl-(5'→3')-2'-O-methyl-P-thioguanlyl-(5'→3')-2'-O-methyl-P-thioguanlyl-(5'→3')-2'-O-methylcytidylyl-(5'→3')-(5'→3')-2'-O-methyladenylyl-2'-O-methylcytidylyl-(5'→3')-2'-deoxy-2'-fluoroadenylyl-(5'→3')-2'-O-methylcytidylyl-(5'→3')-2'-deoxy-2'-fluoroguanlylyl-(5'→3')-2'-O-methyluridylyl-(5'→3')-2'-O-methylguanylyl-(5'→3')-2'-O-methyladenylyl-(5'→3')-2'-O-methyladenylyl-(5'→3')-2'-O-methylguanylyl-(5'→3')-2'-O-methylcytidylyl-(5'→3')-2'-O-methylguanylyl-(5'→3')-2'-O-methyladenylyl-(5'→3')-2'-O-methylguanylyl-(5'→3')-2'-O-methyladenylyl-(5'→3')-2'-O-methylguanylyl-(5'→3')-2'-O-methyl-P-thiouridylyl-(5'→3')-2'-deoxy-2'-fluoro-P-thioguanlyl-(5'→3')-2'-O-methyluridine*  
*antiviral**

imdusiran

*tout-P-ambo-2'-O-méthyl-P-thioguanlyl-(3'→5')-2'-O-méthyl-P-thiouridylyl-(3'→5')-2'-O-méthylguanylyl-(3'→5')-2'-O-méthylcytidylyl-(3'→5')-2'-désoxy-2'-fluoroadénylyl-(3'→5')-2'-désoxy-2'-fluorocytidylyl-(3'→5')-2'-désoxy-2'-fluorouridylyl-(3'→5')-2'-O-méthyluridylyl-(3'→5')-2'-O-méthylcytidylyl-(3'→5')-2'-O-méthylguanylyl-(3'→5')-2'-O-méthylcytidylyl-(3'→5')-2'-O-méthyluridylyl-(3'→5')-2'-O-méthyluridylyl-(3'→5')-2'-O-méthyluridylyl-(3'→5')-2'-O-méthylcytidylyl-(3'→5')-2'-O-méthyladenylyl-(3'→5')-2'-O-méthylcytidylyl-(3'→5')-3'-O-[[[(3RS,4SR)-1-(10-[[[(2S)-1,5-bis[[2-(3,5-bis[[2-(2-{2-[[2-(2-acétamido-2-désoxy-β-D-galactopyranosyl)oxy]éthoxy)éthoxy]éthyl]carbamoyl]anilino)-2-oxoéthyl]amino]-1,5-dioxopentan-2-yl]amino]-10-oxodécanyol)-4-(hydroxyméthyl)-3,4-diméthylpyrrolidin-3-yl]méthoxy}(hydroxy)phosphoryl]-2'-O-méthyladénosine*

dúplex avec *tout-P-ambo*-uridylyl-(5'→3')-2'-*O*-méthyl-*P*-thioguanilyl-(5'→3')-2'-*O*-méthyl-*P*-thioguanilyl-(5'→3')-2'-*O*-méthylcytidilyl-(5'→3')-(5'→3')-2'-*O*-méthyladénylyl-2'-*O*-méthylcytidilyl-(5'→3')-2'-désoxy-2'-fluoroadénylyl-(5'→3')-2'-*O*-méthylcytidilyl-(5'→3')-2'-désoxy-2'-fluoroguanilyl-(5'→3')-2'-*O*-méthyluridylyl-(5'→3')-2'-*O*-méthylguanilyl-(5'→3')-2'-*O*-méthyladénylyl-(5'→3')-2'-*O*-méthyladénylyl-(5'→3')-2'-*O*-méthylguanilyl-(5'→3')-2'-*O*-méthylcytidilyl-(5'→3')-2'-*O*-méthylguanilyl-(5'→3')-2'-*O*-méthyladénylyl-(5'→3')-2'-*O*-méthylguanilyl-(5'→3')-2'-*O*-méthyl-*P*-thiouridylyl-(5'→3')-2'-désoxy-2'-fluoro-*P*-thioguanilyl-(5'→3')-2'-*O*-méthyluridine  
*antiviral*

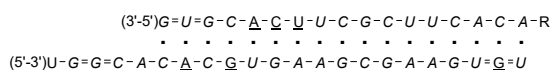
imdisurán

*todo-P-ambo*-2'-*O*-metil-*P*-tioguanilil-(3'→5')-2'-*O*-metil-*P*-tiouridilil-(3'→5')-2'-*O*-metilguanilil-(3'→5')-2'-*O*-metilciticidilil-(3'→5')-2'-desoxi-2'-fluoroadenilil-(3'→5')-2'-desoxi-2'-fluorocitidilil-(3'→5')-2'-desoxi-2'-fluorouridilil-(3'→5')-2'-*O*-metiluridilil-(3'→5')-2'-*O*-metilciticidilil-(3'→5')-2'-*O*-metilguanilil-(3'→5')-2'-*O*-metilciticidilil-(3'→5')-2'-*O*-metiluridilil-(3'→5')-2'-*O*-metiluridilil-(3'→5')-2'-*O*-metilciticidilil-(3'→5')-2'-*O*-metiladenilil-(3'→5')-2'-*O*-metilciticidilil-(3'→5')-3'-*O*-[[{(3*RS*,4*SR*)-1-(10-[[{(2*S*)-1,5-bis[[2-(3,5-bis[[2-(2-acetamido-2-desoxi-β-D-galactopiranosil)ox]etoxi]etoxi]etil]carbamoil)anilino)-2-oxoetil]amino)-1,5-dioxopentan-2-il]amino)-10-oxodecanoil)-4-(hidroximetil)-3,4-dimetilpirrolidin-3-il]metoxi](hidroxi)fosforil]-2'-*O*-metiladenosina

dúplex con *todo-P-ambo*-uridilil-(5'→3')-2'-*O*-metil-*P*-tioguanilil-(5'→3')-2'-*O*-metil-*P*-tioguanilil-(5'→3')-2'-*O*-metilciticidilil-(5'→3')-(5'→3')-2'-*O*-metiladenilil-2'-*O*-metilciticidilil-(5'→3')-2'-desoxi-2'-fluoroadenilil-(5'→3')-2'-*O*-metilciticidilil-(5'→3')-2'-desoxi-2'-fluoroguanilil-(5'→3')-2'-*O*-metiluridilil-(5'→3')-2'-*O*-metilguanilil-(5'→3')-2'-*O*-metiladenilil-(5'→3')-2'-*O*-metiladenilil-(5'→3')-2'-*O*-metilguanilil-(5'→3')-2'-*O*-metilciticidilil-(5'→3')-2'-*O*-metilguanilil-(5'→3')-2'-*O*-metiladenilil-(5'→3')-2'-*O*-metiladenilil-(5'→3')-2'-*O*-metilguanilil-(5'→3')-2'-*O*-metil-*P*-tiouridilil-(5'→3')-2'-desoxi-2'-fluoro-*P*-tioguanilil-(5'→3')-2'-*O*-metiluridina  
*antiviral*

C<sub>502</sub>H<sub>678</sub>F<sub>6</sub>N<sub>162</sub>O<sub>303</sub>P<sub>38</sub>S<sub>6</sub>

2839476-19-4

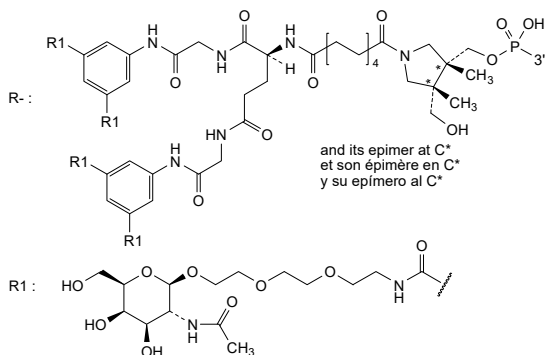


N : A,C,G,U

N : 2'-*O*-methyl-N / 2'-*O*-méthyl-N / 2'-*O*-metil-N

N : 2'-deoxy-2'-fluoro-N / 2'-désoxy-2'-fluoro-N / 2'-desoxi-2'-fluoro-N

- : -PO(OH)- = : -PO(SH)-



**imelcimentum #**

imelciment

immunoglobulin (H-gamma4\_L-kappa)\_G4hCH2CH3, anti-[*vixticibart*, monoclonal antibody allosteric agonist of *Homo sapiens* NPR1 (atrial natriuretic peptide receptor 1)], *Homo sapiens* monoclonal antibody; H-gamma4 heavy chain anti-*vixticibart* *Homo sapiens* (1-448) [VH (*Homo sapiens* IGHV3-30-5\*03 (94.9%) -(IGHD) -IGHJ4\*01 (92.9%) T122>I (115), CDR-IMGT [8.8.14] (26-33.51-58.97-110)) (1-121)-*Homo sapiens* IGHG4\*01, *nG4m(a)* CH2 L92, G4v5 h P10, G4v8 CH3 R115, F116, P125 (CH1 (122-219), hinge 1-12 S10>P (229) (220-231), CH2 L92 (310) (232-341), CH3 H115>R (436), Y116>F (437), L125>P (446) (342-446), CHS (447-448)) (122-448)], (135-213')-disulfide with L-kappa light chain anti-*vixticibart* *Homo sapiens* (1'-213') [V-KAPPA (*Homo sapiens* IGKV1-5\*03 (98.9%) -IGKJ1\*01 (91.7%) Q120>P (99'), CDR-IMGT [6.3.8] (27'-32'.50'-52'.89'-96')) (1'-106') -*Homo sapiens* IGKC\*01 (100%), Km3 A45.1 (152'), V101 (190') (107'-213')]; G4hCH2CH3 chain *Homo sapiens* (1"-229") [*Homo sapiens* IGHG4\*01 (100%), *nG4m(a)* CH2 L92, G4v5 h P10 (hinge 1-12 S10>P (10") (1"-12"), CH2 L92 (310") (13"-122"), CH3 (123"-227"), CHS (228"-229"))]; dimer (227-8":230-11")-bisdisulfide, produced in Chinese hamster ovary (CHO) cells, cell line CHO-K1, glycoform alfa  
*vixticibart reversal agent, cardiovascular*

imelciment

immunoglobuline (H-gamma4\_L-kappa)\_G4hCH2CH3, anti-[*vixticibart*, anticorps monoclonal allostérique agoniste de *Homo sapiens* NPR1 (récepteur 1 du peptide natriurétique atrial)], anticorps monoclonal *Homo sapiens*;  
chaîne lourde H-gamma4 anti-*vixticibart* *Homo sapiens* (1-448) [VH (*Homo sapiens* IGHV3-30-5\*03 (94.9%) -(IGHD) -IGHJ4\*01 (92.9%) T122>I (115), CDR-IMGT [8.8.14] (26-33.51-58.97-110)) (1-121)-*Homo sapiens* IGHG4\*01, *nG4m(a)* CH2 L92, G4v5 h P10, G4v8 CH3 R115, F116, P125 (CH1 (122-219), charnière 1-12 S10>P (229) (220-231), CH2 L92 (310) (232-341), CH3 H115>R (436), Y116>F (437), L125>P (446) (342-446), CHS (447-448)) (122-448)], (135-213')-disulfure avec la chaîne légère L-kappa anti-*vixticibart* *Homo sapiens* (1'-213') [V-KAPPA (*Homo sapiens* IGKV1-5\*03 (98.9%) -IGKJ1\*01 (91.7%) Q120>P (99'), CDR-IMGT [6.3.8] (27'-32'.50'-52'.89'-96')) (1'-106') -*Homo sapiens* IGKC\*01 (100%), Km3 A45.1 (152'), V101 (190') (107'-213')]; chaîne G4hCH2CH3 *Homo sapiens* (1"-229") [*Homo sapiens* IGHG4\*01 (100%), *nG4m(a)* CH2 L92, G4v5 h P10 (charnière 1-12 S10>P (10") (1"-12"), CH2 L92 (310") (13"-122"), CH3 (123"-227"), CHS (228"-229"))]; dimère (227-8":230-11")-bisdisulfure, produit dans des cellules ovariennes de hamster chinois (CHO), lignée cellulaire CHO-K1, glycoforme alfa  
*agent d'inversion du vixticibart, cardiovasculaire*

imelciment

immunoglobulina (H-gamma4\_L-kappa)\_G4hCH2CH3, anti-[*vixticibart*, anticorpo monoclonal alostérico agonista de *Homo sapiens* NPR1 (recepto 1 del péptido natriurético atrial)], anticuerpo monoclonal *Homo sapiens*;  
cadena pesada H-gamma4 anti-*vixticibart* *Homo sapiens* (1-448) [VH (*Homo sapiens* IGHV3-30-5\*03 (94.9%) -(IGHD) -IGHJ4\*01 (92.9%) T122>I (115), CDR-IMGT [8.8.14] (26-33.51-58.97-110)) (1-121)-*Homo sapiens* IGHG4\*01, *nG4m(a)* CH2 L92, G4v5 h P10, G4v8 CH3 R115, F116, P125 (CH1 (122-219), bisagra 1-12 S10>P (229) (220-231), CH2 L92 (310) (232-341), CH3 H115>R (436), Y116>F (437), L125>P (446) (342-446), CHS (447-448)) (122-448)], (135-213')-disulfuro con la cadena ligera L-kappa anti-*vixticibart* *Homo sapiens* (1'-213') [V-KAPPA (*Homo sapiens* IGKV1-5\*03 (98.9%) -IGKJ1\*01 (91.7%) Q120>P (99'), CDR-IMGT [6.3.8] (27'-32'.50'-52'.89'-96')) (1'-106') -*Homo sapiens* IGKC\*01 (100%), Km3 A45.1 (152'), V101 (190') (107'-213')]; cadena G4hCH2CH3 *Homo sapiens* (1"-229") [*Homo sapiens* IGHG4\*01 (100%), *nG4m(a)* CH2 L92, G4v5 h P10 (bisagra 1-12 S10>P (10") (1"-12"), CH2 L92 (310") (13"-122"), CH3 (123"-227"), CHS (228"-229"))]; dímero (227-8":230-11")-bisdisulfuro, producido en las células ováricas de hámster chino (CHO), línea celular CHO-K1, forma glicosilada alfa  
*agente de reversión de vixticibart, cardiovascular*

2845128-03-0

**Heavy chain / Chaîne lourde / Cadena pesada : H-gamma4 (H) anti-vixticibart**  
 QVQLVESGGG VVQPGRSLRL SCAASGFTFS SYGMHWVRQA PGKGLEWVAL 50  
 IWFDGGYKYY ADSVKGRFTI SRDNSKNTLY LQMNSLRADD TAVYYCARGS 100  
 AAAGHVFPDY WGQGILVTVS SASTKGPSVF PLAPCSRSTS ESTAALGLCLV 150  
 KDYFPEPVTV SWNSGALTSV VHTFPAVLQS SGLYSLSSVV TVPSSSLGKTK 200  
 TYTCNVDHKP SNTKVDKRVK SKYGPPCPKC PAPEFLGGPS VFLFPPKPKD 250  
 TLMISRTPEV TCVVVDVQSE DPEVQFNWYV DGVEVHNAKT KPREEQFNST 300  
 YRVVSVLTVL HQDWLNGKEY KCKVSNKGLP SSIEKTIISKA KGQPREPQVY 350  
 TLPSSQEEMT KNQVSLTCLV KGFYPSDIAV EWESNGQPEN NYKTTTPPVL 400  
 SDGSFFLYSR LTVDKSRWQE GNVFSCSVMH EALHNRFTQK SLSLSPGK 448

**Light chain / Chaîne légère / Cadena ligera : L-kappa (L') anti-vixticibart**  
 DIQMTQSPST LSASVGRDVT ITCRASQSLV SWLAWYQQKP GKAPKLLIYK 50  
 ASSLESGVPS RFGSGSSETE PTLTISLQPF DDFATYYCQQ YNSYWTFPGG 100  
 TKVEIKRIVA AFSVFIFPPS DEQLKSGTAS VVCLLNFFYP REAKVQWKVD 150  
 NALQSGNSQE SVTEQDSKDS TYSLSSTLTL SKADYEKHKV YACEVTHQGL 200  
 SSPVTKSFNR GEC 213

**Heavy chain / Chaîne lourde / Cadena pesada : G4hCH2CH3 (H<sup>h</sup>)**  
 ESKYGPCCPP CPAPEFLGGP SVFLFPPKPK DTLMISRTPE VTCVVVDVDSQ 50  
 EDPEVQFNWY VDGVEVHNAK TKPREEQFNS TYRVVSVLTV LHQDWLNGKE 100  
 YKCKVSNKGL PSSIEKTIISK AKGQPREPQV YTLPPSQEEM TRNQVSLTCL 150  
 VKGFYPSDIA VEWESNGQPE NNYKTTTPPVL DSDGSFFLYS RLTVDKSRWQ 200  
 EGNVFSCSVM HEALHNYHTQ KSLSLSLGK 229

**Post-translational modifications**  
 Disulfide bridges location / Position des ponts disulfure / Posiciones de los puentes disulfuro  
 Intra-H (C23-C104) 22-96 148-204 262-322 368-426  
 no VH no CH1 43"-103" 149"-207"  
 Intra-L (C23-C104) 23'-88" 133'-193'  
 Inter-H-L (CH1 10-CL 126) 135-213'  
 Inter-H-H (h 8, h 11) 227-8" 230-11"

N-terminal glutaminyl cyclization / Cyclisation du glutaminyle N-terminal / Ciclación del glutaminilo N-terminal  
 Q > pyroglutamyl (pE, 5-oxopropyl) / pyroglutamyle (pE, 5-oxopropyle) / piroglutamilo (pE, 5-oxoprolilo)  
 H VH Q1: 1

N-glycosylation sites / Sites de N-glycosylation / Posiciones de N-glicosilación  
 H CH2 N84 4: 298, 79"  
 Fucosylated complex bi-antennary CHO-type glycans / glycanes de type CHO bi-antennaires complexes fucosylés / glicanos de tipo CHO biantenaricos complejos fucosilados

C-terminal lysine clipping / Coupure de la lysine C-terminale / Recorte de lisina C-terminal  
 H CHS K2: 448, 229"

**imocitrelvirum**

imocitrelvir

ethyl (2E,4S)-4-((2S)-2-[3-(5-methyl-1,2-oxazole-3-carboxamido)-2-oxopyridin-1(2H)-yl]pent-4-ynamido)-5-[(3S)-2-oxopyrrolidin-3-yl]pent-2-enoate  
*protease inhibitor, antiviral*

imocitrelvir

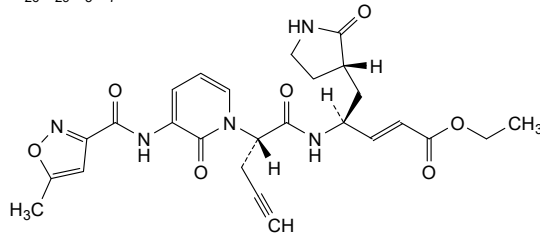
(2E,4S)-4-((2S)-2-[3-(5-méthyl-1,2-oxazole-3-carboxamido)-2-oxopyridin-1(2H)-yl]pent-4-ynamido)-5-[(3S)-2-oxopyrrolidin-3-yl]pent-2-énoate d'éthyle  
*inhibiteur de protéase, antiviral*

imocitrelvir

(2E,4S)-4-((2S)-2-[3-(5-metil-1,2-oxazol-3-carboxamido)-2-oxopiridin-1(2H)-il]pent-4-inamido)-5-[(3S)-2-oxopirrolidin-3-il]pent-2-enoato de etilo  
*inhibidor de la proteasa, antiviral*

C<sub>26</sub>H<sub>29</sub>N<sub>5</sub>O<sub>7</sub>

343565-99-1



**indenebartum #**  
indenebart

immunoglobulin G1-lambda2, anti-[*Homo sapiens* SNCA (synuclein alpha, PARK1, PARK4, Parkinson disease (autosomal dominant, Lewy body) 4, synuclein alpha (non A4 component of amyloid precursor))], *Homo sapiens* monoclonal antibody; H-gamma1 heavy chain *Homo sapiens* (1-452) [VH (*Homo sapiens* IGHV3-23\*01 (96.9%) -(IGHD) -IGHJ6\*01 (94.4%)) [8.8.15] (26-33.51-58.97-111) (1-122) -*Homo sapiens* IGHG1\*03, G1m3, nG1m1 CH1 R120, CH3 E12, M14, G1v39 CH2 F1.3, E1.2, S116 (CH1 R120 (219) (123-220), hinge 1-15 (221-235), CH2 L1.3>F (239), L1.2>E (240), P116>S (336) (236-345), CH3 E12 (361), M14 (363) (346-450), CHS (451-452)) (123-452)], (225-220')-disulfide with L-lambda2 light chain *Homo sapiens* (1'-221') [V-LAMBDA (*Homo sapiens* IGLV5-45\*01 (91.9%) - IGLJ2\*01 (100%), CDR-IMGT [9.7.9] (26'-34'.52'-58'.97'-105')) (1'-115') -*Homo sapiens* IGLC2\*01 (100%) (116'-221')]; dimer (231-231":234-234")-bisdisulfide, produced in a cell line from Chinese hamster ovary (CHO) cells, derived from the cell line CHO-K1, glycoform alfa  
*treatment of alpha-synucleinopathies*

## indénebart

immunoglobuline G1-lambda2, anti-[*Homo sapiens* SNCA (synucléine alpha, alpha-synucléine, PARK1, PARK4, maladie de Parkinson (autosomique dominante, corps de Lewy) 4, synucléine alpha (composant non A4 du précurseur amyloïde))], anticorps monoclonal *Homo sapiens*; chaîne lourde H-gamma1 *Homo sapiens* (1-452) [VH (*Homo sapiens* IGHV3-23\*01 (96.9%) -(IGHD) -IGHJ6\*01 (94.4%)) [8.8.15] (26-33.51-58.97-111) (1-122) -*Homo sapiens* IGHG1\*03, G1m3, nG1m1 CH1 R120, CH3 E12, M14, G1v39 CH2 F1.3, E1.2, S116 (CH1 R120 (219) (123-220), charnière 1-15 (221-235), CH2 L1.3>F (239), L1.2>E (240), P116>S (336) (236-345), CH3 E12 (361), M14 (363) (346-450), CHS (451-452)) (123-452)], (225-220')-disulfure avec la chaîne légère L-lambda2 *Homo sapiens* (1'-221') [V-LAMBDA (*Homo sapiens* IGLV5-45\*01 (91.9%) - IGLJ2\*01 (100%), CDR-IMGT [9.7.9] (26'-34'.52'-58'.97'-105')) (1'-115') -*Homo sapiens* IGLC2\*01 (100%) (116'-221')]; dimère (231-231":234-234")-bisdisulfure, produite dans une lignée cellulaire des cellules ovariennes de hamster chinois (CHO), dérivant de la lignée cellulaire CHO-K1, glycoforme alfa  
*traitement des alpha-synucléinopathies*

## indenebart

inmunoglobulina G1-lambda2, anti-[*Homo sapiens* SNCA (sinucleína alfa, alfa-sinucleína, PARK1, PARK4, enfermedad de Parkinson (autosómico dominante, cuerpos de Lewy) 4, sinucleína alfa (compuesto no A4 del precursor amieloide))], anticuerpo monoclonal *Homo sapiens*; cadena pesada H-gamma1 *Homo sapiens* (1-452) [VH (*Homo sapiens* IGHV3-23\*01 (96.9%) -(IGHD) -IGHJ6\*01 (94.4%)) [8.8.15] (26-33.51-58.97-111) (1-122) -*Homo sapiens* IGHG1\*03, G1m3, nG1m1 CH1 R120, CH3 E12, M14, G1v39 CH2 F1.3, E1.2, S116 (CH1 R120 (219) (123-220), bisagra 1-15 (221-235), CH2 L1.3>F (239), L1.2>E (240), P116>S (336) (236-345), CH3 E12 (361), M14 (363) (346-450), CHS (451-452)) (123-452)], (225-220')-disulfuro con la cadena ligera L-lambda2 *Homo sapiens* (1'-221') [V-LAMBDA (*Homo sapiens* IGLV5-45\*01 (91.9%) - IGLJ2\*01 (100%), CDR-IMGT [9.7.9] (26'-34'.52'-58'.97'-105')) (1'-115') -*Homo sapiens* IGLC2\*01 (100%) (116'-221')]; dímero (231-231":234-234")-bisdisulfuro, producido en una línea celular de las células ováricas de hámster chino (CHO), derivada de la línea celular de CHO-K1, forma glicosilada alfa  
*tratamiento de las alfa-sinucleinopatías*

2864437-88-5

Heavy chain / Chaîne lourde / Cadena pesada : H-gamma1 (H, H<sup>1</sup>) anti-SNCA  
 EVQLLESGGG LVQPGGSLRL SCAASGFTFS SYAMSWVRQA PGKGLEWVSS 50  
 ISHLGGSTYY ADSVKGFRFT SRDNSKNTLY LQMNSLRAED TAVYYCAGGA 100  
 NHGKYFYGMD KWGQGTTVTV SSASTKGPSV FFLAPSSKST SGTAAALGCL 150  
 VKDYFPEPVT VSWNSGALTS GVHTFPAVLQ SSGLYLSSV VTPVSSSLGT 200  
 QTYICNVNHNK PSNTKVDKRV EPKSCDKTHT CFPCEPEFE GGPSVFLFFP 250  
 KPKDTLMISR TPEVTCVVDV VSHEDPEVKE NWYVDGVEVH NAKTKPREEQ 300  
 YNSTYRVVSV LTVLHQDWLN GKEYKCKVSN KALPASIEKT ISKAKGQPRE 350  
 PQVYTLPPSR EEMTKNQVSL TCLVKGFYPS DIAVEWESNG QPENNYKRTT 400  
 PVLDSGGSFF LYSKLTVDKS RWQQGNVFSV SVMHEALHNH YTKKSLSLSP 450  
 GK 452

Light chain / Chaîne légère / Cadena ligera : L-lambda2 (L, L<sup>2</sup>) anti-SNCA  
 QAVLTQPASL SASPGASASL TCTLRSGAPL PKYRIYWYQQ KPGSPPYLL 50  
 RYKSDADKHQ GSGVPSRFSG SKDASANAGI LLIISGLQSED EADYYCMVWD 100  
 HGVWYFGGGT KLTVLGQPKA APSVTLFPPS SEELQANKAT LVCLISDFYV 150  
 GAVTVAWKAD SSPVKAGVET TTPSKQSNK YAASSYLSLT PEQWKSHRYS 200  
 SCQVTHEGST VEKTVAPTEC S 221

**Post-translational modifications**

Disulfide bridges location / Position des ponts disulfure / Posiciones de los puentes disulfuro

Intra-H (C23-C104) 22-96 149-205 266-326 372-430  
 22<sup>o</sup>-96<sup>o</sup> 149<sup>o</sup>-205<sup>o</sup> 266<sup>o</sup>-326<sup>o</sup> 372<sup>o</sup>-430<sup>o</sup>  
 Intra-L (C23-C104) 22-96<sup>o</sup> 143<sup>o</sup>-202<sup>o</sup>  
 22<sup>o</sup>-96<sup>o</sup> 143<sup>o</sup>-202<sup>o</sup>

Inter-H-L (h 5-CL 126) 225-220<sup>o</sup> 225<sup>o</sup>-220<sup>o</sup>Inter-H-H (h 11, h 14) 231-231<sup>o</sup> 234-234<sup>o</sup>

N-terminal glutaminylation / Cyclisation du glutaminyle N-terminal / Ciclación del glutaminilo N-terminal

Q &gt; pyroglutamyl (pE, 5-oxopropyl) / pyroglutamyle (pE, 5-oxopropyle) / piroglutamilo (pE, 5-oxopropilo)

L VL V-LAMBDA Q1: 1<sup>o</sup>, 1<sup>o</sup>

N-glycosylation sites / Sites de N-glycosylation / Posiciones de N-glicosilación

H CH2 N84.4: 302, 302<sup>o</sup>

fucosylated complex bi-antennary CHO-type glycans / glycanes de type CHO bi-antennaires complexes fucosylés / glicanos de tipo CHO biantenaricos complejos fucosilados

C-terminal lysine clipping / Coupure de la lysine C-terminale / Recorte de lisina C-terminal

H CHS K2: 452, 452<sup>o</sup>**inlexisertibum**

inlexisertib

2<sup>3</sup>-ethyl-1<sup>4</sup>-methyl-4<sup>5</sup>-(trifluoromethyl)-3,5-diaza-9(4)-  
 [1,4]oxazepana-4(2,4)-pyrimidina-1(1)-piperazina-2(1,4)-  
 benzenanonaphan-9<sup>5</sup>-one  
*serine/ threonine kinase inhibitor, antineoplastic*

inlexisertib

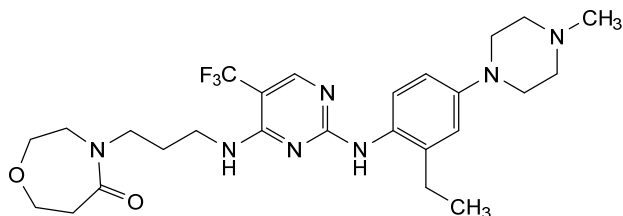
2<sup>3</sup>-éthyl-1<sup>4</sup>-méthyl-4<sup>5</sup>-(trifluorométhyl)-3,5-diaza-9(4)-  
 [1,4]oxazépana-4(2,4)-pyrimidina-1(1)-pipérazina-2(1,4)-  
 benzénanonaphan-9<sup>5</sup>-one  
*inhibiteur de sérine/ thréonine kinase, antinéoplasique*

inlexisertib

2<sup>3</sup>-etil-1<sup>4</sup>-metil-4<sup>5</sup>-(trifluorometil)-3,5-diaza-9(4)-[1,4]oxazepana-  
 4(2,4)-pirimidina-1(1)-piperazina-2(1,4)-bencenanonafan-9<sup>5</sup>-ona  
*inhibidor de serina/ treonina kinasa, antineoplásico*

C<sub>26</sub>H<sub>36</sub>F<sub>3</sub>N<sub>7</sub>O<sub>2</sub>

2543673-19-2



**invikafuspum alfa #**  
invikafusp alfa

humanized immunoglobulin G1-kappa anti-(human T cell receptor germline-encoded variable chain Vβ6/β10) monomer disulfide bridged to human interleukin 2 (IL-2, T-cell growth factor) fragment fused via (G<sub>4</sub>S)<sub>2</sub> peptide linker to immunoglobulin G1 Fc fragment, glycoform alfa; gamma 1 heavy chain (1-447) [VH (*Homo sapiens* IGHV1-3\*01 -(IGHD) -IGHJ4\*01, CDR-Kabat [5.17.10] (31-35.50-66.99-108)) (1-119) -*Homo sapiens* IGHG1\*03 (CH1 (120-217), hinge (218-232), CH2 N<sup>299</sup>>A (233-342), CH3 Y<sup>351</sup>>C, T<sup>368</sup>>S, L<sup>370</sup>>A, Y<sup>409</sup>>V (343-447), CHS G<sup>448</sup>>del, K<sup>449</sup>>del) (120-447)], (222-214')-disulfide with kappa light chain (1'-214') [V-KAPPA (*Homo sapiens* IGKV1-9\*01 -IGKJ2\*01, CDR-Kabat [11.7.9] (24'-34'.50'-56'.89'-97')) (1'-107') -*Homo sapiens* IGKC\*01 (108'-214')]; (228-149":231:152":351:277")-trisdifuro con el fragmento 21-153 (1-133 en la secuencia actual) fusionado a través del enlace peptídico (G<sub>4</sub>S)<sub>2</sub> al fragmento Fc de la inmunoglobulina G1 (144-368) [*Homo sapiens* IGHG1\*03, bisagra terminal EPKSC eliminada (144-153), CH2 N<sup>220</sup>>A (154-263), CH3 S<sup>277</sup>>C, T<sup>289</sup>>W (264-368), CHS G<sup>369</sup>>del, K<sup>370</sup>>del]; producido en las células ováricas de hamster chino (CHO), línea celular CHO-K1, glicoforma alfa *antineoplásica*

invikafusp alfa

immunoglobuline G1-kappa humanisée anti-(chaîne variable Vβ6/β10 codée par la lignée germinale du récepteur de lymphocytes T humain) monomère à pont disulfure avec un fragment d'interleukine 2 humaine (IL-2, facteur de croissance des lymphocytes T) fusionné, via un peptide liant (G<sub>4</sub>S)<sub>2</sub>, avec un fragment Fc de l'immunoglobuline G1, glycoforme alfa; chaîne lourde gamma 1 (1-447) [VH (*Homo sapiens* IGHV1-3\*01 -(IGHD) -IGHJ4\*01, CDR-Kabat [5.17.10] (31-35.50-66.99-108)) (1-119) -*Homo sapiens* IGHG1\*03 (CH1 (120-217), charnière (218-232), CH2 N<sup>299</sup>>A (233-342), CH3 Y<sup>351</sup>>C, T<sup>368</sup>>S, L<sup>370</sup>>A, Y<sup>409</sup>>V (343-447), CHS G<sup>448</sup>>del, K<sup>449</sup>>del) (120-447)], (222-214')-disulfure avec la chaîne légère kappa (1'-214') [V-KAPPA (*Homo sapiens* IGKV1-9\*01 -IGKJ2\*01, CDR-Kabat [11.7.9] (24'-34'.50'-56'.89'-97')) (1'-107') -*Homo sapiens* IGKC\*01 (108'-214')]; (228-149":231:152":351:277")-trisdifuro con el fragmento 21-153 (1-133 en la secuencia actual) fusionado a través del enlace peptídico (G<sub>4</sub>S)<sub>2</sub> al fragmento Fc de la inmunoglobulina G1 humana (144-368) [*Homo sapiens* IGHG1\*03, charnière N-terminale EPKSC suprimida (144-153), CH2 N<sup>220</sup>>A (154-263), CH3 S<sup>277</sup>>C, T<sup>289</sup>>W (264-368), CHS G<sup>369</sup>>del, K<sup>370</sup>>del]; produit dans des cellules ovariennes de hamster chinois (CHO), lignée cellulaire CHO-K1, glycoforme alfa *antineoplásique*

invikafusp alfa

inmunoglobulina G1-kappa humanizada anti-(cadena variable Vβ6/β10 codificada en la línea germinal del receptor humano de células T) monómero con puente disulfuro a fragmento de interleukina 2 humana (IL-2, factor de crecimiento de los linfocitos T) fusionado a través de un enlace peptídico (G<sub>4</sub>S)<sub>2</sub> al fragmento Fc de la inmunoglobulina G1, glicoforma alfa; cadena pesada gamma 1 (1-447) [VH (*Homo sapiens* IGHV1-3\*01 -(IGHD) -IGHJ4\*01, CDR-Kabat [5.17.10] (31-35.50-66.99-108)) (1-119) -*Homo sapiens* IGHG1\*03 (CH1 (120-217), bisagra (218-232), CH2 N<sup>299</sup>>A (233-342), CH3 Y<sup>351</sup>>C, T<sup>368</sup>>S, L<sup>370</sup>>A, Y<sup>409</sup>>V (343-447), CHS G<sup>448</sup>>del, K<sup>449</sup>>del) (120-447)], (222-214')-disulfuro con cadena ligera kappa (1'-214') [V-KAPPA (*Homo sapiens* IGKV1-9\*01 -IGKJ2\*01, CDR-Kabat [11.7.9] (24'-34'.50'-56'.89'-97')) (1'-107') -*Homo sapiens* IGKC\*01 (108'-214')]; (228-149":231:152":351:277")-trisdifuro con interleukina 2 humana (IL-2, factor de crecimiento de los linfocitos T) fragmento 21-153 (1-133 en la secuencia actual) fusionado a través del enlace peptídico (G<sub>4</sub>S)<sub>2</sub> (134-143) a un fragmento Fc de la inmunoglobulina humana G1 (144-368) [*Homo sapiens* IGHG1\*03, bisagra terminal N EPKSC eliminada (144-153), CH2 N<sup>220</sup>>A (154-263), CH3 S<sup>277</sup>>C, T<sup>289</sup>>W (264-368), CHS G<sup>369</sup>>del, K<sup>370</sup>>del]; producido en las células ováricas de hamster chino (CHO), línea celular CHO-K1, glicoforma alfa *antineoplásico*



2894138-60-2

Sequence / Séquence / Secuencia

IgG1 heavy chain

QVQLVQSGAE VKKPGSSVKV SCKASGHDFR LTYIHWRQA PGQGLEWMGR 50  
 VSAGSGNVKY NEKFKGRVTI TADTSTSTAY MELSSLRSED TAVYYCAVSY 100  
 YSYVDLDYWG QGTTVTVSSA STKGPSVFPL APSSKSTSGG TAALGCLVKD 150  
 YFPEPVTVSW NSGALTSGVH TFPVAVLQSSG LYSLSVVTV PSSSLGTQTY 200  
 ICNVNHKPSN TKVDKRVPEK SCDKTHTCP CPAPPELLGGP SVFLFPPKPK 250  
 DTLMI~~S~~RTP E VTCVVVDVSH EDPEVKFNWY VDGVEVHNAK TKPREEQY~~A~~S 300  
 TYRVVSVLTV LHQD~~W~~LNGKE YKCKVSNKAL PAPIEKTISK AKGQPREPQV 350  
 CTLP~~P~~PSREEM TKNQVSL~~S~~CA VKGFYPSDIA VEWESNGQPE NNYKTTTPVL 400  
 DSDGSFFLY~~S~~ KLTVDKSRWQ QGNVFSCSVM HEALHNHYTQ KSLSLSP 447

IgG1 Light Chain

DIQMTQSPSF LSASVGRVIT ITCKASQNVV DRVVWHQQKP GKAPKALIYS 50  
 SSHRYKGVPS RFGSGSGSTE FTLTISSLQP EDFATYFCQQ FKSYP~~L~~TFGQ 100  
 GTKLEIKRTV AAPS~~V~~FIFPP SDEQLKSGTA SVVCLLN~~N~~FY PREAKVQMKV 150  
 DNALQSGNSQ ESVTEQDSK STYSLSTLT LSKADYEKHK VYACEVTHQG 200  
 LSSPVTKSFN RGEK 214

IL2- IgG1Fc

APTSSSTKKT QLQLEHLLLD LQMILNGINN YKNPKLTRML TFKFYMPKKA 50  
 TELKH~~L~~QCLE EELKPLEEVL NLAQSKNFHL RPRDLISNIN VIVLELKGSE 100  
 TTFMCEYADE TATIVEFLNR WITFAQSIIS TLTGGGGSGG GGS~~D~~KHTTCP 150  
 PCPAPPELLGG PSVFLFPPKP KDTLMISRTPEVTCVVVDVS HEDPEVKFNW 200  
 YVDGVEVHNA KTKPREEQYA STYRVVSVLT VLHQD~~W~~LNGK EYCKVSNKA 250  
 LPAPIEKTIS KAKGQPREPQ VYTLPPCREE MTKNQVSL~~W~~C LVKGFYPSDI 300  
 AVEWESNGQP ENNYKTTTPV LDSDGSFFLY SKLTVDKSRW QGNVFSCSV 350  
 MHEALHNHYT QKSLSLSP 368

Mutation / Mutation / Mutación

IgG1 heavy chain: N>A<sup>299</sup>, Y>C<sup>351</sup>, T>S<sup>368</sup>, L>A<sup>370</sup>, Y>Y<sup>409</sup>, G<sup>448</sup>>del, K<sup>449</sup>>del  
 IL2-IgG1Fc: N>A<sup>220</sup>, S>C<sup>277</sup>, T>W<sup>289</sup>, G<sup>369</sup>>del, K<sup>370</sup>>del

Peptide linker / Peptide liant / Péptido de unión

IL2- IgG1Fc: <sup>134</sup>G~~GGGGGGG~~S<sup>143</sup>

Post-translation modifications

Disulfide bridges location / Position des ponts disulfure / Posiciones de los puentes disulfuro

Intra heavy chain: 22-96, 146-202, 263-323, 369-427

Intra light chain: 23'-88', 134'-194'

Intra IL2-Fc: 58"-105", 184"-244", 290"-348"

Inter light chain-heavy chain: 214'-222

Inter IL2-Fc-heavy chain: 149"-228, 152"-231, 277"-351

O-glycosylation sites / Sites de O-glycosylation / Posiciones de O-glicosilación

IL2-IgG1Fc: (<sup>3</sup>TSSST<sup>7</sup>)\*

\*Glycosylation can be in any of the listed amino acids

N-terminal glutaminyl cyclization / Cyclisation du glutaminyle N-terminal / Ciclación del glutaminilo N-terminal

IgG1 heavy chain Q1> pyroglutamyl (pE, 5-oxo-L-prolyl)

**iodofalanum (<sup>131</sup>I)**

iodofalan (<sup>131</sup>I)

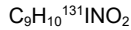
4-(<sup>131</sup>I)iodo-L-phenylalanine  
*radiopharmaceutica, antineoplástica*

iodofalan (<sup>131</sup>I)

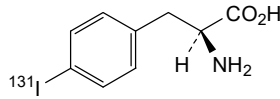
4-(<sup>131</sup>I)iodo-L-phénylalanine  
*radiopharmaceutique, antinéoplasique*

iodofalán (<sup>131</sup>I)

4-(<sup>131</sup>I)iodo-L-fenilalanina  
*radiofármaco, antineoplásico*



76641-05-9



**lanerkitugum #**  
lanerkitug

immunoglobulin G1-lambda2, anti-[*Homo sapiens* CCR8 (C-C motif chemokine receptor 8, CKR-L1, CDw198)], *Homo sapiens* monoclonal antibody; H-gamma1 heavy chain *Homo sapiens* (1-452) [VH (*Homo sapiens*IGHV3-23\*01 (92.9%) -(IGHD) -IGHJ4\*01 (93.3%)) [8.8.15] (26-33.51-58.97-111) (1-122) -*Homo sapiens*IGHG1\*01 (100%), G1m17,1 CH1 K120, CH3 D12, L14 (CH1 K120 (219) (123-220), hinge 1-15 (221-235), CH2 (236-345), CH3 D12 (361), L14 (363) (346-450), CHS (451-452)) (123-452)], (225-216')-disulfide with L-lambda2 light chain *Homo sapiens* (1'-217') [V-LAMBDA (*Homo sapiens*IGLV1-47\*02 (89.9%) -IGLJ3\*02 (100%), CDR-IMGT [9.3.11] (26'-34'.52'-54'.91'-101'')) (1'-111') -*Homo sapiens*IGLC2\*01 (100%) (112'-217'')]; dimer (231-231'':234-234'')-bisdisulfide, produced in Chinese hamster ovary (CHO) cells, derived from CHO-K1 cell line, lacking the glutamine synthetase (GS-KO) gene, and co-expressing the RMD enzyme (GDP-6-deoxy-D-lyxo-4-hexulose reductase), glycoform alfa  
*immunomodulator, antineoplastic*

## lanerkitug

immunoglobuline G1-lambda2, anti-[*Homo sapiens* CCR8(récepteur 8 de chimiokine C-C motif, CKR-L1, CDw198)], anticorps monoclonal *Homo sapiens*; chaîne lourde H-gamma1 *Homo sapiens* (1-452) [VH (*Homo sapiens*IGHV3-23\*01 (92.9%) -(IGHD) -IGHJ4\*01 (93.3%)) [8.8.15] (26-33.51-58.97-111) (1-122) -*Homo sapiens*IGHG1\*01 (100%), G1m17,1 CH1 K120, CH3 D12, L14 (CH1 K120 (219) (123-220), charnière 1-15 (221-235), CH2 (236-345), CH3 D12 (361), L14 (363) (346-450), CHS (451-452)) (123-452)], (225-216')-disulfure avec la chaîne légère L-lambda2 *Homo sapiens* (1'-217') [V-LAMBDA (*Homo sapiens*IGLV1-47\*02 (89.9%) -IGLJ3\*02 (100%), CDR-IMGT [9.3.11] (26'-34'.52'-54'.91'-101'')) (1'-111') -*Homo sapiens*IGLC2\*01 (100%) (112'-217'')]; dimère (231-231'':234-234'')-bisdisulfure, produit dans des cellules ovariennes de hamster chinois (CHO), dérivant de la lignée cellulaire CHO-K1, ne présentant pas le gène de la glutamine synthétase (GS-KO), et co-exprimant l'enzyme RMD (GDP-6-désoxy-D-lyxo-4-hexulose réductase), glycoforme alfa  
*immunomodulateur, antinéoplasique*

## lanerkitug

immunoglobulina G1-lambda2, anti-[*Homo sapiens* CCR8(receptor 8 de quimiocina C-C motivo, CKR-L1, CDw198)], anticuerpo monoclonal *Homo sapiens*;

cadena pesada H-gamma1 *Homo sapiens* (1-452) [VH (*Homo sapiens* IGHV3-23\*01 (92.9%) -(IGHD) -IGHJ4\*01 (93.3%)) [8.8.15] (26-33.51-58.97-111) (1-122) -*Homo sapiens* IGHG1\*01 (100%), G1m17,1 CH1 K120, CH3 D12, L14 (CH1 K120 (219) (123-220), bisagra 1-15 (221-235), CH2 (326-345), CH3 D12 (361), L14 (363) (346-450), CHS (451-452)) (123-452)], (225-216')-disulfuro con la cadena ligera L-lambda2 *Homo sapiens* (1'-217') [V-LAMBDA (*Homo sapiens* IGLV1-47\*02 (89.9%) -IGLJ3\*02 (100%), CDR-IMGT [9.3.11] (26'-34'.52'-54'.91'-101'')] (1'-111') -*Homo sapiens* IGLC2\*01 (100%) (112'-217'')]; dímero (231-231''-234-234'')-bisdisulfuro, producido en las células ováricas de hámster chino (CHO), línea celular derivada de CHO-K1, en ausencia del gen glutamina sintetasa (GS-KO), y co-expresando la enzima RMD (GDP-6-desoxi-D-lixo-4-hexulosa reductasa), forma glicosilada alfa  
*inmunomodulador, antineoplásico*

2839417-54-6

Heavy chain / Chaîne lourde / Cadena pesada		
EVQLLESGGG LVPQGGSLRL SCAASGFTFS SYGMHWVRQA PGKGLEWVSA	50	
INWNGGSTGY ADSVKGRFTI SRDNSKNTLY LQMNLSRAED TAVYYCARGH	100	
HSGYDGRFFD YWQGTTLVTV SSASTKGPSV FPLAPSSKST SGGTAALGCL	150	
VKDYFPEPVT VSWNSGALTS GVHTFFPAVLQ SSGLYSLSSV VTFPSSSLGT	200	
QTYICNVNHK PSNNTKVDKKV EPKSCDKTHT CPPCPAPELL GGPSVFLFPP	250	
KPKDTLMISR TPEVTCVVVD VSHEDPEVKF NQYVDGVEVH NAKTKPREEQ	300	
YNSTYRVVSV LTVLHQDWLNL GKEYYCKVSN KALPAPIEKT ISKAKGQPRE	350	
PQVYTLPPSR DELTKNQVSL TCLVKGFPYS DIAVEWESNG QPENNYKTTT	400	
FVLDSDGSFF LYSKLTVDKS RWQQGNVFSC SVMHEALHNN YTKQSLSLSP	450	
GK	452	

Light chain / Chaîne légère / Cadena ligera		
QSVLTQPPSV SGAPQRVTI SCTGSSSNIG AGYNVHWYQQ LPTGAPKLLI	50	
YTNRRRPSGV PDRFSGSKSG TSASLAISGL RSEDEADYYC AAWDASLSGW	100	
VFGGGTKLTV LGQPKAAPSV TLFPPSSEEL QANKATLVCL ISDFYFGAVT	150	
VAWKADSSPV KAGVETTTPS KQSNKYAAS SYLSLTPEQW KSHRSYSCQV	200	
THEGSTVEKT VAPTECS	217	

#### Post-translational modifications

Disulfide bridges location / Position des ponts disulfure / Posiciones de los puentes disulfuro

Intra-H (C23-C104) 22"-96" 149"-205" 266"-326" 372"-430"

22"-96" 149"-205" 266"-326" 372"-430"

Intra-L (C23-C104) 22"-90" 139"-198"

22"-90" 139"-198"

Inter-H-L (h 5-CL 126) 225"-216" 225"-216"

Inter-H-H (h 11, h 14) 231"-231" 234"-234"

N-terminal glutaminyl cyclization / Cyclisation du glutaminyle N-terminal / Ciclación del glutaminilo N-terminal

Q > pyroglutamyl (pE, 5-oxoprolyl) / pyroglutamyle (pE, 5-oxopropyle) / piroglutamilo

(pE, 5-oxoprolilo)

L VL V-LAMBDA Q1: 1', 1"

N-glycosylation sites / Sites de N-glycosylation / Posiciones de N-glicosilación

H CH2 N84.4: 302, 302"

Afucosylated complex bi-antennary CHO-type glycans / glycanes de type CHO bi-antennaires

complexes afucosylés / glicanos de tipo CHO biantennarios complejos afucosilados

C-terminal lysine clipping / Coupure de la lysine C-terminale / Recorte de lisina C-terminal

H CHS K2: 452, 452"

#### lefelsiranium

lefelsiran

*all-P-ambo-2'-O-methyl-P-thioguanlylyl-(3'→5')-2'-O-methylguanylyl-(3'→5')-2'-O-methyluridylyl-(3'→5')-2'-O-methylguanylyl-(3'→5')-2'-O-methylguanylyl-(3'→5')-2'-O-methyluridylyl-(3'→5')-2'-O-methyluridylyl-(3'→5')-2'-deoxy-2'-fluoroguanlylyl-(3'→5')-2'-deoxy-2'-fluoroadenylyl-(3'→5')-2'-deoxy-2'-fluoroadenylyl-(3'→5')-2'-deoxy-2'-fluoroadenylyl-(3'→5')-2'-O-methylcytidylyl-(3'→5')-2'-O-methyluridylyl-(3'→5')-2'-O-methylcytidylyl-(3'→5')-2'-O-methyladenylyl-(3'→5')-2'-O-methylguanylyl-(3'→5')-2'-O-methyluridylyl-(3'→5')-2'-O-methyluridylyl-(3'→5')-2'-O-methyladenylyl-(3'→5')-2'-O-methylguanylyl-(3'→5')-2'-O-methylcytidylyl-(3'→5')-2'-O-methyladenylyl-(3'→5')-2'-O-methylguanylyl-(3'→5')-2'-O-methylcytidylyl-(3'→5')*



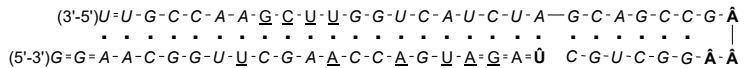




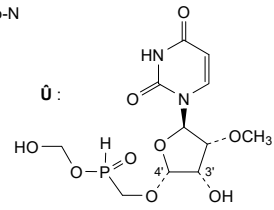
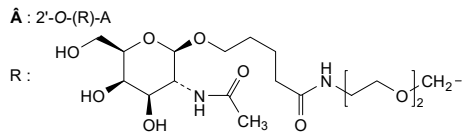
dúplex con *todo-P-ambo-2'-O-metil-P-tioguanilil-(5'→3')-2'-O-metil-P-tioguanilil-(5'→3')-2'-O-metiladenilil-(5'→3')-2'-O-metiladenilil-(5'→3')-2'-O-metilcitolidilil-(5'→3')-2'-O-metilguanilil-(5'→3')-2'-O-metilguanilil-(5'→3')-2'-O-metiluridilil-(5'→3')-2'-desoxi-2'-fluorouridilil-(5'→3')-2'-O-metilcitolidilil-(5'→3')-2'-O-metilguanilil-(5'→3')-2'-O-metiladenilil-(5'→3')-2'-desoxi-2'-fluoroadenilil-(5'→3')-2'-O-metilcitolidilil-(5'→3')-2'-O-metilcitolidilil-(5'→3')-2'-desoxi-2'-fluoroadenilil-(5'→3')-2'-O-metilguanilil-(5'→3')-2'-desoxi-2'-fluorouridilil-(5'→3')-2'-desoxi-2'-fluoro-P-tioadenilil-(5'→3')-2'-desoxi-2'-fluoro-P-tioguanilil-(5'→3')-2'-desoxi-2'-fluoro-P-tioadenilil-(5'→3')-4'-de(hidroximetil)-4'-[[hidroxi(metoxi)fosforil]metoxi]-2'-O-metiluridina reductor de la síntesis de apolipoproteína(a)*

C<sub>654</sub>H<sub>864</sub>F<sub>11</sub>N<sub>232</sub>O<sub>412</sub>P<sub>57</sub>S<sub>6</sub>

2808361-18-2



N : nucleoside / nucléoside / nucleósido  
 N : 2'-O-methyl-N / 2'-O-méthyl-N / 2'-O-metil-N  
 N : 2'-deoxy-2'-fluoro-N / 2'-desoxy-2'-fluoro-N / 2'-desoxi-2'-fluoro-N  
 - : -PO(OH)- = -PO(SH)-



**lesigerceptum #**  
 lesigercept

human high affinity immunoglobulin epsilon receptor subunit alpha (Fc-epsilon RI-alpha (FcERI), IgE Fc receptor subunit alpha) extracellular domain fragment 26-205 (1-180 in the current sequence), fused to a Fc fragment of an hybrid human immunoglobulin D/G4 (181-425) [*Homo sapiens* IGHD\*01 (hinge K<sup>192</sup>>G, E<sup>193</sup>>S (181-210)), *Homo sapiens* IGHG4\*01 (CH2 E<sup>211</sup>>S, F<sup>212</sup>>H, L<sup>213</sup>>T, G<sup>214</sup>>Q, G<sup>215</sup>>P, P<sup>216</sup>>L, S<sup>217</sup>>G (209-217 matches IGHD\*01) (211-318), CH3 (319-423), CHS (424-425))]; dimer (209-209')-disulfide, produced in Chinese hamster ovary (CHO) cells, glycoform alfa *antiallergic*

lésigercept

fragment 26-205 (1-180 dans la séquence actuelle) du domaine extracellulaire de la sous-unité alpha du récepteur de l'immunoglobuline epsilon à haute affinité humaine (Fc-epsilon RI-alpha (FcERI), sous-unité alpha du récepteur Fc de l'IgE), fusionné à un fragment Fc d'une immunoglobuline D/G4 (181-425) hybride humaine [*Homo sapiens* IGHD\*01 (charnière K<sup>192</sup>>G, E<sup>193</sup>>S (181-210)), *Homo sapiens* IGHG4\*01 (CH2 E<sup>211</sup>>S, F<sup>212</sup>>H, L<sup>213</sup>>T, G<sup>214</sup>>Q, G<sup>215</sup>>P, P<sup>216</sup>>L, S<sup>217</sup>>G (209-217 correspond à IGHD\*01) (211-318), CH3 (319-423), CHS (424-425))]; dimère (209-209')-disulfure, produit dans des cellules ovariennes de hamster chinois (CHO), glycoforme alfa *antiallergique*

lesigercept

fragmento del dominio extracelular 26-205 (1-180 en la secuencia actual) de la subunidad alfa del receptor epsilon de la inmunoglobulina humana de alta afinidad (Fc-epsilon RI-alfa (FcERI), IgE receptor Fc de la subunidad alfa)

fusionado al fragmento Fc de una inmunoglobulina humana híbrida D/G4 (181-425) [*Homo sapiens* IGHD\*01 (bisagra K<sup>192</sup>>G, E<sup>193</sup>>S (181-210)), *Homo sapiens* IGHG4\*01 (CH2 E<sup>211</sup>>S, F<sup>212</sup>>H, L<sup>213</sup>>T, G<sup>214</sup>>Q, G<sup>215</sup>>P, P<sup>216</sup>>L, S<sup>217</sup>>G (209-217 que combina IGHD\*01) (211-318), CH3 (319-423), CHS (424-425))]; dímero (209-209')-disulfuro, producido en las células ováricas de hámster chino (CHO), glicofoma alfa  
*antialérgico*

2878448-12-3

Sequence / Séquence / Secuencia

VPQKPKVSLN	PPWNRIFKGE	NVTLTCNGNN	FFEVSSTKWF	HNGSLSEETN	50
SSLNIVNAKF	EDSGEYKQCH	QQVNESEPVY	LEVFSDWLL	QASAEVVMGEG	100
QPLFLRCHGW	RNWDVYKVIY	YKDGEALKYW	YENHNISITN	ATVEDSGTYY	150
CTGKVVQLDY	ESEPLNITVI	KAPREKYWLQ	RNTGRGGEK	KGSKEKEEQE	200
ERETKTPECP	SHTQPLGVFL	FPPKPKDTLM	ISRTPVETCV	VVDVSDQEDPE	250
VQFNWYVDGV	EVHNAKTKPR	EEQFNSTYRV	VSVLTVLHQD	WLNGKEYKCK	300
VSNKGLPSSI	EKTISKAKGQ	PREPQVYTLF	PSQEEMTKNQ	VSLTCLVKGF	350
YPSDIAVEWE	SNGQPENNYK	TTPPVLDSDG	SFFLYSRLTV	DKSRWQEGNV	400
FSCSVMHEAL	HNHYTQKSLS	LSLGG			425

Mutation / Mutation / Mutación

K<sup>192</sup>,K<sup>192</sup>>G, E<sup>193</sup>,E<sup>193</sup>>S, E<sup>211</sup>,E<sup>211</sup>>S, F<sup>212</sup>,F<sup>212</sup>>H, L<sup>213</sup>,L<sup>213</sup>>T, G<sup>214</sup>,G<sup>214</sup>>Q, G<sup>215</sup>,G<sup>215</sup>>P, P<sup>216</sup>,P<sup>216</sup>>L, S<sup>217</sup>,S<sup>217</sup>>G

**Post-translational modifications**

Disulfide bridges location / Position des ponts disulfure / Posiciones de los puentes disulfuro

Intra-chain: 26-68, 107-151, 239-299, 345-403,

26'-68',107'-151', 239'-299', 345'-403'

Inter-chain: 209-209'

N-glycosylation sites / Sites de N-glycosylation / Posiciones de N-glicosilación

21, 42, 50, 74, 135, 140, 166, 275; 21', 42', 50', 74', 135', 140', 166', 275'

C-terminal lysine clipping / Coupure de la lysine C-terminale / Recorte de lisina C-terminal

H CHS: 425, 425'

**libevitugum #**

libevitug

immunoglobulin G1-lambda2, anti-[Hepatitis B virus (HBV) surface antigen (HbsAg, surface envelope protein, large envelope protein) pre-S1 domain], *Homo sapiens* monoclonal antibody;

H-gamma1 heavy chain *Homo sapiens* (1-450) [VH (*Homo sapiens* IGHV6-1\*01 (100%) -(IGHD) -IGHJ1\*01 (100%)) [10.9.10] (26-35.53-61.100-109) (1-120) -*Homo sapiens* IGHG1\*01 (100%), G1m17,1 CH1 K120, CH3 D12, L14 (CH1 K120 (217) (121-218), hinge 1-15 (219-233), CH2 (234-343), CH3 D12 (359), L14 (361) (344-448), CHS (449-450)) (121-450)], (223-215')-disulfide with L-lambda2 light chain *Homo sapiens* (1'-216') [V-LAMBDA (*Homo sapiens* IGLV1-40\*01 (90.9%) -IGLJ2\*01 (91.7%), CDR-IMGT [8.3.11] (26'-33'.51'-53'.90'-100')) (1'-110') -*Homo sapiens* IGLC2\*01 (100%) (111'-216')]; dimer (229-229":232-232")-bisdisulfide, produced in Chinese hamster ovary (CHO) cells, cell line CHO-K1, glycoform alfa  
*antiviral*

libévitug

immunoglobuline G1-lambda2, anti-[domaine pré-S1 de l'antigène de surface (HbsAg, protéine d'enveloppe de surface, grande protéine d'enveloppe) du virus de l'hépatite B (HBV)], anticorps monoclonal *Homo sapiens*;



chaîne lourde H-gamma1 *Homo sapiens* (1-450) [VH (*Homo sapiens* IGHV6-1\*01 (100%) -(IGHD) -IGHJ1\*01 (100%))] [10.9.10] (26-35.53-61.100-109) (1-120) -*Homo sapiens* IGHG1\*01 (100%), G1m17,1 CH1 K120, CH3 D12, L14 (CH1 K120 (217) (121-218), chamière 1-15 (219-233), CH2 (234-343), CH3 D12 (359), L14 (361) (344-448), CHS (449-450) (121-450)) (121-450)], (223-215')-disulfure avec la chaîne légère L-lambda2 *Homo sapiens* (1'-216') [V-LAMBDA (*Homo sapiens* IGLV1-40\*01 (90.9%) -IGLJ2\*01 (91.7%), CDR-IMGT [8.3.11] (26'-33'.51'-53'.90'-100')) (1'-110') -*Homo sapiens* IGLC2\*01 (100%) (111'-216')]; dimère (229-229":232-232")-bisdisulfure, produit dans des cellules ovariennes de hamster chinois (CHO), lignée cellulaire CHO-K1, glycoforme alfa *antiviral*

libeavitug

immunoglobulina G1-lambda2, anti-[dominio pre-S1 del antígeno de superficie (HbsAg, proteína de envoltura de superficie, proteína grande de envoltura) del virus de la hepatitis B (HBV)], anticuerpo monoclonal *Homo sapiens*;

cadena pesada H-gamma1 *Homo sapiens* (1-450) [VH (*Homo sapiens* IGHV6-1\*01 (100%) -(IGHD) -IGHJ1\*01 (100%))] [10.9.10] (26-35.53-61.100-109) (1-120) -*Homo sapiens* IGHG1\*01 (100%), G1m17,1 CH1 K120, CH3 D12, L14 (CH1 K120 (217) (121-218), bisagra 1-15 (219-233), CH2 (234-343), CH3 D12 (359), L14 (361) (344-448), CHS (449-450) (121-450)) (121-450)], (223-215')-disulfuro con la cadena ligera L-lambda2 *Homo sapiens* (1'-216') [V-LAMBDA (*Homo sapiens* IGLV1-40\*01 (90.9%) -IGLJ2\*01 (91.7%), CDR-IMGT [8.3.11] (26'-33'.51'-53'.90'-100')) (1'-110') -*Homo sapiens* IGLC2\*01 (100%) (111'-216')]; dímero (229-229":232-232")-bisdisulfuro, producido en las células ováricas de hámster chino (CHO), línea celular CHO-K1, forma glicosilada alfa *antiviral*

2817665-64-6

Heavy chain / Chaîne lourde / Cadena pesada  
 QVQLQQSGPG LVKPSQTLSL TCAISGDSVS SNSAANWIR QSPSRGLEWL 50  
 GRTYYRSKWY NDYAVSVKSR ITINPDTSKN QFSLQLNSVT PEDTAVYYCA 100  
 RCTRWMQDVMV GQGTTLTVSS ASTKGPSVFP LAPSSKSTSG GTAALGCLVK 150  
 DYFPEPFTVWS WNSGALTSVG HTFFPAVLQSS GLYSLSSVVT VPSSSLGTQT 200  
 YICNVNHNKPS NTKVDKVEP KSCDKTHTCP PCPAPELLGG PSVFLFPPK 250  
 KDTLMISRTPEVTCVVVDVSHEDPEVKFNWYVDGVEVHNA KTKPREEQYN 300  
 STYRVVSVLT VHLQDNLNKG EYKCKVSNKALPAPIEKTIS KARGQPREPQ 350  
 VYTLPPSDE LTKNQVSLTCLVKGFYPSDIAVENESNGQP ENNYKTTTPPV 400  
 LDSDSGSPFLY SKLTVDKSRWQQGNVFPSCV MHEALHNHYT QKSLSLSPGK 450

Light chain / Chaîne légère / Cadena ligera  
 QSVLTQPPSA SGTFGQQRVTI SCSGSSSNIG SYVVYVYQQP PGTAPKLLIY 50  
 GNNQRPSGVP DRFSGSKSGT SASLAITGLQ AEDEADYYCQ SYDSSLSGVI 100  
 FGGGKTLTVL GQPKAAPSVT LFPSSSEELQ ANKATLVCLI SDFYPGAVTV 150  
 AWKADSSPVK AGVETTTPSK QSNNKYAASS YLSLTPEQWK SHRSYSCQVT 200  
 HEGSTVEKTV APTESK 216

**Post-translational modifications**

Disulfide bridges location / Position des ponts disulfure / Posiciones de los puentes disulfuro

Intra-H (C23-C104) 22-99 147-203 264-324 370-428  
 22"-99" 147"-203" 264"-324" 370"-428"

Intra-L (C23-C104) 22-89 138-197  
 22"-89" 138"-197"

Inter-H-L (h 5-CL 126) 223-215' 223"-215"  
 Inter-H-H (h 11, h 14) 229-229" 232-232"

N-terminal glutaminyl cyclization / Cyclisation du glutaminyle N-terminal / Ciclación del glutaminilo N-terminal

Q > pyroglutamyl (pE, 5-oxopropyl) / pyroglutamyle (pE, 5-oxopropyle) / piroglutamilo (pE, 5-oxoprolilo)  
 H VH Q1: 1, 1"  
 L VL V-LAMBDA Q1: 1', 1"

N-glycosylation sites / Sites de N-glycosylation / Posiciones de N-glicosilación

H CH2 N84.4: 300, 300"

Fucosylated complex bi-antennary CHO-type glycans / glycanes de type CHO biantennaires complexes fucosylés / glicanos de tipo CHO biantennarios complejos fucosilados

C-terminal lysine clipping / Coupeure de la lysine C-terminale / Recorte de lisina C-terminal  
 H CHS K2: 450, 450"

**linclatamigum #**

## linclatamig

immunoglobulin G1-kappa, anti-[*Homo sapiens* LY6G6D (lymphocyte antigen 6 family member G6D, G6D, LY6-D, MEGT1, NG25)] and anti-[*Homo sapiens* CD3E (CD3 epsilon, Leu-4)], humanized monoclonal antibody, bispecific; H-gamma1 heavy chain anti-LY6G6D humanized, G1v84-1 VH E44, CH1 K86 (1-442) [VH E44 (*Homo sapiens* IGHV3-23\*01 (77.6%) -(IGHD) -IGHJ2\*01 (92.3%) R120>P (104), CDR-IMGT [8.8.5] (26-33.51-58.97-101)) (1-112) -*Homo sapiens* IGHG1\*03v, G1m3>G1m17, nG1m1, CH1 K120, CH3 E12, M14, CH1 K86, G1v30 CH2 G84.4, G1v32 CH3 W22 (knob) (CH1 R120>K (209), S86>K (178) (113-210), hinge 1-15 (211-225), CH2 N84.4>G (292) (226-335), CH3 E12 (351), M14 (353), T22>W (361) (336-440), CHS (441-442)) (123-442)], (215-218')-disulfide with L-kappa light chain humanized, Kv84-1 VK K44, CK E22 (1'-218') [V-KAPPA K44 (*Homo sapiens* IGKV1-5\*01 (89.8%) -IGKJ4\*01 (100%), CDR-IMGT [6.3.13] (27'-32'.50'-52'.89'-101')) (1'-111') -*Homo sapiens* IGKC\*01 (99.1%) V22>E (137), Km3 A45.1 (157), V101 (195) (112'-218')]; H-gamma1 heavy chain anti-CD3E humanized, G1v84-2 VH K44, CH1 E86 (1"-449") [VH K44 (*Homo sapiens* IGHV1-3\*01 (81.6%) -(IGHD) -IGHJ4\*01 (100%), CDR-IMGT [8.8.12] (26"-33".51"-58".97"-108")) (1"-119") -*Homo sapiens* IGHG1\*03v, G1m3>G1m17, nG1m1 CH1 K120, CH3 E12, M14, CH1 E86, G1v30 CH2 G84.4, G1v33 CH3 S22, A24, V86 (hole) (CH1 R120>K (216") S86>E (185") (120"-217"), hinge 1-15 (218"-232"), CH2 N84.4>G (299) (233"-342"), CH3 E12 (358"), M14 (360"), T22>S (368"), L24>A (370"), Y86>V (409") (343"-447"), CHS (448-449")) (120"-449")], (222"-219")-disulfide with L-kappa light chain humanized, Kv84-2 VK E44, CK K22 (1'''-219''') [V-KAPPA E44 (*Homo sapiens* IGKV4-1\*01 (90.8%) -IGKJ1\*01 (100%), CDR-IMGT [12.3.8] (27'''-38'''-56'''-58'''-95'''-102''')) (1'''-112''') -*Homo sapiens* IGKC\*01 (99.1%) V22>K (138'''), Km3 A45.1 (158'''), V101 (196''') (113'''-219''')]; dimer (221-228":224-231")-bisdisulfide, produced in a cell line from Chinese hamster ovary (CHO) cells, derived from the cell line CHO-K1, glycoform alfa *antineoplastic*

## linclatamig

immunoglobuline G1-kappa, anti-[*Homo sapiens* LY6G6D (lymphocyte antigène 6 membre de la famille G6D, G6D, LY6-D, MEGT1, NG25)] et anti-[*Homo sapiens* CD3E (CD3 epsilon, Leu-4)], anticorps monoclonal humanisé, bispécifique; chaîne lourde H-gamma1 anti-LY6G6D humanisée, G1v84-1 VH E44, CH1 K86 (1-442) [VH E44 (*Homo sapiens* IGHV3-23\*01 (77.6%) -(IGHD) -IGHJ2\*01 (92.3%) R120>P (104), CDR-IMGT [8.8.5] (26-33.51-58.97-101)) (1-112) -*Homo sapiens* IGHG1\*03v, G1m3>G1m17, nG1m1 CH1 K120, CH3 E12, M14, CH1 K86, G1v30 CH2 G84.4, G1v32 CH3 W22 (knob) (CH1 R120>K (209), S86>K (178) (113-210), charnière 1-15 (211-225), CH2 N84.4>G (292) (226-335), CH3 E12 (351), M14 (353), T22>W (361) (336-440), CHS (441-442)) (123-442)], (215-218')-disulfure avec la chaîne légère L-kappa humanisée, Kv84-1 VK K44, CK E22 (1'-218') [V-KAPPA K44 (*Homo sapiens* IGKV1-5\*01 (89.8%) -IGKJ4\*01 (100%), CDR-IMGT [6.3.13] (27'-32'.50'-52'.89'-101')) (1'-111') -*Homo sapiens* IGKC\*01 (99.1%) V22>E (137), Km3 A45.1 (157), V101 (195) (112'-218')];

cadena pesada H-gamma1 anti-CD3E humanizado, G1v84-2 VH K44, CH1 E86 (1"-449") [VH K44 (*Homo sapiens*IGHV1-3\*01 (81.6%) -(IGHD) -IGHJ4\*01 (100%), CDR-IMGT [8.8.12] (26"-33".51"-58".97"-108")) (1"-119") -*Homo sapiens*IGHG1\*03v, G1m3>G1m17, nG1m1 CH1 K120, CH3 E12, M14, CH1 E86, G1v30 CH2 G84.4, G1v33 CH3 S22, A24, V86 (hole) (CH1 R120>K (216") S86>E (185") (120"-217")), charnière 1-15 (218"-232"), CH2 N84.4>G (299) (233"-342"), CH3 E12 (358"), M14 (360"), T22>S (368"), L24>A (370"), Y86>V (409") (343"-447"), CHS (448-449")) (120"-449"), (222"-219")-disulfuro con la cadena ligera L-kappa humanizada, Kv84-2 VK E44, CK K22(1"-219") [V-KAPPA E44 (*Homo sapiens*IGKV4-1\*01 (90.8%) -IGKJ1\*01 (100%), CDR-IMGT [12.3.8] (27"-38".56"-58".95"-102")) (1"-112") -*Homo sapiens*IGKC\*01 (99.1%) V22>K (138"), Km3 A45.1 (158"), V101 (196") (113"-219")]; dímero (221-228":224-231")-bisdisulfuro, producido en una línea celular des células ovariennes de hamster chino (CHO), derivant de la lignée celular CHO-K1, glycoforme alfa *antineoplásique*

## linclatamig

inmunoglobulina G1-kappa, anti-[*Homo sapiens* LY6G6D (linfocito antígeno 6 miembro de la familia G6D, G6D, LY6-D, MEGT1, NG25)] y anti-[*Homo sapiens* CD3E (CD3 épsilon, Leu-4)], anticuerpo monoclonal humanizado, biespecifico; cadena pesada H-gamma1 anti-LY6G6D humanizada, G1v84-1 VH E44, CH1 K86 (1-442) [VH E44 (*Homo sapiens*IGHV3-23\*01 (77.6%) -(IGHD) -IGHJ2\*01 (92.3%) R120>P (104), CDR-IMGT [8.8.5] (26-33.51-58.97-101)) (1-112) -*Homo sapiens*IGHG1\*03v, G1m3>G1m17, nG1m1 CH1 K120, CH3 E12, M14, CH1 K86, G1v30 CH2 G84.4, G1v32 CH3 W22 (knob) (CH1 R120>K (209), S86>K (178) (113-210), bisagra 1-15 (211-225), CH2 N84.4>G (292) (226-335), CH3 E12 (351), M14 (353), T22>W (361) (336-440), CHS (441-442)) (123-442)], (215-218')-disulfuro con la cadena ligera L-kappa humanizada, Kv84-1 VK K44, CK E22 (1'-218') [V-KAPPA K44 (*Homo sapiens*IGKV1-5\*01 (89.8%) -IGKJ4\*01 (100%), CDR-IMGT [6.3.13] (27'-32'.50'-52'.89'-101')) (1'-111') -*Homo sapiens*IGKC\*01 (99.1%) V22>E (137), Km3 A45.1 (157), V101 (195) (112'-218')]; cadena pesada H-gamma1 anti-CD3E humanizada, G1v84-2 VH K44, CH1 E86 (1"-449") [VH K44 (*Homo sapiens*IGHV1-3\*01 (81.6%) -(IGHD) -IGHJ4\*01 (100%), CDR-IMGT [8.8.12] (26"-33".51"-58".97"-108")) (1"-119") -*Homo sapiens*IGHG1\*03v, G1m3>G1m17, nG1m1 CH1 K120, CH3 E12, M14, CH1 E86, G1v30 CH2 G84.4, G1v33 CH3 S22, A24, V86 (hole) (CH1 R120>K (216") S86>E (185") (120"-217")), bisagra 1-15 (218"-232"), CH2 N84.4>G (299) (233"-342"), CH3 E12 (358"), M14 (360"), T22>S (368"), L24>A (370"), Y86>V (409") (343"-447"), CHS (448-449")) (120"-449"), (222"-219")-disulfuro con la cadena ligera L-kappa humanizada, Kv84-2 VK E44, CK K22(1"-219") [V-KAPPA E44 (*Homo sapiens*IGKV4-1\*01 (90.8%) -IGKJ1\*01 (100%), CDR-IMGT [12.3.8] (27"-38".56"-58".95"-102")) (1"-112") -*Homo sapiens*IGKC\*01 (99.1%) V22>K (138"), Km3 A45.1 (158"), V101 (196") (113"-219")]; dímero (221-228":224-231")-bisdisulfuro, producido en una línea celular de las células ováricas de hamster chino (CHO), línea celular derivada de CHO-K1, forma glicosilada alfa *antineoplásico*

2885203-43-8

Heavy chain / Chaîne lourde / Cadena pesada : H-gamma1 (H) anti-LY6G6D (knob)  
 EVQLLESGGG LVQPGGSLRL SCAASGFDFV NNAMIWVREA PGKGLEWVSA 50  
 LSFADNTAYV ATWASGRFTI SRDSSKTTVY LQMNSLRAED TAVYYCMRGD 100  
 LWPGPTLVTV SSASTKGFPSV FPLAPSSKST SGGTAAAGCL VKDYFPPEPVT 150  
 VSWNSGALTS GVHTFFPAVLQ SSSLGYSLSKV VTFVSSSLGT QTYICNVNHK 200  
 PSNTKVDKVK EPKSCDKTHT CPPCPAPELL GGPSVFLFPP KPKDTLMISR 250  
 TPEVTCVVVD VSHEDPEVKF NNYVDGVEVH NAKTKPREEQ YGSTRVRSV 300  
 LTVLHQDWLN GKEYKCKVSN KALPAPIEKT ISKAKGQPRE PQVYTLPPSR 350  
 EEMTKNQVSL WCLVKGIFYPS DIAVEWESNG QFENNYKTTT PVLDSGDSFF 400  
 LYSKLTVDKS RWQQGNVFSC SVMHEALHNH YTQKSLSLSP GK 442

Light chain / Chaîne légère / Cadena ligera : L-kappa (L') anti-LY6G6D  
 DIQMTQSPST LSASVGRDVT ITCQASESIT RYLNHWQKFP GKAPKLLIYD 50  
 ASKLPSCVPS RFGSGSGSTE FTLTISLQPD DDFATYICQS TFRGRSRYQN 100  
 TFGGGTKVEI KRTVAAPSVE IFPPSDEQLK SGTASVECLL NNFYPREAKV 150  
 QWKVDNALQS GNSQESVTEQ DSKDSTYSLS STLTLKADY EKHKVYACEV 200  
 THQGLSSPVT KSFNRGEC

Heavy chain / Chaîne lourde / Cadena pesada : H-gamma1 (H') anti-CD3E (hole)  
 EVQLVQSGAE VKKPGASVKV SCKASGFTFT SYIIHWVRKA PGQGLEWIGW 50  
 IYPENDNTKY NEKFKDRVTI TADTSTSTAY LELSSLRSED TAVYCARDG 100  
 YSRYYFDYWG QGTLVTVSSA STRKPSVFPL APSSKSTSGG TAALGCLVKD 150  
 YFPEPVTVSW NSGALTVSGVH TFPVAVLQSSG LYSLESVVTV PSSSLGTQTY 200  
 ICMVNHNKSN TKVDKKEVEPK SCDKTHTCPP CPAPELLGGP SVFLFPPKPK 250  
 DTLMISRTPE VTCVVVDVSH EDPEVKFNWY VDGVEVHNAK TKPREQYGS 300  
 TRYRVSVLTV LHQDWLNGKE YKCKVSNKAL PAPIEKTISK AKGQPREPQV 350  
 YTLPPSREEM TKNQVLSLCA VKGFYPSDIA VEWESNGQPE NNYKTTTPVL 400  
 DSDGSEFFLVK KLTVDKSRWQ QGNVFSCSVM HEALHNHYTQ KSLSLSPGK 449

Light chain / Chaîne légère / Cadena ligera : L-kappa (L'') anti-CD3E  
 DIVMTQSPDS LAVSLGERAT INCKSSQSLN NSRTRKNYLA WYQEKPGQPP 50  
 KLLIYWASTR ESGVPDFRFSG SGGSGTDFTLT ISSLQAEDVA VYCTQSFIL 100  
 RTFGQGTKEV IKRTVAAPSV FIFPPSDEQL KSGTASVKCL LNIFYPREAK 150  
 VQWKVDNALQ SGNSQESVTE QDSKSTYSLS SSTLTLKAD YEKHKVYACE 200  
 VTHQGLSSPV TKSFNRGEC

**Post-translational modifications**

Disulfide bridges location / Position des ponts disulfure / Posiciones de los puentes disulfuro

Intra-H (C23-C104) 22-96 139-195 256-316 362-420  
 22"-96" 146"-202" 263"-323" 369"-427"

Intra-L (C23-C104) 23"-88" 138"-198"  
 23"-94" 139"-199"

Inter-H-L (h 5-CL 126) 215-218" 222"-219"  
 Inter-H-H (h 11, h 14) 221-228" 224-231"

No N-glycosylation sites / pas de sites de N-glycosylation / ninguna posición de N-glicosilación  
 H CH2 N84,4-G (G1v30): 292, 299"

C-terminal lysine clipping / Coupure de la lysine C-terminale / Recorte de lisina C-terminal  
 H CHS K2: 442, 449"

**linustedastatum**

linustedastat

3-[(17E)-4-fluoro-17-(hydroxyimino)estra-1,3,5(10)-trien-15β-yl]-N-(5-fluoropyridin-2-yl)propanamide  
*hydroxysteroid 17-beta dehydrogenase 1 (HSD17B1) inhibitor*

linustedastat

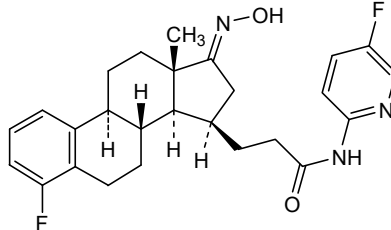
3-[(17E)-4-fluoro-17-(hydroxyimino)estra-1,3,5(10)-trién-15β-yl]-N-(5-fluoropyridin-2-yl)propanamide  
*inhibiteur de la 17-bêta-hydroxystéroïde déshydrogénase 1 (HSD17B1)*

linustedastat

3-[(17E)-4-fluoro-17-(hidroxiimino)estra-1,3,5(10)-trien-15β-il]-N-(5-fluoropiridin-2-il)propanamida  
*inhibidor de la hidroxiesteroide 17-beta deshidrogenasa 1 (HSD17B1)*

C<sub>26</sub>H<sub>29</sub>F<sub>2</sub>N<sub>3</sub>O<sub>2</sub>

2254299-48-2



**lirodegimodum**

lirodegimod

[(3S,6<sup>2</sup>S,6<sup>4</sup>R,8S,17S,20<sup>5</sup>S,20<sup>8</sup>S,20<sup>10a</sup>R)-20<sup>3</sup>-acetyl-17-(3-amino-3-oxopropyl)-8-*tert*-butyl-14<sup>2</sup>-chloro-6<sup>4</sup>-hydroxy-1<sup>4</sup>,3-dimethyl-5,7,10,19,20<sup>6</sup>,22-hexaoxo-20<sup>1</sup>,20<sup>2</sup>,20<sup>3</sup>,20<sup>4</sup>,20<sup>5</sup>,20<sup>6</sup>,20<sup>8</sup>,20<sup>9</sup>,20<sup>10</sup>,20<sup>10a</sup>-decahydro-23<sup>1</sup>*H*-15-oxa-4,9,18,21-tetraaza-20(8,5)-pyrrolo[1,2-*a*][1,5]diazocina-23(2)-indola-1(5)-[1,3]thiazola-6(2,1)-pyrrolidina-2(1,4),14(1,3)-dibenzénatricosaphane-23<sup>5</sup>-carbonyl]phosphonic acid  
*STAT3 (signal transducer and activator of transcription 3) degradation inducer, antineoplastic*

lirodégimod

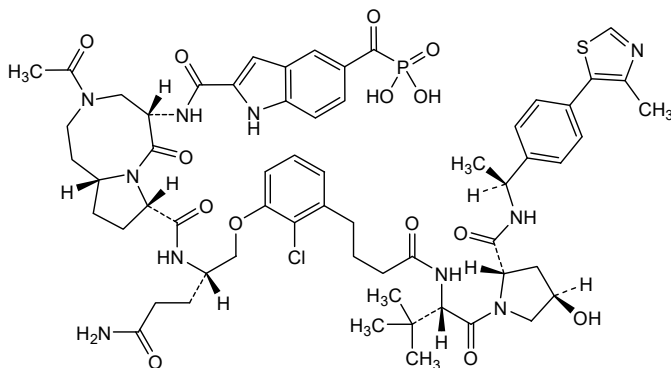
acide [(3S,6<sup>2</sup>S,6<sup>4</sup>R,8S,17S,20<sup>5</sup>S,20<sup>8</sup>S,20<sup>10a</sup>R)-20<sup>3</sup>-acétyl-17-(3-amino-3-oxopropyl)-8-*tert*-butyl-14<sup>2</sup>-chloro-6<sup>4</sup>-hydroxy-1<sup>4</sup>,3-diméthyl-5,7,10,19,20<sup>6</sup>,22-hexaoxo-20<sup>1</sup>,20<sup>2</sup>,20<sup>3</sup>,20<sup>4</sup>,20<sup>5</sup>,20<sup>6</sup>,20<sup>8</sup>,20<sup>9</sup>,20<sup>10</sup>,20<sup>10a</sup>-décahydro-23<sup>1</sup>*H*-15-oxa-4,9,18,21-tétraaza-20(8,5)-pyrrolo[1,2-*a*][1,5]diazocina-23(2)-indola-1(5)-[1,3]thiazola-6(2,1)-pyrrolidina-2(1,4),14(1,3)-dibenzénatricosaphane-23<sup>5</sup>-carbonyl]fosfonique  
*inducteur de dégradation de STAT3 (transducteur de signal et activateur de transcription 3), antinéoplasique*

lirodegimod

ácido [(3S,6<sup>2</sup>S,6<sup>4</sup>R,8S,17S,20<sup>5</sup>S,20<sup>8</sup>S,20<sup>10a</sup>R)-20<sup>3</sup>-acetil-17-(3-amino-3-oxopropil)-8-*terc*-butil-14<sup>2</sup>-cloro-6<sup>4</sup>-hidroxi-1<sup>4</sup>,3-dimetil-5,7,10,19,20<sup>6</sup>,22-hexaoxo-20<sup>1</sup>,20<sup>2</sup>,20<sup>3</sup>,20<sup>4</sup>,20<sup>5</sup>,20<sup>6</sup>,20<sup>8</sup>,20<sup>9</sup>,20<sup>10</sup>,20<sup>10a</sup>-decahidro-23<sup>1</sup>*H*-15-oxa-4,9,18,21-tetraaza-20(8,5)-pirrolo[1,2-*a*][1,5]diazocina-23(2)-indola-1(5)-[1,3]thiazola-6(2,1)-pirrolidina-2(1,4),14(1,3)-dibencenatricosafano-23<sup>5</sup>-carbonil]fosfónico  
*inductor de la degradación de STAT3 (transductor de señal y activador de la transcripción 3), antineoplásico*

C<sub>60</sub>H<sub>74</sub>ClN<sub>10</sub>O<sub>14</sub>PS

2502186-79-8

**lomedecitinibum**

lomedecitinib

4-[[3-(methanesulfonyl)pyridin-2-yl]amino]-*N*-(<sup>2</sup>H<sub>3</sub>)methyl-6-[(1*R*)-spiro[2.2]pentane-1-carboxamido]pyridazine-3-carboxamide  
*Janus kinase inhibitor, anti-inflammatory*

lomédecitinib

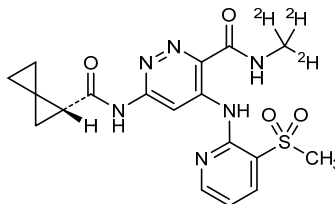
4-[[3-(méthanesulfonyl)pyridin-2-yl]amino]-*N*-(<sup>2</sup>H<sub>3</sub>)méthyl-6-[(1*R*)-spiro[2.2]pentane-1-carboxamido]pyridazine-3-carboxamide  
*inhibiteur de la kinase de Janus, anti-inflammatoire*

lomedecutinib

6-[(1*R*)-espiro[2.2]pentano-1-carboxamido]-4-[[3-(metanosulfonyl)piridin-2-il]amino]-*N*-(<sup>2</sup>H<sub>3</sub>)metilpiridazina-3-carboxamida  
*inhibidor de la kinasa de Janus, antiinflamatorio*

C<sub>18</sub>H<sub>17</sub><sup>2</sup>H<sub>3</sub>N<sub>6</sub>O<sub>4</sub>S

2328068-29-5

**lonimecgenum renparvovecum #**

lonimecгене renparvovec

recombinant, self-complementary (dimeric), non-replicating adeno-associated virus serotype 9 (scAAV9) vector encoding a miniaturised form of human methyl-CpG binding protein 2 (MECP2) containing the methyl-CpG-binding domain (MBD) and the NCoR/SMRT (silencing mediator of retinoic acid and thyroid hormone receptor) interaction domain (NID), under the control of a fragment of the mouse MECP2 promoter. The 3' untranslated region is designed to decrease protein expression through RNA interference by containing a microRNA (miR) Responsive Auto-Regulatory Element (miRARE) inserted into the replication dependent histone 1 (RDH1) polyadenylation region. The construct is flanked by adeno-associated virus 2 (AAV2) inverted terminal repeats (ITRs)  
*gene therapy (Rett syndrome)*

lonimecгène renparvovec

vecteur recombinant, auto-complémentaire (dimère), non répliquant du virus adéno-associé de sérotype 9 (scAAV9) codant une forme miniaturisée de la protéine 2 humaine de liaison au méthyl-CpG (MECP2) contenant le domaine de liaison au méthyl-CpG (MBD) et le domaine d'interaction (NID) des NCOR/SMRT (corépresseurs transcriptionnels des récepteurs des hormones thyroïdiennes et de l'acide), sous le contrôle d'un fragment du promoteur du MECP2 de souris. La région 3' non traduite a été conçue pour diminuer l'expression protéique grâce à l'interférence ARN en contenant un élément autorégulateur sensible aux micro-ARN (MiR) (miRARE) inséré dans la région de polyadénylation de l'histone 1 dépendante de la réplication (RDH1). La construction est flanquée de répétitions terminales inversées (ITR) du virus adéno-associé 2 (AAV2)  
*thérapie génique (syndrome de Rett)*

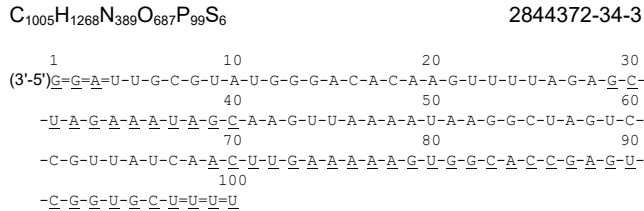
lonimecгén renparvovec

vector de virus adenoasociado serotipo 9 recombinante, autocomplementario (dimérico), no replicativo (scAAV9) que codifica para una forma miniaturizada de la proteína 2 de unión a metil-CpG (MECP2) humana que contiene el dominio de unión a metil-CpG (MBD) y el domino de interacción (NID)









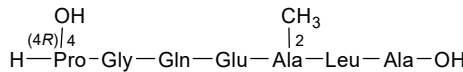
N : nucleoside / nucléoside / nucleósido  
N : 2'-O-methyl-N / 2'-O-méthyl-N / 2'-O-metil-N  
 - : -PO(OH)- =: -PO(SH)-

**lorutengitidum**

lorutengitide (4R)-4-hydroxy-L-prolylglycyl-L-glutaminy-L-α-glutamyl-2-methylalanyl-L-leucyl-L-alanine  
*transcriptional regulator, antiproliferative*

lorutengitide (4R)-4-hydroxy-L-prolylglycyl-L-glutaminy-L-α-glutamyl-2-méthylalanyl-L-leucyl-L-alanine  
*régulateur transcriptionnel, antiprolifératif*

lorutengitida (4R)-4-hidroxi-L-proliilglicil-L-glutaminil-L-α-glutamil-2-metilalanil-L-leucil-L-alanina  
*regulador transcripcional, antiproliferativo*



**lucorafuspum alfa #**

lucorafusp alfa

humanized immunoglobulin G4-kappa, anti-[human TIGIT (T cell immunoreceptor with Ig domain and ITIM, V-set Ig member 9, VSIG9, V-set and transmembrane member 3, VSTM3)] fused at the C-terminus of the heavy chain, via a (G<sub>4</sub>S)<sub>4</sub> peptide linker, to a fragment of the mature extracellular domain of human TGF-beta receptor type-2, glycoform alfa;  
 gamma 4 heavy chain (1-447) [VH (*Homo sapiens* IGHV4-30-4\*01 - (IGHD) -IGHJ4\*01, CDR-Kabat [6.16.12] (31-36.51-66.99-110)) (1-121) -*Homo sapiens* IGHG4\*01 (CH1 (122-219), hinge S<sup>229</sup>>P (220-231), CH2 F<sup>235</sup>>A, L<sup>236</sup>>A (232-341), CH3 (342-446), CHS K<sup>448</sup>>del (447)) (122-447)] fused via a (G<sub>4</sub>S)<sub>4</sub> peptide linker (448-467) to human TGF-beta receptor type-2 (TGFR-2, TGFB2, transforming growth factor-beta receptor type II, TGFβ type II receptor, TGFβRII) extracellular domain fragment 23-159, [T<sup>23</sup>>G<sup>468</sup>, S<sup>31</sup>>T<sup>476</sup>]-variant (468-604 in the current sequence), (135-214')-disulfide with kappa light chain (1'-214') [V-KAPPA (*Homo sapiens* IGKV1-39\*01 -IGKJ1\*01, CDR-Kabat [11.7.9] (24'-34'.50'-56'.89'-97')) (1'-107') -*Homo sapiens* IGKC\*01 (108'-214')]; dimer (227-227":230-230")-bisdisulfide, produced in Chinese hamster ovary (CHO) cells, glycoform alfa  
*immunomodulator, antineoplastica*

lucorafusp alfa

immunoglobuline G4-kappa humanisée, anti-[TIGIT humain (immunorécepteur des lymphocytes T avec les domaines Ig et ITIM, membre 9 de l'Ig du groupe V, VSIG9, membre 3 transmembranaire du groupe V (V-set), VSTM3)] fusionnée à l'extrémité C-terminale de la chaîne lourde, via un peptide liant (G<sub>4</sub>S)<sub>4</sub>, à un fragment du domaine extracellulaire mature du récepteur humain du TGF-β de type 2, glycoforme alfa;

chaîne lourde gamma 4 (1-447) [VH (*Homo sapiens* IGHV4-30-4\*01 -(IGHD)-IGHJ4\*01, CDR-Kabat [6.16.12] (31-36.51-66.99-110)) (1-121) -*Homo sapiens* IGHG4\*01 (CH1 (122-219), charnière S<sup>229</sup>>P (220-231), CH2 F<sup>235</sup>>A, L<sup>236</sup>>A (232-341), CH3 (342-446), CHS K<sup>448</sup>>del (447)) (122-447)] fusionné via un peptide liant (G<sub>4</sub>S)<sub>4</sub> (448-467) au récepteur humain du TGF-β de type 2 (TGFR-2, TGFBR2, récepteur de type II du facteur de croissance transformant β, récepteur TGFβ type II, TGFβRII) fragment 23-159 du domaine extracellulaire, [T<sup>23</sup>>G<sup>468</sup>, S<sup>31</sup>>T<sup>476</sup>]-variant (468-604 dans la séquence actuelle), (135-214')-disulfure avec la chaîne légère kappa (1'-214') [V-KAPPA (*Homo sapiens* IGKV1-39\*01 -IGKJ1\*01, CDR-Kabat [11.7.9] (24'-34'.50'-56'.89'-97')) (1'-107') -*Homo sapiens* IGKC\*01 (108'-214')]; dimère (227-227":230-230")-bisdisulfure, produit dans des cellules ovariennes de hamster chinois (CHO), glycoforme alfa *immunomodulateur, antinéoplasique*

lucorafusp alfa

immunoglobulina G4-kappa humanizada, anti-[humana TIGIT (inmunoreceptor de células T con dominio Ig e ITIM, V-set Ig miembro 9, VSIG9, V-set y transmembrana miembro 3, VSTM3)] fusionado en el terminal C de la cadena pesada, a través del enlace peptídico (G<sub>4</sub>S)<sub>4</sub>, a un fragmento de dominio extracelular maduro del receptor humano TGF-beta tipo-2, glicofoma alfa;

cadena pesada gamma 4 (1-447) [VH (*Homo sapiens* IGHV4-30-4\*01 -(IGHD)-IGHJ4\*01, CDR-Kabat [6.16.12] (31-36.51-66.99-110)) (1-121) -*Homo sapiens* IGHG4\*01 (CH1 (122-219), bisagra S<sup>229</sup>>P (220-231), CH2 F<sup>235</sup>>A, L<sup>236</sup>>A (232-341), CH3 (342-446), CHS K<sup>448</sup>>del (447)) (122-447)] fusionado a través de un (G<sub>4</sub>S)<sub>4</sub> enlace peptídico (448-467) al receptor tipo 2 humano TGF-beta (TGFR-2, TGFBR2, receptor del factor de crecimiento transformador beta de tipo II, receptor tipo III TGFβ, TGFβRII) fragmento del dominio extracelular 23-159, [T<sup>23</sup>>G<sup>468</sup>, S<sup>31</sup>>T<sup>476</sup>]-variante (468-604 en la secuencia actual), (135-214')-disulfuro con la cadena ligera kappa (1'-214') [V-KAPPA (*Homo sapiens* IGKV1-39\*01 -IGKJ1\*01, CDR-Kabat [11.7.9] (24'-34'.50'-56'.89'-97')) (1'-107') -*Homo sapiens* IGKC\*01 (108'-214')]; dímero (227-227":230-230")-bisdisulfuro, producido en las células ováricas de hámster chino (CHO), glicofoma alfa *immunomodulador, antineoplásico*

2769742-99-4

Sequence / Séquence / Secuencia

IgG4-TGFBR2 heavy chain

DVQLQESGPG	LVKPSQTL <del>SL</del>	TCTVSGHSFT	SDYAWSWIRQ	PPGKGLEWIG	050
YISYSDSTNY	NPSL <del>KSRVTI</del>	SRDTSKNQFS	LKLS <del>SVTAAD</del>	TAVYYCARLD	100
YGNYGAMDY	WGQGTSTVTS	SASTKGPSVF	FLAPCSRSTS	ESTAALGLCV	150
KDYFPEPVTV	SWNSGALTSG	VHTFPAVLQS	SGLYSLSSVV	TVPSSSLG <del>TK</del>	200
TYTCNV <del>DH</del> KP	SN <del>TKVDK</del> RVE	SKYGPPCP <del>PC</del>	PAPEA <del>A</del> GGPS	VFLFP <del>PKPKD</del>	250
TLMISRTPEV	TCVVVDV <del>SQE</del>	DPEVQFNWYV	DGVEVHNAKT	KPREEQFNST	300
YRVVSVLTVL	HQD <del>WLNGKEY</del>	KCKVSNKGLP	SSIEKTISKA	KGQPREPQVY	350
TLPPSQEEMT	KNQVSLTCLV	KGFYPSDIAV	EWESNGQPEN	NYKTTT <del>PPVLD</del>	400
SDGSFFLYSR	LTVDKSRWQE	GNVFSCSVMH	EALHNHYTQK	SLSLSLGGGG	450
<u>GGGGGGGGG</u>	<u>GGGGGGGIP</u>	<u>PHVQKTVNND</u>	<u>MIVTDNNGAV</u>	<u>KFPQLCKFKCD</u>	500
<u>VRFSTCDNQK</u>	<u>SCMSNCSTIS</u>	<u>ICEKPKQEVCV</u>	<u>AVWRKNDENI</u>	<u>TLETVCHDPK</u>	550
<u>LPYHDFILED</u>	<u>AASPKCIMKE</u>	<u>KKKPGETFFM</u>	<u>CSCSSDECDN</u>	<u>NIIFSEEYNT</u>	600
SNPD					604

IgG4 light chain

DIQMTQSPSS	LSASVGD <del>RVT</del>	ITCRSSQHVS	TALAWYQ <del>KPK</del>	GKSPKLLIYS	050
ASSRYS <del>GV</del> PD	R <del>FSGSGSGTD</del>	FTFTI <del>SSLQP</del>	EDFATYYC <del>QQ</del>	HYITP <del>WTF</del> GG	100
GTKLEIK <del>R</del> TV	AAPS <del>VFI</del> FP	SDEQLK <del>SGTA</del>	SVVCLLN <del>NFY</del>	P <del>RE</del> AKV <del>Q</del> W <del>KV</del>	150
DNALQSGNSQ	ESVTEQ <del>DSK</del>	STYSL <del>STLT</del>	LSKADY <del>E</del> KHK	VYACEV <del>TH</del> QG	200
LSSPV <del>TKS</del> FN	R <del>GE</del> C				214

Mutation / Mutation / Mutación

S<sup>229</sup>,S<sup>229</sup>>P, F<sup>235</sup>,F<sup>235</sup>>A, L<sup>236</sup>,L<sup>236</sup>>A, T<sup>23</sup>>G,G<sup>468</sup>,G<sup>468</sup>", S<sup>31</sup>>T<sup>476</sup>,I<sup>476</sup>", K<sup>448</sup>,K<sup>448</sup>>del

Peptide linker / Peptide liant / Péptido de unión

IgG4-TGFBR2: <sup>448</sup>GGGGGGGGGGGGGGGGGGGG<sup>467</sup>

Post-translation modifications

Disulfide bridges location / Position des ponts disulfure / Posiciones de los puentes disulfuro

Intra heavy chain: 22-96, 148-204, 262-322, 368-426  
 22"-96", 148"-204", 262"-322", 368"-426"  
 Intra light chain: 23'-88', 134'-194'; 23"- 88", 134"-194"  
 Inter heavy-light chain: 135'-214', 135"-214"  
 Inter heavy-heavy chain 227-227", 230-230"  
 Intra TGFBR2: 496-529, 499-516, 506-512, 522-546, 566-581, 583-588  
 496"-529", 499"-516", 506"-512", 522"-546", 566"-581", 583"-588"

N-glycosylation sites / Sites de N-glycosylation / Posiciones de N-glicosilación

IgG4-TGFBR2: 298, 515, 539; 298", 515", 539"

**lumistobartum #**  
lumistobart

immunoglobulin G1-kappa, anti-[*Homo sapiens* SIRPA (signal regulatory protein alpha, SHPS1, protein tyrosine phosphatase non-receptor type substrate 1, PTPNS1, SIRP, SIRP alpha, CD172a)], humanized monoclonal antibody;  
 H-gamma1 heavy chain humanized (1-448) [VH (*Homo sapiens*IGHV4-31\*02 (93.9%) -(IGHD)-IGHJ4\*01 (86.7%) L123>T (113), CDR-IMGT [9.7.11] (26-34.52-58.97-107)) (1-118) -*Homo sapiens*IGHG1\*03v, G1m3>G1m17, nG1m1 CH1 K120, CH3 E12, M14, G1v29 CH2 A84.4 (CH1 R120>K (215) (119-216), hinge 1-15 (217-231), CH2 N84.4>A (298) (232-341), CH3 E12 (357), M14 (359) (342-446), CHS (447-448)) (119-448)], (221-220')-disulfide with L-kappa light chain humanized (1'-220') [V-KAPPA (*Homo sapiens*IGKV4-1\*01 (91.1%) -IGKJ2\*01 (100%), CDR-IMGT [12.3.9] (27'-38'.56'-58'.95'-103')) (1'-113')] -*Homo sapiens*IGKC\*01 (100%), Km3 A45.1 (159), V101 (197') (114'-220')]; dimer (227-227":230-230")-bisdisulfide, produced in Chinese hamster ovary (CHO) cells, cell line CHO-S, non-glycosylated  
*immunostimulant, antineoplastic*

lumistobart immunoglobuline G1-kappa, anti-[*Homo sapiens* SIRPA (protéine alpha régulatrice du signal, SHPS1, substrat 1 de protéine tyrosine phosphatase de type non-récepteur, PTPNS1, SIRP, SIRP alpha, CD172a)]; anticorps monoclonal humanisé;  
chaîne lourde H-gamma1 humanisée (1-448) [VH (*Homo sapiens* IGHV4-31\*02 (93.9%) -(IGHD) -IGHJ4\*01 (86.7%) L123>T (113), CDR-IMGT [9.7.11] (26-34.52-58.97-107)) (1-118) -*Homo sapiens* IGHG1\*03v, G1m3>G1m17, nG1m1 CH1 K120, CH3 E12, M14, G1v29 CH2 A84.4 (CH1 R120>K (215) (119-216), charnière 1-15 (217-231), CH2 N84.4>A (298) (232-341), CH3 E12 (357), M14 (359) (342-446), CHS (447-448)) (119-448)], (221-220')-disulfure avec la chaîne légère L-kappa humanisée (1'-220') [V-KAPPA (*Homo sapiens* IGKV4-1\*01 (91.1%) -IGKJ2\*01 (100%), CDR-IMGT [12.3.9] (27'-38'.56'-58'.95'-103')) (1'-113') -*Homo sapiens* IGKC\*01 (100%), Km3 A45.1 (159'), V101 (197') (114'-220')]; dimère (227-227'':230-230'')-bisdisulfure, produit dans des cellules ovariennes de hamster chinois (CHO), lignée cellulaire CHO-S, non-glycosylé  
*immunostimulant, antinéoplasique*

lumistobart inmunoglobulina G1-kappa, anti-[*Homo sapiens* SIRPA (proteína alfa reguladora de la señal, SHPS1, sustrato 1 de proteína tirosina fosfatasa de tipop no receptor, PTPNS1, SIRP, SIRP alfa, CD172a)]; anticuerpo monoclonal humanizado;  
cadena pesada H-gamma1 humanizada (1-448) [VH (*Homo sapiens* IGHV4-31\*02 (93.9%) -(IGHD) -IGHJ4\*01 (86.7%) L123>T (113), CDR-IMGT [9.7.11] (26-34.52-58.97-107)) (1-118) -*Homo sapiens* IGHG1\*03v, G1m3>G1m17, nG1m1 CH1 K120, CH3 E12, M14, G1v29 CH2 A84.4 (CH1 R120>K (215) (119-216), bisagra 1-15 (217-231), CH2 N84.4>A (298) (232-341), CH3 E12 (357), M14 (359) (342-446), CHS (447-448)) (119-448)], (221-220')-disulfuro con la cadena ligera L-kappa humanizada (1'-220') [V-KAPPA (*Homo sapiens* IGKV4-1\*01 (91.1%) -IGKJ2\*01 (100%), CDR-IMGT [12.3.9] (27'-38'.56'-58'.95'-103')) (1'-113') -*Homo sapiens* IGKC\*01 (100%), Km3 A45.1 (159'), V101 (197') (114'-220')]; dímero (227-227'':230-230'')-bisdisulfuro, producido en las células ováricas de hámster chino (CHO), línea celular CHO-S, no glicosilado  
*inmunoestimulante, antineoplásico*

2851923-91-4

Heavy chain / Chaîne lourde / Cadena pesada : H-gamma1 (H, H<sup>m</sup>) anti-SIRPA  
 QVQLQESGPG LVPKPSQTL LSL TCTVSGGSIS SGYVWSWIRQ HPGKLEWEG 50  
 YISYDGSRYN NPSLKNRVTI SVDTSKNQFSL LKLLSVTAAD TAVVYCAREE 100  
 YANFYAYWQG GTTVTVSSAS TKGPSVFPPLA PSSKSTSGGT AALGLVKVDY 150  
 FPEPVTWSN SGALTSVGHV FFAVLQSSGL YSLSSVVTVP SSSLGTQTYI 200  
 CNVNHKPSNT KVDKKEVPEKS CDKTHTCPCP PAPELLGGPS VFLFPPKPKD 250  
 TLMISRTPEV TCVVVDVSHS DPEVKFNWYV DGEVHNAKT KPREEQYAST 300  
 YRVVSLTVL HQDVLNGKEY KCKVSNKALP APIEKTISKA KGQPREPQVY 350  
 TLPSPREEMT KNQVSLTCLV KGFYPSDIAV EWESNGQFEN NYKTPPEVLD 400  
 SDGSFFLYSK LTVDKSRWQQ GNVFSCSMH EALHNNHYTQK SLSLSPGK 448

Light chain / Chaîne légère / Cadena ligera : L-kappa (L', L<sup>m</sup>) anti-SIRPA  
 DIVMTQSPDS LAVSLGERAT INCKSSQSLF YSSNQKNFLA WYQQKPGQP 50  
 KLLIYWASTR ESGVPRDFTG SSGSTDFTLT ISSVKAEDLA VYQCQQYYSY 100  
 PPTFGQGTKL EIKRTVAAPS VFIFPPSDEQ LKSGTASVVC LLNMFYPREA 150  
 KVQNKVDNAL QSGNSQESVT EQDSKDYSTYS LSSTLTLSKA DYEKHKVYAC 200  
 EVTHQGLSSP VTKSFNRGEC 220

**Post-translational modifications**

Disulfide bridges location / Position des ponts disulfure / Posiciones de los puentes disulfuro

Intra-H (C23-C104) 22-96 145-201 262-322 368-426  
 22"-96" 145"-201" 262"-322" 368"-426"

Intra-L (C23-C104) 23'-94' 140'-200'  
 23"'-94"" 140""-200""

Inter-H-L (h 5-CL 126) 221-220' 221"-220"

Inter-H-H (h 11, h 14) 227-227" 230-230"

N-terminal glutaminyl cyclization / Cyclisation du glutaminyle N-terminal / Ciclación del glutamilo N-terminal

Q &gt; pyroglutamyl (pE, 5-oxopropyl) / pyroglutamyle (pE, 5-oxopropyle) / piroglutamilo (pE, 5-oxoprolilo)

H VH Q1: 1, 1"

No N-glycosylation sites / pas de sites de N-glycosylation / ningún posición de N-glycosilación  
H CH2 N84.4>A (G1v29): 298, 298"C-terminal lysine clipping / Coupeure de la lysine C-terminale / Recorte de lisina C-terminal  
H CHS K2: 448, 448"

**lunbotinibum**

lunbotinib

2-[6-(6-[[6-(4-fluoro-1*H*-pyrazol-1-yl)pyridin-3-yl]methyl]-3,6-diazabicyclo[3.1.1]heptan-3-yl)pyridin-3-yl]-6-methyl-*N*-(5-methyl-1*H*-pyrazol-3-yl)pyrimidin-4-amine  
*tyrosine kinase inhibitor, antineoplastic*

lunbotinib

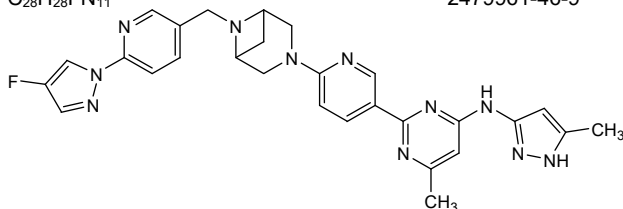
2-[6-(6-[[6-(4-fluoro-1*H*-pyrazol-1-yl)pyridin-3-yl]méthyl]-3,6-diazabicyclo[3.1.1]heptan-3-yl)pyridin-3-yl]-6-méthyl-*N*-(5-méthyl-1*H*-pyrazol-3-yl)pyrimidin-4-amine  
*inhibiteur de la tyrosine kinase, antinéoplasique*

lunbotinib

2-[6-(6-[[6-(4-fluoro-1*H*-pirazol-1-il)piridin-3-il]metil]-3,6-diazabicyclo[3.1.1]heptan-3-il)piridin-3-il]-6-metil-*N*-(5-metil-1*H*-pirazol-3-il)pirimidin-4-amina  
*inhibidor de la tirosina kinasa, antineoplásico*

C<sub>28</sub>H<sub>28</sub>FN<sub>11</sub>

2479961-46-9

**lunresertibum**

lunresertib

(1*P*)-2-amino-1-(3-hydroxy-2,6-dimethylphenyl)-5,6-dimethyl-1*H*-pyrrolo[2,3-*b*]pyridine-3-carboxamide  
*serine/ threonine kinase inhibitor, antineoplastic*

lunrésertib

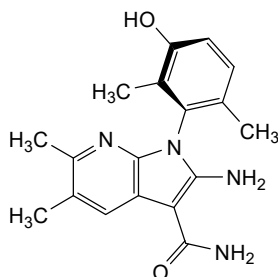
(1*P*)-2-amino-1-(3-hydroxy-2,6-diméthylphényl)-5,6-diméthyl-1*H*-pyrrolo[2,3-*b*]pyridine-3-carboxamide  
*inhibiteur de sérine/ thréonine kinase, antinéoplasique*

lunresertib

(1*P*)-2-amino-1-(3-hidroxi-2,6-dimetilfenil)-5,6-dimetil-1*H*-pirrolo[2,3-*b*]piridina-3-carboxamida  
*inhibidor de serina/ treonina kinasa, antineoplásico*

C<sub>18</sub>H<sub>20</sub>N<sub>4</sub>O<sub>2</sub>

2719793-90-3



**lutetium (<sup>177</sup>Lu) rosopatamabum tetraxetanum #**lutetium (<sup>177</sup>Lu) rosopatamab tetraxetan

immunoglobulin G1-kappa, anti-[*Homo sapiens* FOLH1 (folate hydrolase, prostate specific membrane antigen, PSMA)], lutetium (<sup>177</sup>Lu) radiolabelled *tetraxetan* conjugate ;  
 H-gamma1 heavy chain (1-445) [VH Musmus/Homsap (*Mus musculus* IGHV1-26\*01 (78.4%) -(IGHD) -IGHJ2\*01 (92.9%) T123>L (110)/*Homo sapiens* IGHV1-69-2\*01 (76.3%) -(IGHD) -IGHJ4\*01 (92.9%) V124>L (111), CDR-IMGT [8.8.8] (26-33.51-58.97-104)) (1-115) -*Homo sapiens* IGHG1\*01 (100%), G1m17,1 CH1 K120, CH3 D12, L14 (CH1 K120 (212) (116-213), hinge 1-15 (214-228), CH2 (229-338), CH3 D12 (354), L14 (356) (339-443), CHS (444-445)) (116-445)], (218-214')-disulfide with L-kappa light chain (1'-214') [V-KAPPA Musmus/Homsap (*Mus musculus* IGKV6-23\*01 (81.8%) -IGKJ2\*03 (72.7%) S120>P (100), L124>V (104), E125>D (105)/*Homo sapiens* IGKV1-13\*02 (78.7%) -IGKJ3\*01 (91.7%), CDR-IMGT [6.3.9] (27'-32'.50'-52'.89'-97')) (1'-107') -*Homo sapiens* IGKC\*01 (100%), Km3 A45.1 (153'), V101 (191') (108'-214')]; dimer (224-224":227-227")-bisdisulfide, produced in Chinese hamster ovary (CHO) cells, cell line CHO-K1, glycoform alfa; conjugated via the side chain nitrogen of an average of 4 lysine residues to lutetium (<sup>177</sup>Lu) radiolabelled 2-[4,7,10-tris(carboxymethyl)-1,4,7,10-tetraazacyclodecan-1-yl]acetyl (*tetraxetan*, DOTA) *antineoplastic*

lutécium (<sup>177</sup>Lu) rosopatamab tétraxétan

immunoglobuline G1-kappa, anti-[*Homo sapiens* FOLH1 (folate hydrolase, antigène membranaire spécifique de la prostate, PSMA)], conjugué au *tétraxétan* et radiomarcqué au lutécium (<sup>177</sup>Lu); chaîne lourde H-gamma1 (1-445) [VH Musmus/Homsap (*Mus musculus* IGHV1-26\*01 (78.4%) -(IGHD) -IGHJ2\*01 (92.9%) T123>L (110)/*Homo sapiens* IGHV1-69-2\*01 (76.3%) -(IGHD) -IGHJ4\*01 (92.9%) V124>L (111), CDR-IMGT [8.8.8] (26-33.51-58.97-104)) (1-115) -*Homo sapiens* IGHG1\*01 (100%), G1m17,1 CH1 K120, CH3 D12, L14 (CH1 K120 (212) (116-213), charnière 1-15 (214-228), CH2 (229-338), CH3 D12 (354), L14 (356) (339-443), CHS (444-445)) (116-445)], (218-214')-disulfure avec la chaîne légère L-kappa (1'-214') [V-KAPPA Musmus/Homsap (*Mus musculus* IGKV6-23\*01 (81.8%) -IGKJ2\*03 (72.7%) S120>P (100), L124>V (104), E125>D (105)/*Homo sapiens* IGKV1-13\*02 (78.7%) -IGKJ3\*01 (91.7%), CDR-IMGT [6.3.9] (27'-32'.50'-52'.89'-97')) (1'-107') -*Homo sapiens* IGKC\*01 (100%), Km3 A45.1 (153'), V101 (191') (108'-214')]; dimère (224-224":227-227")-bisdisulfure, produit dans des cellules ovariennes de hamster chinois (CHO), lignée cellulaire CHO-K1, glycoforme alfa; conjugué par l'azote de la chaîne latérale de 4 résidus lysine en moyenne au 2-[4,7,10-tris(carboxyméthyl)-1,4,7,10-tétraazacyclodécane-1-yl]acétyle (*tétraxétan*, DOTA) et radiomarcqué au lutécium (<sup>177</sup>Lu) *antineoplasique*

lutecio ( $^{177}\text{Lu}$ ) rosopatamab tetraxetán

inmunoglobulina G1-kappa, anti-[*Homo sapiens* FOLH1 (folato hidrolasa, antígeno membranario específico de la próstata, PSMA)], conjugado al *tetraxetán* radiomarcado con lutecio ( $^{177}\text{Lu}$ ); cadena pesada H-gamma1 (1-445) [VH Musmus/Homsap (*Mus musculus* IGHV1-26\*01 (78.4%) -(IGHD) -IGHJ2\*01 (92.9%) T123>L (110)/*Homo sapiens* IGHV1-69-2\*01 (76.3%) -(IGHD) -IGHJ4\*01 (92.9%) V124>L (111), CDR-IMGT [8.8.8] (26-33.51-58.97-104)] (1-115) -*Homo sapiens* IGHG1\*01 (100%), G1m17,1 CH1 K120, CH3 D12, L14 (CH1 K120 (212) (116-213), bisagra 1-15 (214-228), CH2 (229-338), CH3 D12 (354), L14 (356) (339-443), CHS (444-445)) (116-445)], (218-214')-disulfuro con la cadena ligera L-kappa (1'-214') [V-KAPPA Musmus/Homsap (*Mus musculus* IGHV6-23\*01 (81.8%) -IGKJ2\*03 (72.7%) S120>P (100), L124>V (104), E125>D (105)/*Homo sapiens* IGHV1-13\*02 (78.7%) -IGKJ3\*01 (91.7%), CDR-IMGT [6.3.9] (27'-32'.50'-52'.89'-97'') (1'-107') -*Homo sapiens* IGKC\*01 (100%), Km3 A45.1 (153'), V101 (191') (108'-214'')]; dímero (224-224":227-227")-bisdisulfuro, producido en las células ováricas de hámster chino (CHO), línea celular CHO-K1, forma glicosilada alfa; conjugado por el nitrógeno de la cadena lateral de 4 residuos de lisina en promedio al 2-[4,7,10-tris(carboximetil)-1,4,7,10-tetraazacyclodecan-1-il]acetilo (*tetraxetán*, DOTA) y radiomarcado con lutecio ( $^{177}\text{Lu}$ )  
**antineoplásico**

2866236-96-4

## Heavy chain / Chaîne lourde / Cadena pesada

EVQLVQSGPE VKKPGATVKI SCKTSGYTFE EYTIHWVKQA PGKLEWIGN	50
INFNNGGTTY NQKPEDKATL TVDKSTDTAY MELSSLRSED TAVYCAAGW	100
NFDYWGQGTLL TVSSASTKG FSVFPLAPSS KSTSGGTAAL GCLVKDYFPE	150
PVTVSWNSGA LTSGVHTFPA VLQSSGLYSL SSVVTVFSSS LGTQYICNV	200
NHRFSTNTRVD KKVPEKSCDK THTCPPCPAP ELLGGPSSVFL FPPKPKDTLM	250
ISRTPEVTCV VVDVSHEDPE VKNFWYDVG EVHNARTKFR EEQYNSTYRV	300
VSVLTVLHQD WLNKEYKCK VSNKALPAPI ERTISKAKGQ PREPQVYTLF	350
PSRDELTKNQ VSLTCLVKGK YPSDIAVEWE SNGQPENNYK TTPPVLDSDG	400
SFFLYSKLTV DKSRWQQGNV FSCVMHEAL HNHYTQKSLS LSPGK	445

## Light chain / Chaîne légère / Cadena ligera

DIQMTQSPFS LSTSVGDRVT LTCKASQDVG TAVDWYQQPK GPSKLLIYW	50
ASTRHTGIPS RFGSGSGGTD FTLTISLQF EDFADYQCQQ YNSYPLTFGP	100
GTRVDIKRTV AAPSVFIFPP SDEQLKSGTA SVVCLLNFFY PREAKVQWKV	150
DNALQSGNSQ ESVTEQDSKD STYLSLSTLT LSKADYKHKH VYACEVTHQG	200
LSSPVTKSFN RGEK	214

## Post-translational modifications

Disulfide bridges location / Position des ponts disulfure / Posiciones de los puentes disulfuro

Intra-H (C23-C104) 22"-96" 142"-198" 259"-319" 365"-423"  
22"-96" 142"-198" 259"-319" 365"-423"

Intra-L (C23-C104) 23"-88" 134"-194"  
23"-88" 134"-194"

Inter-H-L (h 5-CL 126) 218"-214" 218"-214"

Inter-H-H (h 11, h 14) 224"-224" 227"-227"

N-glycosylation sites / Sites de N-glycosylation / Posiciones de N-glicosilación

H CH2 N84.4: 295, 295"

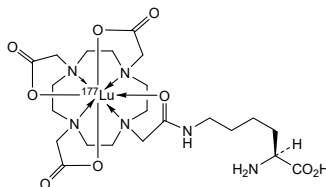
Fucosylated complex bi-antennary CHO-type glycans / glycanes de type CHO bi-antennaires complexes fucosylés / glicanos de tipo CHO biantennarios complejos fucosilados

C-terminal lysine clipping / Coupure de la lysine C-terminale / Recorte de lisina C-terminal

H CHS K2: 445, 445"

Potential modified residues / résidus modifiés potentiels / restos modificados potenciales\*

K

\*( $\text{N}^6$ - $^{177}\text{Lu}$ -lutetium tetraxetán)-L-lysine:mAb ~ 4:1)

**Iuvomeranum #**

Iuvomeran

messenger RNA (mRNA), 5' capped, encoding codon-optimised human cystic fibrosis transmembrane conductance regulator (hCFTR; channel conductance-controlling ATPase, cAMP-dependent chloride channel, ATP-binding cassette sub-family C member 7), flanked by 5' and 3' untranslated regions based on the *Mus musculus* histone H1.5 gene and the human haemoglobin subunit alpha (HBA1) gene, followed by a 3' polyadenylation (polyA) tail (containing a 100-nucleotide polyA sequence, a 5-nucleotide XbaI scar and a 20-nucleotide polyA sequence ending with an inverted dT); contains N<sup>1</sup>-methylpseudouridine instead of uridine (*all-U>m<sup>1</sup>Ψ*)

*messenger RNA encoding cystic fibrosis transmembrane regulator (CFTR)*

Iuvoméran

ARN messenger (ARNm), coiffé en 5', codant le régulateur de conductance transmembranaire de la mucoviscidose humaine aux codons optimisés (hCFTR; canal ATPase contrôlant la conductance, canal chlorure dépendant de l'AMPc, membre 7 de la sous-famille C des cassettes de liaison à l'ATP), flanqué de régions 5' et 3' non traduites basées sur le gène de l'histone H1.5 de *Mus musculus* et du gène de la sous-unité alpha de l'hémoglobine humaine (HBA1), suivies d'une queue de polyadénylation (polyA) en 3' (contenant une séquence polyA de 100 nucléotides, une cicatrice XbaI de 5 nucléotides et une séquence polyA de 20 nucléotides se terminant par un dT inversé); contient de la N<sup>1</sup>-méthylpseudouridine à la place de l'uridine (*tout-U>m<sup>1</sup>Ψ*)

*ARN messenger codant pour le régulateur transmembranaire de la fibrose kystique (CFTR)*

Iuvomerán

ARN mensajero (ARNm), protegido en 5', que codifica, con codones optimizados, para el regulador de conductancia transmembrana de la fibrosis quística humana (hCFTR; ATPasa controladora de la conductancia de canal, canal de cloro dependiente de cAMP, miembro 7 de la subfamilia C del casete de unión a ATP), flanqueado por regiones sin traducir 5' y 3' basadas en el gen de la histona H1.5 de *Mus musculus* y el gen de la subunidad alfa de la hemoglobina humana (HBA1), seguido de una cola de poliadenilación (Poli A) en 3' (que contiene una secuencia poli A de 100 nucleótidos, una cicatriz XbaI de 5 nucleótidos y una secuencia poli A de 20 nucleótidos que termina en un dT invertido); contiene N<sup>1</sup>-metilpseudouridina en lugar de uridina (*todo-U>m<sup>1</sup>Ψ*)

*ARN mensajero que codifica el regulador transmembrana de la fibrosis quística (CFTR)*

2845125-98-4



**mangaciclolanol**

mangaciclolanol

[1,1'-([6-methyl-3,6,9-triaza-1(2,6)-pyridinacyclodecaphane-3,9-diyl-κ<sup>4</sup>N<sup>1</sup>,N<sup>3</sup>,N<sup>6</sup>,N<sup>8</sup>)]bis{[(4Ξ)-4-(carboxylato-κO)-1-oxobutane-4,1-diyl]azanediyl}bis(1-deoxy-D-glucitol)]manganese *diagnostic imaging agent*

mangaciclolanol

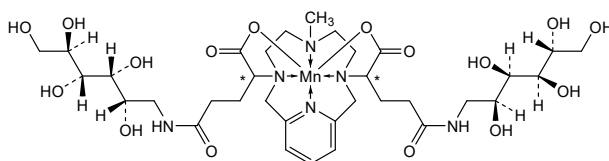
[1,1'-([6-méthyl-3,6,9-triaza-1(2,6)-pyridinacyclodécaphane-3,9-diyl-κ<sup>4</sup>N<sup>1</sup>,N<sup>3</sup>,N<sup>6</sup>,N<sup>8</sup>)]bis{[(4Ξ)-4-(carboxylato-κO)-1-oxobutane-4,1-diyl]azanediyl}bis(1-désoxy-D-glucitol)]manganèse *agent d'imagerie diagnostique*

mangaciclolanol

[1,1'-([6-metil-3,6,9-triaza-1(2,6)-piridinaciodecafanó-3,9-diil-κ<sup>4</sup>N<sup>1</sup>,N<sup>3</sup>,N<sup>6</sup>,N<sup>8</sup>)]bis{[(4Ξ)-4-(carboxilato-κO)-1-oxobutano-4,1-diil]azanodiil}bis(1-desoxy-D-glucitol)]manganese *agente de diagnóstico por imagen*

C<sub>34</sub>H<sub>56</sub>MnN<sub>6</sub>O<sub>16</sub>

2169771-05-3

**matsupexolum**

matsupexole

(4aR,6R,8aR)-2-amino-3-cyano-N-[[2-(dimethylamino)ethyl]carbamoyl]-8-methyl-N-propyl-4,4a,5,6,7,8,8a,9-octahydrothieno[3,2-g]quinoline-6-carboxamide  
*dopamine receptor agonist*

matsupexole

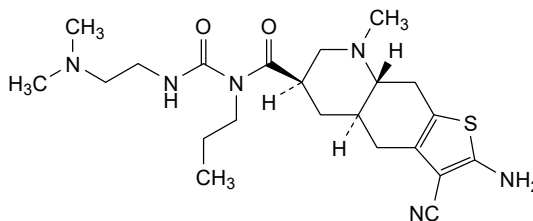
(4aR,6R,8aR)-2-amino-3-cyano-N-[[2-(diméthylamino)éthyl]carbamoil]-8-méthyl-N-propyl-4,4a,5,6,7,8,8a,9-octahydrothiéno[3,2-g]quinoléine-6-carboxamide  
*agoniste des récepteurs de la dopamine*

matsupexol

(4aR,6R,8aR)-2-amino-3-ciano-N-[[2-(dimetilamino)etil]carbamoil]-8-metil-N-propil-4,4a,5,6,7,8,8a,9-octahidrotieno[3,2-g]quinoleína-6-carboxamida  
*agonista de los receptores dopaminérgicos*

C<sub>22</sub>H<sub>34</sub>N<sub>6</sub>O<sub>2</sub>S

1399442-97-7



**micvotabartum #**  
micvotabart

immunoglobulin G1-kappa, anti-[*Homo sapiens* FN1 (fibronectin 1) extra domain B (ED-B) splice variant], *Homo sapiens* monoclonal antibody;  
H-gamma1 heavy chain *Homo sapiens* (1-445) [VH (*Homo sapiens* IGHV3-23\*01 (93.9%) -(IGHD) - IGHJ4\*01 (100%), CDR-IMGT [8.8.9] (26-33.51-58.97-105)) (1-116) -*Homo sapiens* IGHG1\*03v, G1m3>G1m17, nG1m1 CH1 K120, CH3 E12, M14, CH2 C81 (CH1 R120>K (213) (117-214), hinge 1-15 (215-229), CH2 K81>C (289) (230-339), CH3 E12 (355), M14 (357) (340-444), CHS K2>del (445)) (117-445)], (219-215')-disulfide with L-kappa light chain *Homo sapiens* (1'-215') [V-KAPPA (*Homo sapiens* IGKV3-20\*01 (94.8%) -IGKJ1\*01 (100%), CDR-IMGT [7.3.9] (27'-33'.51'-53'.90'-98')) (1'-108') -*Homo sapiens* IGKC\*01 (99.1%) K93>C (184'), Km3 A45.1 (154'), V101 (192') (109'-215')]; dimer (225-225''-228-228'')-bisdisulfide, produced in Chinese hamster ovary (CHO) cells, cell line CHO-K1, glycoform alfa *antineoplastica*

micvotabart

immunoglobuline G1-kappa, anti-[*Homo sapiens* FN1 (fibronectine 1) extra domaine B (ED-B) variant d'épissage], anticorps monoclonal *Homo sapiens*; chaîne lourde H-gamma1 *Homo sapiens* (1-445) [VH (*Homo sapiens* IGHV3-23\*01 (93.9%) -(IGHD) - IGHJ4\*01 (100%), CDR-IMGT [8.8.9] (26-33.51-58.97-105)) (1-116) -*Homo sapiens* IGHG1\*03v, G1m3>G1m17, nG1m1 CH1 K120, CH3 E12, M14, CH2 C81 (CH1 R120>K (213) (117-214), charnière 1-15 (215-229), CH2 K81>C (289) (230-339), CH3 E12 (355), M14 (357) (340-444), CHS K2>del (445)) (117-445)], (219-215')-disulfure avec la chaîne légère L-kappa *Homo sapiens* (1'-215') [V-KAPPA (*Homo sapiens* IGKV3-20\*01 (94.8%) -IGKJ1\*01 (100%), CDR-IMGT [7.3.9] (27'-33'.51'-53'.90'-98')) (1'-108') - *Homo sapiens* IGKC\*01 (99.1%) K93>C (184'), Km3 A45.1 (154'), V101 (192') (109'-215')]; dimère (225-225''-228-228'')-bisdisulfure, produit dans des cellules ovariennes de hamster chinois (CHO), lignée cellulaire CHO-K1, glycoforme alfa *antineoplastique*

micvotabart

immunoglobulina G1-kappa, anti-[*Homo sapiens* FN1 (fibronectina 1) extra dominio B (ED-B) variante de empalme], anticuerpo monoclonal *Homo sapiens*; cadena pesada H-gamma1 *Homo sapiens* (1-445) [VH (*Homo sapiens* IGHV3-23\*01 (93.9%) -(IGHD) - IGHJ4\*01 (100%), CDR-IMGT [8.8.9] (26-33.51-58.97-105)) (1-116) -*Homo sapiens* IGHG1\*03v, G1m3>G1m17, nG1m1 CH1 K120, CH3 E12, M14, CH2 C81 (CH1 R120>K (213) (117-214), bisagra 1-15 (215-229), CH2 K81>C (289) (230-339), CH3 E12 (355), M14 (357) (340-444), CHS K2>del (445)) (117-445)], (219-215')-disulfuro con la cadena ligera L-kappa *Homo sapiens* (1'-215') [V-KAPPA (*Homo sapiens* IGKV3-20\*01 (94.8%) -IGKJ1\*01 (100%), CDR-IMGT [7.3.9] (27'-33'.51'-53'.90'-98')) (1'-108') - *Homo sapiens* IGKC\*01 (99.1%) K93>C (184'), Km3 A45.1 (154'), V101 (192') (109'-215')]; dímero (225-225''-228-228'')-bisdisulfuro, producido en las células ováricas de hámster chino (CHO), línea celular CHO-K1, forma glicosilada alfa *antineoplásico*

Heavy chain / Chaîne lourde / Cadena pesada  
 EVQLLESGGG LVQPGGSLRL SCAASGFTFS SFMSWVRQA PGKLEWVSS 50  
 ISGSSGTTY ADSVKGKRFIT SRDNSKNTLY LQMNSLRAED TAVIYCARFP 100  
 FYFDYWGQGT LVTVSSASTK GPSVFFLAPS SKSTSGGTAA LGCLVKDYFP 150  
 EPYTVSWNSG ALTSQVHTFP AVLQSSGLYS LSSVTVFPSS SLGTQTYICN 200  
 VNHKPSNTKV DKKVEPKSCD KHTTCPPCPA PELLGGPSVF LFPPKPKDTL 250  
 MISRTPEVTC VVVDVSHEDP EVKFNWYVDG VEVHNAKTCF REEQNYSYR 300  
 VVSVLTVLHQ DWLNGKEYKC KVSNAKALPAP IEKTISKAKG QPREPQVYTL 350  
 PPSREEMTKN QVSLTCLVKG FYPSDIAVEW ESNQGPENNY KTTPEVLDSD 400  
 GSFFLYSKLT VDKSRWQQGN VFSCSVMEHA LHNHYTKKSL SLSFG 445

Light chain / Chaîne légère / Cadena ligera  
 EIVLTQSPGT LSLSPGERAT LSCRASQSVS SSFLAWYQQK PGQAPRLLIY 50  
 YASSRATGIP DRFSGSGSGT DFTLTISRLE PEDFAVYICQ QTRIPPTFG 100  
 QGQKVEIKRT VAAPSVEFIP PSDEQLKSGT ASVVCLLNMF YPREAKVQWK 150  
 VDNALQSGNS QESVTEQDSK DSTYSLSSTL TILSCADYKHK VYACEVTHQ 200  
 GLSSPVTKSF NRGEC 215

**Post-translational modifications**

Disulfide bridges location / Position des ponts disulfure / Posiciones de los puentes disulfuro

Intra-H (C23-C104) 22-96 143-199 260-320 366-424  
 22"-96" 143"-199" 260"-320" 366"-424"

Intra-L (C23-C104) 23"-89" 135"-195"  
 23""-89"" 135""-195""

Inter-H-L (h 5-CL 126) 219-215' 219"-215"

Inter-H-H (h 11, h 14) 225-225" 228-228"

N-glycosylation sites / Sites de N-glycosylation / Posiciones de N-glicosilación

H CH2 N84.4: 296, 296"

Fucosylated complex bi-antennary CHO-type glycans / glycanes de type CHO bi-antennaires  
 complexes fucosylés / glicanos de tipo CHO biantennarios complejos fucosilados

Conjugation specific sites / Sites spécifiques de conjugaison / Sitios de conjugación específicos

H CH2 K81&gt;C: 289, 289"

L C-KAPPA K93&gt;C: 184', 184"

**micvotabartum pelidotinum #**

micvotabart pelidotin

immunoglobulin G1-kappa, anti-[*Homo sapiens* FN1 (fibronectin 1) extra domain B (ED-B) splice variant], *Homo sapiens* monoclonal antibody, conjugated through 4 cysteinyl residues to a derivative of auristatin;  
 H-gamma1 heavy chain *Homo sapiens* (1-445) [VH (*Homo sapiens* IGHV3-23\*01 (93.9%) -(IGHD) -IGHJ4\*01 (100%), CDR-IMGT [8.8.9] (26-33.51-58.97-105)) (1-116) -*Homo sapiens* IGHG1\*03v, G1m3>G1m17, nG1m1 CH1 K120, CH3 E12, M14, G1v81 CH2 C81 (CH1 R120>K(213) (117-214), hinge 1-15 (215-229), CH2 K81>C (230-339), CH3 E12 (355), M14 (357) (340-444), CHS K2>del (445)) (117-445)], (219-215')-disulfide with L-kappa light chain *Homo sapiens* (1'-215') [V-KAPPA (*Homo sapiens* IGKV3-20\*01 (94.8%) -IGKJ1\*01 (100%), CDR-IMGT [7.3.9] (27'-33'.51'-53'.90'-98')) (1'-108') -*Homo sapiens* IGKC\*01 (99.1%) Km3 A45.1 (154'), V101 (192'), KCv93 K93>C (184') (109'-215')]; dimer (225-225":228-228")-bisdisulfide, produced in Chinese hamster ovary (CHO) cells, cell line CHO-K1, glycoform alfa; substituted at the sulfur atom of L-cysteinyl residues 289, 184', 289" and 184"" with radical group (2S,5R,6R,7<sup>2</sup>S,10R,11S,14S,17S,25S,28S,36<sup>3</sup>RS)-2-benzyl-11-[(2S)-butan-2-yl]-25-[3-(carbamoylamino)propyl]-6,10-dimethoxy-5,12,18-trimethyl-4,8,13,16,19,24,27,30,36<sup>2</sup>,36<sup>5</sup>-decaoxo-14,17,28-tri(propan-2-yl)-20-oxa-3,12,15,18,23,26,29-heptaaza-1(2)-[1,3]thiazola-7(2,1),36(1)-dipyrrolidina-22(1,4)-benzenahexatriacontaphan-36<sup>3</sup>-yl (*pelidotin*)  
*antineoplastic*

micvotabart pélidotine

immunoglobuline G1-kappa, anti-[*Homo sapiens* FN1 (fibronectine 1) extra domaine B (ED-B) variant d'épissage], anticorps monoclonal *Homo sapiens*, conjugué, par 4 résidus cystéinyle, à un dérivé de l'auristatine;

immunoglobuline G1-kappa, anti-[*Homo sapiens* FN1 (fibronectine 1) chaîne lourde H-gamma1 *Homo sapiens* (1-445) [VH (*Homo sapiens* IGHV3-23\*01 (93.9%) -(IGHD) -IGHJ4\*01 (100%), CDR-IMGT [8.8.9] (26-33.51-58.97-105)) (1-116) -*Homo sapiens* IGHG1\*03v, G1m3>G1m17, nG1m1 CH1 K120, CH3 E12, M14, G1v81 CH2 C81 (CH1 R120>K (213) (117-214), charnière 1-15 (215-229), CH2 K81>C (230-339), CH3 E12 (355), M14 (357) (340-444), CHS K2>del (445)) (117-445)], (219-215')-disulfure avec la chaîne légère L-kappa *Homo sapiens* (1'-215') [V-KAPPA (*Homo sapiens* IGKV3-20\*01 (94.8%) -IGKJ1\*01 (100%), CDR-IMGT [7.3.9] (27'-33'.51'-53'.90'-98')) (1'-108') -*Homo sapiens* IGKC\*01 (99.1%) Km3 A45.1 (154'), V101 (192'), KCv93 K93>C (184'), (109'-215')]; dimère (225-225":228-228")-bisdisulfure, produit dans des cellules ovariennes de hamster chinois (CHO), lignée cellulaire CHO-K1, glycoforme alfa; substitué sur l'atome de soufre des résidus L-cystéinyle 289, 184', 289" et 184"" avec un groupement radical (2S,5R,6R,7<sup>2</sup>S,10R,11S,14S,17S,25S,28S,36<sup>3</sup>RS)-2-benzyl-11-[(2S)-butan-2-yl]-25-[3-(carbamoylamino)propyl]-6,10-diméthoxy-5,12,18-triméthyl-4,8,13,16,19,24,27,30,36<sup>2</sup>,36<sup>5</sup>-décaoxo-14,17,28-tri(propan-2-yl)-20-oxa-3,12,15,18,23,26,29-heptaaza-1(2)-[1,3]thiazola-7(2,1),36(1)-dipyrrolidina-22(1,4)-benzénahexatriacontaphan-36<sup>3</sup>-yle (pélidotine)  
*antineoplasique*

micvotabart pelidotina

inmunoglobulina G1-kappa, anti-[*Homo sapiens* FN1 (fibronectina 1) extra dominio B (ED-B) variante de empalme], anticuerpo monoclonal *Homo sapiens*, conjugado, por 4 residuos cisteinilo, a un derivado de la auristatina; cadena pesada H-gamma1 *Homo sapiens* (1-445) [VH (*Homo sapiens* IGHV3-23\*01 (93.9%) -(IGHD) -IGHJ4\*01 (100%), CDR-IMGT [8.8.9] (26-33.51-58.97-105)) (1-116) -*Homo sapiens* IGHG1\*03v, G1m3>G1m17, nG1m1 CH1 K120, CH3 E12, M14, G1v81 CH2 C81 (CH1 R120>K (213) (117-214), bisagra 1-15 (215-229), CH2 K81>C (230-339), CH3 E12 (355), M14 (357) (340-444), CHS K2>del (445)) (117-445)], (219-215')-disulfuro con la cadena ligera L-kappa *Homo sapiens* (1'-215') [V-KAPPA (*Homo sapiens* IGKV3-20\*01 (94.8%) -IGKJ1\*01 (100%), CDR-IMGT [7.3.9] (27'-33'.51'-53'.90'-98')) (1'-108') -*Homo sapiens* IGKC\*01 (99.1%) Km3 A45.1 (154'), V101 (192'), KCv93 K93>C (184'), (109'-215')]; dímero (225-225":228-228")-bisdisulfuro, producido en las células ováricas de hámster chino (CHO), línea celular CHO-K1, forma glicosilada alfa; sustituido en el átomo de azufre de los residuos L-cisteinilo 289, 184', 289" y 184"" con un grupo radical (2S,5R,6R,7<sup>2</sup>S,10R,11S,14S,17S,25S,28S,36<sup>3</sup>RS)-2-bencil-11-[(2S)-butan-2-il]-25-[3-(carbamoilamino)propil]-5,12,18-trimetil-6,10-dimetoxi-4,8,13,16,19,24,27,30,36<sup>2</sup>,36<sup>5</sup>-decaoxo-14,17,28-tri(propan-2-il)-20-oxa-3,12,15,18,23,26,29-heptaaza-1 (2) -[1,3]thiazola-7(2,1),36(1)-dipirrolidina-22(1,4)-bencenahexatriacontafan-363-ilo (pelidotina)  
*antineoplásico*

2867550-00-1

## Heavy chain / Chaîne lourde / Cadena pesada

EVQLLESGGG LVQPGGSLRL SCAASGFTFS SFSMSWVRQA PGKGLEWVSS 50  
 ISGSSGTTY ADSVKGRFTI SRDNSKNTLY LQMNSLRAED TAVVYCARPF 100  
 PYFDYWGQGT LVTSSASTK GPSVFLAPS SKSTSGGTAA LGCLVKDYFP 150  
 EPVTVSNWSG ALTSGVHTFF AVLQSSGLYS LSSVTVTPSS SLGTQTYICN 200  
 VNHKPSNTKV DKKVEPKSCD KHTCCPPCPA PELLGGPSVF LFPFKFDTL 250  
 MISRTPVETC VVVDVSHEDP EVKFNWYVDG VEVHNAKTCP RBEQYNSTYR 300  
 VVSVLTVLHQ DWLNGKEYK KVNKALPAP IEKTSKAKG QPREPQVYTL 350  
 PPSREEMTKN QVSLTCLVKG FYPFDIAVEW ESNQGPENNY KTTFPVLDSD 400  
 GSFFLYSKLT VDKSRWQGN VFSCVMHEA LHNHYTQKSL SLSPG 445

## Light chain / Chaîne légère / Cadena ligera

EIVLTQSPGT LSLSPGERAT LSCRASQSVS SSFLAWYQQK PGQAPRLLIY 50  
 YASSRATGIP DRFSGSGSGT DFTLTISRLE PEDFAVYQC QTGRIPPTFG 100  
 QGTRKEIKRT VAAPSVFIFP PSEDEQLKSGT ASVVCLLNMF YPREAKVQWK 150  
 VDNALQSGNS QESVTEQDSK DSTYLSSTL TISCADYEKH KVVACEVTHQ 200  
 GLSSPVTKSF NRGEC 215

## Post-translational modifications

Disulfide bridges location / Position des ponts disulfure / Posiciones de los puentes disulfuro

Intra-H (C23-C104) 22-96 143-199 260-320 366-424  
 22"-96" 143"-199" 260"-320" 366"-424"

Intra-L (C23-C104) 23"-89" 135"-195"  
 23"-89" 135"-195"

Inter-H-L (h 5-CL 126) 219-215' 219"-215"

Inter-H-H (h 11, h 14) 225-225" 228-228"

N-glycosylation sites / Sites de N-glycosylation / Posiciones de N-glicosilación

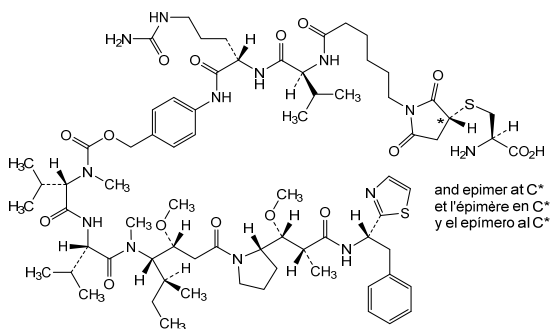
H CH2 K81-C (G1v81): 289, 289"

Fucosylated complex bi-antennary CHO-type glycans / glycanes de type CHO bi-antennaires complexes fucosylés / glicanos de tipo CHO biantennarios complejos fucosilados

Conjugation specific sites / Sites spécifiques de conjugaison / Sitios de conjugación específicos

H CH2 K81-C (G1v81): 289, 289"

L C-KAPPA K93-C (KCv93): 184', 184"



## mifomelatidum

mifomelatide

2,*N*<sup>6,7</sup>-anhydro[(2*S*)-2-acetamidohexanoil-L- $\alpha$ -aspartyl-L-prolyl-3-(naphthalen-2-yl)-D-alanyl-L-arginyl-L-tryptophyl-L-lysyl-D-valyl-D-prolinamide]

*melanocortin receptor antagonist*

mifomelatide

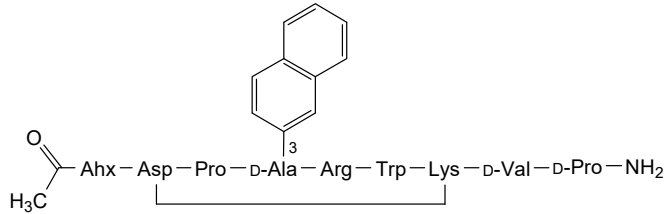
2,*N*<sup>6,7</sup>-anhydro[(2*S*)-2-acétamidohexanoil-L- $\alpha$ -aspartyl-L-prolyl-3-(naphthalén-2-yl)-D-alanyl-L-arginyl-L-tryptophyl-L-lysyl-D-valyl-D-prolinamide]

*antagoniste des récepteurs de la mélanocortine*

mifomelatida

2,*N*<sup>6,7</sup>-anhidro[(2*S*)-2-acetamidohexanoil-L- $\alpha$ -aspartil-L-proliil-3-(naftalen-2-il)-D-alanil-L-arginil-L-triptofil-L-lisil-D-valil-D-prolinamida]

*antagonista del receptor de melanocortina*



Ahx = (2S)-2-aminohexanoic acid

**mipletamigum #**  
mipletamig

immunoglobulin IG chain scFvkh-G1hCH2CH3-scFvkh dimer bisdisulfide, anti-[*Homo sapiens* IL3RA (interleukin 3 receptor subunit alpha, interleukin 3 receptor alpha (low affinity), CD123)] and anti-[*Homo sapiens* CD3E (CD3 epsilon, Leu-4)], *Homo sapiens* and humanized monoclonal antibody, bispecific, tetravalent; IG chainscFvkh-G1hCH2CH3-scFvkh *Homo sapiens* and humanized (1-757) [scFvkh anti-IL3RA *Homo sapiens* (1-259) [V-KAPPA (*Homo sapiens* IGKV4-1\*01 (99.0%) -IGKJ4\*01 (100%), CDR-IMGT [12.3.10] (27-38.56-58.95-104))] (1-114) -20-mer tetrakis(tetraglycyl-seryl) linker (115-134) -VH (*Homo sapiens*IGHV3-23\*01 (98.0%) - (IGHD) -IGHJ3\*02 (100%), CDR-IMGT [8.8.17] (160-167.185-192.231-247))] (135-259)] -*Homo sapiens* IGHG1\*01, G1m17,1CH3 D12, L14, G1v14-1 CH2 A1.3, A1.2, A1, G1v20 A105, G1v37 h S5 (hinge 1-15 C5>S (264) (260-274), CH2 L1.3>A (278), L1.2>A (279), G1>A (281), K105>A (366) (275-384), CH3 D12 (400), L14 (402) (385-489), CHS K2>del (490)) (260-490)] -18-mer (seryl-tris(glycyl-seryl)-prolyl-seryl) linker (491-508) -scFvkh anti-CD3E humanized (509-757) [VH (*Homo sapiens*IGHV1-69\*02 (82.7%) -IGHD -IGHJ4\*01 (92.9%), CDR-IMGT [8.8.14] (534-541.559-566.605-618))] (509-629) -20-mer tetrakis(tetraglycyl-seryl) linker (630-649) -V-KAPPA (*Homo sapiens*IGKV1-5\*01 (81.5%) -IGKJ4\*01 (100%), CDR-IMGT [5.3.9] (676-680.698-700.737-745)) (650-757)]; dimer (270-270':273-273')-bisdisulfide, produced in Chinese hamster ovary (CHO) cells, cell line CHO-K1, glycoform alfa  
*antineoplastic*

miplétamig

immunoglobuline IG chaîne scFvkh-G1hCH2CH3-scFvkh dimère bisdisulfure, anti-[*Homo sapiens* IL3RA (sous-unité alpha du récepteur de l'interleukine 3, récepteur alpha (faible affinité) de l'interleukine 3, CD123)] et anti-[*Homo sapiens* CD3E (CD3 epsilon, Leu-4)], anticorps monoclonal *Homo sapiens* et humanisé, bispécifique, tétravalent;

IG chaîne scFvkh-G1hCH2CH3-scFvkh *Homo sapiens* et humanisée (1-757) [scFvkh anti-IL3RA *Homo sapiens* (1-259) [V-KAPPA(*Homo sapiens* IGKV4-1\*01 (99.0%) -IGKJ4\*01 (100%), CDR-IMGT [12.3.10] (27-38.56-58.95-104)) (1-114) -20-mer tétrakis(tétraglycyl-séryl) linker (115-134) -VH (*Homo sapiens* IGHV3-23\*01 (98.0%) -(IGHD) -IGHJ3\*02 (100%), CDR-IMGT [8.8.17] (160-167.185-192.231-247)) (135-259)] -*Homo sapiens* IGHG1\*01, G1m17,1CH3 D12, L14, G1v14-1 CH2 A1.3, A1.2, A1, G1v20 A105, G1v37 h S5 (charnière 1-15 C5>S (264) (260-274), CH2 L1.3>A (278), L1.2>A (279), G1>A (281), K105>A (366) (275-384), CH3 D12 (400), L14 (402) (385-489), CHS K2>del (490)) (260-490)] -18-mer (séryl-tris(glycyl-séryl)-prolyl-séryl) linker (491-508) -scFvkh anti-CD3E humanisée (509-757) [VH (*Homo sapiens* IGHV1-69\*02 (82.7%) -IGHD -IGHJ4\*01 (92.9%), CDR-IMGT [8.8.14] (534-541.559-566.605-618)) (509-629) -20-mer tétrakis(tétraglycyl-séryl) linker (630-649) -V-KAPPA (*Homo sapiens* IGKV1-5\*01 (81.5%) -IGKJ4\*01 (100%), CDR-IMGT [5.3.9] (676-680.698-700.737-745)) (650-757)]; dimère (270-270':273-273')-bisdisulfure, produit dans des cellules ovariennes de hamster chinois (CHO), lignée cellulaire CHO-K1, glycoforme alfa  
*antineoplasique*

## mipletamig

inmunoglobulina IG cadena scFvkh-G1hCH2CH3-scFvkh dímero bisdisulfuro, anti-[*Homo sapiens* IL3RA (subunidad alfa del receptor de la interleukina 3, receptor alfa (baja afinidad) de la interleukina 3, CD123)] y anti-[*Homo sapiens* CD3E (CD3 épsilon, Leu-4)], anticuerpo monoclonal *Homo sapiens* y humanizado, biespecífico, tetravalente;  
IG cadena scFvkh-G1hCH2CH3-scFvkh *Homo sapiens* y humanizada (1-757) [scFvkh anti-IL3RA *Homo sapiens* (1-259) [V-KAPPA(*Homo sapiens* IGKV4-1\*01 (99.0%) -IGKJ4\*01 (100%), CDR-IMGT [12.3.10] (27-38.56-58.95-104)) (1-114) -20-mer tetrakis(tetraglicil-seril) enlace (115-134) -VH (*Homo sapiens* IGHV3-23\*01 (98.0%) -(IGHD) -IGHJ3\*02 (100%), CDR-IMGT [8.8.17] (160-167.185-192.231-247)) (135-259)] -*Homo sapiens* IGHG1\*01, G1m17,1CH3 D12, L14, G1v14-1 CH2 A1.3, A1.2, A1, G1v20 A105, G1v37 h S5 (bisagra 1-15 C5>S (264) (260-274), CH2 L1.3>A (278), L1.2>A (279), G1>A (281), K105>A (366) (275-384), CH3 D12 (400), L14 (402) (385-489), CHS K2>del (490)) (260-490)] -18-mer (seril-tris(glicil-seril)-prolil-seril) enlace (491-508) -scFvkh anti-CD3E humanizado (509-757) [VH (*Homo sapiens* IGHV1-69\*02 (82.7%) -IGHD -IGHJ4\*01 (92.9%), CDR-IMGT [8.8.14] (534-541.559-566.605-618)) (509-629) -20-mer tetrakis(tetraglicil-seril) enlace (630-649) -V-KAPPA (*Homo sapiens* IGKV1-5\*01 (81.5%) -IGKJ4\*01 (100%), CDR-IMGT [5.3.9] (676-680.698-700.737-745)) (650-757)]; dímero (270-270':273-273')-bisdisulfuro, producido en las células ováricas de hámster chino (CHO), línea celular CHO-K1, forma glicosilada alfa  
*antineoplásico*

2839556-21-5

Chain / Chaîne / Cadena : scFvkh (anti-IL3RA) -G1hCH2CH3 -scFvkh (anti-CD3E)

DIVMTQSPDS	LAVSLGERAT	INCKSSHSVL	YSSNNKNYLA	WYQQKPGQPP	50
KLLIYWASTR	ESGVPRDFSG	SGSGTDFTLT	ISSLQAEQVA	VYYCQQYYST	100
PPTTFGGGK	VEIKGGGGSG	GGSGGGGGSG	GGGSEVQLLE	SGGGLVPGG	150
SLRRLSCAASG	FTFSSYGMSW	VRQAPKGLLE	GVSASISGSG	STYYADSVKG	200
RFTISRDNK	NTLYLQMNLS	RAEDTAVYYC	AKEKLRIFDW	LSDAFDIWIQ	250
GTMVTVSSSE	PKSSDKTHTC	PPCPAPEAAG	APSVFLFPPK	PKDTLMISRT	300
PEVTCVVVDV	SHEDPEVKFN	WYVDGVEVHN	AKTKPREEQY	NSTYRVVSVL	350
TVLHQDWLNG	KEYKCAVSNK	ALPAPIEKTI	SKAKGQPREP	QVYTLPPSRD	400
ELTKNQVSLT	CLVKGFYPSD	IAVEWESNGQ	PENNYKTTTP	VLDSDGGSFFL	450
YSKLTVDKSR	WQQGNVFCSS	VMHEALHNHY	TQKSLSLSPG	SGGGSGGGGG	500
SGGGSPSQV	QLVQSGPEVK	KPGSSVKVSC	KASGYTFSRS	TMHWVRQAPG	550
QGLEWIGYIN	FSSAYTNYNQ	KPKDRVITTA	DKSTSTAYME	LSSLRSIEDTA	600
VYYCARPQVH	YDYNQFPYWG	QGTLVTVSSG	GGGSGGGGSG	GGGSGGGGSD	650
IQMTQSPSTL	SASVGDRTVM	TCSASSSVSY	MNRYQQKPKG	APKRWIYDSS	700
KLASGVPSPR	SGSGSGTDYT	LTISSLQPDD	FATYYCQQWS	RNPPTFGGGT	750
KVEIKRS					757

**Post-translational modifications**

Disulfide bridges location / Position des ponts disulfure / Posiciones de los puentes disulfuro

Intra-H (C23-C104)	23-94	156-230	305-365	411-469
	23'-94'	156'-230'	305'-365'	411'-469'
		530-604	672-736	
		530'-604'	672'-736'	

Inter-H-H (h 11, h 14) 270-270' 273-273'

N-glycosylation sites / Sites de N-glycosylation / Posiciones de N-glicosilación  
H CH2 N84.4: 341, 341"

Fucosylated complex bi-antennary CHO-type glycans / glycanes de type CHO bi-antennaires complexes fucosylés / glicanos de tipo CHO biantennarios complejos fucosilados.

**misitatugum #**  
misitatug

immunoglobulin G1-kappa, anti-[*Homo sapiens* MSLN (mesothelin, pre-pro-megakaryocyte-potentiating factor, megakaryocyte-potentiating factor, MPF, CAK1)];  
H-gamma1 heavy chain (1-454) [VH Musmus/Homsap (*Mus musculus* IGHV4-1\*02 (91.8%) -(IGHD) -IGHJ1\*01 (100%)/*Homo sapiens* IGHV3-74\*03 (80.6%) -(IGHD) -IGHJ3\*01 (85.7%) Q120>A (116), M123>T (119), CDR-IMGT [8.8.17] (26-33.51-58.97-113))] (1-124) -*Homo sapiens* IGHG1\*03v, G1m3>G1m17, nG1m1 CH1 K120, CH3 E12, M14 (CH1 R120>K (221) (125-222), hinge 1-15 (223-237), CH2 (238-347), CH3 E12 (363), M14 (365) (348-452), CHS (453-454)) (125-454)], (227-213')-disulfide with L-kappa light chain (1'-213') [V-KAPPA Musmus/Homsap (*Mus musculus* IGKV4-55\*01 (84.0%) -IGKJ1\*01 (90.9%) L124>V (103)/*Homo sapiens* IGKV6-21\*02 (68.4%) -IGKJ4\*01 (100%), CDR-IMGT [5.3.9] (27'-31'.49'-51'.88'-96'')) (1'-106') -*Homo sapiens* IGKC\*01 (100%), Km3 A45.1 (152'), V101 (190') (107'-213')]; dimer (233-233''-236-236''-bisdisulfide, produced in Chinese hamster ovary (CHO) cells, glycoform alfa  
*antineoplastic*

## misitatug

immunoglobuline G1-kappa, anti-[*Homo sapiens* MSLN (mésothéline, facteur de potentialisation du pré-pro-mégacaryocyte, facteur de potentialisation des mégacaryocytes, MPF, CAK1)];  
chaîne lourde H-gamma1 (1-454) [VH Musmus/Homsap (*Mus musculus* IGHV4-1\*02 (91.8%) -(IGHD) -IGHJ1\*01 (100%)/*Homo sapiens* IGHV3-74\*03 (80.6%) -(IGHD) -IGHJ3\*01 (85.7%) Q120>A (116), M123>T (119), CDR-IMGT [8.8.17] (26-33.51-58.97-113))] (1-124) -*Homo sapiens* IGHG1\*03v, G1m3>G1m17, nG1m1 CH1 K120, CH3 E12, M14 (CH1 R120>K (221) (125-222), charnière 1-15



(223-237), CH2 (238-347), CH3 E12 (363), M14 (365) (348-452), CHS (453-454)) (125-454)], (227-213')-disulfure avec la chaîne légère L-kappa (1'-213') [V-KAPPA Musmus/Homsap (*Mus musculus* IGKV4-55\*01 (84.0%) -IGKJ1\*01 (90.9%) L124>V (103)/*Homo sapiens* IGKV6-21\*02 (68.4%) -IGKJ4\*01 (100%), CDR-IMGT [5.3.9] (27'-31'.49'-51'.88'-96'') (1'-106') -*Homo sapiens* IGKC\*01 (100%), Km3 A45.1 (152'), V101 (190') (107'-213'')]; dimère (233-233":236-236")-bisdisulfure, produit dans des cellules ovariennes de hamster chinois (CHO), glycoforme alfa *antineoplasique*

misitaturg

inmunoglobulina G1-kappa, anti-[*Homo sapiens* MSLN (mesotelina, factor de potenciación del pre-pro-megacariocito, factor de potenciación de los megacariocitos, MPF, CAK1)]; cadena pesada H-gamma1 (1-454) [VH Musmus/Homsap (*Mus musculus* IGHV4-1\*02 (91.8%) -(IGHD) -IGHJ1\*01 (100%)/*Homo sapiens* IGHV3-74\*03 (80.6%) -(IGHD) -IGHJ3\*01 (85.7%) Q120>A (116), M123>T (119), CDR-IMGT [8.8.17] (26-33.51-58.97-113)) (1-124) -*Homo sapiens* IGHG1\*03v, G1m3>G1m17, nG1m1 CH1 K120, CH3 E12, M14 (CH1 R120>K (221) (125-222), bisagra 1-15 (223-237), CH2 (238-347), CH3 E12 (363), M14 (365) (348-452), CHS (453-454)) (125-454)], (227-213')-disulfuro con la cadena ligera L-kappa (1'-213') [V-KAPPA Musmus/Homsap (*Mus musculus* IGKV4-55\*01 (84.0%) -IGKJ1\*01 (90.9%) L124>V (103)/*Homo sapiens* IGKV6-21\*02 (68.4%) -IGKJ4\*01 (100%), CDR-IMGT [5.3.9] (27'-31'.49'-51'.88'-96'') (1'-106') -*Homo sapiens* IGKC\*01 (100%), Km3 A45.1 (152'), V101 (190') (107'-213'')]; dímero (233-233":236-236")-bisdisulfuro, producido en las células ováricas de hámster chino (CHO), forma glicosilada alfa *antineoplásico*

2767203-01-8

## Heavy chain / Chaîne lourde / Cadena pesada

EVQLVESGGG	LVQPGGSLRL	SCAASGFD	RYWMSWRQA	PGKLEWIGE	50
INPDSSTIVY	TPSLKDKFII	SRDNAKNTLY	LQMNSLRAED	TALYYCARRG	100
SHYYGYRTGY	FDVWGAGTTV	TVSSASTKGP	SVFFLAPSSK	STSGGTAALG	150
CLVKDYFPEP	VTVSWNSGAL	TSGVHTFPAP	LQSSGLYLSL	SVVTVPSSSL	200
GTQTYICNVN	HKPSNTRKVDK	KVEPKSCDKT	HTCPPCPAPE	LLGGPSVFLF	250
PPKPKDLMII	SRTPEVTCVV	VDVSHEDPEV	KFNWYVDGVE	VHNAKTKPRE	300
EQYNSTYRVV	SVLTVLHQDW	LNGKEYKCKV	SNKALPAPIE	KTISKAKGQP	350
REPQVYTLPP	SREEMTKNQV	SLTCLVKGFY	PSDIAVEWES	NGQPENNYKT	400
TPPVLDSDSG	FFLYSKLTVD	KSRWQQGNVF	SCSVMHEALH	NHYTQKLSLSL	450
SPGK					454

## Light chain / Chaîne légère / Cadena ligera

DVVMTQSPAF	LSVTPGEKVT	MTCASASSVS	YMYWHQQKPD	QAPKLLIYDT	50
SNLASGVFVR	FSGSGSTDF	TFTISRMEAE	DAATYICQQW	SSYPPTFGGG	100
TKVEIKRTVA	APSVFIFPPS	DEQLKSGTAS	VVCLLNNFYF	REARVQWKVD	150
NALQSGNSQE	SVTEQDSKDS	TYSLSSLTLL	SKADYERHKV	YACEVTHQGL	200
SSPVTKSFNR	GEC				213

## Post-translational modifications

Disulfide bridges location / Position des ponts disulfure / Posiciones de los puentes disulfuro

Intra-H (C23-C104)	22"-96"	151"-207"	268"-328"	374"-432"
	22"-96"	151"-207"	268"-328"	374"-432"
Intra-L (C23-C104)	23"-87"	133"-193"		
	23"-87"	133"-193"		
Inter-H-L (h 5-CL 126)	227-213'	227"-213"		
Inter-H-H (h 11, h 14)	233-233"	236-236"		

N-glycosylation sites / Sites de N-glycosylation / Posiciones de N-glicosilación

H CH2 N84.4: 304, 304"

Fucosylated complex bi-antennary CHO-type glycans / glycanes de type CHO bi-antennaires complexes fucosylés / glicanos de tipo CHO biantenaricos complejos fucosilados

C-terminal lysine clipping / Coupure de la lysine C-terminale / Recorte de lisina C-terminal  
H CHS K2: 454, 454"

**misitatugum blivedotinum#**  
misitatug blivedotin

immunoglobulin G1-kappa, anti-[*Homo sapiens* MSLN (mesothelin, pre-pro-megakaryocyte-potentiating factor, megakaryocyte-potentiating factor, MPF, CAK1)]; conjugated on an average of 4 cysteinyl residues to monomethylauristatin E (MMAE), with a ratio of 1 to 2, via a cleavable divalent linker; H-gamma1 heavy chain (1-454) [VH Musmus/Homsap (*Mus musculus* IGHV4-1\*02 (91.8%) -(IGHD) -IGHJ1\*01 (100%)/*Homo sapiens* IGHV3-74\*03 (80.6%) Q120>A (116), M123>T (119) -(IGHD) -IGHJ3\*01 (85.7%), CDR-IMGT [8.8.17] (26-33.51-58.97-113)) (1-124) -*Homo sapiens* IGHG1\*03v, G1m3>G1m17, nG1m1 CH1 K120, CH3 E12, M14 (CH1 R120>K (221) (125-222), hinge 1-15 (223-237), CH2 (238-347), CH3 E12 (363), M14 (365) (348-452), CHS (453-454)) (125-454)], (227-213')-disulfide with L-kappa light chain (1'-213') [V-KAPPA Musmus/Homsap (*Mus musculus* IGKV4-55\*01 (84.0%) -IGKJ1\*01 (90.9%) L124>V (103)/*Homo sapiens* IGKV6-21\*02 (68.4%) -IGKJ4\*01 (100%), CDR-IMGT [5.3.9] (27'-31'.49'-51'.88'-96'') (1'-106') -*Homo sapiens* IGKC\*01 (100%), Km3 A45.1 (152'), V101 (190') (107'-213''); dimer (233-233":236-236")-bisdisulfide, produced in Chinese hamster ovary (CHO) cells, glycoform alfa; substituted at the sulfur atoms of four L-cysteinyl residues on an average among 227, 233, 236, 213', 227", 233", 236" and 213"" with two divalent radical groups consisting of 3,3'-[[2S,3R,6R,7R,8<sup>2</sup>S,11R,12S,15S,18S,26S,29S)-12-[(2S)-butan-2-yl]-26-[3-(carbamoylamino)propyl]-2-hydroxy-7,11-dimethoxy-3,6,13,19-tetramethyl-5,9,14,17,20,25,28,31,36-nonaoxo-15,18,29-tri(propan-2-yl)-21-oxa-33-thia-4,13,16,19,24,27,30-heptaaza-37(1)-[1,3,5]triazinana-8(2,1)-pyrrolidina-1(1),23(1,4)-dibenzenaheptatriacontaphane-37<sup>3</sup>,37<sup>5</sup>-diy]bis(3-oxopropyl) (*blivedotin*)  
*antineoplastic*

misitatug blivedotine

immunoglobuline G1-kappa, anti-[*Homo sapiens* MSLN (mésothéline, facteur de potentialisation du pré-pro-mégacaryocyte, facteur de potentialisation des mégacaryocytes, MPF, CAK1)]; conjugué, par 4 résidus cystéinyle en moyenne, au monométhylauristatine E (MMAE), via un linker clivable divalent avec un rapport de 1 pour 2; chaîne lourde H-gamma1 (1-454) [VH Musmus/Homsap (*Mus musculus* IGHV4-1\*02 (91.8%) -(IGHD) -IGHJ1\*01 (100%)/*Homo sapiens* IGHV3-74\*03 (80.6%) Q120>A (116), M123>T (119) -(IGHD) -IGHJ3\*01 (85.7%), CDR-IMGT [8.8.17] (26-33.51-58.97-113)) (1-124) -*Homo sapiens* IGHG1\*03v, G1m3>G1m17, nG1m1 CH1 K120, CH3 E12, M14 (CH1 R120>K (221) (125-222), charnière 1-15 (223-237), CH2 (238-347), CH3 E12 (363), M14 (365) (348-452), CHS (453-454)) (125-454)], (227-213')-disulfure avec la chaîne légère L-kappa (1'-213') [V-KAPPA Musmus/Homsap (*Mus musculus* IGKV4-55\*01 (84.0%) -IGKJ1\*01 (90.9%) L124>V (103)/*Homo*

*sapiens* IGKV6-21\*02 (68.4%) -IGKJ4\*01 (100%), CDR-IMGT [5.3.9] (27'-31'.49'-51'.88'-96'') (1'-106') -*Homo sapiens* IGKC\*01 (100%), Km3 A45.1 (152'), V101 (190') (107'-213''); dimère (233-233":236-236")-bisdisulfure, produit dans des cellules ovariennes de hamster chinois (CHO), glycoforme alfa; substitué sur l'atome de soufre de 4 résidus L-cystéinyle en moyenne parmi 227, 233, 236, 213', 227", 233", 236" et 213"" avec deux groupements radicaux divalents 3,3'-[(2S,3R,6R,7R,8<sup>2</sup>S,11R,12S,15S,18S,26S,29S)-12-[(2S)-butan-2-yl]-26-[3-(carbamoylamino)propyl]-2-hydroxy-7,11-diméthoxy-3,6,13,19-tétraméthyl-5,9,14,17,20,25,28,31,36-nonaixo-15,18,29-tri(propan-2-yl)-21-oxa-33-thia-4,13,16,19,24,27,30-heptaaza-37(1)-[1,3,5]triazinana-8(2,1)-pyrrolidina-1(1),23(1,4)-dibenzénaheptatriacontaphane-37<sup>3</sup>,37<sup>5</sup>-diyl]bis(3-oxopropyle) (*blivedotina*)  
*antinéoplasique*

misitatur blivedotina

inmunoglobulina G1-kappa, anti-[*Homo sapiens* MSLN (mesotelina, factor de potenciación del pre-megacariocito, factor de potenciación de los megacariocitos, MPF, CAK1)]; conjugado, por 4 residuos de cisteinilo en promedio, a la monometilauristatina E (MMAE), mediante un conector escindible divalente con una proporción de 1 a 2; cadena pesada H-gamma1 (1-454) [VH Musmus/Homsap (*Mus musculus* IGHV4-1\*02 (91.8%) - (IGHD) -IGHJ1\*01 (100%)/*Homo sapiens* IGHV3-74\*03 (80.6%) Q120>A (116), M123>T (119) -(IGHD) -IGHJ3\*01 (85.7%), CDR-IMGT [8.8.17] (26-33.51-58.97-113)) (1-124) -*Homo sapiens* IGHG1\*03v, G1m3>G1m17, nG1m1 CH1 K120, CH3 E12, M14 (CH1 R120>K (221) (125-222), bisagra 1-15 (223-237), CH2 (238-347), CH3 E12 (363), M14 (365) (348-452), CHS (453-454)) (125-454)], (227-213')-disulfuro con la cadena ligera L-kappa (1'-213') [V-KAPPA Musmus/Homsap (*Mus musculus* IGKV4-55\*01 (84.0%) -IGKJ1\*01 (90.9%) L124>V (103)/*Homo sapiens* IGKV6-21\*02 (68.4%) -IGKJ4\*01 (100%), CDR-IMGT [5.3.9] (27'-31'.49'-51'.88'-96'') (1'-106') -*Homo sapiens* IGKC\*01 (100%), Km3 A45.1 (152'), V101 (190') (107'-213''); dímero (233-233":236-236")-bisdisulfuro, producido en las células ováricas de hámster chino (CHO), forma glicosilada alfa; sustituido en el átomo de azufre de 4 residuos de L-cisteinilo en promedio de 227, 233, 236, 213', 227", 233", 236" y 213"" con dos grupos radicales divalentes 3,3'-[(2S,3R,6R,7R,8<sup>2</sup>S,11R,12S,15S,18S,26S,29S)-12-[(2S)-butan-2-il]-26-[3-(carbamoylamino)propil]-2-hidroxi-7,11-dimetoxi-3,6,13,19-tetrametil-5,9,14,17,20,25,28,31,36-nonaixo-15,18,29-tri(propan-2-il)-21-oxa-33-tia-4,13,16,19,24,27,30-heptaaza-37(1)-[1,3,5]triazinana-8(2,1)-pirrolidina-1(1),23(1,4)-dibencenaheptatriacontafano-37<sup>3</sup>,37<sup>5</sup>-diil]bis(3-oxopropilo) (*blivedotina*)  
*antineoplásico*

2767203-06-3

**Heavy chain / Chaîne lourde / Cadena pesada**

EVQLLESQGGG LVQPGGSLRL SCAASGFTFS SFSMSWVROA PGKGLEWVSS 50  
 ISGSSGTTY AD SVKGRFTI SRD NSKNTLY LQMN SLRAED TAVYYCARFF 100  
 PYFDYWGQGT LVTVSSASTK GPSVFP LAPS SKTSGGTAA LGCLVKDYFP 150  
 EPVTVSWNSG ALTSGVHTFP AVLQSSGLYS LSSVVTVPSS SLGTQTYICN 200  
 VNHKPSNTKV DKKVEPKSCD KHTCP P CPA PELLGGPSVF LFPKPKDTL 250  
 MISRTPEVTC VVVDVSHEDP EVKFNWYVDG VEVHNAKTCP REEQYNSTYR 300  
 VVSVLTVLHQ DWLNGKEYKC KVS NKALPAP IEKTISKARG QPREPQVYTL 350  
 PPSREEMTKN QVSLTCLVKG FYPSDIAVEW ESNQGPENNY KTTTPVLDSD 400  
 GSFFLYSKLT VDKSRWQQGN VFSCSV MHEA LHNHYTQKSL SLSPG 445

**Light chain / Chaîne légère / Cadena ligera**

EIVLTQSPGT LSLSPGERAT LSCRASQSVS SFLAWYQQK PGQAPRLLIY 50  
 YASSRATGIP DRFSGSGSGT DFTLTISRLE PEDFAVYYCQ QTGRIPPTFFG 100  
 QGTQVEIKRT VAAPSVFIFF PSDEQLKSGT ASVVCLLNMF YPREAKVQWK 150  
 VDNALQSGNS QESVTEQDSK DSTYLSLSTL TISCADYERH KVYACEVTHQ 200  
 GLSSPVTKSF NRGEC 215

**Post-translational modifications**

Disulfide bridges location / Position des ponts disulfure / Posiciones de los puentes disulfuro

Intra-H (C23-C104) 22-96 143-199 260-320 366-424  
 22"-96" 143"-199" 260"-320" 366"-424"  
 Intra-L (C23-C104) 23"-89" 135"-195"  
 23""-89"" 135""-195""

Inter-H-L (h 5-CL 126) 219-215' 219"-215"

Inter-H-H (h 11, h 14) 225-225" 228-228"

N-glycosylation sites / Sites de N-glycosylation / Posiciones de N-glicosilación

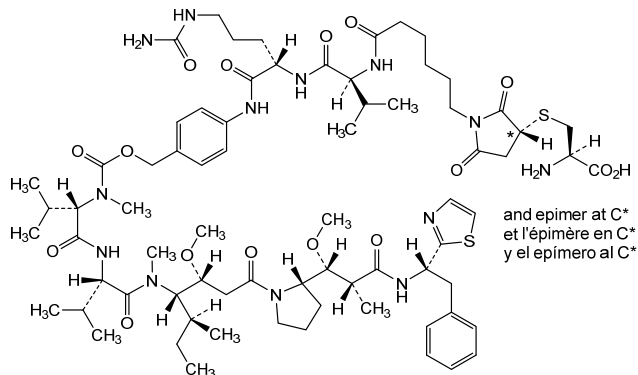
H CH2 N84.4: 296, 296"

Fucosylated complex bi-antennary CHO-type glycans / glycanes de type CHO bi-antennaires complexes fucosylés / glicanos de tipo CHO biantennarios complejos fucosilados

Conjugation specific sites / Sites spécifiques de conjugaison / Sitios de conjugación específicos

H CH2 K81&gt;C (G1v81): 289, 289"

L C-KAPPA K93&gt;C (KCv93): 184', 184"

**mozistobartum #  
mozistobart**

immunoglobulin G1-kappa, anti-[*Homo sapiens* CD22 (sialic acid binding Ig-like lectin 2, SIGLEC2, SIGLEC-2, B-lymphocyte cell adhesion molecule, BL-CAM, Leu-14)], humanized monoclonal antibody;

H-gamma1 heavy chain humanized (1-460) [VH (*Homo sapiens* IGHV3-48\*03 (89.8%) -(IGHD) -IGHJ4\*01 (85.7%) Q120>R (115), CDR-IMGT [8.8.16] (26-33.51-58.97-112)) (1-123) -*Homo sapiens* IGHG1\*03v, G1m3>G1m17, nG1m1 CH1 K120, CH3 E12, M14, G1v14-1 CH2 A1.3, A1.2, A1 (CH1 R120>K (220) (124-221), hinge

- 1-15 (222-236), CH2 L1.3>A (240), L1.2>A (241), G1>A (243) (237-346), CH3 E12 (362), M14 (364) (347-451), CHS K2>del (452), fused 8-mer RPQGFPGPP (453-460)) (124-460)], (226-214')-disulfide with L-kappa light chain humanized (1'-214') [V-KAPPA (*Homo sapiens* IGKV1-39\*01 (87.4%) -IGKJ2\*02 (100%), CDR-IMGT [6.3.9] (27'-32'.50'-52'.89'-97')) (1'-107') -*Homo sapiens* IGKC\*01 (100%), Km3 A45.1 (153'), V101 (191') (108'-214')]; dimer (232-232":235-235")-bisdisulfide, produced in Chinese hamster ovary (CHO) cells, derived from the cell line CHO-K1, glycoform alfa  
*immunostimulant, antineoplastic*
- mozistobart immunoglobuline G1-kappa, anti-[*Homo sapiens* CD22 (Ig-like lectine 2 liant l'acide sialique, SIGLEC2, SIGLEC-2, molécule d'adhésion cellulaire du lymphocyte B, BL-CAM, Leu-14)], anticorps monoclonal humanisé; chaîne lourde H-gamma1 humanisée (1-460) [VH (*Homo sapiens* IGHV3-48\*03 (89.8%) -(IGHD) -IGHJ4\*01 (85.7%) Q120>R (115), CDR-IMGT [8.8.16] (26-33.51-58.97-112)) (1-123) -*Homo sapiens* IGHG1\*03v, G1m3>G1m17, nG1m1 CH1 K120, CH3 E12, M14, G1v14-1 CH2 A1.3, A1.2, A1 (CH1 R120>K (220) (124-221), charnière 1-15 (222-236), CH2 L1.3>A (240), L1.2>A (241), G1>A (243) (237-346), CH3 E12 (362), M14 (364) (347-451), CHS K2>del (452), 8-mer fusionné RPQGFPGPP (453-460)) (124-460)], (226-214')-disulfure avec la chaîne légère L-kappa humanisée (1'-214') [V-KAPPA (*Homo sapiens* IGKV1-39\*01 (87.4%) -IGKJ2\*02 (100%), CDR-IMGT [6.3.9] (27'-32'.50'-52'.89'-97')) (1'-107') -*Homo sapiens* IGKC\*01 (100%), Km3 A45.1 (153'), V101 (191') (108'-214')]; dimère (232-232":235-235")-bisdisulfure, produit dans des cellules ovariennes de hamster chinois (CHO), dérivant de la lignée cellulaire CHO-K1, glycoforme alfa  
*immunostimulant, antinéoplasique*
- mozistobart inmunoglobulina G1-kappa, anti-[*Homo sapiens* CD22 (Ig-like lectina 2 que se une al ácido siálico, SIGLEC2, SIGLEC-2, molécula de adhesión celular del linfocito B, BL-CAM, Leu-14)], anticuerpo monoclonal humanizado; cadena pesada H-gamma1 humanizada (1-460) [VH (*Homo sapiens* IGHV3-48\*03 (89.8%) -(IGHD) -IGHJ4\*01 (85.7%) Q120>R (115), CDR-IMGT [8.8.16] (26-33.51-58.97-112)) (1-123) -*Homo sapiens* IGHG1\*03v, G1m3>G1m17, nG1m1 CH1 K120, CH3 E12, M14, G1v14-1 CH2 A1.3, A1.2, A1 (CH1 R120>K (220) (124-221), bisagra 1-15 (222-236), CH2 L1.3>A (240), L1.2>A (241), G1>A (243) (237-346), CH3 E12 (362), M14 (364) (347-451), CHS K2>del (452), 8-mer fusionada RPQGFPGPP (453-460)) (124-460)], (226-214')-disulfuro con la cadena ligera L-kappa humanizada (1'-214') [V-KAPPA (*Homo sapiens* IGKV1-39\*01 (87.4%) -IGKJ2\*02 (100%), CDR-IMGT [6.3.9] (27'-32'.50'-52'.89'-97')) (1'-107') -*Homo sapiens* IGKC\*01 (100%), Km3 A45.1 (153'), V101 (191') (108'-214')]; dímero (232-232":235-235")-bisdisulfuro, producido en las células ováricas de hamster chino (CHO), línea celular derivada de CHO-K1, forma glicosilada alfa  
*inmunostimulante, antineoplásico*

2852752-92-0

**Heavy chain / Chaîne lourde / Cadena pesada**

QVQLLESGGG VVQPGGSLRL SCAASGFAPF IYDMNWVRQA PGKGLEWVSA 50  
 ISSGGGTTY ADSVKGRFTI SRDPAKNSLY LQMNSLRAED TAVYYCARHS 100  
 GYTHNGVLF AYWGRGTLVT VSSASTKQFS VFPLAPSSKS TSGGPTALGC 150  
 LVKDYFPEPV TVSWNSGALT SGVHTFPAVL QSSGLYSLSS VVTVPSSSLG 200  
 TQTYICNVNH KPSNTKVDKK VEPKSCDKTH TCPPCPAPEA AGAPSVLFFP 250  
 FKPKDTLMIS RTPEVTCVVV DVSHEDEPEK FNWYVDGVEV HNAKTKPREE 300  
 QYNSTYRVVS VLTVLHQDWL NGKEYKCRVS NKALPAPIEK TISKARGQPR 350  
 EPQVYTLPPS REEMTKNQVS LTCLVKGFPY SDIAVEWESN GPENNYKTT 400  
 FVPLDSDGSF FLYSKLTVDK SRWQQGNVFS CSMVHEALHN HYTQKSLSL 450  
 FGRPQGFPP 460

**Light chain / Chaîne légère / Cadena ligera**

DIQMTQSPSS LSASVGRVIT ITCRASQDIH GYLNWYQQKPK GKAPKLLIYY 50  
 TSILHSGVPS RFGSGSGTD FTLTISSLQP EDFATYFCQQ GSTLPWTFQG 100  
 GTKLEIKRVT AAPSVEIFPP SDEQLKSGTA SVVCLLNIFY PREAKVQMKV 150  
 DNALQSGNSQ ESVTEQDSK STYLSLSTLT LSKADYEKHK VYACEVTHQG 200  
 LSSPVTKSFN RGEK 214

**Post-translational modifications**

Disulfide bridges location / Position des ponts disulfure / Posiciones de los puentes disulfuro

Intra-H (C23-C104) 22-96 150-206 267-327 373-431  
 22"-96" 150"-206" 267"-327" 373"-431"

Intra-L (C23-C104) 23"-88" 134"-194"  
 23"-88" 134"-194"

Inter-H-L (h 5-CL 126) 226-214' 226"-214"

Inter-H-H (h 11, h 14) 232-232" 235-235"

N-terminal glutaminyl cyclization / Cyclisation du glutaminyle N-terminal / Ciclación del glutaminilo N-terminal

Q > pyroglutamyl (pE, 5-oxoprolyl) / pyroglutamide (pE, 5-oxoprolyle) / piroglutamilo (pE, 5-oxoprolilo)

H VH Q1: 1, 1"

N-glycosylation sites / Sites de N-glycosylation / Posiciones de N-glicosilación

H CH2 N84.4: 303, 303"

Fucosylated complex bi-antennary CHO-type glycans / glycanes de type CHO bi-antennaires complexes fucosylés / glicanos de tipo CHO biantennarios complejos fucosilados

**mozistobartum zoratolimodum #**

mozistobart zoratolimod

immunoglobulin G1-kappa, anti-[*Homo sapiens* CD22 (sialic acid binding Ig-like lectin 2, SIGLEC2, SIGLEC-2, B-lymphocyte cell adhesion molecule, BL-CAM, Leu-14)], humanized monoclonal antibody; conjugated at one glutamine residue with *zoratolimod*; H-gamma1 heavy chain humanized (1-460) [VH (*Homo sapiens*IGHV3-48\*03 (89.8%) -(IGHD)-IGHJ4\*01 (85.7%) Q120>R (115), CDR-IMGT [8.8.16] (26-33.51-58.97-112))] (1-123) -*Homo sapiens*IGHG1\*03v, G1m3>G1m17, nG1m1 CH1 K120, CH3 E12, M14, G1v14-1 CH2 A1.3, A1.2, A1 (CH1 R120>K (220) (124-221), hinge 1-15 (222-236), CH2 L1.3>A (240), L1.2>A (241), G1>A (243) (237-346), CH3 E12 (362), M14 (364) (347-451), CHS K2>del (452), fused 8-mer RPQGFPP (453-460)) (124-460)], (226-214')-disulfide with L-kappa light chain humanized (1'-214') [V-KAPPA (*Homo sapiens* IGKV1-39\*01 (87.4%) -IGKJ2\*02 (100%), CDR-IMGT [6.3.9] (27'-32'.50'-52'.89'-97'')) (1'-107') -*Homo sapiens* IGKC\*01 (100%), Km3 A45.1 (153'), V101 (191') (108'-214')]; dimer (232-232":235-235")-bisdisulfide, produced in Chinese hamster ovary (CHO) cells, derived from the cell line CHO-K1, glycoform alfa; substituted at N<sup>6</sup> of L-glutamine residue 255 with radical group (1RS)-1-[[*all-P-ambo*-5-bromo-2'-deoxy-*P*-thiouridylyl-(3'→5')-2'-deoxy-*P*-thiocytidylyl-(3'→5')-2'-deoxy-*P*-thioguanilyl-(3'→5')-3'-deoxythymidin-3'-yl]oxy]-1-[[*all-P-ambo*-3'-O-[hydroxy(3-hydroxypropyl)phosphorothioyl]-5,2'-O-dimethyl-*P*-thiouridylyl-(5'→3')-5,2'-O-dimethyl-*P*-thiouridylyl-(5'→3')-*P*-thiothymidylyl-(5'→3')-2'-deoxy-*P*-thioguanilyl-(5'→3')-2'-deoxy-*P*-

- dithiocytidylyl-(5'→3')-*P*-thiothymidylyl-(5'→3')-2'-deoxy-*P*-thioguanilyl-(5'→3')-*P*-thiothymidylyl-(5'→3')-2'-deoxy-*P*-thioguanilyl-(5'→3')-2',3'-dideoxycytidin-3'-yl[oxy]phosphorothioyl[oxy]-12-oxo-1-sulfanylidene-2,5,8,15,18,21,24,27,30,33,36,39,42,45,48,51,54,57,60,63,66,69,72,75,78,81,84-heptacosaoxa-11-aza-1-phosphahexaoctacontan-86-yl (*zoratalimod*)  
*immunostimulant, antineoplastic*
- mozistobart zoratalimod immunoglobuline G1-kappa, anti-[*Homo sapiens* CD22 (Ig-like lectine 2 liant l'acide sialique, SIGLEC2, SIGLEC-2, molécule d'adhésion cellulaire du lymphocyte B, BL-CAM, Leu-14)], anticorps monoclonal humanisé; conjugué sur une glutamine *au zoratalimod*; chaîne lourde H-gamma1 humanisée (1-460) [VH (*Homo sapiens*IGHV3-48\*03 (89.8%) -(IGHD) -IGHJ4\*01 (85.7%) Q120>R (115), CDR-IMGT [8.8.16] (26-33.51-58.97-112)) (1-123) -*Homo sapiens*IGHG1\*03v, G1m3>G1m17, nG1m1 CH1 K120, CH3 E12, M14, G1v14-1 CH2 A1.3, A1.2, A1 (CH1 R120>K (220) (124-221), charnière 1-15 (222-236), CH2 L1.3>A (240), L1.2>A (241), G1>A (243) (237-346), CH3 E12 (362), M14 (364) (347-451), CHS K2>del (452), 8-mer fusionné RPQGFPGPP (453-460)) (124-460)], (226-214')-disulfure avec la chaîne légère L-kappa humanisée (1'-214') [V-KAPPA (*Homo sapiens* IGKV1-39\*01 (87.4%) -IGKJ2\*02 (100%), CDR-IMGT [6.3.9] (27'-32'.50'-52'.89'-97')) (1'-107') -*Homo sapiens* IGKC\*01 (100%), Km3 A45.1 (153'), V101 (191') (108'-214')]; dimère (232-232":235-235")-bisdisulfure, produit dans des cellules ovariennes de hamster chinois (CHO), dérivant de la lignée cellulaire CHO-K1, glycoforme alfa; substitué en N<sup>6</sup> du résidu L-glutamine 255 par un groupe radical (1RS)-1-[[*tout-P-ambo*-5-bromo-2'-désoxy-*P*-thiouridylyl-(3'→5')-2'-désoxy-*P*-thiocytidylyl-(3'→5')-2'-désoxy-*P*-thioguanilyl-(3'→5')-3'-désoxythymidin-3'-yl[oxy]-1-[[*tout-P-ambo*-3'-O-[hydroxy(3-hydroxypropyl)phosphorothioyl]-5,2'-O-diméthyl-*P*-thiouridylyl-(5'→3')-5,2'-O-diméthyl-*P*-thiouridylyl-(5'→3')-*P*-thiothymidylyl-(5'→3')-2'-désoxy-*P*-thioguanilyl-(5'→3')-2'-désoxy-*P*-dithiocytidylyl-(5'→3')-*P*-thiothymidylyl-(5'→3')-2'-désoxy-*P*-thioguanilyl-(5'→3')-*P*-thiothymidylyl-(5'→3')-2'-désoxy-*P*-thioguanilyl-(5'→3')-2',3'-didésoxycytidin-3'-yl[oxy]-12-oxo-1-sulfanylidène-2,5,8,15,18,21,24,27,30,33,36,39,42,45,48,51,54,57,60,63,66,69,72,75,78,81,84-heptacosaoxa-11-aza-1-phosphahexaoctacontan-86-yle (*zoratalimod*)  
*immunostimulant, antinéoplasique*
- mozistobart zoratalimod inmunoglobulina G1-kappa, anti-[*Homo sapiens* CD22 (Ig-like lectina 2 de unión al ácido siálico, SIGLEC2, SIGLEC-2, molécula de adhesión celular del infocito B, BL-CAM, Leu-14)], anticuerpo monoclonal humanizado; conjugado por un único residuo de glutamina con el *zoratalimod*; cadena pesada H-gamma1 humanizada (1-460) [VH (*Homo sapiens*IGHV3-48\*03 (89.8%) -(IGHD) -IGHJ4\*01 (85.7%) Q120>R (115), CDR-IMGT [8.8.16] (26-33.51-58.97-112)) (1-123) -*Homo sapiens*IGHG1\*03v, G1m3>G1m17, nG1m1 CH1 K120, CH3 E12, M14, G1v14-1 CH2 A1.3, A1.2, A1 (CH1 R120>K (220) (124-221), bisagra 1-15 (222-236), CH2 L1.3>A (240), L1.2>A (241), G1>A (243) (237-346), CH3 E12 (362), M14 (364) (347-451), CHS K2>del (452), 8-mer fusionada RPQGFPGPP (453-460)) (124-460)], (226-214')-disulfuro con la cadena ligera L-kappa humanizada (1'-214') [V-KAPPA (*Homo sapiens* IGKV1-39\*01 (87.4%) -IGKJ2\*02 (100%), CDR-IMGT [6.3.9] (27'-32'.50'-52'.89'-97')) (1'-107') -*Homo sapiens* IGKC\*01 (100%), Km3 A45.1 (153'), V101 (191') (108'-214')]; dímero (232-232":235-235")-bisdisulfuro, producido en las células ováricas

de hámster chino (CHO), línea celular derivada de CHO-K1, forma glicosilada alfa; sustituido en N<sup>5</sup> del residuo L-glutamina 255 por un grupo radical (1R<sup>S</sup>)-1-[[*todo-P-ambo-5-bromo-2'-desoxi-P-tiouridilil*-(3'→5')-2'-desoxi-*P-tiocitidilil*-(3'→5')-2'-desoxi-*P-tioguanilil*-(3'→5')-3'-desoxitimidin-3'-il]oxi]-1-[[*todo-P-ambo-3'-O*]-[hidroxil(3-hidroxi)propil]fosforotioil]-5,2'-*O*-dimetil-*P-tiouridilil*-(5'→3')-5,2'-*O*-dimetil-*P-tiouridilil*-(5'→3')-*P-tiotimidilil*-(5'→3')-2'-desoxi-*P-tioguanilil*-(5'→3')-2'-desoxi-*P-ditiocitidilil*-(5'→3')-*P-tiotimidilil*-(5'→3')-2'-desoxi-*P-tioguanilil*-(5'→3')-*P-tiotimidilil*-(5'→3')-2'-desoxi-*P-tioguanilil*-(5'→3')-2',3'-didesoxicitidin-3'-il]oxi]-12-oxo-1-sulfanilideno-2,5,8,15,18,21,24,27,30,33,36,39,42,45,48,51,54,57,60,63,66,69,72,75,78,81,84-heptacosaoxa-11-aza-1-fosfahexaoctacontan-86-ilo (*zorotolimod*)

*inmunoestimulante, antineoplásico*

2852752-99-7

Heavy chain / Chaîne lourde / Cadena pesada

OVQLLESQGG VVQPGGSLRL SCAASGFAPS IYDMNWWROA PGKGLEWVSA 50  
ISSGGGTTYI ADSVGRFTI SRDNAKNSLY LQMNLSRAED TAYYVCARHS 100  
GYGTHWGLVF AYWGRGTLVT VSSASTKGPS VFPLAPSSKS TSGGTAALGC 150  
LVKDYFPEPV TVSWNSGALT SGVHTFPAVL QSSGLYSLSL VVTVPSSSLG 200  
TQTYICNVNH KPSNTKVDKK VEPKSCDKTH TCPPCPAPEA AGAPSVFLEP 250  
PKPKDTLMIS RTPENVTCVVV DVSHEDEPEVK FNWYDGVVEV HNAKTKPREE 300  
QYNSTRYRVS VLTVLHQDWL NGKEYKCKVS NKALPAPIEK TISKAKGQPR 350  
EPQVYLPSS REEMTKNQVS LTCLVKGFYP SDIAVEWESN GPENNYKTT 400  
PPVLDSGGSF FLYSKLTVDK SRWQQGNVFS CSMVHEALHN HYTQKSLSL 450  
PGRPQGFQFP 460

Light chain / Chaîne légère / Cadena ligera

DIQMTQSPFS LSASVGDRTV ITCRASQDIH GYLNWYQKPK GKAPKLLIYY 50  
TSLILHSGVPS RFSGSGSGTD FTLTISLSLP EDFATYFQQG GSTLPEWTFGQ 100  
GTKLEIKRTV AAPSVFIFPP SDEQLKSGTA SVVCLLNMFY PREARVQWVK 150  
DNALQSGNSQ ESVTEQDSKD STYLSLSLT LSKADYERKH VYACEVTHQG 200  
LSSPVTKSFN RGECC 214

Post-translational modifications

Disulfide bridges location / Position des ponts disulfure / Posiciones de los puentes disulfuro

Intra-H (C23-C104) 22-96 150-206 267-327 373-431

22"-96" 150"-206" 267"-327" 373"-431"

Intra-L (C23-C104) 23"-88" 134"-194"

23"-88" 134"-194"

Inter-H-L (h 5-CL 126) 226-214" 226"-214"

Inter-H-H (h 11, h 14) 232-232" 235-235"

N-terminal glutaminy cyclization / Cyclisation du glutaminy le N-terminal / Ciclación del glutaminylo N-terminal

Q> pyroglutamyl (pE, 5-oxopropyl) / pyroglutamyle (pE, 5-oxopropyle) / piroglutamilo

(pE, 5-oxopropilo)

H V H Q I: 1, 1"

N-glycosylation sites / Sites de N-glycosylation / Posiciones de N-glicositación

H CH2 N84.4: 303,303"

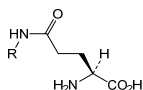
Fucosylated complex bi-antennary CHO-type glycans / glycanes de type CHO bi-antennaires

complexes fucosylés / glicanos de tipo CHO biantennaires complejos fucosilados

Modified residue / résidu modifié / restos modificados\*

Q (455)

\* (zorotolimod:mAb ~ 1:1)



R: (3'-5')b<sup>r</sup>f<sup>U</sup><sub>n</sub>=dC=dG=dI=dC=dG=dT=dG=dT#dC=dG=dT=m<sup>f</sup>Um=m<sup>f</sup>Um

N: nucleoside / nucléoside / nucleósido

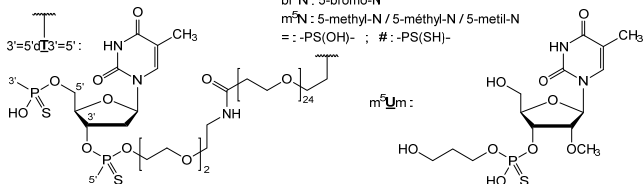
dN & N<sub>2</sub>: 2'-deoxy-N / 2'-désoxy-N / 2'-desoxi-N

Nm: 2'-O-methyl-N / 2'-O-méthyl-N / 2'-O-metil-N

br<sup>r</sup>N: 5-bromo-N

m<sup>r</sup>N: 5-methyl-N / 5-méthyl-N / 5-metil-N

=: -PS(OH)- ; #: -PS(SH)-





**muvidenatum**

muvidenant

(5*S*)-*N*-[7-(3,6-dihydro-2*H*-pyran-4-yl)-4-methoxy[1,3]thiazolo[4,5-*c*]pyridin-2-yl]-7-oxa-2-azaspiro[4.5]decane-2-carboxamide  
*adenosine receptor antagonist, antineoplastic*

muvidénant

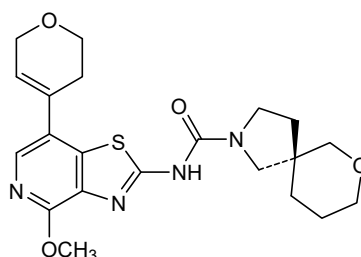
(5*S*)-*N*-[7-(3,6-dihydro-2*H*-pyran-4-yl)-4-méthoxy[1,3]thiazolo[4,5-*c*]pyridin-2-yl]-7-oxa-2-azaspiro[4.5]décane-2-carboxamide  
*antagoniste des récepteurs de l'adénosine, antinéoplasique*

muvidenant

(5*S*)-*N*-[7-(3,6-dihydro-2*H*-piran-4-il)-4-metoxi[1,3]thiazolo[4,5-*c*]piridin-2-il]-7-oxa-2-azaespiro[4.5]decano-2-carboxamida  
*antagonista de los receptores de la adenosina, antineoplásico*

C<sub>21</sub>H<sub>26</sub>N<sub>4</sub>O<sub>4</sub>S

2459881-03-7

**navenibartum #**

navenibart

immunoglobulin G1-kappa, anti-[*Homo sapiens* KLKB1 (kallikrein B 1, plasma prekallikrein (zymogen), kininogenin, Fletcher factor, KLK3) proteolytically cleaved by F12 (factor FXII), active plasma kallikrein (EC 3.4.21.34)], humanized monoclonal antibody;

H-gamma1 heavy chain humanized (1-450) [VH (*Homo sapiens* IGHV1-69\*08 (81.4%) -(IGHD) -IGHJ4\*01 (92.9%) L123>T (116), CDR-IMGT [8.8.14] (26-33.51-58.97-110)) (1-121) -*Homo sapiens* IGHG1\*03, G1m3, nG1m1 CH1 R120, CH3 E12, M14, G1v21 CH2 Y15.1, T16, E18 (CH1 R120 (218) (122-219), hinge 1-15 (220-234), CH2 M15.1>Y (256), S16>T (258), T18>E (260) (235-344), CH3 E12 (360), M14 (362) (345-449), CHS K2>del (450)) (122-450)], (224-214')-disulfide with L-kappa light chain humanized (1'-214') [V-KAPPA (*Homo sapiens* IGKV1-16\*01 (82.1%) -IGKJ2\*01 (100%), CDR-IMGT [6.3.9] (27'-32'.50'-52'.89'-97')) (1'-107') -*Homo sapiens* IGKC\*01 (100%), Km3 A45.1 (153'), V101 (191') (108'-214')]; dimer (230-230''-233-233'')-bisdisulfide, produced in a Chinese hamster ovary (CHO) cell line, derived from CHO-K1 cell line, lacking the glutamine synthetase (GS-KO) gene, glycoform alfa  
*kallikrein inhibitor*

navénibart

immunoglobuline G1-kappa, anti-[*Homo sapiens* KLKB1 (kallikréine B 1, prékallikréine plasmatique (zymogène), kinogénine, facteur de Fletcher, KLK3) clivé protéolytiquement par F12 (facteur FXII), kallikréine plasmatique active (EC 3.4.21.34)], anticorps monoclonal humanisé;

chaîne lourde H-gamma1 humanisée (1-450) [VH (*Homo sapiens* IGHV1-69\*08 (81.4%) -(IGHD)-IGHJ4\*01 (92.9%) L123>T (116), CDR-IMGT [8.8.14] (26-33.51-58.97-110)) (1-121) -*Homo sapiens* IGHG1\*03, G1m3, nG1m1 CH1 R120, CH3 E12, M14, G1v21 CH2 Y15.1, T16, E18 (CH1 R120 (218) (122-219), charnière 1-15 (220-234), CH2 M15.1>Y (256), S16>T (258), T18>E (260) (235-344), CH3 E12 (360), M14 (362) (345-449), CHS K2>del (450)) (122-450)], (224-214')-disulfure avec la chaîne légère L-kappa humanisée (1'-214') [V-KAPPA (*Homo sapiens* IGKV1-16\*01 (82.1%) -IGKJ2\*01 (100%), CDR-IMGT [6.3.9] (27'-32'.50'-52'.89'-97')) (1'-107') -*Homo sapiens* IGKC\*01 (100%), Km3 A45.1 (153'), V101 (191') (108'-214')]; dimère (230-230'':233-233'')-bisdisulfure, produit dans une lignée cellulaire des cellules ovariennes de hamster chinois (CHO), dérivant de la lignée cellulaire CHO-K1, ne présentant pas le gène de la glutamine synthétase (GS-KO), glycoforme alfa *inhibiteur de la kallikréine*

## navenibart

immunoglobulina G1-kappa, anti-[*Homo sapiens* KLKB1 (calicreína B 1, precalicreína plasmática (zimogén), kininogenina, factor de Fletcher, KLK3) escindido proteolíticamente por F12 (factor FXII), calicreína plasmática activa (EC 3.4.21.34)], anticuerpo monoclonal humanizado; cadena pesada H-gamma1 humanizada (1-450) [VH (*Homo sapiens* IGHV1-69\*08 (81.4%) -(IGHD)-IGHJ4\*01 (92.9%) L123>T (116), CDR-IMGT [8.8.14] (26-33.51-58.97-110)) (1-121) -*Homo sapiens* IGHG1\*03, G1m3, nG1m1 CH1 R120, CH3 E12, M14, G1v21 CH2 Y15.1, T16, E18 (CH1 R120 (218) (122-219), bisagra 1-15 (220-234), CH2 M15.1>Y (256), S16>T (258), T18>E (260) (235-344), CH3 E12 (360), M14 (362) (345-449), CHS K2>del (450)) (122-450)], (224-214')-disulfuro con la cadena ligera L-kappa humanizada (1'-214') [V-KAPPA (*Homo sapiens* IGKV1-16\*01 (82.1%) -IGKJ2\*01 (100%), CDR-IMGT [6.3.9] (27'-32'.50'-52'.89'-97')) (1'-107') -*Homo sapiens* IGKC\*01 (100%), Km3 A45.1 (153'), V101 (191') (108'-214')]; dímero (230-230'':233-233'')-bisdisulfuro, producido en una línea celular de las células ováricas de hámster chino (CHO), derivada de la línea celular CHO-K1, en ausencia del gen glutamina sintetasa (GS-KO), forma glicosilada alfa *inhibidor de la calicreína*

2803430-16-0

Heavy chain / Chaîne lourde / Cadena pesada : H-gamma1 (H, H<sup>1</sup>) anti-KLKB1  
 QQVLVQSGAE VKKPGSSVKV SCKASGYAFS SYWMNWVROA PGQGLEWIGQ 50  
 IYPGDDTNY NAKFQGRVTI TVDKSTTTAY MELSSLRSED TAVYFCAGSL 100  
 MVTFGAFDFY WQGQTTVTVS SASTKGPSVF PLAPSSKSTS GGTAALGCLV 150  
 KDYFPEFVTV SWNSGALTSQ VHTFPAVLQS SGLYLSLSSVV TWPSSSLGTQ 200  
 TYICNVNHPK SNTKVDKRVK PKSCDKTHTC PFCPAPELLG GPSVFLFPPK 250  
 PKDLYLTRE PEVTCVVVDV SHEDPEVKFN WYVDGVEVHN AKTKPREPEQY 300  
 NSTYRVVSVL TVLHQDWLNG KEYKCKVSNK ALPAPIEKTI SKAKGQPREP 350  
 QYVTLPPSRE EMTKNQVSLT CLVKGFPYPSD IAVEWESNQG PENNYKTFPP 400  
 VLDSGSGSFL YSKLTVDKSR WQQGNVFCFS VMHEALHNYH TQKSLSLSPG 450

Light chain / Chaîne légère / Cadena ligera : L-kappa (L, L<sup>1</sup>) anti-KLKB1  
 DIQMTQSPSS LSASVGRVIT ITCKASQDVG IAVAWYQQKPK GKAPKFLIYY 50  
 ASHRGWGVPD RFGSGSGGTD FTLTISSLQP EDFATYFCQQ YRSYPLTFPGQ 100  
 GTKLEIKRTV AAPSVEIFPP SDEQLKSGTA SVVCLLNNEY FREAKVQWKV 150  
 DNALQSGNSQ ESVTEQDSKD STYLSLSTLT LSKADYEKHK VYACEVTHQG 200  
 LSSPVTKSFN RGEK 214

**Post-translational modifications**

Disulfide bridges location / Position des ponts disulfure / Posiciones de los puentes disulfuro

Intra-H (C23-C104) 22-96 148-204 265-325 371-429  
 22"-96" 148"-204" 265"-325" 371"-429"  
 Intra-L (C23-C104) 23-88" 134"-194"  
 23'''-88''' 134'''-194'''  
 Inter-H-L (h 5-CL 126) 224-214' 224"-214"  
 Inter-H-H (h 11, h 14) 230-230" 233-233"

N-terminal glutaminyl cyclization / Cyclisation du glutaminyle N-terminal / Ciclación del glutaminilo N-terminal

Q > pyroglutamyl (pE, 5-oxoprolil) / pyroglutamyle (pE, 5-oxoprolyle) / piroglutamilo (pE, 5-oxoprolilo)  
 H VH Q1: 1, 1"

N-glycosylation sites / Sites de N-glycosylation / Posiciones de N-glicosilación  
 H CH2 N84.4: 301, 301"

Fucosylated complex bi-antennary CHO-type glycans / glycanes de type CHO bi-antennaires complexes fucosylés / glicanos de tipo CHO biantennarios complejos fucosilados

**nefextinibum**

nefextinib

7-(4-fluoro-2-methoxyphenyl)-6-methyl-N-[1-(piperidin-4-yl)-1H-pyrazol-4-yl]thieno[3,2-d]pyrimidin-2-amine  
*tyrosine kinase inhibitor, antineoplastic*

néfextinib

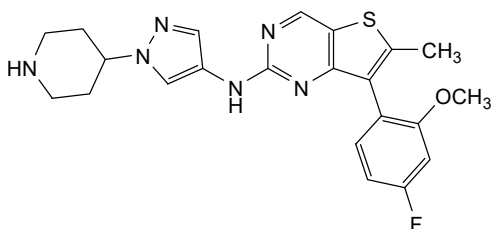
7-(4-fluoro-2-méthoxyphényl)-6-méthyl-N-[1-(pipéridin-4-yl)-1H-pyrazol-4-yl]thiéno[3,2-d]pyrimidin-2-amine  
*inhibiteur de la tyrosine kinase, antinéoplasique*

nefextinib

7-(4-fluoro-2-metoxifenil)-6-metil-N-[1-(piperidin-4-il)-1H-pirazol-4-il]tieno[3,2-d]pirimidin-2-amina  
*inhibidor de la tirosina kinasa, antineoplásico*

C<sub>22</sub>H<sub>23</sub>FN<sub>6</sub>OS

2070931-57-4

**neladalkibum**

neladalkib

(6R)-2<sup>5</sup>-chloro-2<sup>2</sup>-ethyl-5<sup>4</sup>-fluoro-4<sup>1</sup>,6-dimethyl-2<sup>2</sup>H,4<sup>1</sup>H-7-oxa-1(3,5)-pyridina-2(3,4),4(4,3)-dipirazola-5(1,2)-benzenacycloheptaphan-1<sup>6</sup>-amine  
*anaplastic lymphoma kinase (ALK) inhibitor, antineoplastic*

néladalkib

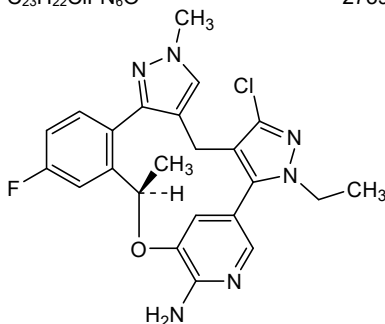
(6R)-2<sup>5</sup>-chloro-2<sup>2</sup>-éthyl-5<sup>4</sup>-fluoro-4<sup>1</sup>,6-diméthyl-2<sup>2</sup>H,4<sup>1</sup>H-7-oxa-1(3,5)-pyridina-2(3,4),4(4,3)-dipirazola-5(1,2)-benzénacycloheptaphan-1<sup>6</sup>-amine  
*inhibiteur de la kinase du lymphome anaplasique (ALK), antinéoplasique*

neladalkib

(6R)-2<sup>5</sup>-cloro-2<sup>2</sup>-etil-5<sup>4</sup>-fluoro-4<sup>1</sup>,6-dimetil-2<sup>2</sup>H,4<sup>1</sup>H-7-oxa-1(3,5)-piridina-2(3,4),4(4,3)-dipirazola-5(1,2)-bencenacycloheptafan-1<sup>6</sup>-amina  
*inhibidor de la kinasa del linfoma anaplásico (ALK), antineoplásico*

C<sub>23</sub>H<sub>22</sub>ClFN<sub>6</sub>O

2739866-40-9



**nendocabtagenium onogedleucelum #**

nendocabtagene onogedleucel

allogeneic T lymphocytes obtained from peripheral blood mononuclear cells by leukapheresis of healthy volunteer donors, transduced with a self-inactivating, non-replicating lentiviral vector encoding a chimeric antigen receptor (CAR) targeting human B-cell maturation antigen (BCMA). The cells are also genetically modified using transcription activator-like (TAL) effector nucleases that are transiently delivered into the cell as mRNAs via electroporation and code for two pairs: one pair is designed for disruption of the T-cell receptor  $\alpha$  constant (TRAC) and the other for disruption of the CD52 locus.

The expressed transgene comprises a human CD8 $\alpha$  leader sequence, an anti-BCMA single chain variable fragment (scFv) derived from the anti-human BCMA (clone P5A2), a CD8 $\alpha$  hinge and transmembrane domain, and 4-1BB (CD137) and CD3 $\zeta$  (CD247) intracellular costimulatory domains, under control of the human elongation factor 1 alpha (EF1 $\alpha$ ) promoter. The extracellular region of the CAR also contains 2 mimotopes that confer susceptibility to *rituximab*. The construct is flanked by 5' and 3' long terminal repeats (LTRs) and also contains a  $\psi$  packaging signal, a truncated *gag*, a Rev response element (RRE), a central polypurine tract (cPPT) sequence and a mutated Woodchuck hepatitis virus post-transcriptional regulatory element (WPRE). The vector is pseudotyped with vesicular stomatitis virus (VSV) glycoprotein G.

The leukapheresis material is activated by CD3 and CD28 agonists to stimulate T lymphocyte growth in media containing serum and interleukin 2 (IL-2), transduced with the lentiviral vector, genetically modified, and then culture expanded. At the end of expansion, TCR<sup>-</sup> cells are enriched by positive selection and residual TCR<sup>+</sup> cells are depleted using magnetic bead purification. The T lymphocytes consist of  $\geq 20\%$  TCR  $\alpha\beta$  T lymphocytes expressing the CAR-BCMA transgene,  $\geq 50\%$  CD52<sup>-</sup> and  $\leq 3.0\%$  TCR  $\alpha\beta$ <sup>+</sup> T lymphocytes. The cells respond to BCMA-expressing target cells by releasing interferon gamma (IFN- $\gamma$ ) and demonstrate cytotoxicity against cells expressing BCMA *cell-based gene therapy (antineoplastic)*

nendocabtagène onogedleucel

lymphocytes T allogéniques obtenus par leucaphérèse à partir de cellules mononucléaires de sang périphérique provenant de donneurs volontaires sains, transduits avec un vecteur lentiviral auto-inactivant et non répliquant codant un récepteur antigénique chimérique (CAR) ciblant l'antigène humain de maturation des cellules B (BCMA). Les cellules sont également modifiées génétiquement à l'aide de nucléases effectrices de type activateur de transcription (TAL) qui sont délivrées transitoirement dans la cellule sous forme d'ARNm par électroporation et qui codent deux paires: une paire conçue pour la perturbation du récepteur  $\alpha$  constant des cellules T (TRAC) et l'autre pour la perturbation du locus CD52.

Le transgène exprimé comprend une séquence de tête CD8 $\alpha$  humaine, un fragment variable à chaîne unique anti-BCMA (scFv) dérivé de l'anti-BCMA humain (clone P5A2), une charnière et un domaine transmembranaire CD8 $\alpha$ , ainsi que les domaines co-stimulateurs intracellulaires 4-1BB (CD137) et CD3 $\zeta$  (CD247), sous le contrôle du promoteur du facteur d'élongation 1 alpha (EF1 $\alpha$ ) humain. La région extracellulaire du CAR contient également 2 mimotopes qui lui confèrent une sensibilité au *rituximab*. La construction

est flanquée de longues répétitions terminales (LTR) en 5' et 3' et contient également un signal d'encapsidation  $\psi$ , un *gag* tronqué, un élément de réponse Rev (RRE), une séquence du tractus polypurine central (cPPT) et un élément muté de régulation post-transcriptionnelle du virus de l'hépatite de la marmotte (WPRE). Le vecteur est pseudotypé avec la glycoprotéine G du virus de la stomatite vésiculaire (VSV).

Le matériel de leucaphérèse est activé par des agonistes CD3 et CD28 pour stimuler la croissance des lymphocytes T dans des milieux contenant du sérum et de l'interleukine 2 (IL-2), transduits avec le vecteur lentiviral, génétiquement modifiés, puis amplifiés en culture. À la fin de l'amplification, les cellules TCR<sup>-</sup> sont enrichies par sélection positive et les cellules TCR<sup>+</sup> résiduelles sont éliminées par purification sur billes magnétiques. Les lymphocytes T sont constitués de  $\geq 20\%$  de lymphocytes T TCR  $\alpha\beta$  exprimant le transgène CAR-BCMA, de  $\geq 50\%$  de lymphocytes CD52<sup>-</sup> et de  $\leq 3.0\%$  de lymphocytes T TCR  $\alpha\beta$ <sup>+</sup>. Les cellules répondent aux cellules cibles exprimant le BCMA en libérant de de l'interféron gamma (IFN- $\gamma$ ) et démontrent une cytotoxicité contre les cellules exprimant le BCMA  
*thérapie génique à base de cellules (antinéoplasique)*

nendocabtagén onogedleucel

linfocitos T alogénicos obtenidos de células mononucleares de sangre periférica mediante leucoaféresis de donantes voluntarios sanos, transducidos con un vector lentiviral no replicativo, auto inactivante, que codifica para un receptor de antígenos quimérico (CAR) dirigido al antígeno de maduración de linfocitos B (BCMA). Las células también se modifican genéticamente usando nucleasas efectoras similares al activador de la transcripción (TAL) que se administran transitoriamente a la célula en forma de ARNm mediante electroporación y que codifican para dos pares: un par está diseñado para la ruptura de la cadena constante  $\alpha$  del receptor de linfocitos T (TRAC) y el otro para la ruptura del locus de CD52.

El transgén expresado contiene una secuencia líder del CD8 $\alpha$  humano, un fragmento variable de cadena sencilla (scFv) anti-BCMA derivado del anti-BCMA humano (clon P5A2), un dominio bisagra y transmembrana de CD8 $\alpha$ , y dominios coestimuladores intracelulares de 4-1BB (CD137) y de CD3 $\zeta$ (CD247), bajo el control del promotor del factor de elongación 1 alfa (EF-1 $\alpha$ ) humano. La región extracelular del CAR también contiene 2 mimotopos que confieren susceptibilidad a *rituximab*. El constructo está flanqueado por repeticiones terminales largas (LTRs) en 5' y 3' y también contiene una señal de empaquetamiento  $\psi$ , un *gag* truncado, un elemento de respuesta Rev (RRE), una secuencia de tracto de polipurina central (cPPT) y un elemento regulador post-transcripcional del virus de la hepatitis de la marmota (WPRE) mutado. El vector está pseudotipado con la glicoproteína G del virus de la estomatitis vesicular (VSV).

El material de leucoaféresis se activa con agonistas de CD3 y CD28 para estimular el crecimiento de linfocitos T en medio que contiene suero e interleuquina 2 (IL-2), se transducen con el vector lentiviral, se modifican genéticamente y se expanden en cultivo. Al final de la expansión, los linfocitos TCR- se enriquecen mediante

selección positiva y los linfocitos TCR+ residuales se deplecionan usando purificación con bolas magnéticas. Los linfocitos T consisten en  $\geq 20\%$  de linfocitos T TCR  $\alpha\beta^+$  que expresan el transgén del CAR-BCMA,  $\geq 50\%$  de linfocitos T CD52 $^-$  y  $\leq 3.0\%$  de linfocitos T TCR  $\alpha\beta^+$ . Las células responden a células diana que expresan BCMA liberando interferón gamma (IFN- $\gamma$ ) y demuestran citotoxicidad frente a células que expresan BCMA *terapia génica basada en células (antineoplásico)*

**nibrozetinum**

nibrozetone

2-bromo-1-(3,3-dinitroazetidín-1-yl)ethan-1-one  
*anti-inflammatory*

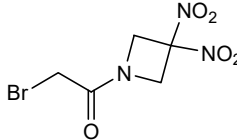
nibrozétone

2-bromo-1-(3,3-dinitroazétidín-1-yl)éthan-1-one  
*anti-inflammatoire*

nibrozetona

2-bromo-1-(3,3-dinitroazetidín-1-il)etan-1-ona  
*antiinflamatorio*C<sub>5</sub>H<sub>6</sub>BrN<sub>3</sub>O<sub>5</sub>

925206-65-1

**noraramtidum**

noraramtide

1,13-anhydro-S<sup>24</sup>,S<sup>34</sup>-cyclo[L-alanyl-L-arginyl-(2S)-2-aminoheptanoyl-L-tyrosyl-L-histidyl-L- $\alpha$ -aspartylglycyl-L-valyl-L-leucyl-4-phenyl-L-phenylalanyl-(2S)-2-aminoheptanoyl-L- $\alpha$ -aspartyl-S-(carboxymethyl)-L-cysteinyl-1-{{{(5aRS,6SR,6aSR)-1-(20-amino-3,6,9,12,15,18-hexaoxaicosan-1-yl)-1,4,5,5a,6,6a,7,8-octahydrocyclopropa[5,6]cycloocta[1,2-d][1,2,3]triazol-6-yl}methoxy}carbonyl)piperidine-4-carbonylglycyl-D- $\gamma$ -glutamyl-D- $\gamma$ -glutamyl-D- $\alpha$ -glutamyl-D- $\gamma$ -glutamyl-D- $\gamma$ -glutamylglycylglycyl-L- $\alpha$ -aspartyl-L-cysteinyl-L-alanyl-L-tryptophyl-L-histidyl-L-leucylglycyl-L- $\alpha$ -glutamyl-L-leucyl-L-valyl-L-tryptophyl-L-cysteinyl-L-threonine]  
*antineoplastic*

noraramtide

1,13-anhydro-S<sup>24</sup>,S<sup>34</sup>-cyclo[L-alanyl-L-arginyl-(2S)-2-aminoheptanoyl-L-tyrosyl-L-histidyl-L- $\alpha$ -aspartylglycyl-L-valyl-L-leucyl-4-phényl-L-phénylalanyl-(2S)-2-aminoheptanoyl-L- $\alpha$ -aspartyl-S-(carboxyméthyl)-L-cystéinyl-1-{{{(5aRS,6SR,6aSR)-1-(20-amino-3,6,9,12,15,18-hexaoxaicosan-1-yl)-1,4,5,5a,6,6a,7,8-octahydrocyclopropa[5,6]cycloocta[1,2-d][1,2,3]triazol-6-yl}méthoxy}carbonyl)pipéridine-4-carbonylglycyl-D- $\gamma$ -glutamyl-D- $\gamma$ -glutamyl-D- $\alpha$ -glutamyl-D- $\gamma$ -glutamyl-D- $\gamma$ -glutamylglycylglycyl-L- $\alpha$ -aspartyl-L-cystéinyl-L-alanyl-L-tryptophyl-L-histidyl-L-leucylglycyl-L- $\alpha$ -glutamyl-L-leucyl-L-valyl-L-tryptophyl-L-cystéinyl-L-thréonine]  
*antinéoplasique*

noraramtida

1,13-anhidro-S<sup>24</sup>,S<sup>34</sup>-ciclo[L-alanil-L-arginil-(2S)-2-aminoheptanoil-L-tirosil-L-histidil-L-α-aspartilglicil-L-valil-L-leucil-3-([1,1'-bifenil]-4-il)-L-alanil-(2S)-2-aminoheptanoil-L-α-aspartil-S-(carboximetil)-L-cisteinil-1-(((5aRS,6SR,6aSR)-1-(20-amino-3,6,9,12,15,18-hexaoxicosan-1-il)-1,4,5,5a,6,6a,7,8-octahidrociclopropa[5,6]cicloocta[1,2-d][1,2,3]triazol-6-il]metoxi)carbonil)piperidina-4-carbonilglicil-D-γ-glutamil-D-γ-glutamil-D-α-glutamil-D-γ-glutamil-D-γ-glutamilglicilglicil-L-α-aspartil-L-cisteinil-L-alanil-L-triptofil-L-histidil-L-leucilglicil-L-α-glutamil-L-leucil-L-valil-L-triptofil-L-cisteinil-L-treonina]  
*antineoplásico*

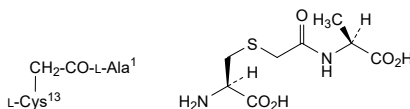
C<sub>210</sub>H<sub>300</sub>N<sub>48</sub>O<sub>65</sub>S<sub>3</sub>

2580150-96-3

ARXYHDGVLF XDCXGEEEEE GGDCAWHLGE LVWCT 35

Amide bridge location / Position du pont amide / Posición del puente amido

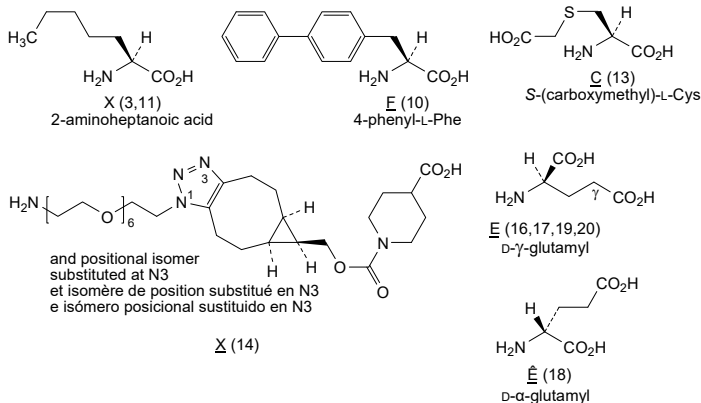
C<sup>13</sup>-A<sup>1</sup>



Disulfide bridge location / Position du pont disulfure / posición del puente disulfuro

C<sup>24</sup>-C<sup>34</sup> (Cys<sup>24</sup>-Cys<sup>34</sup>)

Modified residues / Résidus modifiés / Restos modificados



**nucesiranum**

nucesiran

*all-P-ambo-2'-O-methyl-P-thiocytidylyl-(3'→5')-2'-O-methyl-P-thioadenylyl-(3'→5')-2'-O-methyladenylyl-(3'→5')-2'-O-methylguanylyl-(3'→5')-2'-O-methyladenylyl-(3'→5')-2'-O-methylguanylyl-(3'→5')-2'-deoxy-2'-fluorouridylyl-(3'→5')-2'-O-methyladenylyl-(3'→5')-2'-deoxy-2'-fluorouridylyl-(3'→5')-2'-deoxy-2'-fluorouridylyl-(3'→5')-2'-deoxy-2'-fluorocytidylyl-(3'→5')-2'-O-methylcytidylyl-(3'→5')-2'-O-methyladenylyl-(3'→5')-2'-O-methyluridylyl-(3'→5')-2'-O-methyluridylyl-(3'→5')-2'-O-methyluridylyl-(3'→5')-2'-O-methyluridylyl-(3'→5')-2'-O-methyluridylyl-(3'→5')-2'-O-methyluridylyl-(3'→5')-2'-O-methyluridylyl-(3'→5')-2'-O-methyluridylyl-(3'→5')-2'-O-methyluridylyl-(3'→5')-3'-O-(((2S,4R)-1-{1-[(2-acetamido-2-deoxy-β-D-galactopyranosyl)oxy]-16,16-bis({3-[(3-{5-[(2-acetamido-2-deoxy-β-D-galactopyranosyl)oxy]pentanamido}propyl)amino]-3-oxopropoxy)methyl}-5,11,18-trioxo-14-oxa-6,10,17-triazanocosan-29-oyl)-4-hydroxypyrrolidin-2-yl]methoxy}(hydroxy)phosphoryl]-2'-O-methyluridine*





$C_{532}H_{716}F_8N_{171}O_{324}P_{43}S_6$ 

2847913-45-3

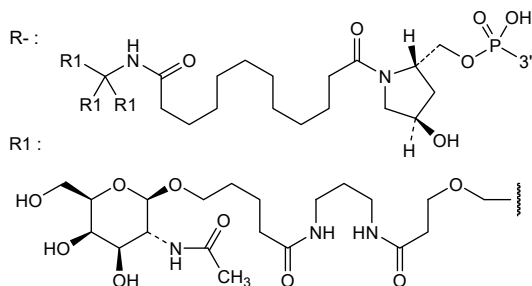
(3'-5')C=A-A-G-A-G-U-A-U-C-C-A-U-U-U-U-U-A-C-U-R  
 . . . . .  
 (5'-3')U=G-G-U-U-C-U-C-A-U-A-A-G-G-U-A-A-A-A-A-U=G=A

N : A,C,G,U

N : 2'-O-methyl-N / 2'-O-méthyl-N / 2'-O-metil-N

N : 2'-deoxy-2'-fluoro-N / 2'-désoxy-2'-fluoro-N / 2'-desoxi-2'-fluoro-N

- : -PO(OH)- = : -PO(SH)-

**nurandociguatum**

nurandociguat

1-[(3R)-1-{4-chloro-4'-[4-(2-methylpropyl)piperazin-1-yl][1,1'-biphenyl]-2-yl}piperidin-3-yl]-5-(difluoromethyl)-1H-pyrazole-4-carboxylic acid  
*guanylate cyclase activator*

nurandociguat

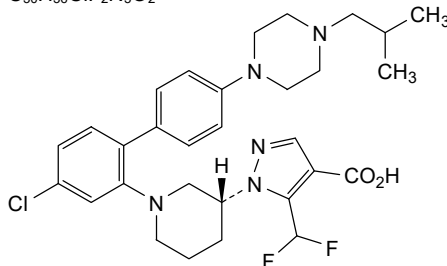
acide 1-[(3R)-1-{4-chloro-4'-[4-(2-méthylpropyl)pipérazin-1-yl][1,1'-biphényl]-2-yl}piperidin-3-yl]-5-(difluorométhyl)-1H-pyrazole-4-carboxylique  
*activateur de la guanylate cyclase*

nurandociguat

ácido 1-[(3R)-1-{4-cloro-4'-[4-(2-metilpropil)piperazin-1-il][1,1'-bifenil]-2-il}piperidin-3-il]-5-(difluorometil)-1H-pirazol-4-carboxílico  
*activador de la guanilato ciclasa*

 $C_{30}H_{36}ClF_2N_5O_2$ 

2781965-75-9

**nuvisertibum**

nuvisertib

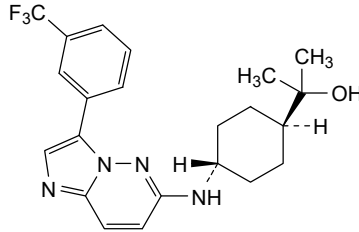
2-[(1*r*,4*r*)-4-({3-[3-(trifluoromethyl)phenyl]imidazo[1,2-*b*]pyridazin-6-yl}amino)cyclohexyl]propan-2-ol  
*serine/ threonine kinase inhibitor, antineoplastic*

nuvisertib 2-[(1*r*,4*r*)-4-({3-[3-(trifluorométhyl)phényl]imidazo[1,2-*b*]pyridazin-6-yl)amino)cyclohexyl]propan-2-ol  
*inhibiteur de sérine/ thréonine kinase, antinéoplasique*

nuvisertib 2-[(1*r*,4*r*)-4-({3-[3-(trifluorometil)fenil]imidazo[1,2-*b*]piridazin-6-il)amino)ciclohexil]propan-2-ol  
*inhibidor de serina/ treonina kinasa, antineoplásico*

C<sub>22</sub>H<sub>26</sub>ClF<sub>3</sub>N<sub>4</sub>O

1361951-15-6



**obrixtamigum #**  
obrixtamig

immunoglobulin L-kappa-H-gamma1\_L-lambda-H-gamma1, anti-[*Homo sapiens* DLL3 (delta-like ligand 3, delta like canonical Notch ligand 3)] and anti-[*Homo sapiens* CD3E (CD3 epsilon, Leu-4)], bispecific; L-kappa-H-gamma1 (knob) chain anti-DLL3 (1-705) [L-kappa anti-DLL3 (1-214) [V-KAPPA (*Homo sapiens* IGKV1-17\*03 (94.9%) -IGKJ2\*01 (100%), CDR-IMGT [6.3.9] (27-32.50-52.89-97)) (1-107) -*Homo sapiens* IGKC\*01 (100%), Km3 A45.1 (153), V101 (191) (108'-214')] -38-mer (GGGGSE GKSSGSGSES KSTEGKSSGS) GSESKSTGGGGS) linker (215-252) -H-gamma-1 heavy chain anti-DLL3 (253-705) [VH (*Homo sapiens* IGHV1-46\*01 (92.9%) -(IGHD) -IGHJ6\*01 (94.7%), CDR-IMGT [8.8.17] (278-285.303-310.349-365)) (253-376)-*Homo sapiens* IGHG1\*03, G1m3, nG1m1, CH1 R120, CH3 E12, M14, G1v14 CH2 A1.3, A1.2, G1v32 CH3 W22 (knob) (CH1 R120 (473) (377-474), hinge 1-15 (475-489), CH2 L1.3>A (493), L1.2>A (494) (490-599), CH3 E12 (615), M14 (617), T22>W (625) (600-704), CHS K2>del (705)) (377-705)]; L-lambda6-H-gamma1 (hole) chain anti-CD3E (1-707) [L-lambda6 anti-CD3 (1'-215') [V-LAMBDA Musmus/Homsap (*Mus musculus* IGLV1\*01 (82.3%) -IGLJ1\*01 (100%)/*Homo sapiens* IGLV7-46\*01 (76.8%) -IGLJ3\*02 (100%), CDR-IMGT [9.3.9] (26'-34'.52'-54'.91'-99')] (1'-109') -*Homo sapiens* IGLC6\*01 (100%) (110'-215')] -38-mer (GGGGSE GKSSGSGSES KSTEGKSSGSGSESKSTGGGGS) linker (216'-253') -H-gamma-1 anti-CD3E (254'-707') [VH Musmus/Homsap (*Mus musculus* IGHV10-1\*02 (92.9%) -(IGHD) -IGHJ3\*01 (100%)/*Homo sapiens* IGHV3-73\*01 (87.0%) -(IGHD) -IGHJ6\*01 (81.8%) T123>L (373'), S128>A (378'), CDR-IMGT [8.10.16] (279'-286'.304'-313'.352'-367')] (254'-378')-*Homo sapiens* IGHG1\*03, G1m3, nG1m1, CH1 R120, CH3 E12, M14, G1v14 CH2 A1.3, A1.2, G1v33 CH3 S22, A24, V86 (hole), G1v83 CH3 R115, F116 (CH1 R120 (475') (379'-476'), hinge 1-15 (477'-491'), CH2 L1.3>A (495'), L1.2>A (496') (492'-601'), CH3 E12 (617'), M14 (619'), T22>S (627'), L24>A (629'), Y86>V (686'), H115>R (696'), Y116>F (697') (602'-706'), CHS K2>del (707')] (379'-707')]; dimer (485-487':488-490')-bisdisulfide, produced in Chinese hamster ovary (CHO) cells, cell line CHO-K1, glycoform alfa *antineoplastic*

obrixtamig

immunoglobuline L-kappa-H-gamma1\_L-lambda-H-gamma1, anti-[*Homo sapiens* DLL3 (delta-like ligand 3, delta like canonical Notch ligand 3)] et anti-[*Homo sapiens* CD3E (CD3 epsilon, Leu-4)], bispécifique; chaîne (knob) L-kappa-H-gamma1 anti-DLL3 (1-705) [L-kappa anti-DLL3 (1-214)] [V-KAPPA (*Homo sapiens* IGKV1-17\*03 (94.9%) -IGKJ2\*01 (100%), CDR-IMGT [6.3.9] (27-32.50-52.89-97)) (1-107) -*Homo sapiens* IGKC\*01 (100%), Km3 A45.1 (153), V101 (191) (108'-214'')] -38-mer (GGGGSE GKSSGSGSES KSTEGKSSGS GSESKSTGGGGS) linker (215-252) -H-gamma1 anti-DLL3 (253-705) [VH (*Homo sapiens*IGHV1-46\*01 (92.9%) -(IGHD) -IGHJ6\*01 (94.7%), CDR-IMGT [8.8.17] (278-285.303-310.349-365)) (253-376)-*Homo sapiens* IGHG1\*03, G1m3, nG1m1, CH1 R120, CH3 E12, M14, G1v14 CH2 A1.3, A1.2, G1v32 CH3 W22 (knob) (CH1 R120 (473) (377-474), charnière 1-15 (475-489), CH2 L1.3>A (493), L1.2>A (494) (490-599), CH3 E12 (615), M14 (617), T22>W (625) (600-704), CHS K2>del (705)) (377-705)]; chaîne (hole) L-lambda6-H-gamma1 anti-CD3E (1-707) [L-lambda6 anti-CD3 (1'-215')] [V-LAMBDA Musmus/Homsap (*Mus musculus* IGLV1\*01 (82.3%) -IGLJ1\*01 (100%)/*Homo sapiens* IGLV7-46\*01 (76.8%) -IGLJ3\*02 (100%), CDR-IMGT [9.3.9] (26'-34'.52'-54'.91'-99'')) (1'-109') -*Homo sapiens* IGLC6\*01 (100%) (110'-215'')] -38-mer (GGGGSE GKSSGSGSES KSTEGKSSGSGSESKSTGGGGS) linker (216'-253') -H-gamma1 anti-CD3E (254'-707') [VH Musmus/Homsap (*Mus musculus* IGHV10-1\*02 (92.9%) -(IGHD) -IGHJ3\*01 (100%)/*Homo sapiens* IGHV3-73\*01 (87.0%) -(IGHD) -IGHJ6\*01 (81.8%) T123>L (373'), S128>A (378'), CDR-IMGT [8.10.16] (279'-286'.304'-313'.352'-367'')) (254'-378')-*Homo sapiens* IGHG1\*03, G1m3, nG1m1, CH1 R120, CH3 E12, M14, G1v14 CH2 A1.3, A1.2, G1v33 CH3 S22, A24, V86 (hole), G1v83 CH3 R115, F116 (CH1 R120 (475') (379'-476'), charnière 1-15 (477'-491'), CH2 L1.3>A (495'), L1.2>A (496') (492'-601'), CH3 E12 (617'), M14 (619'), T22>S (627'), L24>A (629'), Y86>V (686'), H115>R (696'), Y116>F (697') (602'-706'), CHS K2>del (707'')] (379'-707')]; dimère (485-487':488-490')-bisdisulfure, produit dans des cellules ovariennes de hamster chinois (CHO), lignée cellulaire CHO-K1, glycoforme alfa *antinéoplasique*

obrixtamig

immunoglobulina L-kappa-H-gamma1\_L-lambda-H-gamma1, anti-[*Homo sapiens* DLL3 (ligando 3 tipo delta, delta like canonical Notch ligand 3)] y anti-[*Homo sapiens* CD3E (CD3 épsilon, Leu-4)], biespecifico; cadena (knob) L-kappa-H-gamma1 anti-DLL3 (1-705) [L-kappa anti-DLL3 (1-214)] [V-KAPPA (*Homo sapiens* IGKV1-17\*03 (94.9%) -IGKJ2\*01 (100%), CDR-IMGT [6.3.9] (27-32.50-52.89-97)) (1-107) -*Homo sapiens* IGKC\*01 (100%), Km3 A45.1 (153), V101 (191) (108'-214'')] -38-mer (GGGGSE GKSSGSGSES KSTEGKSSGS GSESKSTGGGGS) enlace (215-252) -H-gamma1 anti-DLL3 (253-705) [VH (*Homo sapiens*IGHV1-46\*01 (92.9%) -(IGHD) -IGHJ6\*01 (94.7%), CDR-IMGT [8.8.17] (278-285.303-310.349-365)) (253-376)-*Homo sapiens* IGHG1\*03, G1m3, nG1m1, CH1 R120, CH3 E12, M14, G1v14 CH2 A1.3, A1.2, G1v32 CH3 W22 (knob) (CH1 R120 (473) (377-474), bisagra 1-15 (475-489), CH2 L1.3>A (493), L1.2>A (494) (490-599), CH3 E12 (615), M14 (617), T22>W (625) (600-704), CHS K2>del (705)) (377-705)]; cadena (hole) L-lambda6-H-gamma1 anti-CD3E (1-707) [L-lambda6 anti-CD3 (1'-215')] [V-LAMBDA Musmus/Homsap (*Mus musculus* IGLV1\*01 (82.3%) -IGLJ1\*01 (100%)/*Homo sapiens* IGLV7-46\*01 (76.8%) -IGLJ3\*02 (100%), CDR-IMGT [9.3.9] (26'-34'.52'-54'.91'-99'')) (1'-109') -*Homo sapiens* IGLC6\*01 (100%) (110'-215'')] -38-mer (GGGGSE GKSSGSGSES KSTEGKSSGSGSESKSTGGGGS) enlace (216'-253') -H-gamma1 anti-CD3E (254'-707') [VH Musmus/Homsap (*Mus musculus* IGHV10-1\*02 (92.9%) -(IGHD) -IGHJ3\*01 (100%)/*Homo sapiens* IGHV3-73\*01 (87.0%) -(IGHD) -IGHJ6\*01 (81.8%) T123>L (373'), S128>A (378'), CDR-IMGT [8.10.16] (279'-286'.304'-313'.352'-367'')) (254'-378')-*Homo*

*sapiens* IGHG1\*03, G1m3, nG1m1, CH1 R120, CH3 E12, M14, G1v14 CH2 A1.3, A1.2, G1v33 CH3 S22, A24, V86 (hole), G1v83 CH3 R115, F116 (CH1 R120 (475') (379'-476')), bisagra 1-15 (477'-491'), CH2 L1.3>A (495'), L1.2>A (496') (492'-601'), CH3 E12 (617'), M14 (619'), T22>S (627'), L24>A (629'), Y86>V (686'), H115>R (696'), Y116>F (697') (602'-706'), CHS K2>del (707')) (379'-707'))]; dímero (485-487':488-490')- bisdisulfuro, producido en las células ováricas de hámster chino (CHO), línea celular CHO-K1, forma glicosilada alfa *antineoplásico*

2851943-09-2

Light-heavy chain / chaîne légère-lourde / cadena ligera-pesada : L-kappa-H-gamma1 (L-H) anti-DLL3 (knob)

DIQMTQSFSA	MSASVGRVVT	ITCRASQGLS	NYLVWFQQKP	GKAPKRLIYA	50
VSSLYSGVPS	RFSGSGSGTE	FTLTISSLQP	EDFATYYCLQ	HDSYPTFGQ	100
GTKLEIKRTV	AAPSVFIFPP	SDEQLKSGTA	SVVCLLNNFY	PREAKVQWVK	150
DNALQSGNSQ	ESVTEQDSDK	STYSLSSTLT	LSKADYEKHK	VYACEVTHQG	200
LSSPVTKSFN	RGECGGGGSE	GKSSGSGSES	KSTEGKSSGS	GSESKSTGGG	250
GSQVQLVQSG	AEVKKPGASV	KVSCKASGYT	FTSYYVHWVR	QAPGQGLEWM	300
VIINPGGGTT	SYAQKFLGRV	TMTRDTSTNT	VYMECLKSLRS	EDTAVYICAR	350
GEAVTGNVYF	YGMDFVWQGT	TVTVSSASTK	GPSVFLPLAS	SKSTSSGGTAA	400
LGCLVKDYFP	EPVTVSWNSG	ALTSQGVHTFP	AVLQSSGLYS	LSSVVVTPSS	450
SLGTQTYICN	VNHKPSNTKV	DKRVEPKSCD	KTHTCPPCPA	PEAAGGPSVTF	500
LFPPPKDTL	MISRTPEVTC	VVVDVSHEDF	EVKFNWYVDG	VEVHNAKTPK	550
REEQYNSTYR	VVSVLTVLHQ	DWLNQKEYKC	KVSNKALPAP	IEKTIKSKG	600
QPREPQVYTL	PPSREEMTKN	QVSLWCLVKG	FYPSDIAVEW	ESNGQPENNY	650
KTTPPVLDSD	GSFFLYSKLT	VDKSRWQQGN	VFSCSVMHEA	LHNHYTKQSL	700
SLSPG					705

Light-heavy chain / chaîne légère-lourde / cadena ligera-pesada : L-lambda6-H-gamma1 (L'-H') anti-CD3E (hole)

EAVVTQEPFL	TVSPGGTVTL	TCRSSTGAVT	TSNYANWVQE	KPGQLPRGLI	50
GGTNKRAFVW	PARFSGSLLG	GKAALTLSGA	QPEDEAEYFC	ALWYSLNWFV	100
GGGKTLTVLG	QPKAAPSVTL	FPSSSEELQA	NKATLVCLIS	DFYPGAVKVA	150
WKADGSPVNT	GVETTTPSKQ	SNNKYAASSY	LSLTPQWKS	HRSYSCQVTH	200
EGSTVEKIVA	PAECSSGGGS	EKGSSGSGSE	SKSTEGKSSG	SGSESSTGGG	250
GGSEVQLVES	GGGLVQPGGS	LKLSCAASGF	TFNTYAMNIV	RQAPFGKLEW	300
VARIIRSKYNN	YATYIADSVK	DRFTISRDDS	KNTAYLQMNH	LKTEDTAVVY	350
CVRHGNFNS	YVSWFAYWQ	GTLVTVSAA	TGKPSVFPLA	PSSKSTSGGT	400
AALGCLVKDY	FPEPVTVSWN	SGALTSQVHT	FPAVLQSSGL	YSLSSVTVTP	450
SSSLGTQTYI	CNVNHKPSNT	KVDRKVEPKS	CDKTHTCPPC	PAPEAAGGPS	500
VLFPPPKPKD	TLMISRTPPEV	TCVVVDVSHF	DPEVKFNWYV	DGVEVHNAKT	550
KPREQYNST	YRVVSVLTVL	HQDWLNQKEY	KCKVSNKALP	APIEKTIKSK	600
KGQPREPQVY	TLPPSREEMT	KNQVSLSCAV	KGFYPSDIAV	EWESNGQPEN	650
NYKTTFPVLD	SDGSSFLVSK	LTVDKSRWQQ	GNVFCSSVMH	EALHNRFTQK	700
SLSLSPG					707

#### Post-translational modifications

Disulfide bridges location / Position des ponts disulfure / Posiciones de los puentes disulfuro

Intra-L (C23-C104) 23-88 134-194  
22'-90' 137-196'  
Intra-H (C23-C104) 274-348 403-459 520-580 626-684  
275'-351' 405'-461' 522'-582' 628'-686'  
Intra-H-L (h 5-CL 126) 479-214 481'-214'  
Inter-H-H (h 11, h 14) 485-487' 488-490'

N-glycosylation sites / Sites de N-glycosylation / Posiciones de N-glicosilación  
H CH2 N84.4: 556, 558"

Fucosylated complex bi-antennary CHO-type glycans / glycanes de type CHO bi-antennaires complexes fucosylés / glicanos de tipo CHO biantennarios complejos fucosilados

#### ocankitugum #

ocankitug

immunoglobulin G1-kappa, anti-[*Homo sapiens* TSLP (thymic stromal lymphopoietin)], humanized monoclonal antibody;  
H-gamma1 heavy chain humanized (1-447) [VH (*Homo sapiens* IGHV1-46\*01 (87.8%) -(IGHD) -IGHJ4\*01 (93.3%), CDR-IMGT [8.8.10] (26-33.51-58.97-106)) (1-117) -*Homo sapiens* IGHG1\*03 (100%), G1m3, nG1m1 CH1 R120, CH3 E12, M14(CH1 R120 (214) (118-215), hinge 1-15 (216-230), CH2 (231-340), CH3 E12 (356), M14 (358) (341-445), CHS (446-447)) (118-447)], (220-214')-disulfide with L-kappa light chain humanized (1'-214') [V-KAPPA (*Homo sapiens* IGKV1-39\*01 (86.3%) -IGKJ1\*01 (100%), CDR-IMGT [6.3.9] (27'-32'.50'-52'.89'-97')) (1'-107') - *Homo sapiens* IGKC\*01 (100%), Km3 A45.1 (153'), V101 (191') (108'-214')]; dimer (226-226":229-229")-bisdisulfide, produced in Chinese hamster ovary (CHO) cells, derived from the cell line CHO-K1, lacking the glutamine synthetase (GS-KO) gene, glycoform alfa  
*immunomodulator, anti-inflammatory*

ocankitug immunoglobuline G1-kappa, anti-[*Homo sapiens* TSLP (lymphopoïétine stromale thymique)], anticorps monoclonal humanisé; chaîne lourde H-gamma1 humanisée (1-447) [VH (*Homo sapiens* IGHV1-46\*01 (87.8%) -(IGHD) -IGHJ4\*01 (93.3%), CDR-IMGT [8.8.10] (26-33.51-58.97-106)) (1-117) -*Homo sapiens* IGHG1\*03 (100%), G1m3, nG1m1 CH1 R120, CH3 E12, M14 (CH1 R120 (214) (118-215), charnière 1-15 (216-230), CH2 (231-340), CH3 E12 (356), M14 (358) (341-445), CHS (446-447)) (118-447)], (220-214')-disulfure avec la chaîne légère L-kappa humanisée (1'-214') [V-KAPPA (*Homo sapiens* IGKV1-39\*01 (86.3%) -IGKJ1\*01 (100%), CDR-IMGT [6.3.9] (27'-32'.50'-52'.89'-97')) (1'-107') -*Homo sapiens* IGKC\*01 (100%), Km3 A45.1 (153'), V101 (191') (108'-214')]; dimère (226-226":229-229")-bisdisulfure, produit dans des cellules ovariennes de hamster chinois (CHO), dérivant de la lignée cellulaire CHO-K1, ne présentant pas le gène de la glutamine synthétase (GS-KO), glycoforme alfa *immunomodulateur, anti-inflammatoire*

ocankitug inmunoglobulina G1-kappa, anti-[*Homo sapiens* TSLP (linfopoyetina estromal tímica)], anticuerpo monoclonal humanizado; cadena pesada H-gamma1 humanizada (1-447) [VH (*Homo sapiens* IGHV1-46\*01 (87.8%) -(IGHD) -IGHJ4\*01 (93.3%), CDR-IMGT [8.8.10] (26-33.51-58.97-106)) (1-117) -*Homo sapiens* IGHG1\*03 (100%), G1m3, nG1m1 CH1 R120, CH3 E12, M14 (CH1 R120 (214) (118-215), bisagra 1-15 (216-230), CH2 (231-340), CH3 E12 (356), M14 (358) (341-445), CHS (446-447)) (118-447)], (220-214')-disulfuro con la cadena ligera L-kappa humanizada (1'-214') [V-KAPPA (*Homo sapiens* IGKV1-39\*01 (86.3%) -IGKJ1\*01 (100%), CDR-IMGT [6.3.9] (27'-32'.50'-52'.89'-97')) (1'-107') -*Homo sapiens* IGKC\*01 (100%), Km3 A45.1 (153'), V101 (191') (108'-214')]; dímero (226-226":229-229")-bisdisulfuro, producido en las células ováricas de hámster chino (CHO), línea celular derivada de CHO-K1, en ausencia del gen glutamina sintetasa (GS-KO), forma glicosilada alfa *immunomodulador, antiinflamatorio*

2803351-66-6

Heavy chain / Chaîne lourde / Cadena pesada

QVQLVQSGAE VKKPGSSVKV SCKASGYTFT DYWMHWVRQA FGQGLEWMMGI 50  
 IDPDSDSL NQKFGQGRVTI TADTSTSTAY MELSSLRSED TAVVYCARSL 100  
 DGYDYDYGQ TLTVVSSAST KGPSVFLPLAP SSKSTSGGTA ALGCLVKDYF 150  
 PEPYTVSWNS GALTSGVHTF PAVLQSSGLY SLSSVTVVPS SSLGTQTYIC 200  
 NVNHKPSNTK VDKRVEPKSK DKTHTCPPCP APELLGGPSV FLFPPKPKDT 250  
 LMISRTPEVT CVVVDVSHED PEVKFNWYVD GVEVHNAKTK PREEQYNSTY 300  
 RVVSVLTVLH QDVLNGKEYK CKVSNKALPA PIEKTIKAK GQPREPQVST 350  
 LPFSREEMTK NQVSLTCLVK GFYPSDIAVE WESNGQPENN YKTTTPVLDL 400  
 DGSFFLYSKL TVDKSRWQQG NVFSCSVMHE ALHNHYTQKS LSLSPGK 447

Light chain / Chaîne légère / Cadena ligera

DIQMTQSPSS LSASVGRVIT ITCRTSENIY SYLAWYQQKPK GKAPKLLIYF 50  
 AKRTLDGSPS RFGSGSGTD FTLTISSLQP EDFATYYCQH HYGTPWTFGQ 100  
 GTKVEIKRTV AAPSVEIFPP SDEQLKSGTA SVVCLLNHFY PREAKVQWKV 150  
 DNALQSGNSQ ESVTEQDSKD STYLSLSTLT LSKADYEKHK VYACEVTHQG 200  
 LSSPVTKSFN RGEK 214

Post-translational modifications

Disulfide bridges location / Position des ponts disulfure / Posiciones de los puentes disulfuro

Intra-H (C23-C104) 22-96 144-200 261-321 367-425  
 22"-96" 144"-200" 261"-321" 367"-425"  
 Intra-L (C23-C104) 23'-88" 134'-194"  
 23"'-88'" 134"'-194'"  
 Inter-H-L (h 5-CL 126) 220-214" 220"-214"  
 Inter-H-H (h 11, h 14) 226-226" 229-229"

N-terminal glutaminyl cyclization / Cyclisation du glutaminyle N-terminal / Ciclación del glutamilo N-terminal

Q > pyroglutamy (pE, 5-oxoprolyl) / pyroglutamyle (pE, 5-oxoprolyle) / piroglutamilo (pE, 5-oxoprolilo)  
 H VH Q1: 1, 1"

N-glycosylation sites / Sites de N-glycosylation / Posiciones de N-glicosilación

H CH2 N84: 297, 297"

Fucosylated complex bi-antennary CHO-type glycans / glycanes de type CHO bi-antennaires complexes fucosylés / glicanos de tipo CHO biantenaricos complejos fucosilados

C-terminal lysine clipping / Coupure de la lysine C-terminale / Recorte de lisina C-terminal  
 H CHS K2: 447, 447"

**odentegravirum**

odentegravir

(7*S*)-12-hydroxy-1,11-dioxo-*N*-[(2,4,6-trifluorophenyl)méthyl]-1,4,5,6,7,11-hexahydro-3*H*-2,7-méthanopyrido[1,2-*a*][1,4]diazonine-10-carboxamide  
*antiviral*

odentégravir

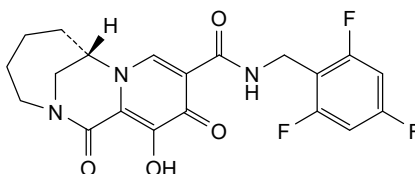
(7*S*)-12-hydroxy-1,11-dioxo-*N*-[(2,4,6-trifluorophényl)méthyl]-1,4,5,6,7,11-hexahydro-3*H*-2,7-méthanopyrido[1,2-*a*][1,4]diazonine-10-carboxamide  
*antiviral*

odentegravir

(7*S*)-12-hidroxi-1,11-dioxo-*N*-[(2,4,6-trifluorofenil)metil]-1,4,5,6,7,11-hexahidro-3*H*-2,7-metanopirido[1,2-*a*][1,4]diazonina-10-carboxamida  
*antiviral*

C<sub>20</sub>H<sub>18</sub>F<sub>3</sub>N<sub>3</sub>O<sub>4</sub>

2495436-99-0

**ofirnoflastum**

ofirnoflast

*N*-[4-(4-amino-7-cyclopropyl-7*H*-pyrrolo[2,3-*d*]pyrimidin-5-yl)-2-fluorophenyl]-*N'*-{5-[1-(trifluoromethyl)cyclopropyl]-1,2-oxazol-3-yl}urea  
*serine/ threonine-protein kinase Nek7 inhibitor, anti-inflammatory*

ofirnoflast

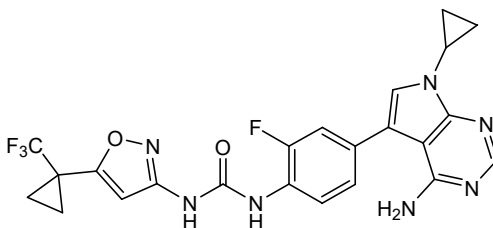
*N*-[4-(4-amino-7-cyclopropyl-7*H*-pyrrolo[2,3-*d*]pyrimidin-5-yl)-2-fluorophényl]-*N'*-{5-[1-(trifluorométhyl)cyclopropyl]-1,2-oxazol-3-yl}urée  
*inhibiteur de la sérine/ thréonine-protéine kinase Nek7, anti-inflammatoire*

ofirnoflast

*N*-[4-(4-amino-7-ciclopropil-7*H*-pirrolo[2,3-*d*]pirimidin-5-il)-2-fluorofenil]-*N'*-{5-[1-(trifluorometil)ciclopropil]-1,2-oxazol-3-il}urea  
*inhibidor de la serina/ treonina-proteína kinasa Nek7, antiinflamatorio*

C<sub>23</sub>H<sub>19</sub>F<sub>4</sub>N<sub>7</sub>O<sub>2</sub>

2731294-23-6



**olatorepatidum**

olatorepatide

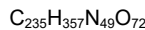
L-tyrosyl-2-methylalanyl-L- $\alpha$ -glutamylglycyl-L-threonyl-L-phenylalanyl-L-threonyl-L-seryl-L- $\alpha$ -aspartyl-L-tyrosyl-L-seryl-L-isoleucyl-L-tyrosyl-L-leucyl-L- $\alpha$ -glutamyl-L-lysyl-L-isoleucyl-L-alanyl-L-alanyl-L-glutamyl-L- $\alpha$ -glutamyl-L-phenylalanyl-L-valyl-L-asparaginy-L-tryptophyl-L-leucyl-L-leucyl-L-alanylglycylglycyl-L-prolyl-L-seryl-L-serylglycyl-L-alanyl-L-prolyl-L-prolyl-L-prolyl-L-seryl- $N^6$ -[(22S)-22,42-dicarboxy-10,19,24-trioxo-3,6,12,15-tetraoxa-9,18,23-triazadotetracontan-1-oyl]-L-lysineamide  
*dual gastric inhibitory polypeptide (GIP) receptor and glucagon-like peptide 1 (GLP-1) receptor agonist, antidiabetic*

olatorépatide

L-tyrosyl-2-méthylalanyl-L- $\alpha$ -glutamylglycyl-L-thréonyl-L-phénylalanyl-L-thréonyl-L-séryl-L- $\alpha$ -aspartyl-L-tyrosyl-L-séryl-L-isoleucyl-L-tyrosyl-L-leucyl-L- $\alpha$ -glutamyl-L-lysyl-L-isoleucyl-L-alanyl-L-alanyl-L-glutamyl-L- $\alpha$ -glutamyl-L-phénylalanyl-L-valyl-L-asparaginy-L-tryptophyl-L-leucyl-L-leucyl-L-alanylglycylglycyl-L-prolyl-L-séryl-L-sérylglycyl-L-alanyl-L-prolyl-L-prolyl-L-prolyl-L-séryl- $N^6$ -[(22S)-22,42-dicarboxy-10,19,24-trioxo-3,6,12,15-tétraoxa-9,18,23-triazadotétracontan-1-oyl]-L-lysineamide  
*agoniste double du récepteur du polypeptide inhibiteur gastrique (GIP) et du récepteur du peptide 1 de type glucagon (GLP-1), antidiabétique*

olatorepatida

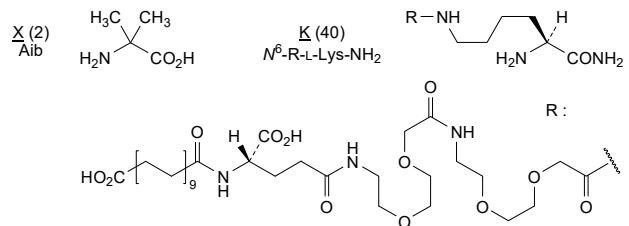
L-tirosil-2-metilalanil-L- $\alpha$ -glutamilglicil-L-treonil-L-fenilalanil-L-treonil-L-seril-L- $\alpha$ -aspartil-L-tirosil-L-seril-L-isoleucil-L-tirosil-L-leucil-L- $\alpha$ -glutamil-L-lisil-L-isoleucil-L-alanil-L-alanil-L-glutaminil-L- $\alpha$ -glutamil-L-fenilalanil-L-valil-L-asparaginil-L-triptofil-L-leucil-L-leucil-L-alanilglicilglicil-L-prolil-L-seril-L-serilglicil-L-alanil-L-prolil-L-prolil-L-prolil-L-seril- $N^6$ -[(22S)-22,42-dicarboxi-10,19,24-trioxo-3,6,12,15-tetraoxa-9,18,23-triazadotetracontan-1-oi]-L-lisinaamida  
*agonista dual del receptor del polipéptido inhibidor gástrico (GIP) y del receptor del péptido similar al glucagón 1 (GLP-1), antidiabético*



2675496-01-0

YXEGTFTSDY SIYLEKIAAQ EFNWLLAGG PSSGAPPPSK 40

Modified residues / Résidus modifiés / Restos modificados



**olintatugum #**

olintatug

immunoglobulin G1-kappa, anti-[*Homo sapiens* KAAG1 (kidney associated DCDC2 antisense RNA 1, kidney associated antigen 1, RU2AS, RU2 antisense gene protein)], humanized and chimeric monoclonal antibody;

- H-gamma1 heavy chain humanized (1-445) [VH (*Homo sapiens* IGHV1-46\*01 (80.6%) -(IGHD) -IGHJ4\*01 (100%), CDR-IMGT [8.8.9] (26-33.51-58.97-105)) (1-116) -*Homo sapiens* IGHG1\*01 (100%), G1m17,1 CH1 K120, CH3 D12, L14 (CH1 K120 (213) (117-214), hinge 1-15 (215-229), CH2 (230-339), CH3 D12 (355), L14 (357) (340-444), CHS K2>del (445)) (117-445)], (219-219')-disulfide with L-kappa light chain chimeric(1'-219') [V-KAPPA Musmus/Homsap (*Mus musculus* IGKV1-117\*01 (89.0%) -IGKJ2\*03 (90.9%) S120>Q (105)/*Homo sapiens* IGKV2-29\*02 (89.0%) -IGKJ2\*01 (100%), CDR-IMGT [11.3.9] (27'-37'.55'-57'.94'-102'')) (1'-112') -*Homo sapiens* IGKC\*01 (100%), Km3 A45.1 (158'), V101 (196') (113'-219')]; dimer (225-225":228-228")-bisdisulfide, produced in Chinese hamster ovary (CHO) cells, cell line CHO-DG44, glycoform alfa  
*antineoplastic*
- olintatug immunoglobuline G1-kappa, anti-[*Homo sapiens* KAAG1 (antisense DCD2 ARN 1 associé au rein, antigène 1 associé au rein, RU2AS, protéine du gène antisens RU2)], anticorps monoclonal humanisé et chimérique;  
chaîne lourde H-gamma1 humanisée (1-445) [VH (*Homo sapiens* IGHV1-46\*01 (80.6%) -(IGHD) -IGHJ4\*01 (100%), CDR-IMGT [8.8.9] (26-33.51-58.97-105)) (1-116) -*Homo sapiens* IGHG1\*01 (100%), G1m17,1 CH1 K120, CH3 D12, L14 (CH1 K120 (213) (117-214), charnière 1-15 (215-229), CH2 (230-339), CH3 D12 (355), L14 (357) (340-444), CHS K2>del (445)) (117-445)], (219-219')-disulfure avec la chaîne légère L-kappa chimérique (1'-219') [V-KAPPA Musmus/Homsap (*Mus musculus* IGKV1-117\*01 (89.0%) -IGKJ2\*03 (90.9%) S120>Q (105)/*Homo sapiens* IGKV2-29\*02 (89.0%) -IGKJ2\*01 (100%), CDR-IMGT [11.3.9] (27'-37'.55'-57'.94'-102'')) (1'-112') -*Homo sapiens* IGKC\*01 (100%), Km3 A45.1 (158'), V101 (196') (113'-219')]; dimère (225-225":228-228")-bisdisulfure, produit dans des cellules ovariennes de hamster chinois (CHO), lignée cellulaire CHO-DG44, glycoforme alfa  
*antinéoplasique*
- olintatug inmugoglobulina G1-kappa, anti-[*Homo sapiens* KAAG1 (antisentido DCD2 ARN 1 asociado con la renina, antígeno 1 asociado con la renina, RU2AS, proteína del gen antisentido RU2)], anticuerpo monoclonal humanizado y quimérico;  
cadena pesada H-gamma1 humanizada (1-445) [VH (*Homo sapiens* IGHV1-46\*01 (80.6%) -(IGHD) -IGHJ4\*01 (100%), CDR-IMGT [8.8.9] (26-33.51-58.97-105)) (1-116) -*Homo sapiens* IGHG1\*01 (100%), G1m17,1 CH1 K120, CH3 D12, L14 (CH1 K120 (213) (117-214), bisagra 1-15 (215-229), CH2 (230-339), CH3 D12 (355), L14 (357) (340-444), CHS K2>del (445)) (117-445)], (219-219')-disulfuro con la cadena ligera L-kappa quimérica (1'-219') [V-KAPPA Musmus/Homsap (*Mus musculus* IGKV1-117\*01 (89.0%) -IGKJ2\*03 (90.9%) S120>Q (105)/*Homo sapiens* IGKV2-29\*02 (89.0%) -IGKJ2\*01 (100%), CDR-IMGT [11.3.9] (27'-37'.55'-57'.94'-102'')) (1'-112') -*Homo sapiens* IGKC\*01 (100%), Km3 A45.1 (158'), V101 (196') (113'-219')]; dímero (225-225":228-228")-bisdisulfuro, producido en las células ováricas de hámster chino (CHO), línea celular CHO-DG44, forma glicosilada alfa  
*antineoplásico*



2851870-28-3

**Heavy chain / Chaîne lourde / Cadena pesada**

QIQLVQSGAE VKKPGASVKV SKKASGYTFT DDYMSWVKQA PGQGLEWIGD 50  
 INPYNGDTNY NQKFKGKATL TVDKSTSTAY MELSSLRSED TAVYICARDP 100  
 GAMDYWGQGT LVTVSSASTK GPSVFFLAPS SKSTSGGTAA LGCLVKDYFP 150  
 EPVTVSWNSG ALTSGVHTFP AVLQSSGLYS LSSVVTVPSS SLGTQTYICN 200  
 VNHKPSNTKV DKKVEPKSCD KTHTCPPCPA PELLGGPSVF LFPPKPKDTL 250  
 MISRTPEVTC VVVVDSHEDP EVKFNWYVDG VEVHNAKTKP REEQYNSTYR 300  
 VVSVLTVLHQ DWLNGKEYKC KVSNKALPAP IEKTIKAKRG QPREQVYTL 350  
 PPSRDELTKN QVSLTCLVKG FYPSDIAVEW ESNGQPENNY KTTTPVLVDS 400  
 GSFFLYSKLT VDKSRWQQGN VFSCSVMHEA LHNHYTQKSL SLSPG 445

**Light chain / Chaîne légère / Cadena ligera**

DIVMTQTPLS LPVTPGEPAS ISCRSSQSLH HSNNGTYLEW YLQKPGQSPQ 50  
 LLIYTVSNRF SGVPRDFSGS GSGTDFTLKI SRVEAEDVGV YYCQQGSHVP 100  
 LTFGQGTKLE IKRTVAAPSV FIFPPSDEQL KSGTASVCL LNNFYPREAK 150  
 VQWKVDNALQ SGNSQESVTE QDSKDYSL SSSLTLLSKAD YEKHKVYACE 200  
 VTHQGLSSPV TKSFNREGC 219

**Post-translational modifications**

Disulfide bridges location / Position des ponts disulfure / Posiciones de los puentes disulfuro

Intra-H (C23-C104) 22-96 143-199 260-320 366-424  
 22"-96" 143"-199" 260"-320" 366"-424"  
 Intra-L (C23-C104) 23'-93' 139'-199'  
 23"'-93'" 139"'-199'"  
 Inter-H-L (h 5-CL 126) 219-219' 219"-219"  
 Inter-H-H (h 11, h 14) 225-225" 228-228"

N-terminal glutaminyl cyclization / Cyclisation du glutaminyle N-terminal / Ciclación del glutaminilo N-terminal

Q > pyroglutamyl (pE, 5-oxoprolyl) / pyroglutamide (pE, 5-oxoprolyle) / piroglutamilo (pE, 5-oxoprolylo)  
 H VH Q1: 1, 1"

N-glycosylation sites / Sites de N-glycosylation / Posiciones de N-glicosilación

H CH2 N84.4: 296, 296"  
 Fucosylated complex bi-antennary CHO-type glycans / glycanes de type CHO bi-antennaires complexes fucosylés / glicanos de tipo CHO biantennarios complejos fucosilados

**olintatumum tesirinum #**

olintatug tesirine

immunoglobulin G1-kappa, anti-[*Homo sapiens* KAAG1 (kidney associated DCDC2 antisense RNA 1, kidney associated antigen 1, RU2AS, RU2 antisense gene protein)], humanized and chimeric monoclonal antibody, conjugated on an average of 2-3 cysteinyl residues to *tesirine*;

H-gamma1 heavy chain humanized (1-445) [VH (*Homo sapiens* IGHV1-46\*01 (80.6%) -(IGHD) -IGHJ4\*01 (100%), CDR-IMGT [8.8.9] (26-33.51-58.97-105)) (1-116) -*Homo sapiens* IGHG1\*01 (100%), G1m17,1 CH1 K120, CH3 D12, L14 (CH1 K120 (213) (117-214), hinge 1-15 (215-229), CH2 (230-339), CH3 D12 (355), L14 (357) (340-444), CHS K2-del (445)) (117-445)], (219-219')-disulfide with L-kappa light chain chimeric(1'-219') [V-KAPPA Musmus/Homsap (*Mus musculus* IGKV1-117\*01 (89.0%) -IGKJ2\*03 (90.9%) S120>Q (105)/*Homo sapiens* IGKV2-29\*02 (89.0%) -IGKJ2\*01 (100%), CDR-IMGT [11.3.9] (27'-37'.55'-57'.94'-102'')) (1'-112') -*Homo sapiens* IGKC\*01 (100%), Km3 A45.1 (158'), V101 (196') (113'-219')]; dimer (225-225":228-228")-bisdisulfide, produced in Chinese hamster ovary (CHO) cells, cell line CHO-DG44, glycoform alfa; substituted at the sulfur atoms of 2-3 L-cysteinyl residues on an average among 219, 225, 228, 219', 219", 225", 228" and 219"' with radical group (1<sup>11a</sup>S,9<sup>11</sup>S,9<sup>11a</sup>S,16S,19S,52<sup>3</sup>RS)-9<sup>11</sup>-hydroxy-1<sup>7</sup>,9<sup>7</sup>-dimethoxy-1<sup>2</sup>,9<sup>2</sup>,16-trimethyl-1<sup>5</sup>,9<sup>5</sup>,10,15,18,21,49,52<sup>2</sup>,52<sup>5</sup>-nona-oxo-19-(propan-2-yl)-1<sup>5</sup>,1<sup>11a</sup>,9<sup>11</sup>,9<sup>11a</sup>-tetrahydro-1<sup>1H</sup>,9<sup>1H</sup>,9<sup>5H</sup>-2,8,11,24,27,30,33,36,39,42,45-undeca-oxa-14,17,20,48-tetraaza-1(8),9(8,10)-bis(pyrrrolo[2,1-c][1,4]benzodiazepina)-52(1)-pyrrolidina-13(1,4)benzenadopentacontaphan-52<sup>3</sup>-yl (*tesirine*)  
*antineoplastic*

olintatug tésirine

immunoglobuline G1-kappa, anti-[*Homo sapiens* (antisense DCD2 ARN 1 associé au rein, antigène 1 associé au rein, RU2AS, protéine du gène antisens RU2)], anticorps monoclonal humanisé et chimérique, conjugué par 2-3 résidus cystéinyle en moyenne à la *tésirine*;  
chaîne lourde H-gamma1 humanisée (1-445) [VH (*Homo sapiens* IGHV1-46\*01 (80.6%) -(IGHD) -IGHJ4\*01 (100%), CDR-IMGT [8.8.9] (26-33.51-58.97-105)) (1-116) -*Homo sapiens* IGHG1\*01 (100%), G1m17,1 CH1 K120, CH3 D12, L14 (CH1 K120 (213) (117-214), charnière 1-15 (215-229), CH2 (230-339), CH3 D12 (355), L14 (357) (340-444), CHS K2>del (445)) (117-445)], (219-219')-disulfure avec la chaîne légère L-kappa chimérique (1'-219') [V-KAPPA Musmus/Homsap (*Mus musculus* IGKV1-117\*01 (89.0%) -IGKJ2\*03 (90.9%) S120>Q (105)/*Homo sapiens* IGKV2-29\*02 (89.0%) -IGKJ2\*01 (100%), CDR-IMGT [11.3.9] (27'-37'.55'-57'.94'-102')) (1'-112') -*Homo sapiens* IGKC\*01 (100%), Km3 A45.1 (158'), V101 (196') (113'-219')]; dimère (225-225":228-228")-bisdisulfure, produit dans des cellules ovariennes de hamster chinois (CHO), lignée cellulaire CHO-DG44, glycoforme alfa; substitué sur l'atome de soufre de 2-3 résidus L-cystéinyle en moyenne parmi 219, 225, 228, 219', 219", 225", 228" et 219"" avec un groupement radical (1<sup>11a</sup>S,9<sup>11</sup>S,9<sup>11a</sup>S,16S,19S,52<sup>3</sup>RS)-9<sup>11</sup>-hydroxy-1<sup>7</sup>,9<sup>7</sup>-diméthoxy-1<sup>2</sup>,9<sup>2</sup>,16-triméthyl-1<sup>5</sup>,9<sup>5</sup>,10,15,18,21,49,52<sup>2</sup>,52<sup>5</sup>-nonaoxo-19-(propan-2-yl)-1<sup>5</sup>,1<sup>1a</sup>,9<sup>11</sup>,9<sup>11a</sup>-tétrahydro-1<sup>1</sup>H,9<sup>1</sup>H,9<sup>5</sup>H-2,8,11,24,27,30,33,36,39,42,45-undécaoxa-14,17,20,48-tétraza-1(8),9(8,10)-bis(pyrrolo[2,1-c][1,4]benzodiazépina)-52(1)-pyrrolidina-13(1,4)benzénadopentacontaphan-52<sup>3</sup>-yle (*tésirine*) *antineoplasique*

olintatug tesirina

inmunoglobulina G1-kappa, anti-[*Homo sapiens* (antisentido DCD2 ARN 1 asociado con la renina, antígeno 1 asociado con la renina, RU2AS, proteína del gen antisentido RU2)], anticuerpo monoclonal humanizado y quimérico, conjugado a 2-3 residuos cisteinilo por término medio a la *tesirina*;  
cadena pesada H-gamma1 humanizada (1-445) [VH (*Homo sapiens* IGHV1-46\*01 (80.6%) -(IGHD) -IGHJ4\*01 (100%), CDR-IMGT [8.8.9] (26-33.51-58.97-105)) (1-116) -*Homo sapiens* IGHG1\*01 (100%), G1m17,1 CH1 K120, CH3 D12, L14 (CH1 K120 (213) (117-214), bisagra 1-15 (215-229), CH2 (230-339), CH3 D12 (355), L14 (357) (340-444), CHS K2>del (445)) (117-445)], (219-219')-disulfuro con la cadena ligera L-kappa quimérica (1'-219') [V-KAPPA Musmus/Homsap (*Mus musculus* IGKV1-117\*01 (89.0%) -IGKJ2\*03 (90.9%) S120>Q (105)/*Homo sapiens* IGKV2-29\*02 (89.0%) -IGKJ2\*01 (100%), CDR-IMGT [11.3.9] (27'-37'.55'-57'.94'-102')) (1'-112') -*Homo sapiens* IGKC\*01 (100%), Km3 A45.1 (158'), V101 (196') (113'-219')]; dímero (225-225":228-228")-bisdisulfuro, producido en las células ováricas de hámster chino (CHO), línea celular CHO-DG44, forma glicosilada alfa; sustituido en el átomo de azufre de 2-3 residuos L-cisteinilo en promedio entre 219, 225, 228, 219', 219", 225", 228" y 219"" con un grupo radical (111aS, 911S, 911aS,16S,19S,52<sup>3</sup>RS)-911-hidroxi-12,92,16-trimetil-17,97-dimetoxi-15,95,10,15,18,21,49,522,525-nonaoxo-19-(propan-2- il)-15,111a,911,911a-tetrahydro-11H,911H,95H-2,8,11,24,27,30,33,36,39,42,45-undécaoxa-14,17,20,48-tétraza -1(8),9(8,10)-bis(pirrolo[2,1-c][1,4]benzodiazepina)-52(1)-pirrolidina-13(1,4)benzenadopentacontafano-523-ilo (*tesirina*) *antineoplásico*

2851870-30-7

## Heavy chain / Chaîne lourde / Cadena pesada

QIQLVQSGAE VKKPGASVKV SCKASGYTFT DDYMSVWKQA PGQGLEWIGD 50  
 INPYNGDTNY NQKFKGKATL TVDKSTSTAY MELSSLRSED TAVYYCARDP 100  
 GAMDYWGQGT LVTVSSASTK GPSVFLPLAS SKSTSGGTAA LGCLVKDYFP 150  
 EPVTVSWNSG ALTSGVHTFP AVLQSSGLYS LSSVTVVPSV SLGTQTYICN 200  
 VNHKPSNTKV DKKVEPKSCD KHTTCPPCPA PELLGGPSVF LFPPKPKDTL 250  
 MISRTPEVTC VVVDVSHEDP EVKFNWYVDG VEVHNAKTKP REEQYNSTYR 300  
 VVSVLTVLHQ DWLNGKEYKQ KVSNKALPAP IERTISKAKG QRPFPQVYTL 350  
 PPSRDELTKN QVSLTCLVKG FYPSDIAVEW ESNQGPPENNY KTTTPVLDSD 400  
 GSFFLYSKLT VDKSRWQQGN VFSCSVMHEA LHNHYTQKSL SLSPG 445

## Light chain / Chaîne légère / Cadena ligera

DIVMTQPLS LPVTPGEPAS ISCRSSQSLL HSNNGNTYLEW YLQKPGQSPQ 50  
 LLIYTVSNRF SGVPRDFSGS GSCTDFTLKI SRVEAEDVGV YYCQQGSHVP 100  
 LTFYGGTKLE IKRTVAAPSV FIFPPSDEQL KSGTASVCL LMFYPREAK 150  
 VQWKVDNALQ SGNMQESVTE QDSKDYSTYSL SFTLTLTKAD YEKHKVYACE 200  
 VTHQGLSSPV TKSFNRGEC 219

## Post-translational modifications

Disulfide bridges location / Position des ponts disulfure / Posiciones de los puentes disulfuro

Intra-H (C23-C104) 22°-96' 143°-199' 260°-320' 366°-424'  
 22°-96" 143"-199" 260"-320" 366"-424"

Intra-L (C23-C104) 23°-93' 139°-199"  
 23"-93" 139"-199"

Inter-H-L (h 5-CL 126) 219°-219' 219°-219"

Inter-H-H (h 11, h 14) 225°-225' 228°-228"

N-terminal glutaminy cyclization / Cyclisation du glutaminyle N-terminal / Ciclación del glutaminilo N-terminal

Q > pyroglutamyl (pE, 5-oxopropyl) / pyroglutamyle (pE, 5-oxopropyle) / piroglutamilo (pE, 5-oxopropilo)

H VH Q1: 1, 1"

N-glycosylation sites / Sites de N-glycosylation / Posiciones de N-glicosilación

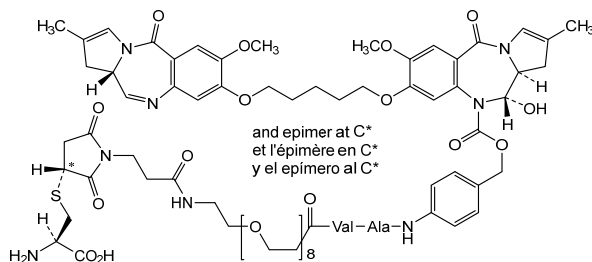
H CH2 N84.4: 296, 296"

Fucosylated complex bi-antennary CHO-type glycans / glycanes de type CHO bi-antennaires complexes fucosylés / glicanos de tipo CHO biantennarios complejos fucosilados

Potential modified residues / résidus modifiés potentiels / restos modificados potenciales\*

C (219, 225, 228, 219', 219'', 225'', 228'', 219''')

\*(tesirine:mAb ~ 2.5:1)



## opugotamigum #

opugotamig

immunoglobulin (G1\_L-kappa)\_scFvkH-G1(h-CH2-CH3), anti-[*Homo sapiens* FOLR1 (folate receptor 1, folate receptor alpha, FR-alpha, adult folate-binding protein, FBP, ovarian tumor-associated antigen MOv18)], biparatopic, bivalent;

H-gamma1 heavy chain, anti-FOLR1 (1-447) [VH (*Mus musculus* IGHV1-37\*01 (87.8%) -(IGHD) -IGHJ4\*01 (93.3%) S123>T (113), CDR-IMGT [8.8.11] (26-33.51-58.97-107))] (1-118) -*Homo sapiens* IGHG1\*03v, G1m3>G1m17, nG1m1 CH1 K120, CH3 E12, M14, G1v33 CH3 S22, A24, V86 (hole) (CH1 R120>K (215) (119-216), hinge 1-15 (217-231), CH2 (232-341), CH3 E12 (357), M14 (359), T22>S (367), L24>A (369), Y86>V (408) (342-446), CHS K2>del (447))] (119-447)], (221-218°)-disulfide with L-kappa light chain, anti-FOLR1 (1'-218') [V-KAPPA (*Mus musculus* IGKV3-9\*01 (80.8%) -IGKJ2\*01 (100%), CDR-IMGT [10.3.9] (27'-36'.54'-56'.93'-101'')] (1'-111') -*Homo sapiens* IGKC\*01 (100%), Km3 A45.1 (157'), V101 (195') (112'-218'')];

- scFvkh-G1(h-CH2-CH3) heavy chain, anti-FOLR1 (1"-479") [V-KAPPA (*Mus musculus* IGKV5-43\*01 (86.3%) -IGKJ2\*03 (91.7%) S120>C (101"), CDR-IMGT [6.3.10] (27"-32".50"-52".89"-98")) (1"-108")-20-mer tetrakis(tetraglycyl-seryl) linker (109"-128") -VH (*Mus musculus* IGHV5-17\*02 (88.8%) -(IGHD) -IGHJ3\*01 (91.7%) A128>S (246"), CDR-IMGT [8.8.11] (154"-161".179"-186".225"-235")) (129"-246") -2-mer (glycyl-seryl) linker (247"-248") -*Homo sapiens* IGHG1\*03 h-CH2-CH3, nG1m1 CH3 E12, M14, G1v37 h S5, G1v32 CH3 W22 (knob) (hinge 1-15 C5>S (253") (249"-263"), CH2 (264"-373"), CH3 T22>W (399") (374"-478"), CHS K2>del (479")) (249"-479"); dimer (227-259": 230-262")-bisdisulfide, produced in Chinese hamster ovary (CHO) cells, cell line CHO-K1, glycoform alfa  
*antineoplastica*
- opugotamig immunoglobuline (G1\_L-kappa)\_scFvkh-G1(h-CH2-CH3), anti-[*Homo sapiens* FOLR1 (récepteur 1 du folate, récepteur alpha du folate, FR-alpha, protéine de l'adulte liant le folate, FBP, antigène MOv18 associé à des tumeurs ovariennes)], biparatopique, bivalent; chaîne lourde H-gamma1, anti-FOLR1 (1-447) [VH (*Mus musculus* IGHV1-37\*01 (87.8%) -(IGHD) -IGHJ4\*01 (93.3%) S123>T (113), CDR-IMGT [8.8.11] (26-33.51-58.97-107)) (1-118) -*Homo sapiens* IGHG1\*03v, G1m3>G1m17, nG1m1 CH1 K120, CH3 E12, M14, G1v33 CH3 S22, A24, V86 (hole) (CH1 R120>K (215) (119-216), charnière 1-15 (217-231), CH2 (232-341), CH3 E12 (357), M14 (359), T22>S (367), L24>A (369), Y86>V (408) (342-446), CHS K2>del (447)) (119-447)], (221-218')-disulfure avec la chaîne légère L-kappa, anti-FOLR1 (1'-218') [V-KAPPA (*Mus musculus* IGKV3-9\*01 (80.8%) -IGKJ2\*01 (100%), CDR-IMGT [10.3.9] (27'-36'.54'-56'.93'-101')) (1'-111') -*Homo sapiens* IGKC\*01 (100%), Km3 A45.1 (157'), V101 (195') (112'-218')]; chaîne lourde scFvkh-G1(h-CH2-CH3), anti-FOLR1 (1"-479") [V-KAPPA (*Mus musculus* IGKV5-43\*01 (86.3%) -IGKJ2\*03 (91.7%) S120>C (101"), CDR-IMGT [6.3.10] (27"-32".50"-52".89"-98")) (1"-108")-20-mer tétrakis(tétraglycyl-séryl) linker (109"-128") -VH (*Mus musculus* IGHV5-17\*02 (88.8%) -(IGHD) -IGHJ3\*01 (91.7%) A128>S (246), CDR-IMGT [8.8.11] (154"-161".179"-186".225"-235")) (129"-246") -2-mer (glycyl-séryl) linker (247"-248") -*Homo sapiens* IGHG1\*03 h-CH2-CH3, nG1m1 CH3 E12, M14, G1v37 h S5, G1v32 CH3 W22 (knob) (charnière 1-15 C5>S (253") (249"-263"), CH2 (264"-373"), CH3 T22>W (399") (374"-478"), CHS K2>del (479")) (249"-479"); dimère (227-259": 230-262")-bisdisulfure, produit dans des cellules ovariennes de hamster chinois (CHO), lignée cellulaire CHO-K1, glycoforme alfa  
*antineoplastique*
- opugotamig inmunoglobulina (G1\_L-kappa)\_scFvkh-G1(h-CH2-CH3), anti-[*Homo sapiens* FOLR1 (receptor 1 del folato, receptor alfa del folato, FR-alfa, proteína del adulto que se une al folato, FBP, antígeno MOv18 asociado con dos tumores ováricos)], biparatópico y bivalente; cadena pesada H-gamma1, anti-FOLR1 (1-447) [VH (*Mus musculus* IGHV1-37\*01 (87.8%) -(IGHD) -IGHJ4\*01 (93.3%) S123>T (113), CDR-IMGT [8.8.11] (26-33.51-58.97-107)) (1-118) -*Homo sapiens* IGHG1\*03v, G1m3>G1m17, nG1m1 CH1 K120, CH3 E12, M14, G1v33 CH3 S22, A24, V86 (hole) (CH1 R120>K (215) (119-216), bisagra 1-15 (217-231), CH2 (232-341), CH3 E12 (357), M14 (359), T22>S (367), L24>A (369), Y86>V (408) (342-446), CHS K2>del (447)) (119-447)], (221-218')-disulfuro con la cadena ligera L-kappa, anti-FOLR1 (1'-218') [V-KAPPA (*Mus musculus* IGKV3-9\*01 (80.8%) -IGKJ2\*01 (100%), CDR-IMGT [10.3.9] (27'-36'.54'-56'.93'-101')) (1'-111') -*Homo sapiens* IGKC\*01 (100%), Km3 A45.1 (157'), V101 (195') (112'-218')];

cadena pesada scFvkh-G1(h-CH2-CH3), anti-FOLR1 (1"-479") [V-KAPPA (*Mus musculus* IGKV5-43\*01 (86.3%) -IGKJ2\*03 (91.7%) S120>C (101"), CDR-IMGT [6.3.10] (27"-32".50"-52".89"-98")) (1"-108")-20-mer tetrakis(tetraglicil-seril) enlace (109"-128") -VH (*Mus musculus* IGHV5-17\*02 (88.8%) -(IGHD) -IGHJ3\*01 (91.7%) A128>S (246), CDR-IMGT [8.8.11] (154"-161".179"-186".225"-235")) (129"-246") -2-mer (glicil-seril) enlace (247"-248") -*Homo sapiens* IGHG1\*03 h-CH2-CH3, nG1m1 CH3 E12, M14, G1v37 h S5, G1v32 CH3 W22 (knob) (bisagra1-15 C5>S (253")) (249"-263"), CH2 (264"-373"), CH3 T22>W (399") (374"-478"), CHS K2>del (479")) (249"-479")); dímero (227-259": 230-262")-bisdisulfuro, producido en las células ováricas de hámster chino (CHO), línea celular CHO-K1, forma glicosilada alfa

*antineoplásico*

2779564-38-2

Heavy chain / Chaîne lourde / Cadena pesada: anti-FOLR1-hole (H)

QVQLVQSGAE VVKPGASVKI SCKASGYTFT GYFMNWKQS PGQSLEWIGR 50  
 IHPYDGDTFY NQKFQ GKATL TVDKSSNTAH MELLSLTSED FAVYYCTRYD 100  
 GSRAMDYWGQ GTTIVTVSSAS TKGPSVFPLA PSSKSTSGGT AALGCLVKDY 150  
 FPEPVTYSWN SGALTSVGHV FPAVLQSSGL YLSSVVTVP SSSLGTTQTYI 200  
 CNVNHKPSNT KVDKKEVPEKS CDKTHCTPPC PAFELLGGPS VFLFPPKPKD 250  
 TLMISRTPEV TCVVVDVSHS DPEVKFNWYV DGVEVHNAKT KPREEQYNST 300  
 YRVVSVLTVL HQDWLNGKEY CKKVSNAKALP APIEKTISKA KGPQPREPQY 350  
 TLPSPREEMT KNQVSLSCAV KGFYPSDIAV EWESNGQPEN NYKTTTPVLVD 400  
 SDGSFFLVSK LTVDKSRWQQ GNVFSCSVMH EALHNYTQK SLSLSPG 447

Light chain / Chaîne légère / Cadena ligera: anti-FOLR1 (L)

DIIVLTQSPFLS LAVSLGQPAI ISCKASQSVS FAGTSLMHWY HQKPGQQPRL 50  
 LIYRASNLLEA GVPDRFSGSG SKTDFTLTIS PVEAEDAATY YCQQSREYPY 100  
 TFGGGTKLEI KRTVAAPSVF IFPPSDEQLK SGTASVVCLL NNFYPREAKV 150  
 QWKVDNALQS GNSQESVTEQ DSKDSTYSLS STLTLSKADY EKHKVYACEV 200  
 THQGLSSPVT KSFNRGEC

Heavy chain / Chaîne lourde / Cadena pesada: anti-FOLR1-knob (H')

EIVLTQSPAT LSVTPGDRVS LSCRASQIN NNLHWYQKQP GQSPRLLIKY 50  
 VQSIVSGIPD RFSGSGSGTD FTLSISSVEP EDEGMVFCQQ SNSWPHYTFG 100  
 CGTKLEIKGG GSGGGGGSGG GSGGGGGSEV QLVQSGGGLV QPGGSRRLSC 150  
 AASGFTFSSF GMHWVRQAPG KLEWVAYIS SGSSTISYAD SVKGRFTISR 200  
 DNSKKTLLQ MTSLRAEDTA MYCAREAYG SSMEYWGQGT LVTVSSGSEP 250  
 KSSDKTHTCP PCPAPELLGG PSVFLFPPKP KDITLMSRTP EVTCVVVDVS 300  
 HEDPEVKFNW YVDGVEVHNA KTKPREEQYN STYRVVSVLT VLHQDWLNGK 350  
 EYKCKVSNKA LPAPIEKTIS KAKGQPREPQ VYTLPPSREE MTKNQVSLWC 400  
 LVKGFYPSDI AVEWESNGQP ENNYKTTTPV LDSDGGSFLY SKLTVDKSRW 450  
 QQGNVFSCSV MHEALHNYT QKSLSLSPG 479

Post-translational modifications

Disulfide bridges location / Position des ponts disulfure / Posiciones de los puentes disulfuro

Intra-H (C23-C104) 22-96 145-201 262-322 368-426  
 23"-88" 150"-224" 294"-354" 400"-458"

Intra-H scFv VL120-VH49\* 101"-172"

Intra-L (C23-C104) 2 3'-92' 138'-198'

Inter-H-L (CH1 10-CL 126) 221-218'

Inter-H-H (h 8, h 11) 227-259" 230-262"

\*Engineered additional disulfide bond to stabilize the scFv.

N-terminal glutaminyl cyclization / Cyclisation du glutaminyle N-terminal / Ciclación del glutaminilo N-terminal

Q > pyroglutamyl (pE, 5-oxopropyl) / pyroglutamyle (pE, 5-oxopropyle) / piroglutamilo (pE, 5-oxoprolilo)

H VH Q1: 1

N-glycosylation sites / Sites de N-glycosylation / Posiciones de N-glicosilación

H CH2 N84.4: 298, 330"

Fucosylated complex bi-antennary CHO-type glycans / glycanes de type CHO bi-antennaires complexes fucosylés / glicanos de tipo CHO biantennarios complejos fucosilados

**opogotamigum olatansinum #**

opogotamig olatansine

immunoglobulin (G1\_L-kappa)\_scFvkh-G1(h-CH2-CH3), anti-[*Homo sapiens* FOLR1 (folate receptor 1, folate receptor alpha, FR-alpha, adult folate-binding protein, FBP, ovarian tumor-associated antigen MOv18)], biparatopic, assymetric, bivalent; conjugated, on an average of 3 to 4 lysinyl residues to *olatansine*;

scFvkh-G1(h-CH2-CH3) heavy chain, anti-FOLR1 (1"-479") [V-KAPPA (*Mus musculus* IGKV5-43\*01 (86.3%) -IGKJ2\*03 (91.7%) S120>C (101"), CDR-IMGT [6.3.10] (27"-32".50"-52".89"-98")) (1"-108")-20-mer tetrakis(tétraglycyl-séryl) linker (109"-128") -VH (*Mus musculus* IGHV5-17\*02 (88.8%) -(IGHD) -IGHJ3\*01 (91.7%) A128>S (246"), CDR-IMGT [8.8.11] (154"-161".179"-186".225"-235")) (129"-246") -2-mer (glycyl-séryl) linker (247"-248") -*Homo sapiens* IGHG1\*03 h-CH2-CH3, nG1m1 CH3 E12, M14, G1v37 h S5, G1v32 CH3 W22 (knob) (hinge 1-15 C5>S (253") (249"-263"), CH2 (264"-373"), CH3 T22>W (399") (374"-478"), CHS K2>del (479")) (249"-479"); dimer (227-259": 230-262")-bisdisulfide, produced in Chinese hamster ovary (CHO) cells, cell line CHO-K1, glycoform alfa; substituted at the side chain nitrogen atom of an average of 3 to 4 L-lysine residues with radical group 4-[(3RS)-3-[[[(2S,14S,17R,20S)-1-[[[(1<sup>4</sup>S,1<sup>6</sup>S,2R,3<sup>2</sup>S,3<sup>3</sup>S,4S,10E,12E,14R)-8<sup>6</sup>-chloro-1<sup>4</sup>-hydroxy-8<sup>5</sup>,14-dimethoxy-2,3<sup>3</sup>,7,10-tetramethyl-1<sup>2</sup>,6-dioxo-7-aza-1(6,4)-[1,3]oxazinana-3(2,3)-oxirana-8(1,3)-benzenacyclotetradecaphane-10,12-dien-4-yl]oxy]-2,3,14,17,20-pentamethyl-1,4,13,16,19,22-hexaoxo-10-thia-3,12,15,18,21-pentaazapentacosan-25-yl]sulfanyl]-2,5-dioxopyrrolidin-1-yl]butanoyl (*olatansine*) *antineoplastic*

opugotamig olatansine

immunoglobuline (G1\_L-kappa)\_scFvkh-G1(h-CH2-CH3), anti-[*Homo sapiens* FOLR1 (récepteur 1 du folate, récepteur alpha du folate, FR-alpha, protéine de l'adulte liant le folate, FBP, antigène MOv18 associé à des tumeurs ovariennes)], biparatopique, asymétrique, bivalent; conjugué par 3 à 4 résidus lysinyle en moyenne à l'*olatansine*;  
chaîne lourde H-gamma1, anti-FOLR1 (1-447) [VH (*Mus musculus* IGHV1-37\*01 (87.8%) -(IGHD) -IGHJ4\*01 (93.3%) S123>T (113), CDR-IMGT [8.8.11] (26-33.51-58.97-107)) (1-118) -*Homo sapiens* IGHG1\*03v, G1m3>G1m17, nG1m1 CH1 K120, CH3 E12, M14, G1v33 CH3 S22, A24, V86 (hole) (CH1 R120>K (215) (119-216), charnière 1-15 (217-231), CH2 (232-341), CH3 E12 (357), M14 (359), T22>S (367), L24>A (369), Y86>V (408) (342-446), CHS K2>del (447)) (119-447)], (221-218')-disulfure avec la chaîne légère L-kappa, anti-FOLR1 (1'-218') [V-KAPPA (*Mus musculus* IGKV3-9\*01 (80.8%) -IGKJ2\*01 (100%), CDR-IMGT [10.3.9] (27'-36'.54'-56'.93'-101')) (1'-111') -*Homo sapiens* IGKC\*01 (100%), Km3 A45.1 (157'), V101 (195') (112'-218')];  
chaîne lourde scFvkh-G1(h-CH2-CH3), anti-FOLR1 (1"-479") [V-KAPPA (*Mus musculus* IGKV5-43\*01 (86.3%) -IGKJ2\*03 (91.7%) S120>C (101"), CDR-IMGT [6.3.10] (27"-32".50"-52".89"-98")) (1"-108")-20-mer tétrakis(tétraglycyl-séryl) linker (109"-128") -VH (*Mus musculus* IGHV5-17\*02 (88.8%) -(IGHD) -IGHJ3\*01 (91.7%) A128>S (246"), CDR-IMGT [8.8.11] (154"-161".179"-186".225"-235")) (129"-246") -2-mer (glycyl-séryl) linker (247"-248") -*Homo sapiens* IGHG1\*03 h-CH2-CH3, nG1m1 CH3 E12, M14, G1v37 h S5, G1v32 CH3 W22 (knob) (charnière 1-15 C5>S (253") (249"-263"), CH2 (264"-373"), CH3 T22>W (399") (374"-478"), CHS K2>del (479")) (249"-479"); dimère (227-259": 230-262")-bisdisulfure, produit dans des cellules ovariennes

	<p>de hamster, lignée cellulaire CHO-K1, glycoforme alfa; substitué sur l'atome d'azote de la chaîne latérale de 3 à 4 résidus lysinyle en moyenne avec un groupement radical 4-[(3RS)-3-{{(2S,14S,17R,20S)-1-{{(1<sup>4</sup>S,1<sup>6</sup>S,2R,3<sup>2</sup>S,3<sup>3</sup>S,4S,10E,12E,14R)-8<sup>6</sup>-chloro-1<sup>4</sup>-hydroxy-8<sup>5</sup>,14-diméthoxy-2,3<sup>3</sup>,7,10-tétraméthyl-1<sup>2</sup>,6-dioxo-7-aza-1(6,4)-[1,3]oxazinana-3(2,3)-oxirana-8(1,3)-benzénacyclotétradécaphane-10,12-dién-4-yl]oxy}-2,3,14,17,20-pentaméthyl-1,4,13,16,19,22-hexaoxo-10-thia-3,12,15,18,21-pentaazapentacosan-25-yl]sulfanyl}-2,5-dioxopyrrolidin-1-yl]butanoyle (<i>olatansine</i>) <i>antineoplasique</i></p>
opugotamig olatansina	<p>immunoglobulina (G1_L-kappa)_scFvkh-G1(h-CH2-CH3), anti-[<i>Homo sapiens</i> FOLR1 (receptor 1 del folato, receptor alfa del folato, FR-alfa, proteína del adulto que se une al folato, FBP, antígeno MOv18 asociado con los tumores ováricos)], biparatópico, asimétrico, bivalente; conjugado por 3 a 4 residuos lisinilo en promedio a la <i>olatansina</i>; cadena pesada H-gamma1, anti-FOLR1 (1-447) [VH (<i>Mus musculus</i> IGHV1-37*01 (87.8%) -(IGHD) -IGHJ4*01 (93.3%) S123&gt;T (113), CDR-IMGT [8.8.11] (26-33.51-58.97-107)) (1-118) -<i>Homo sapiens</i> IGHG1*03v, G1m3&gt;G1m17, nG1m1 CH1 K120, CH3 E12, M14, G1v33 CH3 S22, A24, V86 (hole) (CH1 R120&gt;K (215) (119-216), bisagra 1-15 (217-231), CH2 (232-341), CH3 E12 (357), M14 (359), T22&gt;S (367), L24&gt;A (369), Y86&gt;V (408) (342-446), CHS K2&gt;del (447)) (119-447)], (221-218')-disulfuro con la cadena ligera L-kappa, anti-FOLR1 (1'-218') [V-KAPPA (<i>Mus musculus</i> IGKV3-9*01 (80.8%) -IGKJ2*01 (100%), CDR-IMGT [10.3.9] (27'-36'-54'-56'-93'-101')) (1'-111') -<i>Homo sapiens</i> IGKC*01 (100%), Km3 A45.1 (157'), V101 (195') (112'-218')]; cadena pesada scFvkh-G1(h-CH2-CH3), anti-FOLR1 (1"-479") [V-KAPPA (<i>Mus musculus</i> IGKV5-43*01 (86.3%) -IGKJ2*03 (91.7%) S120&gt;C (101"), CDR-IMGT [6.3.10] (27"-32".50"-52".89"-98")) (1"-108")-20-mer tetrakis(tetraglicil-seril) enlace (109"-128") -VH (<i>Mus musculus</i> IGHV5-17*02 (88.8%) -(IGHD) -IGHJ3*01 (91.7%) A128&gt;S (246), CDR-IMGT [8.8.11] (154"-161".179"-186".225"-235")) (129"-246") -2-mer (glicil-seril) enlace (247"-248") -<i>Homo sapiens</i> IGHG1*03 h-CH2-CH3, nG1m1 CH3 E12, M14, G1v37 h S5, G1v32 CH3 W22 (knob) (bisagra 1-15 C5&gt;S (253") (249"-263"), CH2 (264"-373"), CH3 T22&gt;W (399") (374"-478"), CHS K2&gt;del (479")) (249"-479)]; dímero (227-259": 230-262")-bisdisulfuro, producido en las células ováricas de hámster chino (CHO), línea celular CHO-K1, forma glicosilada alfa; sustituido en el átomo de nitrógeno de la cadena lateral de 3 a 4 residuos lisinilo en promedio con un grupo radical 4-[(3RS)-3-{{(2S,14S,17R,20S)-1-{{(1<sup>4</sup>S,1<sup>6</sup>S,2R,3<sup>2</sup>S,3<sup>3</sup>S,4S,10E,12E,14R)-8<sup>6</sup>-cloro-1<sup>4</sup>-hidroxi-8<sup>5</sup>,14-dimetoxi-2,3<sup>3</sup>,7,10-tetrametil-1<sup>2</sup>,6-dioxo-7-aza-1(6,4)-[1,3]oxazinana-3(2,3)-oxirana-8(1,3)-bencenacyclotetradecafano-10,12-dien-4-il]oxi}-2,3,14,17,20-pentametil-1,4,13,16,19,22-hexaoxo-10-thia-3,12,15,18,21-pentaazapentacosan-25-il]sulfanil}-2,5-dioxopirrolidin-1-il]butanoilo (<i>olatansina</i>) <i>antineoplásico</i></p>

2779564-40-6

## Heavy chain / Chaîne lourde / Cadena pesada

QIQLVQSGAE VKKPGASVKV SCKASGYTFT DDYMSWVKQA PGQGLEWIGD 50  
 INPYNGDTNY NQKFKGKATL TVDKSTSTAY MELSSLRSED TAVVYCARDP 100  
 GAMDYWGQGT LVTVSSASTK GPSVFPPLAPS SKSTSGGTAA LGCLVKDYFP 150  
 EPVTVSWNSG ALTSGVHTFP AVLQSSGLYS LSSVVTVPSS SLGTQTYICN 200  
 VNHKPSNTKV DKKVEPKSCD KTHTCPPCPA PELLGGPSVF LFPPKPKDTL 250  
 MISRTPEVTC VVVDVSHEDP EVKFNWYVDG VEVHNAKTKP REEQYNSTYR 300  
 VVSVLTVLHQ DWLNGKEYKC KVSNKALPAP IEKTIKSAKG QRFEPQVYTL 350  
 PPSRDELTKN QVSLTCLVKG FYPSDIAVEV ESNQGPPENNY KTFPPVLDSD 400  
 GSFFLYSKLT VDKSRWQQGN VFSCSVMEHA LHNHYTQKSL SLSPG 445

## Light chain / Chaîne légère / Cadena ligera

DIVMTQTPLS LPVTPGEPAS ISCRSSQSLI HSNNGTYLEW YLQKPGQSPQ 50  
 LLIYTVSNRF SGVDFRFSGS GSGTDFTLKI SRVEAEDVGV YYCFQGSHPV 100  
 LTFGQGTKLE IKRTVAAPSV FIFPPSDEQL KSGTASVVCL LNNFYPREAK 150  
 VQWKVDNALQ SGNSQESVTE QDSKDSYISL SSTLTLSKAD YEKHKVYACE 200  
 VTHQGLSSPV TKSFNRGEC 219

## Post-translational modifications

## Disulfide bridges location / Position des ponts disulfure / Posiciones de los puentes disulfuro

Intra-H (C23-C104) 22-96 143-199 260-320 366-424  
 22"-96" 143"-199" 260"-320" 366"-424"  
 Intra-L (C23-C104) 23"-93" 139"-199"  
 23"-93" 139"-199"

Inter-H-L (h 5-CL 126) 219-219' 219"-219"

Inter-H-H (h 11, h 14) 225-225" 228-228"

## N-terminal glutaminyl cyclization / Cyclisation du glutaminyle N-terminal / Cielación del glutaminilo N-terminal

Q > pyroglutamyl (pE, 5-oxoprolyl) / pyroglutamide (pE, 5-oxoprolyle) / piroglutamilo (pE, 5-oxoprolyle)  
 H VH Q1: 1, 1"

## N-glycosylation sites / Sites de N-glycosylation / Posiciones de N-glicosilación

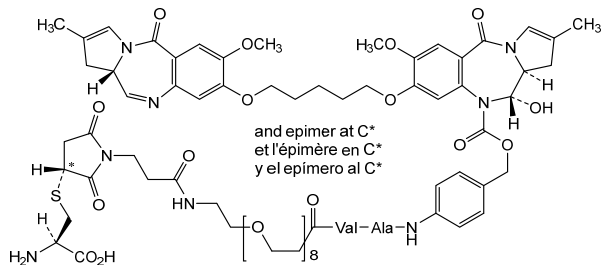
H CH2 N84.4: 296, 296"

Fucosylated complex bi-antennary CHO-type glycans / glycanes de type CHO bi-antennaires complexes fucosylés / glicanos de tipo CHO biantennarios complejos fucosilados

## Potential modified residues / résidus modifiés potentiels / restos modificados potenciales\*

C (219, 225, 228, 219', 219", 225", 228", 219'')

\*(tesirine:mAb ~ 2.5:1)

**osencabtagenum autoleucelum #**

## osencabtagene autoleucel

autologous T lymphocytes obtained from peripheral blood by leukapheresis, transduced with two self-inactivating, non-replicating lentiviral vectors encoding:

(i) a chimeric antigen receptor (CAR) targeting human CD7: the expressed transgene comprises a granulocyte-macrophage colony-stimulating factor (GM-CSF) receptor signal sequence, a single-domain antibody derived from a humanized nano-antibody (HuVHH6) targeting CD7, an immunoglobulin G4 (IgG4) Fc hinge, an inducible T lymphocyte costimulator (ICOS) transmembrane and intracellular domain, a 4-1BB intracellular costimulatory domain and a CD3 $\zeta$  intracellular activation domain, under control of the human elongation factor 1 alpha (EF1 $\alpha$ ) promoter.



(ii) a CD7-blocking gene comprising a granulocyte-macrophage colony-stimulating factor (GM-CSF) receptor signal sequence, a bivalent CD7 nano-antibody sequence (VHH6-linker-VHH6) fused to an endoplasmic reticulum (ER) retention sequence (KDEL sequence), under control of the cytomegalovirus promoter.

In both constructs, the transgene is flanked by 5' and 3' long terminal repeats (LTRs) and also contains a  $\psi$  packaging signal, a Rev response element (RRE) and a central polypurine tract (cPPT) sequence 5' to the transgene, and a Woodchuck hepatitis virus post-transcriptional regulatory element (WPRE) 3' to the transgene. Both vectors are pseudotyped with vesicular stomatitis virus (VSV) G glycoprotein.

The leukapheresis material is enriched for CD4+ and CD8+ T lymphocytes by positive immunoselection prior to activation with CD3 and CD28 agonists in growth media containing interleukin 7 (IL-7) and interleukin 15 (IL-15). The cells are then transduced with the lentiviral vectors and expanded in growth media containing IL-7 and IL-15. The cell suspension consists of CD3+ T lymphocytes ( $\geq 90\%$ ; of which CD3+CD7- T lymphocytes account for more than 95%), with greater than 5% of the T lymphocytes expressing the CAR transgene. The transduced T lymphocytes release interferon gamma (IFN- $\gamma$ ) by co-culture with target cells *in vitro*

*cell-based gene therapy (antineoplastic)*

#### osencabtagène autoleucel

lymphocytes T autologues obtenus à partir de sang périphérique par leucaphérèse, transduits avec deux vecteurs lentivirus auto-inactivants et non-répliquants codant :

(i) un récepteur antigénique chimérique (CAR) ciblant le CD7 humain : le transgène exprimé comprend une séquence signal du récepteur du facteur de stimulation des granulocytes et macrophages (GM-CSF), un anticorps à domaine unique dérivé d'un nano-anticorps humanisé (HuVHH6) ciblant CD7, une charnière Fc de l'immunoglobuline G4 (IgG4), un domaine transmembranaire et intracellulaire de costimulation des lymphocytes T inductibles (ICOS), un domaine intracellulaire de costimulation 4-1BB et un domaine d'activation intracellulaire CD3 $\zeta$ , sous le contrôle du promoteur du facteur d'élongation 1 alpha (EF1 $\alpha$ ) humain.

(ii) un gène bloquant CD7 comprenant une séquence signal du récepteur du facteur de stimulation des granulocytes et macrophages (GM-CSF), une séquence bivalente de nano-anticorps CD7 (VHH6-linker-VHH6) fusionnée à une séquence de rétention du réticulum endoplasmique (séquence KDEL), sous le contrôle du promoteur du cytomégalovirus (CMV).

Dans les deux constructions, le transgène est flanqué de longues répétitions terminales (LTR) en 5' et 3' et contient également un signal d'encapsulation  $\psi$ , un élément de réponse Rev (RRE) et une séquence du tractus polypurine central (cPPT) en 5' du transgène, et un élément de régulation post-transcriptionnelle du virus de l'hépatite de la marmotte (WPRE) en 3' du transgène. Les deux vecteurs sont pseudotypés avec la glycoprotéine G du virus de la stomatite vésiculaire (VSV).

Le matériel de leucaphérèse est enrichi en lymphocytes T CD4+ et CD8+ par immunosélection positive avant d'être activé avec des agonistes CD3 et CD28 dans un milieu de croissance contenant de l'interleukine 7 (IL-7) et de l'interleukine 15 (IL-15). Les cellules sont ensuite transduites avec les vecteurs lentivirus et amplifiées dans un milieu de croissance contenant de l'IL-7 et de l'IL-15. La suspension cellulaire est constituée de lymphocytes T CD3+ ( $\geq 90\%$ , dont plus de 95% de lymphocytes T CD3+CD7-), avec plus de 5% des lymphocytes T exprimant le transgène CAR. Les lymphocytes T transduits libèrent de l'interféron gamma (IFN- $\gamma$ ) par co-culture avec des cellules cibles *in vitro*

*thérapie génique à base de cellules (antineoplasique)*

osencabtagén autoleucel

linfocitos T autólogos obtenidos de sangre periférica mediante leucoaféresis, transducidos con dos vectores lentivirales no replicativos, auto inactivantes, que codifican para:

(i) un receptor de antígenos quimérico (CAR) dirigido a CD7 humano: el transgén expresado contiene una secuencia señal del receptor del factor estimulador de colonias granulocito-macrófago (GM-CSF), un anticuerpo de dominio único derivado de un nano-anticuerpo humanizado (HuVHH6) frente a CD7, una bisagra del Fc de la inmunoglobulina 4 (IgG4), un dominio transmembrana e intracelular del coestimulador inducible de linfocitos T (ICOS), un dominio coestimulador intracelular de 4-1BB y un dominio de activación intracelular de CD3 $\zeta$ , bajo el control del promotor del factor de elongación 1 alfa (EF1 $\alpha$ ) humano.

(ii) un gen bloqueante de CD7 que contiene una secuencia señal del receptor del factor estimulador de colonias granulocito-macrófago (GM-CSF), una secuencia de nano-anticuerpo bivalente frente a CD7 (VHH6-linker-VHH6) fusionada a una secuencia de retención en retículo endoplasmático (secuencia KDEL), bajo el control del promotor de citomegalovirus.

En ambos constructos, el transgén está flanqueado por repeticiones terminales largas (LTRs) en 5' y 3' y también contiene una señal de empaquetamiento  $\psi$ , un elemento de respuesta Rev (RRE) y una secuencia de tracto de polipurina central (cPPT) en 5' del transgén y un elemento regulador post-transcripcional del virus de la hepatitis de la marmota (WPRE) en 3' del transgén. Ambos vectores están seudotipados con la glicoproteína G del virus de la estomatitis vesicular (VSV).

El material de leucoaféresis se enriquece en linfocitos T CD4+ y CD8+ mediante inmunoselección positiva antes de la activación con agonistas de CD3 y CD28 en medio de crecimiento que contiene interleuquina 7 (IL-7) e interleuquina 15 (IL-15). A continuación, las células se transducen con los vectores lentivirales y se expanden en medio de crecimiento que contiene IL-7 e IL-15. La suspensión celular consiste en linfocitos T CD3+ ( $\geq 90\%$ ); de los cuales los linfocitos T CD3+CD7- son más del 95%, con más del 5% de los linfocitos T que expresan el transgén CAR. Los linfocitos T transducidos liberan interferón gamma (IFN- $\gamma$ ) mediante su cocultivo con células diana *in vitro*

*terapia génica basada en células (antineoplásico)*

ozureprubartum #  
ozureprubart

immunoglobulin G1-kappa, anti-[*Homo sapiens* IGHE (immunoglobulin constant epsilon) region of IgE heavy chain, Fc region of IgE]], humanized monoclonal antibody;

H-gamma1 heavy chain humanized (1-451) [VH (*Homo sapiens* IGHV3-66\*01 (84.7%) -(IGHD) -IGHJ3\*01 (85.7%) M123>L (116), CDR-IMGT [9.7.14] (26-34.52-58.97-110))] (1-121) -*Homo sapiens* IGHG1\*03v, G1m3>G1m17, nG1m1 CH1 K120, CH3 E12, M14, G1v21 CH2 Y15.1, T16, E18 (CH1 R120>K (218) (122-219), hinge 1-15 (220-234), CH2 M15.1>Y (256), S16>T (258), T18>E (260) (235-344), CH3 E12 (360), M14 (362) (345-449), CHS (450-451)) (122-451)], (224-218')-disulfide with L-kappa light chain humanized (1'-218') [V-KAPPA (*Homo sapiens* IGKV1-39\*01 (87.9%) -IGKJ2\*01 (100%), CDR-IMGT [10.3.9] (27'-36'.54'-56'.93'-101')] (1'-111') -*Homo sapiens* IGKC\*01 (100%), Km3 A45.1 (157'), V101 (195') (112'-218')]; dimer (230-230":233-233")-bisdisulfide, produced in Chinese hamster ovary (CHO) cells, cell line CHO-S, glycoform alfa

*antiallergic*

ozuréprubart immunoglobuline G1-kappa, anti-[*Homo sapiens* IGHE (immunoglobuline constante epsilon) région de la chaîne lourde des IgE, Fc région des IgE)], anticorps monoclonal humanisé; chaîne lourde H-gamma1 humanisée (1-451) [VH (*Homo sapiens* IGHV3-66\*01 (84.7%) -(IGHD) -IGHJ3\*01 (85.7%) M123>L (116), CDR-IMGT [9.7.14] (26-34.52-58.97-110)) (1-121) -*Homo sapiens* IGHG1\*03v, G1m3>G1m17, nG1m1 CH1 K120, CH3 E12, M14, G1v21 CH2 Y15.1, T16, E18 (CH1 R120>K (218) (122-219), charnière 1-15 (220-234), CH2 M15.1>Y (256), S16>T (258), T18>E (260) (235-344), CH3 E12 (360), M14 (362) (345-449), CHS (450-451)) (122-451)], (224-218')-disulfure avec la chaîne légère L-kappa humanisée (1'-218') [V-KAPPA (*Homo sapiens* IGKV1-39\*01 (87.9%) -IGKJ2\*01 (100%), CDR-IMGT [10.3.9] (27'-36'.54'-56'.93'-101'')) (1'-111') -*Homo sapiens* IGKC\*01 (100%), Km3 A45.1 (157'), V101 (195') (112'-218'')]; dimère (230-230":233-233")-bisdisulfure, produit dans des cellules ovariennes de hamster chinois (CHO), lignée cellulaire CHO-S, glycoforme alfa *antiallergique*

ozureprubart inmunoglobulina G1-kappa, anti-[*Homo sapiens* IGHE (inmunoglobulina constante epsilon) región de la cadena pesada de las IgE, región Fc de las IgE)], anticuerpo monoclonal humanizado; cadena pesada H-gamma1 humanizada (1-451) [VH (*Homo sapiens* IGHV3-66\*01 (84.7%) -(IGHD) -IGHJ3\*01 (85.7%) M123>L (116), CDR-IMGT [9.7.14] (26-34.52-58.97-110)) (1-121) -*Homo sapiens* IGHG1\*03v, G1m3>G1m17, nG1m1 CH1 K120, CH3 E12, M14, G1v21 CH2 Y15.1, T16, E18 (CH1 R120>K (218) (122-219), bisagra 1-15 (220-234), CH2 M15.1>Y (256), S16>T (258), T18>E (260) (235-344), CH3 E12 (360), M14 (362) (345-449), CHS (450-451)) (122-451)], (224-218')-disulfuro con la cadena ligera L-kappa humanizada (1'-218') [V-KAPPA (*Homo sapiens* IGKV1-39\*01 (87.9%) -IGKJ2\*01 (100%), CDR-IMGT [10.3.9] (27'-36'.54'-56'.93'-101'')) (1'-111') -*Homo sapiens* IGKC\*01 (100%), Km3 A45.1 (157'), V101 (195') (112'-218'')]; dímero (230-230":233-233")-bisdisulfuro, producido en las células ováricas de hámster chino (CHO), línea celular CHO-S, forma glicosilada alfa *antialérgico*

2823332-50-7

Heavy chain / Chaîne lourde / Cadena pesada : H-gamma1 (H, H<sup>1</sup>) anti-IGHE

EVQLVESGGG	LVQPGGSLRL	SCAVSGYSIT	SGYSWNVVRQ	APGKGLEWVS	50
VITYAGSTNY	ADSVKGRFTI	SRDDSKNTFY	LQMNSLRAED	TAVYICARGT	100
HYFGHWHFAV	WGQGLTVTSV	SASTKGPSVF	PLAPSSKSTS	GGTAALGCLV	150
KDYFPEPVTV	SWNSGALTSV	VHTFPAVLQS	SGLYSLSSVV	TVPSSSLGTQ	200
TYICNVNHRP	SNTKVDKKEV	PKSCDKTHTC	PPCPAPELLG	GPSVFLFPFK	250
PKDTLTYITRE	PEVTCVVVDV	SHEDPEVKFN	WYWDGVEVHN	AKTKPREEQY	300
NSTYRVVSVL	TVLHQDWLNG	KEYKCKVSNK	ALPAPIEKTI	SKAKGQPREP	350
QVYTLPPSRE	EMTKNQVSLT	CLVKGFPYSD	IAVEWESNGQ	PENNYKTTTP	400
VLDSGDSFPL	YSKLTVDKSR	WQQGNVFCSS	VMHEALHNHY	TQKSLSLSPG	450
K					451

Light chain / Chaîne légère / Cadena ligera : L-kappa (L, L<sup>1</sup>) anti-IGHE

DIQLTQSPSS	LSASVGRVIT	ITCRASQSVG	DEADSYMNWY	QQKPGKAPKL	50
LIYAASYLQS	GVPSRFSGSG	SGTDFLTITIS	SLQPEDFATY	YQQSHEDDPY	100
TFGGGTKLEI	KRTVAAPSVF	IFPPSDEQLK	SGTASVVCCL	NNFYPREAKV	150
QWKVDNALQS	GNSQESVTEQ	DSKDYSTYLS	STLTLSKADY	EKHKYVACEV	200
THQGLSSPVT	KSFNRGEC				218

Post-translational modifications

Disulfide bridges location / Position des ponts disulfure / Posiciones de los puentes disulfuro

Intra-H (C23-C104) 22-96 148-204 265-325 371-429  
 22"-96" 148"-204" 265"-325" 371"-429"

Intra-L (C23-C104) 23'-92' 138'-198'  
 23'''-92''' 138'''-198'''

Inter-H-L (h 5-CL 126) 224-218' 224"-218'''

Inter-H-H (h 11, h 14) 230-230" 233-233"

N-glycosylation sites / Sites de N-glycosylation / Posiciones de N-glicosilación

H CH2 N84.4: 301, 301"

Fucosylated complex bi-antennary CHO-type glycans / glycanes de type CHO bi-antennaires complexes fucosylés / glicanos de tipo CHO biantennarios complejos fucosilados.

C-terminal lysine clipping / Coupure de la lysine C-terminale / Recorte de lisina C-terminal  
 H CHS K2: 451, 451"

**pacibekitugum #**

pacibekitug

immunoglobulin G2-kappa, anti-[*Homo sapiens* IL6 (interleukin 6, IL-6)], *Homo sapiens* monoclonal antibody; H-gamma2 heavy chain *Homo sapiens* (1-442) [VH (*Homo sapiens* IGHV4-34\*12 (95.9%) -(IGHD) -IGHJ3\*02 (93.8%), CDR-IMGT [8.7.10] (26-33.51-57.96-105)) (1-116) -*Homo sapiens* IGHG2\*01 (100%), G2m.. CH2 V45.1 (CH1 (117-214), hinge 1-12 (215-226), CH2 V45.1 (277) (227-335), CH3 (336-440), CHS (441-442)) (117-442)], (130-214')-disulfide with L-kappa light chain *Homo sapiens* (1'-214') [V-KAPPA (*Homo sapiens* IGKV1D-16\*01 (98.9%) -IGKJ1\*01 (100%), CDR-IMGT [6.3.9] (27'-32'.50'-52'.89'-97')) (1'-107') -*Homo sapiens* IGKC\*01 (100%), Km3 A45.1 (153'), V101 (191') (108'-214')]; dimer (218-218":219-219":222-222":225-225")-tetrakisdisulfide, produced in Chinese hamster ovary (CHO)-K1SV cell line, lacking the glutamine synthetase gene (GS-KO), glycoform alfa  
*interleukin 6 (IL-6) inhibitor, anti-inflammatory*

pacibékítug

immunoglobuline G2-kappa, anti-[*Homo sapiens* IL6 (interleukine 6, IL-6)], anticorps monoclonal *Homo sapiens*; chaîne lourde H-gamma2 *Homo sapiens* (1-442) [VH (*Homo sapiens*IGHV4-34\*12 (95.9%) -(IGHD) -IGHJ3\*02 (93.8%), CDR-IMGT [8.7.10] (26-33.51-57.96-105)) (1-116) -*Homo sapiens* IGHG2\*01 (100%), G2m.. CH2 V45.1 (CH1 (117-214), charnière 1-12 (215-226), CH2 V45.1 (277) (227-335), CH3 (336-440), CHS (441-442)) (117-442)], (130-214')-disulfure avec la chaîne légère L-kappa *Homo sapiens* (1'-214') [V-KAPPA (*Homo sapiens* IGKV1D-16\*01 (98.9%) -IGKJ1\*01 (100%), CDR-IMGT [6.3.9] (27'-32'.50'-52'.89'-97')) (1'-107') -*Homo sapiens* IGKC\*01 (100%), Km3 A45.1 (153'), V101 (191') (108'-214')]; dimère (218-218":219-219":222-222":225-225")- tétrakisdisulfure, produit dans des cellules ovariennes de hamster chinois (CHO) lignée cellulaire CHO-K1SV, ne présentant pas le gène de la glutamine synthétase (GS-KO), glycoforme alfa  
*inhibiteur de l'interleukine 6 (IL-6), anti-inflammatoire*

pacibekitug

immunoglobulina G2-kappa, anti-[*Homo sapiens* IL6 (interleukina 6, IL-6)], anticuerpo monoclonal *Homo sapiens*; cadena pesada H-gamma2 *Homo sapiens* (1-442) [VH (*Homo sapiens* IGHV4-34\*12 (95.9%) -(IGHD) -IGHJ3\*02 (93.8%), CDR-IMGT [8.7.10] (26-33.51-57.96-105)) (1-116) -*Homo sapiens* IGHG2\*01 (100%), G2m.. CH2 V45.1 (CH1 (117-214), bisagra 1-12 (215-226), CH2 V45.1 (277) (227-335), CH3 (336-440), CHS (441-442)) (117-442)], (130-214')-disulfuro con la cadena ligera L-kappa *Homo sapiens* (1'-214') [V-KAPPA (*Homo sapiens* IGKV1D-16\*01 (98.9%) -IGKJ1\*01 (100%), CDR-IMGT [6.3.9] (27'-32'.50'-52'.89'-97')) (1'-107') -*Homo sapiens* IGKC\*01 (100%), Km3 A45.1 (153'), V101 (191') (108'-214')]; dímero (218-218":219-219":222-222":225-225")- tetrakisdisulfuro, producido en las células ováricas de hámster chino (CHO) línea celular CHO-K1SV, en ausencia del gen glutamina sintetasa (GS-KO), forma glicosilada alfa  
*inhibidor de la interleukina 6 (IL-6), antiinflamatorio*

2948444-06-0

**Heavy chain / Chaîne lourde / Cadena pesada**

VQQLQQWAG LLKPSSETLSL TCAIYGGSF EYYSWIRQP PGKLEWIGE 50  
 IFHSGSTNYN PSLKSRVTIS VDTSKNQFSL KLSSVTAADT AVYYCAREEL 100  
 DDFDIWQGT MVTVSSASTK GPSVFLAPC SRSTSESTAA LGCLVKDYFP 150  
 EPVTVSWNSG ALTSGVHTFP AVLQSSGLYS LSSVTVFPSS NFGTQTYTCN 200  
 VDHKPSNTKV DKTVERKCCV ECPFCPPVPV AGPSVFLFPP KPKDTLMISR 250  
 TPEVTCVVVD VSHEDPEVQF NWYVDGVEVH NAKTKPREEQ FNSTFRVSV 300  
 LTVVHQDWLN GKEYKCKVSN KGLPAPIEKT ISKTKGQPRE PQVYTLPPSR 350  
 EEMTKNQVSL TCLVKGFYPS DIAVEWESNG QPENNYKTFP FMLDSGGSFF 400  
 LYSKLTVDKS RWQQGNVFSC SVMHEALHNN YTKQSLSLSP GK 442

**Light chain / Chaîne légère / Cadena ligera**

DIQMTQSPSS LSASVGDRTV ITCRASQGIS SWLAWYQQKP EKAPKSLIYA 50  
 ASSLSQGVPS RFGSGSGSTD FTLTISSLQP EDFATYYCQQ YKSYPRTFGQ 100  
 GTKVEIKRTV AAPSVFIFPP SDEQLKSGTA SVVCLLNNFY PREAKVQWKV 150  
 DNALQSGNSQ ESVTEQDSKD STYLSLSTLT LSKADYEKHK VYACEVTHQG 200  
 LSSPVTKSFN RGEK 214

**Post-translational modifications**

Disulfide bridges location / Position des ponts disulfure / Posiciones de los puentes disulfuro

Intra-H (C23-C104) 22-95 143-199 256-316 362-420  
 22"-95" 143"-199" 256"-316" 362"-420"

Intra-L (C23-C104) 23"-88" 134"-194"  
 23"-88"" 134"-194""

Inter-H-L (CH1 10-CL 126) 130-214" 130"-214"

Inter-H-H (h 4, h 5, h 8, h11) 218-218" 219-219" 222-222" 225-225"

N-terminal glutaminyl cyclization / Cyclisation du glutaminyle N-terminal / Ciclación del glutaminilo N-terminal

Q > pyroglutamyl (pE, 5-oxoprolyl) / pyroglutamide (pE, 5-oxoprolyle) / piroglutamilo (pE, 5-oxoprolilo)

H VH Q1: 1, 1"

N-glycosylation sites / Sites de N-glycosylation / Posiciones de N-glicosilación

H CH2 N84.4: 292, 292"

Fucosylated complex bi-antennary CHO-type glycans / glycanes de type CHO bi-antennaires complexes fucosylés / glicanos de tipo CHO biantennarios complejos fucosilados

C-terminal lysine clipping / Coupure de la lysine C-terminale / Recorte de lisina C-terminal

H CHS K2: 442, 442"

**padoprazanum**

padoprazan

1-[5-(2-fluorophenyl)-4-methoxy-1-(6-methoxypyridine-3-sulfonyl)-1H-pyrrol-3-yl]-N-methylmethanamine  
*proton pump inhibitor*

padoprazan

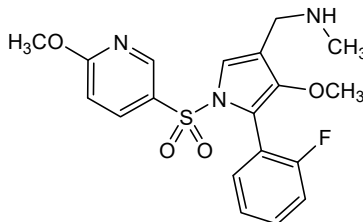
1-[5-(2-fluorophényl)-4-méthoxy-1-(6-méthoxypyridine-3-sulfonyl)-1H-pyrrol-3-yl]-N-méthylméthanamine  
*inhibiteur de la pompe à protons*

padoprazán

1-[5-(2-fluorofenil)-4-metoxi-1-(6-metoxipiridina-3-sulfonyl)-1H-pirrol-3-il]-N-metilmetanamina  
*inhibidor de la bomba de protones*

C<sub>19</sub>H<sub>20</sub>FN<sub>3</sub>O<sub>4</sub>S

2756367-23-2



**paluratidum**  
paluratide

1,11-anhydro[*N*-methyl-*L*-alanyl-(2*S*)-azetidina-2-carbonil-*N*-etil-4-metil-*L*-fenilalanyl-*N*-metilglicil-3-[[3,5-difluoro-4-(trifluorometil)fenil]metil]-*L*-alanyl-*L*-proyl-2-aminociclopentano-1-carbonil-(2*S*)-*N*-metil-3-ciclopentilglicil-1-(dimetilamino)-*N*-metil-*L*-aspart-4-yl-*N*-metil-*L*-leucil-*L*-isoleucine]

*G*-protein *Ras* (*rat sarcoma virus*) inhibitor, antineoplastic

## paluratide

1,11-anhydro[*N*-méthyl-*L*-alanyl-(2*S*)-azétidine-2-carbonil-*N*-éthyl-4-méthyl-*L*-phénylalanyl-*N*-méthylglicyl-3-[[3,5-difluoro-4-(trifluorométhyl)phényl]méthyl]-*L*-alanyl-*L*-proyl-2-aminocyclopentane-1-carbonil-(2*S*)-*N*-méthyl-3-cyclopentylglicyl-1-(diméthylamino)-*N*-méthyl-*L*-aspart-4-yl-*N*-méthyl-*L*-leucyl-*L*-isoleucine]

inhibiteur de la protéine *G Ras* (*virus du sarcome de rat*), antinéoplasique

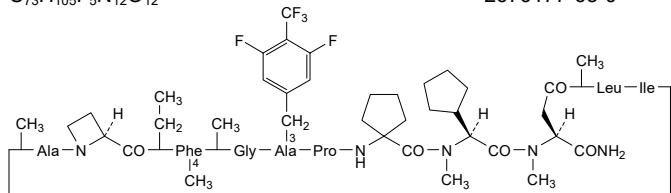
## paluratida

1,11-anhidro[*N*-metil-*L*-alanil-(2*S*)-azetidina-2-carbonil-*N*-etil-4-metil-*L*-fenilalanil-*N*-metilglicil-3-[[3,5-difluoro-4-(trifluorometil)fenil]metil]-*L*-alanil-*L*-proyl-2-aminociclopentano-1-carbonil-(2*S*)-*N*-metil-3-ciclopentilglicil-1-(dimetilamino)-*N*-metil-*L*-aspart-4-yl-*N*-metil-*L*-leucil-*L*-isoleucina]

inhibidor de la proteína *G Ras* (*virus del sarcoma de rata*), antineoplásico

C<sub>73</sub>H<sub>105</sub>F<sub>5</sub>N<sub>12</sub>O<sub>12</sub>

2676177-63-0

**palverafuspum alfa #**  
palverafusp alfa

human vascular endothelial growth factor receptor 1 (VEGFR-1) fragment, anti-(human vascular endothelial growth factor (VEGF), fused via a (G<sub>4</sub>S)<sub>3</sub> peptide linker to the N-terminus of both heavy chains of a humanized immunoglobulin G1-kappa anti-(human programmed cell death 1 ligand 1 [PD-L1, programmed death ligand 1, PDCD1 ligand 1, B7 homolog 1, B7-H1, CD274]), glycoform alfa;

human vascular endothelial growth factor receptor 1 (VEGFR-1) fragment 129-228 comprising the second extracellular domain of the VEGF receptor (VEGFR-D2), [N<sup>196</sup>>A<sup>68</sup>]-variant, anti-(human vascular endothelial growth factor (VEGF) (1-100 in the current sequence) fused, via a (G<sub>4</sub>S)<sub>3</sub> peptide linker (101-115), to gamma 1 heavy chain (116-563) [VH (*Homo sapiens* IGHV3-23\*04 -(IGHD) -IGHJ4\*01, CDR-Kabat [5.17.9] (146-150.165-181.214-222)) (116-233) -*Homo sapiens* IGHG1\*03 (CH1 (234-331), hinge (332-346), CH2 S<sup>414</sup>>A, E<sup>449</sup>>A, K<sup>450</sup>>A (347-456), CH3 (457-561), CHS (562-563)) (234-563)], (336-214')-disulfide with kappa light chain (1'-214') [V-KAPPA (*Homo sapiens* IGKV1-12\*01 -IGKJ1\*01, CDR-Kabat [11.7.9] (24'-34'.50'-56'.89'-97')) (1'-107') -*Homo sapiens* IGKC\*01 (108'-214')]; dimer (342-342'', 345-345'')-bisdisulfide, produced in Chinese hamster ovary (CHO) cells, cell line CHO-K1, glycoform alfa

antineoplastic

palvérafusp alfa

fragment du récepteur 1 du facteur de croissance de l'endothélium vasculaire humain (VEGFR-1), anti-(facteur de croissance de l'endothélium vasculaire humain (VEGF), fusionné via un peptide liant (G<sub>4</sub>S)<sub>3</sub> à l'extrémité N-terminale des deux chaînes lourdes d'une immunoglobuline G1-kappa humanisée anti-(ligand 1 humain de mort cellulaire programmée [PD-L1, ligand 1 de mort programmée, ligand 1 de PDCD1, homologue 1 B7, B7-H1, CD274]), glycoforme alfa;

fragment 129-228 du récepteur 1 du facteur de croissance de l'endothélium vasculaire humain (VEGFR-1) comprenant le deuxième domaine extracellulaire du récepteur du VEGF (VEGFR-D2), [N<sup>196</sup>>A<sup>68</sup>]-variant, anti-(facteur de croissance de l'endothélium vasculaire humain (VEGF) (1-100 dans la séquence actuelle) fusionné, via un peptide liant (G<sub>4</sub>S)<sub>3</sub> (101-115), à la chaîne lourde gamma 1 (116-563) [VH (*Homo sapiens* IGHV3-23\*04 -(IGHD) -IGHJ4\*01, CDR-Kabat [5. 17.9] (146-150.165-181. 214-222)) (116-233) -*Homo sapiens* IGHG1\*03 (CH1 (234-331), charnière (332-346), CH2 S<sup>414</sup>>A, E<sup>449</sup>>A, K<sup>450</sup>>A (347-456), CH3 (457-561), CHS (562-563)) (234-563)], (336-214')-disulfure avec la chaîne légère kappa (1'-214') [V-KAPPA (*Homo sapiens* IGKV1-12\*01 -IGKJ1\*01, CDR-Kabat [11. 7.9] (24'-34'.50'-56'.89'-97')) (1'-107') -*Homo sapiens* IGKC\*01 (108'-214')]; dimère (342-342", 345-345")-bisdisulfure, produit dans des cellules ovariennes de hamster chinois (CHO), lignée cellulaire CHO-K1, glycoforme alfa

*antineoplasique*

palverafusp alfa

fragmento del receptor 1 del factor de crecimiento endotelial vascular humano (VEGFR-1), anti-(factor de crecimiento endotelial vascular humano (VEGF), fusionado a través de un enlace peptídico (G<sub>4</sub>S)<sub>3</sub> al terminal N de ambas cadenas pesadas de una inmunoglobulina G1-kappa humanizada anti-(ligando humano de la muerte celular programada 1 [PD-L1, ligando de la muerte programada 1, PDCD1 ligando 1, homólogo B7, B7-H1, CD274]), glicofoma alfa;

Fragmento del receptor 1 del factor de crecimiento endotelial vascular humano (VEGFR-1) 129-228 que comprende el segundo dominio extracelular del receptor VEGF (VEGFR-D2), [N<sup>196</sup>>A<sup>68</sup>]-variante, anti-(factor de crecimiento endotelial vascular humano (VEGF) (1-100 en la secuencia actual) fusionado, a través de un enlace peptídico (G<sub>4</sub>S)<sub>3</sub> (101-115), a la cadena pesada gamma 1 (116-563) [VH (*Homo sapiens* IGHV3-23\*04 -(IGHD) -IGHJ4\*01, CDR-Kabat [5. 17.9] (146-150.165-181.214-222)) (116-233) -*Homo sapiens* IGHG1\*03 (CH1 (234-331), bisagra (332-346), CH2 S<sup>414</sup>>A, E<sup>449</sup>>A, K<sup>450</sup>>A (347-456), CH3 (457-561), CHS (562-563)) (234-563)], (336-214')-disulfuro con cadena ligera kappa (1'-214') [V-KAPPA (*Homo sapiens* IGKV1-12\*01 -IGKJ1\*01, CDR-Kabat [11.7.9] (24'-34'.50'-56'.89'-97')) (1'-107') -*Homo sapiens* IGKC\*01 (108'-214')]; dimer (342-342", 345-345")-bisdisulfuro, producido en las células ováricas de hámster chino (CHO), línea celular CHO-K1, glicofoma alfa

*antineoplásico*

2850355-87-0

## Sequence / Séquence / Secuencia

VEGFR1 IgG1 heavy chain

<b>SDTGRPFVEM YSEIPEIIMH TEGRELVIPC RVTSPNITVT LKKFPLDTLI</b>	50
<b>PDGKRRIWDS RKGFIISAAT YKEIGLLTCE ATVNGHLYKT NYLTHRQTNT</b>	100
<u>GGGGSGGGGS GGGGSEVQLV</u> ESGGGLVQPG GSLRLSCAAS GFTFSDSWIH	150
WVRQAPGKGL EWWAWISPYG GSTYYADSVK GRFTISADTS KNTAYLQMSN	200
LRAEDTAVY CARRHWPGGF DYWGQTLVT VSSASTKGPS VFPLAPSSKS	250
TSGGTAALGC LVKDYFPEFV TVSWNSGALT SGVHTFPAVL QSSGLYSLSS	300
VVTVPSSSLG TQTYICNVNH KPSNTKVDKR VEPKSCDKTH TCPPCPAPEL	350
LGGPSVLEFP PKPKDTLMIS RTPEVTCVVV DVSHEDPEVK FNWYVDGVEV	400
HNAKTKFREE QYNATYRVVS VLTVLHQDWL NGKEYKCKVS NKALPAPIAA	450
TISKARQQR EPQVYTLPPS REEMTKNQS LTCLVKGFYP SDIAVENESN	500
GQPENNYKTT PPVLDSDGSF FLYSKLTVDK SRWQQNVFS CSMVHEALHN	550
HYTKSLSLS PGK	563

## IgG1 light chain

DIQMTQSPSS LSASVGRVIT ITCRASQDVS TAVAWYQKPK GKAPKLLIYS	50
ASFLYSGVPS RFGSGSGGTD FTLTISSLQF EDFATYYCQQ YLYHPATFGQ	100
GTKVEIKRTV AAPSVEIFPP SDEQLKSGTA SVVCLLNFF PREAKVQWKV	150
DNALQSGNSQ ESVTEQDSDK STYLSLSTLT LSKADYEKHK VYACEVTHQG	200
LSSPVTKSFN RGEK	214

## Mutation / Mutation / Mutación

VEGFR1 IgG1 heavy chain: N<sup>196</sup>>A<sup>68</sup>, A<sup>68</sup>, S<sup>414</sup>, S<sup>414</sup>>A, E<sup>449</sup>, E<sup>449</sup>>A, K<sup>450</sup>, K<sup>450</sup>>A

## Peptide linker / Peptide liant / Péptido de unión

VEGFR1 IgG1 heavy chain: <sup>101</sup>GGGGGGGGSGGGGS<sup>15</sup>

## Post-translation modifications

Disulfide bridges location / Position des ponts disulfure / Posiciones de los puentes disulfuro

Intra VEGFR1 IgG1 heavy chain: 30"-79", 137"-211", 260"-316", 377"-437", 483"-541",  
30"-79", 137"-211", 260"-316", 377"-437", 483"-541"

Intra IgG1 light chain: 23"-88", 134"-194"

Inter IgG1 light chain-VEGFR1 IgG1 heavy chain: 214"-336", 214"-336"

Inter VEGFR1 IgG1 heavy chain: 342-342", 345-345"

## N-glycosylation sites / Sites de N-glycosylation / Posiciones de N-glicosilación

VEGFR1 IgG1 heavy chain: 36, 413, 36", 413"

C-terminal lysine clipping / Coupure de la lysine C-terminale / Recorte de lisina C-terminal  
H CHS: 563, 563"**pegrizeprumentum #**  
pegrizeprument

immunoglobulin Fab VH-G1CH1h\_L-kappa, anti-[*Homo sapiens* CD28 (T cell specific surface glycoprotein CD28, TP44)], conjugated to a bi-branched polyethylene glycol (PEG) chain; VH-CH1 chain (1-232) [VH Musmus/Homsap (*Mus musculus* IGHV1-62-2\*01 (84.0%) -(IGHD) -IGHJ3\*01 (100%)/*Homo sapiens* IGHV1-2\*02 (63.3%) -(IGHD) -IGHJ4\*01 (91.7%) S128>A (121), CDR-IMGT [8.8.14] (26-34.51-58.97-110)) (1-121) -*Homo sapiens* IGHG1\*01 CH1-h, G1m17 CH1 K120 (CH1 K120 (218) (122-219), hinge 1-11 (220-230) -2-mer bisalanil (231-232)) (122-232)], (224-214')-disulfide with L-kappa light chain (1'-214') [V-KAPPA Musmus/Homsap (*Mus musculus* IGKV12-46\*01 (83.2%) -IGKJ1\*01 (100%)/*Homo sapiens* IGKV1-NL1\*01 (74.4%) -IGKJ2\*02 (91.7%) Q120>G (100'), CDR-IMGT [6.3.9] (27'-32'.51'-53'.89'-97'') (1'-107') -*Homo sapiens* IGKC\*01 (100%), Km3 A45.1 (153'), V101 (191') (108'-214')], produced in Chinese hamster ovary (CHO) cells, expressing the enzyme glutamine synthetase (GS), non-glycosylated; substituted at the sulfur atoms of L-cysteiny residue 230 with group (3Ξ)-1-{3-[(3-((2Ξ)-2,3-bis[ω-methoxypoly(oxyethylene)-α-yl]propoxy)propyl)amino]-3-oxopropyl}-2,5-dioxopyrrolidin-3-yl  
*immunosuppressant*



pégrizéprument

immunoglobuline Fab VH-G1CH1h\_L-kappa, anti-[*Homo sapiens* CD28 (glycoprotéine de surface CD28 spécifique des lymphocytes T, TP44)], conjuguée à une chaîne polyéthylène glycol (PEG) composée de deux branches;

chaîne VH-CH1 (1-232) [VH *Mus musculus*/Homsap (*Mus musculus* IGHV1-62-2\*01 (84.0%) -(IGHD) -IGHJ3\*01 (100%)/*Homo sapiens* IGHV1-2\*02 (63.3%) -(IGHD) -IGHJ4\*01 (91.7%) S128>A (121), CDR-IMGT [8.8.14] (26-34.51-58.97-110)) (1-121) -*Homo sapiens* IGHG1\*01 CH1-h, G1m17 CH1 K120 (CH1 K120 (218) (122-219), charnière 1-11 (220-230) -2-mer bisalanil (231-232)) (122-232)], (224-214')-disulfure avec la chaîne légère L-kappa (1'-214') [V-KAPPA *Mus musculus*/Homsap (*Mus musculus* IGKV12-46\*01 (83.2%) -IGKJ1\*01 (100%)/*Homo sapiens* IGKV1-NL1\*01 (74.4%) -IGKJ2\*02 (91.7%) Q120>G (100'), CDR-IMGT [6.3.9] (27'-32'.51'-53'.89'-97'') (1'-107'') -*Homo sapiens* IGKC\*01 (100%), Km3 A45.1 (153'), V101 (191') (108'-214'')], produit dans des cellules ovariennes de hamster chinois (CHO), exprimant l'enzyme glutamine synthétase (GS), non-glycosylé; substitué sur l'atome de soufre du résidu L-cystéinyle 230 avec un groupe (3 $\Xi$ )-1-{3-[(3-((2 $\Xi$ ))-2,3-bis[ $\omega$ -méthoxypoly(oxyéthylène)- $\alpha$ -yl]propoxy)propyl]amino]-3-oxopropyl}-2,5-dioxopyrrolidin-3-yle

*immunosuppresseur*

pegrizeprument

immunoglobulina Fab VH-G1CH1h\_L-kappa, anti-[*Homo sapiens* CD28 (glicoproteína de superficie CD28 específica de los linfocitos T, TP44)], conjugado con una cadena de polietilenglicol (PEG) compuesto por dos cadenas;

cadena VH-CH1 (1-232) [VH *Mus musculus*/Homsap (*Mus musculus* IGHV1-62-2\*01 (84.0%) -(IGHD) -IGHJ3\*01 (100%)/*Homo sapiens* IGHV1-2\*02 (63.3%) -(IGHD) -IGHJ4\*01 (91.7%) S128>A (121), CDR-IMGT [8.8.14] (26-34.51-58.97-110)) (1-121) -*Homo sapiens* IGHG1\*01 CH1-h, G1m17 CH1 K120 (CH1 K120 (218) (122-219), bisagra 1-11 (220-230) -2-mer bisalanil (231-232)) (122-232)], (224-214')-disulfuro con la cadena ligera L-kappa (1'-214') [V-KAPPA *Mus musculus*/Homsap (*Mus musculus* IGKV12-46\*01 (83.2%) -IGKJ1\*01 (100%)/*Homo sapiens* IGKV1-NL1\*01 (74.4%) -IGKJ2\*02 (91.7%) Q120>G (100'), CDR-IMGT [6.3.9] (27'-32'.51'-53'.89'-97'') (1'-107'') -*Homo sapiens* IGKC\*01 (100%), Km3 A45.1 (153'), V101 (191') (108'-214'')], producido en las células ováricas de hámster chino (CHO), expresando la enzima glutamina sintetasa (GS), no glicosilado; substituído por el átomo de azufre del residuo L-cisteína 230 con un grupo (3 $\Xi$ )-1-{3-[(3-((2 $\Xi$ ))-2,3-bis[ $\omega$ -methxipoli(oxiétileno)- $\alpha$ -il]propoxi]propil]amino]-3-oxopropil}-2,5-dioxopirrolidin-3-ilo

*immunosupresor*

2829316-24-5

## Heavy chain / Chaîne lourde / Cadena pesada : VH-G1CH1h (H)

QVQLQQSGAE LKKPGASVKV SCKASGYTFT EYIIHWIKLR SGQGLEWIGW 50  
 FYPGSNDIQY NAQFKGKATL TADKSSSTVY MELTGLTPED SAVYFCARRD 100  
 DFSGYDALPY WGQGTLVTVS AASTKGPSVF PLAPSSKSTS GGTAALGCLV 150  
 KDYFPEPVTV SWNSGALTSG VHTFPVQLQS SGLYSLSSVV TVPSSSLGTQ 200  
 TYICNVNHPK SNTKVDKKEE PKSCDKTHTC AA 232

## Light chain / Chaîne légère / Cadena ligera : L-kappa (L)

DIQMTQSPSS LSASVGDRTV ITCKTNIENY SNLAWYQQKD GKSFQLLIYA 50  
 ATHLVEGVPS RFSGSGSGTQ YSLTISSLQP EDFGNYYCQH FWGTPCTFGG 100  
 GTKLEIKRTV AAPSVFIIPP SDEQLKSGTA SVVCLLNNFY BREAKVQWKV 150  
 DNALQSGNSQ ESVTEQDSKD STYLSLSTLT LSKADYEKHK VYACEVTHQG 200  
 LSSPVTKSFN RGEK 214

**Post-translational modifications**

Disulfide bridges location / Position des ponts disulfure / Posiciones de los puentes disulfu

Intra-H (C23-C104) 22-96 148-204

Intra-L (C23-C104) 23'-88' 134'-194'

Inter-H-L (h 5-CL 126) 224-214'

N-terminal glutaminy cyclization / Cyclisation du glutaminyle N-terminal / Ciclación del

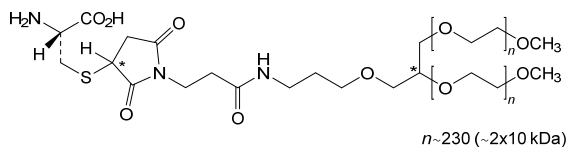
glutaminilo N-terminal

Q &gt; pyroglutamyl (pE, 5-oxoprolyl) / pyroglutamide (pE, 5-oxoprolyle) / piroglutamilo (pE, 5-oxoprolilo)

H VH Q1:1

Pegylation site / Site de pegylation / Posiciones de pegilación

H hinge h11: C230



**pilavapadinum**  
 pilavapadin

(2S)-1-[[2',6-bis(difluoromethyl)[2,4'-bipyridin]-5-yl]oxy]-2,4-dimethylpentan-2-amine

*adaptor protein 2-associated kinase 1 (AAK1) inhibitor*

pilavapadine

(2S)-1-[[2',6-bis(difluorométhyl)[2,4'-bipyridin]-5-yl]oxy]-2,4-diméthylpentan-2-amine

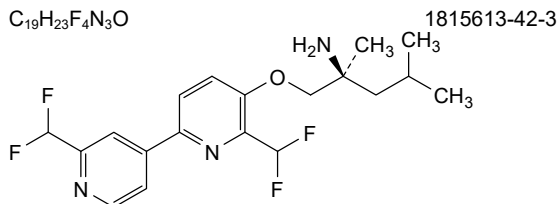
*inhibiteur de la kinase 1 associée à la protéine adaptatrice 2 (AAK1)*

pilavapadina

(2S)-1-[[2',6-bis(difluorometil)[2,4'-bipiridin]-5-il]oxi]-2,4-dimetilpentan-2-amina

*inhibidor de la kinasa 1 asociada a la proteína adaptadora 2 (AAK1)*

C<sub>19</sub>H<sub>23</sub>F<sub>4</sub>N<sub>3</sub>O



**plosaracetamum**

plosaracetam

(4*R*)-1-[(5-chloro-1*H*-1,2,4-triazol-1-yl)methyl]-4-(3,4,5-trifluorophenyl)pyrrolidin-2-one  
synaptic vesicle glycoprotein 2A (SV2A) positive modulator

plosaracétam

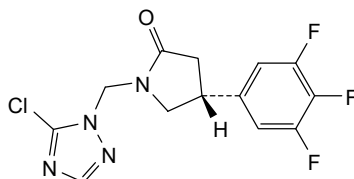
(4*R*)-1-[(5-chloro-1*H*-1,2,4-triazol-1-yl)méthyl]-4-(3,4,5-trifluorophényl)pyrrolidin-2-one  
modulateur positif de la glycoprotéine 2A (SV2A) des vésicules synaptiques

plosaracetam

(4*R*)-1-[(5-cloro-1*H*-1,2,4-triazol-1-il)metil]-4-(3,4,5-trifluorofenil)pirrolidin-2-ona  
modulador positivo de la glicoproteína 2A (SV2A) de la vesícula sináptica

C<sub>13</sub>H<sub>10</sub>ClF<sub>3</sub>N<sub>4</sub>O

1651179-19-9

**plozasiranum**

plozasiran

*all-P-ambo*-3'-O-[[{(1*s*,4*s*)-4-[(3*S*,8*S*)-17-[(2-acetamido-2-deoxy-β-D-galactopyranosyl)oxy]-3,8-bis[[2-{2-[[2-acetamido-2-deoxy-β-D-galactopyranosyl)oxy]ethoxy]ethyl]carbamoyl]-6,11-dioxo-15-oxa-2,7,12-triazaheptadecan-1-oyl]cyclohexyl)oxy](sulfanyl)phosphoryl]-1'-de(6-amino-9*H*-purin-9-yl)-2'-deoxy-*P*-thioadenylyl-(5'→5')-2'-O-methyladenylyl-(3'→5')-2'-O-methylcytidylyl-(3'→5')-2'-O-methylguanylyl-(3'→5')-2'-O-methylguanylyl-(3'→5')-2'-O-methylguanylyl-(3'→5')-2'-O-methyladenylyl-(3'→5')-2'-O-methylcytidylyl-(3'→5')-2'-O-methyladenylyl-(3'→5')-2'-deoxy-2'-fluoroguanlyl-(3'→5')-2'-deoxy-2'-fluorouridylyl-(3'→5')-2'-deoxy-2'-fluoroadenylyl-(3'→5')-2'-O-methyluridylyl-(3'→5')-2'-O-methyluridylyl-(3'→5')-2'-O-methylcytidylyl-(3'→5')-2'-O-methyluridylyl-(3'→5')-2'-O-methylcytidylyl-(3'→5')-2'-O-methyladenylyl-(3'→5')-2'-O-methylguanylyl-(3'→5')-2'-O-methyluridylyl-(3'→5')-2'-O-methylinosinylyl-(3'→5')-2'-O-methyl-*P*-thioadenylyl-(3'→3')-1'-de(6-amino-9*H*-purin-9-yl)-2'-deoxyadenosine  
duplex with *all-P-ambo*-2'-O-methyl-*P*-thiouridylyl-(5'→3')-2'-deoxy-2'-fluoroguanlyl-(5'→3')-2'-O-methylcytidylyl-(5'→3')-2'-deoxy-2'-fluorocytidylyl-(3'→5')-2'-O-methylcytidylyl-(5'→3')-2'-deoxy-2'-fluorouridylyl-2'-O-methylguanylyl-(5'→3')-2'-deoxy-2'-fluorouridylyl-(5'→3')-2'-O-methylcytidylyl-(5'→3')-2'-deoxy-2'-fluoroadenylyl-(5'→3')-2'-O-methyluridylyl-(5'→3')-2'-O-methyladenylyl-(5'→3')-2'-O-methyladenylyl-(5'→3')-2'-O-methylguanylyl-(5'→3')-2'-O-methyladenylyl-(5'→3')-2'-deoxy-2'-fluoroguanlyl-(5'→3')-2'-O-methyluridylyl-(5'→3')-2'-deoxy-2'-fluoro-*P*-thiocytidylyl-(5'→3')-2'-O-methyl-*P*-thioadenylyl-(5'→3')-2'-deoxy-2'-fluoro-*P*-thiocytidylyl-(5'→3')-2'-O-methyluridine  
*apolipoprotein C-III (APOC3) synthesis reducer*

plozasiran

*tout-P-ambo-3'-O-[[(((1s,4s)-4-[(3S,8S)-17-[(2-acétamido-2-désoxy-β-D-galactopyranosyl)oxy]-3,8-bis[(2-[2-[(2-acétamido-2-désoxy-β-D-galactopyranosyl)oxy]éthoxy]éthyl)carbamoil]-6,11-dioxo-15-oxa-2,7,12-triazaheptadécan-1-oyl]cyclohexyl)oxy)(sulfanyl)phosphoryl]-1'-dés(6-amino-9H-purin-9-yl)-2'-désoxy-P-thioadényl-(5'→5')-2'-O-méthyladényl-(3'→5')-2'-O-méthylcytidyl-(3'→5')-2'-O-méthylguanyl-(3'→5')-2'-O-méthylguanyl-(3'→5')-2'-O-méthylguanyl-(3'→5')-2'-O-méthylcytidyl-(3'→5')-2'-O-méthyladényl-(3'→5')-2'-désoxy-2'-fluoroguanyl-(3'→5')-2'-désoxy-2'-fluorouridyl-(3'→5')-2'-désoxy-2'-fluoroadényl-(3'→5')-2'-O-méthyluridyl-(3'→5')-2'-O-méthyluridyl-(3'→5')-2'-O-méthylcytidyl-(3'→5')-2'-O-méthyluridyl-(3'→5')-2'-O-méthylcytidyl-(3'→5')-2'-O-méthyladényl-(3'→5')-2'-O-méthylguanyl-(3'→5')-2'-O-méthyluridyl-(3'→5')-2'-O-méthylinosinyl-(3'→5')-2'-O-méthyl-P-thioadényl-(3'→3')-1'-dés(6-amino-9H-purin-9-yl)-2'-désoxyadénosine*  
*duplex avec tout-P-ambo-2'-O-méthyl-P-thiouridyl-(5'→3')-2'-désoxy-2'-fluoroguanyl-(5'→3')-2'-O-méthylcytidyl-(5'→3')-2'-désoxy-2'-fluorocytidyl-(3'→5')-2'-O-méthylcytidyl-(5'→3')-2'-désoxy-2'-fluorouridyl-2'-O-méthylguanyl-(5'→3')-2'-désoxy-2'-fluorouridyl-(5'→3')-2'-O-méthylcytidyl-(5'→3')-2'-désoxy-2'-fluoroadényl-(5'→3')-2'-O-méthyluridyl-(5'→3')-2'-O-méthyladényl-(5'→3')-2'-O-méthyladényl-(5'→3')-2'-O-méthylguanyl-(5'→3')-2'-O-méthyladényl-(5'→3')-2'-désoxy-2'-fluoroguanyl-(5'→3')-2'-O-méthyluridyl-(5'→3')-2'-désoxy-2'-fluoro-P-thiocytidyl-(5'→3')-2'-O-méthyl-P-thioadényl-(5'→3')-2'-désoxy-2'-fluoro-P-thiocytidyl-(5'→3')-2'-O-méthyluridine*  
*réducteur de la synthèse de l'apolipoprotéine C-III (APOC3)*

plozasirán

*todo-P-ambo-3'-O-[[(((1s,4s)-4-[(3S,8S)-17-[(2-acetamido-2-desoxy-β-D-galactopiranosil)oxi]-3,8-bis[(2-[2-[(2-acetamido-2-desoxy-β-D-galactopiranosil)oxi]etoxi]etil)carbamoil]-6,11-dioxo-15-oxa-2,7,12-triazaheptadécan-1-oyl]cyclohexil)oxi)(sulfanyl)fosforil]-1'-des(6-amino-9H-purin-9-yl)-2'-desoxi-P-tioadenilil-(5'→5')-2'-O-metiladenilil-(3'→5')-2'-O-metilcitidilil-(3'→5')-2'-O-metilguanilil-(3'→5')-2'-O-metilguanilil-(3'→5')-2'-O-metilguanilil-(3'→5')-2'-O-metiladenilil-(3'→5')-2'-O-metilcitidilil-(3'→5')-2'-O-metiladenilil-(3'→5')-2'-desoxi-2'-fluoroguanilil-(3'→5')-2'-desoxi-2'-fluoroadenilil-(3'→5')-2'-O-metiluridilil-(3'→5')-2'-O-metiluridilil-(3'→5')-2'-O-metilcitidilil-(3'→5')-2'-O-metiluridilil-(3'→5')-2'-O-metilcitidilil-(3'→5')-2'-O-metiladenilil-(3'→5')-2'-O-metilguanilil-(3'→5')-2'-O-metiluridilil-(3'→5')-2'-O-metilinosinilil-(3'→5')-2'-O-metil-P-tioadenilil-(3'→3')-1'-des(6-amino-9H-purin-9-yl)-2'-desoxiadenosina*  
*dúplex con todo-P-ambo-2'-O-metil-P-tiouridilil-(5'→3')-2'-desoxi-2'-fluoroguanilil-(5'→3')-2'-O-metilcitidilil-(5'→3')-2'-desoxi-2'-fluorocytidilil-(3'→5')-2'-O-metilcitidilil-(5'→3')-2'-desoxi-2'-fluorouridilil-2'-O-metilguanilil-(5'→3')-2'-desoxi-2'-fluorouridilil-(5'→3')-2'-O-metilcitidilil-(5'→3')-2'-desoxi-2'-fluoroadenilil-(5'→3')-2'-O-metiluridilil-(5'→3')-2'-O-metiladenilil-(5'→3')-2'-O-metiladenilil-(5'→3')-2'-O-metilguanilil-(5'→3')-2'-O-metiladenilil-(5'→3')-2'-desoxi-2'-fluoroguanilil-(5'→3')-2'-O-metiluridilil-(5'→3')-2'-desoxi-2'-fluoro-P-tiocitidilil-(5'→3')-2'-O-metil-P-tioadenilil-(5'→3')-2'-desoxi-2'-fluoro-P-tiocitidilil-(5'→3')-2'-O-metiluridina*  
*reductor de la síntesis de la apolipoproteína C-III (APOC3)*

C<sub>493</sub>H<sub>654</sub>F<sub>11</sub>N<sub>164</sub>O<sub>311</sub>P<sub>43</sub>S<sub>7</sub>

2379776-40-4

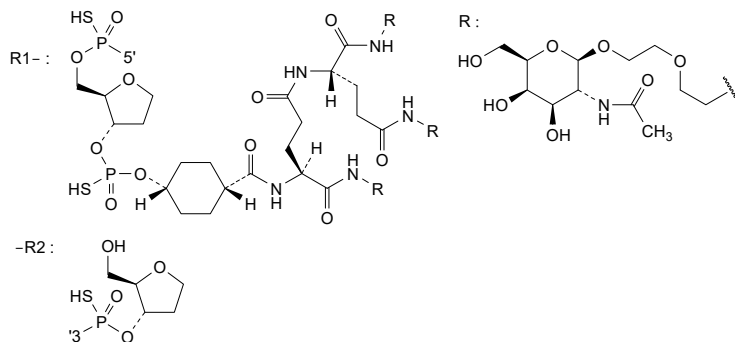
(3'-5')R1-A-C-G-G-G-A-C-A-G-U-A-U-U-C-U-C-A-G-U-I-A-R2  
 (5'-3')U=G-C-C-U-G-U-C-A-U-A-A-G-A-G-U-C=A=C=U

N : A, C, G, U, I

N : 2'-O-methyl-N / 2'-O-méthyl-N / 2'-O-metil-N

N : 2'-deoxy-2'-fluoro-N / 2'-désoxy-2'-fluoro-N / 2'-desoxy-2'-fluoro-N

- : -PO(OH)- =: -PO(SH)-



**podentamigum #**  
 podentamig

immunoglobulin single chain VH-VH'-scFvhl, anti-[*Homo sapiens* TNFRSF17 (TNF receptor superfamily member 17, BCMA, TNFRSF13A, CD269)], anti-[*Homo sapiens* ALB (albumin, human serum albumin, HSA)] and anti-[*Homo sapiens* CD3E (CD3 epsilon, Leu-4)], trispécific; IG single chain VH-VH'-scFvhl (1-507) [VH anti-TNFRSF17 Vicpac /Homsap (*Vicugna pacos* IGHV3S53\*01 (83.3%) -(IGHD) -IGHJ4\*01 (100%)/*Homo sapiens* IGHV3-23\*04 (73.5%) -(IGHD) -IGHJ4\*01 (91.7%) L123>Q (114), (CDR-IMGT [8.6.14] (27-33.51-56.95-108)) (1-119) -9-mer-tetraglycyl-seryl-triglycyl-seryl linker (120-128) -VH anti-ALB (*Homo sapiens* IGHV3-23\*04 (88.5%) -(IGHD) -IGHJ1\*01 (81.8%) W118>S (333), G119>S (334), CDR-IMGT [8.8.8] (154-161.179-186.225-232)) (129-243) -9-mer-tetraglycyl-seryl-triglycyl-seryl linker (244-252) - scFvhl anti-CD3E (253-507) [VH *Mus musculus* IGHV10-1\*02 (89.9%) -(IGHD) -IGHJ3\*01 (100%)/*Homo sapiens* IGHV3-73\*01 (85.0%) -(IGHD) -IGHJ5\*01 (100%), CDR-IMGT [8.10.16] (278-285.303-312.351-366)) (253-377) -15-mer-tris(tetraglycyl-seryl) linker (378-392) -V-LAMBDA (*Homo sapiens* IGLV7-43\*01 (86.2%) -IGLJ3\*02 (100%), CDR-IMGT [9.3.9] (418-426.444-446.483-491)) (393-501)] -hexahistidine tag (502-507)], produced in Chinese hamster ovary (CHO) cells, cell line CHO-DG44, lacking the enzyme dihydrofolate reductase (DHFR), non-glycosylated *antineoplastique*

podentamig

immunoglobuline à chaîne unique VH-VH'-scFvhl, anti-[*Homo sapiens* TNFRSF17 (membre 17 de la superfamille des récepteurs du TNF, BCMA, TNFRSF13A, CD269)], anti-[*Homo sapiens* ALB (albumine, sérum albumine humaine, SAH)] and anti-[*Homo sapiens* CD3E (CD3 epsilon, Leu-4)], trispécifique;

IG à chaîne unique VH-VH'-scFvhl (1-507) [VH anti-TNFRSF17 Vicpac /Homsap (*Vicugna pacos* IGHV3S53\*01 (83.3%) -(IGHD) -IGHJ4\*01 (100%)/*Homo sapiens* IGHV3-23\*04 (73.5%) -(IGHD) -IGHJ4\*01 (91.7%) L123>Q (114), (CDR-IMGT [8.6.14] (27-33.51-56.95-108))] (1-119) -9-mer-tétraglycyl-séryl-triglycyl-séryl linker (120-128) -VH anti-ALB (*Homo sapiens* IGHV3-23\*04 (88.5%) -(IGHD) -IGHJ1\*01 (81.8%) W118>S (333), G119>S (334), CDR-IMGT [8.8.8] (154-161.179-186.225-232)) (129-243) -9-mer-tétraglycyl-séryl-triglycyl-séryl linker (244-252) -scFvhl anti-CD3E (253-507) [VH Musmus/Homsap (*Mus musculus* IGHV10-1\*02 (89.9%) -(IGHD) -IGHJ3\*01 (100%)/*Homo sapiens* IGHV3-73\*01 (85.0%) -(IGHD) -IGHJ5\*01 (100%), CDR-IMGT [8.10.16] (278-285.303-312.351-366))] (253-377) -15-mer-tris(tétraglycyl-séryl) linker (378-392) -V-LAMBDA (*Homo sapiens* IGLV7-43\*01 (86.2%) -IGLJ3\*02 (100%), CDR-IMGT [9.3.9] (418-426.444-446.483-491)) (393-501)] -hexahistidine tag (502-507)], produit dans des cellules ovariennes de hamster chinois (CHO), lignée cellulaire CHO-DG44, ne présentant pas l'enzyme dihydrofolate réductase (DHFR), non-glycosylé *antineoplasique*

podentamig

inmunoglobulina com cadena única VH-VH'-scFvhl, anti-[*Homo sapiens* TNFRSF17 (miembro 17 de la superfamilia de los receptores del TNF, BCMA, TNFRSF13A, CD269)], anti-[*Homo sapiens* ALB (albúmina, albumina sérica humana, SAH) ] y anti-[*Homo sapiens* CD3E (CD3 épsilon, Leu-4)], trispecífico;

IG con cadena única VH-VH'-scFvhl (1-507) [VH anti-TNFRSF17 Vicpac /Homsap (*Vicugna pacos* IGHV3S53\*01 (83.3%) -(IGHD) -IGHJ4\*01 (100%)/*Homo sapiens* IGHV3-23\*04 (73.5%) -(IGHD) -IGHJ4\*01 (91.7%) L123>Q (114), (CDR-IMGT [8.6.14] (27-33.51-56.95-108))] (1-119) -9-mer-tétraglicil-seril-triglicil-seril enlace (120-128) -VH anti-ALB (*Homo sapiens* IGHV3-23\*04 (88.5%) -(IGHD) -IGHJ1\*01 (81.8%) W118>S (333), G119>S (334), CDR-IMGT [8.8.8] (154-161.179-186.225-232)) (129-243) -9-mer-tétraglicil-seril-triglicil-seril enlace (244-252) -scFvhl anti-CD3E (253-507) [VH Musmus/Homsap (*Mus musculus* IGHV10-1\*02 (89.9%) -(IGHD) -IGHJ3\*01 (100%)/*Homo sapiens* IGHV3-73\*01 (85.0%) -(IGHD) -IGHJ5\*01 (100%), CDR-IMGT [8.10.16] (278-285.303-312.351-366))] (253-377) -15-mer-tris(tétraglicil-seril) enlace (378-392) -V-LAMBDA (*Homo sapiens* IGLV7-43\*01 (86.2%) -IGLJ3\*02 (100%), CDR-IMGT [9.3.9] (418-426.444-446.483-491)) (393-501)] -hexahistidina tag (502-507)], producido en las células ováricas de hámster chino (CHO), línea celular CHO-DG44, en ausencia de la enzima dihidrofolato reductasa (DHFR), no glicosilado *antineoplásico*

2851863-52-8

Heavy chain / Chaîne lourde / Cadena pesada : VH (anti-TNFRSF17) -VH' (anti-ALB) -scFvhl (anti-CD3E)  
 EVQLVESGGG LVQPGRSLTL SCAASTNIFS TSPYGWYRQA PGKQRELVAA 50  
 IHGTSTLYAD SVKGRFTISR DNAKNSIYLQ MNSLRPEDTA LYCNKVPWG 100  
 DYHPGNVYWG QGTQVTVSSG GGGSGGGSEV QLVESGGGLV QPGNLRLRLSC 150  
 AASGFTFSKF GMSWVRQAPG KGLEWVSSIS GSGRDTLYAD SVKGRFTISR 200  
 DNAKTTLYLQ MNSLRPEDTA VYCTIGGSL SVSSQGTTLVT VSSGGGGSGG 250  
 GSEVQLVESG GGLVQPGGSL KLSCAASGFT FNKYAINWVR QAPKGLEWV 300  
 ARIRSKYNNY ATYYADQVKD RFTISRDDSK NTAYLQMNNL KTEDTAVYYC 350  
 VRHANFGNSY ISYWAYWQGQ TLTIVSSGGG GSGGGSGGG GSQTVVTQEP 400  
 SLTVSPGGTV TLTCAASSTGA VTSNGYPNWV QQKPGQAPRG LIGGTRFLVP 450  
 GTPARFSGSL LGGKAALTLS GVQPEDEAEY YCTLWYSNRW VFGGGTKLTV 500  
 LHHHHHH 507

**Post-translational modifications**

Disulfide bridges location / Position des ponts disulfure / Posiciones de los puentes disulfuro  
 Intra-chain (C23-C104) 22-94 150-224 274-350 414-482

No N-glycosylation sites / pas de sites de N-glycosylation / ningún posición de N-glycosilación

**potrasertibum**

potrasertib

6-(2,6-dichlorophenyl)-2-{3-methyl-4-[(3*R*,5*S*)-3,4,5-trimethylpiperazin-1-yl]anilino}-8,9-dihydroimidazo[1,2-*a*]pyrimido[5,4-*e*]pyrimidin-5(6*H*)-one  
*serine/ threonine kinase inhibitor, antineoplastic*

potrasertib

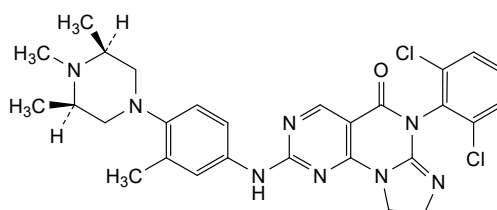
6-(2,6-dichlorophényl)-2-{3-méthyl-4-[(3*R*,5*S*)-3,4,5-triméthylpipérazin-1-yl]anilino}-8,9-dihydroimidazo[1,2-*a*]pyrimido[5,4-*e*]pyrimidin-5(6*H*)-one  
*inhibiteur de sérine/ thréonine kinase, antinéoplasique*

potrasertib

6-(2,6-diclorofenil)-2-{3-metil-4-[(3*R*,5*S*)-3,4,5-trimetilpiperazin-1-il]anilino}-8,9-dihidroimidazo[1,2-*a*]pirimido[5,4-*e*]pirimidin-5(6*H*)-ona  
*inhibidor de serina/ treonina kinasa, antineoplásico*

C<sub>28</sub>H<sub>30</sub>Cl<sub>2</sub>N<sub>8</sub>O

2226938-19-6

**precentabartum #**

precentabart

immunoglobulin G1-kappa, anti-[*Homo sapiens*CEACAM5 (carcinoembryonic antigen-related cell adhesion molecule 5, CEA, CD66e)], *Homo sapiens* monoclonal antibody; H-gamma1 heavy chain *Homo sapiens* (1-447) [VH (*Homo sapiens* IGHV4-31\*02 (90.9%) -(IGHD) -IGHJ4\*01 (100%), CDR-IMGT [10.7.11] (26-35.53-59.98-108)) (1-119) -*Homo sapiens* IGHG1\*03, G1m3, nG1m1 CH1 R120, CH3 E12, M14,G1v50 delE1.4, P1.3, V1.2, A1.1, G1v60 CH2 S115, S116 (CH1 R120 (216) (120-217), hinge 1-15(218-232), CH2 E1.4>del, L1.3>P (235), L1.2>V (236), G1.1>A (237), A115>S (331), P116>S (332) (233-341), CH3 E12 (357), M14 (359) (342-446), CHS K2>del (447)) (120-447)], (222-214')-disulfide with L-kappa light chain *Homo sapiens* (1'-214') [V-KAPPA (*Homo sapiens* IGKV3-15\*01 (94.7%) -IGKJ3\*01 (100%), CDR-IMGT [6.3.9] (27'-32'.50'-52'.89'-97')) (1'-107') -*Homo sapiens* IGKC\*01 (100%), Km3 A45.1 (153'), V101 (191') (108'-214')]; dimer (228-228":231-231")-bisdisulfide, produced in Chinese hamster ovary (CHO) cells, cell line CHO-K1SV, glycoform alfa  
*antineoplastic*

précentabart

immunoglobuline G1-kappa, anti-[*Homo sapiens* CEACAM5 (molécule d'adhésion cellulaire 5 apparentée à l'antigène carcinoembryonnaire, CEA, CD66e)], anticorps monoclonal *Homo sapiens*;

precentabart

chaîne lourde H-gamma1 *Homo sapiens* (1-447) [VH (*Homo sapiens* IGHV4-31\*02 (90.9%) -(IGHD) -IGHJ4\*01 (100%), CDR-IMGT [10.7.11] (26-35.53-59.98-108)) (1-119) -*Homo sapiens* IGHG1\*03, G1m3, nG1m1 CH1 R120, CH3 E12, M14, G1v50 CH2 delE1.4, P1.3, V1.2, A1.1, G1v60 CH2 S115, S116 (CH1 R120 (216) (120-217), charnière 1-15 (218-232), CH2 E1.4>del, L1.3>P (235), L1.2>V (236), G1.1>A (237), A115>S (331), P116>S (332) (233-341), CH3 E12 (357), M14 (359) (342-446), CHS K2>del (447)) (120-447)], (222-214')-disulfure avec la chaîne légère L-kappa *Homo sapiens* (1'-214') [V-KAPPA (*Homo sapiens* IGKV3-15\*01 (94.7%) -IGKJ3\*01 (100%), CDR-IMGT [6.3.9] (27'-32'.50'-52'.89'-97'')) (1'-107') -*Homo sapiens* IGKC\*01 (100%), Km3 A45.1 (153'), V101 (191') (108'-214')]; dimère (228-228":231-231")-bisdisulfure, produit dans des cellules ovariennes de hamster chinois (CHO), lignée cellulaire CHO-K1SV, glycoforme alfa antinéoplasique

immunoglobulina G1-kappa, anti-[*Homo sapiens* CEACAM5 (molécule de adhesion celular 5 parecida al antígeno carcinoembrionario, CEA, CD66e)], anticuerpo monoclonal *Homo sapiens*:

cadena pesada H-gamma1 *Homo sapiens* (1-447) [VH (*Homo sapiens* IGHV4-31\*02 (90.9%) -(IGHD) -IGHJ4\*01 (100%), CDR-IMGT [10.7.11] (26-35.53-59.98-108)) (1-119) -*Homo sapiens* IGHG1\*03, G1m3, nG1m1 CH1 R120, CH3 E12, M14, G1v50 CH2 delE1.4, P1.3, V1.2, A1.1, G1v60 CH2 S115, S116 (CH1 R120 (216) (120-217), bisagra 1-15 (218-232), CH2 E1.4>del, L1.3>P (235), L1.2>V (236), G1.1>A (237), A115>S (331), P116>S (332) (233-341), CH3 E12 (357), M14 (359) (342-446), CHS K2>del (447)) (120-447)], (222-214')-disulfuro con la cadena ligera L-kappa *Homo sapiens* (1'-214') [V-KAPPA (*Homo sapiens* IGKV3-15\*01 (94.7%) -IGKJ3\*01 (100%), CDR-IMGT [6.3.9] (27'-32'.50'-52'.89'-97'')) (1'-107') -*Homo sapiens* IGKC\*01 (100%), Km3 A45.1 (153'), V101 (191') (108'-214')]; dímero (228-228":231-231")-bisdisulfuro, producido en las células ováricas de hamster chino (CHO), línea celular CHO-K1SV, forma glicosilada alfa antineoplásico

2883118-92-9

## Heavy chain / Chaîne lourde / Cadena pesada

EVQLQESGGP	LVKPSQTL	SLTCTVSDGS	VS	RGGYLTWIR	QHPGKGLEWI	50
GYIYSGSTY	FNPSLRSRV	TMSVDTSKN	QF	SLKLSVATA	DTAVYYCARG	100
IAVAPFDYWG	QGLTIVTSSA	STKGPSVFP	GL	APSSKSTSGG	TAAALGLCLV	150
YFPEPVTVSW	NSGALTSQVH	TFFPAVLQSS	GL	LYSLSSVVTV	PSSSLGTQTY	200
ICNVNHKPSN	TKVDKRVPEK	SCDKTHTCPP	A	CPAPPVAGPS	VFLFPKPKPKD	250
TLMISRTPVEV	TCVVVDVSH	EPEVDFKFN	WYV	DGVEVHNAKT	KPREEQYNST	300
YRVVSVLTVL	HQDWLNGKEY	KCKVSNKALP	SL	SSIEKTTISKA	KGQPREPQVY	350
TLPPSREEMT	KNQVSLTCLV	KGFYPSTIAV	EW	ESNGQPEN	NYKTTTPEVLD	400
SDGSFFLYSK	LTVDKSRWQQ	GNVDFCQSV	MH	EALHNHYTQK	SLSLSPG	447

## Light chain / Chaîne légère / Cadena ligera

EIVLTQSPAT	LSVSPGERAT	LSCRTSQSVR	SNLAWYQQK	P	GQAPRLLIYA	50	
ASTRATGIPA	RFSGSGSGTE	F	TLTISSLQ	S	EDFAVYYCQ	YTNWPF	100
GTKVDIKRTV	AAPSVFIFPP	SDEQLKSGTA	SVVCLLN	N	FNFY	PREAKVQWKV	150
DNALQSGNSQ	ESVTEQDSK	D	STYLSSTLT	L	SKADYEKKH	VYACEVTHQG	200
LSPVTRKSFN	RGEC					214	

## Post-translational modifications

Disulfide bridges location / Position des ponts disulfure / Posiciones de los puentes disulfuro

Intra-H (C23-C104)	22"-97"	146"-202"	262"-322"	368"-426"
	22"-97"	146"-202"	262"-322"	368"-426"

Intra-L (C23-C104)	23"-88"	134"-194"
	23"-88"	134"-194"

Inter-H-L (h 5-CL 126) 222-214' 222"-214"

Inter-H-H (h 11, h 14) 228-228" 231-231"

N-glycosylation sites / Sites de N-glycosylation / Posiciones de N-glicosilación

H VH N68 (no glycosylation X being P69 in NXS/T motif): 62, 62"

H CH2 N84.4: 298, 298"

Fucosylated complex bi-antennary CHO-type glycans / glycanes de type CHO bi-antennaires complexes fucosylés / glicanos de tipo CHO biantennarios complejos fucosilados



**precemtabartum tocentecanum #**

precemtabart tocentecan

immunoglobulin G1-kappa, anti-[*Homo sapiens* CEACAM5 (carcinoembryonic antigen-related cell adhesion molecule 5, CEA, CD66e)], *Homo sapiens* monoclonal antibody, conjugated on an average of 8 cysteinyl residues to *tocentecan*, comprising a linker and a camptothecin derivative (*exatecan*);  
 H-gamma1 heavy chain *Homo sapiens* (1-447) [VH (*Homo sapiens* IGHV4-31\*02 (90.9%) -(IGHD) -IGHJ4\*01 (100%), CDR-IMGT [10.7.11] (26-35.53-59.98-108)) (1-119) -*Homo sapiens* IGHG1\*03, G1m3, nG1m1 CH1 R120, CH3 E12, M14, G1v50 CH2 delE1.4, P1.3, V1.2, A1.1, G1v60 CH2 S115, S116 (CH1 R120 (216) (120-217), hinge 1-15(218-232), CH2 E1.4>del, L1.3>P (235), L1.2>V (236), G1.1>A (237), A115>S (331), P116>S (332) (233-341), CH3 E12 (357), M14 (359) (342-446), CHS K2>del (447)) (120-447)], (222-214')-disulfide with L-kappa light chain *Homo sapiens* (1'-214') [V-KAPPA (*Homo sapiens* IGKV3-15\*01 (94.7%) -IGKJ3\*01 (100%), CDR-IMGT [6.3.9] (27'-32'.50'-52'.89'-97')) (1'-107') - *Homo sapiens* IGKC\*01 (100%), Km3 A45.1 (153'), V101 (191') (108'-214')]; dimer (228-228":231-231")-bisdisulfide, produced in Chinese hamster ovary (CHO) cells, cell line CHO-K1SV, glycoform alfa; substituted at the sulfur atoms of an average of 8 L-cysteinyl residues among 222, 228, 231, 214', 222", 228", 231" and 214"" with radical group 1-{3-[(2-{5-[(1S,9S)-9-ethyl-5-fluoro-9-hydroxy-4-methyl-10,13-dioxo-2,3,9,10,13,15-hexahydro-1H,12H-benzo[de]pyran[3',4':6,7]indolizin[1,2-b]quinolin-1-yl]carbamoyl)oxy)methyl]-2-(beta-D-glucopyranuronosyloxy)anilino)-2-oxoethyl)amino]-3-oxopropyl}-2,5-dioxopyrrolidin-3-yl (*tocentecan*) *antineoplastic*

précemtabart tocentécan

immunoglobuline G1-kappa, anti-[*Homo sapiens* CEACAM5 (molécule d'adhésion cellulaire 5 apparentée à l'antigène carcinoembryonnaire, CEA, CD66e)]; anticorps monoclonal *Homo sapiens*, conjugué par 8 résidus cystéinyle en moyenne au *tocentécan*, comprenant un linker et un dérivé de la camptothécine (*exatécan*);  
 chaîne lourde H-gamma1 *Homo sapiens* (1-447) [VH (*Homo sapiens* IGHV4-31\*02 (90.9%) -(IGHD) -IGHJ4\*01 (100%), CDR-IMGT [10.7.11] (26-35.53-59.98-108)) (1-119) -*Homo sapiens* IGHG1\*03, G1m3, nG1m1 CH1 R120, CH3 E12, M14, G1v50 CH2 delE1.4, P1.3, V1.2, A1.1, G1v60 CH2 S115, S116 (CH1 R120 (216) (120-217), charnière 1-15 (218-232), CH2 E1.4>del, L1.3>P (235), L1.2>V (236), G1.1>A(237), A115>S (331), P116>S (332) (233-341), CH3 E12 (357), M14 (359) (342-446), CHS K2>del (447)) (120-447)], (222-214')-disulfure avec la chaîne légère L-kappa *Homo sapiens* (1'-214') [V-KAPPA (*Homo sapiens* IGKV3-15\*01 (94.7%) -IGKJ3\*01 (100%), CDR-IMGT [6.3.9] (27'-32'.50'-52'.89'-97')) (1'-107') -*Homo sapiens* IGKC\*01 (100%), Km3 A45.1 (153'), V101 (191') (108'-214')];

	<p>dimère (228-228":231-231")-bisdisulfure, produit dans des cellules ovariennes de hamster chinois (CHO), lignée cellulaire CHO-K1SV, glycoforme alfa; substitué sur l'atome de soufre de 8 résidus L-cystéinyle en moyenne parmi 222, 228, 231, 214', 222", 228", 231" et 214'" avec un groupement radical 1-{3-[(2-{5-[[{(1S,9S)-9-éthyl-5-fluoro-9-hydroxy-4-méthyl-10,13-dioxo-2,3,9,10,13,15-hexahydro-1<i>H</i>,12<i>H</i>-benzo[de]pyrano[3',4':6,7]indolizino[1,2-<i>b</i>]quinoléin-1-yl]carbamoyl]oxy)méthyl]-2-(β-D-glucopyranuronosyloxy)anilino]-2-oxoéthyl)amino]-3-oxopropyl]-2,5-dioxopyrrolidin-3-yle (<i>tocentécán</i>) <i>antineoplasique</i></p>
precentabart tocentecán	<p>inmunoglobulina G1-kappa, anti-[<i>Homo sapiens</i> CEACAM5 (molécula de adhesión celular 5 parecida al antígeno carcinoembrionario, CEA, CD66e)]; anticuerpo monoclonal <i>Homo sapiens</i>, conjugado por 8 residuos cisteinilo en promedio al <i>tocentécán</i>, que comprende un conector y un derivado de la camptotecina (<i>exatecán</i>); cadena pesda H-gamma1 <i>Homo sapiens</i> (1-447) [VH (<i>Homo sapiens</i> IGHV4-31*02 (90.9%) -(IGHD -IGHJ4*01 (100%), CDR-IMGT [10.7.11] (26-35.53-59.98-108)) (1-119) -<i>Homo sapiens</i> IGHG1*03, G1m3, nG1m1 CH1 R120, CH3 E12, M14, G1v50 CH2 delE1.4, P1.3, V1.2, A1.1, G1v60 CH2 S115, S116 (CH1 R120 (216) (120-217), bisagra 1-15 (218-232), CH2 E1.4&gt;del, L1.3&gt;P (235), L1.2&gt;V (236), G1.1&gt;A(237), A115&gt;S (331), P116&gt;S (332) (233-341), CH3 E12 (357), M14 (359) (342-446), CHS K2&gt;del (447)) (120-447)], (222-214')-disulfuro con la cadena ligera L-kappa <i>Homo sapiens</i> (1'-214') [V-KAPPA (<i>Homo sapiens</i> IGKV3-15*01 (94.7%) -IGKJ3*01 (100%), CDR-IMGT [6.3.9] (27'-32'.50'-52'.89'-97')) (1'-107') -<i>Homo sapiens</i> IGKC*01 (100%), Km3 A45.1 (153'), V101 (191') (108'-214')]; dímero (228-228":231-231")-bisdisulfuro, producido en las células ováricas de hámster chino (CHO), línea celular CHO-K1SV, forma glicosilada alfa; sustituido en el átomo de azufre de 8 residuos L-cisteinilo en promedio entre 222, 228, 231, 214', 222", 228", 231" y 214'" con un grupo radical 1-{3-[(2-{5-[[{(1S,9S)-9-etil-5-fluoro-9-hidroxi-4-metil-10,13-dioxo-2,3,9,10,13,15-hexahidro-1<i>H</i>,12<i>H</i>-benzo[de]pirano[3',4':6,7]indolizino[1,2-<i>b</i>]quinolin-1-il]carbamoyl]oxi)metil]-2-(β-D-glucopiranonosiloxi)anilino]-2-oxoetil)amino]-3-oxopropil]-2,5-dioxopirrolidin-3-ilo (<i>tocentécán</i>) <i>antineoplásico</i></p>

2873366-83-5

## Heavy chain / Chaîne lourde / Cadena pesada

EVQLQESGPG LVKPSQTLSL TCTVSDGSVS RGGYYLTWIR QHPGKLEWI 50  
 GYIYSGSTY FNPRLRSVT MSVDTSKNQF SLKLSSVTAA DTAVYYCARG 100  
 IAVAPFDYWG QGTLVTVSSA STKGPSVFLP APSSKSTSGG TAALGCLVKD 150  
 YFPEPVTVSW NSGALTSGVH TFFAVLQSSG LYSLSVVTV PSSSLGTQTY 200  
 ICNVNHPKPSN TKVDKRVPEK SCDKHTCTCP CPAPPVAGPS VLFPPKPKD 250  
 TLMISRTPEV TCVVVDVSH EPEVKFNWYV DGVEVHNAKT KPREEQYNST 300  
 YRVVSVLTVL HQDVLNGKEY KCKVSNKALP SSIEKTIKKA KGQPREPQVY 350  
 TLPSPREEMT KNQVSLTCLV KGFYPSDIAV EWESNGQPEN NYKTTTPVLD 400  
 SDGSFFLYSK LTVDKSRWQQ GNVFSCSVMH EALHNYTQK SLSLSPG 447

## Light chain / Chaîne légère / Cadena ligera

EIVLTQSPAT LSVSPGERAT LSCRTSQSVR SNLAWYQQPK GPAPRLLIYA 50  
 ASTRATGIPA RFGSGSGSTE FTLTISLQSQ EDFAVYYCQQ YTNWPFYFGP 100  
 GTKVDIKRTV AAPSVFIFPP SDEQLKSGTA SVVCLLNFEY PREAKVQWKV 150  
 DNALQSGNSQ ESVTEQDSKD STYLSLSTLT LSKADYEKHK VYACEVTHQG 200  
 LSSPVTKSFN RGEK 214

## Post-translational modifications

Disulfide bridges location / Position des ponts disulfure / Posiciones de los puentes disulfuro

Intra-H (C23-C104) 22"-97" 146"-202" 262"-322" 368"-426"  
 22"-97" 146"-202" 262"-322" 368"-426"

Intra-L (C23-C104) 23"-88" 134"-194"  
 23"-88" 134"-194"

Inter-H-L (h 5-CL 126)\* 222"-214" 222"-214"

Inter-H-H (h 11, h 14)\* 228"-228" 231"-231"

\*The four inter-chain disulfide bridges are not present, an average of 8 cysteinyl being conjugated each via a thioether bond to a drug linker.

\*Les quatre ponts disulfures inter-chaînes ne sont pas présents, 8 cystéinyl en moyenne étant chacun conjugué via une liaison thioéther à un linker-principe actif.

\*Los cuatro puentes disulfuro inter-catenarios no están presentes, una media de 8 cisteinil está conjugada a conectores de principio activo.

N-glycosylation sites / Sites de N-glycosylation / Posiciones de N-glicosilación

H VH N68 (no glycosylation X being P69 in NXS/T motif); 62, 62"

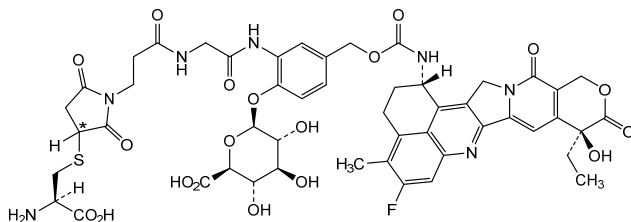
H CH2 N84.4; 298, 298"

Fucosylated complex bi-antennary CHO-type glycans / glycanes de type CHO bi-antennaires complexes fucosylés / glicanos de tipo CHO biantennarios complejos fucosilados

Potential modified residues / résidus modifiés potentiels / restos modificados potenciales\*

C (222,228,231,214,222",228",231",214")

\*(tocotecan:mAb ~ 8:1)

**pregabalinum naproxencarbilum**

pregabalin naproxencarbil

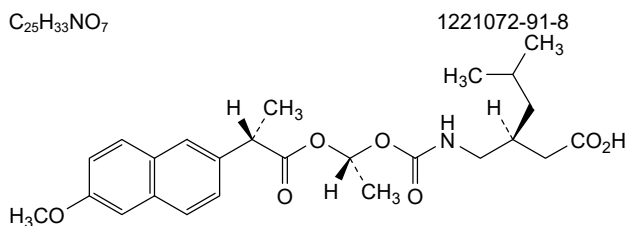
(3S)-3-[[[[(1R)-1-[[[(2S)-2-(6-methoxynaphthalen-2-yl)propanoyl]oxy]ethoxy]carbonyl]amino)methyl]-5-methylhexanoic acid  
*gabamimetic, analgesic*

prégabaline naproxencarbil

acide (3S)-3-[[[[(1R)-1-[[[(2S)-2-(6-méthoxynaphthalén-2-yl)propanoïl]oxy]éthoxy]carbonil]amino)méthyl]-5-méthylhexanoïque  
*gabamimétique, analgésique*

pregabalina naproxencarbilo

ácido (3S)-5-metil-3-[[[[(1R)-1-[[[(2S)-2-(6-metoxinaftalen-2-il)propanoïl]oxi]etoxi]carbonil]amino)metil]]hexanoico  
*gabamimético, analgésico*



**privosegtorum**  
privosegtor

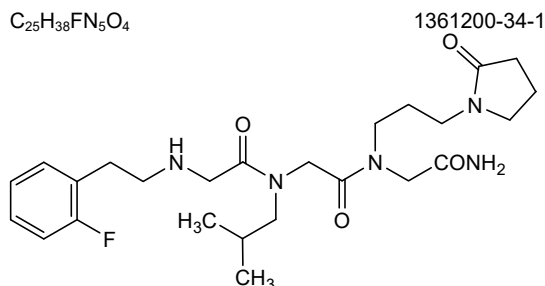
*N*-[2-(2-fluorophenyl)ethyl]glycyl-*N*-(2-methylpropyl)glycyl-*N*<sup>2</sup>-[3-(2-oxopyrrolidin-1-yl)propyl]glycinamide  
*serum/ glucocorticoid-regulated kinase 2 (Sgk2) activator*

privosegtor

*N*-[2-(2-fluorophényl)éthyl]glycyl-*N*-(2-méthylpropyl)glycyl-*N*<sup>2</sup>-[3-(2-oxopyrrolidin-1-yl)propyl]glycinamide  
*activateur de la kinase 2 régulée par le sérum et les glucocorticoïdes (Sgk2)*

privosegtor

*N*-[2-(2-fluorofenil)etil]glicil-*N*-(2-metilpropil)glicil-*N*<sup>2</sup>-[3-(2-oxopirrolidin-1-il)propil]glicinamida  
*activador de la kinasa 2 regulada por suero/ glucocorticoides (Sgk2)*



**pudafensinum**  
pudafensine

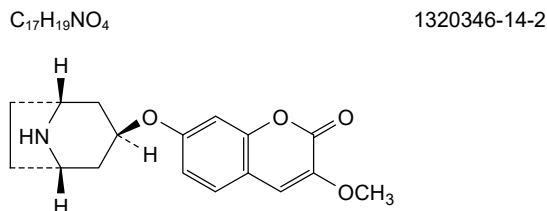
7-[[[(1*R*,3*s*,5*S*)-8-azabicyclo[3.2.1]octan-3-yl]oxy]-3-methoxy-2*H*-1-benzopyran-2-one  
*monoamine reuptake inhibitor*

pudafensine

7-[[[(1*R*,3*s*,5*S*)-8-azabicyclo[3.2.1]octan-3-yl]oxy]-3-méthoxy-2*H*-1-benzopyran-2-one  
*inhibiteur de la recapture des monoamines*

pudafensina

7-[[[(1*R*,3*s*,5*S*)-8-azabicyclo[3.2.1]octan-3-il]oxi]-3-metoxi-2*H*-1-benzopiran-2-ona  
*inhibidor de la recaptación de monoaminas*



**redalsomatropinum alfa #**  
redalsomatropin alfa

human somatotropin (growth hormone (GH), growth hormone 1, pituitary growth hormone) (1-191) fused to human serum albumin fragment 25-609 (192-776 in the current sequence) [A<sup>344</sup>>T<sup>511</sup>]-variant, produced in Chinese hamster ovary (CHO) cells, cell line CHO-K1 cells, glycoform alfa  
*growth hormone derivative*

rédalsomatropine alfa

somatotropine humaine (hormone de croissance (GH), hormone de croissance 1, hormone de croissance hypophysaire) (1-191) fusionnée au fragment 25-609 (192-776 dans la séquence actuelle) de l'albumine sérique humaine, [A<sup>344</sup>>T<sup>511</sup>]-variant, produite dans des cellules ovariennes de hamster chinois (CHO), lignée cellulaire CHO-K1, glycoforme alfa  
*dérivé de l'hormone de croissance*

redalsomatropina alfa

somatotropina humana (hormona de crecimiento (GH), hormona de crecimiento 1, hormona de crecimiento pituitaria) (1-191) fusionada al fragmento de albúmina sérica humana 25-609 (192-776 en la secuencia actual) [A<sup>344</sup>>T<sup>511</sup>]-variante, producido en las células ováricas de hámster chino (CHO), línea celular CHO-K1, glicoforma alfa  
*derivado de la hormona de crecimiento*

2793441-31-1

Sequence / Séquence / Secuencia		
<b>FPTIPLSRLE</b>	<b>DNAMLAHRL</b>	<b>HQLAFDITYQE FEEAYIPKEQ KYSFLQNPQT</b> 50
<b>SLCFSESIPT</b>	<b>PSNREETQQK</b>	<b>SNLELLRISL LLIQSWLEPV QFLRSVFFANS</b> 100
<b>LVYGASDSNV</b>	<b>YDLLKDLLEEG</b>	<b>IQTLMGRIED GSPRTGQIFK QTYSKFDTNS</b> 150
<b>HNDDALLKNY</b>	<b>GLLYCFRKM</b>	<b>DKVETFLRIV QCRSVEGSCG FDAHKSEVAH</b> 200
<b>RFKDLGEENF</b>	<b>KALVLIIFAFAQ</b>	<b>YLQQCPFEDH VKLVNEVTEF AKTCVADESA</b> 250
<b>ENCDKSLHTL</b>	<b>FGDKLCTVAT</b>	<b>LRETYGEMAD CCAKQEPERN ECFLQHKDDN</b> 300
<b>PNLPRLVRPE</b>	<b>VDVMCTAFHD</b>	<b>NEETFLKKYL YEIARRHPYF YAPPELLFFAK</b> 350
<b>RYKAAFPTECC</b>	<b>QAADKAAACL</b>	<b>PKLDELDRDEG KASSAQRLK CASLQKFGER</b> 400
<b>AFKANAVARL</b>	<b>SQRFPKAEFA</b>	<b>EVSKLVTDLT KVHTECCHGD LLECADDRAD</b> 450
<b>LAKYICENQD</b>	<b>SISSKLKECC</b>	<b>EKPLLEKSHC IAEVENDEMP ADLPSLAADF</b> 500
<b>VESKDVCKNY</b>	<b>TEAKDVFLGM</b>	<b>FLYFYARRHP DYSVLLLRLL AKTYETTLEK</b> 550
<b>CCAAADPHEC</b>	<b>YAKVFDFPKP</b>	<b>LVVEEPQLIK QNCELFEQLG EYKFNALLV</b> 600
<b>RYTKKVPQVS</b>	<b>TPTLVEVSRN</b>	<b>LQKVGSKCKC HPEAKRMPCA EDVLSVVLNQ</b> 650
<b>LCVLHEKTPV</b>	<b>SDRVTKCCTE</b>	<b>SLVNRRCPCS ALEVDETYVP KEFNAETPTF</b> 700
<b>HADIQTLSEK</b>	<b>ERQIKKQ TAL</b>	<b>VELVKHKPKA TKEQLKAVMD DFAAFVEKCC</b> 750
<b>KADDKETCFA</b>	<b>EEGKKLVAAS</b>	<b>QAALGL</b> 776

Mutation / Mutación / Mutación  
A<sup>344</sup>>T<sup>511</sup>

**Post-translation modifications**

Disulfide bridges location / Position des ponts disulfure / Posiciones de los puentes disulfuro  
53-165, 182-189, 244-253, 266-282, 281-292, 315-360, 359-368, 391-437, 436-444, 456-470, 469-480 507-552, 551-560, 583-629, 628-639, 652-668, 667-678, 705-750, 749-758

N-glycosylation sites / Sites de N-glycosylation / Posiciones de N-glicosilación  
509

**remvulimorgenum autoleucelum #**

remvulimorgene autoleucel

autologous peripheral blood mononuclear cells (PBMCs) obtained by apheresis and engineered into enhanced antigen presenting cells (eAPCs) by loading with five messenger RNAs (mRNAs) individually encoding human papillomavirus type 16 (HPV16) E6 protein, HPV16 E7 protein, human CD86, membrane-bound interleukin 2 (mbIL-2) and membrane-bound interleukin 12 (mbIL-12). Interleukin 2 (IL-2) and interleukin 12 (IL-12) are rendered membrane-bound (mb) by fusion to the transmembrane domain of the transferrin receptor with an interceding (G<sub>4</sub>S)<sub>3</sub> linker. The mRNAs are delivered using a microfluidic membrane deformation technique that temporarily disrupts the cell membrane. Each mRNA comprises a 5'-cap, a

	<p>synthetic 5' untranslated region containing a Kozak sequence, a coding region and a 3' untranslated region (UTR) derived from the murine alpha globin UTR. The cell population phenotype is CD45+, comprising primarily T lymphocytes (CD3+), monocytes (CD14+), natural killer (NK) cells (CD56+), and B lymphocytes (CD19+)</p> <p><i>cell-based gene therapy (antineoplastic)</i></p>
remvulimorgène autoleucel	<p>cellules mononucléaires de sang périphérique (PBMC) autologues obtenues par aphérèse et transformées en cellules présentatrices d'antigènes amplifiées (eAPC) par chargement de cinq ARN messagers (ARNm) codant individuellement la protéine E6 du papillomavirus humain de type 16 (HPV16), la protéine E7 du HPV16, le CD86 humain, l'interleukine 2 liée à la membrane (mblL-2) et l'interleukine 12 liée à la membrane (mblL-12). L'interleukine 2 (IL-2) et l'interleukine 12 (IL-12) sont capable de se lier à la membrane (mb) grâce à la fusion au domaine transmembranaire du récepteur de la transferrine avec un linker (G<sub>4</sub>S)<sub>3</sub> intercalé. Les ARNm sont délivrés au moyen d'une technique microfluidique de déformation de la membrane qui perturbe temporairement la membrane cellulaire. Chaque ARNm comprend une coiffe en 5', une région synthétique non traduite en 5' contenant une séquence Kozak, une région codante et une région non traduite (UTR) en 3' dérivée de l'UTR de l'alpha-globine murine.</p> <p>Le phénotype de la population cellulaire est CD45+, comprenant principalement des lymphocytes T (CD3+), des monocytes (CD14+), des cellules tueuses naturelles (NK, CD56+) et des lymphocytes B (CD19+)</p> <p><i>thérapie génique à base de cellules (antineoplasique)</i></p>
remvulimorgén autoleucel	<p>células mononucleares de sangre periférica (PBMCs) autólogas, obtenidas por aféresis y modificadas para convertirlas en células presentadoras de antígeno potenciadas (eAPCs) mediante su carga con cinco ARN mensajeros (ARNm) que codifican individualmente para la proteína E6 del virus del papiloma humano tipo 16 (HPV16), la proteína E7 del HPV16, el CD86 humano, la interleuquina 2 unida a membrana (mblL-2) y la interleuquina 12 unida a membrana (mblL-12). La interleuquina 2 (IL-2) y la interleuquina 12 (IL-12) se convierten en unidas a membrana (mb) mediante la fusión del domino transmembrana del receptor de transferrina con un enlazador intercesor (G<sub>4</sub>S)<sub>3</sub>. Los ARNm se administran usando una técnica de deformación de membrana microfuida que interrumpe temporalmente la membrana celular. Cada ARNm contiene un 5'-cap, una región sintética no traducida en 5' que contiene la secuencia Kozak, una región codificante y una región no traducida (UTR) en 3' derivada de la UTR de la globina alfa murina.</p> <p>El fenotipo de la población celular es CD45+, consistiendo principalmente en linfocitos T (CD3+), monocitos (CD14+), células NK (CD56+) y linfocitos B (CD19+)</p> <p><i>terapia génica basada en células (antineoplásico)</i></p>

**rinatabartum #**

- rinatabart immunoglobulin G1-kappa, anti-[*Homo sapiens* FOLR1 (folate receptor 1, folate receptor alpha, FR-alpha, adult folate-binding protein, FBP, ovarian tumor-associated antigen MOV18)], *Homo sapiens* monoclonal antibody; H-gamma1 heavy chain *Homo sapiens* (1-453) [VH (*Homo sapiens* IGHV3-30\*03 (96.9%) -(IGHD) -IGHJ4\*01 (92.9%) L123>Q (118), CDR-IMGT [8.8.16] (26-33.51-58.97-112)) (1-123) -*Homo sapiens* IGHG1\*01, G1m17,1 CH1 K120, CH3 D12, L14, G1v14 CH2 A1.3, A1.2 (CH1 K120 (220) (124-221), hinge 1-15 (222-236), CH2 L1.3>A (240), L1.2>A (241) (237-346), CH3 D12 (362), L14 (364) (347-451), CHS (452-453)) (124-453)], (226-214')-disulfide with L-kappa light chain *Homo sapiens* (1'-214') [V-KAPPA (*Homo sapiens* IGKV1-12\*01 (93.7%) -IGKJ4\*01 (91.7%), CDR-IMGT [6.3.9] (27'-32'.50'-52'.89'-97')) (1'-107')] -*Homo sapiens* IGKC\*01 (100%), Km3 A45.1 (153'), V101 (191') (108'-214')]; dimer (232-232''-235-235''-bisdisulfide, produced in a cell line from Chinese hamster ovary (CHO) cells, derived from the cell line CHO-K1, glycoform alfa *antineoplastica*)
- rinatabart immunoglobuline G1-kappa, anti-[*Homo sapiens* FOLR1 (récepteur 1 du folate, récepteur alpha du folate, FR-alpha, protéine de l'adulte liant le folate, FBP, antigène MOV18 associé à des tumeurs ovariennes)], anticorps monoclonal *Homo sapiens*; chaîne lourde H-gamma1 *Homo sapiens* (1-453) [VH (*Homo sapiens* IGHV3-30\*03 (96.9%) -(IGHD) -IGHJ4\*01 (92.9%) L123>Q (118), CDR-IMGT [8.8.16] (26-33.51-58.97-112)) (1-123) -*Homo sapiens* IGHG1\*01, G1m17,1 CH1 K120, CH3 D12, L14, G1v14 CH2 A1.3, A1.2 (CH1 K120 (220) (124-221), charnière 1-15 (222-236), CH2 L1.3>A (240), L1.2>A (241) (237-346), CH3 D12 (362), L14 (364) (347-451), CHS (452-453)) (124-453)], (226-214')-disulfure avec la chaîne légère L-kappa *Homo sapiens* (1'-214') [V-KAPPA (*Homo sapiens* IGKV1-12\*01 (93.7%) -IGKJ4\*01 (91.7%), CDR-IMGT [6.3.9] (27'-32'.50'-52'.89'-97')) (1'-107')] -*Homo sapiens* IGKC\*01 (100%), Km3 A45.1 (153'), V101 (191') (108'-214')]; dimère (232-232''-235-235''-bisdisulfure, produit dans une lignée cellulaire des cellules ovariennes de hamster chinois (CHO), dérivant de la lignée cellulaire CHO-K1, glycoforme alfa *antineoplasique*)
- rinatabart inmunoglobulina G1-kappa, anti-[*Homo sapiens* FOLR1 (receptor 1 del folato, receptor alfa del folato, FR-alfa, proteína del adulto que se une al folato, FBP, antígeno MOV18 asociado a dos tumores ováricos)], anticuerpo monoclonal *Homo sapiens*; cadena pesada H-gamma1 *Homo sapiens* (1-453) [VH (*Homo sapiens* IGHV3-30\*03 (96.9%) -(IGHD) -IGHJ4\*01 (92.9%) L123>Q (118), CDR-IMGT [8.8.16] (26-33.51-58.97-112)) (1-123) -*Homo sapiens* IGHG1\*01, G1m17,1 CH1 K120, CH3 D12, L14, G1v14 CH2 A1.3, A1.2 (CH1 K120 (220) (124-221), bisagra 1-15 (222-236), CH2 L1.3>A (240), L1.2>A (241) (237-346), CH3 D12 (362), L14 (364) (347-451), CHS (452-453)) (124-453)], (226-214')-disulfuro con la cadena ligera L-kappa *Homo sapiens* (1'-214') [V-KAPPA (*Homo sapiens* IGKV1-12\*01 (93.7%) -IGKJ4\*01 (91.7%), CDR-IMGT [6.3.9] (27'-32'.50'-52'.89'-97')) (1'-107')] -*Homo sapiens* IGKC\*01 (100%), Km3 A45.1 (153'), V101 (191') (108'-214')]; dímero (232-232''-235-235''-bisdisulfuro, producido en una línea celular de las células ováricas de hámster chino (CHO), línea celular derivada de CHO-K1, forma glicosilada alfa *antineoplásico*)

2853518-94-0

Heavy chain / Chaîne lourde / Cadena pesada  
 EVQLLESGGG VVQPGKSLRL SCAASGFTFS SYGMHWVQA PGKGLEWVAV 50  
 ISYDGSNKYY ADSVKGRFTI SRANSKNTLY LQMNSLRAED TAVVYCARPR 100  
 AYYGAYGSSF DYWGQGTQVT VSSASTKGPS VFPLAPSSKS TSGGTAALGC 150  
 LVKDYFPEPV TVSWNSGALT SGVHTFPAVL QSSGLYSLSS VVTVPSSSLG 200  
 TQTYICNVNH KPSNTKVDK VEKPKSCDKTH TCPPCPAPEA AGGSPVFLFP 250  
 PKPKDTLMIS RTPEVTCVVV DVSHEDPEVK FNWYVDGVEV HNAKTKPREE 300  
 QYNSTYRVVS VLTVLHQDVL NGKEYKCKVS NKALPAPIEK TISKAKGQPR 350  
 EPQVYTLPPS RDELTKNQVS LTLCLVKGFP SDIAVEWESN GQPENNYKTT 400  
 PVLDSGDSF FLYSKLTVDK SRWQQGNVFS CSVMHEALHN HYTQKSLSL 450  
 PGK 453

Light chain / Chaîne légère / Cadena ligera  
 EIVMTQSPSS VSASVGDRAV ITCRASQGIS SWLAWYQOKP GKAPKLLIYA 50  
 ASSLQSGVPS RFGSGSGSDT FTLTISLQEP EDFATYYCQQ SYSTPLTFGG 100  
 GTKVDIKRRTV AAPSVFIFPP SDEQLKSGTA SVVCLLNIFY PREAKQWQKV 150  
 DNALQSGNSQ ESVTEQDSK STYLSLSTLT LSKADYEKHK VYACEVTHQG 200  
 LSSPVTKSFN RGEK 214

**Post-translational modifications**

Disulfide bridges location / Position des ponts disulfure / Posiciones de los puentes disulfuro

Intra-H (C23-C104) 22-96 150-206 267-327 373-431  
 22"-96" 150"-206" 267"-327" 373"-431"  
 Intra-L (C23-C104) 23'-88' 134'-194'  
 23'''-88''' 134'''-194'''  
 Inter-H-L (h 5-CL 126) 226-214' 226"-214"  
 Inter-H-H (h 11, h 14) 232-232" 235-235"

N-glycosylation sites / Sites de N-glycosylation / Posiciones de N-glicosilación

H CH2 N84.4: 303, 303"

Fucosylated complex bi-antennary CHO-type glycans / glycanes de type CHO bi-antennaire complexes fucosylés / glicanos de tipo CHO biantenariarios complejos fucosilados

C-terminal lysine clipping / Coupure de la lysine C-terminale / Recorte de lisina C-terminal  
H CHS K2: 453, 453"**rinatabartum sesutecanum #**

rinatabart sesutecan

immunoglobulin G1-kappa, anti-[*Homo sapiens* FOLR1 (folate receptor 1, folate receptor alpha, FR-alpha, adult folate-binding protein, FBP, ovarian tumor-associated antigen MOv18)], *Homo sapiens* monoclonal antibody, conjugated on an average of 8 cysteinyl residues to *sesutecan*, comprising a linker and a camptothecin derivative (*exatecan*);

H-gamma1 heavy chain *Homo sapiens* (1-453) [VH (*Homo sapiens* IGHV3-30\*03 (96.9%) -(IGHD)-IGHJ4\*01 (92.9%) L123>Q (118), CDR-IMGT [8.8.16] (26-33.51-58.97-112)) (1-123) -*Homo sapiens* IGHG1\*01, G1m17.1 CH1 K120, CH3 D12, L14, G1v14 CH2 A1.3, A1.2 (CH1 K120 (220) (124-221), hinge 1-15 (222-236), CH2 L1.3>A (240), L1.2>A (241) (237-346), CH3 D12 (362), L14 (364) (347-451), CHS (452-453)) (124-453)], (226-214')-disulfide with L-kappa light chain *Homo sapiens* (1'-214') [V-KAPPA (*Homo sapiens* IGKV1-12\*01 (93.7%) -IGKJ4\*01 (91.7%), CDR-IMGT [6.3.9] (27'-32'.50'-52'.89'-97'') (1'-107') -*Homo sapiens* IGKC\*01 (100%), Km3 A45.1 (153'), V101 (191') (108'-214'')]; dimer (232-232":235-235'')-bisdisulfide, produced in a cell line from Chinese hamster ovary (CHO) cells, derived from the cell line CHO-K1, glycoform alfa; substituted at the sulfur atoms of an average of 8 L-cysteinyl residues among 226, 232, 235, 214', 226", 232", 235" and 214''' with radical group 1-[(2R,3R,4R,5S,52S)-1,2,3,4,5-pentahydroxy-52-[(2S)-1-[(2S)-5-carbamoylamino-1-oxo-1-{3-[[[(1S,9S)-9-ethyl-5-fluoro-9-hydroxy-4-methyl-10,13-dioxo-2,3,9,10,13,15-hexahydro-1H,12H-benzo[de]pyrano[3',4':6,7]indolizino[1,2-b]quinolin-1-yl]carbamoyl]oxy)methyl]anilino}pentan-2-yl]amino]-3-methyl-1-oxobutan-2-yl]carbamoyl]-7-[(2S,3R,4R,5R)-2,3,4,5,6-pentahydroxyhexyl]-46,54-dioxo-10,13,16,19,22,25,28,31,34,37,40,43-dodecaoxa-7,47,53-triazanonapentacontan-59-yl]-2,5-dioxopyrrolidin-3-yl (*sesutecan*)  
*antineoplastic*



rinatabart sésutécan

immunoglobuline G1-kappa, anti-[*Homo sapiens* FOLR1 (récepteur 1 du folate, récepteur alpha du folate, FR-alpha, protéine de l'adulte liant le folate, FBP, antigène MOV18 associé à des tumeurs ovariennes)], anticorps monoclonal *Homo sapiens*, conjugué via un linker clivable par 8 résidus cystéinyle en moyenne au *sésutécan*, comprenant un linker et un dérivé de la camptothécine (*exatécan*); chaîne lourde H-gamma1 *Homo sapiens* (1-453) [VH (*Homo sapiens* IGHV3-30\*03 (96.9%) -(IGHD) -IGHJ4\*01 (92.9%) L123>Q (118), CDR-IMGT [8.8.16] (26-33.51-58.97-112))] (1-123) -*Homo sapiens* IGHG1\*01, G1m17,1 CH1 K120, CH3 D12, L14, G1v14 CH2 A1.3, A1.2 (CH1 K120 (220) (124-221), charnière 1-15 (222-236), CH2 L1.3>A (240), L1.2>A (241) (237-346), CH3 D12 (362), L14 (364) (347-451), CHS (452-453)) (124-453)], (226-214')-disulfure avec la chaîne légère L-kappa *Homo sapiens* (1'-214') [V-KAPPA (*Homo sapiens* IGKV1-12\*01 (93.7%) -IGKJ4\*01 (91.7%), CDR-IMGT [6.3.9] (27'-32'.50'-52'.89'-97')) (1'-107') -*Homo sapiens* IGKC\*01 (100%), Km3 A45.1 (153'), V101 (191') (108'-214')]; dimère (232'-232":235-235")-bisdisulfure, produit dans une lignée cellulaire des cellules ovariennes de hamster chinois (CHO), dérivant de la lignée cellulaire CHO-K1, glycoforme alfa; substitué sur un atome de soufre de 8 résidus L-cystéinyle en moyenne parmi 226, 232, 235, 214', 226", 232", 235" et 214"" avec un groupement radical 1-[(2R,3R,4R,5S,52S)-1,2,3,4,5-pentahydroxy-52-[[[(2S)-1-[[[(2S)-5-carbamoylamino-1-oxo-1-{3-[[[(1S,9S)-9-éthyl-5-fluoro-9-hydroxy-4-méthyl-10,13-dioxo-2,3,9,10,13,15-hexahydro-1H,12H-benzo[de]pyrano[3',4':6,7]indolizino[1,2-b]quinoléin-1-yl]carbamoyl]oxy)méthyl]anilino]pentan-2-yl]amino]-3-méthyl-1-oxobutan-2-yl]carbamoyl]-7-[[[(2S,3R,4R,5R)-2,3,4,5,6-pentahydroxyhexyl]-46,54-dioxo-10,13,16,19,22,25,28,31,34,37,40,43-dodécaoxa-7,47,53-triazanonapentacontan-59-yl]-2,5-dioxopyrrolidin-3-yle (*sésutécan*)  
*antinéoplasique*

rinatabart sesutecán

inmunoglobulina G1-kappa, anti-[*Homo sapiens* FOLR1 (receptor 1 del folato, receptor alfa del folato, FR-alfa, proteína del adulto que se une al folato, FBP, antígeno MOV18 asociado a los tumores ováricos)], anticuerpo monoclonal *Homo sapiens*, conjugado mediante un conector escindible por 8 residuos cisteinilo en promedio a *sesutecán*, que comprende un conector y un derivado de la camptotecina (*exatecán*); cadena pesada H-gamma1 *Homo sapiens* (1-453) [VH (*Homo sapiens* IGHV3-30\*03 (96.9%) -(IGHD) -IGHJ4\*01 (92.9%) L123>Q (118), CDR-IMGT [8.8.16] (26-33.51-58.97-112))] (1-123) -*Homo sapiens* IGHG1\*01, G1m17,1 CH1 K120, CH3 D12, L14, G1v14 CH2 A1.3, A1.2 (CH1 K120 (220) (124-221), bisagra 1-15 (222-236), CH2 L1.3>A (240), L1.2>A (241) (237-346), CH3 D12 (362), L14 (364) (347-451), CHS (452-453)) (124-453)], (226-214')-disulfuro con la cadena ligera L-kappa *Homo sapiens* (1'-214') [V-KAPPA (*Homo sapiens* IGKV1-12\*01 (93.7%) -IGKJ4\*01 (91.7%), CDR-IMGT [6.3.9] (27'-32'.50'-52'.89'-97')) (1'-107') -*Homo sapiens* IGKC\*01 (100%), Km3 A45.1 (153'), V101 (191') (108'-214')]; dímero (232'-232":235-235")-bisdisulfuro, producido en una línea celular de las células ováricas de hámster chino (CHO), línea celular derivada de CHO-K1, forma glicosilada alfa; sustituido en un átomo de azufre de 8 residuos L-cisteinilo en promedio entre 226, 232, 235, 214', 226", 232", 235" y 214"" con un grupo

radical 1-[(2*R*,3*R*,4*R*,5*S*,5*S*)-1,2,3,4,5-pentahidroxi-52-[[[(2*S*)-1-[(2*S*)-5-carbamoilamino-1-oxo-1-{3-[[[(1*S*,9*S*)-9-etil-5-fluoro-9-hidroxi-4-metil-10,13-dioxo-2,3,9,10,13,15-hexahidro-1*H*,12*H*-benzo[*de*]pirano[3',4':6,7]indolizino[1,2-*b*]quinolein-1-*il*]carbamoil}oxi)metil]anilino}pentan-2-*il*]amino]-3-metil-1-oxobutan-2-*il*]carbamoil]-7-[(2*S*,3*R*,4*R*,5*R*)-2,3,4,5,6-pentahidroxihexil]-46,54-dioxo-10,13,16,19,22,25,28,31,34,37,40,43-dodecaoxa-7,47,53-triazanonapentacontan-59-*il*]-2,5-dioxopirrolidin-3-*ilo* (*sesutecán*)  
*antineoplásico*

2853518-95-1

## Heavy chain / Chaîne lourde / Cadena pesada

EVQLLESGGG VVQPRSLRL SCAASGFTFS SYGMHWVRQA PGKLEWVAV 50  
 ISYDGSNKYY ADSVKGRFTI SRANSKNTLY LQMNSLRAED TAVYYCARPR 100  
 AYYGAYGSSF DYWGQGTQVT VSSASTKGPS VFPLAPSSKS TSGGTAALGC 150  
 LVKDYPPEPV TVSNWNSGALT SGVHTFPAVL QSSGLYSLS S VVTVPSSSLG 200  
 TQTYICNVNH KPSNTKVDKK VEPKSCDKTH TCPPCPAPEA AGGSPVFLFP 250  
 PKPKDTLMIS RTPEVTCVVV DVSHPEDPEVK FNYVDGVEV HNAKTKPREE 300  
 QYNSTYRVVS VLTVLHQDWL NGKEYKCKVS NKALPAPIEK TISKAKGQPR 350  
 EPQVYTLPPS RDELTKNQVS LTCLVKGFYP SDIAVEWESN GQPENNYKTT 400  
 PPSVLDSDGSF FLYSKLTVDK SRWQQGNVFS CSMVHEALHN HYTKSLSLS 450  
 PGK 453

## Light chain / Chaîne légère / Cadena ligera

EIVMTQSPSS VSASVGRDVA ITCRASQGIS SWLAWYQQPK GKAPKLLIYA 50  
 ASSLQSGVPS RFGSGSGTD FTLTISLQP EDFATYYCQQ SYSTPLTFGG 100  
 GTKVDIKRVT AAPSVFIFPP SDEQLKSGTA SVVCLLNNFY PREAKVQWVK 150  
 DNALQSGNSQ ESVTEQDSKD STYLSLSTLT LSKADYEKHK VYACEVTHQG 200  
 LSSPVTKSFN RGEK 214

## Post-translational modifications

Disulfide bridges location / Position des ponts disulfure / Posiciones de los puentes disulfuro

Intra-H (C23-C104) 22°-96° 150°-206° 267°-327° 373°-431°  
 22°-96° 150°-206° 267°-327° 373°-431°  
 Intra-L (C23-C104) 23°-88° 134°-194°  
 23°-88° 134°-194°

Inter-H-L (h 5-CL 126)\* 226-214° 226°-214°

Inter-H-H (h 11, h 14)\* 232-232° 235-235°

\*The four inter-chain disulfide bridges are not present, an average of 8 cysteinyl being conjugated each via a thioether bond to a drug linker.

\*Les quatre ponts disulfures inter-chaînes ne sont pas présents, 8 cystéinyl en moyenne étant chacun conjugué via une liaison thioéther à un linker-principe actif.

\*Los cuatro puentes disulfuro inter-catenarios no estan presentes, una media de 8 cisteinil está conjugada a conectores de principio activo.

N-glycosylation sites / Sites de N-glycosylation / Posiciones de N-glicosilación

H CH2 N84.4: 303, 303°

Fucosylated complex bi-antennary CHO-type glycans / glycanes de type CHO bi-antennaires complexes fucosylés / glicanos de tipo CHO biantennarios complejos fucosilados

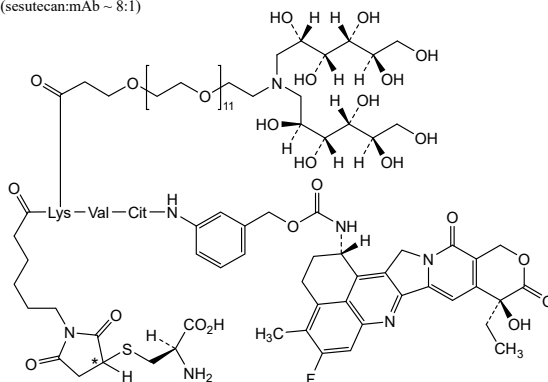
C-terminal lysine clipping / Coupeure de la lysine C-terminale / Recorte de lisina C-terminal

H CHS K2: 453, 453°

Potential modified residues / résidus modifiés potentiels / restos modificados potenciales\*

C (226,232,235,214°,226°,232°,235°,214°)

\*(sesutecan:mAb ~ 8:1)



**riselcaftorum**

riselcaftor

(2*R*,4*R*)-2-(2-methoxy-5-methylphenyl)-*N*-(2-methylquinoline-5-sulfonyl)-4-phenyloxolane-2-carboxamide  
*cystic fibrosis transmembrane regulator (CFTR) protein modulator*

riselcaftor

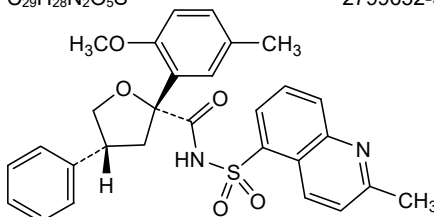
(2*R*,4*R*)-2-(2-méthoxy-5-méthylphényl)-*N*-(2-méthylquinoléine-5-sulfonyl)-4-phényloxolane-2-carboxamide  
*modulateur de la protéine régulatrice transmembranaire de la mucoviscidose (CFTR)*

riselcaftor

(2*R*,4*R*)-4-fenil-2-(5-metil-2-metoxifenil)-*N*-(2-metilquinoleína-5-sulfonyl)oxolano-2-carboxamida  
*modulador de la proteína reguladora transmembrana de la fibrosis quística (CFTR)*

C<sub>29</sub>H<sub>28</sub>N<sub>2</sub>O<sub>5</sub>S

2799652-36-9

**rogocekibum**

rogocekib

1-({5-[(1*R*)-1-fluoroethyl]-1,3,4-oxadiazol-2-yl)methyl)-6-(4-methoxypyrrolo[2,1-*f*][1,2,4]triazin-5-yl)-2-methyl-1*H*-imidazo[4,5-*b*]pyridine  
*dual specificity protein kinase CLK (CDC2-like kinase) inhibitor, antineoplastic*

rogocekib

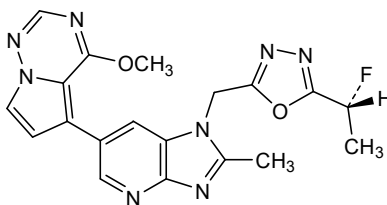
1-({5-[(1*R*)-1-fluoroéthyl]-1,3,4-oxadiazol-2-yl)méthyl)-6-(4-méthoxypyrrolo[2,1-*f*][1,2,4]triazin-5-yl)-2-méthyl-1*H*-imidazo[4,5-*b*]pyridine  
*inhibiteur de la protéine kinase CLK (CDC2-like kinase) à double spécificité, antinéoplasique*

rogocekib

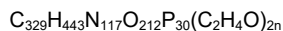
1-({5-[(1*R*)-1-fluoroetil]-1,3,4-oxadiazol-2-il}metil)-2-metil-6-(4-metoxipirrol[2,1-*f*][1,2,4]triazin-5-il)-1*H*-imidazo[4,5-*b*]piridina  
*inhibidor de la proteína kinasa de doble especificidad CLK (CDC2-like kinasa), antineoplásico*

C<sub>19</sub>H<sub>17</sub>FN<sub>8</sub>O<sub>2</sub>

2144751-78-8







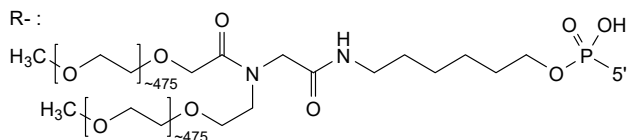
2573048-75-4



N : A, C, G, U, T

N : 2'-O-methyl-N / 2'-O-méthyl-N / 2'-O-metil-N

dN : 2'-deoxy-N / 2'-désoxy-N / 2'-desoxi-N

**rupitasertibum**

rupitasertib

4-(((1S)-2-(azetidin-1-yl)-1-[4-chloro-3-(trifluorométhyl)phényl]éthyl)amino)quinazoline-8-carboxamide  
*serine/ threonine kinase inhibitor, antineoplastic*

rupitasertib

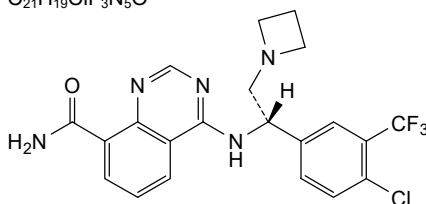
4-(((1S)-2-(azétidin-1-yl)-1-[4-chloro-3-(trifluorométhyl)phényl]éthyl)amino)quinazoline-8-carboxamide  
*inhibiteur de sérine/ thréonine kinase, antinéoplasique*

rupitasertib

4-(((1S)-2-(azetidin-1-il)-1-[4-cloro-3-(trifluorometil)fenil]etil)amino)quinazolina-8-carboxamida  
*inhibidor de serina/ treonina kinasa, antineoplásico*



1379545-95-5

**samatatugum #**

samatatug

immunoglobulin G1-kappa, anti-[*Homo sapiens* F3 (coagulation factor III (thromboplastin, tissue factor), CD142)], *Homo sapiens* monoclonal antibody; H-gamma1 heavy chain *Homo sapiens* (1-452) [VH (*Homo sapiens* IGHV1-18\*01 (94.9%) -(IGHD) -IGHJ3\*01 (92.3%) M123>T (118), CDR-IMGT [8.8.16] (26-33.51-58.97-112)) (1-123) -*Homo sapiens* IGHG1\*03 (100%), G1m3, nG1m1 CH1 R120, CH3 E12, M14 (CH1 R120 (220) (124-221), hinge 1-15 (222-236), CH2 (237-346), CH3 E12 (362), M14 (364) (347-451), CHS K2>del (452)) (124-452)], (226-215')-disulfide with L-kappa light chain *Homo sapiens* (1'-215') [V-KAPPA (*Homo sapiens* IGKV1-5\*03 (91.4%) -IGKJ4\*01 (91.7%), CDR-IMGT [6.3.10] (27'-32'.50'-52'.89'-98'')) (1'-108') -*Homo sapiens* IGKC\*01 (100%), Km3 A45.1 (154'), V101 (192') (109'-215')]; dimer (232-232'':235-235'')-bisdisulfide, produced in Chinese hamster ovary (CHO) cells, derived from the cell line CHO-DG44, co-expressing the enzyme dihydrofolate reductase (DHFR), glycoform alfa  
*antineoplastic*

samatatug

immunoglobuline G1-kappa, anti-[*Homo sapiens* F3 (facteur de coagulation III (thromboplastine, facteur tissulaire), CD142)], anticorps monoclonal *Homo sapiens*;

chaîne lourde H-gamma1 *Homo sapiens* (1-452) [VH (*Homo sapiens* IGHV1-18\*01 (94.9%) -(IGHD) -IGHJ3\*01 (92.3%) M123>T (118), CDR-IMGT [8.8.16] (26-33.51-58.97-112)) (1-123) -*Homo sapiens* IGHG1\*03 (100%), G1m3, nG1m1 CH1 R120, CH3 E12, M14 (CH1 R120 (220) (124-221), charnière 1-15 (222-236), CH2 (237-346), CH3 E12 (362), M14 (364) (347-451), CHS K2>del (452)) (124-452)], (226-215')-disulfure avec la chaîne légère L-kappa *Homo sapiens* (1'-215') [V-KAPPA (*Homo sapiens* IGKV1-5\*03 (91.4%) -IGKJ4\*01 (91.7%), CDR-IMGT [6.3.10] (27'-32'.50'-52'.89'-98')) (1'-108') -*Homo sapiens* IGKC\*01 (100%), Km3 A45.1 (154'), V101 (192') (109'-215')]; dimère (232-232':235-235'')-bisdisulfure, produit dans des cellules ovariennes de hamster chinois (CHO), dérivant de la lignée cellulaire CHO-DG44, co-exprimant l'enzyme dihydrofolate réductase (DHFR), glycoforme alfa  
*antinéoplasique*

samatatug

immunoglobulina G1-kappa, anti-[*Homo sapiens* F3 (factor de coagulación III (tromboplastina, factor tisular), CD142)], anticuerpo monoclonal *Homo sapiens*;

cadena pesada H-gamma1 *Homo sapiens* (1-452) [VH (*Homo sapiens* IGHV1-18\*01 (94.9%) -(IGHD) -IGHJ3\*01 (92.3%) M123>T (118), CDR-IMGT [8.8.16] (26-33.51-58.97-112)) (1-123) -*Homo sapiens* IGHG1\*03 (100%), G1m3, nG1m1 CH1 R120, CH3 E12, M14 (CH1 R120 (220) (124-221), bisagra 1-15 (222-236), CH2 (237-346), CH3 E12 (362), M14 (364) (347-451), CHS K2>del (452)) (124-452)], (226-215')-disulfureo con la cadena ligera L-kappa *Homo sapiens* (1'-215') [V-KAPPA (*Homo sapiens* IGKV1-5\*03 (91.4%) -IGKJ4\*01 (91.7%), CDR-IMGT [6.3.10] (27'-32'.50'-52'.89'-98')) (1'-108') -*Homo sapiens* IGKC\*01 (100%), Km3 A45.1 (154'), V101 (192') (109'-215')]; dímero (232-232':235-235'')-bisdisulfuro, producido en las células ováricas de hámster chino (CHO), línea celular derivada de CHO-DG44, co-expresando la enzima dihidrofolato reductasa (DHFR), forma glicosilada alfa  
*antineoplásico*

2861288-57-3

## Heavy chain / Chaîne lourde / Cadena pesada

QVQLVQSGAE VKKPGASVKV SCKASGYTFD VYGISWVRQA PGQGLEWMGW 50  
IAPYSGNTNY AQLKQGRVTM TTDSTSTAY MELRSLRSD TAVYCARD 100  
GTYSFPGYGM DWVQGGTFTV VSSASTKGPS VFPLAPSSKS TSGGTAALCG 150  
LVKDYFPEPV TVSWNSGALT SGVHTFPAVL QSSGLYSLSS VVTVPSSSLG 200  
TQTYICNVNH KFSNTKVDKR VEPKSCDKTH TCPPCPAPEL LGGPSVFLFP 250  
PKPKDTLMIS RTPEVTCVVV DVSHPDPEVK FNWYVDGVEV HNAKTRPRE 300  
QYNSTYRVVS VLTVLHQDWL NGKEYKCKVS NKALPAPIEK TISKARQQPR 350  
EPQVYTLPPS REEMTKNQVS LTCLVKGFYP SDIAVEWESN GQPENNYTKT 400  
PPVLDSDGSF FLYSKLTVDK SRWQQGNVFS CSMVHEALHN HYTKQSLSL 450  
PG 452

## Light chain / Chaîne légère / Cadena ligera

DIQMTQSPST LSASVGRVIT ITCQASQSI NWLAWYQQKPK GKAPKLLIYK 50  
AYNLESGVPS RFSGSGSGTE FTLTISSLPQ DDFATYYCQL FQSLPPFTFG 100  
GGTKVEIKRT VAAPSVEIFP PSDEQLKSGT ASVVCLLNMF YPREAKVQWK 150  
VDNALQSGNS QESVTEQDSK DSTYLSSTL TLSKADYEKHK KVAACEVTHQ 200  
GLSSPVTKSF NRGEK 215

## Post-translational modifications

Disulfide bridges location / Position des ponts disulfure / Posiciones de los puentes disulfuro

Intra-H (C23-C104) 22"-96" 150"-206" 267"-327" 373"-431"  
22"-96" 150"-206" 267"-327" 373"-431"

Intra-L (C23-C104) 23"-88" 135"-195"  
23"-88" 135"-195"

Inter-H-L (h 5-CL 126) 226-215" 226"-215"

Inter-H-H (h 11, h 14) 232-232" 235-235"

N-terminal glutaminyl cyclization / Cyclisation du glutaminyle N-terminal / Ciclación del glutaminilo N-terminal

Q > pyroglutamyl (pE, 5-oxopropyl) / pyroglutamyle (pE, 5-oxopropyle) / piroglutamilo (pE, 5-oxopropil)  
H VH Q1: 1, 1"

N-glycosylation sites / Sites de N-glycosylation / Posiciones de N-glicosilación

H CH2 N84.4: 303, 303"

Fucosylated complex bi-antennary CHO-type glycans / glycanes de type CHO bi-antennaires complexes fucosylés / glicanos de tipo CHO biantennarios complejos fucosilados

**samatatugum zovodotinum #**

samatatug zovodotin

immunoglobulin G1-kappa, anti-[*Homo sapiens* F3 (coagulation factor III (thromboplastin, tissue factor), CD142)], *Homo sapiens* monoclonal antibody, conjugated on an average of 4 cysteinyl residues via a cleavable linker to a derivative of auristatin; H-gamma1 heavy chain *Homo sapiens* (1-452) [VH (*Homo sapiens* IGHV1-18\*01 (94.9%) -(IGHD) -IGHJ3\*01 (92.3%) M123>T (118), CDR-IMGT [8.8.16] (26-33.51-58.97-112)) (1-123) -*Homo sapiens* IGHG1\*03 (100%), G1m3, nG1m1 CH1 R120, CH3 E12, M14 (CH1 R120 (220) (124-221), hinge 1-15 (222-236), CH2 (237-346), CH3 E12 (362), M14 (364) (347-451), CHS K2>del (452)) (124-452)], (226-215')-disulfide with L-kappa light chain *Homo sapiens* (1'-215') [V-KAPPA (*Homo sapiens* IGKV1-5\*03 (91.4%) -IGKJ4\*01 (91.7%), CDR-IMGT [6.3.10] (27'-32'.50'-52'.89'-98')) (1'-108') -*Homo sapiens* IGKC\*01 (100%), Km3 A45.1 (154'), V101 (192') (109'-215')]; dimer (232-232":235-235"-bisdisulfide, produced in Chinese hamster ovary (CHO) cells, derived from the cell line CHO-DG44, co-expressing the enzyme dihydrofolate reductase (DHFR), glycoform alpha; substituted at the sulfur atoms of four L-cysteinyl residues on an average among 226, 232, 235, 215', 226", 232", 235" and 215" with radical group (3RS)-1-[(6S,9S)-1-amino-6-[[4-({N,N-dimethyl-L-valyl-L-valyl-(3R,4S,5S)-3-methoxy-5-methyl-4-(methylamino)heptanoyl-(2R,3R)-3-methoxy-2-methyl-3-[(2S)-pyrrolidin-2-yl]propanoyl)sulfamoyl]phenyl]carbamoyl]-1,8,11-trioxo-9-(propan-2-yl)-14,17,20-trioxa-2,7,10-triazadocosan-22-yl]-2,5-dioxopyrrolidin-3-yl (zovodotin)  
*antineoplastic*

samatatug zovodotine

immunoglobuline G1-kappa, anti-[*Homo sapiens* F3 (facteur de coagulation III (thromboplastine, facteur tissulaire), CD142)], anticorps monoclonal *Homo sapiens*, conjugué, par 4 résidus cystéinyle en moyenne, à un dérivé de l'auristatine, via un linker clivable; chaîne lourde H-gamma1 *Homo sapiens* (1-452) [VH (*Homo sapiens* IGHV1-18\*01 (94.9%) -(IGHD) -IGHJ3\*01 (92.3%) M123>T (118), CDR-IMGT [8.8.16] (26-33.51-58.97-112)) (1-123) -*Homo sapiens* IGHG1\*03 (100%), G1m3, nG1m1 CH1 R120, CH3 E12, M14 (CH1 R120 (220) (124-221), charnière 1-15 (222-236), CH2 (237-346), CH3 E12 (362), M14 (364) (347-451), CHS K2>del (452)) (124-452)], (226-215')-disulfure avec la chaîne légère L-kappa *Homo sapiens* (1'-215') [V-KAPPA (*Homo sapiens* IGKV1-5\*03 (91.4%) -IGKJ4\*01 (91.7%), CDR-IMGT [6.3.10] (27'-32'.50'-52'.89'-98')) (1'-108') -*Homo sapiens* IGKC\*01 (100%), Km3 A45.1 (154'), V101 (192') (109'-215')]; dimère (232-232":235-235"-bisdisulfure, produit dans des cellules ovariennes de hamster chinois (CHO),

	<p>dérivant de la lignée cellulaire CHO-DG44, co-exprimant l'enzyme dihydrofolate réductase (DHFR), glycoforme alfa; substitué sur l'atome de soufre de 4 résidus L-cystéinyle en moyenne parmi 226, 232, 235, 215', 226", 232", 235" et 215'" avec un groupement radical (3RS)-1-[(6S,9S)-1-amino-6-[[4-({N,N-diméthyl-L-valyl-L-valyl-(3R,4S,5S)-3-méthoxy-5-méthyl-4-(méthylamino)heptanoil-(2R,3R)-3-méthoxy-2-méthyl-3-[(2S)-pyrrolidin-2-yl]propanoïl)sulfamoïl]phényl]carbamoïl]-1,8,11-trioxo-9-(propan-2-yl)-14,17,20-trioxa-2,7,10-triazadocosan-22-yl]-2,5-dioxopyrrolidin-3-yle (zovodotine) <i>antinéoplasique</i></p>
<p>samatatug zovodotina</p>	<p>inmunoglobulina G1-kappa, anti-[<i>Homo sapiens</i> F3 (factor de coagulación III (tromboplastina, factor tisular), CD142)], anticuerpo monoclonal <i>Homo sapiens</i>, conjugado, por 4 restos cisteinilo por término medio, con un derivado de la auristatina a través de un enlace escindible; cadena pesada H-gamma1 <i>Homo sapiens</i> (1-452) [VH (<i>Homo sapiens</i> IGHV1-18*01 (94.9%) -(IGHD) -IGHJ3*01 (92.3%) M123&gt;T (118), CDR-IMGT [8.8.16] (26-33.51-58.97-112)) (1-123) -<i>Homo sapiens</i> IGHG1*03 (100%), G1m3, nG1m1 CH1 R120, CH3 E12, M14 (CH1 R120 (220) (124-221), bisagra1-15 (222-236), CH2 (237-346), CH3 E12 (362), M14 (364) (347-451), CHS K2&gt;del (452)) (124-452)], (226-215')-disulfuro con la cadena ligera L-kappa <i>Homo sapiens</i> (1'-215') [V-KAPPA (<i>Homo sapiens</i> IGKV1-5*03 (91.4%) -IGKJ4*01 (91.7%), CDR-IMGT [6.3.10] (27'-32'.50'-52'.89'-98')) (1'-108') -<i>Homo sapiens</i> IGKC*01 (100%), Km3 A45.1 (154'), V101 (192') (109'-215')]; dímero (232-232"-235-235")-bisdisulfuro, producido en las células ováricas de hámster chino (CHO), línea celular derivada de CHO-DG44, co-expresando la enzima dihidrofolato reductasa (DHFR) forma glicosilada alfa; sustituido en el átomo de azufre de 4 residuos de L-cisteinilo en promedio de 226, 232, 235, 215', 226", 232", 235" y 215'" con un grupo radical (3RS)-1-[(6S,9S)-1-amino-6-[[4-({N,N-dimetil-L-valil-L-valil-(3R,4S,5S)-5-metil-3-metoxi-4-(metilamino)heptanoil-(2R,3R)-2-metil-3-metoxi-3-[(2S)-pirrolidin-2-il]propanoïl)sulfamoïl]fenil]carbamoïl]-1,8,11-trioxo-9-(propan-2-il)-14,17,20-trioxa-2,7,10-triazadocosan-22-il]-2,5-dioxopirrolidin-3-ilo (zovodotina) <i>antineoplásico</i></p>



2861288-58-4

## Heavy chain / Chaîne lourde / Cadena pesada

QVQLVQSGAE VKKPGASVKV SCRASGYTFD VYGISWVRQA PGQGLEWMGW 50  
 IAPYSGNTNY AQKLGQRVTM TTDSTSTAY MELRSLRSDD TAVYYCARD 100  
 GTYSPFGYGM DWVGGQTTVT VSSASTKGPS VFPLAPSSKS TSGGTAALGC 150  
 LVKDYFPEPV TVSNWNGALT SGVHTFPAVL QSSGLYSLSS VVTVPSSSLG 200  
 TQTYICNVNH KPSNTKVDKR VEPKSCDKTH TCPPCPAPEL LGGPSVFLFP 250  
 PKPKDTLMIS RTPEVTCVVV DVSHEDEPEK FNWYVDGVEV HNAKTKPRE 300  
 QYNSTYRVVS VLTVLHQDWL NGKEYKCKVS NKALPAPIEK TISKAKGQPR 350  
 EPQVYTLPPS REEMTKQVVS LTCVLKGFYP SDIAVEWESN GQPENNYKTT 400  
 PAVLDSGDSF FLYSKLTVDK SRWQQGNVFS CSMVHEALHN HVTQKSLSL 450  
 PG 452

## Light chain / Chaîne légère / Cadena ligera

DIQMTQSPST LSASVGRVIT ITCQASQSN NWLAWYQQKPK GKAPKLLIYK 50  
 AYNLESQVPS RFGSGSGSTE FTLTISLSLP DDFATYYCQL FQSLPPTFTG 100  
 GGTKVEIKRT VAAPSVFIFP PSDEQLKSGT ASVVCLLNFF YPREAKVQWK 150  
 VDNALQSGNS QESVTEQDSK DSTYISLSTL TISKADYEK KVAACEVTHQ 200  
 GLSSPVTKSF NRGEC 215

## Post-translational modifications

Disulfide bridges location / Position des ponts disulfure / Posiciones de los puentes disulfuro

Intra-H (C23-C104) 22-96 150-206 267-327 373-431  
 22"-96" 150"-206" 267"-327" 373"-431"

Intra-L (C23-C104) 23"-88" 135"-195"  
 23"-88" 135"-195"

Inter-H-L (h 5-CL 126)\* 226-215" 226"-215"

Inter-H-H (h 11, h 14)\* 232-232" 235-235"

\*At least two of the four inter-chain disulfide bridges are not present, an average of 4 cysteinyl being conjugated each via a thioether bond to a drug linker.

\*Au moins deux des quatre ponts disulfures inter-chaînes ne sont pas présents, 4 cystéinyl en moyenne étant chacun conjugué via une liaison thioéther à un linker-principe actif.

\*Al menos dos de los cuatro puentes disulfuro inter-catenarios no están presentes, una media de 4 cisteinil está conjugada a conectores de principio activo.

N-terminal glutaminyl cyclization / Cyclisation du glutaminyle N-terminal / Ciclación del glutaminilo N-terminal

Q &gt; pyroglutamyl (pE, 5-oxopropyl) / pyroglutamyl (pE, 5-oxopropyle) / piroglutamilo

(pE, 5-oxopropilo)

H VH Q1: 1, 1"

N-glycosylation sites / Sites de N-glycosylation / Posiciones de N-glicosilación

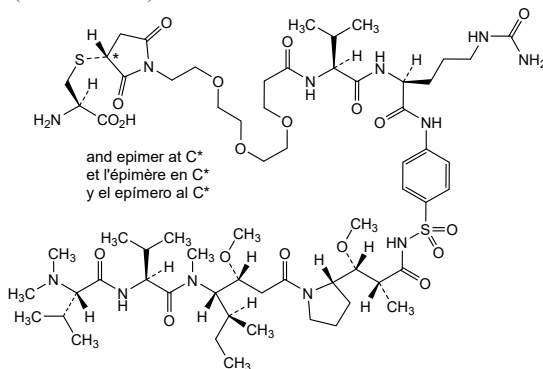
H CH2 N84.4: 303, 303"

Fucosylated complex bi-antennary CHO-type glycans / glycanes de type CHO bi-antennaires complexes fucosylés / glicanos de tipo CHO biantennarios complejos fucosilados

Potential modified residues / résidus modifiés potentiels / restos modificados potenciales\*

C (226, 232, 235, 215, 226", 232", 235", 215")

\*(zovodotin:mAb ~ 4:1)



**sefaxersenum**  
 sefaxersen

*all-P-ambo-5'-O-(28-[(2-acetamido-2-deoxy-β-D-galactopyranosyl)oxy]-16,16-bis{[3-({(2-acetamido-2-deoxy-β-D-galactopyranosyl)oxy}hexyl)amino]-3-oxopropoxy}methyl)-1-hydroxy-1,10,14,21-tetraoxo-2,18-dioxo-9,15,22-triaza-1λ<sup>5</sup>-phosphaoctacosan-1-yl)-2'-O-(2-methoxyethyl)-P-thioadenylyl-(3'→5')-2'-O-(2-methoxyethyl)-5-methyl-P-thiouridylyl-(3'→5')-2'-O-(2-methoxyethyl)-5-*

methyl-*P*-thiocytidylyl-(3'→5')-2'-*O*-(2-methoxyethyl)-5-methyl-*P*-thiocytidylyl-(3'→5')-2'-*O*-(2-methoxyethyl)-5-methyl-*P*-thiocytidylyl-(3'→5')-2'-deoxy-*P*-thioadenylyl-(3'→5')-2'-deoxy-5-methyl-*P*-thiocytidylyl-(3'→5')-2'-deoxy-*P*-thioguanilyl-(3'→5')-2'-deoxy-5-methyl-*P*-thiocytidylyl-(3'→5')-2'-deoxy-5-methyl-*P*-thiocytidylyl-(3'→5')-2'-deoxy-5-methyl-*P*-thiothymidylyl-(3'→5')-2'-deoxy-*P*-thioguanilyl-(3'→5')-*P*-thiothymidylyl-(3'→5')-2'-*O*-(2-methoxyethyl)-5-methyl-*P*-thiocytidylyl-(3'→5')-2'-*O*-(2-methoxyethyl)-5-methyl-*P*-thiocytidylyl-(3'→5')-2'-*O*-(2-methoxyethyl)-*P*-thioadenylyl-(3'→5')-2'-*O*-(2-methoxyethyl)-*P*-thioguanilyl-(3'→5')-2'-*O*-(2-methoxyethyl)-5-methylcytidine  
*complement factor B (CFB) synthesis reducer*

séfaxersen

*tout-P-ambo-5'-O*-(28-[(2-acétamido-2-désoxy-β-D-galactopyranosyl)oxy]-16,16-bis{[3-({6-[(2-acétamido-2-désoxy-β-D-galactopyranosyl)oxy]hexyl)amino]-3-oxopropoxy]méthyl}-1-hydroxy-1,10,14,21-tétraoxo-2,18-dioxa-9,15,22-triaza-1λ<sup>5</sup>-phosphaoctacosan-1-yl)-2'-*O*-(2-méthoxyéthyl)-*P*-thioadénylyl-(3'→5')-2'-*O*-(2-méthoxyéthyl)-5-méthyl-*P*-thiouridylyl-(3'→5')-2'-*O*-(2-méthoxyéthyl)-5-méthyl-*P*-thiocytidylyl-(3'→5')-2'-*O*-(2-méthoxyéthyl)-5-méthyl-*P*-thiocytidylyl-(3'→5')-2'-*O*-(2-méthoxyéthyl)-5-méthyl-*P*-thiocytidylyl-(3'→5')-2'-désoxy-*P*-thioadénylyl-(3'→5')-2'-désoxy-5-méthyl-*P*-thiocytidylyl-(3'→5')-2'-désoxy-*P*-thioguanilyl-(3'→5')-2'-désoxy-5-méthyl-*P*-thiocytidylyl-(3'→5')-2'-désoxy-5-méthyl-*P*-thiocytidylyl-(3'→5')-2'-désoxy-5-méthyl-*P*-thiocytidylyl-(3'→5')-2'-désoxy-5-méthyl-*P*-thiothymidylyl-(3'→5')-2'-désoxy-*P*-thioguanilyl-(3'→5')-*P*-thiothymidylyl-(3'→5')-2'-*O*-(2-méthoxyéthyl)-5-méthyl-*P*-thiocytidylyl-(3'→5')-2'-*O*-(2-méthoxyéthyl)-5-méthyl-*P*-thiocytidylyl-(3'→5')-2'-*O*-(2-méthoxyéthyl)-*P*-thioadénylyl-(3'→5')-2'-*O*-(2-méthoxyéthyl)-*P*-thioguanilyl-(3'→5')-2'-*O*-(2-méthoxyéthyl)-5-méthylcytidine  
*réducteur de la synthèse du facteur B du complément (FBC)*

sefaxersén

*todo-P-ambo-5'-O*-(28-[(2-acetamido-2-desoxi-β-D-galactopiranosil)oxil]-16,16-bis{[3-({6-[(2-acetamido-2-desoxi-β-D-galactopiranosil)oxi]hexil}amino)-3-oxopropoxi]metil}-1-hidroxi-1,10,14,21-tetraoxo-2,18-dioxa-9,15,22-triaza-1λ<sup>5</sup>-fosfaoctacosan-1-il)-2'-*O*-(2-metoxietil)-*P*-tioadenilil-(3'→5')-2'-*O*-(2-metoxietil)-5-metil-*P*-tiouridilil-(3'→5')-2'-*O*-(2-metoxietil)-5-metil-*P*-tiocitidilil-(3'→5')-2'-*O*-(2-metoxietil)-5-metil-*P*-tiocitidilil-(3'→5')-2'-*O*-(2-metoxietil)-5-metil-*P*-tiocitidilil-(3'→5')-2'-desoxi-*P*-tioadenilil-(3'→5')-2'-desoxi-5-metil-*P*-tiocitidilil-(3'→5')-2'-desoxi-*P*-tioguanilil-(3'→5')-2'-desoxi-5-metil-*P*-tiocitidilil-(3'→5')-2'-desoxi-5-metil-*P*-tiocitidilil-(3'→5')-2'-desoxi-5-metil-*P*-tiocitidilil-(3'→5')-2'-desoxi-5-metil-*P*-tiocitidilil-(3'→5')-2'-*O*-(2-metoxietil)-5-metil-*P*-tiocitidilil-(3'→5')-2'-*O*-(2-metoxietil)-5-metil-*P*-tiocitidilil-(3'→5')-2'-*O*-(2-metoxietil)-*P*-tioadenilil-(3'→5')-2'-*O*-(2-metoxietil)-*P*-tioguanilil-(3'→5')-2'-*O*-(2-metoxietil)-5-metilcitidina  
*reductor de la síntesis del factor B del complemento (CFB)*

$C_{296}H_{445}N_{77}O_{148}P_{20}S_{19}$ 

2272975-74-1

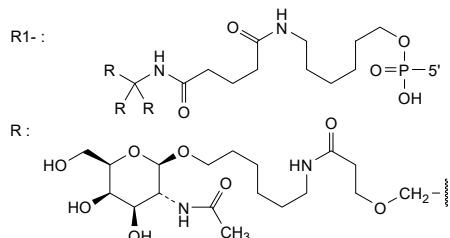
R1-Amoe=m<sup>5</sup>Umoe=m<sup>5</sup>Cmoe=m<sup>5</sup>Cmoe=m<sup>5</sup>Cmoe=dA=m<sup>5</sup>C<sub>d</sub>=dG=m<sup>5</sup>C<sub>d</sub>=m<sup>5</sup>C<sub>d</sub>=  
m<sup>5</sup>C<sub>d</sub>=m<sup>5</sup>C<sub>d</sub>=dT=dG=dT=m<sup>5</sup>Cmoe-m<sup>5</sup>Cmoe-Amoe=Gmoe=m<sup>5</sup>Cmoe

N : A,C,G,T,U

m<sup>5</sup>N : 5-methyl-N / 5-méthyl-N / 5-metil-NdN & N<sub>d</sub> : 2'-deoxy-N / 2'-désoxy-N / 2'-desoxi-N

Nmoe : 2'-O-(2-methoxyethyl)-N / 2'-O-(2-méthoxyéthyl)-N / 2'-O-(2-metoxietil)-N

- : -PO(OH)- = : -PO(SH)-

**segatroxabanum**

segatroxaban

5-chloro-*N*-{(2*S*)-2-[2-methyl-3-(2-oxopyrrolidin-1-yl)benzene-1-sulfonamido]-3-(4-methylpiperazin-1-yl)-3-oxopropyl}thiophene-2-carboxamide  
*blood coagulation factors Xa and IIa (thrombin) inhibitor*

ségatroxaban

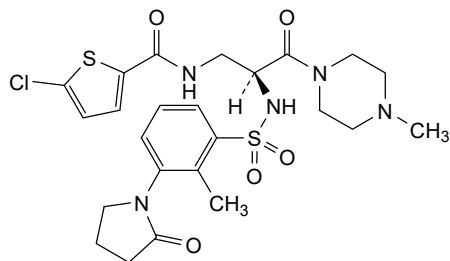
5-chloro-*N*-{(2*S*)-2-[2-méthyl-3-(2-oxopyrrolidin-1-yl)benzène-1-sulfonamido]-3-(4-méthylpipérazin-1-yl)-3-oxopropyl}thiophène-2-carboxamide  
*inhibiteur des facteurs de coagulation sanguine Xa et IIa (thrombine)*

segatroxabán

5-cloro-*N*-{(2*S*)-2-[2-metil-3-(2-oxopirrolidin-1-il)benzeno-1-sulfonamido]-3-(4-metilpiperazin-1-il)-3-oxopropil}tiofeno-2-carboxamida  
*inhibidor de los factores de coagulación sanguínea Xa y IIa (trombina)*

 $C_{24}H_{30}ClN_5O_5S_2$ 

1184300-63-7

**segigratinibum**

segigratinib

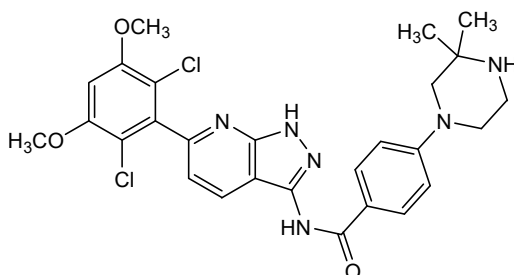
*N*-[6-(2,6-dichloro-3,5-dimethoxyphenyl)-1*H*-pyrazolo[3,4-*b*]pyridin-3-yl]-4-(3,3-dimethylpiperazin-1-yl)benzamide  
*fibroblast growth factor receptor tyrosine kinase inhibitor, antineoplastic*

ségigratinib *N*-[6-(2,6-dichloro-3,5-diméthoxyphényl)-1*H*-pyrazolo[3,4-*b*]pyridin-3-yl]-4-(3,3-diméthylpipérazin-1-yl)benzamide  
*inhibiteur de la tyrosine kinase du récepteur du facteur de croissance des fibroblastes, antinéoplasique*

segigratinib *N*-[6-(2,6-dicloro-3,5-dimetoxifenil)-1*H*-pirazolo[3,4-*b*]piridin-3-il]-4-(3,3-dimetilpipérazin-1-il)benzamida  
*inhibidor de la tirosina kinasa del receptor del factor de crecimiento de fibroblastos, antineoplásico*

C<sub>27</sub>H<sub>28</sub>Cl<sub>2</sub>N<sub>6</sub>O<sub>3</sub>

1882873-93-9



**sendegobresibum**  
sendegobresib

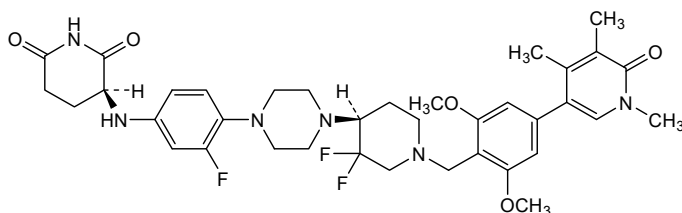
(4<sup>4</sup>*S*,8<sup>3</sup>*S*)-4<sup>3</sup>,4<sup>3</sup>,6<sup>2</sup>-trifluoro-2<sup>3</sup>,2<sup>5</sup>-diméthoxy-1<sup>1</sup>,1<sup>4</sup>,1<sup>5</sup>-triméthyl-7-aza-5(1,4)-pipérazina-1(3)-pyridina-4(1,4),8(3)-dipiperidina-2,6(1,4)-dibenzénaoctaphane-1<sup>6</sup>(1<sup>1</sup>*H*),8<sup>2</sup>,8<sup>6</sup>-trione  
*bromodomain-containing protein 9 (BRD9) degradation inducer, antineoplastic*

sendégobrésib (4<sup>4</sup>*S*,8<sup>3</sup>*S*)-4<sup>3</sup>,4<sup>3</sup>,6<sup>2</sup>-trifluoro-2<sup>3</sup>,2<sup>5</sup>-diméthoxy-1<sup>1</sup>,1<sup>4</sup>,1<sup>5</sup>-triméthyl-7-aza-5(1,4)-pipérazina-1(3)-pyridina-4(1,4),8(3)-dipiperidina-2,6(1,4)-dibenzénaoctaphane-1<sup>6</sup>(1<sup>1</sup>*H*),8<sup>2</sup>,8<sup>6</sup>-trione  
*inducteur de la dégradation de la protéine 9 contenant un bromodomaine (BRD9), antinéoplasique*

sendegobresib (4<sup>4</sup>*S*,8<sup>3</sup>*S*)-4<sup>3</sup>,4<sup>3</sup>,6<sup>2</sup>-trifluoro-1<sup>1</sup>,1<sup>4</sup>,1<sup>5</sup>-trimetil-2<sup>3</sup>,2<sup>5</sup>-dimetoxi-7-aza-5(1,4)-piperazina-1(3)-piridina-4(1,4),8(3)-dipiperidina-2,6(1,4)-dibencenaoctafano-1<sup>6</sup>(1<sup>1</sup>*H*),8<sup>2</sup>,8<sup>6</sup>-triona  
*inductor de la degradación de la proteína 9 que contiene un bromodominio (BRD9), antineoplásico*

C<sub>37</sub>H<sub>45</sub>F<sub>3</sub>N<sub>6</sub>O<sub>5</sub>

2704617-96-7



**setidegrasibum**

setidegrasib

(7*S*,9<sup>2</sup>*S*,9<sup>4</sup>*R*)-2<sup>6</sup>-cyclopropyl-2<sup>4</sup>-[(1*S*,4*S*)-2,5-diazabicyclo[2.2.1]heptan-2-yl]-1<sup>6</sup>-fluoro-9<sup>4</sup>-hydroxy-*N*-{[(1*R*)-2-hydroxy-1-[4-(4-methyl-1,3-thiazol-5-yl)phenyl]ethyl]-1<sup>5</sup>-methyl-2<sup>2</sup>-[(oxan-4-yl)oxy]-8-oxo-7-(propan-2-yl)-1<sup>1</sup>*H*-3-oxa-2(7,8)-quinazolina-1(4)-indazola-6(4,1)-[1,2,3]triazola-9(1)-pyrrolidina-5(1,4)-benzenanonaphane-9<sup>2</sup>-carboxamide  
*Kirsten rat sarcoma viral oncogene homologue (KRAS) degradation inducer, antineoplastic*

sétidégrasib

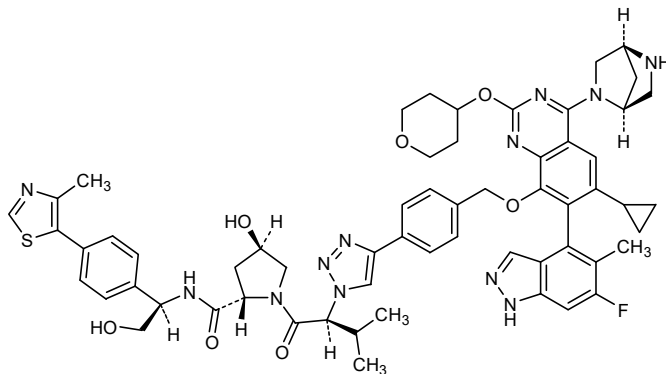
(7*S*,9<sup>2</sup>*S*,9<sup>4</sup>*R*)-2<sup>6</sup>-cyclopropyl-2<sup>4</sup>-[(1*S*,4*S*)-2,5-diazabicyclo[2.2.1]heptan-2-yl]-1<sup>6</sup>-fluoro-9<sup>4</sup>-hydroxy-*N*-{[(1*R*)-2-hydroxy-1-[4-(4-méthyl-1,3-thiazol-5-yl)phényl]éthyl]-1<sup>5</sup>-méthyl-2<sup>2</sup>-[(oxan-4-yl)oxy]-8-oxo-7-(propan-2-yl)-1<sup>1</sup>*H*-3-oxa-2(7,8)-quinazolina-1(4)-indazola-6(4,1)-[1,2,3]triazola-9(1)-pyrrolidina-5(1,4)-benzénanonaphane-9<sup>2</sup>-carboxamide  
*inducteur de dégradation de l'homologue de l'oncogène viral du sarcome de rat de Kirsten (KRAS), antinéoplasique*

setidegrasib

(7*S*,9<sup>2</sup>*S*,9<sup>4</sup>*R*)-2<sup>6</sup>-ciclopropil-2<sup>4</sup>-[(1*S*,4*S*)-2,5-diazabicyclo[2.2.1]heptan-2-il]-1<sup>6</sup>-fluoro-9<sup>4</sup>-hidroxi-*N*-{[(1*R*)-2-hidroxi-1-[4-(4-metil-1,3-tiazol-5-il)fenil]etil]-1<sup>5</sup>-metil-2<sup>2</sup>-[(oxan-4-il)oxil]-8-oxo-7-(propan-2-il)-1<sup>1</sup>*H*-3-oxa-2(7,8)-quinazolina-1(4)-indazola-6(4,1)-[1,2,3]triazola-9(1)-pirrolidina-5(1,4)-bencenanonafano-9<sup>2</sup>-carboxamida  
*inductor de degradación del homólogo del oncogén viral del sarcoma de rata de Kirsten (KRAS), antineoplásico*

C<sub>60</sub>H<sub>65</sub>FN<sub>12</sub>O<sub>7</sub>S

2821793-99-9

**siltartoxatugum #**

siltartoxatug

immunoglobulin G1-kappa, anti-*[Clostridium tetani* tetanus toxin (TeNT)], *Homo sapiens* monoclonal antibody;  
H-gamma1 heavy chain *Homo sapiens* (1-448) [VH (*Homo sapiens* IGHV4-34\*09 (86.6%) -(IGHD) -IGHJ4\*01 (100%), CDR-IMGT [8.7.12] (26-33.51-57.96-107)) (1-118) -*Homo sapiens* IGHG1\*03 (100%), G1m3, nG1m1 CH1 R120, CH3 E12, M14 (CH1 R120 (215) (119-216), hinge 1-15 (217-231), CH2 (232-341), CH3 E12 (357), M14 (359) (342-446), CHS (447-448)) (119-448)], (221-214')-disulfide with L-kappa light chain *Homo sapiens* (1'-214') [V-KAPPA (*Homo sapiens* IGKV1-5\*03 (90.4%) -IGKJ2\*01 (100%), CDR-IMGT [6.3.9] (27'-32'.50'-52'.89'-97')) (1'-107') -*Homo sapiens* IGKC\*01 (100%), Km3, A45.1 (153'), V101 (191') (108'-214')]; dimer (227-227'':230-230'')-bisdisulfide, produced in Chinese hamster ovary (CHO) cells, cell line CHO-K1 lacking the glutamine synthetase (GS-KO) gene, glycoform alfa, produced in Chinese hamster ovary (CHO) cells, cell line CHO-K1 lacking the glutamine synthetase (GS-KO) gene, glycoform alfa  
*antitoxin*

- siltartoxatug immunoglobuline G1-kappa, anti-[*Clostridium tetani* toxine tétanique (TeNt)]; anticorps monoclonal *Homo sapiens*; chaîne lourde H-gamma1 *Homo sapiens* (1-448) [VH (*Homo sapiens* IGHV4-34\*09 (86.6%) -(IGHD) -IGHJ4\*01 (100%), CDR-IMGT [8.7.12] (26-33.51-57.96-107)) (1-118) -*Homo sapiens* IGHG1\*03 (100%), G1m3, nG1m1 CH1 R120, CH3 E12, M14 (CH1 R120 (215) (119-216), charnière 1-15 (217-231), CH2 (232-341), CH3 E12 (357), M14 (359) (342-446), CHS (447-448))] (119-448)], (221-214')-disulfure avec la chaîne légère L-kappa *Homo sapiens* (1'-214') [V-KAPPA (*Homo sapiens* IGKV1-5\*03 (90.4%) -IGKJ2\*01 (100%), CDR-IMGT [6.3.9] (27'-32'.50'-52'.89'-97')) (1'-107') -*Homo sapiens* IGKC\*01 (100%), Km3, A45.1 (153'), V101 (191') (108'-214')]; dimère (227-227'':230-230'')-bisdisulfure, produit dans des cellules ovariennes de hamster chinois (CHO), lignée cellulaire CHO-K1 ne présentant pas le gène de la glutamine synthétase (GS-KO), glycoforme alfa  
*antitoxine*
- siltartoxatug inmunoglobulina G1-kappa, anti-[*Clostridium tetani* toxina tetánica (TeNt)]; anticuerpo monoclonal *Homo sapiens*; cadena pesada H-gamma1 *Homo sapiens* (1-448) [VH (*Homo sapiens* IGHV4-34\*09 (86.6%) -(IGHD) -IGHJ4\*01 (100%), CDR-IMGT [8.7.12] (26-33.51-57.96-107)) (1-118) -*Homo sapiens* IGHG1\*03 (100%), G1m3, nG1m1 CH1 R120, CH3 E12, M14 (CH1 R120 (215) (119-216), bisagra 1-15 (217-231), CH2 (232-341), CH3 E12 (357), M14 (359) (342-446), CHS (447-448))] (119-448)], (221-214')-disulfuro con la cadena ligera L-kappa *Homo sapiens* (1'-214') [V-KAPPA (*Homo sapiens* IGKV1-5\*03 (90.4%) -IGKJ2\*01 (100%), CDR-IMGT [6.3.9] (27'-32'.50'-52'.89'-97')) (1'-107') -*Homo sapiens* IGKC\*01 (100%), Km3, A45.1 (153'), V101 (191') (108'-214')]; dímero (227-227'':230-230'')-bisdisulfuro, producido en las células ováricas de hámster chino (CHO), línea celular CHO-K1 en ausencia del gen glutamina sintetasa (GS-KO), forma glicosilada alfa  
*antitoxina*

2841700-23-8

## Heavy chain / Chaîne lourde / Cadena pesada

QVQLQESGAG	LVKPSETLSL	TCGVAGGPFPT	GSYLSWIRQP	PGKGLEWIGE	50
VSQSGSTSYN	PSLKSRTVIS	VDTSKSKQFSL	KLSSVTAADT	AVYYCARLTK	100
HYINSAYWQG	GTLVTVSSAS	TRGPSVFPFLA	PSSKSTSGGT	AALGCLVKDY	150
FPEPVTVSWN	SGALTSQVHT	FPAVLQSSGL	YLSLVVTVTP	SSSLGTQTYI	200
CNVNHPKPSNT	KVDKRVPEPKS	CDKTHTCPPC	PAPELLGGPS	VFLFPPKPKD	250
TLMI SRTPEV	TCVVVDVSHE	DPEVKFNWYV	DGVEVHNAKT	KPREEQYNST	300
YRVVSVLTVL	HQDWLNGKEY	KCKVSNKALP	APIEKTI SKA	KGPQREPVQY	350
TLPPSRREEMT	KNQVSLTCLV	KGFYPSDIAV	EWESNGQPEN	NYKTTTPVLD	400
SDGSFFFLYSK	LTVDKSRNQQ	GNV FSCSVMH	EALHNHYTQK	SLSLSPGK	448

## Light chain / Chaîne légère / Cadena ligera

DIQMTQSPSI	LSASVGDRTV	ITCRASQIIG	SWLAWYQQK	GKAPTLVIYK	50
ASRLDSGVP	RFSGTESGTE	FLLTISSLQP	DDFATYYCQQ	YNSYPTTFGQ	100
GTKLEIKRTV	AAPSVFIFPP	SDEQLKSGTA	SVCCLLNFEY	FREAKVQWKV	150
DNALQSGNSQ	ESVTEQDSKD	STYLSLSTLT	LSKADYEKHK	VYACEVTHQG	200
LSSPVTKSFN	RGEC				214

## Post-translational modifications

Disulfide bridges location / Position des ponts disulfure / Posiciones de los puentes disulfuro

Intra-H (C23-C104)	22-95	145-201	262-322	368-426
	22"-95"	145"-201"	262"-322"	368"-426"

Intra-L (C23-C104)	23'-88'	134'-194'
	23'''-88'''	134'''-194'''

Inter-H-L (h 5-CL 126) 221'-214' 221"-214"

Inter-H-H (h 11, h 14) 227'-227" 230-230"

N-terminal glutaminyl cyclization / Cyclisation du glutaminyle N-terminal / Ciclación del glutaminilo N-terminal

Q > pyroglutamyl (pE, 5-oxopropyl) / pyroglutamyle (pE, 5-oxopropyle) / piroglutamilo (pE, 5-oxopropilo)  
H VH Q1: 1, 1"

N-glycosylation sites / Sites de N-glycosylation / Posiciones de N-glicosilación

H CH2 N84.4: 298, 298"

Fucosylated complex bi-antennary CHO-type glycans / glycanes de type CHO bi-antennaires complexes fucosylés / glicanos de tipo CHO biantenarijos complejos fucosilados

C-terminal lysine clipping / Coupure de la lysine C-terminale / Recorte de lisina C-terminal  
H CHS K2: 448, 448"

**sitokirenum**

sitokiren

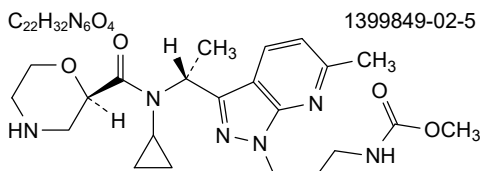
methyl [3-(3-((1*R*)-1-[(2*R*)-*N*-cyclopropylmorpholine-2-carboxamido]ethyl)-6-methyl-1*H*-pyrazolo[3,4-*b*]pyridin-1-yl)propyl]carbamate  
*renin inhibitor*

sitokirène

[3-(3-((1*R*)-1-[(2*R*)-*N*-cyclopropylmorpholine-2-carboxamido]éthyl)-6-méthyl-1*H*-pyrazolo[3,4-*b*]pyridin-1-yl)propyl]carbamate de méthyle  
*inhibiteur de la rénine*

sitokireno

[3-(3-((1*R*)-1-[(2*R*)-ciclopropilmorfolina-2-carboxamido]etil)-6-metil-1*H*-pirazolo[3,4-*b*]piridin-1-il)propil]carbamato de metilo  
*inhibidor de la renina*

**sonavibartum #**

sonavibart

immunoglobulin G1-kappa, anti-[influenza A virus hemagglutinin HA], *Homo sapiens* monoclonal antibody;

H-gamma1 heavy chain *Homo sapiens* (1-458) [VH (*Homo sapiens* IGHV6-1\*01 (95.0%) -(IGHD) - IGHJ3\*02 (93.8%), CDR-IMGT [10.9.18] (26-35.53-61.100-117)) (1-128) -*Homo sapiens* IGHG1\*03, G1m3, nG1m1 CH1 R120, CH3 E12, M14, G1v24 CH3 L107, S114 (CH1 R120 (225) (129-226), hinge 1-15 (227-241), CH2 (242-351), CH3 E12 (367), M14 (369), M107>L (439), N114>S (445) (352-456), CHS (457-458)) (129-458)], (231-210')-disulfide with L-kappa light chain *Homo sapiens* (1'-210') [V-KAPPA (*Homo sapiens* IGKV1-39\*01 (91.4%) -IGKJ1\*01 (100%), CDR-IMGT [6.3.5] (27'-32'.50'-52'.89'-93')) (1'-103') -*Homo sapiens* IGKC\*01 (100%), Km3 A45.1 (149'), V101 (187') (104'-210')]; dimer (237-237":240-240")-bisdisulfide, produced in Chinese hamster ovary (CHO) cells, cell line CHO-K1, glycoform alfa  
*antiviral*

sonavibart

immunoglobuline G1-kappa, anti-[hémagglutinine HA du virus de la grippe A], anticorps monoclonal *Homo sapiens*;

chaîne lourde H-gamma1 *Homo sapiens* (1-458) [VH (*Homo sapiens* IGHV6-1\*01 (95.0%) -(IGHD) - IGHJ3\*02 (93.8%), CDR-IMGT [10.9.18] (26-35.53-61.100-117)) (1-128) -*Homo sapiens* IGHG1\*03, G1m3, nG1m1 CH1 R120, CH3 E12, M14, G1v24 CH3 L107, S114 (CH1 R120 (225) (129-226), charnière 1-15 (227-241), CH2 (242-351), CH3 E12 (367), M14 (369), M107>L (439), N114>S (445) (352-456), CHS (457-458)) (129-458)], (231-210')-disulfure

avec la chaîne légère L-kappa *Homo sapiens* (1'-210') [V-KAPPA (*Homo sapiens* IGKV1-39\*01 (91.4%) -IGKJ1\*01 (100%), CDR-IMGT [6.3.5] (27'-32'.50'-52'.89'-93')) (1'-103') -*Homo sapiens* IGKC\*01 (100%), Km3 A45.1 (149'), V101 (187') (104'-210')]; dimère (237-237":240-240")-bisdisulfure, produit dans des cellules ovariennes de hamster chinois (CHO), lignée cellulaire CHO-K1, glycoforme alfa *antiviral*

sonavibart

inmunoglobulina G1-kappa, anti-[hemagglutina HA del virus de la gripe A], anticuerpo monoclonal *Homo sapiens*; cadena pesada H-gamma1 *Homo sapiens* (1-458) [VH (*Homo sapiens*IGHV6-1\*01 (95.0%) -IGHD) -IGHJ3\*02 (93.8%), CDR-IMGT [10.9.18] (26-35.53-61.100-117)) (1-128) -*Homo sapiens*IGHG1\*03, G1m3, nG1m1 CH1 R120, CH3 E12, M14, G1v24 CH3 L107, S114 (CH1 R120 (225) (129-226), bisagra 1-15 (227-241), CH2 (242-351), CH3 E12 (367), M14 (369), M107>L (439), N114>S (445) (352-456), CHS (457-458)) (129-458)], (231-210')-disulfuro con la cadena ligera L-kappa *Homo sapiens* (1'-210') [V-KAPPA (*Homo sapiens* IGKV1-39\*01 (91.4%) -IGKJ1\*01 (100%), CDR-IMGT [6.3.5] (27'-32'.50'-52'.89'-93')) (1'-103') -*Homo sapiens* IGKC\*01 (100%), Km3 A45.1 (149'), V101 (187') (104'-210')]; dímero (237-237":240-240")-bisdisulfuro, producido en las células ováricas de hámster chino (CHO), línea celular CHO-K1, forma glicosilada alfa *antiviral*

2769699-23-0

Heavy chain / Chaîne lourde / Cadena pesada : H-gamma1 (H, H") anti-influenza A virus hemagglutinin HA  
 QVQLQQSGPG LVKPSQTLSL TCAISGDSVS SYNAVNNWIR QSPSRGLEWL 50  
 GRTYRSGWY NDYAESVKSR ITINPDTSKN QFSLQLNSVT PEDTAVYYCA 100  
 RSGHIVFVGV NVDADFMMWQ GTMVTVSSAS TKGPSVFPLA PPSKSTSGGT 150  
 AALGCLVKDY FPEFVTVSWN SGALTSQVHT FPAVLQSSGL YSLSSVVTVP 200  
 SSSLGTQTYI CNVNHKPSNT KVDKRVPEKS CDKTHTCPPC PAPELLGGPS 250  
 VFLFPKPKD TLMISRTPEV TCVVVDVSH EDPVKFNWYV DGEVHNHAKT 300  
 KPREEQYNT YRVVSVLTVL HQDWLNGKEY KCKVSNKALP APIEKTISKA 350  
 KGQPREPQVY TLPFSREEMT KNQVSLTCLV KGFYPSDIAV EWESNGQPEN 400  
 NYKTTPEVLD SDGSFFLYSK LTVDKSRWQQ GNVFSCSVLH EALHSHYTKG 450  
 SLSLSPGK 458

Light chain / Chaîne légère / Cadena ligera : L-kappa (L, L") anti-influenza A virus hemagglutinin HA  
 DIQMTQSPSS LSASVGDRTV ITCRTSQSLS SYTHWYQQKPK GKAPKLLIYA 50  
 ASSRSGVPS RFSGSGSGTD FTLTISSLQP EDFATYVYCCQ SRTFGGQTKV 100  
 EIKRTVAAPS VFIFPPSDEQ LKSGTASVVC LLNNFYPREA KVQWKVDNAL 150  
 QSGNSQESVTE EQDQSKDSTYS LSSTLTLSKA DYEKHKVYAC EVTHQGLSSP 200  
 VTKSFNRGEC 210

**Post-translational modifications**

Disulfide bridges location / Position des ponts disulfure / Posiciones de los puentes disulfuro

Intra-H (C23-C104) 22"-99 155"-211" 272"-332 378"-436  
 22"-99" 155"-211" 272"-332" 378"-436"

Intra-L (C23-C104) 23"-88" 130"-190"  
 23"-88" 130"-190"

Inter-H-L (h 5-CL 126) 231-210' 231"-210"

Inter-H-H (h 11, h 14) 237-237" 240-240"

N-terminal glutaminyl cyclization / Cyclisation du glutaminyle N-terminal / Ciclación del glutaminilo N-terminal

Q > pyroglutamyl (pE, 5-oxoprolyl) / pyroglutamide (pE, 5-oxoprolyle) / piroglutamilo (pE, 5-oxoproliilo)  
 H VH Q1: 1, 1"

N-glycosylation sites / Sites de N-glycosylation / Posiciones de N-glicosilación

H CH2 N84.4: 308, 308"

Fucosylated complex bi-antennary CHO-type glycans / glycanes de type CHO bi-antennaires complexes fucosylés / glicanos de tipo CHO biantenaricos complejos fucosilados

C-terminal lysine clipping / Coupeure de la lysine C-terminale / Recorte de lisina C-terminal

H CHS K2: 458, 458"



**sonefpeglutidum #**  
sonefpeglutide

glucagon-like peptide 2 (GLP-2) analogue, conjugated through a 3.4 kDa polyethylene glycol (PEG) linker (n ~ 75) to an Fc portion dimer of human immunoglobulin G4 (IgG4);  
 $N^{1.1}$ -(3- $\alpha$ -[3-([Ala<sup>2</sup>>N-[(1H-imidazol-4-yl)acetyl]Gly<sup>1</sup>,Lys<sup>30</sup>>Arg<sup>29</sup>]glucagon like peptide 2 (2-33)-peptidyl (1-32)-L-lysine (33))-N<sup>6.33</sup>-yl)propyl]poly(oxyethylene)-w-oxy)propyl][immunoglobulin G4 heavy chain constant region C-terminal 221-peptide dimer (3-3')-disulfide], non-glycosylated, immunoglobulin fragment dimer produced in *Escherichia coli*  
*glucagon-like peptide 2 (GLP-2) receptor agonist*

sonefpéglutide

analogue du peptide-2 similaire au glucagon (GLP-2), conjugué par un linker polyéthylène glycol (PEG) de 3,4 kDa (n ~ 75) à un dimère de fragment Fc d'immunoglobuline G4 (IgG4) humaine;  
 $N^{1.1}$ -(3- $\alpha$ -[3-([Ala<sup>2</sup>>N-[(1H-imidazol-4-yl)acétyl]Gly<sup>1</sup>,Lys<sup>30</sup>>Arg<sup>29</sup>]peptide-2 similaire au glucagon (2-33)-peptidyl (1-32)-L-lysine (33))-N<sup>6.33</sup>-yl)propyl]poly(oxyéthylène)-w-oxy)propyl][peptide de 221 acides aminés de la région constante C-terminale de la chaîne lourde d'immunoglobuline G4, dimère (3-3')-disulfure], non-glycosylé, dimère du fragment d'immunoglobuline produit par *Escherichia coli*  
*agoniste du récepteur du peptide 2 de type glucagon (GLP-2)*

sonefpeglutida

análogo del péptido similar al glucagón tipo 2 (GLP-2), conjugado a través de un enlace polietileno glicol (PEG) de 3,4 kDa (n ~ 75) a un dímero del fragmento Fc de la inmunoglobulina G4 (IgG4) humana;  
 $N^{1.1}$ -(3- $\alpha$ -[3-([Ala<sup>2</sup>>N-[(1H-imidazol-4-il)acetil]Gly<sup>1</sup>,Lis<sup>30</sup>>Arg<sup>29</sup>]péptido similar al glucagón tipo 2 (2-33)-peptidil (1-32)-L-lisina (33))-N<sup>6.33</sup>-yl)propil]poli(oxielileno)-w-oxi]propil][péptido de 221 aminoácidos de la región constante C-terminal de la cadena pesada de la inmunoglobulina G4, dímero (3-3')-disulfuro], no glicosilado, dímero del fragmento de la inmunoglobulina producido por *Escherichia coli*  
*agonista del receptor del péptido 2 similar al glucagón (GLP-2)*

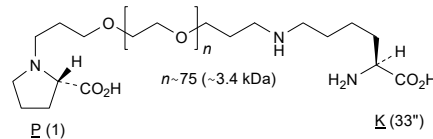
2854391-99-2

Monomer / Monomère / Monómero IgG4 Fc  
 PSCPAPEFLG GPSVFLFPK PKDTLMISRT PEVTCVVVDV SQEDPEVQFN 50  
 WYVDGVEVHN AKTKPREEQF NSTYRVVSVL TVLHQDWLNG KEYKCKVSNK 100  
 GLPSSIEKTI SKAKGQPREP QVYTLPPSQE EMTKNQVSLT CLVKGFYPSD 150  
 IAVENEENGQ PENNYKTPF VLDSDGSFPL YSRITVDKSR WQEGNVFSCS 200  
 VMHEALHNHY TQKSLSLSLG K 221

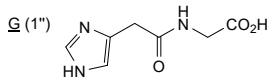
Conjugated peptide / Peptide conjugué / Péptido conjugado  
 GDGSFSDEMN TILDNLAARD FINWLIQTRI TDK 33

Disulfide bridges location / Position des ponts disulfure / posiciones de los puentes disulfuro  
 Intra-chain 35-95 141-199  
 35'-95' 141'-199'  
 Inter-chain 3-3'

PEG bridge location / Position du pont PEG / Posición del puente PEG  
 P (1)-K (33'')



Modified residue / Résidu modifié / Resto modificado



**soquelitinibum**

soquelitinib

*N*-[5-({4-methoxy-2-méthyl-5-[(3*R*)-3-méthyl-4-(prop-2-énoyl)-1,4-diazépane-1-carbonyl]phényl)sulfanyl)-1,3-thiazol-2-yl]cyclopropane-1-carboxamide  
*tyrosine kinase inhibitor, antineoplastic*

soquélitinib

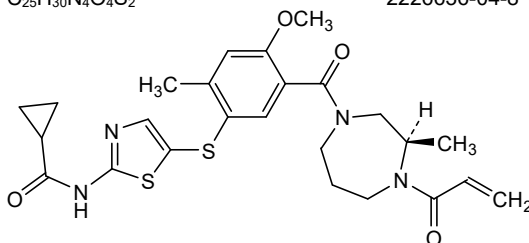
*N*-[5-({4-méthoxy-2-méthyl-5-[(3*R*)-3-méthyl-4-(prop-2-énoyl)-1,4-diazépane-1-carbonyl]phényl)sulfanyl)-1,3-thiazol-2-yl]cyclopropane-1-carboxamide  
*inhibiteur de la tyrosine kinase, antinéoplasique*

soquelitinib

*N*-[5-({2-metil-5-[(3*R*)-3-metil-4-(prop-2-énoil)-1,4-diazepano-1-carbonil]-4-metoxifenil)sulfanil)-1,3-tiazol-2-il]ciclopropano-1-carboxamida  
*inhibidor de la tirosina kinasa, antineoplásico*

C<sub>25</sub>H<sub>30</sub>N<sub>4</sub>O<sub>4</sub>S<sub>2</sub>

2226636-04-8

**spunoleucelum**

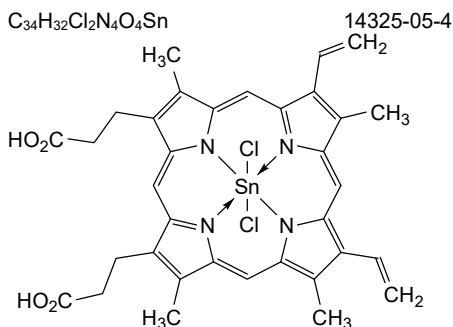
spunoleucel

allogeneic peripheral blood mononuclear cells (PBMCs) isolated by apheresis from donors seropositive for respiratory syncytial virus (RSV), influenza A virus, human metapneumovirus (hMPV) and parainfluenza virus (PIV). The PBMCs are co-cultured with viral peptide mixes spanning immunogenic antigens from RSV (N, F), influenza A (NP1, MP1), PIV (M, HN, N, F), and hMPV (F, N, M2-1, M) in media containing human AB serum, interleukin 4 (IL-4) and interleukin 7 (IL-7). The final cell population consists of ≥ 90% CD3+ T lymphocytes (mix of CD4+/CD8+ T lymphocytes). The cells produce interferon gamma (IFN-γ) in response to stimulation with RSV, influenza A, hMPV and PIV specific peptides. Cells are stored according to human leukocyte antigen (HLA) type  
*cell therapy (immunomodulator)*

spunoleucel

cellules mononucléaires de sang périphérique (PBMC) allogéniques isolées par aphérese à partir de donneurs séropositifs pour le virus respiratoire syncytial (VRS), le virus de la grippe A, le métapneumovirus humain (MPVh) et le virus de la parainfluenza (PIV). Les PBMC sont co-cultivées avec des mélanges de peptides viraux couvrant les antigènes immunogènes du VRS (N, F), de la grippe A (NP1, MP1), du PIV (M, HN, N, F) et du MPVh (F, N, M2-1, M) dans des milieux contenant du sérum AB humain, de l'interleukine 4 (IL-4) et de l'interleukine 7 (IL-7).

espunoleucel	<p>La population cellulaire finale est composée de <math>\geq 90\%</math> de lymphocytes T CD3+ (mélange de lymphocytes T CD4+/CD8+). Les cellules produisent de l'interféron gamma (IFN-<math>\gamma</math>) en réponse à une stimulation par des peptides spécifiques du VRS, de la grippe A, du MPVh et du PIV. Les cellules sont stockées en fonction du type d'antigène leucocytaire humain (HLA). <i>thérapie cellulaire (immunomodulateur)</i></p>
	<p>células mononucleares de sangre periférica (PBMCs) alogénicas aisladas mediante aféresis de donantes seropositivos para el virus respiratorio sincitial (VRS), el virus influenza A, el metaneumovirus humano (hMPV) y el virus parainfluenza (PIV). Las PBMCs se cocultivan con mezclas de péptidos virales que cubren antígenos inmunogénicos de VRS (N, F), influenza A (NP1, MP1), PIV (M, HN, N, F) y hMPV (F, N, M2-1, M) en medio que contiene suero AB humano, interleuquina 4 (IL-4) e interleuquina 7 (IL-7). La población celular final consiste en <math>\geq 90\%</math> linfocitos T CD3+ (mezcla de linfocitos T CD4+/CD8+). Las células producen interferón gamma (IFN-<math>\gamma</math>) en respuesta a la estimulación con péptidos específicos de VRS, influenza A, hMPV y PIV. Las células se almacenan de acuerdo al tipo de antígeno leucocitario humano (HLA). <i>terapia celular (inmunomodulador)</i></p>
<b>protoporfina stannica</b> stannic protoporphin	<p>(OC-6-13)-[2,18-bis(2-carboxyethyl)-8,13-diethenyl-3,7,12,17-tetramethylporphyrin-21,23-diido-<math>\kappa^4 N^{21}, N^{22}, N^{23}, N^{24}</math>]dichloridotin <i>heme oxygenase inhibitor</i></p>
protoporfine stannique	<p>(OC-6-13)-[2,18-bis(2-carboxyéthyl)-8,13-diéthényl-3,7,12,17-tétraméthylporphyrine-21,23-diido-<math>\kappa^4 N^{21}, N^{22}, N^{23}, N^{24}</math>]dichloridoétain <i>inhibiteur de l'hème oxygénase</i></p>
protoporfina de estaño	<p>(OC-6-13)-[2,18-bis(2-carboxietil)-8,13-dietenil-3,7,12,17-tetrametilporfirina-21,23-diido-<math>\kappa^4 N^{21}, N^{22}, N^{23}, N^{24}</math>]dicloridoestaño <i>inhibidor de la hemo oxigenasa</i></p>



**sumecigrelum**

sumecigrel

methyl (S)-[2-(acetyloxy)-6,7-dihydrothieno[3,2-c]pyridin-5(4H)-yl](2-chlorophenyl)acetate  
*platelet aggregation inhibitor*

sumécigrel

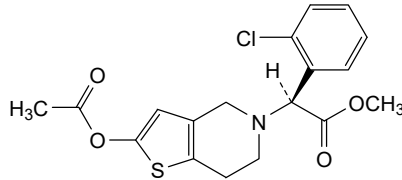
(S)-[2-(acétyloxy)-6,7-dihydrothiéno[3,2-c]pyridin-5(4H)-yl](2-chlorophényl)acétate de méthyle  
*antiagrégant plaquettaire*

sumecigrel

(S)-[2-(acetiloxi)-6,7-dihidrotieno[3,2-c]piridin-5(4H)-il](2-clorofenil)acetato de metilo  
*inhibidor de la agregación plaquetaria*

C<sub>18</sub>H<sub>18</sub>ClNO<sub>4</sub>S

1314081-53-2

**surabgenum lomparvecum #**

surabgene lomparvec

recombinant, non-replicating adeno-associated virus serotype 8 (rAAV8) vector encoding a soluble humanised anti-vascular endothelial growth factor (VEGF) antibody fragment (Fab) under control of a hybrid cytomegalovirus (CMV) immediate-early enhancer/chicken  $\beta$ -actin promoter, enhanced by a chicken  $\beta$ -actin intron and terminated by a rabbit  $\beta$ -globin polyadenylation signal. The heavy and light chains of the Fab are separated by a self-cleaving furin /F2A linker and the transgene is flanked by adeno-associated virus 2 (AAV2) inverted terminal repeats (ITRs)  
*gene therapy (angiogenesis inhibitor)*

surabgène lomparvec

vecteur recombinant et non répliquant du virus adéno-associé de sérotype 8 (rAAV8) codant un fragment d'anticorps humanisé soluble dirigé contre le facteur de croissance de l'endothélium vasculaire (VEGF) sous le contrôle d'un amplificateur immédiat et précoce hybride du cytomégalovirus (CMV)/promoteur de la  $\beta$ -actine de poulet, amplifié par un intron de la  $\beta$ -actine de poulet et terminé par un signal de polyadénylation de la  $\beta$ -globine de lapin. Les chaînes lourdes et légères du Fab sont séparées par un coupleur furine/F2A auto-clivant et le transgène est flanqué de répétitions terminales inversées (ITR) du virus adéno-associé 2 (AAV2)  
*thérapie génique (inhibiteur de l'angiogénèse)*

surabgén lomparovec

vector de virus adenoasociado del serotipo 8 recombinante (rAAV8), no replicativo, que codifica para un fragmento soluble de anticuerpo (Fab) humanizado anti-factor de crecimiento del endotelio vascular (VEGF) bajo el control de un híbrido del potenciador inmediato-temprano de citomegalovirus (CMV) /promotor de la  $\beta$ -actina de pollo, potenciado por un intron de la  $\beta$ -actina de pollo y terminado con una señal de poliadenilación de la  $\beta$ -globina de conejo. Las cadenas pesada y ligera del Fab están separadas por un enlazador de auto-escisión de furina/F2A y el transgén está flanqueado por repeticiones terminales invertidas (ITRs) del virus adenoasociado 2 (AAV2)

*terapia génica (inhibidor de la angiogénesis)*

2374935-18-7

**surlorianum**

surlorian

4-[(7-methoxy-2,3-dihydro-1,4-benzothiazepin-4(5H)-yl)methyl]benzoic acid  
*ryanodine receptor (RyR) stabilizer*

surlorian

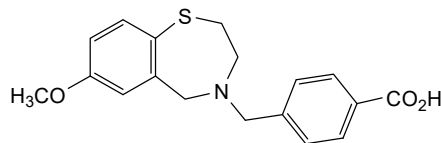
acide 4-[(7-méthoxy-2,3-dihydro-1,4-benzothiazépin-4(5H)-yl)méthyl]benzoïque  
*stabilisateur du récepteur de la ryanodine (RyR)*

surlorián

ácido 4-[(7-metoxi-2,3-dihidro-1,4-benzotiazepin-4(5H)-il)metil]benzoico  
*estabilizador del receptor de rianodina (RyR)*

C<sub>18</sub>H<sub>19</sub>NO<sub>3</sub>S

1467605-57-7

**surzetoclaxum**

surzetoclax

4-[(4aS,10aR)-14-(4-chlorophenyl)-12,12-dimethyl-1,2,4a,5,8,9,10a,11,13,15-decahydro-7H,12H-pyrazino[2,1-g][1,5,8]benzodioxazacycloundecin-3(4H)-yl]-2-(3,4-dihydro-2H-pyrrolo[3',2':5,6]pyrido[2,3-b][1,4]oxazepin-1(7H)-yl)-N-[4-({(2S,5R)-5-methoxyoxan-2-yl)methyl}amino]-3-nitrobenzene-1-sulfonyl]benzamide  
*B-cell lymphoma 2 (Bcl-2) inhibitor, antineoplastic*

surzétoclox

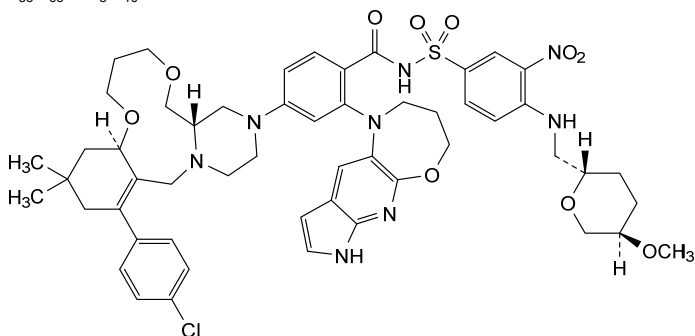
4-[(4a*S*,10a*R*)-14-(4-chlorophényl)-12,12-diméthyl-1,2,4a,5,8,9,10a,11,13,15-décahydro-7*H*,12*H*-pirazino[2,1-*g*][1,5,8]benzodioxazacycloundécin-3(4*H*)-yl]-2-(3,4-dihydro-2*H*-pyrrolo[3',2':5,6]pyrido[2,3-*b*][1,4]oxazépin-1(7*H*)-yl)-*N*-[4-(((2*S*,5*R*)-5-méthoxyoxan-2-yl)méthyl)amino]-3-nitrobenzène-1-sulfonyl]benzamide  
*inhibiteur du lymphome 2 à cellules B (Bcl-2), antinéoplasique*

surzetoclox

4-[(4a*S*,10a*R*)-14-(4-clorofenil)-12,12-diméthil-1,2,4a,5,8,9,10a,11,13,15-decahidro-7*H*,12*H*-pirazino[2,1-*g*][1,5,8]benzodioxazacicloundecin-3(4*H*)-il]-2-(3,4-dihidro-2*H*-pirrolo[3',2':5,6]pirido[2,3-*b*][1,4]oxazépin-1(7*H*)-il)-*N*-[4-(((2*S*,5*R*)-5-metoxioxan-2-il)méthil)amino]-3-nitrobencono-1-sulfonil]benzamide  
*inhibidor del linfoma 2 de células B (Bcl-2), antineoplásico*

C<sub>53</sub>H<sub>63</sub>ClN<sub>8</sub>O<sub>10</sub>S

2858632-01-4

**suvadronabinolum**

suvadronabinol

4-[[[(2*S*)-3-méthyl-1-oxo-1-[[[6a*R*,10a*R*]-6,6,9-triméthyl-3-pentyl-6a,7,8,10a-tétrahydro-6*H*-dibenzo[*b,d*]pyran-1-yl]oxy]butan-2-yl]amino]-4-oxobutanoic acid  
*cannabinoid receptor agonist*

suvadronabinol

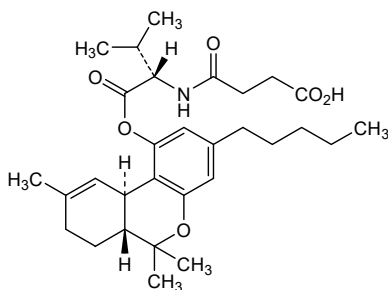
acide 4-[[[(2*S*)-3-méthyl-1-oxo-1-[[[6a*R*,10a*R*]-6,6,9-triméthyl-3-pentyl-6a,7,8,10a-tétrahydro-6*H*-dibenzo[*b,d*]pyran-1-yl]oxy]butan-2-yl]amino]-4-oxobutanoïque  
*agoniste des récepteurs aux cannabinoïdes*

suvadronabinol

ácido 4-[[[(2*S*)-3-metil-1-oxo-1-[[[6a*R*,10a*R*]-6,6,9-trimetil-3-pentil-6a,7,8,10a-tetrahidro-6*H*-dibenzo[*b,d*]piran-1-il]oxi]butan-2-il]amino]-4-oxobutanoico  
*agonista del receptor de cannabinoides*

C<sub>30</sub>H<sub>43</sub>NO<sub>6</sub>

1225194-84-2



**talogreptidum mesaroxetanum**

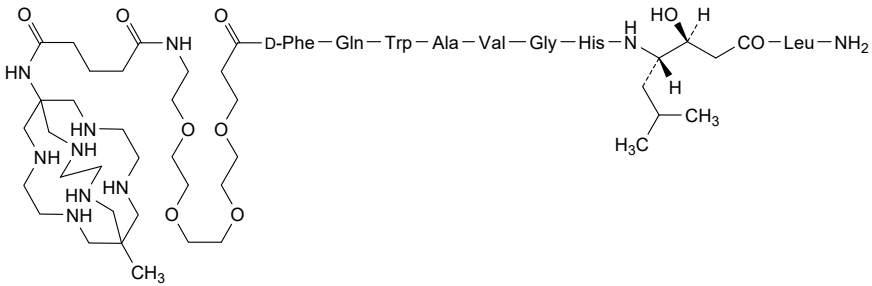
talogreptide mesaroxetan *N*-[21-[(8-methyl-3,6,10,13,16,19-hexaazabicyclo[6.6.6]icosan-1-yl)amino]-17,21-dioxo-4,7,10,13-tetraoxa-16-azahenicosan-1-oyl]-D-phenylalanyl-L-glutaminy-L-tryptophyl-L-alanyl-L-valylglycyl-L-histidyl-(3*S*,4*S*)-4-amino-3-hydroxy-6-methylheptanoyl-L-leucinamide  
*diagnostic imaging agent, antineoplastic*

talogreptide mésaroxetan *N*-[21-[(8-méthyl-3,6,10,13,16,19-hexaazabicyclo[6.6.6]icosan-1-yl)amino]-17,21-dioxo-4,7,10,13-tétraoxa-16-azahénicosan-1-oyl]-D-phénylalanyl-L-glutaminy-L-tryptophyl-L-alanyl-L-valylglycyl-L-histidyl-(3*S*,4*S*)-4-amino-3-hydroxy-6-méthylheptanoyl-L-leucinamide  
*agent d'imagerie diagnostique, antinéoplasique*

talogreptida mesaroxetán *N*-[21-[(8-metil-3,6,10,13,16,19-hexaazabicyclo[6.6.6]icosan-1-il)amino]-17,21-dioxo-4,7,10,13-tetraoxa-16-azahenicosan-1-oyl]-D-fenilalanil-L-glutaminil-L-triptofil-L-alanil-L-valilglicil-L-histidil-(3*S*,4*S*)-4-amino-3-hidroxi-6-metilheptanoil-L-leucinamida  
*agente de diagnóstico por imagen, antineoplásico*

C<sub>86</sub>H<sub>140</sub>N<sub>22</sub>O<sub>18</sub>

1801418-23-4

**talorasibum**

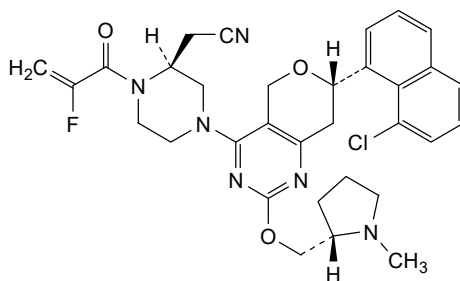
talorasib [(2*S*)-4-[(7*S*)-7-(8-chloronaphthalen-1-yl)-2-[[[(2*S*)-1-methylpyrrolidin-2-yl]methoxy]-7,8-dihydro-5*H*-pyrano[4,3-*d*]pyrimidin-4-yl]-1-(2-fluoroprop-2-enoyl)piperazin-2-yl]acetonitrile  
*Kirsten rat sarcoma viral oncogene homologue (KRAS) inhibitor, antineoplastic*

talorasib [(2*S*)-4-[(7*S*)-7-(8-chloronaphthalén-1-yl)-2-[[[(2*S*)-1-méthylpyrrolidin-2-yl]méthoxy]-7,8-dihydro-5*H*-pyrano[4,3-*d*]pyrimidin-4-yl]-1-(2-fluoroprop-2-énoyl)pipérazin-2-yl]acétonitrile  
*inhibiteur de l'homologue de l'oncogène viral du sarcome du rat de Kirsten (KRAS), antinéoplasique*

talorasib [(2*S*)-4-[(7*S*)-7-(8-cloronaftalen-1-il)-2-[[[(2*S*)-1-metilpirrolidin-2-il]metoxi]-7,8-dihidro-5*H*-pirano[4,3-*d*]pirimidin-4-il]-1-(2-fluoroprop-2-enoil)piperazin-2-il]acetonitrilo  
*inhibidor homólogo del oncogén viral del sarcoma de rata de Kirsten (KRAS), antineoplásico*

C<sub>32</sub>H<sub>34</sub>ClFN<sub>6</sub>O<sub>3</sub>

2648584-48-7

**tambiciclibum**

tambiciclib

(1<sup>1r</sup>,1<sup>4r</sup>)-3<sup>5</sup>-chloro-1<sup>4</sup>-{[(2*R*)-1-metoxipropan-2-yl]amino}-2,5-diaza-3(2,4)-pyridina-4(4,2)-[1,3]thiazola-7(4)-oxana-1(1)-cyclohexanaheptaphane-7<sup>4</sup>-carbonitrile  
*cyclin-dependent kinase inhibitor, antineoplastic*

tambiciclib

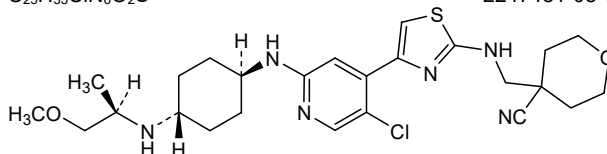
(1<sup>1r</sup>,1<sup>4r</sup>)-3<sup>5</sup>-chloro-1<sup>4</sup>-{[(2*R*)-1-méthoxypropan-2-yl]amino}-2,5-diaza-3(2,4)-pyridina-4(4,2)-[1,3]thiazola-7(4)-oxana-1(1)-cyclohexanaheptaphane-7<sup>4</sup>-carbonitrile  
*inhibiteur des kinases dépendantes des cyclines, antinéoplasique*

tambiciclib

(1<sup>1r</sup>,1<sup>4r</sup>)-3<sup>5</sup>-cloro-1<sup>4</sup>-{[(2*R*)-1-metoxipropan-2-il]amino}-2,5-diaza-3(2,4)-piridina-4(4,2)-[1,3]tiazola-7(4)-oxana-1(1)-ciclohexanaheptafano-7<sup>4</sup>-carbonitrilo  
*inhibidor de las kinasas dependientes de las ciclinas, antineoplásico*

C<sub>25</sub>H<sub>35</sub>ClN<sub>6</sub>O<sub>2</sub>S

2247481-08-7

**tazlestobartum #**

tazlestobart

immunoglobulin G1-kappa, anti-[*Homo sapiens* CTLA4 (cytotoxic T-lymphocyte associated protein 4, CTLA-4, CD152)], humanized monoclonal antibody;

H-gamma1 heavy chain humanized (1-448) [VH (*Homo sapiens*IGHV3-30\*01 (94.9%) -(IGHD) -IGHJ4\*01 (100%), CDR-IMGT [8.8.11] (26-33.51-58.97-107)) (1-118) -*Homo sapiens* IGHG1\*03, G1m3, nG1m1 CH1 R120, CH3 E12, M14, G1v6 CH2 A85.4, A118, A119 (CH1 R120 (215) (119-216), hinge 1-15 (217-231), CH2 S85.4>A (299), E118>A (334), K119>A (335), (232-341), CH3 E12 (357), M14 (359) (342-446), CHS (447-448)) (119-448)], (221-215')-disulfide with L-kappa light chain humanized (1'-215') [V-KAPPA (*Homo sapiens* IGKV3-20\*01 (97.9%) -IGKJ1\*01 (100%), CDR-IMGT [7.3.9] (27'-33'.51'-53'.90'-98'')) (1'-108') -*Homo sapiens* IGKC\*01 (100%), Km3 A45.1 (154'), V101 (192') (109'-215')]; dimer (227'-227''':230'-230''')-bisdisulfide, produced in Chinese hamster ovary (CHO) cells, cell line CHO-K1, glycoform alfa  
*immunostimulant, antineoplastic*



tazlestobart immunoglobuline G1-kappa, anti-[*Homo sapiens* CTLA4 (protéine 4 associée aux lymphocytes T cytotoxiques, CTLA-4, CD152)], anticorps monoclonal humanisé;  
chaîne lourde H-gamma1 humanisée (1-448) [VH (*Homo sapiens* IGHV3-30\*01 (94.9%) -(IGHD) -IGHJ4\*01 (100%), CDR-IMGT [8.8.11] (26-33.51-58.97-107)) (1-118) -*Homo sapiens* IGHG1\*03, G1m3, nG1m1 CH1 R120, CH3 E12, M14, G1v6 CH2 A85.4, A118, A119 (CH1 R120 (215) (119-216), charnière 1-15 (217-231), CH2 S85.4>A (299), E118>A (334), K119>A (335), (232-341), CH3 E12 (357), M14 (359) (342-446), CHS (447-448)) (119-448)], (221-215')-disulfure avec la chaîne légère L-kappa humanisée (1'-215') [V-KAPPA (*Homo sapiens* IGKV3-20\*01 (97.9%) -IGKJ1\*01 (100%), CDR-IMGT [7.3.9] (27'-33'.51'-53'.90'-98')) (1'-108') -*Homo sapiens* IGKC\*01 (100%), Km3 A45.1 (154'), V101 (192') (109'-215')]; dimère (227-227":230-230")-bisdisulfure, produit dans des cellules ovariennes de hamster chinois (CHO), lignée cellulaire CHO-K1, glycoforme alfa  
*immunostimulant, antinéoplasique*

tazlestobart inmunoglobulina G1-kappa, anti-[*Homo sapiens* CTLA4 (proteína 4 asociada con los linfocitos T citotóxicos, CTLA-4, CD152)], anticuerpo monoclonal humanizado;  
cadena pesada H-gamma1 humanizada (1-448) [VH (*Homo sapiens* IGHV3-30\*01 (94.9%) -(IGHD) -IGHJ4\*01 (100%), CDR-IMGT [8.8.11] (26-33.51-58.97-107)) (1-118) -*Homo sapiens* IGHG1\*03, G1m3, nG1m1 CH1 R120, CH3 E12, M14, G1v6 CH2 A85.4, A118, A119 (CH1 R120 (215) (119-216), bisagra 1-15 (217-231), CH2 S85.4>A (299), E118>A (334), K119>A (335), (232-341), CH3 E12 (357), M14 (359) (342-446), CHS (447-448)) (119-448)], (221-215')-disulfuro con la cadena ligera L-kappa humanizada (1'-215') [V-KAPPA (*Homo sapiens* IGKV3-20\*01 (97.9%) -IGKJ1\*01 (100%), CDR-IMGT [7.3.9] (27'-33'.51'-53'.90'-98')) (1'-108') -*Homo sapiens* IGKC\*01 (100%), Km3 A45.1 (154'), V101 (192') (109'-215')]; dímero (227-227":230-230")-bisdisulfuro, producido en las células ováricas de hámster chino (CHO), línea celular CHO-K1, forma glicosilada alfa  
*inmunoestimulante, antineoplásico*

2850355-80-3

Heavy chain / Chaîne lourde / Cadena pesada : H-gamma1 (H, H<sup>o</sup>) anti-CTLA4  
 QQVQVESGGG VVQPGKSLRL SCAASGFTFS SYTMHWVRQA PGKLEWVTF 50  
 ISYDGNKYY ADSVKGRTFI SRDNSKNTLY LQMNLSRAED TAIYYCARTG 100  
 WLGFDFYWGQ GTLVTVSSAS TKGPSVFPLA PSSKSTSGGT AALGCLVKDY 150  
 FPEPVTYSWN SGALTSGVHT FPAVLQSSGL YSLSSVTVTP SSSLGTQTYI 200  
 CNVNHKPSNT KVDKRVPEKS CDKTHTCPPC PAPELLGGPS VFLFPPKPKD 250  
 TLMISRTPEV TCVVVDVSH E DPEVKFNWYV DGVEVHNAKT KPREEQYNAT 300  
 YRVVSVLTVL HQDWLNGKEY KCKVSKKALP APIAATISKA KGQPREPQVY 350  
 TLPPSREEMT KNOVSLTCLV KGFYPSDIAV EWESNGQPEN NYKTTTPPVL 400  
 SDGFFFLYSK LTVDKSRWQQ GNVFSCSVMH EALHNHYTQK SLSLSPGK 448

Light chain / Chaîne légère / Cadena ligera : L-kappa (L, L<sup>o</sup>) anti-CTLA4  
 EIVLTQSPGT LSLSPGERAT LSCRASQSVG SSYLAWYQQK PGQAPRLLIY 50  
 GAFSRAFGIP DRFSGSGSGT DFTLTISRLE PEDFAVYYCQ YGSSPWFTFG 100  
 QGTRKVEIKRT VAAPSVFIFP PSDEQLKSGT ASVVCLLNPF YPREAKVQWK 150  
 VDNALQSGNS QESVTEQDSK DSTYLSSTL TSLKADYEKHK VYACEVTHQ 200  
 GLSSPVTKSF NRGEC 215

Post-translational modifications  
 Disulfide bridges location / Position des ponts disulfure / Posiciones de los puentes disulfuro  
 Intra-H (C23-C104) 22-96 145-201 262-322 368-426  
 22"-96" 145"-201" 262"-322" 368"-426"  
 Intra-L (C23-C104) 23'-89' 135'-195'  
 23"'-89"' 135"'-195"  
 Inter-H-L (h 5-CL 126) 221-215' 221"-215"  
 Inter-H-H (h 11, h 14) 227-227" 230-230"

N-terminal glutaminyl cyclization / Cyclisation du glutaminyle N-terminal / Ciclación del glutamilo N-terminal  
 Q > pyroglutamyl (pE, 5-oxoprolyl) / pyroglutamyle (pE, 5-oxoprolyle) / piroglutamilo (pE, 5-oxoprolilo)  
 H VH Q1: 1, 1"

N-glycosylation sites / Sites de N-glycosylation / Posiciones de N-glicosilación  
 H CH2 N84.4: 298, 298"  
 Fucosylated complex bi-antennary CHO-type glycans / glycanes de type CHO bi-antennaires complexes fucosylés / glicanos de tipo CHO biantennarios complejos fucosilados

C-terminal lysine clipping / Coupeure de la lysine C-terminale / Recorte de lisina C-terminal  
 H CHS K2: 448, 448"

**tecotabartum #**

tecotabart

immunoglobulin G1-kappa, anti-[*Homo sapiens* CLDN18 (claudin 18, claudin-18, surfactant associated protein J, SFTPJ)], humanized monoclonal antibody; H-gamma1 heavy chain humanized (1-449) [VH (*Homo sapiens* IGHV3-48\*01 (88.8%) -(IGHD) -IGHJ4\*01 (100%), CDR-IMGT [8.8.12] (26-33.51-58.97-108)) (1-119) -*Homo sapiens* IGHG1\*01, G1m17,1 CH1 K120, CH3 D12, L14, G1v7 CH2 D3, E117 (CH1 K120 (216) (120-217), hinge 1-15 (218-232), CH2 S3>D (241), I117>E (334) (233-342), CH3 D12 (358), L14 (360) (343-447), CHS (448-449)) (120-449)], (222-220')-disulfide with L-kappa light chain humanized (1'-220') [V-KAPPA (*Homo sapiens* IGKV4-1\*01 (90.1%) -IGKJ2\*02 (90.9%), CDR-IMGT [12.3.9] (27'-38'.56'-58'.95'-103')) (1'-113') -*Homo sapiens* IGKC\*01 (100%), Km3 A45.1 (159'), V101 (197') (114'-220')]; dimer (228-228":231-231")-bisdisulfide, produced in Chinese hamster ovary (CHO) cells, cell line CHO-K1, glycoform alfa *antineoplastic*

técotabart

immunoglobuline G1-kappa, anti-[*Homo sapiens* CLDN18 (claudine 18, claudine-18, protéine J associée au surfactant, SFTPJ)]; anticorps monoclonal humanisé; chaîne lourde H-gamma1 humanisée (1-449) [VH (*Homo sapiens* IGHV3-48\*01 (88.8%) -(IGHD) -IGHJ4\*01 (100%), CDR-IMGT [8.8.12] (26-33.51-58.97-108)) (1-119) -*Homo sapiens* IGHG1\*01, G1m17,1 CH1 K120, CH3 D12, L14, G1v7 CH2 D3, E117 (CH1 K120 (216) (120-217), charnière 1-15 (218-232), CH2 S3>D (241), I117>E (334) (233-342), CH3 D12 (358), L14 (360) (343-447), CHS (448-449)) (120-449)], (222-220')-disulfure avec la chaîne légère L-kappa humanisée (1'-220') [V-KAPPA (*Homo sapiens* IGKV4-1\*01 (90.1%) -IGKJ2\*02 (90.9%), CDR-IMGT [12.3.9] (27'-38'.56'-58'.95'-103')) (1'-113') -*Homo sapiens* IGKC\*01 (100%), Km3 A45.1 (159'), V101 (197') (114'-220')]; dimère (228-228":231-231")-bisdisulfure, produit dans des cellules ovariennes de hamster chinois (CHO), lignée cellulaire CHO-K1, glycoforme alfa *antineoplasique*

tecotabart

immunoglobulina G1-kappa, anti-[*Homo sapiens* CLDN18 (claudina 18, claudina-18, proteína J asociada al surfactante, SFTPJ)]; anticuerpo monoclonal humanizado; cadena pesada H-gamma1 humanizada (1-449) [VH (*Homo sapiens* IGHV3-48\*01 (88.8%) -(IGHD) -IGHJ4\*01 (100%), CDR-IMGT [8.8.12] (26-33.51-58.97-108)) (1-119) -*Homo sapiens* IGHG1\*01, G1m17,1 CH1 K120, CH3 D12, L14, G1v7 CH2 D3, E117 (CH1 K120 (216) (120-217), bisagra 1-15 (218-232), CH2 S3>D (241), I117>E (334) (233-342), CH3 D12 (358), L14 (360) (343-447), CHS (448-449)) (120-449)], (222-220')-disulfuro con la cadena ligera L-kappa humanizada (1'-220') [V-KAPPA (*Homo sapiens* IGKV4-1\*01 (90.1%) -IGKJ2\*02 (90.9%), CDR-IMGT [12.3.9] (27'-38'.56'-58'.95'-103')) (1'-113') -*Homo sapiens* IGKC\*01 (100%), Km3 A45.1 (159'), V101 (197') (114'-220')]; dímero (228-228":231-231")-bisdisulfuro, producido en las células ováricas de hámster chino (CHO), línea celular CHO-K1, forma glicosilada alfa *antineoplásico*

2823329-10-6

<b>Heavy chain / Chaîne lourde / Cadena pesada</b>				
EVQLVESGGG	LVQPGGSLRL	SCAASGFTFS	TFGMHWVROA	PGKGLEWVSY 50
ITSGESPIYF	TDTVKGRFTI	SRDNAKNSLY	LQMNSLRAED	TAVYYCARSS 100
YYGNSMDYWG	QGTTLVTVSSA	STKGPSVFPL	APSSKSTSGG	TAALGCLVKD 150
YFPEPVTVSW	NSGALTSGVH	TFFAVLQSSG	LYSLSSVTVV	PSSSLGTQTY 200
ICNVNHKPSN	TKVDKKEVEPK	SCDKTHTCPP	CPAPELGGF	DVFLFPPKPK 250
DTLMISSRTE	VTCVVDVSH	EDPEVKFNMY	VDGVEVHNAK	TKPREEQYNS 300
TYRVVSVLTV	LHQDMLNGKE	YKCKVSNKAL	PAPEEKTISK	AKGQPREPQV 350
YTLFPPSRDEL	TKNQVSLTCL	VKGFYPSDIA	VEWESNGQPE	NNYKTTTPVL 400
DSDGSFFLYS	KLTVDKSRWQ	QGNVFSQVM	HEALHNYHTQ	KSLSLSPGK 449
<b>Light chain / Chaîne légère / Cadena ligera</b>				
DIVMTQSPDS	LAVSLGERAT	INCRSSQSLL	NAGNRKNYLT	WYQQKPGQPP 50
KLLIYWASTR	ESGVPDFRFSG	SGSGTDFTLT	ISSLAQEDVA	VYYCQNAYS 100
PFTFGGGTKL	EIKRTVAAPS	VFIFPPSDEQ	LKSGTASVVC	LLNNFYPREA 150
KVQWKVDNAL	QSGNSQESVT	EQDSKDSYTS	LSSTLTLSKA	DYEKHKVYAC 200
EVTHQGLSSP	VTKSFNRGEC			220

**Post-translational modifications**  
 Disulfide bridges location / Position des ponts disulfure / Posiciones de los puentes disulfuro

Intra-H (C23-C104)	22-96	146-202	263-323	369-427
	22"-96"	146"-202"	263"-323"	369"-427"
Intra-L (C23-C104)	23'-94'	140"-200"		
	23'''-94'''	140'''-200'''		
Inter-H-L (h 5-CL 126)	222-220'	222"-220"		
Inter-H-H (h 11, h 14)	228-228"	231-231"		

N-glycosylation sites / Sites de N-glycosylation / Posiciones de N-glicosilación  
 H CH2 N84.4: 299, 299"  
 Fucosylated complex bi-antennary CHO-type glycans / glycanes de type CHO bi-antennaires complexes fucosylés / glicanos de tipo CHO biantenaricos complejos fucosilados

C-terminal lysine clipping / Coupure de la lysine C-terminale / Recorte de lisina C-terminal  
 H CHS K2: 449, 449"

**tecotabartum vedotinum #**  
 tecotabart vedotin

immunoglobulin G1-kappa, anti-[*Homo sapiens* CLDN18 (claudin 18, immunoglobulin-18, surfactant associated protein J, SFTPJ)], humanized monoclonal antibody; conjugated on an average of 4 cysteinyl residues via a cleavable linker to monomethylauristatin E (MMAE);  
 H-gamma1 heavy chain humanized (1-449) [VH (*Homo sapiens* IGHV3-48\*01 (88.8%) -(IGHD) -IGHJ4\*01 (100%), CDR-IMGT [8.8.12] (26-33.51-58.97-108)) (1-119) -*Homo sapiens* IGHG1\*01, G1m17,1 CH1 K120, CH3 D12, L14, G1v7 CH2 D3, E117 (CH1 K120 (216) (120-217), hinge 1-15 (218-232), CH2 S3>D (241), I117>E (334) (233-342), CH3 D12 (358), L14 (360) (343-447), CHS (448-449)) (120-449)], (222-220')-disulfide with L-kappa light chain humanized (1'-220') [V-KAPPA (*Homo sapiens* IGKV4-1\*01 (90.1%) -IGKJ2\*02 (90.9%), CDR-IMGT [12.3.9] (27'-38'.56'-58'.95'-103')) (1'-113') -*Homo sapiens* IGKC\*01 (100%), Km3 A45.1 (159'), V101 (197') (114'-220')]; dimer (228-228":231-231")-bisdisulfide, produced in Chinese hamster ovary (CHO) cells, cell line CHO-K1, glycoform alfa; substituted at the sulfur atoms of four L-cysteinyl residues on an average among 222, 228, 231, 220', 222", 228", 231" and 220''' with radical group (3RS)-1-(6-(((2S)-1-(((2S)-5-(carbamoylamino)-1-4-(((2S)-1-(((2S)-1-(((3R,4S,5S)-1-((2S)-2-((1R,2R)-3-(((1S,2R)-1-hydroxy-1-phenylpropan-2-yl)amino)-1-methoxy-2-methyl-3-oxopropyl)pyrrolidin-1-yl)-3-methoxy-5-methyl-1-oxoheptan-4-yl)(methyl)amino)-3-methyl-1-oxobutan-2-yl)amino)-3-methyl-1-oxobutan-2-yl)(methyl)carbamoyl)oxy)methyl)anilino)-1-oxopentan-2-yl)amino)-3-methyl-1-oxobutan-2-yl)amino)-6-oxohexyl)-2,5-dioxopyrrolidin-3-yl (vedotin)  
*antineoplastic*

técotabart védotine	<p>immunoglobuline G1-kappa, anti-[<i>Homo sapiens</i> CLDN18 (claudine 18, claudine-18, protéine J associée au surfactant, SFTPJ)]; anticorps monoclonal humanisé; conjugué, sur 4 résidus cystéinyle en moyenne, au monométhylauristatine E (MMAE), via un linker clivable ;</p> <p>chaîne lourde H-gamma1 humanisée (1-449) [VH (<i>Homo sapiens</i> IGHV3-48*01 (88.8%) -(IGHD) -IGHJ4*01 (100%), CDR-IMGT [8.8.12] (26-33.51-58.97-108)) (1-119) -<i>Homo sapiens</i> IGHG1*01, G1m17,1 CH1 K120, CH3 D12, L14, G1v7 CH2 D3, E117 (CH1 K120 (216) (120-217), charnière 1-15 (218-232), CH2 S3&gt;D (241), I117&gt;E (334) (233-342), CH3 D12 (358), L14 (360) (343-447), CHS (448-449)) (120-449)], (222-220')-disulfure avec la chaîne légère L-kappa humanisée (1'-220') [V-KAPPA (<i>Homo sapiens</i> IGKV4-1*01 (90.1%) -IGKJ2*02 (90.9%), CDR-IMGT [12.3.9] (27'-38'.56'-58'.95'-103')) (1'-113') -<i>Homo sapiens</i> IGKC*01 (100%), Km3 A45.1 (159'), V101 (197') (114'-220')]; dimère (228-228":231-231")-bisdisulfure, produit dans des cellules ovariennes de hamster chinois (CHO), lignée cellulaire CHO-K1, glycoforme alfa; substitué sur un atome de soufre de 4 résidus L-cystéinyle en moyenne parmi 222, 228, 231, 220', 222", 228", 231" et 220" avec un groupement radical (3RS)-1-(6-[[[(2S)-1-[[[(2S)-5-(carbamoylamino)-1-[4-[[[(2S)-1-[[[(2S)-1-[[[(3R,4S,5S)-1-[(2S)-2-[[[(1R,2R)-3-[[[(1S,2R)-1-hydroxy-1-phénylpropan-2-yl]amino]-1-méthoxy-2-méthyl-3-oxopropyl]pyrrolidin-1-yl]-3-méthoxy-5-méthyl-1-oxoheptan-4-yl](méthyl)amino]-3-méthyl-1-oxobutan-2-yl]amino]-3-méthyl-1-oxobutan-2-yl](méthyl)carbamoyl]oxy)méthyl]anilino]-1-oxopentan-2-yl]amino]-3-méthyl-1-oxobutan-2-yl]amino]-6-oxohexyl]-2,5-dioxopyrrolidin-3-yle (<i>védotine</i>)</p> <p><i>antineoplasique</i></p>
tecotabart vedotina	<p>immunoglobulina G1-kappa, anti-[<i>Homo sapiens</i> CLDN18 (claudina 18, claudine-18, proteina J asociada con surfactante, SFTPJ)]; anticuerpo monoclonal humanizado; conjugado, por 4 residuos cisteinilo por término medio, a la monometilauristatina E (MMAE), a través de un enlace escindible;</p> <p>cadena pesada H-gamma1 humanizada (1-449) [VH (<i>Homo sapiens</i> IGHV3-48*01 (88.8%) -(IGHD) -IGHJ4*01 (100%), CDR-IMGT [8.8.12] (26-33.51-58.97-108)) (1-119) -<i>Homo sapiens</i> IGHG1*01, G1m17,1 CH1 K120, CH3 D12, L14, G1v7 CH2 D3, E117 (CH1 K120 (216) (120-217), bisagra 1-15 (218-232), CH2 S3&gt;D (241), I117&gt;E (334) (233-342), CH3 D12 (358), L14 (360) (343-447), CHS (448-449)) (120-449)], (222-220')-disulfuro con la cadena ligera L-kappa humanizada (1'-220') [V-KAPPA (<i>Homo sapiens</i> IGKV4-1*01 (90.1%) -IGKJ2*02 (90.9%), CDR-IMGT [12.3.9] (27'-38'.56'-58'.95'-103')) (1'-113') -<i>Homo sapiens</i> IGKC*01 (100%), Km3 A45.1 (159'), V101 (197') (114'-220')]; dímero (228-228":231-231")-bisdisulfuro, producido en las células ováricas de hámster chino (CHO), línea celular CHO-K1, forma glicosilada alfa; sustituido en un átomo de azufre de 4 residuos L-cisteinilo en promedio de 222, 228, 231, 220', 222", 228", 231" y 220" con un grupo radical (3RS)-1-(6-[[[(2S)-1-[[[(2S)-5-(carbamoylamino)-1-[4-[[[(2S)-1-[[[(2S)-1-[[[(3R,4S,5S)-1-[(2S)-2-[[[(1R,2R)-3-[[[(1S,2R)-1-hidroxi-1-fenilpropan-2-il]amino]-2-metil-1-metoxi-3-oxopropil]pirrolidin-1-il]-5-metil-3-metoxi-1-oxoheptan-4-il](metil)amino]-3-metil-1-oxobutan-2-il]amino]-3-metil-1-oxobutan-2-il](metil)carbamoyl]oxi)metil]anilino]-1-oxopentan-2-il]amino]-3-metil-1-oxobutan-2-il]amino]-6-oxohexil]-2,5-dioxopirrolidin-3-ilo (<i>vedotina</i>)</p> <p><i>antineoplásico</i></p>

2823357-33-9

Heavy chain / Chaîne lourde / Cadena pesada  
 EVQLVESGGG LVQPGGSLRL SCAASGFTFS TFGMHWVRQA PGKGLEWVSY 50  
 ITSGESPIYF TDTVKGFRFTI SRDNAKNSLY LQMNSLRAED TAVYYCARSS 100  
 YYGNSMDYWG QGTLTVSSA STKGPSVPEPL APSSKSTSGG TAALGCLVKD 150  
 YFPPEVTVSW NSGALTSGVH TFPAVLQSSG LYSLSVSVTV PSSSLGTQTY 200  
 ICNVNHHKPSN TKVDKKVEPK SCDKTHTCPP CPAPELLGGP DVFLFPKPK 250  
 DTLMISRTEF VTCVVDVSH EDPEVKFNWY VDGVEVHNAK TKPREEQVNS 300  
 TRRVVSVLTV LHQDWLNGKE YKCKVSNKAL PAPEKTIISK AKGQPREPQV 350  
 YTLPPSRDEL THNQVSLTCL VKGFIYPSDIA VEWESNGQPE NNYKTTFPVL 400  
 DSDGSFFLYS KLTVDKSRWQ QGNVFSCSVM HEALHNHYTQ KSLSLSPGK 449

Light chain / Chaîne légère / Cadena ligera  
 DIVMTQSPDS LAVSLGERAT INCRSSQSLN NAGNRKNVLT WYQQKPGQP 50  
 KLLIYWASTR ESGVPRDFSG SSGSDFTLT ISSLQAEDVA VYIQCNAYS 100  
 PFTFGGKTKL EIKRTVAAPS VFIFPSPDEQ LKSGTASVVC LLNFPYREA 150  
 KVQWKVDNAL QSGNSQESVT EQDSKDYTS LSSLTLTSLKA DYEKHKVYAC 200  
 EVTHQGLSSP VTKSFNRGEC 220

**Post-translational modifications**

Disulfide bridges location / Position des ponts disulfure / Posiciones de los puentes disulfuro

Intra-H (C23-C104) 22<sup>o</sup>-96<sup>o</sup> 146<sup>o</sup>-202<sup>o</sup> 263<sup>o</sup>-323<sup>o</sup> 369<sup>o</sup>-427<sup>o</sup>

22<sup>o</sup>-96<sup>o</sup> 146<sup>o</sup>-202<sup>o</sup> 263<sup>o</sup>-323<sup>o</sup> 369<sup>o</sup>-427<sup>o</sup>

Intra-L (C23-C104) 23<sup>o</sup>-94<sup>o</sup> 140<sup>o</sup>-200<sup>o</sup>

23<sup>o</sup>-94<sup>o</sup> 140<sup>o</sup>-200<sup>o</sup>

Inter-H-L (h 5-CL 126) \* 222-220<sup>o</sup> 222<sup>o</sup>-220<sup>o</sup>

Inter-H-H (h 11, h 14) \* 228-228<sup>o</sup> 231-231<sup>o</sup>

\*At least two of the four inter-chain disulfide bridges are not present, an average of 4 cysteinyl being conjugated each via a thioether bond to a drug linker.

\*Au moins deux des quatre ponts disulfures inter-chaînes ne sont pas présents, 4 cystéinyl en moyenne étant chacun conjugué via une liaison thioéther à un linker-principe actif.

\*Al menos dos de los cuatro puentes disulfuro inter-catenarios no están presentes, una media de 4 cisteinil está conjugada a conectores de principio activo.

N-glycosylation sites / Sites de N-glycosylation / Posiciones de N-glicosilación

H CH2 N84.4: 299, 299<sup>o</sup>

Fucosylated complex bi-antennary CHO-type glycans / glycanes de type CHO bi-antennaires complexes fucosylés / glicanos de tipo CHO biantennarios complejos fucosilados

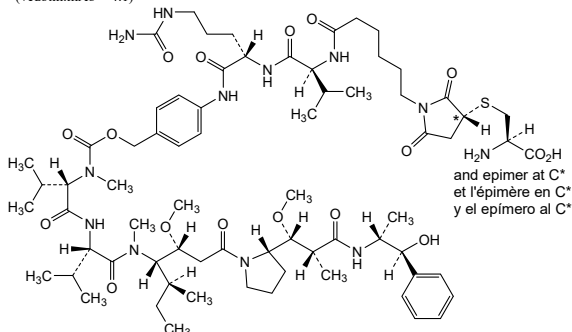
C-terminal lysine clipping / Coupure de la lysine C-terminale / Recorte de lisina C-terminal

H CHS K2: 449, 449<sup>o</sup>

Potential modified residues / résidus modifiés potentiels / restos modificados potenciales\*

C (222,228,231,220,222<sup>o</sup>,228<sup>o</sup>,231<sup>o</sup>,220<sup>o</sup>)

\*(vedotin:Ab ~ 4:1)

**telisotuzumabum adizutecanum #**

telisotuzumab adizutecan

immunoglobulin G1-kappa, anti-[*Homo sapiens* MET (met proto-oncogene, hepatocyte growth factor (HGF) receptor, HGFR, scatter factor (SF) receptor, HGF/SF receptor, receptor tyrosine-protein kinase c-met, papillary renal cell carcinoma 2, RCCP2)], humanized monoclonal antibody, conjugated on an average of 6 cysteinyl residues to *adizutecan*, comprising a linker and a camptothecin derivative;

H-gamma1 heavy chain humanized (1-445) [VH (*Homo sapiens* IGHV1-2\*02 (92.9%) -(IGHD) -IGHJ4\*01 (100%), CDR-IMGT [8.8.11] (26-33.51-58.97-107)) (1-118) -*Homo sapiens* IGHG1\*03, G1m3, nG1m1 CH1 R120, CH3 E12, M14 (CH1 R120 (215) (119-216), hinge 1-15 K7>del, T8>C (223), T10>del (217-229), CH2 (230-339), CH3 E12 (355), M14 (357) (340-444), CHS K2-del (445)) (119-445)], (221-218)-disulfide with L-kappa light chain

télisotuzumab adizutécan	<p>humanized (1'-218') [V-KAPPA (<i>Homo sapiens</i> IGKV4-1*01 (85.1%) -IGKJ4*01 (100%), CDR-IMGT [10.3.9] (27'-36'.54'-56'.93'-101')) (1'-111') -<i>Homo sapiens</i> IGKC*01 (100%), Km3 A45.1 (157'), V101 (195') (112'-218'))]; dimer (223-223"-225-225":228-228")-trisdisulfide, produced in a cell line from Chinese hamster ovary (CHO) cells, derived from the cell line CHO-K1SV, expressing the enzyme glutamine synthetase (GS), glycoform alfa; substituted at the sulfur atoms of an average of 6 L-cysteinyl residues among 221, 223, 225, 228, 218', 221", 223", 225", 228" and 218"" with radical group 2-[[[(2S)-1-[[[(2S)-1-[[[(3-[(7S)-7-ethyl-7-hydroxy-14-methyl-8,11-dioxo-7,8,11,13-tetrahydro-2H,10H-[1,3]dioxolo[4,5-g]pyrano[3',4':6,7]indolizino[1,2-b]quinolin-14-yl]bicyclo[1.1.1]pentan-1-yl]amino)-1-oxopropan-2-yl]amino]-3-methyl-1-oxobutan-2-yl]amino]-2-oxoethyl (<i>adizutecan</i>) <i>antineoplastic</i></p>
télisotuzumab adizutécan	<p>immunoglobuline G1-kappa, anti-[<i>Homo sapiens</i> MET (proto-oncogène met, récepteur du facteur de croissance hépatocytaire, HGFR, récepteur du facteur de dispersion, récepteur de l'HGF/SF, récepteur protéine-tyrosine kinase c-Met, carcinome papillaire à cellules rénales 2, RCCP2)], anticorps monoclonal humanisé, conjugué, par 6 résidus cystéinyle en moyenne à l'<i>adizutécan</i>, comprenant un linker et un dérivé de la camptothécine;</p> <p>chaîne lourde H-gamma1 humanisée (1-445) [VH (<i>Homo sapiens</i> IGHV1-2*02 (92.9%) -(IGHD) -IGHJ4*01 (100%), CDR-IMGT [8.8.11] (26-33.51-58.97-107)) (1-118) -<i>Homo sapiens</i> IGHG1*03, G1m3, nG1m1 CH1 R120, CH3 E12, M14 (CH1 R120 (215) (119-216), charnière 1-15 K7&gt;del, T8&gt;C (223), T10&gt;del (217-229), CH2 (230-339), CH3 E12 (355), M14 (357) (340-444), CHS K2&gt;del (445)) (119-445)], (221-218')-disulfure avec la chaîne légère L-kappa humanisée (1'-218') [V-KAPPA (<i>Homo sapiens</i> IGKV4-1*01 (85.1%) -IGKJ4*01 (100%), CDR-IMGT [10.3.9] (27'-36'.54'-56'.93'-101')) (1'-111') -<i>Homo sapiens</i> IGKC*01 (100%), Km3 A45.1 (157'), V101 (195') (112'-218'))]; dimère (223-223"-225-225":228-228")-trisdisulfure, produit dans une lignée cellulaire des cellules ovariennes de hamster chinois (CHO), dérivant de la lignée cellulaire CHO-K1SV, exprimant l'enzyme glutamine synthétase (GS), glycoforme alfa; substitué sur l'atome de soufre de 6 résidus L-cystéinyle en moyenne parmi 221, 223, 225, 228, 218', 221", 223", 225", 228" et 218"" avec un groupement radical 2-[[[(2S)-1-[[[(2S)-1-[[[(3-[(7S)-7-éthyl-7-hydroxy-14-méthyl-8,11-dioxo-7,8,11,13-tétrahydro-2H,10H-[1,3]dioxolo[4,5-g]pyrano[3',4':6,7]indolizino[1,2-b]quinoléin-14-yl]bicyclo[1.1.1]pentan-1-yl]amino)-1-oxopropan-2-yl]amino]-3-méthyl-1-oxobutan-2-yl]amino]-2-oxoéthyle (<i>adizutécan</i>) <i>antineoplasique</i></p>
telisotuzumab adizutecán	<p>immunoglobulina G1-kappa, anti-[<i>Homo sapiens</i> MET (proto-oncogén met, receptor del factor de crecimiento hepatocitario, HGFR, receptor del factor de dispersión, receptor del HGF/SF, receptor proteína-tirosina kinasa c-Met, carcinoma papilar con células renales 2, RCCP2)], anticuerpo monoclonal humanizado, conjugado, por 6 residuos cisteinilo en promedio, al <i>adizutecán</i>, que comprende un conector y un derivado de camptotecina;</p>

cadena pesada H-gamma1 humanizada (1-445) [VH (*Homo sapiens* IGHV1-2\*02 (92.9%) -IGHD) -IGHJ4\*01 (100%), CDR-IMGT [8.8.11] (26-33.51-58.97-107)] (1-118) -*Homo sapiens* IGHG1\*03, G1m3, nG1m1 CH1 R120, CH3 E12, M14 (CH1 R120 (215) (119-216), bisagra 1-15 K7>del, T8>C (223), T10>del (217-229), CH2 (230-339), CH3 E12 (355), M14 (357) (340-444), CHS K25>del (445)) (119-445)], (221-218')-disulfuro con la cadena ligera L-kappa humanizada (1'-218') [V-KAPPA (*Homo sapiens* IGKV4-1\*01 (85.1%) -IGKJ4\*01 (100%), CDR-IMGT [10.3.9] (27'-36'.54'-56'.93'-101')) (1'-111') -*Homo sapiens* IGKC\*01 (100%), Km3 A45.1 (157'), V101 (195') (112'-218')]; dímero (223-223"-225-225":228-228")-trisdifuro, producido en una línea celular de las células ováricas de hámster chino (CHO), línea celular derivada de CHO-K1SV, expresando la enzima glutamina sintetasa (GS), forma glicosilada alfa; sustituido en el átomo de azufre de 6 residuos L-cisteinilo en promedio de 221, 223, 225, 228, 218', 221", 223", 225", 228" y 218''' con un grupo radical 2-[[{(2S)-1-[[{(2S)-1-(3-[(7S)-7-etil-7-hidroxi-14-metil-8,11-dioxo-7,8,11,13-tetrahydro-2H,10H-[1,3]dioxolo[4,5-g]pirano[3',4':6,7]indolizino[1,2-b]quinolein-14-il]bíciclo[1.1.1]pentan-1-il]amino)-1-oxopropan-2-il]amino}-3-metil-1-oxobutan-2-il]amino}-2-oxoetilo (*adizutecán*)  
*antineoplásico*

2850366-99-1

## Heavy chain / Chaîne lourde / Cadena pesada

QVQLVQSGAE VKKFGASVKY SCKASGYFT AYTHHWVRGA PGQGLEWGMW 50  
IKPNGLNLAN YAKQKGRVTM TRDTSISTAY MELSLRSD TAVYYCARSE 100  
ITTFEDYWGQ GTLVTVSSAS TKGPSVFLPA PSSKSTSGGT AALGCLVKDY 150  
FPEFVTVSWN SGALTSGVHT FPAVLQSSGL YSLSSVTVTP SSSLGTQTYI 200  
CNVNHKFSNT KVDRKVEPKS CDCCHPFCPA PELLGGPSVF LFPKPKDTL 250  
MISRTPEVTC VVVVDVSHEDP EVKFNWYVDG VEVHNAKTKP REEQYNSTYR 300  
VVSVLTFLHQ DWLNGKEYKC KVNKNLALPAP IEKTIKAKG QREPVQVYL 350  
PFSREEMTKN QVSLTCLVKG FYPSDIAVEW ESNQGPENNY KTFPPVLDS 400  
GSEFLYSKLT VDKSRWQGN VFSCVMHEA LHNHYTKSL SLSPG 445

## Light chain / Chaîne légère / Cadena ligera

DIVMTQSPDS LAVSLGERAT INCKSSSEVD SYANSFLHWY QKPKGQPFKL 50  
LIYRSTRES GVPDRPSSG SGTDFLTIS SLOAEDVAVY YCOQSKEDDL 100  
TFGGGTKEVI KRTVAAPSVF IFPPSDEQLK SGTASVCLL NNFYPREAKV 150  
QMKVDNALQS GNSQESVTEQ DSRKSTYLSL STITLTKADY EKHKVYACEV 200  
THQGLSSPVT KSFNRGEC 218

## Post-translational modifications

Disulfide bridges location / Position des ponts disulfure / Posiciones de los puentes disulfuro

Intra-H (C23-C104) 22-96 145-201 260-320 366-424  
22"-95" 145"-201" 260"-320" 366"-424"

Intra-L (C23-C104) 23-92" 138-198"  
23"-92" 138"-198"

Inter-H-L (h 5-CL 126)\* 221-218' 221"-218''

Inter-H-H (h 11, h 14)\* 225-225" 228-228" (h8-C)\* 223-223"

\*At least three inter-chain disulfide bridges are not present, an average of 6 cysteinyl being conjugated each via a thioether bond to a drug linker.

\*Au moins trois ponts disulfures inter-chaînes ne sont pas présents, 6 cystéinyl en moyenne étant chacun conjugué via une liaison thioéther à un linker-principe actif.

\*Al menos tres puentes disulfuro inter-catenarios no estan presentes, una media de 6 cisteinil está conjugada a conectores de principio activo.

N-terminal glutaminyl cyclization / Cyclisation du glutaminyle N-terminal / Cielación del glutaminilo N-terminal

Q > pyroglutamyl (pE, 5-oxoprolyl) / pyroglutamyle (pE, 5-oxoprolyle) / piroglutamilo (pE, 5-oxoprofílo)

H VH Q1: 1, 1\*

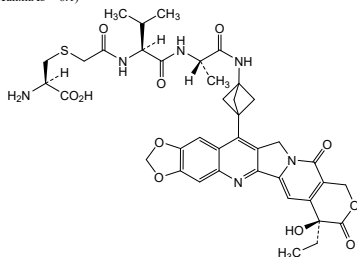
N-glycosylation sites / Sites de N-glycosylation / Posiciones de N-glicosilación

H CH2 N84.4: 296, 296\*

Fucosylated complex bi-antennary CHO-type glycans / glycanes de type CHO bi-antennaires complexes fucosylés / glicanos de tipo CHO biantenarios complejos fucosilados

Potential modified residues / résidus modifiés potentiels / restos modificados potenciales\* (221,223,225,228,218',221",223",225",228",218''\*)

\*(adizutecan:mAb ~ 6:1)



**tigozertinibum**

tigozertinib

*N*-{2-[(3*S*,4*R*)-3-fluoro-4-méthoxypiperidin-1-yl]pyrimidin-4-yl}-8-[(2*R*,3*S*)-3-[(méthanesulfonyl)méthyl]-2-méthylazétidin-1-yl]-5-(propan-2-yl)isoquinolin-3-amine  
*epidermal growth factor receptor (EGFR) tyrosine kinase inhibitor, antineoplastic*

tigozertinib

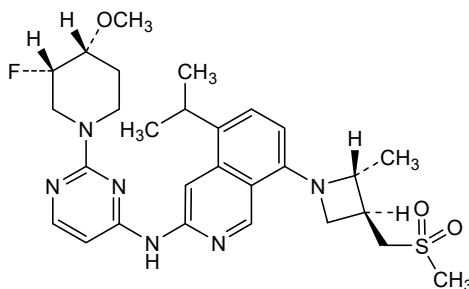
*N*-{2-[(3*S*,4*R*)-3-fluoro-4-méthoxypiperidin-1-yl]pyrimidin-4-yl}-8-[(2*R*,3*S*)-3-[(méthanesulfonyl)méthyl]-2-méthylazétidin-1-yl]-5-(propan-2-yl)isoquinoléin-3-amine  
*inhibiteur de la tyrosine kinase du récepteur du facteur de croissance épidermique (EGFR), antinéoplasique*

tigozertinib

*N*-{2-[(3*S*,4*R*)-3-fluoro-4-metoxypiperidin-1-il]pirimidin-4-il}-8-[(2*R*,3*S*)-3-[(metanosulfonyl)metil]-2-metilazetidín-1-il]-5-(propan-2-il)isoquinolein-3-amina  
*inhibidor de la tirosina kinasa del receptor del factor de crecimiento epidérmico (EGFR), antineoplásico*

C<sub>28</sub>H<sub>37</sub>FN<sub>6</sub>O<sub>3</sub>S

2660250-10-0

**tilatamigum #**

tilatamig

immunoglobulin G1-kappa/G1-lambda, anti-[*Homo sapiens* MET (met proto-oncogene, hepatocyte growth factor (HGF) receptor, HGFR, scatter factor (SF) receptor, HGF/SF receptor, receptor tyrosine-protein kinase c-met, papillary renal cell carcinoma 2, RCCP2)] and anti-[*Homo sapiens* EGFR (epidermal growth factor receptor, receptor tyrosine-protein kinase erbB-1, ERBB1, HER1, HER-1, ERBB)], *Homo sapiens* monoclonal antibody, bispecific;

H-gamma1 heavy chain anti-MET *Homo sapiens* (1-446) [VH (*Homo sapiens* IGHV1-8\*01 (95.9%) -(IGHD) -IGHJ3\*01 (100%), CDR-IMGT [8.8.9] (26-33.51-58.97-105)) (1-116)-*Homo sapiens* IGHG1\*03, G1m3, nG1m1 CH1 R120, CH3 E12, M14, G1v39 CH2 F1.3, E1.2, S116, G1v33 CH3 S22, A24, V86 (hole), G1v75 CH3 C5 (CH1 R120 (213) (117-214), hinge 1-15 (215-229), CH2 L1.3>F (233), L1.2>E (234), P116>S (330) (230-339), CH3 Y5>C (348), E12 (355), M14 (357) T22>S (365), L24>A (367), Y86>V (406) (hole) (340-444), CHS (445-446)) (117-446)], (219-214')-disulfide with L-kappa light chain anti-MET *Homo sapiens* (1'-214') [V-KAPPA (*Homo sapiens* IGKV1-5\*03 (92.6%) -IGKJ4\*01 (90.9%) V124>L (104'), CDR-IMGT [6.3.9] (27'-32'.50'-52'.89'-97')) (1'-107') -*Homo sapiens* IGKC\*01 (100%), Km3 A45.1 (153'), V101 (191') (108'-214')];

H-gamma1 heavy chain anti-EGFR *Homo sapiens* (1"-454") [VH (*Homo sapiens* IGHV1-69\*06 (83.7%) -(IGHD) -IGHJ1\*01 (100%), CDR-IMGT [8.8.17] (26"-33".51"-58".97"-113")) (1"-124") -*Homo*



- sapiens* IGHG1\*03, G1m3, nG1m1 CH1 R120, CH3 E12, M14, G1v39 CH2 F1.3, E1.2, S116, G1v32 CH3 W22 (knob), G1v74 CH3 C10, G1v58 CH1 C5, h V5 (CH1 F5>C (133"), R120 (221") (125"-222"), hinge 1-15 C5>V (227") (223"-237"), CH2 L1.3>F (241"), L1.2>E (242"), P116>S (338") (238"-347"), CH3 S10>C (361"), E12 (363"), M14 (365"), T22>W (373") (348"-452"), CHS (453"-454")) (125"-454")), (133"-126")-disulfide with L-lambda2 light chain anti-EGFR *Homo sapiens* (1"-217") [V-LAMBDA (*Homo sapiens* IGLV2-14\*05 (94.9%) -IGLJ2\*01 (90.9%), CDR-IMGT [9.3.11] (26"-34"-52"-54"-91"-101")) (1"-111") -*Homo sapiens* IGLC2\*01 (98.1%), LC2v58 C10, V126, S10>C (126"), C126>V (216") (112"-217")]; dimer (225-233":228-236")-bisdisulfide, produced in a cell line from Chinese hamster ovary (CHO) cells, derived from the cell line CHO-K1, glycoform alfa  
*antineoplastic*
- tilatamig immunoglobuline G1-kappa/G1-lambda, anti-[*Homo sapiens* MET (proto-oncogène met, récepteur du facteur de croissance hépatocytaire, HGFR, récepteur du facteur de dispersion (SF), récepteur de l'HGF/SF, récepteur protéine-tyrosine kinase c-met, carcinome papillaire à cellules rénales 2, RCCP2)] et anti-[*Homo sapiens* EGFR (récepteur du facteur de croissance épidermique, récepteur tyrosine-protéine kinase erbB-1, ERBB1, HER1, HER-1, ERBB)], anticorps monoclonal *Homo sapiens*, bispécifique; chaîne lourde H-gamma1 anti-MET *Homo sapiens* (1-446) [VH (*Homo sapiens* IGHV1-8\*01 (95.9%) -(IGHD) -IGHJ3\*01 (100%), CDR-IMGT [8.8.9] (26-33.51-58.97-105)) (1-116)-*Homo sapiens* IGHG1\*03, G1m3, nG1m1 CH1 R120, CH3 E12, M14, G1v39 CH2 F1.3, E1.2, S116, G1v33 CH3 S22, A24, V86 (hole), G1v75 CH3 C5 (CH1 R120 (213) (117-214), charnière 1-15 (215-229), CH2 L1.3>F (233), L1.2>E (234), P116>S (330) (230-339), CH3 Y5>C (348), E12 (355), M14 (357), T22>S (365), L24>A (367), Y86>V (406) (hole) (340-444), CHS (445-446)) (117-446)], (219-214')-disulfure avec la chaîne légère L-kappa anti-MET *Homo sapiens* (1'-214') [V-KAPPA (*Homo sapiens* IGKV1-5\*03 (92.6%) -IGKJ4\*01 (90.9%) V124>L (104), CDR-IMGT [6.3.9] (27'-32'.50'-52'.89'-97')) (1'-107') -*Homo sapiens* IGKC\*01 (100%), Km3 A45.1 (153'), V101 (191') (108'-214')]; chaîne lourde H-gamma1 anti-EGFR *Homo sapiens* (1"-454") [VH (*Homo sapiens* IGHV1-69\*06 (83.7%) -(IGHD) -IGHJ1\*01 (100%), CDR-IMGT [8.8.17] (26"-33"-51"-58"-97"-113")) (1"-124") -*Homo sapiens* IGHG1\*03, G1m3, nG1m1 CH1 R120, CH3 E12, M14, G1v39 CH2 F1.3, E1.2, S116, G1v32 CH3 W22 (knob), G1v74 CH3 C10, G1v58 CH1 C5, h V5 (CH1 F5>C (133"), R120 (221") (125"-222"), charnière 1-15 C5>V (227") (223"-237"), CH2 L1.3>F (241"), L1.2>E (242"), P116>S (338") (238"-347"), CH3 S10>C (361"), E12 (363"), M14 (365"), T22>W (373") (348"-452"), CHS (453"-454")) (125"-454")), (133"-126")-disulfure avec la chaîne légère L-lambda2 anti-EGFR *Homo sapiens* (1"-217") [V-LAMBDA (*Homo sapiens* IGLV2-14\*05 (94.9%) -IGLJ2\*01 (90.9%), CDR-IMGT [9.3.11] (26"-34"-52"-54"-91"-101")) (1"-111") -*Homo sapiens* IGLC2\*01 (98.1%), LC2v58 C10, V126, S10>C (126"), C126>V (216") (112"-217")]; dimère (225-233":228-236")-bisdisulfure, produit dans une lignée cellulaire des cellules ovariennes de hamster chinois (CHO), dérivant de la lignée cellulaire CHO-K1, glycoforme alfa  
*antineoplasique*
- tilatamig inmunoglobulina G1-kappa/G1-lambda, anti-[*Homo sapiens* MET (proto-oncogén met, receptor del factor de crecimiento hepatocitario, HGFR, receptor del factor de dispersión (SF), receptor del HGF/SF, receptor proteína-tirosina kinasa c-met, carcinoma papilar con células renales 2, RCCP2)] y anti-[*Homo sapiens* EGFR (receptor del factor de crecimiento epidérmico, receptor tirosina-proteína kinasa erbB-1, ERBB1, HER1, HER-1, ERBB)], anticuerpo monoclonal *Homo sapiens*, biespecifico;

cadena pesada H-gamma1 anti-MET *Homo sapiens* (1-446) [VH (*Homo sapiens* IGHV1-8\*01 (95.9%) -(IGHD) -IGHJ3\*01 (100%), CDR-IMGT [8.8.9] (26-33.51-58.97-105)) (1-116) -*Homo sapiens* IGHG1\*03, G1m3, nG1m1 CH1 R120, CH3 E12, M14, G1v39 CH2 F1.3, E1.2, S116, G1v33 CH3 S22, A24, V86 (hole), G1v75 CH3 C5 (CH1 R120 (213) (117-214), bisagra 1-15 (215-229), CH2 L1.3>F (233), L1.2>E (234), P116>S (330) (230-339), CH3 Y5>C (348), E12 (355), M14 (357), T22>S (365), L24>A (367), Y86>V (406) (hole) (340-444), CHS (445-446)) (117-446)]; (219-214')-disulfuro con la cadena ligera L-kappa anti-MET *Homo sapiens* (1'-214') [V-KAPPA (*Homo sapiens* IGKV1-5\*03 (92.6%) -IGKJ4\*01 (90.9%) V124>L (104), CDR-IMGT [6.3.9] (27'-32'.50'-52'.89'-97')) (1'-107') -*Homo sapiens* IGKC\*01 (100%), Km3 A45.1 (153'), V101 (191') (108'-214')];

cadena pesada H-gamma1 anti-EGFR *Homo sapiens* 1"-454") [VH (*Homo sapiens* IGHV1-69\*06 (83.7%) -(IGHD) -IGHJ1\*01 (100%), CDR-IMGT [8.8.17] (26"-33".51"-58".97"-113"")) (1"-124") -*Homo sapiens* IGHG1\*03, G1m3, nG1m1 CH1 R120, CH3 E12, M14, G1v39 CH2 F1.3, E1.2, S116, G1v32 CH3 W22 (knob), G1v74 CH3 C10, G1v58 CH1 C5, h V5 (CH1 F5>C (133"), R120 (221") (125"-222"), bisagra 1-15 C5>V (227") (223"-237"), CH2 L1.3>F (241"), L1.2>E (242"), P116>S (338") (238"-347"), CH3 S10>C (361"), E12 (363"), M14 (365"), T22>W (373") (348"-452"), CHS (453"-454"")) (125"-454"), (133"-126"")-disulfuro con la cadena ligera L-lambda2 anti-EGFR *Homo sapiens* (1"-217"") [V-LAMBDA (*Homo sapiens* IGLV2-14\*05 (94.9%) -IGLJ2\*01 (90.9%), CDR-IMGT [9.3.11] (26""-34"".52"-.54"-.91"-.101"")) (1"-.111"") -*Homo sapiens* IGLC2\*01 (98.1%), LC2v58 C10, V126, S10>C (126""), C126>V (216"") (112"-.217""); dimer (225-233":228-236")-bisdisulfuro, producido en una línea celular de las células ováricas de hámster chino (CHO), línea celular derivada de CHO-K1, forma glicosilada alfa

**antineoplásico**

2868265-50-1

Heavy chain / Chaîne lourde / Cadena pesada: anti-MET (hole) (H)  
 QVQLVQSGAE VKPKGASVKV SKAGSYTFF DYYIHWVRQA TQQGLEMMGW 50  
 MNPNSTNGTY AQKFGQRTVM TRDTSISTAY MELSLRSLED TAVYICARGQ 100  
 GYTHSWGQGT MVTVSSASTK GPSVFLAPS SKSTSGGTAA LGCLVKDYFP 150  
 EPVTVVNSNG ALTSGVHTFP AVLQSGLYS LSSVTVFSS SLGTQYIYCN 200  
 VNHKFSNTKV DRVVEPKCD KHTCFPCA FEEGGQSFV LFPKPKTL 250  
 MISRTPEVTC VVVDVSHEDP EVKFNWVDG VEVNHAKTRK REEQYNSTYR 300  
 VVSVLTLVHQ DWLNGKEYKC KVMKALPAS IEKTIKAKG QRPFPQVCTL 350  
 PPSREEMTKN QVSLSCAVRG FYPSDLIAVE ESNQGFENNY KTFPPVLDSD 400  
 GSFVFLSKLT VDKSRWQQGN VFVCSVMHEA LNHVYQKSL SLSFGK 446

Light chain / Chaîne légère / Cadena ligera: anti-MET (L)  
 DIQMTQSPST LSASVGDRTV ITCRASEGIY HNLAWYQKRP GKAPKLLIYK 50  
 ASSLSASGVPS RFGSGSGTE FTLTISLQIP DDFATYICQQ YSNYPPTFGG 100  
 GKLELIRKRV AAFSVFIIPP SEQLKSGTA SVVCLLNIFY FREAKVQKRV 150  
 DWLQSGNSQ ESVTEQDSKD STVSLSLT LSKADYERKH VVACEVTHQG 200  
 LSSPVTKSFN RQEC 214

Heavy chain / Chaîne lourde / Cadena pesada: anti-EGFR (knob) (H)  
 QVQLVQSGAE VKPKGASVKV SKAGSYTFF DNFVWRQA FQGLEMMGA 50  
 IVAVFRTETAY AQKFGQRTVKI TADISTRTRY MELSLRSLED TAVYICARRL 100  
 MSAISGPGAP LLMWGGTLV TVSSASTKGP SVCLPLAPSSK STSGGTAALG 150  
 CLVQDYFPEP VTVVNSGAL TSGVHTFFAV LQSSGLYLS SVVTVFSSLL 200  
 GQYTIICNWN HRFNTRKVDK RVEKSVDKT HCFPCPAFE FEGGFSVFLF 250  
 PFKKFTLMI SRTPEVTCVY VVDVSHEDP KFNWYDGE VNHAKTRER 300  
 EQYNSTYRVV SVLTLVHQDW LNKKEYCKV SNKALPASIE KTIKAKGQP 350  
 REPQVYTLPP CREEMTKNQV SLWCLVKGFY PSDIAVEVES NQGFENNYKT 400  
 TFPVLDSDGS FFLYKSLTVD KSRWQQGNV FVCSVMHEAL NHVYQKSLSL 450  
 SFGK 454

Light chain / Chaîne légère / Cadena ligera: anti-EGFR (L")  
 QSALTQPRSR SGSPGQSVTI SCTGTSSVDG GYNYVSWYQQ HPGKAPKLM 50  
 YVSRKRPFGV PDRFSGSKSG NTASLTIISGL QAEDEADYIC SSVYSSDITL 100  
 IFGGKRLTV LQPKAPASV TLFPSSEI QANNAITVCL IDDTYPAVAT 150  
 VAWKADSSPV KAGVETTPS QKSNKYAAS SYLSLITPEQW KSHRSYSCVQ 200  
 THEGSTVEKT VAPTEVS 217

**Post-translational modifications**

Disulfide bridges location / Position des ponts disulfure / Posiciones de los puentes disulfuro

Intra-H (C23-C104) 22-96 143-199 260-320 366-424  
 22"-96" 151"-207" 268"-328" 374"-432"

Intra-L (C23-C104) 23"-88" 134"-194"  
 22"-90" 139"-198"

Inter-H-L (h 5-CL 126) 219-214' 133"-126"

Inter-H-H (h 11, h 14) 225-233" 228-236"

Inter-H-H (CH3 C5-C10)\* 348-361"

\*variants G1v75 (CH3 C5) and G1v74 (CH3 C10) creating an additional inter-H-H disulfide bond

\*variantes G1v75 (CH3 C5) et G1v74 (CH3 C10) créant une liaison disulfure inter-H-H supplémentaire

\*variantes G1v75 (CH3 C5) y G1v74 (CH3 C10) que crean un enlace disulfuro inter-H-H adicional

N-terminal glutaminyl cyclization / Cyclisation du glutaminyle N-terminal / Ciclación del

glutaminilo N-terminal

Q > pyrroglutamyl (pE, 5-oxopropyl) / pyrroglutamyle (pE, 5-oxopropyle) / piroglutamilo

(pE, 5-oxoprolilo)

H VH Q1: 1, 1"

L VL Q1: 1"

N-glycosylation sites / Sites de N-glycosylation / Posiciones de N-glicosilación

H CH2 N84.4: 296, 304"

Fucosylated complex bi-antennary CHO-type glycans / glycanes de type CHO bi-antennaires

complexes fucosylés / glycanes de tipo CHO biantennarios complejos fucosilados.

C-terminal lysine clipping / Coupage de la lysine C-terminale / Recorte de lisina C-terminal

H CHS K2: 446, 454"

**tilatamigum samrotecانum #**  
tilatamig samrotecان

immunoglobulin G1-kappa/G1-lambda, anti-[*Homo sapiens* MET (met proto-oncogene, hepatocyte growth factor (HGF) receptor, HGFR, scatter factor (SF) receptor, HGF/SF receptor, receptor tyrosine-protein kinase c-met, papillary renal cell carcinoma 2, RCCP2)] and anti-[*Homo sapiens* EGFR (epidermal growth factor receptor, receptor tyrosine-protein kinase erbB-1, ERBB1, HER1, HER-1, ERBB)], *Homo sapiens* monoclonal antibody, bispecific, conjugated on 6 cysteinyl residues to *samrotecان*;  
H-gamma1 heavy chain anti-MET *Homo sapiens* (1-446) [VH (*Homo sapiens* IGHV1-8\*01 (95.9%) -(IGHD) - IGHJ3\*01 (100%), CDR-IMGT [8.8.9] (26-33.51-58.97-105)) (1-116)-*Homo sapiens* IGHG1\*03, G1m3, nG1m1 CH1 R120, CH3 E12, M14, G1v39 CH2 F1.3, E1.2, S116, G1v33 CH3 S22, A24, V86 (hole), G1v75 CH3 C5 (CH1 R120 (213) (117-214), hinge 1-15 (215-229), CH2 L1.3>F (233), L1.2>E (234), P116>S (330) (230-339), CH3 Y5>C (348), E12 (355), M14 (357) T22>S (365), L24>A (367), Y86>V (406) (hole) (340-444), CHS (445-446)) (117-446)], (219-214')-disulfide with L-kappa light chain anti-MET *Homo sapiens* (1'-214') [V-KAPPA (*Homo sapiens* IGHV1-5\*03 (92.6%) -IGKJ4\*01 (90.9%) V124>L (104'), CDR-IMGT [6.3.9] (27'-32'.50'-52'.89'-97')) (1'-107') -*Homo sapiens* IGKC\*01 (100%), Km3 A45.1 (153'), V101 (191') (108'-214')];  
H-gamma1 heavy chain anti-EGFR *Homo sapiens* (1"-454") [VH (*Homo sapiens* IGHV1-69\*06 (83.7%) -(IGHD) - IGHJ1\*01 (100%), CDR-IMGT [8.8.17] (26"-33".51"-58".97"-113")) (1"-124") -*Homo sapiens* IGHG1\*03, G1m3, nG1m1 CH1 R120, CH3 E12, M14, G1v39 CH2 F1.3, E1.2, S116, G1v32 CH3 W22 (knob), G1v74 CH3 C10, G1v58 CH1 C5, h V5 (CH1 F5>C (133"), R120 (221") (125"-222"), hinge 1-15 C5>V (227") (223"-237"), CH2 L1.3>F (241"), L1.2>E (242"), P116>S (338") (238"-347"), CH3 S10>C (361"), E12 (363"), M14 (365"), T22>W (373") (348"-452"), CHS (453"-454")) (125"-454"), (133"-126")-disulfide with L-lambda2 light chain anti-EGFR *Homo sapiens* (1'''-217''') [V-LAMBDA (*Homo sapiens* IGLV2-14\*05 (94.9%) -IGLJ2\*01 (90.9%), CDR-IMGT [9.3.11] (26'''-34'''-52'''-54'''-91'''-101''') (1'''-111''') -*Homo sapiens* IGLC2\*01 (98.1%), LC2v58 C10, V126, S10>C (126'''), C126>V (216''') (112'''-217''')]; dimer (225-233":228-236")-bisdisulfide, produced in a cell line from Chinese hamster ovary (CHO) cells, derived from the cell line CHO-K1, glycoform alfa; substituted at the sulfur atoms of L-cysteinyl residues 233, 236, 219", 225", 228" and 214"" with radical group 1-[(2S,5S)-1-[(9S)-9-ethyl-9-hydroxy-10,13-dioxo-2,3,9,10,13,15-hexahydro-1*H*,12*H*-benzo[*de*]pyrano[3',4':6,7]indolizino[1,2-*b*]quinolin-4-yl]amino)-2-methyl-1,4,7,35-tetraoxo-5-(propan-2-yl)-10,13,16,19,22,25,28,31-octaoxa-3,6,34-triazaheptatriacontan-37-yl]-2,5-dioxopyrrolidin-3-yl (*samrotecان*)  
*antineoplastic*

tilatamig samrotécán

immunoglobuline G1-kappa/G1-lambda, anti-[*Homo sapiens* MET (proto-oncogène met, récepteur du facteur de croissance hépatocytaire, HGFR, récepteur du facteur de dispersion (SF), récepteur de l'HGF/SF, récepteur protéine-tyrosine kinase c-met, carcinome papillaire à cellules rénales 2, RCCP2)] et anti-[*Homo sapiens* EGFR (récepteur du facteur de croissance épidermique, récepteur tyrosine-protéine kinase erbB-1, ERBB1, HER1, HER-1, ERBB)], anticorps monoclonal *Homo sapiens*, bispécifique, conjugué par 6 résidus cystéinyle au *samrotécán*;

chaîne lourde H-gamma1 anti-MET *Homo sapiens* (1-446) [VH (*Homo sapiens* IGHV1-8\*01 (95.9%) -(IGHD) -IGHJ3\*01 (100%), CDR-IMGT [8.8.9] (26-33.51-58.97-105)) (1-116)-*Homo sapiens* IGHG1\*03, G1m3, nG1m1 CH1 R120, CH3 E12, M14, G1v39 CH2 F1.3, E1.2, S116, G1v33 CH3 S22, A24, V86 (hole), G1v75 CH3 C5 (CH1 R120 (213) (117-214), charnière 1-15 (215-229), CH2 L1.3>F (233), L1.2>E (234), P116>S (330) (230-339), CH3 Y5>C (348), E12 (355), M14 (357), T22>S (365), L24>A (367), Y86>V (406) (hole) (340-444), CHS (445-446)) (117-446)], (219-214')-disulfure avec la chaîne légère L-kappa anti-MET *Homo sapiens* (1'-214') [V-KAPPA (*Homo sapiens* IGKV1-5\*03 (92.6%) -IGKJ4\*01 (90.9%) V124>L (104), CDR-IMGT [6.3.9] (27'-32'.50'-52'.89'-97')) (1'-107') -*Homo sapiens* IGKC\*01 (100%), Km3 A45.1 (153'), V101 (191') (108'-214')];

chaîne lourde H-gamma1 anti-EGFR *Homo sapiens* 1"-454") [VH (*Homo sapiens* IGHV1-69\*06 (83.7%) -(IGHD) -IGHJ1\*01 (100%), CDR-IMGT [8.8.17] (26"-33".51"-58".97"-113")) (1"-124") -*Homo sapiens* IGHG1\*03, G1m3, nG1m1 CH1 R120, CH3 E12, M14, G1v39 CH2 F1.3, E1.2, S116, G1v32 CH3 W22 (knob), G1v74 CH3 C10, G1v58 CH1 C5, h V5 (CH1 F5>C (133")), R120 (221") (125"-222"), charnière 1-15 C5>V (227") (223"-237"), CH2 L1.3>F (241"), L1.2>E (242"), P116>S (338") (238"-347"), CH3 S10>C (361"), E12 (363"), M14 (365"), T22>W (373") (348"-452"), CHS (453"-454")) (125"-454")], (133"-126"")-disulfure avec la chaîne légère L-lambda2 anti-EGFR *Homo sapiens* (1""-217"" [V-LAMBDA (*Homo sapiens* IGLV2-14\*05 (94.9%) -IGLJ2\*01 (90.9%), CDR-IMGT [9.3.11] (26""-34""-52""-54""-91""-101"")) (1""-111"" -*Homo sapiens* IGLC2\*01 (98.1%), LC2v58 C10, V126, S10>C (126""), C126>V (216"" (112""-217"")); dimère (225-233":228-236")-bisdisulfure, produit dans une lignée cellulaire des cellules ovariennes de hamster chinois (CHO), dérivant de la lignée cellulaire CHO-K1, glycoforme alfa; substitué sur l'atome de soufre des résidus L-cystéinyle 233, 236, 219", 225", 228" et 214"" avec un groupement radical 1-[(2S,5S)-1-[[[9S)-9-éthyl-9-hydroxy-10,13-dioxo-2,3,9,10,13,15-hexahydro-1H,12H-benzo[de]pyrano[3',4':6,7]indolizino[1,2-b]quinoléin-4-yl]amino]-2-méthyl-1,4,7,35-tétraoxo-5-(propan-2-yl)-10,13,16,19,22,25,28,31-octaoxa-3,6,34-triazaheptatriacontan-37-yl]-2,5-dioxopyrrolidin-3-yle (*samrotécán*)

*antinéoplasique*

tilatamig samrotecán

inmunoglobulina G1-kappa/G1-lambda, anti-[*Homo sapiens* MET (proto-oncogén met, receptor del factor de crecimiento hepatocitario, HGFR, receptor del factor de dispersión (SF), receptor del HGF/SF, receptor proteína-tirosina kinasa c-met, carcinoma papilar con células renales 2, RCCP2)] y anti-[*Homo sapiens* EGFR (receptor del factor de crecimiento epidérmico, receptor tirosina-proteína kinasa erbB-1, ERBB1, HER1, HER-1, ERBB)], anticuerpo monoclonal *Homo sapiens*, biespecífico, conjugado por 6 residuos cisteinilo al *samrotecán*;

cadena pesada H-gamma1 anti-MET *Homo sapiens* (1-446) [VH (*Homo sapiens* IGHV1-8\*01 (95.9%) - (IGHD) -IGHJ3\*01 (100%), CDR-IMGT [8.8.9] (26-33.51-58.97-105)) (1-116)-*Homo sapiens* IGHG1\*03, G1m3, nG1m1 CH1 R120, CH3 E12, M14, G1v39 CH2 F1.3, E1.2, S116, G1v33 CH3 S22, A24, V86 (hole), G1v75 CH3 C5 (CH1 R120 (213) (117-214), bisagra 1-15 (215-229), CH2 L1.3>F (233), L1.2>E (234), P116>S (330) (230-339), CH3 Y5>C (348), E12 (355), M14 (357), T22>S (365), L24>A (367), Y86>V (406) (hole) (340-444), CHS (445-446)) (117-446)], (219-214')-disulfuro con la cadena ligera L-kappa anti-MET *Homo sapiens* (1'-214') [V-KAPPA (*Homo sapiens* IGKV1-5\*03 (92.6%) -IGKJ4\*01 (90.9%) V124>L (104), CDR-IMGT [6.3.9] (27'-32'.50'-52'.89'-97')) (1'-107') -*Homo sapiens* IGKC\*01 (100%), Km3 A45.1 (153'), V101 (191') (108'-214')];

cadena pesada H-gamma1 anti-EGFR *Homo sapiens* 1"-454") [VH (*Homo sapiens* IGHV1-69\*06 (83.7%) - (IGHD) -IGHJ1\*01 (100%), CDR-IMGT [8.8.17] (26"-33".51"-58".97"-113")) (1"-124") -*Homo sapiens* IGHG1\*03, G1m3, nG1m1 CH1 R120, CH3 E12, M14, G1v39 CH2 F1.3, E1.2, S116, G1v32 CH3 W22 (knob), G1v74 CH3 C10, G1v58 CH1 C5, h V5 (CH1 F5>C (133"), R120 (221") (125"-222"), bisagra 1-15 C5>V (227") (223"-237"), CH2 L1.3>F (241"), L1.2>E (242"), P116>S (338") (238"-347"), CH3 S10>C (361"), E12 (363"), M14 (365"), T22>W (373") (348"-452"), CHS (453"-454")) (125"-454"), (133"-126")-disulfuro con la cadena ligera L-lambda2 anti-EGFR *Homo sapiens* (1""-217""") [V-LAMBDA (*Homo sapiens* IGLV2-14\*05 (94.9%) -IGLJ2\*01 (90.9%), CDR-IMGT [9.3.11] (26""-34""".52""-54""".91""-101""")) (1""-111""") -*Homo sapiens* IGLC2\*01 (98.1%), LC2v58 C10, V126, S10>C (126""), C126>V (216""") (112""-217""");

dímero (225-233":228-236")-bisulfuro, producido en una línea celular de las células ováricas de hámster chino (CHO), línea celular derivada de CHO-K1, forma glicosilada alfa; sustituido en el átomo de azufre de los residuos L-cisteinilo 233, 236, 219", 225", 228" y 214" con un grupo radical 1-[(2S,5S)-1-[[[(9S)-9-etil-9-hidroxi-10,13-dioxo-2,3,9,10,13,15-hexahidro-1H,12H-benzo[de]pirano[3',4':6,7]indolizino [1,2-b]quinolin-4-il]amino]-2-metil-1,4,7,35-tetraoxo-5-(propan-2-il)-10,13,16,19, 22, 25,28,31-octaoxa-3,6,34-triazaheptatriacontan-37-il]-2,5-dioxopirrolidin-3-ilo (*samrotecán*)

*antineoplásico*

2868265-77-2

**Heavy chain / Chaîne lourde / Cadena pesada: anti-MET (hole) (H)**

QVQLVQSGAE VKKFGASVKV SCKASGYTFT DYYIHWVRQA TGGGLEWNGW 50  
 MNFNSGNTGY AQKFGQGRVTM TRDTSISTAY MELSSLRSED TAVYYCARGQ 100  
 GYTHSWGQGT MVTVSSASTK GPSVFLPLAS SKSTSGGTAA LGCLVKDYFP 150  
 EPVTVSNWSG ALTSGVHTFP AVLQSSGLYS LSSVVTVPSS SLGPTQYICN 200  
 VNHKFSNTKV DKRVPEKSCD KHTCTPPCPA PEFEGGSPVF LFPPKPKDTL 250  
 MISRTPEVTC VVVDVSHEDF EVKFNWYVDG VEVHNAKTKP REEQYNSTYR 300  
 VVSVLTVLHQ DWLNGKEYKQ KVSNKALPAS IETKISKAKG QREPFQVCTL 350  
 PPSREEMTKN QVLSLCAVKG FYPDSIAVEW ESNQGPENNY KTTPEVLDSD 400  
 GSFLLVSKLT VDKSRWQQGN VFSCVMHEA LHNHYTQKSL SLSPGK 446

**Light chain / Chaîne légère / Cadena ligera: anti-MET (L')**

DIQMTPSPST LSASVGDVRVT ITCRASEGIY HMLAWYQQKP GKAPKLLIYK 50  
 ASSLASGVFS RFSGSGSGTET FTLTISLQPF DDFATVYCCQ YSNYPTTFGG 100  
 GTKLEIKRTV AAPSVFIFPP SDEQLKSGTA SVVCLLNIFY PREAKVQMKV 150  
 DNALQSGNSQ ESVTFQDQSKD STYLSLSTLT LSKADYKHKV VYACEVTHQG 200  
 LSSPVTKSFN RGECC 214

**Heavy chain / Chaîne lourde / Cadena pesada: anti-EGFR (knob) (H'')**

QVQLVQSGAE VKKFGSSVRV SCKASGGTFS DNFDSWVRQA FGQGLEWNGA 50  
 IVAVFTERTY AQKFGQDRYKI TADISTRRTY MELSSLRSED TAVYYCARRL 100  
 MSAISGFGAP LLMWGGQGLV TVSSASTKGP SVCPPLAPSSK STSGGTAAALG 150  
 CLVKDYFPPEP VTVSNWSGAL TSGVHTFPVAV LQSSGLYSLS SVVTVPSSSL 200  
 GTCYVICNWN HKFSNNTKVK RVEPKSVDKT HTCPFCPAPE FGGGSPVFLF 250  
 FRKPKDTLMI SRTPEVTCV VVSHEDDEV KFNWVVDGVE VINAQKPKPE 300  
 EQNSTYRVV SVLTVLHQDW LAGKEYKCKV SNKALPASIE KTIKAKQCP 350  
 REPQVYTFLE CREEMTKNQV SLWCLVKGKY PSDIAVEWES NQGPENNYKT 400  
 TPEVLDSDGS FFLYSKLTVD KSRWQQGNVF SCSVMHEAL NHYTQKSLSL 450  
 SPGK 454

**Light chain / Chaîne légère / Cadena ligera: anti-EGFR (L'')**

QSALTQPRSV SSGSPGQSVTI SCTGTSSDVG GYNYVSWYQQ HPGKAPKPLMI 50  
 YDVKSRPFSV PDRFSGSKSG NTASLTISGL QAEDAADYCY SSYTSSDTLE 100  
 IFGGGTKLTV LGQPKAARSV TLFPPCSEEL QANKATLVCL ISDFYPGAFT 150  
 VAWKADSSPV KAGVETTFPS KQSNNKYAAS SYLSLTPPEQW KSHRSYSQCV 200  
 THEGSTVEKT VAPTEVS 217

**Post-translational modifications**

Disulfide bridges location / Position des ponts disulfure / Posiciones de los puentes disulfuro

Intra-H (C23-C104) 22°-96' 143°-199' 260°-320' 366°-424'  
 22°-96' 151°-207' 268°-328' 374°-432"

Intra-L (C23-C104) 23°-88' 134°-194'  
 22°-90' 139°-198"

Inter-H-L (h 5-CL 126)\* 219°-214' 133°-126"

Inter-H-H (h 11, h 14)\* 225°-233' 228°-236"

Inter-H-H (CH3 C5-C10)\*\* 348°-361"

\*At least three inter-chain disulfide bridges are not present, an average of 6 cysteinyl being conjugated each via a thioether bond to a drug linker.

\*Au moins trois ponts disulfures inter-chaînes ne sont pas présents, 6 cystéinyl en moyenne étant chacun conjugué via une liaison thioéther à un linker-principe actif.

\*Al menos tres puentes disulfuro inter-catenarios no están presentes, una media de 6 cisteinil está conjugada a conectores de principio activo.

\*\*variants G1v75 (CH3 C5) and G1v74 (CH3 C10) creating an additional inter-H-H disulfide bond.

\*\*variantes G1v75 (CH3 C5) et G1v74 (CH3 C10) créant une liaison disulfure inter-H-H supplémentaire.

\*\*variantes G1v75 (CH3 C5) y G1v74 (CH3 C10) que crean un enlace disulfuro inter-H-H adicional.

N-terminal glutaminy cyclization / Cyclisation du glutaminyle N-terminal / Ciclación del glutamínilo N-terminal

Q> pyroglutamyl (pE, 5-oxopropyl) / pyroglutamyle (pE, 5-oxopropyle) / piroglutamilo (pE, 5-oxopropilo)

HVH Q1: 1, 1"

LVL Q1: 1"

N-glycosylation sites / Sites de N-glycosylation / Posiciones de N-glicosilación

HCH2 N84.4: 296, 304"

Fucosylated complex bi-antennary CHO-type glycans / glycanes de type CHO bi-antennaires

complexes fucosylés / glicanos de tipo CHO biantennarios complejos fucosilados.

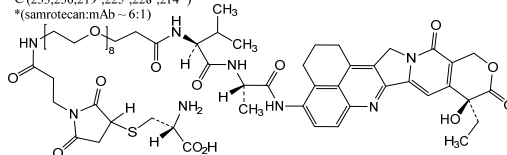
C-terminal lysine clipping / Coupeure de la lysine C-terminale / Recorte de lisina C-terminal

HCHS K2: 446, 454"

Modified residues / résidus modifiés / restos modificados\*

C (233, 236, 219°, 225°, 228°, 214°)

\*(samrotectan: mAb ~ 6:1)



**trastuzumabum envedotinum #**

trastuzumab envedotin immunoglobulin G1-kappa, anti-[*Homo sapiens* ERBB2 (receptor tyrosine-protein kinase erbB-2, epidermal growth factor receptor 2, EGFR2, HER2, HER-2, p185c-erbB2, NEU, CD340)], humanized monoclonal antibody, conjugated at glutaminyl residues to monomethylauristatin E (MMAE), with a ratio of 1 to 2, via a cleavable linker;  
 H-gamma1 heavy chain humanized (1-450) [VH (*Homo sapiens* IGHV3-66\*01 (81.6%) -(IGHD) -IGHJ4\*01 (100%), CDR-IMGT [8.8.13] (26-33.51-58.97-109)) (1-120) -*Homo sapiens* IGHG1\*03v, G1m3>G1m17, nG1m1 CH1 K120, CH3 E12, M14 (CH1 R120>K (217) (121-218), hinge 1-15 (219-233), CH2 (234-343), CH3 E12 (359), M14 (361) (344-448), CHS (449-450)) (121-450)], (223-214')-disulfide with L-kappa light chain humanized (1'-214') [V-KAPPA (*Homo sapiens* IGKV1-39\*01 (86.3%) -IGKJ1\*01 (100%), CDR-IMGT [6.3.9] (27'-32'.50'-52'.89'-97')) (1'-107') - *Homo sapiens* IGKC\*01 (100%), Km3 A45.1 (153'), V101 (191') (108'-214')]; dimer (229-229":232-232")-bisdisulfide, produced in Chinese hamster ovary (CHO) cells, glycoform alfa; substituted at the side chain nitrogen atom of L-glutaminyl residues 298 and 298" with a radical group consisting of (6S,9S)-1-amino-6-({4-[(5S,8S,11S,12R)-11-[(2S)-butan-2-yl]-12-(2-[(2S)-2-[(1R,2R)-3-[(1S,2R)-1-hydroxy-1-phenylpropan-2-yl]amino]-1-methoxy-2-methyl-3-oxopropyl]pyrrolidin-1-yl)-2-oxoethyl)-4,10-dimethyl-3,6,9-trioxo-5,8-di(propan-2-yl)-2,13-dioxo-4,7,10-triazatetradecyl]phenyl)carbamoyl)-1,8,11-trioxo-9-(propan-2-yl)-13,16,19-trioxa-2,7,10-triazahenicosan-21-yl (*envedotin*)  
*antineoplastique*

## trastuzumab envédotine

immunoglobuline G1-kappa, anti-[*Homo sapiens* ERBB2 (récepteur tyrosine-protéine kinase erbB-2, récepteur 2 du facteur de croissance épidermique, EGFR2, HER2, HER-2, p185c-erbB2, NEU, CD340)], anticorps monoclonal humanisé, conjugué, par des résidus glutaminyle, au monométhylauristatine E (MMAE), via un linker clivable avec un rapport de 1 pour 2;  
 chaîne lourde H-gamma1 humanisé(1-450) [VH (*Homo sapiens* IGHV3-66\*01 (81.6%) -(IGHD) -IGHJ4\*01 (100%), CDR-IMGT [8.8.13] (26-33.51-58.97-109)) (1-120) -*Homo sapiens* IGHG1\*03v, G1m3>G1m17, nG1m1 CH1 K120, CH3 E12, M14 (CH1 R120>K (217) (121-218), charnière 1-15 (219-233), CH2 (234-343), CH3 E12 (359), M14 (361) (344-448), CHS (449-450)) (121-450)], (223-214')-disulfure avec la chaîne légère L-kappa humanisée (1'-214') [V-KAPPA (*Homo sapiens* IGKV1-39\*01 (86.3%) -IGKJ1\*01 (100%), CDR-IMGT [6.3.9] (27'-32'.50'-52'.89'-97')) (1'-107') -*Homo sapiens* IGKC\*01 (100%), Km3 A45.1 (153'), V101 (191') (108'-214')]; dimère (229-229":232-232")-bisdisulfure, produit dans des cellules ovariennes de hamster chinois (CHO), glycoforme alfa; substitué sur l'atome d'azote de la chaîne latérale des résidus L-glutaminyle 298 et 298" avec un groupement radical (6S,9S)-1-amino-6-({4-[(5S,8S,11S,12R)-11-[(2S)-butan-2-yl]-12-(2-[(2S)-2-[(1R,2R)-3-[(1S,2R)-1-hydroxy-1-phenylpropan-2-yl]amino]-1-méthoxy-2-méthyl-3-oxopropyl]pyrrolidin-1-yl)-2-oxoéthyl)-4,10-diméthyl-3,6,9-trioxo-5,8-di(propan-2-yl)-2,13-dioxo-4,7,10-triazatétradécyl]phényl)carbamoyl)-1,8,11-trioxo-9-(propan-2-yl)-13,16,19-trioxa-2,7,10-triazahénicosan-21-yle (*envédotine*)  
*antinéoplasique*

## trastuzumab envedotina

inmunoglobulina G1-kappa, anti-[*Homo sapiens* ERBB2 (receptor tirosina-proteína kinasa erbB-2, receptor 2 del factor de crecimiento epidérmico, EGFR2, HER2, HER-2, p185c-erbB2, NEU, CD340)], anticuerpo monoclonal humanizado, conjugado,

por los residuos glutaminil, a la monometilauristatina E (MMAE) a través de un enlace escindible, con una proporción de uno a dos; cadena pesada H-gamma1 humanizada(1-450) [VH (*Homo sapiens* IGHV3-66\*01 (81.6%) -(IGHD) -IGHJ4\*01 (100%), CDR-IMGT [8.8.13] (26-33.51-58.97-109)) (1-120) -*Homo sapiens* IGHG1\*03v, G1m3>G1m17, nG1m1 CH1 K120, CH3 E12, M14 (CH1 R120>K (217) (121-218), bisagra 1-15 (219-233), CH2 (234-343), CH3 E12 (359), M14 (361) (344-448), CHS (449-450)) (121-450)], (223-214')-disulfuro con la cadena ligera L-kappa humanizada (1'-214') [V-KAPPA (*Homo sapiens* IGKV1-39\*01 (86.3%) -IGKJ1\*01 (100%), CDR-IMGT [6.3.9] (27'-32'.50'-52'.89'-97'')) (1'-107') -*Homo sapiens* IGKC\*01 (100%), Km3 A45.1 (153'), V101 (191') (108'-214')]; dímero (229-229":232-232")-bisulfuro, producido en las células ováricas de hámster chino (CHO), forma glicosilada alfa; sustituido en el átomo de nitrógeno de la cadena lateral de los residuos de L-glutaminilo 298 y 298" con un grupo radical (6S,9S)-1-amino-6-{{4-[[{(5S,8S,11S, 12R)-11-[[{(2S)-butan-2-il]-12-{2-[[{(2S)-2-[[{(1R,2R)-3-[[{(1S,2R)-1-fenil-1-hidroxiopropan-2 -il]amino}-1-metoxi-2-metil-3-oxopropil]pirolidin-1-il]-2-oxoetil)-4, 10-dimetil-3,6,9-trioxo-5,8-di-(propan-2-il)-2,13-dioxo-4,7,10-triazatetradecil]fenil]carbamoil)-1,8,11-trioxo-9-(propan-2-il)-13,16,19- trioxa-2,7,10-triazhenicosan-21-il (*envedotina*)  
*antineoplásico*

2865132-89-2

**Heavy chain / Chaîne lourde / Cadena pesada**

```

EVQLVESGGG LVQPFGSLLK SCAASGFINK DTYIHWRQDA PGKGLNVAR 50
IYFTNGYTRY ADSVKGKFTI SADTSNRYA LQMNSLRAED TAVYYCSRWG 100
GGDFYMYDW QQTILVIVSS ASTKGSVFFI LAFSKSTSG GTALGCLVK 150
DYFPEPVTVS WNSGALTSYV HFFPAVLGSS GLYSLSVVT VFSSSLGTOT 200
YICNNHKPS NTKYDKKVEP KSCDKTHTCP PCPAPELLGG PSVFLFPPPK 250
KDTLMIKSRTP EYTCVVVDVS HEDPEVKFNW YVDGVEVHNA KTKPREEQYN 300
STYRVSVSLT VLHQDWLNGK EYCKVSNKA LPAPIEKTIK KAKGQPREPK 350
VYTLPPSREE MTRNQVSLTC LVKGFYPSDI AVEWESNGQP ENNYKTTPEV 400
LDSGDSFFLY SKLTVDKSRW QQGNVFCSCV MHEALHNHYT QKSLSLSPGK 450

```

**Light chain / Chaîne légère / Cadena ligera**

```

DIQMTPSPSS LSASVGDVVT ITCRASQDWN TAVAWYQQPK GKAPKLLIYS 50
ASFLYSGVPS RFGSGRSQTD FTLIISLQPF EDFATYYCQQ HYTPPTPFQ 100
GTKVEIKRVT AAPSVFIFPP SDEQLKSGTA SVVCLLNIFY PREAKVQWKV 150
DNALQSGNSQ ESVTEQDSKD STYLSLSLTL LSKADYERKHK VYACEVTHQG 200
LSSPVTKSFN RGEK 214

```

**Post-translational modifications**

Disulfide bridges location / Position des ponts disulfure / Posiciones de los puentes disulfuro

Intra-H (C23-C104) 22-96 147-203 264-324 370-428  
 Intra-L (C23-C104) 23'-88" 134'-194"  
 23"-88" 134"-194"

Inter-H-L (h5-CL 126) 223-214' 223'-214"

Inter-H-H (h 11, h 14) 229-229" 232-232"

Specific drug attachment site / Site spécifique de fixation / Sitio específico de unión  
 H CH2 Q84.2: 298, 298"

N-glycosylation sites / Sites de N-glycosylation / Posiciones de N-glicosilación

H CH2 N84.4: 300, 300"

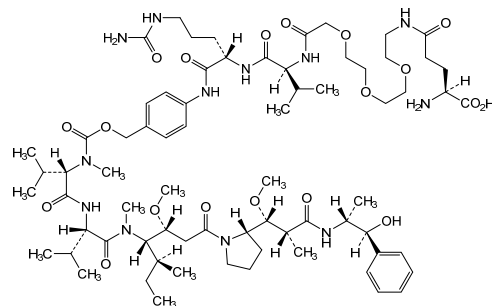
Fucosylated complex bi-antennary CHO-type glycans / glycanes de type CHO bi-antennaires complexes fucosylés / glicanos de tipo CHO biantenaricos complejos fucosilados

C-terminal lysine clipping / Coupure de la lysine C-terminale / Recorte de lisina C-terminal  
 H CHS K2: 450, 450"

Modified residues / résidus modifiés / restos modificados\*

Q (298, 298")

\*(envedotin.mAb - 2:1)





**trosunilimabum #**

trosunilimab

immunoglobulin G1-kappa, anti-[*Homo sapiens* integrin ITGA4\_ITGB7 (integrin alpha4 (CD49d)\_beta7, integrin alpha4beta7, lymphocyte Peyer's patch adhesion molecule 1, LPAM-1)]; gamma1 heavy chain (1-442) [VH (*Homo sapiens*IGHV1-69\*11 (80.0%) -(IGHD)-IGHJ3\*01 (92.3%) M123>T (107), CDR-IMGT [8.8.5] (26-33.51-58.97-101)) (1-112) -*Homo sapiens* IGHG1\*03v, G1m3>G1m17, nG1m1 (CH1 R120>K (209) (113-210), hinge 1-15 (211-225), CH2 (226-335), CH3 E12 (351), M14 (353) (336-440), CHS (441-442)) (113-442)], (215-214')-disulfide with kappa light chain (1'-214') [V-KAPPA Musmus/Homsap (*Mus musculus* IGKV14-100\*01 (85.3%) -IGKJ1\*01 (91.7%) L124>V (104)/*Homo sapiens* IGKV1-33\*01 (80.0%) -IGKJ4\*01 (100%), CDR-IMGT [6.3.9] (27-32.50-52.89-97)) (1'-107') -*Homo sapiens* IGKC\*01 (100%), Km3 A45.1 (153), V101 (191) (108'-214')]; dimer (221-221":224-224")-bisulfide, produced in Chinese hamster ovary (CHO) cells, glycoform alfa  
*immunomodulator*

trosunilimab

immunoglobuline G1-kappa, anti-[*Homo sapiens* intégrine ITGA4\_ITGB7 (intégrine alpha4 (CD49d)\_bêta7, intégrine alpha4beta7, récepteur d'adressage spécifique des plaques de Peyer, LPAM-1)]; chaîne lourde gamma1 (1-442) [VH (*Homo sapiens* IGHV1-69\*11 (80.0%) -(IGHD)-IGHJ3\*01 (92.3%) M123>T (107), CDR-IMGT [8.8.5] (26-33.51-58.97-101)) (1-112) -*Homo sapiens* IGHG1\*03v, G1m3>G1m17, nG1m1 (CH1 R120>K (209) (113-210), charnière 1-15 (211-225), CH2 (226-335), CH3 E12 (351), M14 (353) (336-440), CHS (441-442)) (113-442)], (215-214')-disulfure avec la chaîne légère kappa (1'-214') [V-KAPPA Musmus/Homsap (*Mus musculus* IGKV14-100\*01 (85.3%) -IGKJ1\*01 (91.7%) L124>V (104)/*Homo sapiens* IGKV1-33\*01 (80.0%) -IGKJ4\*01 (100%), CDR-IMGT [6.3.9] (27-32.50-52.89-97)) (1'-107') -*Homo sapiens* IGKC\*01 (100%), Km3 A45.1 (153), V101 (191) (108'-214')]; dimère (221-221":224-224")-bisdisulfure, produit dans des cellules ovariennes de hamster chinois (CHO), glycoforme alfa  
*immunomodulateur*

trosunilimab

immunoglobulina G1-kappa, anti-[*Homo sapiens* integrina ITGA4\_ITGB7 (integrina alfa4 (CD49d)\_beta7, integrina alpha4beta7, receptor específico de las placas de Peyer, LPAM-1)]; cadena pesada gamma1 (1-442) [VH (*Homo sapiens* IGHV1-69\*11 (80.0%) -(IGHD)-IGHJ3\*01 (92.3%) M123>T (107), CDR-IMGT [8.8.5] (26-33.51-58.97-101)) (1-112) -*Homo sapiens* IGHG1\*03v, G1m3>G1m17, nG1m1 (CH1 R120>K (209) (113-210), bisagra 1-15 (211-225), CH2 (226-335), CH3 E12 (351), M14 (353) (336-440), CHS (441-442)) (113-442)], (215-214')-disulfure con la cadena ligera kappa (1'-214') [V-KAPPA Musmus/Homsap (*Mus musculus* IGKV14-100\*01 (85.3%) -IGKJ1\*01 (91.7%) L124>V (104)/*Homo sapiens* IGKV1-33\*01 (80.0%) -IGKJ4\*01 (100%), CDR-IMGT [6.3.9] (27-32.50-52.89-97)) (1'-107') -*Homo sapiens* IGKC\*01 (100%), Km3 A45.1 (153), V101 (191) (108'-214')]; dímero (221-221":224-224")-bisdisulfuro, producido en las células ováricas de hámster chino (CHO), forma glicosilada alfa  
*immunomodulador*

2550297-60-2

## Heavy chain / Chaîne lourde / Cadena pesada

EVQLVQSGAE VKKPGSSVKV SCKASGFNIK NTYMHWRQA PGQGLEWIGR 50  
 IDPAKGHT EY APKFLGRVTI TADESTNAY MELSSLRSED TAVYCYVDV 100  
 VMGQGTTVTV SSASTKGPSV FPLAPSSKST SGGTAALGCL VKDYFPEEPT 150  
 VSMNSGALTS GVHTFPAVLQ SSGLYLSLSV VTPVSSSLGT QTYICNVNKH 200  
 PSNTKVDKVK EPKSCDKHTH CPPCPAPELL GGPSVFLFPP KFKDTLMISR 250  
 TFEVTCVVVD VSHEDPEVKF NWYVDGVEVH NAKTKFREEQ YNSTYRVVSV 300  
 LTVLHQDWLN GKEYKCKVSN KALPAPIEKT ISKARGQPRE PQVYTLPPSR 350  
 EEMTKNQVSL TCLVKGFYPS DIAVEWESNG QPENNYKTTT PVLDSGDSFF 400  
 LYSKLTVDKS RWQQGNVFSC SVMHEALHNN YTQKSLSLSP GK 442

## Light chain / Chaîne légère / Cadena ligera

DIQMTQSPSS LSASVGRDRT ITCASQDIS DNIGWLQKQP GKSFKLLIYH 50  
 GTNLEDGVPS RFSGSGSGTD YTLTISLQEP EDFATYYCVQ YAQFPWFVGG 100  
 GTKVEIKRTV AAPSVFIFPP SDEQLKSGTA SVVCLLNIFY PREAKVQWKV 150  
 DNALQSGNSQ ESVTEQDSKD STYLSLSTLT LSKADYERKH VYACEVTHQG 200  
 LSSPVTKSFN RGEK 214

## Post-translational modifications

Disulfide bridges location / Position des ponts disulfure / Posiciones de los puentes disulfuro

Intra-H (C23-C104) 22-96 139-195 256-316 362-420  
 22"-96" 139"-195" 256"-316" 362"-420"

Intra-L (C23-C104) 23'-88" 134'-194"  
 23'''-88''' 134'''-194'''

Inter-H-L (h 5-CL 126) 215-214" 215"-214"

Inter-H-H (h 11, h 14) 221-221" 224-224"

N-glycosylation sites / Sites de N-glycosylation / Posiciones de N-glicosilación

H CH2 N84.4: 292, 292"

Fucosylated complex bi-antennary CHO-type glycans / glycanes de type CHO bi-antennaires complexes fucosylés / glicanos de tipo CHO biantenarijos complejos fucosilados.

C-terminal lysine clipping / Coupure de la lysine C-terminale / Recorte de lisina C-terminal  
 H CHS K2: 442, 442"

**ulintocloxum pegondrimerum**

ulintoclox pegondrimer

$\alpha$ -(diphenylmethyl)- $\omega^2$ -dotriacontakis{2-[(2-{2-[(3R, 11R)-1<sup>4</sup>-chloro-3-hydroxy-6,8,8-trioxo-9<sup>3</sup>-(trifluoromethanesulfonyl)-8 $\lambda^6$ , 13-dithia-7, 10-diaza-4(4, 1)-piperidina-1, 14(1), 2(1, 2), 5, 9(1, 4)-pentabenzénatetradecaphan-11-yl]ethyl}(methyl)amino]ethoxy}-2-oxoethyl)(methyl)amino]acetamido)- $\omega^6$ -dotriacontakis{2-[ $\alpha$ -methylpoly(oxyethylene)- $\omega$ -oxy]acetamido}-*dendro*<sup>G6</sup>-{azanediy[(2S)-1-oxohexane-1, 2, 6-triyl]}}

*B-cell lymphoma 2 (Bcl-2) inhibitor, antineoplastic*

ulintoclox pégontrimère

$\alpha$ -(diphénylméthyl)- $\omega^2$ -dotriacontakis{2-[(2-{2-[(3R, 11R)-1<sup>4</sup>-chloro-3-hydroxy-6,8,8-trioxo-9<sup>3</sup>-(trifluorométhanesulfonyl)-8 $\lambda^6$ , 13-dithia-7, 10-diaza-4(4, 1)-pipéridina-1, 14(1), 2(1, 2), 5, 9(1, 4)-pentabenzénatétradecaphan-11-yl]éthyl}(méthyl)amino]éthoxy}-2-oxoéthyl)(méthyl)amino]acétamido)- $\omega^6$ -dotriacontakis{2-[ $\alpha$ -méthylpoly(oxyéthylène)- $\omega$ -oxy]acétamido}-*dendro*<sup>G6</sup>-{azanediy[(2S)-1-oxohexane-1, 2, 6-triyle]}}

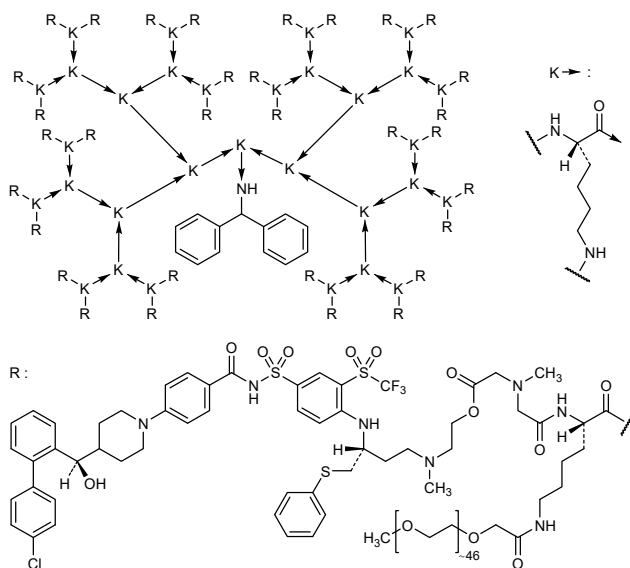
*inhibiteur du lymphome 2 à cellules B (Bcl-2), antinéoplasique*

ulintoclox pegondrímero

$\alpha$ -(difenilmetil)- $\omega^2$ -dotriacontakis{2-[(2-{2-[(3R, 11R)-1<sup>4</sup>-cloro-3-hidroxi-6,8,8-trioxo-9<sup>3</sup>-(trifluorometanosulfonyl)-8 $\lambda^6$ , 13-ditia-7, 10-diaza-4(4, 1)-piperidina-1, 14(1), 2(1, 2), 5, 9(1, 4)-pentabencenatetradecafan-11-il]etil}(metil)amino]etoxi)-2-oxoetil)(metil)amino]acetamido)- $\omega^6$ -dotriacontakis{2-[ $\alpha$ -metilpoli(oxietileno)- $\omega$ -oxi]acetamido}-*dendro*<sup>G6</sup>-{azanodil[(2S)-1-oxohexano-1, 2, 6-triilo]}}

*inhibidor del linfoma 2 de células B (Bcl-2), antineoplásico*

$C_{2087}H_{2593}Cl_{32}F_{96}N_{287}O_{415}S_{96}(C_2H_4O)_{32n}$  2602503-26-2



**umikibartum #**  
umikibart

immunoglobulin G4-kappa, anti-[*Homo sapiens* HGF (hepatocyte growth factor, scatter factor, SF, hepatopoeitin A)], humanized monoclonal antibody;  
H-gamma4 heavy chain humanized (1-443) [VH (*Homo sapiens* IGHV3-23\*04 (89.8%) -(IGHD) -IGHJ1\*01 (100%), CDR-IMGT [8.8.9] (26-33.51-58.97-105)) (1-116)-*Homo sapiens* IGHG4\*01, nG4m(a) CH2 L92, G4v5 h P10, G4v3 CH2 E1.2 (CH1 (117-214), hinge 1-12 S10>P (224) (215-226), CH2 L92 (305), L1.2>E (231) (227-336), CH3 (337-441), CHS (442-443)) (117-443)], (130-215')-disulfide with L-kappa light chain humanized (1'-215') [V-KAPPA (*Homo sapiens* IGKV1-13\*02 (94.3%) -IGKJ1\*01 (100%), CDR-IMGT [6.3.10] (27'-32'.50'-52'.89'-98')) (1'-108') -*Homo sapiens* IGKC\*01 (100%), Km3 A45.1 (154'), V101 (192') (109'-115')];dimer (222-222":225-225")-bisdisulfide, produced in Chinese hamster ovary (CHO) cells, cell line CHO-DG44, glycoform alfa  
*antineoplastic*

umikibart

immunoglobuline G4-kappa, anti-[*Homo sapiens* HGF (facteur de croissance de l'hépatocyte, facteur dispersant, SF, hépatopoiétine A)], anticorps monoclonal humanisé; chaîne lourde H-gamma4 humanisée (1-443) [VH (*Homo sapiens* IGHV3-23\*04 (89.8%) -(IGHD) -IGHJ1\*01 (100%), CDR-IMGT [8.8.9] (26-33.51-58.97-105)) (1-116)-*Homo sapiens* IGHG4\*01, nG4m(a) CH2 L92, G4v5 h P10, G4v3 CH2 E1.2 (CH1 (117-214), charnière 1-12 S10>P (224) (215-226), CH2 L92 (305), L1.2>E (231) (227-336), CH3 (337-441), CHS (442-443)) (117-443)], (130-215')-disulfure avec la

chaîne légère L-kappa humanisée (1'-215') [V-KAPPA (*Homo sapiens* IGKV1-13\*02 (94.3%) -IGKJ1\*01 (100%), CDR-IMGT [6.3.10] (27'-32'.50'-52'.89'-98')) (1'-108') -*Homo sapiens* IGKC\*01 (100%), Km3 A45.1 (154'), V101 (192') (109'-115')]; dimère (222-222":225-225")-bisdisulfure, produit dans des cellules ovariennes de hamster chinois (CHO), lignée cellulaire CHO-DG44, glycoforme alfa  
*antineoplasique*

umikibart

immunoglobulina G4-kappa, anti-[*Homo sapiens* HGF (factor de crecimiento del hepatocito, factor dispersante, SF, hepatopoyetina A)], anticuerpo monoclonal humanizado;  
cadena pesada H-gamma4 humanizada (1-443) [VH (*Homo sapiens* IGHV3-23\*04 (89.8%) -(IGHD) -IGHJ1\*01 (100%), CDR-IMGT [8.8.9] (26-33.51-58.97-105)) (1-116)-*Homo sapiens* IGHG4\*01, nG4m(a) CH2 L92, G4v5 h P10, G4v3 CH2 E1.2 (CH1 (117-214), bisagra 1-12 S10>P (224) (215-226), CH2 L92 (305), L1.2>E (231) (227-336), CH3 (337-441), CHS (442-443)) (117-443)], (130-215')-disulfuro com la cadena ligera L-kappa humanizada (1'-215') [V-KAPPA (*Homo sapiens* IGKV1-13\*02 (94.3%) -IGKJ1\*01 (100%), CDR-IMGT [6.3.10] (27'-32'.50'-52'.89'-98')) (1'-108') -*Homo sapiens* IGKC\*01 (100%), Km3 A45.1 (154'), V101 (192') (109'-115')]; dímero (222-222":225-225")-bisdisulfuro, producido en las células ováricas de hámster chino (CHO), línea celular CHO-DG44, forma glicosilada alfa  
*antineoplásico*

2851478-58-3

Heavy chain / Chaîne lourde / Cadena pesada : H-gamma4 (H, H<sup>1</sup>) anti-HGF  
EVQLVESGGG LVQPGGSLRL SCAASGFTFS TYMSWVRQA PGKGLEWVAY 50  
IGTSSGTTY AD SVKGRFTI SRDGSKNITLY LQMSLRAED TAVYICARGL 100  
GRINLWGQGT LVTSSASTK GPSVFPFLAPC SRSTSESTAA LGCLVKDYFP 150  
EPVTVSWNSG ALTSGVHTFP AVLQSSGLYS LSSVTVFVPS SLGRTKTYTCN 200  
VDHHPSTNPKV DKRVESKYGFP PCPPCPAPEF EGGPSVFLFP FKPKDILMIS 250  
RTEPEVTCVVV DVSQEDPEVQ FNWYVDGVEV HNAKTKPREE QFNSTYRVVV 300  
VLTIVLHQDWL NGKEYKCRVVS NKGLEPSSIEK TISAKAQQR EFQYTLTPPS 350  
QEEMTRNQVS LTCLVKGFPY SDIAVEWESN GQPENNYKTT PVLVDSGDSF 400  
FLYSRLTVDK SRWQEGNVFS CSMVHEALHN HYTQKSLSLG LGK 443

Light chain / Chaîne légère / Cadena ligera : L-kappa (L, L<sup>1</sup>) anti-HGF  
DIQMTPSPSS LSASVGDRTV ITCRASQGIS NILAWYQKPK GKAPKLLIYG 50  
ASNLESQVPS RFSGSGSGTD FTLTISLSLQP EDFATYYCQS GYYSRGATFG 100  
QGTRVETIKRT VAAPSVFIFP PSDEQLKSGT ASVVCLLNPF YPBREAKVQWK 150  
VDNALQSGNS QESVTEQDSK DSTYLSLSSTL TLSKADYEKH KKYACEVTHQ 200  
GLSSPVTKSF NRGEK 215

**Post-translational modifications**

Disulfide bridges location / Position des ponts disulfure / Posiciones de los puentes disulfuro

Intra-H (C23-C104) 22-96 143-199 257-317 363-421

22"-96" 143"-199" 257"-317" 363"-421"

Intra-L (C23-C104) 23'-88' 135'-195'

23"-88" 135"-195"

Inter-H-L (CH1 10-CL 126) 130-215' 130"-215"

Inter-H-H (h 8, h 11) 222-222" 225-225"

N-glycosylation sites / Sites de N-glycosylation / Posiciones de N-glicosilación

H CH2 N84.4: 293, 293<sup>a</sup>

Fucosylated complex bi-antennary CHO-type glycans / glycanes de type CHO bi-antennaires complexes fucosylés / glicanos de tipo CHO biantennarios complejos fucosilados

C-terminal lysine clipping / Coupure de la lysine C-terminale / Recorte de lisina C-terminal  
H CHS K2: 443, 443<sup>a</sup>**uzatresgenum autoleucelum #**

uzatresgene autoleucel

autologous CD3+ enriched T lymphocytes obtained from peripheral blood mononuclear cells (PBMCs) by apheresis. The cells are transduced with a self-inactivating, non-replicating lentiviral vector encoding an enhanced-affinity T cell receptor (TCR) targeting the HLA-A\*02:01-restricted MAGE-A4 peptide (GVYDGREHTV) alongside the CD8 alpha (CD8α) co-receptor.

The expressed transgene comprises the coding sequence for the CD8 $\alpha$  co-receptor, separated by a foot-and-mouth disease virus 2A self-cleaving peptide sequence from the coding sequence of the MAGE-A4 T-cell receptor alpha and beta chains that are separated from each other by a *porcine teschovirus-1* 2A self-cleaving peptide sequence, under control of the human elongation factor 1 alpha (EF-1 $\alpha$ ) promoter. The construct is flanked by 5' and 3' long terminal repeats (LTRs) and also contains a tRNA primer binding site, a  $\psi$  packaging signal, a truncated *gag*, a Rev response element (RRE) and a central polypurine tract (cPPT) sequence 5' to the transgene, and a polypurine tract (PPT) 3' to the transgene. The vector is pseudotyped with the vesicular stomatitis virus (VSV) G envelope glycoprotein. The CD3+ T lymphocytes are purified and activated using anti-CD3/anti-CD28 monoclonal antibody coated magnetic beads. The cells are then cultured in media containing interleukin 2 (IL-2), human AB serum and a protein kinase B (AKT inhibitor). The cells are CD3+ (> 80%), express the high affinity MAGE-A4 specific TCR and CD8 $\alpha$  co-receptor (CD8 $\alpha$  +TCR+; >16%) and are cytotoxic to MAGE-A4 expressing tumor cells  
*cell-based gene therapy (antineoplastic)*

uzatresgène autoleucel

lymphocytes T autologues enrichis en CD3+ obtenus par aphérese à partir de cellules mononucléaires de sang périphérique (PBMC). Les cellules sont transduites avec un vecteur lentiviral auto-inactivant et non répliquant codant un récepteur des lymphocytes T (RCT) à affinité amplifiée ciblant le peptide MAGE-A4 (GVYDGREHTV) restreint au HLA-A\*02:01 ainsi que le corécepteur CD8 alpha (CD8 $\alpha$ ). Le transgène comprend la séquence codante du corécepteur CD8 $\alpha$ , séparée par une séquence codante du peptide auto-clivant 2A du virus de la fièvre aphteuse, de la séquence codante des chaînes alpha et bêta du récepteur des lymphocytes T MAGE-A4 qui sont séparés l'une de l'autre par une séquence codant un peptide auto-clivant 2A du *teschovirus-1 porcin*, sous le contrôle du promoteur du facteur d'élongation 1 alpha (EF-1 $\alpha$ ) humain. La construction est flanquée de longues répétitions terminales (LTR) en 5' et 3' et contient également un site de liaison d'une amorce d'ARNt, un signal d'encapsulation  $\psi$ , une séquence *gag* tronquée, un élément de réponse Rev (RRE) et une séquence du tractus polypurine central (cPPT) en 5' du transgène, et un tractus polypurine (PPT) en 3' du transgène. Le vecteur est pseudotypé avec la glycoprotéine d'enveloppe G du virus de la stomatite vésiculaire (VSV). Les lymphocytes T CD3+ sont purifiés et activés à l'aide de billes magnétiques recouvertes d'anticorps monoclonaux anti-CD3/anti-CD28. Les cellules sont ensuite cultivées dans un milieu contenant de l'interleukine 2 (IL-2), du sérum AB humain et un inhibiteur de la protéine kinase B (inhibitrice de l'AKT). Les cellules sont CD3+ (>80%), expriment le RCT de haute affinité spécifique du MAGE-A4 et le corécepteur CD8 $\alpha$  (CD8 $\alpha$  +TCR+; >16%) et sont cytotoxiques pour les cellules tumorales exprimant le MAGE-A4.  
*thérapie génique à base de cellules (antinéoplasique)*

## uzatresgén autoleucel

linfocitos T CD3+ enriquecidos autólogos, obtenidos a partir de células mononucleares de sangre periférica (PBMCs) mediante aféresis. Las células se transducen con un vector lentiviral, no replicativo y auto inactivante que codifica para un receptor de linfocitos T (TCR) con afinidad aumentada dirigido al péptido MAGE-A4 restringido por HLA-A\*02:01 (GVYDGREHTV) junto al correceptor CD8 alfa (CD8α). El transgén contiene la secuencia codificante del correceptor CD8α separada por una secuencia codificante del péptido de autoexcisión 2A del virus de la fiebre aftosa de la secuencia codificante de las cadenas alfa y beta del receptor de linfocitos T MAGE-A4 que están separadas entre sí por una secuencia codificante de un péptido de autoexcisión 2A del *teschovirus porcino*, bajo el control del promotor del factor de elongación 1 alpha (EF-1α) humano. El constructo está flanqueado por repeticiones terminales largas (LTRs) en 5' y 3' y también contiene un sitio de unión del tRNA cebador, una señal de empaquetamiento ψ, un *gag* truncado, un elemento de respuesta Rev (RRE) y una secuencia de tracto de poli-purina central (cPPT) en 5' del transgén, y un tracto de poli-purina (PPT) en 3' del transgén. El vector está pseudotipado con la glicoproteína G de la envuelta del virus de la estomatitis vesicular (VSV). Los linfocitos T CD3+ se purifican y se activan usando bolas magnéticas forradas con anticuerpos monoclonales anti-CD3/anti-CD28. A continuación las células se cultivan en medio que contiene interleuquina 2 (IL-2), suero humano AB y una proteína quinasa B (inhibidor AKT). Las células son CD3+ (> 80%), expresan el TCR específico de MAGE-A4 de alta afinidad y el correceptor CD8α (CD8α + TCR+; >16%) y son citotóxicas frente a células tumorales que expresan MAGE-A4  
*terapia génica basada en células (antineoplásico)*

## varegacestatum

## varegacestat

(2*R*,3*S*)-*N*'-[(3*S*)-5-(3-fluorophenyl)-9-methyl-2-oxo-2,3-dihydro-1*H*-1,4-benzodiazepin-3-yl]-2,3-bis(3,3,3-trifluoropropyl)butanediamide  
*gamma-secretase inhibitor, antineoplastic*

## varégacestat

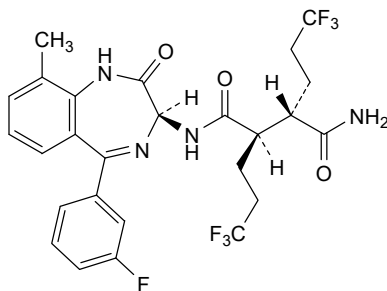
(2*R*,3*S*)-*N*'-[(3*S*)-5-(3-fluorophényl)-9-méthyl-2-oxo-2,3-dihydro-1*H*-1,4-benzodiazépin-3-yl]-2,3-bis(3,3,3-trifluoropropyl)butanediamide  
*inhibiteur de la sécrétase gamma, antinéoplasique*

## varegacestat

(2*R*,3*S*)-*N*'-[(3*S*)-5-(3-fluorofenil)-9-metil-2-oxo-2,3-dihidro-1*H*-1,4-benzodiazepin-3-il]-2,3-bis(3,3,3-trifluoropropil)butanodiamida  
*inhibidor de la secretasa gamma, antineoplásico*

C<sub>26</sub>H<sub>25</sub>F<sub>7</sub>N<sub>4</sub>O<sub>3</sub>

1584647-27-7





**vicadrostatum**

vicadrostat

2-chloro-4-[(6*R*)-6-(hydroxymethyl)-6-methyl-4-oxo-6,7-dihydropyrano[3,4-*d*]imidazol-3(4*H*)-yl]benzonitrile  
*aldosterone synthase inhibitor*

vicadrostat

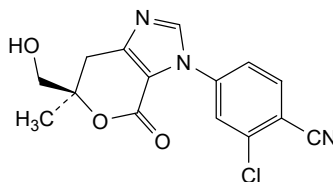
2-chloro-4-[(6*R*)-6-(hydroxyméthyl)-6-méthyl-4-oxo-6,7-dihydropyrano[3,4-*d*]imidazol-3(4*H*)-yl]benzonitrile  
*inhibiteur de l'aldostérone synthase*

vicadrostat

2-cloro-4-[(6*R*)-6-(hidroximetil)-6-metil-4-oxo-6,7-dihidropirano[3,4-*d*]imidazol-3(4*H*)-il]benzoniitrilo  
*inhibidor de la aldosterona sintasa*

C<sub>15</sub>H<sub>12</sub>ClN<sub>3</sub>O<sub>3</sub>

1868065-21-7

**vilzemetkibum**

vilzemetkib

*N*<sup>1</sup>-[1<sup>2</sup>-fluoro-3<sup>6</sup>-methoxy-2,4-dioxa-7-aza-3(4,7)-quinolina-1(1)-benzena-8(1)-cyclopentana-6(1,1)-cyclopropanoactaphan-1<sup>4</sup>-yl]-*N*<sup>1</sup>-(4-fluorophenyl)cyclopropane-1,1-dicarboxamide  
*hepatocyte growth factor receptor inhibitor, antineoplastic*

vilzémekib

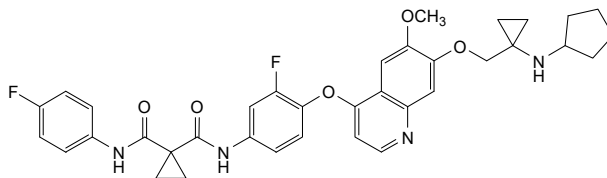
*N*<sup>1</sup>-[1<sup>2</sup>-fluoro-3<sup>6</sup>-méthoxy-2,4-dioxa-7-aza-3(4,7)-quinoléina-1(1)-benzéna-8(1)-cyclopentana-6(1,1)-cyclopropanoactaphan-1<sup>4</sup>-yl]-*N*<sup>1</sup>-(4-fluorophényl)cyclopropane-1,1-dicarboxamide  
*inhibiteur du récepteur du facteur de croissance des hépatocytes, antinéoplasique*

vilzemetkib

*N*<sup>1</sup>-(4-fluorofenil)-*N*<sup>1</sup>-[1<sup>2</sup>-fluoro-3<sup>6</sup>-metoxi-2,4-dioxa-7-aza-3(4,7)-quinoléina-1(1)-benzena-8(1)-ciclopentana-6(1,1)-ciclopropanoactafan-1<sup>4</sup>-il]ciclopropano-1,1-dicarboxamida  
*inhibidor del receptor del factor de crecimiento de los hepatocitos, antineoplásico*

C<sub>36</sub>H<sub>36</sub>F<sub>2</sub>N<sub>4</sub>O<sub>5</sub>

1363402-44-1

**vislarafuspum alfa #**

vislarafusp alfa

human signal regulatory protein alpha (SIRPα) fragment, anti-(human CD47, integrin associated protein (IAP)), fused via a (G<sub>4</sub>S)<sub>3</sub> peptide linker to the N-terminus of both light chains of a humanized immunoglobulin G1-kappa anti-(human epidermal growth factor receptor 2), glycoform alfa;



- gamma 1 heavy chain (1-450) [VH (*Homo sapiens* IGHV3-66\*01 -(IGHD) -IGHJ4\*01, CDR-Kabat [5.17.11] (31-35.50-66.99-109)) (1-120) -*Homo sapiens* IGHG1\*03 (CH1 (121-218), hinge (219-233), CH2 S<sup>301</sup>>A, E<sup>336</sup>>A, K<sup>337</sup>>A (234-343), CH3 (344-448), CHS (449-450)) (121-450)], (223-354')-disulfide with human signal regulatory protein alpha (SIRP alpha variant V2 extracellular D1 domain, SIRP alpha V2D1) fragment 31-155, comprising the first two extracellular loops of the D1 domain, [N<sup>110</sup>>A<sup>80</sup>]-variant, anti-(human CD47, integrin associated protein (IAP)) (1-125 in the current sequence) fused via a (G<sub>4</sub>S)<sub>3</sub> peptide linker (126-140) to kappa light chain (141'-354') [V-KAPPA (*Homo sapiens* IGKV1-39\*01 -IGKJ1\*01, CDR-Kabat [11.7.9] (164'-174'.190'-196'.229'-237')) (141'-247') -*Homo sapiens* IGKC\*01 (248'-354')]; dimer (229-229":232-232")-bisdisulfide, produced in Chinese hamster ovary (CHO) cells, cell line CHO-K1, glycoform alfa  
*antineoplastique*
- vislarafusp alfa fragment de la protéine humaine de régulation du signal alpha (SIRPα) anti-(CD47 humain, protéine associée à l'intégrine (IAP)), fusionné via un peptide liant (G<sub>4</sub>S)<sub>3</sub> à l'extrémité N-terminale des deux chaînes légères d'une immunoglobuline G1-kappa humanisée anti-(récepteur 2 du facteur de croissance épidermique humain), glycoforme alfa; chaîne lourde gamma 1 (1-450) [VH (*Homo sapiens* IGHV3-66\*01 - (IGHD) - IGHJ4\*01, CDR-Kabat [5.17.11] (31-35. 50-66. 99-109)) (1-120) -*Homo sapiens* IGHG1\*03 (CH1 (121-218), charnière (219-233), CH2 S<sup>301</sup>>A, E<sup>336</sup>>A, K<sup>337</sup>>A (234-343), CH3 (344-448), CHS (449-450)) (121-450)], (223-354')-disulfure avec le fragment 31-155 de la protéine humaine de régulation du signal alpha (SIRP alpha, variant V2 du domaine extracellulaire D1, SIRP alpha V2D1), comprenant les deux premières boucles extracellulaires du domaine D1, [N<sup>110</sup>>A<sup>80</sup>]-variant, anti-(CD47 humain, protéine associée à l'intégrine (IAP)) (1-125 dans la séquence actuelle) fusionné via un peptide liant (G<sub>4</sub>S)<sub>3</sub> (126-140) à la chaîne légère kappa (141'-354') [V-KAPPA (*Homo sapiens* IGKV1-39\*01 - IGKJ1\*01, CDR-Kabat [11. 7.9] (164'-174'.190'-196'.229'-237')) (141'-247') -*Homo sapiens* IGKC\*01 (248'-354')]; dimère (229-229":232-232")-bisdisulfure, produit dans des cellules ovariennes de hamster chinois (CHO), lignée cellulaire CHO-K1, glycoforme alfa  
*antineoplastique*
- vislarafusp alfa fragmento de proteína reguladora de señal alfa (SIRPα) humana, anti-(CD47 humana, integrina asociada a proteína (IAP)), fusionada a través de un enlace peptídico (G<sub>4</sub>S)<sub>3</sub> al terminal N de ambas cadenas ligeras de inmunoglobulina G1-kappa humanizada anti-(receptor 2 del factor de crecimiento epidérmico humano), glicoforma alfa; cadena pesada gamma 1 (1-450) [VH (*Homo sapiens* IGHV3-66\*01 - (IGHD) - IGHJ4\*01, CDR-Kabat [5.17.11] (31-35. 50-66. 99-109)) (1-120) -*Homo sapiens* IGHG1\*03 (CH1 (121-218), bisagra (219-233), CH2 S<sup>301</sup>>A, E<sup>336</sup>>A, K<sup>337</sup>>A (234-343), CH3 (344-448), CHS (449-450)) (121-450)], (223-354')-disulfuro con proteína reguladora de señales alfa humana (SIRP alpha variante V2 extracelular dominio D1, SIRP alpha V2D1) fragmento 31-155, que comprende los dos primeros loops extracelulares de dominio D1, [N<sup>110</sup>>A<sup>80</sup>]-variante, anti-(CD47 humana, integrina asociada a proteína (IAP)) (1-125 en la secuencia actual) fusionada a través de un enlace peptídico (G<sub>4</sub>S)<sub>3</sub> (126-140) a la cadena ligera kappa (141'-354') [V-KAPPA (*Homo sapiens* IGKV1-39\*01 - IGKJ1\*01, CDR-Kabat [11.7.9] (164'-174'.190'-196'.229'-237')) (141'-247') -*Homo sapiens* IGKC\*01 (248'-354')]; dímero (229-229":232-232")-bisdisulfuro, producido en las células ováricas de hámster chino (CHO), línea celular CHO-K1, glicoforma alfa  
*antineoplásico*

2850355-96-1

## Sequence / Séquence / Secuencia

## IgG1 heavy chain

EVQLVDSGGG LVQPFGSLRL SCAASGFNIK DTYIHWRVQA PGKLEWVAR 50  
 IYPTNGYTRY ADSVKGRFTI SADTSKNTAY LQMNSLRAED TAVYYCSRWG 100  
 GDGFYAMDYW GQGTLVTVSS ASTKGPSVFP LAPSSKSTSG GTAALGCLVK 150  
 DYFPEFVTVS WNSGALTSKV HTFPFVQLQSS GLYSLSSVVT VPSSSLGTQT 200  
 YICNVNHHKPS NTKVDKRVEP KSCDKTHTCP PCPAPPELLGG PSVFLFPPKP 250  
 KDTLMI SRTPEVTCVVDVDS HEDPEVKFNW YVDGVEVHNA KTKPREEQYN 300  
**AT**YRVVSVLT VLHQDWLNGK EYKCKVSNKA LPAPIT**AT**IS KAKGQPREPQ 350  
 VYTLPPSREE MTRKQVSLTC LVKGFYPSDI AVEWESNGQP ENNYKTTFPV 400  
 LDSDSGFFLY SKLTVDKSRW QQGNVFPSCV MHEALHNHYT QKSLSLSPGK 450

## SIRPα IgG1 light chain

**EEELQVIQPD KSVSVAAGES AILHCTVTSL IPVGPIQWFR GAGPARELIY** 50  
**NQKEGHFPRV TTVSESTKRE NMFISISIA ITPADAGTYI CVKFRKGSPP** 100  
**TEFKSGACTE LSVRAKPSAP VVSGP**GGGGGGGGGSGGGGGGGGDIQMTQSPSS 150  
 LSASVGRVIT ITCRASQDVN TAVAWYQKP GKAPKLLIYS ASFLYSGVPS 200  
 RFGSRSRGTDFTLTISLQPEDFATYVYCOQHYTTPPTFGQGTKVEIKRTV 250  
 AAPSFVIFPPSDEQLKSGTASVIVCLLNNFYPREAKVQWVKDNALQSGNSQ 300  
 ESVTQDSKDTSTYLSLSTLTLSKADYKHKVYACEVTHQG LSSPVTKSFN 350  
 RGECL 354

## Mutation / Mutation / Mutación

IgG1 heavy chain: S<sup>301</sup>, S<sup>301</sup>>A, E<sup>336</sup>, E<sup>336</sup>>A, K<sup>337</sup>, K<sup>337</sup>>A  
 SIRPα IgG1 light chain: N<sup>110</sup>>A<sup>80</sup>, A<sup>80</sup>

## Peptide linker / Peptide liant / Péptido de unión

SIRPα IgG1 light chain: <sup>126</sup>GGGGSGGGSGGGG<sup>140</sup>

## Post-translation modifications

## Disulfide bridges location / Position des ponts disulfure / Posiciones de los puentes disulfuro

Intra heavy chain: 22-96, 147-203, 264-324, 370-428,  
 22"-96", 147"-203", 264"-324", 370-428"  
 Intra SIRPα light chain: 25'-91', 163'-228', 274'-334', 25'''-91''', 163'''-228''', 274'''-334'''  
 Inter heavy chain-SIRPα light chain: 223-354', 223"-354"  
 Inter heavy chain: 229-229", 232-232"

## N-glycosylation sites / Sites de N-glycosylation / Posiciones de N-glicosilación

IgG1 heavy chain: 300, 300"

## C-terminal lysine clipping / Coupure de la lysine C-terminale / Recorte de lisina C-terminal

HCHS: 450, 450"

**vixticibartum #**

## vixticibart

immunoglobulin G4-kappa, anti-[*Homo sapiens* NPR1 (natriuretic peptide receptor 1, natriuretic peptide receptor A, NPRA, atrionatriuretic peptide receptor A, ANPRA, guanylate cyclase A, GUCY2A)], *Homo sapiens* monoclonal antibody, agonist; H-gamma4 heavy chain *Homo sapiens* (1-451) [VH (*Homo sapiens*IGHV1-2\*02 (91.8%) -(IGHD) -IGHJ6\*01 (100%), CDR-IMGT [8.8.17] (26-33.51-58.97-113)) (1-124)-*Homo sapiens* IGHG4\*01, nG4m(a) CH2 L92, G4v5 h P10 (CH1 (125-222), hinge 1-12 S10>P (232) (223-234), CH2 L92 (313) (235-344), CH3 (345-449), CHS (450-451)) (125-451)], (138-213')-disulfide with L-kappa light chain *Homo sapiens* (1'-213') [V-KAPPA (*Homo sapiens* IGKV1-39\*01 (94.7%) -IGKJ5\*02 (100%), CDR-IMGT [6.3.8] (27'-32'-50'-52'.89'-96'') (1'-106'') -*Homo sapiens* IGKC\*01 (100%), Km3 A45.1 (152'), V101 (190') (107'-113'')]; dimer (230-230":233-233")-bisdisulfide, produced in Chinese hamster ovary (CHO) cells, cell line CHO-K1, glycoform alfa  
*natriuretic peptide receptor 1 (NPR1) agonist, cardiovascular*

## vixticibart

immunoglobuline G4-kappa, anti-[*Homo sapiens* NPR1 (récepteur 1 du peptide natriurétique, récepteur A du peptide natriurétique, NPRA, récepteur A du peptide atrionatriurétique, ANPRA, guanylate cyclase A, GUCY2A)], anticorps monoclonal *Homo sapiens*, agonist;

chaîne lourde H-gamma4 *Homo sapiens* (1-451) [VH (*Homo sapiens* IGHV1-2\*02 (91.8%) -(IGHD) -IGHJ6\*01 (100%), CDR-IMGT [8.8.17] (26-33.51-58.97-113)) (1-124)-*Homo sapiens* IGHG4\*01, nG4m(a) CH2 L92, G4v5 h P10 (CH1 (125-222), charnière 1-12 S10>P (232) (223-234), CH2 L92 (313) (235-344), CH3 (345-449), CHS (450-451)) (125-451)], (138-213')-disulfure avec la chaîne légère L-kappa *Homo sapiens* (1'-213') [V-KAPPA (*Homo sapiens* IGKV1-39\*01 (94.7%) -IGKJ5\*02 (100%), CDR-IMGT [6.3.8] (27'-32'.50'-52'.89'-96')) (1'-106') -*Homo sapiens* IGKC\*01 (100%), Km3 A45.1 (152'), V101 (190') (107'-113')]; dimère (230-230":233-233")-bisdisulfure, produit dans des cellules ovariennes de hamster chinois (CHO), lignée cellulaire CHO-K1, glycoforme alfa  
**agoniste du récepteur 1 du peptide natriurétique (NPR1), cardiovasculaire**

vixticibart

inmunoglobulina G4-kappa, anti-[*Homo sapiens* NPR1 (receptor 1 del péptido natriurético, receptor A del péptido natriurético, NPRA, receptor A del péptido atrionatriurético, ANPRA, guanilato ciclasa A, GUCY2A)], anticuerpo monoclonal *Homo sapiens*, agonista;  
 cadaena pesada H-gamma4 *Homo sapiens* (1-451) [VH (*Homo sapiens* IGHV1-2\*02 (91.8%) -(IGHD) -IGHJ6\*01 (100%), CDR-IMGT [8.8.17] (26-33.51-58.97-113)) (1-124)-*Homo sapiens* IGHG4\*01, nG4m(a) CH2 L92, G4v5 h P10 (CH1 (125-222), bisagra 1-12 S10>P (232) (223-234), CH2 L92 (313) (235-344), CH3 (345-449), CHS (450-451)) (125-451)], (138-213')-disulfuro con la cadena ligera L-kappa *Homo sapiens* (1'-213') [V-KAPPA (*Homo sapiens* IGKV1-39\*01 (94.7%) -IGKJ5\*02 (100%), CDR-IMGT [6.3.8] (27'-32'.50'-52'.89'-96')) (1'-106') -*Homo sapiens* IGKC\*01 (100%), Km3 A45.1 (152'), V101 (190') (107'-113')]; dímero (230-230":233-233")-bisdisulfuro, producido en las células ováricas de hámster chino (CHO), línea celular CHO-K1, forma glicosilada alfa  
**agonista del receptor 1 del péptido natriurético (NPR1), cardiovascular**

2845128-05-2

Heavy chain / Chaîne lourde / Cadena pesada : H-gamma4 (H, H<sup>m</sup>) anti-NPR1  
 QVQLVQSGAE VKKPGASVTV SKCASGYTFT DYMHVWRQA PGQGLEWMMGW 50  
 IKPNSGGTNS AQRFGGRITM TWDTISISTAY MELSLRLRSDD TAVYVCSRGG 100  
 PMVNYYYYYG MDVWGGQTTV TVSSASTKGF SVFPLAPCSR STSESTAALG 150  
 CLVKDYFPEP VTVSWNSGAL TSGVHTFPVAV LQSSGLYLSLS SVVTVPSSSL 200  
 GKRTYTCNVD HKPSNNTKVDK RVESKYGPPC PFCPEPEFLG GPSVFLFPPK 250  
 PKDTLMISRT PEVTCVVVDV SQEDPEVQFN WYVDGVEVHN AKTKPREEQF 300  
 NSYTRVVSVL TVLHQDWLNG KEYKCKVSNK GLPSSIEKTI SKAKGQPREP 350  
 QVYTLPPSQE EMTKNQVSLT CLVKGFPYSD IAVEWESNGQ PENNYKTTTP 400  
 VLDSGGSFFL YSRLTVDKSR WQEGNVFSCS VMHEALHNNHY TQKSLSLSLG 451  
 K 451

Light chain / Chaîne légère / Cadena ligera : L-kappa (L, L<sup>m</sup>) anti-NPR1  
 NIQMTQSPSS LSASVGRDVT ITCRASQSID SYLNWYQQKP GKAPKLLIYV 50  
 ASSLQSGVPS RFGSGSGKDF FTLTISLQF EDFATYYCQQ SYSIPTFGQG 100  
 TRLEIKRTVA APSVFIFPPS DEQLKSGTAS VVCLLNNFYP REAKVQWKVD 150  
 NALQSGNSQE SVTEQDSKDS TYSLSSLTLL SKADYERKRV YACEVTHQGL 200  
 SSPVTKSFNR GEC 213

**Post-translational modifications**

Disulfide bridges location / Position des ponts disulfure / Posiciones de los puentes disulfuro

Intra-H (C23-C104) 22-96 151-207 265-325 371-429  
 22'-96" 151"-207" 265"-325" 371"-429"

Intra-L (C23-C104) 23'-88' 133'-193'  
 23"-88'" 133"-193'"

Inter-H-L (CH1 10-CL 126) 138-213' 138"-213"  
 Inter-H-H (h 8, h 11) 230-230" 233-233"

N-terminal glutaminyl cyclization / Cyclisation du glutaminyle N-terminal / Ciclación del glutaminilo N-terminal

Q > pyroglutamyl (pE, 5-oxopropyl) / pyroglutamyle (pE, 5-oxopropyle) / piroglutamilo (pE, 5-oxoprolilo)

H VH Q1: 1, 1"

N-glycosylation sites / Sites de N-glycosylation / Posiciones de N-glicosilación

H CH2 N84.4; 301, 301"

Fucosylated complex bi-antennary CHO-type glycans / glycanes de type CHO bi-antennaires complexes fucosylés / glicanos de tipo CHO biantennarios complejos fucosilados

C-terminal lysine clipping / Coupeure de la lysine C-terminale / Recorte de lisina C-terminal  
 H CHS K2: 451, 451"

**volenrelaxinum #**

volenrelaxin

immunoglobulin single chain VH, anti-[*Homo sapiens* ALB (albumin, human serum albumin, HSA)], fused via peptide linkers with relaxin 2 *Homo sapiens* chains B and A;  
Ig single chain VH humanized [*Homo sapiens* IGHV3-23\*01 -(IGHD) - IGHJ4\*01 (CDR-Kabat [5.17.17] (31-35.50-66.99-115))] (1-126), fused via peptide linker (G<sub>4</sub>Q)<sub>5</sub> (127-151) to des-Asp<sup>1</sup>-relaxin 2 chain B *Homo sapiens* (2-29, 152-179 in the current sequence) fused via peptide linker G<sub>3</sub>SG<sub>2</sub>SG<sub>3</sub> (180-189) to relaxin 2 chain A *Homo sapiens* (1-24, 190-213 in the current sequence), monomer (22-96:161-200:173-213:199-204)-tetrakisdisulfide, produced in Chinese hamster ovary (CHO) cells, non-glycosylated  
*relaxin analogue*

volenrelaxine

immunoglobuline monocaténaire domaine variable (VH), anti-[*Homo sapiens* ALB (albumine, sérum-albumine humaine, SAH)], fusionnée à l'aide de coupleurs peptidiques avec les chaînes B et A de la relaxine 2 d'*Homo sapiens*;  
Ig monocaténaire VH humanisée [*Homo sapiens* IGHV3-23\*01 -(IGHD) - IGHJ4\*01 (CDR-Kabat [5.17.17] (31-35.50-66.99-115))] (1-126), fusionnée à l'aide du coupleur peptidique (G<sub>4</sub>Q)<sub>5</sub> (127-151) à la chaîne B de la des-Asp<sup>1</sup>-relaxine 2 d'*Homo sapiens* (2-29, 152-179 dans la séquence actuelle) fusionnée à l'aide du coupleur peptidique G<sub>3</sub>SG<sub>2</sub>SG<sub>3</sub> (180-189) à la chaîne A de la relaxine 2 *Homo sapiens* (1-24, 190-213 dans la séquence actuelle), monomère (22-96:161-200:173-213:199-204)-tétrakisdisulfure, produit dans des cellules ovariennes de hamster chinois (CHO), non glycosylé  
*analogue de la relaxine*

volenrelaxina

immunoglobulina cadena única VH, anti-[*Homo sapiens* ALB (albúmina, albúmina sérica humana, ASH)], fusionada mediante conectores peptídicos con las cadenas B y A de la relaxina 2 de *Homo sapiens*;  
Ig cadena única humanizada [*Homo sapiens* IGHV3-23\*01 -(IGHD) - IGHJ4\*01 (CDR-Kabat [5.17.17] (31-35.50-66.99-115))] (1-126), fusionada a través del conector peptídico (G<sub>4</sub>Q)<sub>5</sub> (127-151) con la cadena B de la des-Asp<sup>1</sup>-relaxina 2 de *Homo sapiens* (2-29, 152-179 en la secuencia actual) fusionado a través del conector peptídico G<sub>3</sub>SG<sub>2</sub>SG<sub>3</sub> (180-189) con la cadena A de la relaxina 2 de *Homo sapiens* (1-24, 190-213 en la secuencia actual), monómero (22-96:161-200:173-213:199-204)-tetrakisdisulfuro, producido en células de ovario de hámster chino (CHO), no glicosilado  
*análogo de la relaxina*

C<sub>941</sub>H<sub>1475</sub>N<sub>281</sub>O<sub>295</sub>S<sub>11</sub>

2653949-19-8

Sequence / Séquence / Secuencia

EVQLLESQGGG LVQPGGSLRL SCAASGRYID ETAVAWFRQA PGKGREFVAG	50
IGGGVDITYY ADSVKGRFTI SRDNSKNTLY LQMNLSRPED TAVYYCAARP	100
GRPLITSKVA DLYPYWQGT LVTVSSGGGG QGGGGQGGGG QGGGGQGGGG	150
QSWMEEVIKL CGRELVRAQI AICGMSTWSG GSGSGSGGGG LYSALANKCC	200
HVGCTKRSLA RFC	213

Peptide linkers / Peptides liants / Péptidos de unión

<sup>127</sup>GGGGQGGGGQGGGGQGGGGQ<sup>151</sup>, <sup>180</sup>GGSGSGSGG<sup>189</sup>

Post-translational modifications

 Disulfide bridges location / Position des ponts disulfure / Posiciones de los puentes disulfuro  
22-96, 161-200, 173-213, 199-204

Glycosylation site / Site de glycosylation / Posición de glicosilación

none / aucun / ninguna

**zaltenibartum #**

zaltenibart

immunoglobulin G4-kappa, anti-[*Homo sapiens* MASP3 (mannan-binding lectin-associated serine protease-3)]; H-gamma4 heavy chain (1-440) [VH Musmus/Homsap (*Mus musculus*IGHV1-9\*01 (79.6%) -(IGHD) -IGHJ3\*01 (90.9%) A128>S (113)/*Homo sapiens*IGHV1-46\*01 (79.6%) -(IGHD) -IGHJ1\*01 (100%), CDR-IMGT [8.8.6] (26-33.51-58.97-102)) (1-113)-*Homo sapiens*IGHG4\*01, nG4m(a) CH2 L92, G4v5 h P10, G4v24 CH3 L107, S114 (CH1 (114-211), hinge 1-12 S10>P (221) (212-223), CH2 L92 (302) (224-333), CH3 M107>L (421), N114>S (427) (334-438), CHS (439-440)) (114-440)], (127-219')-disulfide with L-kappa light chain (1'-219') [V-KAPPA (*Homo sapiens*IGKV4-1\*01 (91.1%) -IGKJ1\*01 (100%), CDR-IMGT [12.3.8] (27'-38'.56'-58'.95'-102'')] (1'-112') -*Homo sapiens*IGKC\*01 (100%), Km3 A45.1 (158'), V101 (196') (113'-219''); dimer (219-219":222-222")-bisdisulfide, produced in Chinese hamster ovary (CHO) cells, cell line CHO-DG44, glycoform alfa  
*complement cascade inhibitor*

zaltenibart

immunoglobuline G4-kappa, anti-[*Homo sapiens* MASP3 (sérine protéase 3 associée à la lectine liant le mannane)]; chaîne lourde H-gamma4 (1-440) [VH Musmus/Homsap (*Mus musculus*IGHV1-9\*01 (79.6%) -(IGHD) -IGHJ3\*01 (90.9%) A128>S (113)/*Homo sapiens*IGHV1-46\*01 (79.6%) -(IGHD) -IGHJ1\*01 (100%), CDR-IMGT [8.8.6] (26-33.51-58.97-102)) (1-113)-*Homo sapiens*IGHG4\*01, nG4m(a) CH2 L92, G4v5 h P10, G4v24 CH3 L107, S114 (CH1 (114-211), charnière 1-12 S10>P (221) (212-223), CH2 L92 (302) (224-333), CH3 M107>L (421), N114>S (427) (334-438), CHS (439-440)) (114-440)], (127-219')-disulfure avec la chaîne légère L-kappa (1'-219') [V-KAPPA (*Homo sapiens*IGKV4-1\*01 (91.1%) -IGKJ1\*01 (100%), CDR-IMGT [12.3.8] (27'-38'.56'-58'.95'-102'')] (1'-112') -*Homo sapiens*IGKC\*01 (100%), Km3 A45.1 (158'), V101 (196') (113'-219''); dimère (219-219":222-222")-bisdisulfure, produit dans des cellules ovariennes de hamster chinois (CHO), lignée cellulaire CHO-DG44, glycoforme alfa  
*inhibiteur de la cascade du complément*

zalténibart

immunoglobulina G4-kappa, anti-[*Homo sapiens* MASP3 (serina proteasa 3 asociada a la lectina de unión al manano)]; cadena pesada H-gamma4 (1-440) [VH Musmus/Homsap (*Mus musculus*IGHV1-9\*01 (79.6%) -(IGHD) -IGHJ3\*01 (90.9%) A128>S (113)/*Homo sapiens*IGHV1-46\*01 (79.6%) -(IGHD) -IGHJ1\*01 (100%), CDR-IMGT [8.8.6] (26-33.51-58.97-102)) (1-113)-*Homo sapiens*IGHG4\*01, nG4m(a) CH2 L92, G4v5 h P10, G4v24 CH3 L107, S114 (CH1 (114-211), bisagra 1-12 S10>P (221) (212-223), CH2 L92 (302) (224-333), CH3 M107>L (421), N114>S (427) (334-438), CHS (439-440)) (114-440)], (127-219')-disulfuro con la cadena ligera L-kappa (1'-219') [V-KAPPA (*Homo sapiens*IGKV4-1\*01 (91.1%) -IGKJ1\*01 (100%), CDR-IMGT [12.3.8] (27'-38'.56'-58'.95'-102'')] (1'-112') -*Homo sapiens*IGKC\*01 (100%), Km3 A45.1 (158'), V101 (196') (113'-219''); dímero (219-219":222-222")-bisdisulfuro, producido en las células ováricas de hámster chino (CHO), línea celular CHO-DG44, forma glicosilada alfa  
*inhibidor de la cascada del complemento*

2527079-60-1

Heavy chain / Chaîne lourde / Cadena pesada : H-gamma4 (H, H<sup>m</sup>) anti-MASP3  
 QVQLVQSGAE VKKPGASVKV SCCKASGYTFT GKWIEWVRQA PGQGLEWIGE 50  
 ILPGTGSTNY NEKFKGRATF TADSSSTSTAY MELSSLRSER TAVYYCLRSE 100  
 DVWGQGLTIV VSSASTKGPS VFPLAPCSRS TSESTAAALGC LVKDYFPEPV 150  
 TVSWNSGALT SGVHTFFPAVL QSSGLYSLSL VVTVPSSSLG KTKYTCNVDH 200  
 KPSNTKVDKR VESKYGPPCP PCPAPFELGG PSVFLFPPKP KDTLMSRTP 250  
 EVTCTVVVDVS QEDPEVQFNW YVDGVEVHNA KTKPREEQFN STYRVVSVLT 300  
 VLHQDWLNGK EYKCKVSNKG LPSSIEKITS KAKGQPREPQ VYTLPPSQEE 350  
 MTKNQVSLTC LVKGFYPSDI AVEWESNGQP ENNYKTTTPV LDSGGSFFLY 400  
 SRLTVDKSRW QEGNVFSCSV LHEALHSHYT QKSLSLSLGK 440

Light chain / Chaîne légère / Cadena ligera : L-kappa (L, L<sup>m</sup>) anti-MASP3  
 DIVMTQSPDS LAVSLGERAT INCKSSQSL ASRTRKNVLA WYQQKPKQPP 50  
 KLLIYWASTR ESGVPDRFSG SGSGTDFDTL ISSLQAEVDA VYICKQSYNI 100  
 PTFGQGTQVE IKRTVAAPSV FIFPPSDEQL KSGTASVCL LNNFYPREAK 150  
 VQWIKVDNALQ SGNSQESVTE QDSKDYSTSL SPTLTLTKAD YEKHKVYACE 200  
 VTHQGLSSPV TKSFNREGC 219

**Post-translational modifications**

Disulfide bridges location / Position des ponts disulfure / Posiciones de los puentes disulfuro

Intra-H (C23-C104) 22-96 140-196 254-314 360-418  
 22<sup>m</sup>-96<sup>m</sup> 140<sup>m</sup>-196<sup>m</sup> 254<sup>m</sup>-314<sup>m</sup> 360<sup>m</sup>-418<sup>m</sup>

Intra-L (C23-C104) 23<sup>m</sup>-94<sup>m</sup> 139<sup>m</sup>-199<sup>m</sup>  
 23<sup>m</sup>-94<sup>m</sup> 139<sup>m</sup>-199<sup>m</sup>

Inter-H-L (CH1 10-CL 126) 127-219<sup>m</sup> 127<sup>m</sup>-219<sup>m</sup>Inter-H-H (h 8, h 11) 219-219<sup>m</sup> 222-222<sup>m</sup>

N-terminal glutaminyl cyclization / Cyclisation du glutaminyle N-terminal / Ciclación del glutaminilo N-terminal

Q > pyroglutamyl (pE, 5-oxopropyl) / pyroglutamyle (pE, 5-oxopropyle) / piroglutamilo (pE, 5-oxoprolilo)  
 H VH Q1: 1, 1<sup>m</sup>

N-glycosylation sites / Sites de N-glycosylation / Posiciones de N-glicosilación

H CH2 N84.4: 290, 290<sup>m</sup>

Fucosylated complex bi-antennary CHO-type glycans / glycanes de type CHO bi-antennaires complexes fucosylés / glicanos de tipo CHO biantennarios complejos fucosilados

C-terminal lysine clipping / Coupure de la lysine C-terminale / Recorte de lisina C-terminal  
H CHS K2: 440, 440<sup>m</sup>**zamzetocloxum**

zamzetoclox

*N*-{[(1<sup>3</sup>S,3<sup>1</sup>R,3<sup>2</sup>R,4S,5E,8S,10S)-6'-chloro-4-methoxy-8-methyl-10,12-dioxo-3',4'-dihydro-1<sup>2</sup>H,1<sup>4</sup>H,2'<sup>2</sup>H-spiro[10λ<sup>6</sup>-thia-11-aza-1(5,7)-[1,5]benzoxazepina-3(1,2)-cyclobutanacyclododecaphane-5,10-diene-1<sup>3</sup>,1'-naphthalen]-10-yl]}-3-methoxy-1-methyl-1*H*-pyrazole-4-carboxamide  
*B-cell lymphoma 2 (Bcl-2) inhibitor, antineoplastic*

zamzétoclox

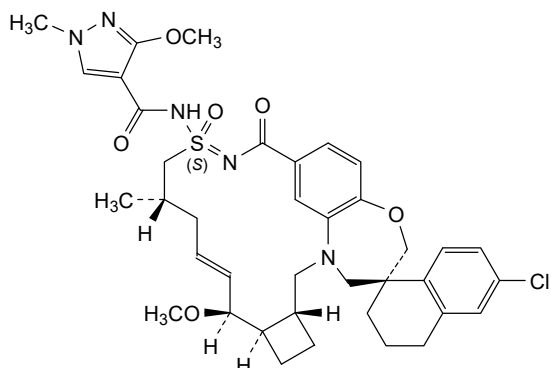
*N*-{[(1<sup>3</sup>S,3<sup>1</sup>R,3<sup>2</sup>R,4S,5E,8S,10S)-6'-chloro-4-méthoxy-8-méthyl-10,12-dioxo-3',4'-dihydro-1<sup>2</sup>H,1<sup>4</sup>H,2'<sup>2</sup>H-spiro[10λ<sup>6</sup>-thia-11-aza-1(5,7)-[1,5]benzoxazépina-3(1,2)-cyclobutanacyclododécaphane-5,10-diène-1<sup>3</sup>,1'-naphthalén]-10-yl]}-3-méthoxy-1-méthyl-1*H*-pyrazole-4-carboxamide  
*inhibiteur du lymphome 2 à cellules B (Bcl-2), antinéoplasique*

zamzetoclox

*N*-{[(1<sup>3</sup>S,3<sup>1</sup>R,3<sup>2</sup>R,4S,5E,8S,10S)-6'-cloro-8-metil-4-metoxi-10,12-dioxo-3',4'-dihidro-1<sup>2</sup>H,1<sup>4</sup>H,2'<sup>2</sup>H-espiro[10λ<sup>6</sup>-tia-11-aza-1(5,7)-[1,5]benzoxazepina-3(1,2)-ciclobutanaciclododecafano-5,10-dieno-1<sup>3</sup>,1'-naftalen]-10-il]}-3-metoxi-1-metil-1*H*-pirazol-4-carboxamida  
*inhibidor del linfoma 2 de células B (Bcl-2), antineoplásico*

C<sub>38</sub>H<sub>46</sub>ClN<sub>5</sub>O<sub>6</sub>S

2388470-64-0

**zavolosotinum**

zavolosotine

4-[(3*S*)-3-aminopyrrolidin-1-yl]-6-cyano-5-(3,5-difluorophenyl)-*N*-[(2*S*)-1,1,1-trifluoropropan-2-yl]pyridine-3-carboxamide  
*somatostatin receptor agonist*

zavolosotine

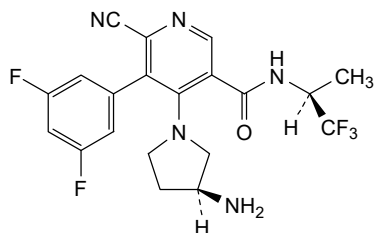
4-[(3*S*)-3-aminopyrrolidin-1-yl]-6-cyano-5-(3,5-difluorophényl)-*N*-[(2*S*)-1,1,1-trifluoropropan-2-yl]pyridine-3-carboxamide  
*agoniste du récepteur de la somatostatine*

zavolosotina

4-[(3*S*)-3-aminopirrolidin-1-il]-6-ciano-5-(3,5-difluorofenil)-*N*-[(2*S*)-1,1,1-trifluoropropan-2-il]piridina-3-carboxamida  
*agonista del receptor de somatostatina*

C<sub>20</sub>H<sub>18</sub>F<sub>5</sub>N<sub>5</sub>O

2604416-66-0

**zelenirstatum**

zelenirstat

2,6-dichloro-*N*-[1,5-dimethyl-3-(2-methylpropyl)-1*H*-pyrazol-4-yl]-4-[2-(piperazin-1-yl)pyridin-4-yl]benzene-1-sulfonamide  
*N-myristoyltransferase inhibitor, antineoplastic*

zélénirstat

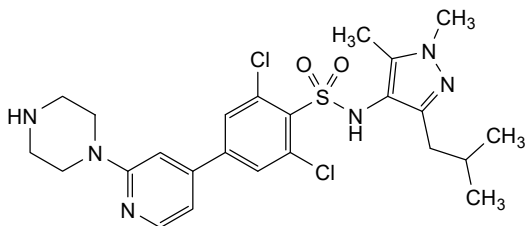
2,6-dichloro-*N*-[1,5-diméthyl-3-(2-méthylpropyl)-1*H*-pyrazol-4-yl]-4-[2-(pipérazin-1-yl)pyridin-4-yl]benzène-1-sulfonamide  
*inhibiteur de la N-myristoyl-transférase, antinéoplasique*

zelenirstat

2,6-dicloro-*N*-[1,5-dimetil-3-(2-metilpropil)-1*H*-pirazol-4-il]-4-[2-(piperazin-1-il)piridin-4-il]benceno-1-sulfonamida  
*inhibidor de la N-miristoiltransferasa, antineoplásico*

C<sub>24</sub>H<sub>30</sub>Cl<sub>2</sub>N<sub>6</sub>O<sub>2</sub>S

1215011-08-7

**zemirciclibum**

zemirciclib

(1*S*,3*R*)-3-acetamido-*N*-[5-cloro-4-(5,5-dimetil-5,6-dihidro-4*H*-pirrolo[1,2-*b*]pirazol-3-yl)piridin-2-yl]ciclohexano-1-carboxamida  
*cyclin-dependent kinase inhibitor, antineoplastic*

zémirciclib

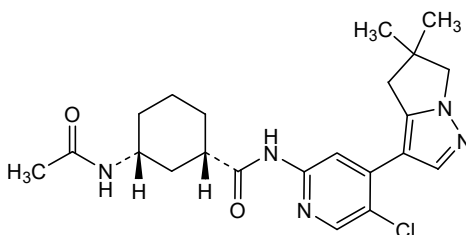
(1*S*,3*R*)-3-acétamido-*N*-[5-cloro-4-(5,5-diméthyl-5,6-dihydro-4*H*-pirrolo[1,2-*b*]pirazol-3-yl)piridin-2-yl]ciclohexano-1-carboxamida  
*inhibiteur des kinases dépendantes des cyclines, antinéoplasique*

zemirciclib

(1*S*,3*R*)-3-acetamido-*N*-[5-cloro-4-(5,5-dimetil-5,6-dihidro-4*H*-pirrolo[1,2-*b*]pirazol-3-il)piridin-2-il]ciclohexano-1-carboxamida  
*inhibidor de las kinasas dependientes de las ciclinas, antineoplásico*

C<sub>22</sub>H<sub>28</sub>ClN<sub>5</sub>O<sub>2</sub>

2057509-72-3

**zemprocitinibum**

zemprocitinib

*N*-[3-(imidazo[4,5-*d*]pyrrolo[2,3-*b*]pyridin-1(6*H*)-yl)bicyclo[1.1.1]pentan-1-yl]propane-1-sulfonamida  
*Janus kinase inhibitor, anti-inflammatory*

zemprocitinib

*N*-[3-(imidazo[4,5-*d*]pyrrolo[2,3-*b*]pyridin-1(6*H*)-yl)bicyclo[1.1.1]pentan-1-yl]propane-1-sulfonamide  
*inhibiteur de la kinase de Janus, anti-inflammatoire*

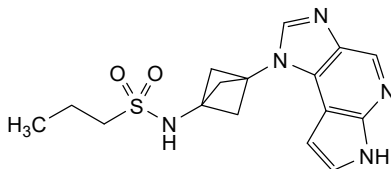


zemprocitinib

*N*-[3-(imidazo[4,5-*d*]pirrolo[2,3-*b*]piridin-1(6*H*)-il)biciclo[1.1.1]pentan-1-il]propano-1-sulfonamida  
*inhibidor de la kinasa de Janus, antiinflamatorio*

C<sub>16</sub>H<sub>19</sub>N<sub>5</sub>O<sub>2</sub>S

2417414-44-7

**zerencotrepum**

zerencotrep

7-[(4-chlorophenyl)methyl]-1-(3-hydroxypropyl)-3-methyl-8-[3-(trifluoromethoxy)phenoxy]-3,7-dihydro-1*H*-purine-2,6-dione  
*transient receptor potential channel 4 and 5 (TRPC4, TRPC5) inhibitor*

zérencotrep

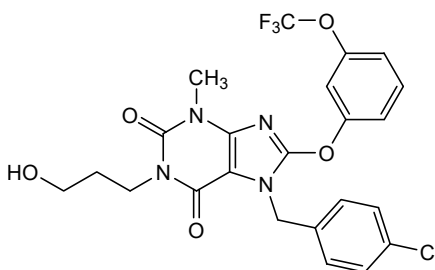
7-[(4-chlorophényl)méthyl]-1-(3-hydroxypropyl)-3-méthyl-8-[3-(trifluorométhoxy)phénoxy]-3,7-dihydro-1*H*-purine-2,6-dione  
*inhibiteur des canaux 4 et 5 du potentiel des récepteurs transitoires (TRPC4, TRPC5)*

zerencotrep

7-[(4-clorofenil)metil]-1-(3-hidroxiopropil)-3-metil-8-[3-(trifluorometoxi)fenoxi]-3,7-dihidro-1*H*-purina-2,6-diona  
*inhibidor de los canales de potencial receptor transitorio 4 y 5 (TRPC4, TRPC5)*

C<sub>23</sub>H<sub>20</sub>ClF<sub>3</sub>N<sub>4</sub>O<sub>5</sub>

1628287-16-0

**zifogaptidum**

zifogaptide

*N*<sup>2</sup>-(6-{5-[(3*aS*,4*S*,6*aR*)-hexahydro-2-oxo-1*H*-thieno[3,4-*d*]imidazol-4-yl]pentanamido}hexanoyl)-L-arginyl-L-glutaminy-L-prolyl-L-lysyl-L-isoleucyl-L-tryptophyl-L-phenylalanyl-L-prolyl-L-asparaginy-L-arginyl-L-arginyl-L-lysyl-L-prolyl-L-tryptophyl-L-lysyl-L-lysyl-L-arginyl-L-prolyl-L-arginyl-L-prolyl-L- $\alpha$ -aspartyl-L- $\alpha$ -aspartyl-L-leucyl-L- $\alpha$ -glutamyl-L-isoleucine  
*gap junction protein channel modulator*

- zifogaptide  $N^2$ -(6-{5-[(3a*S*,4*S*,6a*R*)-hexahydro-2-oxo-1*H*-thiéno[3,4-*d*]imidazol-4-yl]pentanamido}hexanoil)-L-arginyl-L-glutaminyl-L-prolyl-L-lysyl-L-isoleucyl-L-tryptophyl-L-phénylalanil-L-prolyl-L-asparaginyL-L-arginyl-L-arginyl-L-lysyl-L-prolyl-L-tryptophyl-L-lysyl-L-lysyl-L-arginyl-L-prolyl-L-arginyl-L-prolyl-L- $\alpha$ -aspartyl-L- $\alpha$ -aspartyl-L-leucyl-L- $\alpha$ -glutamyl-L-isoleucine  
*modulateur du canal de la protéine de jonction gap*
- zifogaptide  $N^2$ -(6-{5-[(3a*S*,4*S*,6a*R*)-2-oxohexahydro-1*H*-tieno[3,4-*d*]imidazol-4-il]pentanamido}hexanoil)-L-arginil-L-glutaminil-L-prolil-L-lisil-L-isoleucil-L-triptofil-L-fenilalanil-L-prolil-L-asparaginil-L-arginil-L-arginil-L-lisil-L-triptofil-L-lisil-L-lisil-L-lisil-L-arginil-L-prolil-L-arginil-L-arginil-L-prolil-L- $\alpha$ -aspartil-L- $\alpha$ -aspartil-L-leucil-L- $\alpha$ -glutamil-L-isoleucina  
*modulador del canal de la proteína de la unión gap*

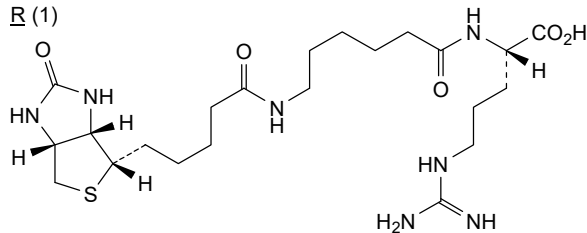
C<sub>166</sub>H<sub>263</sub>N<sub>51</sub>O<sub>37</sub>S

1465809-36-2

RQPKIWFENR RKPWKRRPRP DDLEI 25

Modified residue / Résidu modifié / Resto modificado

R (1)

**zirconium (<sup>89</sup>Zr) girentuximabum senvedoxamum**zirconium (<sup>89</sup>Zr) girentuximab senvedoxam

immunoglobulin G1-kappa, anti-[*Homo sapiens* carbonic anhydrase 9 (CA9, carbonic anhydrase IX, CAIX, MN, G250)], chimeric monoclonal antibody; conjugated on L-lysine residues to zirconium (<sup>89</sup>Zr) radiolabelled *senvedoxam*, with an average ratio of 1 to 1.5;

H-gamma1 heavy chain chimeric (1-449) [VH (*Mus musculus* IGHV5-6-2\*01 (94.9%) -(IGHD) -IGHJ4\*01 (88.2%), CDR-IMGT [8.8-12] (26-33,51-58,97-108)) (1-119) -*Homo sapiens* IGHG1\*01 (100%), G1m17,1 CH1 K120, CH3 D12, L14 (CH1 K120 (216) (120-217), hinge 1-15 (218-232), CH2 (233-342), CH3 D12 (358), L14 (360) (343-447), CHS (448-449)) (120-449)], (222-214')-disulfide with L-kappa light chain chimeric (1'-214') [V-KAPPA (*Mus musculus* IGKV6-13\*01 (93.7%) -IGKJ1\*01 (100%), CDR-IMGT [6.3-9] (27'-32'.50'-52'.89'-97')) (1'-107') -*Homo sapiens* IGKC\*01 (100%), Km3, A45.1 (153'), V101 (191') (108'-214')]; dimer (228-228":231-231")-bisdisulfide, produced in the mouse myeloma cell line P3x63Ag8.653, glycoform alfa; substituted at the N<sup>o</sup> nitrogen atoms of an average of 1.5 lysine residues, among which 449, with 3,14,25-trihydroxy-2,10,13,21,24,32-hexaoxo-3,9,14,20,25,31-hexaazapentatriacontan-35-oil (*senvedoxam*) groups and converted to (<sup>89</sup>Zr) zirconium (4+) chelate complex salts

*diagnostic imaging agent*

zirconium (<sup>89</sup>Zr) girentuximab servédoxam

immunoglobuline G1-kappa, anti-[*Homo sapiens* anhydrase carbonique 9 (CA9, anhydrase carbonique IX, CAIX, MN, G250)], anticorps monoclonal chimérique; conjugué sur les résidus L-lysine au *servédoxam* radiomarcqué au zirconium (<sup>89</sup>Zr), avec un ratio moyen de 1 à 1,5;

chaîne lourde H-gamma1 chimérique (1-449) [VH (*Mus musculus* IGHV5-6-2\*01 (94.9%) -(IGHD) - IGHJ4\*01 (88.2%), CDR-IMGT [8.8.12] (26-33.51-58.97-108)) (1-119) -*Homo sapiens* IGHG1\*01 (100%), G1m17,1 CH1 K120, CH3 D12, L14 (CH1 K120 (216) (120-217), charnière 1-15 (218-232), CH2 (233-342), CH3 D12 (358), L14 (360) (343-447), CHS (448-449) (120-449)], (222-214')- disulfure avec la chaîne légère L-kappa chimérique (1'-214') [V-KAPPA (*Mus musculus* IGKV6-13\*01 (93.7%) -IGKJ1\*01 (100%), CDR-IMGT [6.3.9] (27'-32'.50'-52'.89'-97')) (1'-107') - *Homo sapiens* IGKC\*01 (100%), Km3, A45.1 (153'), V101 (191') (108'-214')]; dimère (228-228":231-231")-bisdisulfure, produit dans la lignée cellulaire de myélome de souris P3x63Ag8.653, glycoforme alfa; substitué en N<sup>6</sup> sur une moyenne de 1,5 de résidus lysine, parmi lesquels celui en position 449, avec des groupes 3,14,25-trihydroxy-2,10,13,21,24,32-hexaooxo-3,9,14,20,25,31-hexaazapentatriacontan-35-oyle (*servédoxam*) et convertis en sels complexes de chélate de (<sup>89</sup>Zr) zirconium (4+)  
*agent d'imagerie diagnostique*

zirconio (<sup>89</sup>Zr) girentuximab senvedoxam

immunoglobulina G1-kappa, anti-[*Homo sapiens* anhidrasa carbónica 9 (CA9, anhidrasa carbónica IX, CAIX, MN, G250)], anticuerpo monoclonal quimérico; conjugado en los restos L-lisina al *senvedoxam* radiomarcado con zirconio (<sup>89</sup>Zr), con un promedio de 1 a 1,5;

cadena pesada H-gamma1 quimérica (1-449) [VH (*Mus musculus* IGHV5-6-2\*01 (94.9%) -(IGHD) - IGHJ4\*01 (88.2%), CDR-IMGT [8.8.12] (26-33.51-58.97-108)) (1-119) -*Homo sapiens* IGHG1\*01 (100%), G1m17,1 CH1 K120, CH3 D12, L14 (CH1 K120 (216) (120-217), bisagra 1-15 (218-232), CH2 (233-342), CH3 D12 (358), L14 (360) (343-447), CHS (448-449) (120-449)], (222-214')- disulfureo con la cadena ligera L-kappa quimérica (1'-214') [V-KAPPA (*Mus musculus* IGKV6-13\*01 (93.7%) -IGKJ1\*01 (100%), CDR-IMGT [6.3.9] (27'-32'.50'-52'.89'-97')) (1'-107') -*Homo sapiens* IGKC\*01 (100%), Km3, A45.1 (153'), V101 (191') (108'-214')]; dímero (228-228":231-231")-bisdisulfuro, producido en la línea celular de mieloma de ratón P3x63Ag8.653, forma glicosilada alfa; sustituido en los N<sup>6</sup> de 1,5 restos lisina, por término medio, incluido el de la posición 449, con grupos 3,14,25-trihidroxi-2,10,13,21,24,32-hexaooxo-3,9,14,20,25,31-hexaazapentatriacontan-35-oilo (*senvedoxam*) y convertido en sales complejas de quelato de zirconio (<sup>89</sup>Zr) (4+)  
*agente de diagnóstico por imagen*

2768427-84-3

## Heavy chain / Chaîne lourde / Cadena pesada

DVKLVESGGG LVKLGGSLLK SCAASGTFPS NYMSWVRQT PEKRLELVAA 50  
 INSDGGITYY LDTVKGRFTI SRDNAKNTLY LQMSLSKSED TALFYCARHR 100  
 SGYFSDMYWG QGTSVTVSSA STKGPSVFLP APSSKSTSGG TAALGCLVKD 150  
 YFPEPVTVSW NSGALTSGVH TFPVLQSSG LYSLSVSVTV PSSSLGTQTY 200  
 ICNVNHKPSN TKVDKKVEPK SCDRTHTCP CPAPPELLGGP SVFLFPPKPK 250  
 DTLMISRTPE VTCVVVDVSH EDPEVKFNWY VDGVEVHNAK TKPREEQYNS 300  
 TYRVVSVLTV LHQDWLNGKE YKCKVSNKAL PAPIEKTISK AKGQPREPQV 350  
 YTLPPSRDEL TKNQVSLTCL VKGFIYPSDIA VEWESNGQPE NNYKTTTPVL 400  
 DSDGSEFFLYS KLTVDKSRWQ QGNVFSCSVM HEALHNYHTQ KSLSLSPGK 449

## Light chain / Chaîne légère / Cadena ligera

DIVMTQSQRF MSTTVGDRVS ITCKASQNVV SAVAWYQQPK GQSPKLLIYS 50  
 ASNRYTGVPD RFTGSGSGTD FTLTISNMQS EDLADFFCQQ YSNYPWTFGG 100  
 GTKLEIKRVT AAPSVFIFPP SDEQLKSGTA SVVCLLNNFY PREAKVQKWK 150  
 DNALQSGNSQ ESVTEQDSKD STYLSLSLT LSKADYERKK VYACEVTHQG 200  
 LSSPVTKSFN RGEC 214

## Post-translational modifications

## Disulfide bridges location / Position des ponts disulfure / Posiciones de los puentes disulfuro

Intra-H (C23-C104) 22-96 146-202 263-323 369-427  
 22"-96" 146"-202" 263"-323" 369"-427"

Intra-L (C23-C104) 23"-88" 134"-194"  
 23"-88" 134"-194"

Inter-H-L (h 5-CL 126) 222-214' 222"-214"

Inter-H-H (h 11, h 14) 228-228" 231-231"

## N-glycosylation sites / Sites de N-glycosylation / Posiciones de N-glicosilación

HCH2N84.4:299, 299"

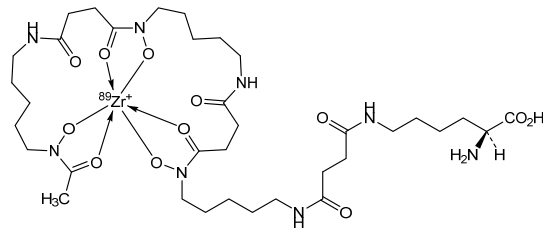
## C-terminal lysine clipping / Coupure de la lysine C-terminale / Recorte de lisina C-terminal

HCHSK2:449, 449"

## Potential modified residues / résidus modifiés potentiels / restos modificados potenciales\*

K (449, 449")

\*(sumidoxam:mAb ~ 1.5:1)



## zodasiranum

zodasiran

*all-P-ambo-3'-O-[[{(1s,4s)-4-[(3S,8S)-17-[[2-acetamido-2-deoxy-β-D-galactopyranosyl]oxy]-3,8-bis[[2-{2-[(2-acetamido-2-deoxy-β-D-galactopyranosyl]oxy]ethoxy]ethyl]carbamoyl]-6,11-dioxo-15-oxa-2,7,12-triazaheptadecan-1-oyl]cyclohexyl]oxy](sulfanyl)phosphoryl]-1'-de(6-amino-9H-purin-9-yl)-2'-deoxy-P-thioadenylyl-(5'→5')-2'-O-methylguanylyl-(3'→5')-2'-O-methylcytidylyl-(3'→5')-2'-O-methyluridylyl-(3'→5')-2'-O-methylcytidylyl-(3'→5')-2'-O-methyladenylyl-(3'→5')-2'-O-methyladenylyl-(3'→5')-2'-O-methylcytidylyl-(3'→5')-2'-O-methyladenylyl-(3'→5')-2'-deoxy-2'-fluorouridylyl-(3'→5')-2'-deoxy-2'-fluoroadenylyl-(3'→5')-2'-deoxy-2'-fluorouridylyl-(3'→5')-2'-O-methyluridylyl-(3'→5')-2'-O-methyluridylyl-(3'→5')-2'-O-methylguanylyl-(3'→5')-2'-O-methyladenylyl-(3'→5')-2'-O-methyluridylyl-(3'→5')-2'-O-methylcytidylyl-(3'→5')-2'-O-methyladenylyl-(3'→5')-2'-O-methylguanylyl-(3'→5')-2'-O-methyluridylyl-(3'→5')-2'-O-methyl-P-thioadenylyl-(3'→3')-1'-de(6-amino-9H-purin-9-yl)-2'-deoxyadenosine*

duplex with *all-P-ambo-2'-O-methyl-P-thiocytidylyl-(5'→3')-2'-deoxy-2'-fluoroguanilyl-(5'→3')-2'-O-methyladenilyl-(5'→3')-2'-deoxy-2'-fluoroguanilyl-(5'→3')-2'-O-methyluridylyl-(5'→3')-2'-deoxy-2'-fluorouridylyl-(5'→3')-2'-O-methylguanylyl-(5'→3')-2'-deoxy-2'-fluorouridylyl-(5'→3')-2'-O-methyladenilyl-(5'→3')-2'-deoxy-2'-fluorouridylyl-(5'→3')-2'-O-methyladenilyl-(5'→3')-2'-deoxy-2'-fluorocytidylyl-(5'→3')-2'-O-methyluridylyl-(5'→3')-2'-deoxy-2'-fluoroadenylyl-(5'→3')-2'-O-methylguanylyl-(5'→3')-2'-deoxy-2'-fluoro-*P*-thiouridylyl-(5'→3')-2'-O-methyl-*P*-thiocytidylyl-(5'→3')-2'-deoxy-2'-fluoro-*P*-thioadenilyl-(5'→3')-2'-O-methyluridine *angiopoietin-related protein 3 synthesis reducer, antihyperlipidaemic**

**zodasiran** *tout-P-ambo-3'-O-(((1s,4s)-4-[(3S,8S)-17-[(2-acétamido-2-désoxy-β-D-galactopyranosyl)oxy]-3,8-bis[(2-{2-[(2-acétamido-2-désoxy-β-D-galactopyranosyl)oxy]éthoxy)éthyl]carbamoyle]-6,11-dioxo-15-oxa-2,7,12-triazaheptadécane-1-oyl]cyclohexyl)oxy)(sulfanyl)phosphoryl]-1'-dés(6-amino-9H-purin-9-yl)-2'-désoxy-*P*-thioadénylyl-(5'→5')-2'-O-méthylguanylyl-(3'→5')-2'-O-méthylcytidilyl-(3'→5')-2'-O-méthyluridylyl-(3'→5')-2'-O-méthylcytidilyl-(3'→5')-2'-O-méthyladenilyl-(3'→5')-2'-O-méthylcytidilyl-(3'→5')-2'-O-méthyladénylyl-(3'→5')-2'-désoxy-2'-fluorouridylyl-(3'→5')-2'-désoxy-2'-fluoroadénylyl-(3'→5')-2'-désoxy-2'-fluorouridylyl-(3'→5')-2'-O-méthyluridylyl-(3'→5')-2'-O-méthyluridylyl-(3'→5')-2'-O-méthylguanylyl-(3'→5')-2'-O-méthyladénylyl-(3'→5')-2'-O-méthyluridylyl-(3'→5')-2'-O-méthyluridylyl-(3'→5')-2'-O-méthylcytidilyl-(3'→5')-2'-O-méthyluridylyl-(3'→5')-2'-O-méthyluridylyl-(3'→5')-2'-O-méthylguanylyl-(3'→5')-2'-O-méthyluridylyl-(3'→5')-2'-O-méthyl-*P*-thioadénylyl-(3'→3')-1'-dés(6-amino-9H-purin-9-yl)-2'-désoxyadénosine duplex avec *tout-P-ambo-2'-O-méthyl-P-thiocytidylyl-(5'→3')-2'-désoxy-2'-fluoroguanilyl-(5'→3')-2'-O-méthyladénylyl-(5'→3')-2'-désoxy-2'-fluoroguanilyl-(5'→3')-2'-O-méthyluridylyl-(5'→3')-2'-désoxy-2'-fluorouridylyl-(5'→3')-2'-O-méthylguanylyl-(5'→3')-2'-désoxy-2'-fluorouridylyl-(5'→3')-2'-O-méthyladénylyl-(5'→3')-2'-désoxy-2'-fluorouridylyl-(5'→3')-2'-O-méthyladénylyl-(5'→3')-2'-désoxy-2'-fluorocytidylyl-(5'→3')-2'-O-méthyluridylyl-(5'→3')-2'-désoxy-2'-fluoroadénylyl-(5'→3')-2'-O-méthylguanylyl-(5'→3')-2'-désoxy-2'-fluoro-*P*-thiouridylyl-(5'→3')-2'-O-méthyl-*P*-thiocytidylyl-(5'→3')-2'-désoxy-2'-fluoro-*P*-thioadénylyl-(5'→3')-2'-O-méthyluridine*  
*réducteur de synthèse de la protéine 3 liée à l'angiopoïétine, antihyperlipidémique**

**zodasirán** *todo-P-ambo-3'-O-(((1s,4s)-4-[(3S,8S)-17-[(2-acetamido-2-desoxi-β-D-galactopiranosil)oxi]-3,8-bis[(2-{2-[(2-acetamido-2-desoxi-β-D-galactopiranosil)oxi]etoxi)etil]carbamoile]-6,11-dioxo-15-oxa-2,7,12-triazaheptadecan-1-oi]ciclohexil)oxi)(sulfanil)fosforil]-1'-des(6-amino-9H-purin-9-il)-2'-desoxi-*P*-tioadenilil-(5'→5')-2'-O-metilguanilil-(3'→5')-2'-O-metilcitudilil-(3'→5')-2'-O-metiluridilil-(3'→5')-2'-O-metilcitudilil-(3'→5')-2'-O-metiladenilil-(3'→5')-2'-O-metilcitudilil-(3'→5')-2'-O-metiladenilil-(3'→5')-2'-desoxi-2'-fluorouridilil-(3'→5')-2'-desoxi-2'-fluoroadenilil-(3'→5')-2'-desoxi-2'-fluorouridilil-(3'→5')-2'-O-metiluridilil-(3'→5')-2'-O-metiluridilil-(3'→5')-2'-O-metilguanilil-(3'→5')-2'-O-metiladenilil-(3'→5')-2'-O-metiluridilil-(3'→5')-2'-O-metilcitudilil-(3'→5')-2'-O-metiladenilil-(3'→5')-2'-O-metiluridilil-(3'→5')-2'-O-metiluridilil-(3'→5')-2'-O-metil-*P*-tioadenilil-(3'→3')-1'-des(6-amino-9H-purin-9-il)-2'-desoxiadenosina*  
*dúplex con todo-P-ambo-2'-O-metil-P-tiocitidilil-(5'→3')-2'-desoxi-2'-fluoroguanilil-(5'→3')-2'-O-metiladenilil-(5'→3')-2'-desoxi-2'-fluoroguanilil-(5'→3')-2'-O-metiluridilil-(5'→3')-2'-desoxi-2'-fluorouridilil-(5'→3')-2'-O-metilguanilil-(5'→3')-2'-desoxi-2'-fluorouridilil-(5'→3')-2'-O-metiladenilil-(5'→3')-2'-desoxi-2'-fluorouridilil-(5'→3')-2'-O-metiladenilil-(5'→3')-2'-desoxi-2'-fluoroadenilil-(5'→3')-2'-O-metiluridilil-(5'→3')-2'-desoxi-2'-fluorocitidilil-(5'→3')-2'-O-metiluridilil-(5'→3')-2'-desoxi-2'-fluoroadenilil-(5'→3')-2'-O-metilguanilil-(5'→3')-2'-desoxi-2'-fluoro-*P*-tiouridilil-(5'→3')-2'-O-metil-*P*-tiocitidilil-(5'→3')-2'-desoxi-2'-fluoro-*P*-tioadenilil-(5'→3')-2'-O-metiluridina*  
*reductor de síntesis de la proteína 3 relacionada con la angiopoietina, antihyperlipidémico*

C<sub>491</sub>H<sub>646</sub>F<sub>13</sub>N<sub>162</sub>O<sub>309</sub>P<sub>43</sub>S<sub>7</sub>

2232918-66-8

(3'-5')R1-G-C-U-C-A-A-C-A-U-A-U-U-G-A-U-C-A-G-U-A-R2

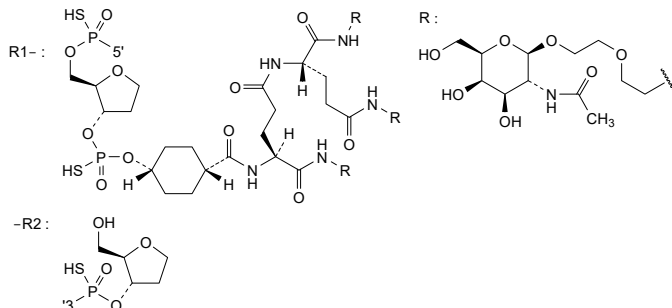
(5'-3')C-G-A-G-U-U-G-U-A-U-A-A-C-U-A-G-U-C=A=U

N : A, C, G, U

N : 2'-O-methyl-N / 2'-O-méthyl-N / 2'-O-metil-N

N : 2'-deoxy-2'-fluoro-N / 2'-désoxy-2'-fluoro-N / 2'-desoxi-2'-fluoro-N

- : -PO(OH)- =: -PO(SH)-

**zomiradomidum**

zomiradomide

*N*-[(2<sup>1r</sup>,2<sup>4r</sup>,9<sup>3E</sup>)-1<sup>5</sup>-(2-hydroxypropan-2-yl)-8<sup>1</sup>,8<sup>3</sup>,9<sup>2</sup>,9<sup>6</sup>-tetraoxo-8<sup>1</sup>,8<sup>3</sup>-dihydro-4<sup>2</sup>,7-diaza-1(2)-[1,3]benzothiazola-8(4,2)-isoidola-9(3)-piperidina-4(2,6)-spiro[3.3]heptana-2(1,4)-cyclohexananonaphan-1<sup>6</sup>-yl]-6-(trifluoromethyl)pyridine-2-carboxamide  
*antineoplastique*

zomiradomide

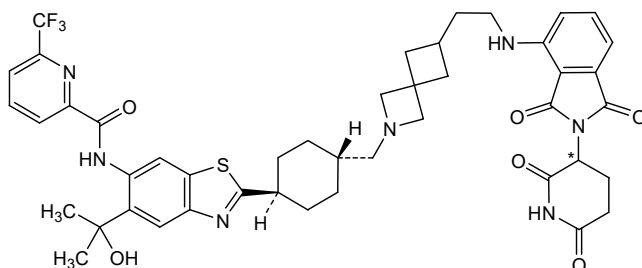
*N*-[(2<sup>1r</sup>,2<sup>4r</sup>,9<sup>3E</sup>)-1<sup>5</sup>-(2-hydroxypropan-2-yl)-8<sup>1</sup>,8<sup>3</sup>,9<sup>2</sup>,9<sup>6</sup>-tétraoxo-8<sup>1</sup>,8<sup>3</sup>-dihydro-4<sup>2</sup>,7-diaza-1(2)-[1,3]benzothiazola-8(4,2)-isoidola-9(3)-pipéridina-4(2,6)-spiro[3.3]heptana-2(1,4)-cyclohexananonaphan-1<sup>6</sup>-yl]-6-(trifluorométhyl)pyridine-2-carboxamide  
*antinéoplasique*

zomiradomida

*N*-[(2<sup>1r</sup>,2<sup>4r</sup>,9<sup>3E</sup>)-1<sup>5</sup>-(2-hidroxipropan-2-il)-8<sup>1</sup>,8<sup>3</sup>,9<sup>2</sup>,9<sup>6</sup>-tetraoxo-8<sup>1</sup>,8<sup>3</sup>-dihidro-4<sup>2</sup>,7-diaza-1(2)-[1,3]benzotiazola-8(4,2)-isoidola-9(3)-piperidina-4(2,6)-espiro[3.3]heptana-2(1,4)-ciclohexananonafan-1<sup>6</sup>-il]-6-(trifluorometil)piridina-2-carboxamida  
*antineoplásico*

C<sub>45</sub>H<sub>48</sub>F<sub>3</sub>N<sub>7</sub>O<sub>6</sub>S

2655656-99-6



**zopapogenum imadenovecum #**

zopapogene imadenovec

replication-deficient gorilla adenovirus vector (strain GC4) encoding human papillomavirus (HPV) type 6 and type 11 antigens comprising 11 epitopes derived from regions of the E2, E4, E6, and E7 proteins under control of a human cytomegalovirus (CMV) promoter and terminated with a 3' untranslated region and a simian virus 40 (SV40) polyadenylation signal  
*gene therapy, immunological agent (HPV)*

zopapogène imadénovec

vecteur d'adénovirus de gorille à réplication déficiente (souche GC4) codant les antigènes des papillomavirus humains (HPV) de type 6 et de type 11 comprenant 11 épitopes dérivés des régions des protéines E2, E4, E6 et E7 sous le contrôle d'un promoteur du cytomégalovirus (CMV) humain et se terminant par un signal de polyadénylation du virus simien (SV40)  
*thérapie génique, agent immunologique (HPV)*

zopapogén imadenovec

vector de adenovirus de gorila deficiente en replicación (cepa GC4) que codifica los antígenos tipo 6 y tipo 11 del virus del papiloma humano (HPV) que contienen 11 epítomos derivados de regiones de las proteínas E2, E4, E6 y E7 bajo el control de un promotor del citomegalovirus (CMV) humano y se termina con una señal de poliadenilación del virus simio 40 (SV40)  
*terapia génica, agente inmunológico (HPV)*

2864817-42-3

**zopocianinum**

zopocianine

*N*-[[(1*S*)-1,3-dicarboxypropyl]carbamoyl]-*L*- $\gamma$ -glutamyl-3-[2-(2-aminoethoxy)ethoxy]propanoyl-*L*-phenylalanyl-O-[(6*E*)-2-[(1*E*)-2-[3,3-dimethyl-1-(4-sulfobutyl)-5-sulfonato-3*H*-indol-1-ium-2-yl]ethen-1-yl]-6-[(2*E*)-2-[3,3-dimethyl-5-sulfo-1-(4-sulfobutyl)-1,3-dihydro-2*H*-indol-2-ylidene]ethylidene]cyclohex-1-en-1-yl]-*L*-tyrosine  
*diagnostic imaging agent*

zopocianine

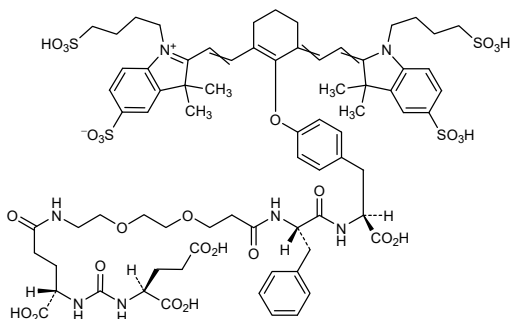
*N*-[[(1*S*)-1,3-dicarboxypropyl]carbamoyl]-*L*- $\gamma$ -glutamyl-3-[2-(2-aminoéthoxy)éthoxy]propanoïl-*L*-phénylalanïl-O-[(6*E*)-2-[(1*E*)-2-[3,3-diméthyl-1-(4-sulfobutyl)-5-sulfonato-3*H*-indol-1-ium-2-yl]éthén-1-yl]-6-[(2*E*)-2-[3,3-diméthyl-5-sulfo-1-(4-sulfobutyl)-1,3-dihydro-2*H*-indol-2-ylidène]éthylidène]cyclohex-1-én-1-yl]-*L*-tyrosine  
*agent d'imagerie diagnostique*

zopocianina

*N*-[[(1*S*)-1,3-dicarboxipropil]carbamoil]-*L*- $\gamma$ -glutamyl-3-[2-(2-aminoetoxi)etoxi]propanoïl-*L*-fenilalanil-O-[(6*E*)-2-[(1*E*)-2-[3,3-dimetil-1-(4-sulfobutil)-5-sulfonato-3*H*-indol-1-ïo-2-ïl]eten-1-ïl]-6-[(2*E*)-2-[3,3-dimetil-5-sulfo-1-(4-sulfobutil)-1,3-dihidro-2*H*-indol-2-ïlïdeno]etilïdeno]ciclohex-1-en-1-ïl]-*L*-tirosina  
*agente de diagnóstico por imagen*

C<sub>74</sub>H<sub>93</sub>N<sub>7</sub>O<sub>27</sub>S<sub>4</sub>

2206660-94-6

**zoracopanum**

zoracopan

(1*R*,3*S*,5*R*)-2-[[3-acetyl-7-methyl-5-(2-methylpyrimidin-5-yl)-1*H*-indol-1-yl]acetyl]-*N*-(6-bromo-3-methylpyridin-2-yl)-5-methyl-2-azabicyclo[3.1.0]hexane-3-carboxamide

*complement factor D inhibitor*

zoracopan

(1*R*,3*S*,5*R*)-2-[[3-acétyl-7-méthyl-5-(2-méthylpyrimidin-5-yl)-1*H*-indol-1-yl]acétyl]-*N*-(6-bromo-3-méthylpyridin-2-yl)-5-méthyl-2-azabicyclo[3.1.0]hexane-3-carboxamide

*inhibiteur du facteur D du complément*

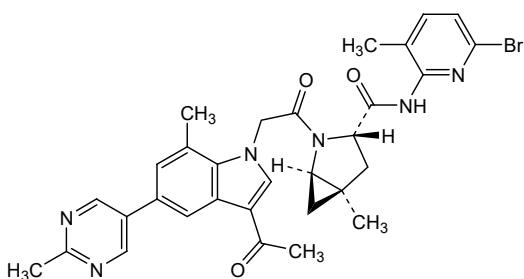
zoracopán

(1*R*,3*S*,5*R*)-2-[[3-acetil-7-metil-5-(2-metilpirimidin-5-il)-1*H*-indol-1-il]acetil]-*N*-(6-bromo-3-metilpiridin-2-il)-5-metil-2-azabicyclo[3.1.0]hexano-3-carboxamida

*inhibidor del factor D del complemento*

C<sub>31</sub>H<sub>31</sub>BrN<sub>6</sub>O<sub>3</sub>

2243483-63-6

**zubotamigum #**

zubotamig

immunoglobulin (H-gamma<sub>1</sub>-L-kappa)<sub>2</sub>-(H-gamma<sub>1</sub>-L-lambda<sub>2</sub>), anti-[*Homo sapiens* VTCN1 (V-set domain containing T cell activation inhibitor 1, B7 family member H4, B7H4, B7-H4)] and anti-[*Homo sapiens* CD3E (CD3 epsilon, Leu-4)], bispecific;



H-gamma1 heavy chain anti-VTCN1(1-446) [VH (*Homo sapiens* IGHV4-34\*01 (95.9%) -(IGHD) -IGHJ5\*01 (100%), CDR-IMGT [8.7.11] (26-33.51-57.96-106))] (1-117)-*Homo sapiens* IGHG1\*03, G1m3, nG1m1 CH1 R120, CH3 E12, M14, G1v41 CH2 F1.3, E1.2, G1v66 CH2 A27, G1v82-2 CH3 R88 (CH1 R120 (214) (118-215), hinge 1-15 (216-230), CH2 L1.3>F (234), L1.2>E (235), D27>A (265) (231-340), CH3 E12 (356), M14 (358), K88>R (409) (341-445), CHS K2>del (446)) (118-446)], (220-214')-disulfide with L-kappa light chain(1'-214') [V-KAPPA (*Homo sapiens* IGKV1-17\*01 (98.9%) -IGKJ1\*01 (90.9%) K123>T (103'), CDR-IMGT [6.3.9] (27'-32'.50'-52'.89'-97'')) (1'-107') -*Homo sapiens* IGKC\*01 (100%), Km3 A45.1 (153'), V101 (191') (108'-214')];

H-gamma1 heavy chain anti-CD3E(1"-454") [VH Musmus/Homsap (*Mus musculus* IGHV10-1\*02 (93.9%) -(IGHD) -IGHJ3\*01 (93.3%) A128>S (125'')/*Homo sapiens* IGHV3-72\*01 (81.0%) -(IGHD) -IGHJ6\*01 (90.9%) T123>L (120''), CDR-IMGT [8.10.16] (26"-33".51"-60".99"-114'')] (1"-125'')-*Homo sapiens* IGHG1\*03, G1m3, nG1m1 CH1 R120, CH3 E12, M14, G1v41 CH2 F1.3, E1.2, G1v66 CH2 A27, G1v82-1 CH3 L85.1 (CH1 R120 (222'') (126"-223''), hinge 1-15 (224"-238''), CH2 L1.3>F (242''), L1.2>E (243''), D27>A (273'') (239"-348''), CH3 E12 (364''), M14 (366''), F85.1>L (413'') (349"-453''), CHS K2>del (454'')) (126"-454''), (228"-214'')-disulfide with L-lambda2 light chain (1"-215'') [V-LAMBDA Musmus/Homsap (*Mus musculus* IGLV1\*01 (83.3%) -IGLJ1\*01 (100%)/*Homo sapiens* IGLV8-61\*01 (70.8%) -IGLJ3\*02 (100%), CDR-IMGT [9.3.9] (26'''-34'''-52'''-54'''-91'''-99''') (1'''-109''') -*Homo sapiens* IGLC2\*01 (100%) (110'''-215''')]; dimer (226-234'':229-237'')-bisdisulfide, produced in Chinese hamster ovary (CHO) cells, cell line CHO-K1SV, glycoform alfa *antineoplastique*

zubotamig

immunoglobuline (H-gamma1\_L-kappa)\_ (H-gamma1\_L-lambda2), anti-[*Homo sapiens* VTCN1 (inhibiteur 1 de l'activation des cellules T contenant un domaine V-like, membre H4 de la famille B7, B7-H4, B7H4)] et anti-[*Homo sapiens* CD3E (CD3 epsilon, Leu-4)], bispécifique; chaîne lourde H-gamma1 anti-VTCN1(1-446) [VH (*Homo sapiens* IGHV4-34\*01 (95.9%) -(IGHD) -IGHJ5\*01 (100%), CDR-IMGT [8.7.11] (26-33.51-57.96-106))] (1-117)-*Homo sapiens* IGHG1\*03, G1m3, nG1m1 CH1 R120, CH3 E12, M14, G1v41 CH2 F1.3, E1.2, G1v66 CH2 A27, G1v82-2 CH3 R88 (CH1 R120 (214) (118-215), charnière 1-15 (216-230), CH2 L1.3>F (234), L1.2>E (235), D27>A (265) (231-340), CH3 E12 (356), M14 (358), K88>R (409) (341-445), CHS K2>del (446)) (118-446)], (220-214')-disulfure avec la chaîne légère L-kappa (1'-214') [V-KAPPA (*Homo sapiens* IGKV1-17\*01 (98.9%) -IGKJ1\*01 (90.9%) K123>T (103'), CDR-IMGT [6.3.9] (27'-32'.50'-52'.89'-97'')) (1'-107') -*Homo sapiens* IGKC\*01 (100%), Km3 A45.1 (153'), V101 (191') (108'-214')]; chaîne lourde H-gamma1 anti-CD3E(1"-454") [VH Musmus/Homsap (*Mus musculus* IGHV10-1\*02 (93.9%) -(IGHD) -IGHJ3\*01 (93.3%) A128>S (125'')/*Homo sapiens* IGHV3-72\*01 (81.0%) -(IGHD) -IGHJ6\*01 (90.9%) T123>L (120''), CDR-IMGT [8.10.16] (26"-33".51"-60".99"-114'')] (1"-125'')-*Homo sapiens* IGHG1\*03, G1m3, nG1m1 CH1 R120, CH3 E12, M14, G1v41 CH2 F1.3, E1.2, G1v66 CH2 A27, G1v82-1 CH3 L85.1 (CH1 R120 (222'') (126"-223''), charnière 1-15 (224"-238''), CH2 L1.3>F (242''), L1.2>E (243''), D27>A (273'') (239"-348''), CH3 E12 (364''), M14 (366''), F85.1>L (413'') (349"-453''), CHS K2>del (454'')) (126"-454''), (228"-214'')-disulfure avec la chaîne légère L-lambda2 (1"-215'') [V-LAMBDA Musmus/Homsap (*Mus musculus* IGLV1\*01 (83.3%) -IGLJ1\*01 (100%)/*Homo sapiens* IGLV8-61\*01 (70.8%) -IGLJ3\*02 (100%), CDR-IMGT [9.3.9] (26'''-34'''-52'''-54'''-91'''-99''') (1'''-109''') -*Homo sapiens* IGLC2\*01 (100%) (110'''-215''')]; dimère (226-234'':229-237'')-bisdisulfure, produit dans des cellules ovariennes de hamster chinois (CHO), lignée cellulaire CHO-K1SV, glycoform alfa *antineoplastique*

zobotamig

inmunoglobulina (H-gamma1\_L-kappa) (H-gamma1\_L-lambda2), anti-[*Homo sapiens* VTCN1 (inhibidor 1 de la activación de las células T que contienen un dominio V-like, miembro H4 de la familia B7, B7-H4, B7H4)] y anti-[*Homo sapiens* CD3E (CD3 épsilon, Leu-4)], biespecífico; cadena pesada H-gamma1 anti-VTCN1(1-446) [VH (*Homo sapiens* IGHV4-34\*01 (95.9%) -(IGHD) -IGHJ5\*01 (100%), CDR-IMGT [8.7.11] (26-33.51-57.96-106))] (1-117)-*Homo sapiens* IGHG1\*03, G1m3, nG1m1 CH1 R120, CH3 E12, M14, G1v41 CH2 F1.3, E1.2, G1v66 CH2 A27, G1v82-2 CH3 R88 (CH1 R120 (214) (118-215), bisagra 1-15 (216-230), CH2 L1.3>F (234), L1.2>E (235), D27>A (265) (231-340), CH3 E12 (356), M14 (358), K88>R (409) (341-445), CHS K2>del (446)) (118-446)], (220-214')-disulfuro con la cadena ligera L-kappa (1'-214') [V-KAPPA (*Homo sapiens* IGKV1-17\*01 (98.9%) -IGKJ1\*01 (90.9%) K123>T (103'), CDR-IMGT [6.3.9] (27'-32'.50'-52'.89'-97'')] (1'-107') -*Homo sapiens* IGKC\*01 (100%), Km3 A45.1 (153'), V101 (191') (108'-214)]; cadena pesada H-gamma1 anti-CD3E(1"-454") [VH Musmus/Homsap (*Mus musculus* IGHV10-1\*02 (93.9%) -(IGHD) -IGHJ3\*01 (93.3%) A128>S (125'')/*Homo sapiens* IGHV3-72\*01 (81.0%) -(IGHD) -IGHJ6\*01 (90.9%) T123>L (120''), CDR-IMGT [8.10.16] (26"-33"-51"-60"-99"-114'')] (1"-125'')-*Homo sapiens* IGHG1\*03, G1m3, nG1m1 CH1 R120, CH3 E12, M14, G1v41 CH2 F1.3, E1.2, G1v66 CH2 A27, G1v82-1 CH3 L85.1 (CH1 R120 (222'') (126"-223''), bisagra 1-15 (224"-238''), CH2 L1.3>F (242''), L1.2>E (243''), D27>A (273'') (239"-348''), CH3 E12 (364''), M14 (366''), F85.1>L (413'') (349"-453''), CHS K2>del (454'')) (126"-454'')], (228"-214'')-disulfuro con la cadena ligera L-lambda2 (1'"-215'') [V-LAMBDA Musmus/Homsap (*Mus musculus* IGLV1\*01 (83.3%) -IGLJ1\*01 (100%)/*Homo sapiens* IGLV8-61\*01 (70.8%) -IGLJ3\*02 (100%), CDR-IMGT [9.3.9] (26'"-34'"-52'"-54'"-91'"-99'') (1'"-109'') -*Homo sapiens* IGLC2\*01 (100%) (110'"-215'')]; dímero (226-234"-229-237'')-bisulfuro, producido en las células ováricas de hámster chino (CHO), línea celular CHO-K1SV, forma glicosilada alfa *antineoplásico*

2640279-10-1

Heavy chain / Chaîne lourde / Cadena pesada : H-gamma1 (H) anti-VTCN1  
 QVQLQQWAG LLKPFSETLSL TCAVYGGFSF GYVSWIRQP PGKLEWIEF 50  
 ISHSGSTNYN PSLKSRVTISL IDTSKNQFSL KLTSTVAADT AVFYCARGLF 100  
 NWNFDSWQGG TLVTVSSAST KGPSVFLAP SSKSTSGTA ALGCLVRDIF 150  
 PEFVTVSWSG GALSQVHTF PAVLQSGSLY SLSVTVVPS SSGTQYIC 200  
 NVNHKFSNTK VDKRVEPKSC DKTHCTPCFP APEFEGGSPV FLFFPKKDT 250  
 LMISRTPEVT CVVAVSHED PEVKFNWYVD GVEVHNAKTK PREEQYNSTY 300  
 RVVSVLTVLH QDWLNGKEYK CRVSNKALPA PIEKTIKRAK GQPREPQVYT 350  
 LPFSPREMTK NQVSLTCLVK GFYPSDIAVE WESNGQPPEN YKTPFVPLDS 400  
 DGSFPLYSLR TVDKSRWQQG NVPFSCVMHE ALNHHTQKSL LSLSPG 446

Light chain / Chaîne légère / Cadena ligera : L-kappa (L) anti-VTCN1  
 DIQMTQSPFS LSASVGRVIT ITCRASQGIS NDLGWYQQKP GKAPKRLIYG 50  
 ASLISQGVFSP RFSGSGSGTE FTLTISLSLQF EDFATYICLQ HNSYFRFPQ 100  
 GTTVEIKRVT AAFNFIYFPP SEQLQLNFTA SVVCLNINPV PRAKAVQWYV 150  
 DNALQSGNSQ ESVTEQDSKD STYLSLSTLT LSKADYEKHK VYACEVTHQG 200  
 LSSPVTKSFN RGEK 214

Heavy chain / Chaîne lourde / Cadena pesada : H-gamma1 (H\*) anti-CD3E  
 EVKLVESGG LVQPGGSLRL SCASQFSFI YFAMNVRQA PGKLEWIVAR 50  
 IRSKYNNYAT YYADSVKDRF TISRDSKSS LYLQMNKLT EDTAMYYCVR 100  
 GGNFNGSYVS WFAVWQQTL VTVSSASTGK PSVFPLAPSS KSTSGGTAAL 150  
 GCLVDFYFPE PVTVSWNSGA LTVGVHTFPA VLQSSGLYSL SSVTVVPSSS 200  
 LGTQTYICNV NHKFSMTKVD KRVEPKSCDK THICPCPCAP EFEQGGPSVFL 250  
 FPFKPKDML IGRTPPEVTV VVAIVSDEPE VFNWVYDGV EVNNAKTKER 300  
 EQQYNSTYRV VSVLTVLHQD WLNGKEYKCK VSNKALPAPI EKTISKARGQ 350  
 PREPQVYTLF PSREMTKIQ VSLTCLVKGF YPSDIAVEWE SNGQPPENYK 400  
 TTPFVPLDSG SFLLYSKLTV DKSRWQQGNV FVSCVMHEAL HNHVYTKSL 450  
 LSPG 454

Light chain / Chaîne légère / Cadena ligera : L-lambda2 (L\*) anti-CD3E  
 QAVVTEQPSF SVSPGGTVEL TCRSSTGAVT TSNYANWVQQ FPGQAFRLI 50  
 GGTNKRAPGV PARFSGSLIG DKAALITGA QADDESIFYC ALWYSNLWVF 100  
 GGGTKLTVLG QEKAAPSVTL FPPSSSEELQ NRATLVCLIS DFYFGAVTVA 150  
 WKADESPFA GVEFTTFSKQ SNRYAASSY LSLTPEQWKS HRSYSQGVTH 200  
 EGSTVEKTVV PTECS 215

**Post-translational modifications**  
 Disulfide bridges location / Position des ponts disulfure / Posiciones de los puentes disulfuro

Intra-H (C23-C104) 225 144-200 261-321 367-425  
 22"-98" 152"-208" 269"-329" 375"-433"  
 Intra-L (C23-C104) 23"-88" 134"-194"  
 22"-90" 137"-196"  
 Inter-H-L (h 5-CL 126) 220-214" 228"-214"  
 Inter-H-H (h 11, h 14) 226-234" 229-237"

N-terminal glutaminyl cyclization / Cyclisation du glutaminyle N-terminal / Ciclación del glutaminilo N-terminal  
 Q > pyroglutamyl (pE, 5-oxoprolyl) / pyroglutamyle (pE, 5-oxoprolyle) / piroglutamilo (pE, 5-oxoprolylo)  
 H VH Q1:1  
 L VL V-LAMBDA Q1:1"

N-glycosylation sites / Sites de N-glycosylation / Posiciones de N-glicosilación  
 H CH2 N84:4: 297, 305  
 Fucosylated complex bi-antennary CHO-type glycans / glycanes de type CHO bi-antennaires complexes fucosylés / glicanos de tipo CHO biantenaricos complejos fucosilados.

**Names for chemical modifications of INN (substituent groups, counterions, adduct partners, etc.):**

Many pharmaceutical substances for which an International Nonproprietary Name (INN) has been established are used as modified derivatives (salts, esters, protein-drug conjugates, solvates, etc.). The chemical modification (including counterions) involved may be of complex nature and it is then inconvenient to use its systematic chemical name. Consequently, shorter nonproprietary names for such modifications have been devised, and these are recommended for creating modified International Nonproprietary Names (INN.M).

**Dénominations applicables aux modifications chimiques des DCI (groupes substituants, contre-ions, adduits, etc.) :**

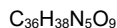
Certaines substances pour lesquelles une dénomination commune internationale proposée a été établie sont parfois utilisées comme dérivés modifiés (sels, esters, médicaments conjugués à des protéines, produits de solvatation, etc.). Les modifications chimiques (incluant les contre-ions) sont alors quelques fois si complexes qu'il est malcommode de les désigner conformément à la nomenclature chimique systématique. Des dénominations communes abrégées ont donc été formées ou choisies pour certaines d'entre elles et il est suggéré de les employer pour créer les dénominations communes internationales modifiées (DCIM).

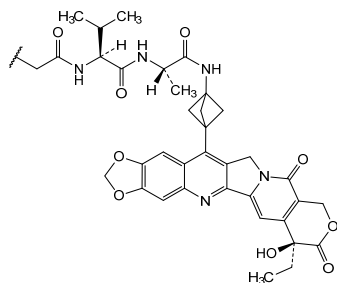
**Denominaciones aplicables a modificaciones químicas de las DCI (grupos sustituyentes, contraiones, aductos, etc.):**

Muchas sustancias farmacéuticas para las cuales hay establecidas una denominación común internacional (DCI) pueden usarse como derivados modificados (sales, ésteres, medicamentos conjugados con proteínas, solvatos, etc.). Las modificaciones químicas (incluidos los contraiones) implicadas pueden ser de naturaleza compleja y por tanto es inapropiado utilizar su nombre químico sistemático. Como consecuencia, se han diseñado denominaciones abreviadas para estas modificaciones y se recomiendan para la creación de Denominaciones Comunes Internacionales modificadas (DCIM).

**adizutecanum**

adizutecan	2-[[[(2S)-1-[[[(2S)-1-({3-[(7S)-7-ethyl-7-hydroxy-14-methyl-8,11-dioxo-7,8,11,13-tetrahydro-2H,10H-[1,3]dioxolo[4,5-g]pyrano[3',4':6,7]indolizino[1,2-b]quinolin-14-yl]bicyclo[1.1.1]pentan-1-yl}amino)-1-oxopropan-2-yl]amino]-3-methyl-1-oxobutan-2-yl]amino]-2-oxoethyl
adizutécan	2-[[[(2S)-1-[[[(2S)-1-({3-[(7S)-7-éthyl-7-hydroxy-14-méthyl-8,11-dioxo-7,8,11,13-tétrahydro-2H,10H-[1,3]dioxolo[4,5-g]pyrano[3',4':6,7]indolizino[1,2-b]quinoléin-14-yl]bicyclo[1.1.1]pentan-1-yl}amino)-1-oxopropan-2-yl]amino]-3-méthyl-1-oxobutan-2-yl]amino]-2-oxoéthyle
adizutecán	2-[[[(2S)-1-[[[(2S)-1-({3-[(7S)-7-etil-7-hidroxi-14-metil-8,11-dioxo-7,8,11,13-tetrahidro-2H,10H-[1,3]dioxolo[4,5-g]pirano[3',4':6,7]indolizino[1,2-b]quinolin-14-il]biciclo[1.1.1]pentan-1-il}amino)-1-oxopropan-2-il]amino]-3-metil-1-oxobutan-2-il]amino]-2-oxoetilo



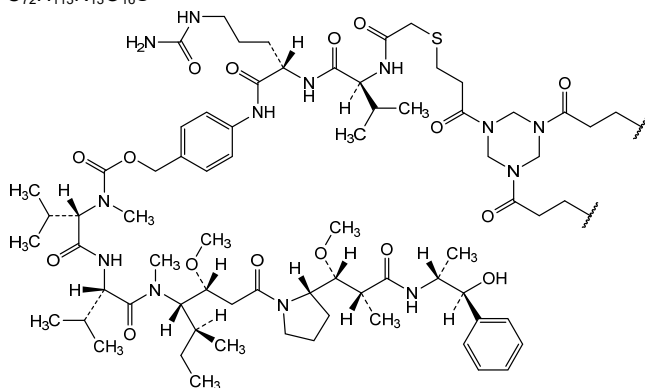
**blivedotinum**

blivedotin 3,3'-[(2*S*,3*R*,6*R*,7*R*,8<sup>2</sup>*S*,11*R*,12*S*,15*S*,18*S*,26*S*,29*S*)-12-[(2*S*)-butan-2-yl]-26-[3-(carbamoylamino)propyl]-2-hydroxy-7,11-dimethoxy-3,6,13,19-tetramethyl-5,9,14,17,20,25,28,31,36-nonaoxo-15,18,29-tri(propan-2-yl)-21-oxa-33-thia-4,13,16,19,24,27,30-heptaaza-37(1)-[1,3,5]triazinana-8(2,1)-pyrrolidina-1(1),23(1,4)-dibenzenaheptatriacontaphane-37<sup>3</sup>,37<sup>5</sup>-diyl]bis(3-oxopropyl)

blivédotine 3,3'-[(2*S*,3*R*,6*R*,7*R*,8<sup>2</sup>*S*,11*R*,12*S*,15*S*,18*S*,26*S*,29*S*)-12-[(2*S*)-butan-2-yl]-26-[3-(carbamoylamino)propyl]-2-hydroxy-7,11-diméthoxy-3,6,13,19-tétraméthyl-5,9,14,17,20,25,28,31,36-nonaoxo-15,18,29-tri(propan-2-yl)-21-oxa-33-thia-4,13,16,19,24,27,30-heptaaza-37(1)-[1,3,5]triazinana-8(2,1)-pyrrolidina-1(1),23(1,4)-dibenzénaheptatriacontaphane-37<sup>3</sup>,37<sup>5</sup>-diyl]bis(3-oxopropyle)

blivedotina 3,3'-[(2*S*,3*R*,6*R*,7*R*,8<sup>2</sup>*S*,11*R*,12*S*,15*S*,18*S*,26*S*,29*S*)-12-[(2*S*)-butan-2-il]-26-[3-(carbamoi lamino)propil]-2-hidroxi-7,11-dimetoxi-3,6,13,19-tetrametil-5,9,14,17,20,25,28,31,36-nonaoxo-15,18,29-tri(propan-2-il)-21-oxa-33-tia-4,13,16,19,24,27,30-heptaaza-37(1)-[1,3,5]triazinana-8(2,1)-pirrolidina-1(1),23(1,4)-dibencenaheptatriacontafano-37<sup>3</sup>,37<sup>5</sup>-diil]bis(3-oxopropilo)

C<sub>72</sub>H<sub>113</sub>N<sub>13</sub>O<sub>16</sub>S

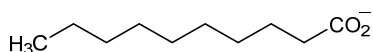
**decanoas**

decanoate

décanoate

decanoato

C<sub>10</sub>H<sub>19</sub>O<sub>2</sub>



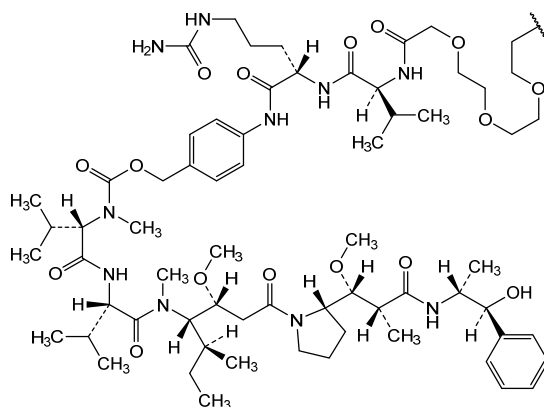
**envedotinum**

envedotin (6*S*,9*S*)-1-amino-6-({4-[(5*S*,8*S*,11*S*,12*R*)-11-[(2*S*)-butan-2-yl]-12-(2-[(2*S*)-2-[(1*R*,2*R*)-3-[[[(1*S*,2*R*)-1-hydroxy-1-phenylpropan-2-yl]amino]-1-methoxy-2-methyl-3-oxopropyl]pyrrolidin-1-yl)-2-oxoethyl)-4,10-dimethyl-3,6,9-trioxo-5,8-di(propan-2-yl)-2,13-dioxo-4,7,10-triazatetradecyl]phenyl}carbamoil)-1,8,11-trioxo-9-(propan-2-yl)-13,16,19-trioxa-2,7,10-triazahenicosan-21-yl

envédotine (6*S*,9*S*)-1-amino-6-({4-[(5*S*,8*S*,11*S*,12*R*)-11-[(2*S*)-butan-2-yl]-12-(2-[(2*S*)-2-[(1*R*,2*R*)-3-[[[(1*S*,2*R*)-1-hydroxy-1-phénylpropan-2-yl]amino]-1-méthoxy-2-méthyl-3-oxopropyl]pyrrolidin-1-yl)-2-oxoéthyl)-4,10-diméthyl-3,6,9-trioxo-5,8-di(propan-2-yl)-2,13-dioxo-4,7,10-triazatétradécyl]phényl}carbamoil)-1,8,11-trioxo-9-(propan-2-yl)-13,16,19-trioxa-2,7,10-triazahénicosan-21-yle

envedotina (6*S*,9*S*)-1-amino-6-({4-[(5*S*,8*S*,11*S*,12*R*)-11-[(2*S*)-butan-2-il]-12-(2-[(2*S*)-2-[(1*R*,2*R*)-3-[[[(1*S*,2*R*)-1-fenil-1-hidroxi-propan-2-il]amino]-2-metil-1-metoxi-3-oxopropil]pirrolidin-1-il)-2-oxoetil)-4,10-dimetil-3,6,9-trioxo-5,8-di(propan-2-il)-2,13-dioxo-4,7,10-triazatetradecil]fenil}carbamoil)-1,8,11-trioxo-9-(propan-2-il)-13,16,19-trioxa-2,7,10-triazahenicosan-21-ilo

C<sub>66</sub>H<sub>107</sub>N<sub>10</sub>O<sub>16</sub>

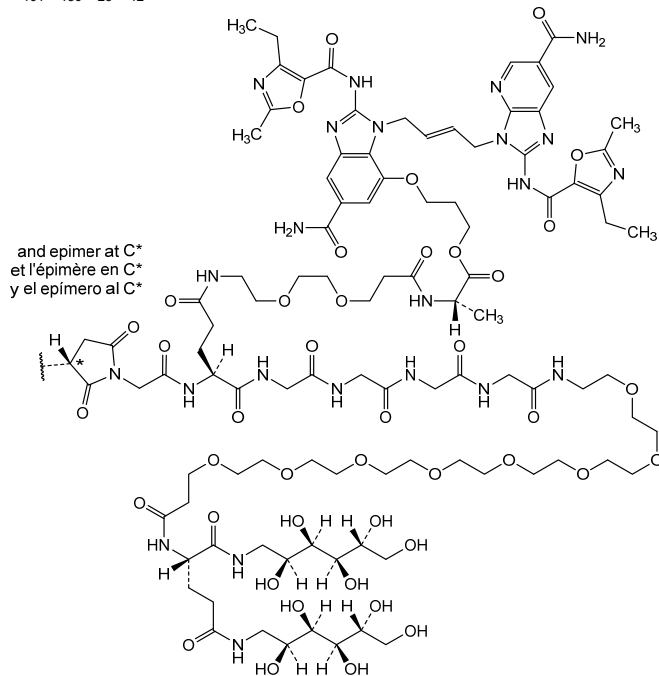
**ginistinagum**

ginistinag (3*R*)-1-[(4*S*,47*S*,53*S*,54*R*,55*R*,56*R*)-4-[(15*S*)-20-[[[(6*E*)-4<sup>6</sup>,9<sup>5</sup>-dicarbamoil-1<sup>4</sup>,12<sup>4</sup>-diethyl-1<sup>2</sup>,12<sup>2</sup>-dimethyl-2,11-dioxo-3,10-diaza-1,12(5)-bis[1,3]oxazola-4(2,3)-imidazo[4,5-*b*]pyridina-9(1,2)-[1,3]benzimidazoladodecaphan-6-en-9<sup>7</sup>-yl]oxy]-15-methyl-3,13,16-trioxo-7,10,17-trioxa-4,14-diazaicosan-1-yl]-53,54,55,56,57-pentahydroxy-2,5,8,11,14,17,45,50-octaoxo-47-[[[(2*S*,3*R*,4*R*,5*R*)-2,3,4,5,6-pentahydroxyhexyl]carbamoil]-21,24,27,30,33,36,39,42-octaoxa-3,6,9,12,15,18,46,51-octaazaheptapentacontan-1-yl]-2,5-dioxopyrrolidin-3-yl

ginistinag (3*R*)-1-[(4*S*,47*S*,53*S*,54*R*,55*R*,56*R*)-4-[(15*S*)-20-[[[(6*E*)-4<sup>6</sup>,9<sup>5</sup>-dicarbamoil-1<sup>4</sup>,12<sup>4</sup>-diéthyl-1<sup>2</sup>,12<sup>2</sup>-diméthyl-2,11-dioxo-3,10-diaza-1,12(5)-bis[1,3]oxazola-4(2,3)-imidazo[4,5-*b*]pyridina-9(1,2)-[1,3]benzimidazoladodécaphan-6-én-9<sup>7</sup>-yl]oxy]-15-méthyl-3,13,16-trioxo-7,10,17-trioxa-4,14-diazaicosan-1-yl]-53,54,55,56,57-pentahydroxy-2,5,8,11,14,17,45,50-octaoxo-47-[[[(2*S*,3*R*,4*R*,5*R*)-2,3,4,5,6-pentahydroxyhexyl]carbamoil]-21,24,27,30,33,36,39,42-octaoxa-3,6,9,12,15,18,46,51-octaazaheptapentacontan-1-yl]-2,5-dioxopyrrolidin-3-yle

ginistinag

(3*RS*)-1-[(4*S*,47*S*,53*S*,54*R*,55*R*,56*R*)-4-[(15*S*)-20-[(6*E*)-4<sup>6</sup>,9<sup>5</sup>-dicarbamoil-1<sup>4</sup>,12<sup>4</sup>-diéthyl-1<sup>2</sup>,12<sup>2</sup>-diméthyl-2,11-dioxo-3,10-diaza-1,12(5)-bis[1,3]oxazola-4(2,3)-imidazo[4,5-*b*]piridina-9(1,2)-[1,3]bencimidazoladodécaphan-6-en-9<sup>7</sup>-il]oxi]-15-méthyl-3,13,16-trioxo-7,10,17-trioxa-4,14-diazaicosan-1-il]-53,54,55,56,57-pentahydroxi-2,5,8,11,14,17,45,50-octaoxo-47-[(2*S*,3*R*,4*R*,5*R*)-2,3,4,5,6-pentahydroxihexil]carbamoil]-21,24,27,30,33,36,39,42-octaoxa-3,6,9,12,15,18,46,51-octaazaheptapentacontan-1-il]-2,5-dioxopirrolidin-3-ilo

C<sub>101</sub>H<sub>150</sub>N<sub>23</sub>O<sub>42</sub>**ledadotinum**

ledadotin

2-acetamido-[(5*aRS*,6*SR*,6*aSR*)-6-[(45*S*)-22,22-bis[(28*S*)-28-[(9*S*,14*S*)-9-carboxy-19-[[*N,N*-diméthyl-L-valyl-L-valyl-(3*R*,4*S*,5*S*)-3-méthoxy-5-méthyl-4-(méthylamino)heptanoyl-(2*R*,3*R*)-3-méthoxy-2-méthyl-3-[(2*S*)-pyrrolidin-2-yl]propanoyl-L-phénylalanyl]amino]-14-méthyl-3,7,12,15-tétraoxo-2,16-dioxa-4,8,13-triazanonadécane-1-yl]-27,30,33,36,39,42,46-heptaoxo-2,5,8,11,14,17,20,23,49-nonaoxa-26,29,32,35,38,41,45-heptaazapentacontan-50-yl]-45-[(9*S*,14*S*)-9-carboxy-19-[[*N,N*-diméthyl-L-valyl-L-valyl-(3*R*,4*S*,5*S*)-3-méthoxy-5-méthyl-4-(méthylamino)heptanoyl-(2*R*,3*R*)-3-méthoxy-2-méthyl-3-[(2*S*)-pyrrolidin-2-yl]propanoyl-L-phénylalanyl]amino]-14-méthyl-3,7,12,15-tétraoxo-2,16-dioxa-4,8,13-triazanonadécane-1-yl]-3,14,17,20,27,31,34,37,40,43,46-undécaoxo-2,7,10,24,50,53,56,59,62,65,68,71-dodécaoxa-4,13,18,21,28,32,35,38,41,45,47-undécaazadoheptacontan-1-yl]-1,4,5,5*a*,6,6*a*,7,8-octahydrocyclopropa[5,6]cycloocta[1,2-*d*][1,2,3]triazol-1-yl]-2,6-didéoxy-β-D-galactopyranosyl-(1→4)-2-acetamido-2-déoxy-6-O-(H or 6-déoxy-α-L-galactopyranosyl)-β-D-glucopyranosyl

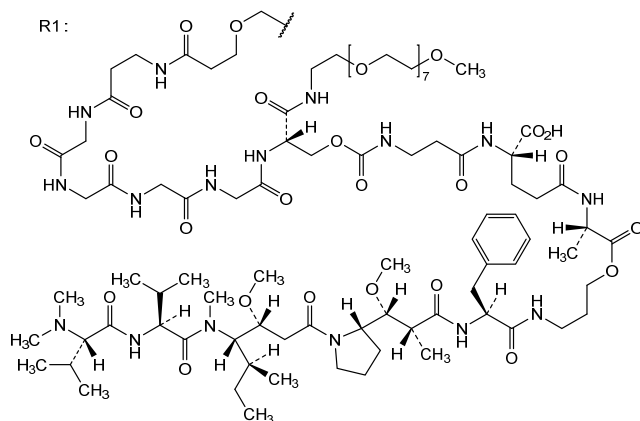
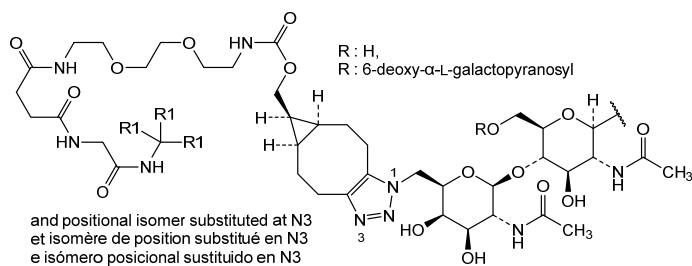
ledadotine

2-acétamido-[(5*aRS*,6*SR*,6*aSR*)-6-[(45*S*)-22,22-bis[(28*S*)-28-[(9*S*,14*S*)-9-carboxy-19-[[*N,N*-diméthyl-L-valyl-L-valyl-(3*R*,4*S*,5*S*)-3-méthoxy-5-méthyl-4-(méthylamino)heptanoyl-(2*R*,3*R*)-3-méthoxy-2-méthyl-3-[(2*S*)-pyrrolidin-2-yl]propanoyl-L-phénylalanyl]amino]-14-méthyl-3,7,12,15-tétraoxo-2,16-dioxa-

4,8,13-triazanonadécan-1-yl]-27,30,33,36,39,42,46-heptaooxo-2,5,8,11,14,17,20,23,49-nonaooxa-26,29,32,35,38,41,45-heptaazapentacontan-50-yl]-45-[(9*S*,14*S*)-9-carboxy-19-[[*N,N*-diméthyl-L-valyl-L-valyl-(3*R*,4*S*,5*S*)-3-méthoxy-5-méthyl-4-(méthylamino)heptanoil-(2*R*,3*R*)-3-méthoxy-2-méthyl-3-[(2*S*)-pyrrolidin-2-yl]propanoïl-L-phénylalanil]amino]-14-méthyl-3,7,12,15-tétraooxo-2,16-dioxa-4,8,13-triazanonadécan-1-yl]-3,14,17,20,27,31,34,37,40,43,46-undécaooxo-2,7,10,24,50,53,56,59,62,65,68,71-dodécaooxa-4,13,18,21,28,32,35,38,41,45,47-undécaazadoheptacontan-1-yl]-1,4,5,5a,6,6a,7,8-octahydrocyclopropa[5,6]cycloocta[1,2-*d*][1,2,3]triazol-1-yl]-2,6-didésoxy-β-D-galactopyranosyl-(1→4)-2-acétamido-2-désoxy-6-O-(H ou 6-désoxy-α-L-galactopyranosyl)-β-D-glucopyranosyle

ledadotina

2-acetamido-[(5a*R*,6*SR*,6a*SR*)-6-[(45*S*)-22,22-bis[(28*S*)-28-[(9*S*,14*S*)-9-carboxy-19-[[*N,N*-diméthyl-L-valil-L-valil-(3*R*,4*S*,5*S*)-3-méthoxy-5-méthyl-4-(méthylamino)heptanoil-(2*R*,3*R*)-3-méthoxy-2-méthyl-3-[(2*S*)-pyrrolidin-2-yl]propanoïl-L-fenilalanil]amino]-14-méthyl-3,7,12,15-tétraooxo-2,16-dioxa-4,8,13-triazanonadécan-1-yl]-27,30,33,36,39,42,46-heptaooxo-2,5,8,11,14,17,20,23,49-nonaooxa-26,29,32,35,38,41,45-heptaazapentacontan-50-yl]-45-[(9*S*,14*S*)-9-carboxy-19-[[*N,N*-diméthyl-L-valil-L-valil-(3*R*,4*S*,5*S*)-3-méthoxy-5-méthyl-4-(méthylamino)heptanoil-(2*R*,3*R*)-3-méthoxy-2-méthyl-3-[(2*S*)-pyrrolidin-2-yl]propanoïl-L-fenilalanil]amino]-14-méthyl-3,7,12,15-tétraooxo-2,16-dioxa-4,8,13-triazanonadécan-1-yl]-3,14,17,20,27,31,34,37,40,43,46-undécaooxo-2,7,10,24,50,53,56,59,62,65,68,71-dodécaooxa-4,13,18,21,28,32,35,38,41,45,47-undécaazadoheptacontan-1-yl]-1,4,5,5a,6,6a,7,8-octahydrocyclopropa[5,6]cycloocta[1,2-*d*][1,2,3]triazol-1-yl]-2,6-didésoxy-β-D-galactopyranosil-(1→4)-2-acétamido-2-désoxy-6-O-(H ou 6-désoxy-α-L-galactopyranosil)-β-D-glucopyranosilo



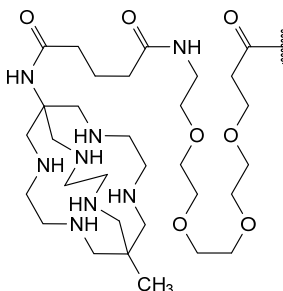
**mesaroxetanum**

mesaroxetan 21-[(8-methyl-3,6,10,13,16,19-hexaazabicyclo[6.6.6]icosan-1-yl)amino]-17,21-dioxo-4,7,10,13-tetraoxa-16-azahenicosan-1-oyl

mésaroxétan 21-[(8-méthyl-3,6,10,13,16,19-hexaazabicyclo[6.6.6]icosan-1-yl)amino]-17,21-dioxo-4,7,10,13-tétraoxa-16-azahénicosan-1-oyl

mesaroxetán 21-[(8-metil-3,6,10,13,16,19-hexaazabicyclo[6.6.6]icosan-1-il)amino]-17,21-dioxo-4,7,10,13-tetraoxa-16-azahenicosan-1-oilo

C<sub>31</sub>H<sub>61</sub>N<sub>8</sub>O<sub>7</sub>

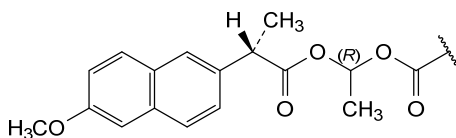
**naproxencarbilum**

naproxencarbil [(1*R*)-1-[(2*S*)-2-(6-methoxynaphthalen-2-yl)propanoyl]oxy]ethoxy]carbonyl

naproxencarbil [(1*R*)-1-[(2*S*)-2-(6-méthoxynaphthalén-2-yl)propanoyl]oxy]éthoxy]carbonyle

naproxencarbilo [(1*R*)-1-[(2*S*)-2-(6-metoxinaftalen-2-il)propanoil]oxi]etoxi]carbonilo

C<sub>17</sub>H<sub>17</sub>O<sub>5</sub>

**olatanisium**

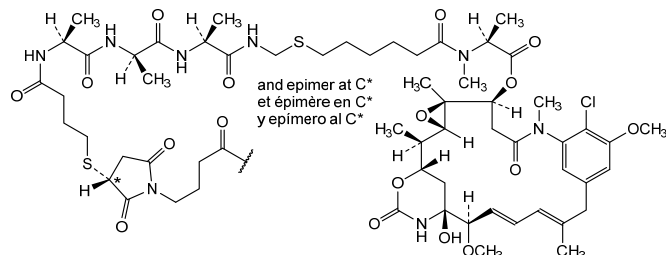
olatanisine 4-[(3*R*S)-3-[(2*S*,14*S*,17*R*,20*S*)-1-[[[(1<sup>4</sup>*S*,1<sup>6</sup>*S*,2*R*,3<sup>2</sup>*S*,3<sup>3</sup>*S*,4*S*,10*E*,12*E*,14*R*)-8<sup>6</sup>-chloro-1<sup>4</sup>-hydroxy-8<sup>5</sup>,14-dimethoxy-2,3<sup>3</sup>,7,10-tetramethyl-1<sup>2</sup>,6-dioxo-7-aza-1(6,4)-[1,3]oxazinana-3(2,3)-oxirana-8(1,3)-benzenacyclotetradecaphane-10,12-dien-4-yl]oxy]-2,3,14,17,20-pentamethyl-1,4,13,16,19,22-hexaoxo-10-thia-3,12,15,18,21-pentaazapentacosan-25-yl]sulfanyl]-2,5-dioxopyrrolidin-1-yl]butanoyl

olatanisine 4-[(3*R*S)-3-[(2*S*,14*S*,17*R*,20*S*)-1-[[[(1<sup>4</sup>*S*,1<sup>6</sup>*S*,2*R*,3<sup>2</sup>*S*,3<sup>3</sup>*S*,4*S*,10*E*,12*E*,14*R*)-8<sup>6</sup>-chloro-1<sup>4</sup>-hydroxy-8<sup>5</sup>,14-diméthoxy-2,3<sup>3</sup>,7,10-tétraméthyl-1<sup>2</sup>,6-dioxo-7-aza-1(6,4)-[1,3]oxazinana-3(2,3)-oxirana-8(1,3)-benzénacyclotétradécaphane-10,12-dién-4-yl]oxy]-2,3,14,17,20-pentaméthyl-1,4,13,16,19,22-hexaoxo-10-thia-3,12,15,18,21-pentaazapentacosan-25-yl]sulfanyl]-2,5-dioxopyrrolidin-1-yl]butanoyl



olatansina

4-[(3*RS*)-3-[(2*S*,14*S*,17*R*,20*S*)-1-[[[(1<sup>4</sup>*S*,1<sup>6</sup>*S*,2*R*,3<sup>2</sup>*S*,3<sup>3</sup>*S*,4*S*,10*E*,12*E*,14*R*)-8<sup>6</sup>-chloro-1<sup>4</sup>-hidroxi-8<sup>5</sup>,14-dimetoksi-2,3<sup>3</sup>,7,10-tetrametil-1<sup>2</sup>,6-dioxo-7-aza-1(6,4)-[1,3]oxazinana-3(2,3)-oxirana-8(1,3)-benzenaciotetradecafano-10,12-dien-4-il]oxi]-2,3,14,17,20-pentametil-1,4,13,16,19,22-hexaoxo-10-tia-3,12,15,18,21-pentaazapentacosan-25-il]sulfanil]-2,5-dioxopirrolidin-1-il]butanoilo

C<sub>60</sub>H<sub>86</sub>ClN<sub>8</sub>O<sub>17</sub>S<sub>2</sub>**pegondrimerum**

pegondrimer

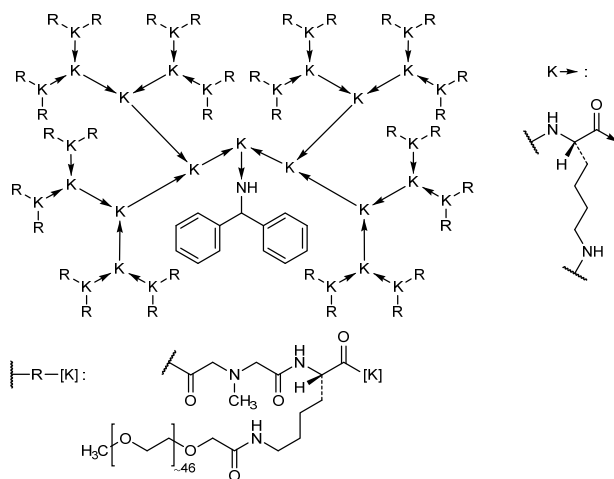
$\alpha$ -(diphenylmethyl)- $\omega$ <sup>6</sup>-dotriacontakis[2-[ $\alpha$ -methylpoly(oxyethylene)- $\omega$ -oxy]acetamido]- $\omega$ <sup>2</sup>-dotriacontakis[2-[methyl(2-oxo-2 $\lambda$ <sup>3</sup>-ethyl)amino]acetamido]-*dendro*<sup>G6</sup>-{azanediyl}[(2*S*)-1-oxohexane-1,2,6-triyl]}}

pégondrimerè

$\alpha$ -(diphénylméthyl)- $\omega$ <sup>6</sup>-dotriacontakis[2-[ $\alpha$ -méthylpoly(oxyéthylène)- $\omega$ -oxy]acétamido]- $\omega$ <sup>2</sup>-dotriacontakis[2-[méthyl(2-oxo-2 $\lambda$ <sup>3</sup>-éthyl)amino]acétamido]-*dendro*<sup>G6</sup>-{azanediyl}[(2*S*)-1-oxohexane-1,2,6-trièl]}}

pegondrimero

$\alpha$ -(difenylmetil)- $\omega$ <sup>6</sup>-dotriacontakis[2-[ $\alpha$ -metilpoli(oxietileno)- $\omega$ -oxi]acetamido]- $\omega$ <sup>2</sup>-dotriacontakis[2-[metil(2-oxo-2 $\lambda$ <sup>3</sup>-etil)amino]acetamido]-*dendro*<sup>G6</sup>-{azanediil}[(2*S*)-1-oxohexane-1,2,6-triilo]}}

C<sub>647</sub>H<sub>1089</sub>N<sub>159</sub>O<sub>191</sub>(C<sub>2</sub>H<sub>4</sub>O)<sub>32n</sub>**ravtansinum**

ravtansine

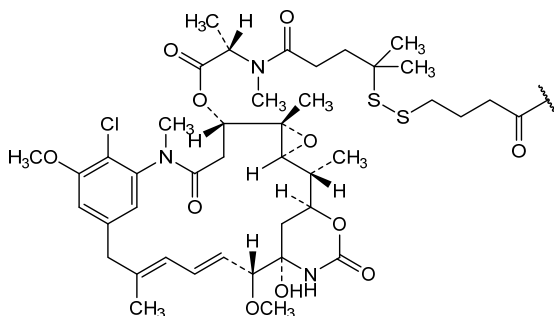
4-[(5-[(2*S*)-1-[(1*S*,2*R*,3*S*,5*S*,6*S*,16*E*,18*E*,20*R*,21*S*)-11-chloro-21-hydroxy-12,20-dimethoxy-2,5,9,16-tetramethyl-8,23-dioxo-4,24-dioxa-9,22-

diazatetracyclo[19.3.1.1<sup>10,14</sup>.0<sup>3,5</sup>]hexacosa-10(26),11,13,16,18-pentaen-6-yl]oxy)-1-oxopropan-2-yl](methyl)amino)-2-methyl-5-oxopentan-2-yl]disulfanyl]butanoyl

ravtansine 4-[(5-[(2*S*)-1-[[[(1*S*,2*R*,3*S*,5*S*,6*S*,16*E*,18*E*,20*R*,21*S*)-11-chloro-21-hydroxy-12,20-diméthoxy-2,5,9,16-tétraméthyl-8,23-dioxo-4,24-dioxa-9,22-diazatétracyclo[19.3.1.1<sup>10,14</sup>.0<sup>3,5</sup>]hexacosa-10(26),11,13,16,18-pentaén-6-yl]oxy)-1-oxopropan-2-yl](méthyl)amino)-2-méthyl-5-oxopentan-2-yl]disulfanyl]butanoyle

ravtansina 4-[(5-[[[(2*S*)-1-[[[(1*S*,2*R*,3*S*,5*S*,6*S*,16*E*,18*E*,20*R*,21*S*)-11-cloro-21-hidroxi-2,5,9,16-tetrametil-12,20-dimetoxi-8,23-dioxo-4,24-dioxa-9,22-diazatetraciclo[19.3.1.1<sup>10,14</sup>.0<sup>3,5</sup>]hexacosa-10(26),11,13,16,18-pentaén-6-yl]oxi)-1-oxopropan-2-il](metil)amino)-2-metil-5-oxopentan-2-il]disulfanil]butanoilo

C<sub>42</sub>H<sub>59</sub>ClN<sub>3</sub>O<sub>11</sub>S<sub>2</sub>



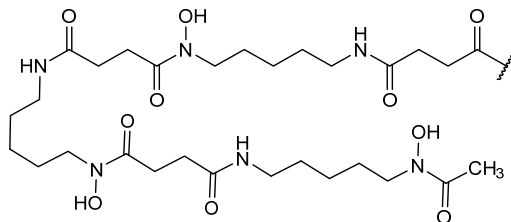
### senvedoxam

senvedoxam 3,14,25-trihydroxy-2,10,13,21,24,32-hexaoxo-3,9,14,20,25,31-hexaazapentatriacontan-35-oyl

senvédoxam 3,14,25-trihydroxy-2,10,13,21,24,32-hexaoxo-3,9,14,20,25,31-hexaazapentatriacontan-35-oyle

senvedoxam 3,14,25-trihidroxi-2,10,13,21,24,32-hexaoxo-3,9,14,20,25,31-hexaazapentatriacontan-35-oilo

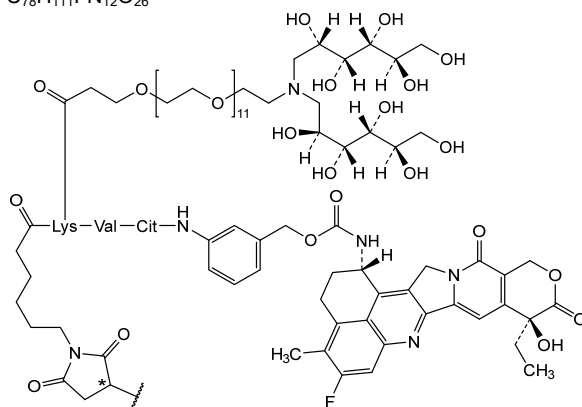
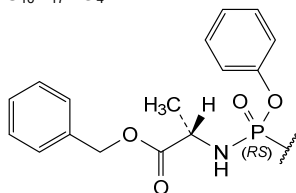
C<sub>29</sub>H<sub>51</sub>N<sub>6</sub>O<sub>10</sub>



### sesutecanum

sesutecan 1-[[[(2*R*,3*R*,4*R*,5*S*,5*S*)-1,2,3,4,5-pentahydroxy-52-[[[(2*S*)-1-[[[(2*S*)-5-carbamoylamino-1-oxo-1-(3-[[[(1*S*,9*S*)-9-ethyl-5-fluoro-9-hydroxy-4-methyl-10,13-dioxo-2,3,9,10,13,15-hexahydro-1*H*,12*H*-benzo[*de*]pyrano[3',4':6,7]indolizino[1,2-*b*]quinolin-1-

- yl[carbamoyl]oxy)methyl]anilino)pentan-2-yl]amino)-3-methyl-1-oxobutan-2-yl]carbamoyl]-7-[(2*S*,3*R*,4*R*,5*R*)-2,3,4,5,6-pentahydroxyhexyl]-46,54-dioxo-10,13,16,19,22,25,28,31,34,37,40,43-dodecaoxa-7,47,53-triazanonapentacontan-59-yl]-2,5-dioxopyrrolidin-3-yl
- sésutécan 1-[(2*R*,3*R*,4*R*,5*S*,5*S*)-1,2,3,4,5-pentahydroxy-52-[[[(2*S*)-1-[[[(2*S*)-5-carbamoylamino-1-oxo-1-{3-[[[(1*S*,9*S*)-9-éthyl-5-fluoro-9-hydroxy-4-méthyl-10,13-dioxo-2,3,9,10,13,15-hexahydro-1*H*,12*H*-benzo[*de*]pyrano[3',4':6,7]indolizino[1,2-*b*]quinoléin-1-yl]carbamoyl]oxy)méthyl]anilino)pentan-2-yl]amino)-3-méthyl-1-oxobutan-2-yl]carbamoyl]-7-[(2*S*,3*R*,4*R*,5*R*)-2,3,4,5,6-pentahydroxyhexyl]-46,54-dioxo-10,13,16,19,22,25,28,31,34,37,40,43-dodécaoxa-7,47,53-triazanonapentacontan-59-yl]-2,5-dioxopyrrolidin-3-yle
- sesutecán 1-[(2*R*,3*R*,4*R*,5*S*,5*S*)-1,2,3,4,5-pentahidroxí-52-[[[(2*S*)-1-[[[(2*S*)-5-carbamoi-amino-1-oxo-1-{3-[[[(1*S*,9*S*)-9-etil-5-fluoro-9-hidroxi-4-metil-10,13-dioxo-2,3,9,10,13,15-hexahidro-1*H*,12*H*-benzo[*de*]pirano[3',4':6,7]indolizino[1,2-*b*]quinolin-1-il]carbamoiil]oxi)metil]anilino)pentan-2-il]amino)-3-metil-1-oxobutan-2-il]carbamoiil]-7-[(2*S*,3*R*,4*R*,5*R*)-2,3,4,5,6-pentahidroxihexil]-46,54-dioxo-10,13,16,19,22,25,28,31,34,37,40,43-dodecaoxa-7,47,53-triazanonapentacontan-59-il]-2,5-dioxopirrolidin-3-ilo

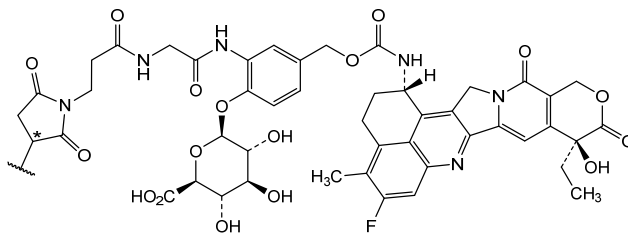
C<sub>78</sub>H<sub>111</sub>FN<sub>12</sub>O<sub>26</sub>**sipalabenamidum**sipalabenamide (RS)-[[[(2*S*)-1-(benzyloxy)-1-oxopropan-2-yl]amino](phenoxy)phosphorylsipalabénamide (RS)-[[[(2*S*)-1-(benzyloxy)-1-oxopropan-2-yl]amino](phénoxy)phosphorylesipalabenamida (RS)-[[[(2*S*)-1-(benziloxi)-1-oxopropan-2-il]amino](fenoxi)phosphoriloC<sub>16</sub>H<sub>17</sub>NO<sub>4</sub>P

**tocentecanum**

tocentecan 1-{3-[(2-{5-[[[(1*S*,9*S*)-9-ethyl-5-fluoro-9-hydroxy-4-methyl-10,13-dioxo-2,3,9,10,13,15-hexahydro-1*H*,12*H*-benzo[*de*]pyrano[3',4':6,7]indolizino[1,2-*b*]quinolin-1-yl]carbamoil]oxy)methyl]-2-(β-*D*-glucopyranuronosyloxy)anilino]-2-oxoethyl)amino]-3-oxopropyl]-2,5-dioxopyrrolidin-3-yl}

tocentécán 1-{3-[(2-{5-[[[(1*S*,9*S*)-9-éthyl-5-fluoro-9-hydroxy-4-méthyl-10,13-dioxo-2,3,9,10,13,15-hexahydro-1*H*,12*H*-benzo[*de*]pyrano[3',4':6,7]indolizino[1,2-*b*]quinoléin-1-yl]carbamoil]oxy)méthyl]-2-(β-*D*-glucopyranuronosyloxy)aniilino]-2-oxoéthyl)amino]-3-oxopropyl]-2,5-dioxopyrrolidin-3-yle}

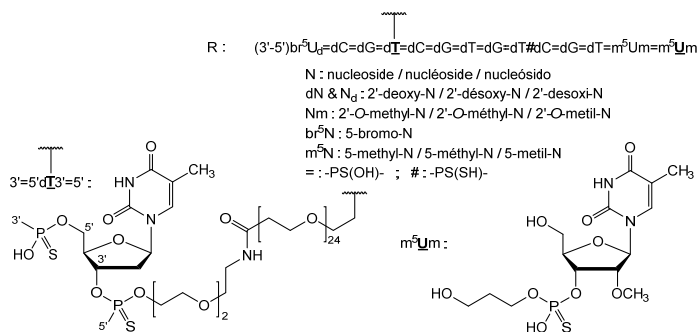
tocentecán 1-{3-[(2-{5-[[[(1*S*,9*S*)-9-etil-5-fluoro-9-hidroxi-4-metil-10,13-dioxo-2,3,9,10,13,15-hexahidro-1*H*,12*H*-benzo[*de*]pirano[3',4':6,7]indolizino[1,2-*b*]quinolin-1-il]carbamoil]oxi)metil]-2-(β-*D*-glucopirauronosiloxi)anilino]-2-oxoetil)amino]-3-oxopropil]-2,5-dioxopirrolidin-3-ilo}

**zoratalimod**

zoratalimod (1*RS*)-1-[[*all-P-ambo*-5-bromo-2'-deoxy-*P*-thiouridylyl-(3'→5')-2'-deoxy-*P*-thiocytidylyl-(3'→5')-2'-deoxy-*P*-thioguanylyl-(3'→5')-3'-deoxythymidin-3'-yl]oxy]-1-[[*all-P-ambo*-3'-*O*-[hydroxy(3-hydroxypropyl)phosphorothioyl]-5,2'-*O*-dimethyl-*P*-thiouridylyl-(5'→3')-5,2'-*O*-dimethyl-*P*-thiouridylyl-(5'→3')-*P*-thiothymidylyl-(5'→3')-2'-deoxy-*P*-thioguanylyl-(5'→3')-2'-deoxy-*P*-dithiocytidylyl-(5'→3')-*P*-thiothymidylyl-(5'→3')-2'-deoxy-*P*-thioguanylyl-(5'→3')-*P*-thiothymidylyl-(5'→3')-2'-deoxy-*P*-thioguanylyl-(5'→3')-2',3'-dideoxycytidin-3'-yl]oxy]-12-oxo-1-sulfanylidene-2,5,8,15,18,21,24,27,30,33,36,39,42,45,48,51,54,57,60,63,66,69,72,75,78,81,84-heptacosaoxa-11-aza-1-phosphahexaoctacontan-86-yl

zoratalimod (1*RS*)-1-[[*tout-P-ambo*-5-bromo-2'-désoxy-*P*-thiouridylyl-(3'→5')-2'-désoxy-*P*-thiocytidylyl-(3'→5')-2'-désoxy-*P*-thioguanylyl-(3'→5')-3'-désoxythymidin-3'-yl]oxy]-1-[[*tout-P-ambo*-3'-*O*-[hydroxy(3-hydroxypropyl)phosphorothioyl]-5,2'-*O*-diméthyl-*P*-thiouridylyl-(5'→3')-5,2'-*O*-diméthyl-*P*-thiouridylyl-(5'→3')-*P*-thiothymidylyl-(5'→3')-2'-désoxy-*P*-thioguanylyl-(5'→3')-2'-désoxy-*P*-dithiocytidylyl-(5'→3')-*P*-thiothymidylyl-(5'→3')-2'-désoxy-*P*-thioguanylyl-(5'→3')-*P*-thiothymidylyl-(5'→3')-2'-désoxy-*P*-thioguanylyl-(5'→3')-2',3'-didésoxycytidin-3'-yl]oxy]-12-oxo-1-sulfanylidène-2,5,8,15,18,21,24,27,30,33,36,39,42,45,48,51,54,57,60,63,66,69,72,75,78,81,84-heptacosaoxa-11-aza-1-phosphahexaoctacontan-86-yle}

zoratalimod (1*RS*)-1-[[*todo-P-ambo*-5-bromo-2'-desoxi-*P*-tiouridilil-(3'→5')-2'-desoxi-*P*-tiocitidilil-(3'→5')-2'-desoxi-*P*-tioguanilil-(3'→5')-3'-desoxitimidin-3'-il]oxi]-1-[[*todo-P-ambo*-3'-*O*-[hidroxi(3-hidroxiopropil)fosforotioil]-5,2'-*O*-dimetil-*P*-tiouridilil-(5'→3')-5,2'-*O*-dimetil-*P*-tiouridilil-(5'→3')-*P*-tiotimidilil-(5'→3')-2'-desoxi-*P*-tioguanilil-(5'→3')-2'-desoxi-*P*-ditiocitidilil-(5'→3')-*P*-tiotimidilil-(5'→3')-2'-desoxi-*P*-tioguanilil-(5'→3')-*P*-tiotimidilil-(5'→3')-2'-desoxi-*P*-tioguanilil-(5'→3')-2',3'-didesoxicitidin-3'-il]oxi]-12-oxo-1-sulfanilideno-2,5,8,15,18,21,24,27,30,33,36,39,42,45,48,51,54,57,60,63,66,69,72,75,78,81,84-heptacosaoxa-11-aza-1-fosfahexaoctacontan-86-ilo}



# Electronic structure available on MedNet: <https://extranet.who.int/soinn/>  
 # Structure électronique disponible sur MedNet: <https://extranet.who.int/soinn/>  
 # Estructura electrónica disponible en MedNet: <https://extranet.who.int/soinn/>

**Proposed International Nonproprietary Names: List 130 –COVID-19 (special edition)**

Comments on, or formal objections to, the proposed names may be forwarded by any person to the INN Programme of the World Health Organization within four months of the date of their publication in *WHO Drug Information*, i.e., for **List 130 of Proposed INN not later than 30 June 2024**.  
**Publication date:** 01.03.2024

**Dénominations communes internationales proposées: Liste 130 - COVID-19 (édition spéciale)**

Des observations ou des objections formelles à l'égard des dénominations proposées peuvent être adressées par toute personne au Programme des Dénominations communes internationales de l'Organisation mondiale de la Santé dans un délai de quatre mois à compter de la date de leur publication dans *WHO Drug Information*, c'est à dire pour la **Liste 130 de DCI Proposées le 30 juin 2024 au plus tard**.  
**Date de publication :** 01.03.2024

**Denominaciones Comunes Internacionales Propuestas: Lista 130 - COVID-19 (edición especial)**

Cualquier persona puede dirigir observaciones u objeciones respecto de las denominaciones propuestas, al Programa de Comunes Internacionales de la Organización Mundial de la Salud, en un plazo de cuatro meses, contados desde la fecha de su publicación en *WHO Drug Information*, es decir, para la **Lista 130 de DCI Propuestas el 30 de Junio de 2024 a más tardar**.

**Fecha de publicación:** 01.03.2024

<i>Proposed INN</i> (Latin, English, French, Spanish)	<i>Chemical name or description: Action and use: Molecular formula, Chemical Abstracts Service (CAS) registry number: Graphic formula</i>
<i>DCI Proposée</i>	<i>Nom chimique ou description: Propriétés et indications: Formule brute, Numéro dans le registre du CAS: Formule développée</i>
<i>DCI Propuesta</i>	<i>Nombre químico o descripción: Acción y uso: Fórmula molecular, Número de registro del CAS: Fórmula desarrollada</i>

**bemremeranum #**

bemremeran

messenger RNA (mRNA), 5'-capped, encoding the codon-optimized receptor binding domain (RBD) of the severe acute respiratory syndrome coronavirus 2 (SARS-CoV-2) spike (S) glycoprotein (Omicron variant XBB.1.5; based upon GISAID EPI\_ISL\_16433058), with a cysteine to serine substitution at residue 233 (corresponding to cys534 in the full-length spike glycoprotein), expressed as a fusion protein with the S glycoprotein signal peptide derived from SARS-CoV-2 Wuhan-Hu 1 strain (GenBank: MN908947.3), flanked by 5' and 3' untranslated regions (UTRs) derived from the human  $\beta$ -globin gene and a 3' polyadenylation (polyA) tail; contains 5-methyluridine instead of uridine (*all-U>5-Me-U*) and 5-methylcytidine instead of cytidine (*all-C>5-Me-C*)  
*immunological agent for active immunization (anti-SARS-CoV-2)*

bemréméran

ARN messenger (ARNm), protégé d'une coiffe en 5', codant le domaine de liaison au récepteur (RBD) aux codons optimisés de la glycoprotéine de spicule (S) du coronavirus 2 du syndrome respiratoire aigu sévère (SRAS-CoV-2) (sous-ligne Omicron XBB.1.5; d'après GISAID: EPI\_ISL\_16433058), avec substitution de la

cystéine 233 par la sérine (correspondant à cys534 dans la glycoprotéine de spicule de pleine longueur), exprimé sous la forme d'une protéine de fusion avec le peptide signal de la glycoprotéine S dérivée de la souche SRAS-CoV-2 Wuhan-Hu 1 (GenBank: MN908947.3), flanquée des régions non traduites (UTR) en 5' et 3' dérivées du gène de la  $\beta$ -globine humaine et d'une queue de polyadénylation (polyA) en 3'; contient de la 5-méthyluridine en lieu de l'uridine (*tout-U>5-Me-U*) et de la 5-méthylcytidine en lieu de la cytidine (*tout-C>5-Me-C*)  
*agent immunologique pour immunisation active (anti-SARS-CoV-2)*

bemremerán

ARN mensajero (ARNm), protegido en 5', que codifica, con codones optimizados, para el dominio de unión al receptor (RBD) de la glicoproteína de la espícula (S) del coronavirus 2 del síndrome respiratorio agudo severo (SRAS-CoV-2) (sublinaje XBB.1.5 de Omicron; basado en GISAID: EPI\_ISL\_16433058), con una substitución de la cisteína 233 a serina (correspondiente a cys534 en la glicoproteína de la espícula de longitud completa), expresado como una proteína de fusión con el péptido señal de la glicoproteína S derivada de la cepa Wuhan-Hu 1 de SARS-CoV-2 (GenBank: MN908947.3), flanqueado por regiones 5' y 3' no traducidas (UTRs) derivadas del gen de la  $\beta$ -globina humana y una cola poliadenilación (poliA) en 3'; contiene 5-metiluridina en lugar de uridina (*todo-U>5-Me-U*) y 5-metilcitosina en lugar de citidina (*todo-C>5-Me-C*)  
*agente inmunológico para inmunización activa (anti-SARS-CoV-2)*

2931519-21-8

**iscartrelvirum**

iscartrelvir

*N*-{(1*S*,2*R*)-2-[4-bromo-2-(methylcarbamoyl)-6-nitroanilino]cyclohexyl}isoquinoline-4-carboxamide  
*antiviral*

iscartrelvir

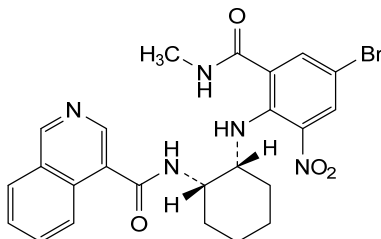
*N*-{(1*S*,2*R*)-2-[4-bromo-2-(méthylcarbamoyl)-6-nitroanilino]cyclohexyl}isoquinoléine-4-carboxamide  
*antiviral*

iscartrelvir

*N*-{(1*S*,2*R*)-2-[4-bromo-2-(metilcarbamoil)-6-nitroanilino]ciclohexil}isoquinoleína-4-carboxamida  
*antiviral*

C<sub>24</sub>H<sub>24</sub>BrN<sub>5</sub>O<sub>4</sub>

2921711-74-0



**limnetrelvirum**

limnetrelvir

*N*-{(3*R*)-1-[4-cyano-2-(morpholine-4-carbonyl)-6-(trifluorométhyl)phényl]pyrrolidin-3-yl}-8-fluoro-2-oxo-1,2-dihydroquinoline-4-carboxamide  
*antiviral*

limnétrevir

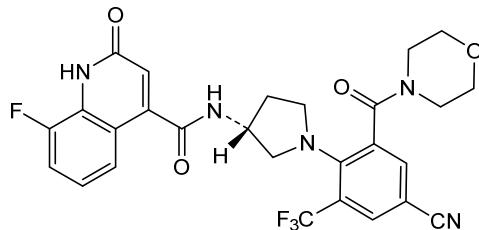
*N*-{(3*R*)-1-[4-cyano-2-(morpholine-4-carbonyl)-6-(trifluorométhyl)phényl]pyrrolidin-3-yl}-8-fluoro-2-oxo-1,2-dihydroquinoléine-4-carboxamide  
*antiviral*

limnetrelvir

*N*-{(3*R*)-1-[4-ciano-2-(morfolina-4-carbonil)-6-(trifluorometil)fenil]pirrolidin-3-il}-8-fluoro-2-oxo-1,2-dihidroquinolina-4-carboxamida  
*antiviral*

C<sub>27</sub>H<sub>23</sub>F<sub>4</sub>N<sub>5</sub>O<sub>4</sub>

2923500-04-1

**pesorimcovateinum #**

pesorimcovatein

severe acute respiratory syndrome coronavirus 2 (SARS-CoV-2), omicron lineage BQ.1.1.1 (Gisaid: EPI\_ISL\_14752457) spike (S) glycoprotein fragment (1-1190), stable prefusion conformation variant (H<sup>663</sup>>P, R<sup>664</sup>>G, R<sup>665</sup>>S, R<sup>667</sup>>S, F<sup>799</sup>>P, A<sup>874</sup>>P, A<sup>881</sup>>P, A<sup>924</sup>>P, K<sup>968</sup>>P, V<sup>969</sup>>P) fused to the enterobacteria phage T4 fibrin foldon domain fragment (458-484, 1191-1217 in the current sequence), trimer, produced in Chinese hamster ovary (CHO) cells, glycoform alfa  
*immunological agent for active immunization (anti-SARS-CoV-2)*

pésorimcovatéine

coronavirus 2 du syndrome respiratoire aigu sévère (SRAS-CoV-2), fragment de la glycoprotéine de spicule (S) (1-1190) de la lignée omicron BQ.1.1.1 (Gisaid : EPI\_ISL\_14752457), variant de conformation stabilisée par préfusion (H<sup>663</sup>>P, R<sup>664</sup>>G, R<sup>665</sup>>S, R<sup>667</sup>>S, F<sup>799</sup>>P, A<sup>874</sup>>P, A<sup>881</sup>>P, A<sup>924</sup>>P, K<sup>968</sup>>P, V<sup>969</sup>>P) fusionné au fragment du domaine foldon de la fibratine de l'entérobactérie du phage T4 (458-484, 1191-1217 dans la séquence actuelle), trimère, produit dans des cellules ovariennes de hamster chinois (CHO), glycoforme alfa  
*agent immunologique d'immunisation active (anti-SRAS-CoV-2)*

pesorimcovateína

síndrome respiratorio agudo grave coronavirus 2 (SARS-CoV-2), linaje BQ.1.1.1 de ómicron (Gisaid: EPI\_ISL\_14752457) fragmento de la glicoproteína de



espícula (S) (1-1190), variante de conformación de prefusión estable (H<sup>663</sup>>P, R<sup>664</sup>>G, R<sup>665</sup>>S, R<sup>667</sup>>S, F<sup>799</sup>>P, A<sup>874</sup>>P, A<sup>881</sup>>P, A<sup>924</sup>>P, K<sup>968</sup>>P, V<sup>969</sup>>P) fusionado al fragmento del dominio plegable de fibrina del fago T4 de las enterobacterias (458-484, 1191-1217 en la secuencia actual), trímero, producido en células ováricas de hamster Chino (CHO), glicoforma alfa *agente inmunológico para inmunización activa (anti-SARS-CoV-2)*

2923542-42-9

Monomer sequence / Séquence du monomère / Secuencia del monómero	
QCVNLITRQ SYTNSFTRGV YYPDKVFRSS VLSHQDLFL PFFSNVTWFH	50
AISGNTGTRK FDNVPLFPND GVYFASTEKS NIIRGWIFGT TLDSTQTSLL	100
IVNNATNVVI KVCFQFCND PFLDVVYHKN NKSWMSEFR VYSSANNCTF	150
EYVSQPPFMD LEGQGNFKN LREFVFNKD GYFKIYSKHT PINLGRDLFQ	200
GFSALEPLVD LPIGINITRF QTLALHRSY LTPGDSSGW TAGAAAYVVG	250
YLQPTFLPK YNENGTITDA VDCALDPLSE TKCTLKSFTV EKGIVQTSNF	300
RVQPTESIVR FPNITNLCPF DEVFNATTA SVYAWNRKRI SNCVADYSVL	350
YNFAFFFAFK CYGVSPTKLN DLCTFNVIAD SFVIRGNEVS QIAFGQTGNI	400
ADYNYKLPDD FTGCVIAWNS NKLDSTVGGN YNYRYLFRK SKLKFPERDI	450
STEIYQAGNK FCMGVAGVNC YFPLQSYGFR PTVYGVGHQPY RVVLSFELL	500
HAPATVCGPK KSTNLVKNKC VNFNENGLTG TGVLTESNKK FLFQGFGRD	550
IADTTDAVRD PQTLEILDIT FCSFGGVSVI TPTNMSKV AVLYGVNCT	600
EYVVAIHADQ LPTFRWVYST GSNVFTQTRAG CLIGAEVYNN SYECDIPIGA	650
GICASYQTQT KSPGSA <del>S</del> SWA SQSIIAYTMS LGAENSVAYS NNSIAIPTNF	700
TISVTEILP VMSTKSTVDC TMYICGDSTE CNSLLQVGS FCTQLKRAL	750
GIAVEQDKNT QEVFAQVKQI YKTPPIKYFG GFNFSQLPD PSKPSKRS <del>E</del> I	800
EDLLFNKVTL ADAGPIKQYG DCLGDIAARD LICAQKFNGL TVLPLPLTDE	850
MIAQYTSALL AGTITSGWTF GAG <del>F</del> ALQIPF PMQ <del>M</del> AYFRNG IGVTQNVLYE	900
NQKLIANQFN SAIGIKQDLS SST <del>F</del> SALGLK QDVVNHNAQA LNTLTKQLSS	950
KFGAISSVLN DILSRLD <del>P</del> PE AEVQIDRLIT GRQLSQTYY TQQLIRAEI	1000
RASANLAATK MSECVLGQSK RVDFCGKGYH LMSFPQSAPH GVVFLHVTYV	1050
PAQEKNFTTA PAICHDGKAH FFREGVFSN GTHWFVTQRN FYEPQIITTD	1100
NTFVSGNCDV VIGIVNNVTY DELQPELDSF KEELDKYFKN HTSPDVLGD	1150
ISGINASVNV IQKEIDRLNE VARNLNE <del>S</del> LI DLQELGKYEO <u>GYFEAPRDC</u>	1200
<u>QAYVRKDGW</u> <u>VLLSTFL</u>	1217

Mutation / Mutation / Mutación  
H663>P, R664>G, R665>S, R667>S, F799>P, A874>P, A881>P, A924>P, K968>P, V969>P

Foldon domain / Foldon domaine / Foldon dominio  
GYFEAPRDC QAYVRKDGW VLLSTFL 1191-1217

Post-translational modifications  
Disulfide bridges location / Position des ponts disulfure / Posiciones de los puentes disulfuro  
Intra-chain: 2-113, 118-148, 273-283, 318-343, 361-414, 373-507, 462-470, 520-572,  
599-631, 644-653, 720-742, 725-731, 822-833, 1014-1025, 1064-1108  
2-113', 118'-148', 273'-283', 318'-343', 361'-414', 373'-507', 462'-470', 520'-572',  
599-631', 644'-653', 720'-742', 725'-731', 822'-833', 1014'-1025', 1064'-1108'  
2"-113", 118"-148", 273"-283", 318"-343", 361"-414", 373"-507", 462"-470", 520"-572",  
599"-631", 644"-653", 720"-742", 725"-731", 822"-833", 1014"-1025", 1064"-1108"

N-glycosylation sites / Sites de N-glycosylation / Posiciones de N-glicosilación  
N45, N56, N104, N131, N147, N216, N264, N313, N325, N585, N598, N639, N691, N699,  
N783, N1056, N1080, N1116, N1140, N1155, N1176

N45', N56', N104', N131', N147', N216', N264', N313', N325', N585', N598', N639', N691', N699',  
N783', N1056', N1080', N1116', N1140', N1155', N1176'

N45'', N56'', N104'', N131'', N147'', N216'', N264'', N313'', N325'', N585'', N598'', N639'', N691'', N699'',  
N783'', N1056'', N1080'', N1116'', N1140'', N1155'', N1176''

O-glycosylation sites / Sites de O-glycosylation / Posiciones de O-glicosilación  
T305, S307, T305', S307', T305'', S307''

N-terminal glutaminyl cyclization / Cyclisation du glutaminyle N-terminal / Ciclación del glutaminilo  
N-terminal  
Q1, Q1', Q1'' >pyroglutamyl (pE, 5-oxoprolyl)

**tisorimcovateinum#**  
tisorimcovatein

severe acute respiratory syndrome coronavirus 2 (SARS-CoV-2), omicron lineage XBB.1 (Gisaid: EPI\_ISL\_14917761) spike (S) glycoprotein fragment (1-1191), stable prefusion conformation variant (H<sup>664</sup>>P, R<sup>665</sup>>G, R<sup>666</sup>>S, R<sup>668</sup>>S, A<sup>875</sup>>P, F<sup>800</sup>>P, A<sup>882</sup>>P, A<sup>925</sup>>P, K<sup>969</sup>>P, V<sup>970</sup>>P) fused to the enterobacteria phage T4 fibrin foldon domain fragment (458-484, 1192-1218 in the current sequence), trimer, produced in Chinese hamster ovary (CHO) cells, glycoform alfa *immunological agent for active immunization (anti-SARS-CoV-2)*

tisorimcovateïne coronavirus 2 du syndrome respiratoire aigu sévère (SRAS-CoV-2), fragment de la glycoprotéine de spicule (S) (1-1191) de la lignée omicron XBB.1 (Gisaid: EPI\_ISL\_14917761), variant de conformation stabilisée par préfusion (H<sup>664</sup>>P, R<sup>665</sup>>G, R<sup>666</sup>>S, R<sup>668</sup>>S, A<sup>875</sup>>P, F<sup>800</sup>>P, A<sup>882</sup>>P, A<sup>925</sup>>P, K<sup>969</sup>>P, V<sup>970</sup>>P) fusionné au fragment du domaine foldon de la fibratine de l'entérobactérie du phage T4 (458-484, 1192-1218 dans la séquence actuelle), trimère, produit dans des cellules ovariennes de hamster chinois (CHO), glycoforme alfa  
*agent immunologique d'immunisation active (anti-SRAS-CoV-2)*

tisorimcovateína síndrome respiratorio agudo grave coronavirus 2 (SARS-CoV-2), linaje XBB.1 de ómicron (Gisaid: EPI\_ISL\_14917761) fragment de la glicoproteína de espícula (S) (1-1191), variante de conformación de prefusión estable (H<sup>664</sup>>P, R<sup>665</sup>>G, R<sup>666</sup>>S, R<sup>668</sup>>S, A<sup>875</sup>>P, F<sup>800</sup>>P, A<sup>882</sup>>P, A<sup>925</sup>>P, K<sup>969</sup>>P, V<sup>970</sup>>P) fusionada al fragmento del dominio plegable de fibratina del fago T4 de enterobacterias (458-484, 1192-1218 en la secuencia actual), trímero, producido en células ováricas de hámster Chino (CHO), glicofoma alfa  
*agente inmunológico para inmunización activa (anti-SARS-CoV-2)*

2923542-43-0

Monomer sequence / Séquence du monomère / Secuencia del monómero

QCVNLITRTQ	SYTNSFTRGV	YYPDKVFRSS	VLHSTQDLFL	PFSSNVTWFH	50
AIHVSQNGT	KRFDFALFP	NDGVYFASTE	KSNLIIRGWIF	GTTLDSKTQS	100
LLIVNNATNV	VIRKVEQFQC	NDPFLDVYQK	NKNSWMESEF	RVYSSANNCT	150
FEYVSQPFLL	DLEGKEGNFK	NLREFVFKNI	DGYFKIYSKH	TPINLERDLP	200
QGFSALEPLV	DLPIGINITR	FQTLALHRS	YLPVDSSSG	WTAGAAAYVY	250
GYLQPTFFLL	KYENENITD	AVDCALDPLS	ETKCTLKSFT	VEKGIYQFSN	300
FRVQPTESIV	RFPNITNLCP	FHEVFNATTF	ASVYAWNRKR	ISNCVADYSV	350
IYNFAPFFAF	KCYGVSPTKL	NDLCTNVYA	DSFVIRGNEV	SQIAPGQTGN	400
IADYNYKLPD	DFTGCVIAWN	SNKLDKSPSG	NYNYLYRFLR	KSKLKPFFERD	450
ISTEIVYQAGN	KPCNGVAGSN	CYSPQLQSYGF	RPTYGVGHQP	YRVVWLSFEL	500
LHAPATVCGP	KKSTNLVKMK	CVMNFNGLT	GTGVLTESNK	KFLPFQQFGR	550
DIADTTDAVR	DPQTLLEILD	TPCSFEGGVV	ITPGTNTSNQ	VAVLVYQGVNC	600
TEVPVAIHAD	QLTPTWRVVS	TGSNVFQTRA	GCLIGAAYVN	NSYECDDIPG	650
AGICASYQTQ	TK <b>PGS</b> SSV	ASQSIIAYTM	SLGAENSVAY	SNSNIAIPTN	700
FTISVTTIEL	PVSMTKTSD	CTMYICGDST	ECSNLLQYG	SFCTQLKRAL	750
TGIAVEQDKN	TQEVFAVQKQ	IYKTPPIKYF	GGPNFSQILL	DPSKPSKR <b>S</b> P	800
IEDLLFNKVT	LADAGFIKQY	GDCLGDIAAR	DLICAQKPNG	LTVLPELLTD	850
EMIAQYTSAL	LAGTITSGWT	FGAG <b>PA</b> LQIP	<b>PE</b> QIMAYRFN	GIVGTQNVLY	900
ENQKLIANQF	NSAIGKIQDS	LSST <b>PA</b> LQK	LQDVVNHNQA	ALNLTLVKQLS	950
SKFGAISSVL	NDILSRLL <b>PE</b>	EAEVQIDRLI	TGRLQSLQTY	VTQQLIRAAE	1000
IRASANLAAT	KMSECVLQGS	KRVDFCGKGY	HLMSFPQSPAP	HGVVFLHVTY	1050
VPAQEKNTT	APAICHGDKA	HFPREGVFVS	NGTHWFVTQR	NFYEPQIITT	1100
DNTFVSGNCD	VVIGIVNNTV	YDLPQELDS	FKEELDKYFK	NHTSPDQVDLG	1150
DISGINASVV	NIQKLELDRLN	EVAKNLNESL	IDLQELGKYE	<b>QGYIPEAPRD</b>	1200
<b>QAYVRKDG</b>	<b>WVLLSTFL</b>				1218

Mutation / Mutation / Mutación

H664-**P**, R665-**G**, R666-**S**, R668-**S**, F800-**P**, A875-**P**, A882-**P**, A925-**P**, K969-**P**, V970-**P**

Foldon domain / Foldon domaine / Foldon dominio

**GYIPEAPRD** **QAYVRKDGW** **VLLSTFL** 1192-1218

Post-translational modifications

Disulfide bridges location / Position des ponts disulfure / Posiciones de los puentes disulfuro

Intra-chain: 2-120, 115-149, 274-284, 319-344, 362-415, 374-508, 463-471, 521-573,  
600-632, 645-654, 721-743, 726-732, 824-834, 1015-1026, 1065-1109  
2'-120', 115'-149', 274'-284', 319'-344', 362'-415', 374'-508', 463'-471', 521'-573',  
600'-632', 645'-654', 721'-743', 726'-732', 824'-834', 1015'-1026', 1065'-1109'  
2"-120", 115"-149", 274"-284", 319"-344", 362"-415", 374"-508", 463"-471", 521"-573",  
600"-632", 645"-654", 721"-743", 726"-732", 824"-834", 1015"-1026", 1065"-1109"

N-glycosylation sites / Sites de N-glycosylation / Posiciones de N-glicosilación

N44, N58, N106, N132, N148, N217, N265, N314, N326, N586, N599, N640, N692, N700,  
N784, N1057, N1081, N1117, N1141, N1156, N1177

N44', N58', N106', N132', N148', N217', N265', N314', N326', N586', N599', N640', N692', N700',  
N784', N1057', N1081', N1117', N1141', N1156', N1177'

N44", N58", N106", N132", N148", N217", N265", N314", N326", N586", N599", N640", N692", N700",  
N784", N1057", N1081", N1117", N1141", N1156", N1177"

O-glycosylation sites / Sites de O-glycosylation / Posiciones de O-glicosilación

T306, S308, T306, S308, T306, S308

N-terminal glutaminyl cyclization / Cyclisation du glutaminyle N-terminal / Ciclación del glutaminilo N-terminal

Q1, Q1' >pyroglutamyI (pE, 5-oxopropyl)

**vebanvibartum #**

vebanvibart

immunoglobulin G1-kappa, anti-[severe acute respiratory syndrome coronavirus 2 (SARS-CoV-2) spike (S) protein, receptor binding domain (RBD)], *Homo sapiens* monoclonal antibody; H-gamma1 heavy chain *Homo sapiens* (1-455) [VH (*Homo sapiens* IGHV1-69\*01 (88.8%) -(IGHD) -IGHJ4\*01 (85.7%) S128>A (125), CDR-IMGT [8.8.18] (26-33.51-58.97-114)) (1-125) -*Homo sapiens* IGHG1\*01, G1m17,1, CH1 K120, CH3 D12, L14, G1v21 CH2 Y15.1, T16, E18 (CH1 K120 (222) (126-223), hinge 1-15 (224-238), CH2 M15.1>Y (260), S16>T (262), T18>E (264) (239-348), CH3 D12 (364), L14 (366) (349-453), CHS (454-455)) (126-455)], (228-215')-disulfide with L-kappa light chain *Homo sapiens* (1'-215') [V-KAPPA (*Homo sapiens* IGKV1-33\*01 (95.8%) -IGKJ2\*01 (91.7%), CDR-IMGT [6.3.10] (27'-32'.50'-52'.89'-98'')) (1'-108') -*Homo sapiens* IGKC\*01 (100%), Km3 A45.1 (154'), V101 (192') (109'-215')]; dimer (234-234'':237-237'')-bisdisulfide, produced in a cell line from Chinese hamster ovary (CHO) cells, derived from the cell line CHO-K1, glycoform alfa  
*antiviral*

vébanvibart

immunoglobuline G1-kappa, anti-[domaine de liaison au récepteur (RBD) de la glycoprotéine spike (S) du coronavirus 2 du syndrome respiratoire aigu sévère (SRAS-CoV-2)], anticorps monoclonal *Homo sapiens*;  
chaîne lourde H-gamma1 *Homo sapiens* (1-455) [VH (*Homo sapiens* IGHV1-69\*01 (88.8%) -(IGHD) -IGHJ4\*01 (85.7%) S128>A (125), CDR-IMGT [8.8.18] (26-33.51-58.97-114)) (1-125) -*Homo sapiens* IGHG1\*01, G1m17,1, CH1 K120, CH3 D12, L14, G1v21 CH2 Y15.1, T16, E18 (CH1 K120 (222) (126-223), charnière 1-15 (224-238), CH2 M15.1>Y (260), S16>T (262), T18>E (264) (239-348), CH3 D12 (364), L14 (366) (349-453), CHS (454-455)) (126-455)], (228-215')-disulfure avec la chaîne légère L-kappa *Homo sapiens* (1'-215') [V-KAPPA (*Homo sapiens* IGKV1-33\*01 (95.8%) -IGKJ2\*01 (91.7%), CDR-IMGT [6.3.10] (27'-32'.50'-52'.89'-98'')) (1'-108') -*Homo sapiens* IGKC\*01 (100%), Km3 A45.1 (154'), V101 (192') (109'-215')]; dimère (234-234'':237-237'')-bisdisulfure, produit dans une lignée cellulaire des cellules ovariennes de hamster chinois (CHO), dérivant de la lignée cellulaire CHO-K1, glycoforme alfa  
*antiviral*

vebanvibart

immunoglobulina G1-kappa, anti-[dominio de unión al receptor (RBD) de la glicoproteína de espícula (S) del coronavirus 2 del síndrome respiratorio agudo severo (SRAS-CoV-2)], anticuerpo monoclonal *Homo sapiens*;  
cadena pesada H-gamma1 *Homo sapiens* (1-455) [VH (*Homo sapiens* IGHV1-69\*01 (88.8%) -(IGHD) -IGHJ4\*01 (85.7%) S128>A (125), CDR-IMGT [8.8.18] (26-33.51-58.97-114)) (1-125) -*Homo sapiens* IGHG1\*01, G1m17,1, CH1 K120, CH3 D12, L14, G1v21 CH2 Y15.1, T16, E18 (CH1 K120 (222) (126-223), bisagra 1-15 (224-238), CH2 M15.1>Y (260), S16>T (262), T18>E (264) (239-348), CH3 D12 (364), L14 (366) (349-453), CHS (454-455)) (126-455)], (228-215')-disulfuro con la cadena ligera L-kappa *Homo sapiens* (1'-215') [V-KAPPA (*Homo sapiens* IGKV1-33\*01 (95.8%) -IGKJ2\*01 (91.7%), CDR-IMGT [6.3.10] (27'-32'.50'-52'.89'-98'')) (1'-108') -*Homo sapiens* IGKC\*01 (100%), Km3 A45.1 (154'), V101 (192') (109'-215')]; dímero (234-234'':237-237'')-bisdisulfuro, producido en una línea celular de las células ováricas de hamster chino (CHO), línea celular derivada de CHO-K1, forma glicosilada alfa  
*antiviral*

2937321-40-7

## Heavy chain / Chaîne lourde / Cadena pesada

VVQLVQSGAE VKKPGSSVKV SCKASGGTFR SHVISWVRQA PGQGLEWMGG 50  
 FIFLFGTTIY AQAFAQGRVMI SADESTSTAY MELSSLASED TAVYFCARLF 100  
 PNGDPNSPED GFDIWGQQL VTVSAASTRG PSVFFLAPSS KSTSGGTAL 150  
 GCLVKDYFPE PVTVSWNSGA LTVSGVHTFFA VLQSSGLYSL SSVVTVFSSS 200  
 LGTQTYICNV NHKPSNTKVD KKVPEKSCDK THTCFPCFAP ELLGGPSVFL 250  
 FFPKPKDTLY ITRPEPEVTCV VVDVSHEDPE VKFNWYVDGV EVHNAKTKPR 300  
 EEQYINSTYRV VSVLTVLHQD WLNKKEYCK VSNKALPAPI EKTISKAKGQ 350  
 PREPQVYTLF PSRDELTKNQ VSLTCLVKG F YPSDIAVEWE SNGQPENNYK 400  
 TTPFVLDSDG SFFLYSKLTV DKSRWQQGNV FSCSVMHEAL HNHYTQKSL 450  
 LSPGK 455

## Light chain / Chaîne légère / Cadena ligera

DIQMTQSPSS LSASVGDRTV ITCQASQDIG NYLNWYQQKPK GKAPKLLIYD 50  
 ASHLETVGPS RFSGSGSGTD FTFTISSLQP EDIATYYCQR YDDLPSYTFG 100  
 QGDKVEIKRT VAAPSVPFIF PSDEQLKSGT ASVVCLLNFF YPREAKVQWK 150  
 VDNALQSGNS QESVTEQDSK DSTYSLSSLT TLSKADYEHK KVAACEVTHQ 200  
 GLSSPVTKSF NRGEC 215

## Post-translational modifications

Disulfide bridges location / Position des ponts disulfure / Posiciones de los puentes disulfuro

Intra-H (C23-C104) 22-96 152-208 269-329 375-433  
 22"-96" 152"-208" 269"-329" 375"-433"

Intra-L (C23-C104) 23'-88' 135'-195'  
 23'''-88''' 135'''-195'''

Inter-H-L (h 5-CL 126) 228-215' 228"-215"

Inter-H-H (h 11, h 14) 234-234" 237-237"

N-terminal glutaminyl cyclization / Cyclisation du glutaminyle N-terminal / Ciclación del glutamilo N-terminal

Q > pyroglutamyl (pE, 5-oxoprolyl) / pyroglutamyle (pE, 5-oxoprolyle) / piroglutamilo (pE, 5-oxoprolylo)  
 H VH Q1: 1, 1"

N-glycosylation sites / Sites de N-glycosylation / Posiciones de N-glicosilación

H CH2 N84.4: 305, 305"

Fucosylated complex bi-antennary CHO-type glycans / glycanes de type CHO bi-antennaires complexes fucosylés / glicanos de tipo CHO biantenaríos complejos fucosilados

C-terminal lysine clipping / Coupure de la lysine C-terminale / Recorte de lisina C-terminal

H CHS K2: 455, 455"

**AMENDMENTS TO PREVIOUS LISTS**  
**MODIFICATIONS APPORTÉES AUX LISTES ANTÉRIEURES**  
**MODIFICACIONES A LAS LISTAS ANTERIORES**

**Proposed International Nonproprietary Names (Prop. INN): List 58**  
**Dénominations communes internationales proposées (DCI Prop.): Liste 58**  
**Denominaciones Comunes Internacionales Propuestas (DCI Prop.): Lista 58**  
*(WHO Drug Information, Vol. 1, No. 3, 1987)*

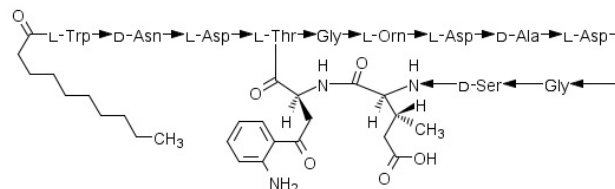
p.179 **daptomycinum**  
 daptomycin  
 daptomycine  
 daptomicina

*replace the chemical name and structure by the following ones*  
*remplacer le nom chimique et la structure par les suivants*  
*sustitúyase el nombre químico y la estructura por los siguientes*

3.4.1.13-anhydro[N-decanoyl-L-tryptophyl-D-asparaginyl-L- $\alpha$ -aspartyl-L-threonylglycyl-L-ornithyl-L- $\alpha$ -aspartyl-D-alanyl-L- $\alpha$ -aspartylglycyl-D-seryl-(3R)-3-methyl-L- $\alpha$ -glutamyl-(2S)-2-amino-4-(2-aminophenyl)-4-oxobutanoic acid]

3.4.1.13-anhydro[acide N-décanoil-L-tryptophyl-D-asparaginyl-L- $\alpha$ -aspartyl-L-thréonylglycyl-L-ornithyl-L- $\alpha$ -aspartyl-D-alanyl-L- $\alpha$ -aspartylglycyl-D-séryl-(3R)-3-méthyl-L- $\alpha$ -glutamyl-(2S)-2-amino-4-(2-aminophényl)-4-oxobutanoïque]

3.4.1.13-anhidro[ácido N-decanoil-L-triptofil-D-asparaginil-L- $\alpha$ -aspartil-L-treonilglicil-L-ornitil-L- $\alpha$ -aspartil-D-alanil-L- $\alpha$ -aspartilglicil-D-seril-(3R)-3-metil-L- $\alpha$ -glutamil-(2S)-2-amino-4-(2-aminofenil)-4-oxobutanoico]



**Proposed International Nonproprietary Names (Prop. INN): List 120**  
**Dénominations communes internationales proposées (DCI Prop.): Liste 120**  
**Denominaciones Comunes Internacionales Propuestas (DCI Prop.): Lista 120**  
*(WHO Drug Information, Vol. 32, No. 4, 2018)*

p.657 *suprimáse* *insertese*  
 troriluzole troriluzol

**Proposed International Nonproprietary Names (Prop. INN): List 121**  
**Dénominations communes internationales proposées (DCI Prop.): Liste 121**  
**Denominaciones Comunes Internacionales Propuestas (DCI Prop.): Lista 121**  
*(WHO Drug Information, Vol. 33, No. 2, 2019)*

p.255 *suprimáse* *insertese*  
 centaquina centaquina

**Proposed International Nonproprietary Names (Prop. INN): List 122**  
**Dénominations communes internationales proposées (DCI Prop.): Liste 122**  
**Denominaciones Comunes Internacionales Propuestas (DCI Prop.): Lista 122**  
*(WHO Drug Information, Vol. 33, No. 4, 2019)*

p.846	<b>inavolisibum</b> inavolisib inavolisib	<p><i>replace the chemical name by the following one</i>  <i>remplacer le nom chimique par le suivant</i></p> <p>(2S)-2-({2-[(4S)-4-(difluoromethyl)-2-oxo-1,3-oxazolidin-3-yl]-5,6-dihydroimidazo[1,2-d][1,4]benzoxazepin-9-yl}amino)propanamide</p> <p>(2S)-2-({2-[(4S)-4-(difluorométhyl)-2-oxo-1,3-oxazolidin-3-yl]-5,6-dihydroimidazo[1,2-d][1,4]benzoxazépin-9-yl}amino)propanamide</p>
p.860-861	<b>nipocalimabum</b> nipocalimab nipocalimab nipocalimab	<p><i>replace the description by the following one</i>  <i>remplacer la description par la suivante</i>  <i>sustitúyase la descripción por la siguiente</i></p> <p>immunoglobulin G1-lambda, anti-[<i>Homo sapiens</i> FCGRT (Fc fragment of IgG receptor and transporter, neonatal Fc receptor, FcRn, transmembrane alpha chain of the neonatal receptor)], <i>Homo sapiens</i> monoclonal antibody;  gamma1 heavy chain <i>Homo sapiens</i> (1-445) [VH (<i>Homo sapiens</i> IGHV3-23*01 (90.8%) -(IGHD) -IGHJ3*01 (100%)) CDR-IMGT [8.8.9] (26-33.51-58.97-105) (1-116) -<i>Homo sapiens</i> IGHG1*03 G1m3&gt;G1m17, nG1m1, G1v29 CH2 A84.4 (CH1 R120&gt;K (213) (117-214), hinge 1-15 (215-229), CH2 N84.4&gt;A (296) (230-339), CH3 E12 (355), M14 (357) (340-444), CHS K2&gt;del (445)) (117-445)], (219-215')-disulfide with lambda light chain <i>Homo sapiens</i> (1'-216') [V-LAMBDA (<i>Homo sapiens</i> IGLV2-23*01 (94.8%) -IGLJ1*01 (100%)) CDR-IMGT [9.3.10] (26-34.52-54.91-100) (1'-110') -<i>Homo sapiens</i> IGLC3*03 (100%) (111'-216')]; dimer (225-225":228-228")-bisdisulfide, produced in Chinese hamster ovary (CHO) cells, <b>cell line CHO-K1, non-glycosylated</b></p> <p>immunoglobuline G1-lambda, anti-[<i>Homo sapiens</i> FCGRT (transporteur et récepteur du fragment Fc des IgG, récepteur Fc néonatal, FcRn, chaîne alpha transmembranaire du récepteur néonatal)], anticorps monoclonal <i>Homo sapiens</i>;  chaîne lourde gamma1 <i>Homo sapiens</i> (1-445) [VH (<i>Homo sapiens</i> IGHV3-23*01 (90.8%) -(IGHD) -IGHJ3*01 (100%)) CDR-IMGT [8.8.9] (26-33.51-58.97-105) (1-116) -<i>Homo sapiens</i> IGHG1*03 G1m3&gt;G1m17, nG1m1, G1v29 CH2 A84.4 (CH1 R120&gt;K (213) (117-214), charnière 1-15 (215-229), CH2 N84.4&gt;A (296) (230-339), CH3 E12 (355), M14 (357) (340-444), CHS K2&gt;del (445)) (117-445)], (219-215')-disulfure avec la chaîne légère lambda <i>Homo sapiens</i> (1'-216') [V-LAMBDA (<i>Homo sapiens</i> IGLV2-23*01 (94.8%) -IGLJ1*01 (100%)) CDR-IMGT [9.3.10] (26-34.52-54.91-100) (1'-110') -<i>Homo sapiens</i> IGLC3*03 (100%) (111'-216')]; dimère (225-225":228-228")-bisdisulfure, produite dans des cellules ovariennes de hamster chinois (CHO), <b>lignée cellulaire CHO-K1, non-glycosylé</b></p> <p>immunoglobulina G1-lambda, anti-[<i>Homo sapiens</i> FCGRT (transportador y receptor del fragmento Fc de las IgG, receptor Fc neonatal, FcRn, cadena alfa transmembranaria del receptor neonatal)], anticuerpo monoclonal <i>Homo sapiens</i>;  cadena pesada gamma1 <i>Homo sapiens</i> (1-445) [VH (<i>Homo</i></p>

*sapiens* IGHV3-23\*01 (90.8%) -(IGHD)-IGHJ3\*01 (100%) CDR-IMGT [8.8.9] (26-33.51-58.97-105) (1-116) -*Homo sapiens* IGHG1\*03 G1m3>G1m17, nG1m1, G1v29 CH2 A84.4 (CH1 R120>K (213) (117-214), bisagra 1-15 (215-229), CH2 N84.4>A (296) (230-339), CH3 E12 (355), M14 (357) (340-444), CHS K2>del (445) (117-445)], (219-215')-disulfuro con la cadena ligera lambda *Homo sapiens* (1'-216') [V-LAMBDA (*Homo sapiens* IGLV2-23\*01 (94.8%) -IGLJ1\*01 (100%)) CDR-IMGT [9.3.10] (26-34.52-54.91-100) (1'-110') -*Homo sapiens* IGLC3\*03 (100%) (111'-216')]; dímero (225-225':228-228'')-bisdisulfuro, producida por células ováricas de hamster chino (CHO), **línea celular CHO-K1, no glicosilado**

**Proposed International Nonproprietary Names (Prop. INN): List 125**

**Dénominations communes internationales proposées (DCI Prop.): Liste 125**

**Denominaciones Comunes Internacionales Propuestas (DCI Prop.): Lista 125**

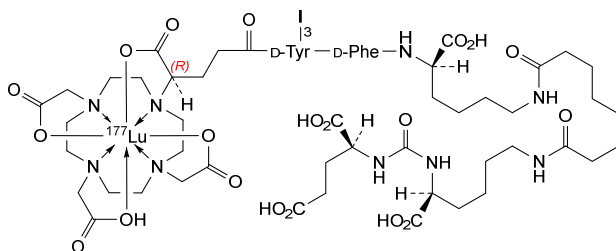
(*WHO Drug Information, Vol. 35, No. 2, 2021*)

p.431	<i>delete/supprimer/suprimáse</i> <b>flumbatinib</b>	<i>insert/insérer/insertese</i> <b>flumbatinibum</b>
p.472	<b>lutetium (<sup>177</sup>Lu) zadavotidum guraxetanum</b> lutetium ( <sup>177</sup> Lu) zadavotide guraxetan	<i>replace the chemical name and structure by the following ones</i> <i>remplacer le nom chimique et la structure par les suivants</i> <i>sustitúyase el nombre químico y la estructura por los siguientes</i>
	lutécium ( <sup>177</sup> Lu) zadavotide guraxétan	
	lutecio ( <sup>177</sup> Lu) zadavotida guraxetán	

[*N*-{[(4*R*)-4-carboxy-κO-4-[4,7,10-tris(carboxy-κ<sup>3</sup>O<sup>4</sup>, O<sup>7</sup>, O<sup>10</sup>-methyl)-1,4,7,10-tetraazacyclododecan-1-yl-κ<sup>4</sup>N<sup>1</sup>, N<sup>4</sup>, N<sup>7</sup>, N<sup>10</sup>]butanoyl]-3-iodo-D-tyrosyl-D-phenylalanyl-N<sup>6</sup>-(8-{N<sup>2</sup>-[(L-glutamic acid-N-yl)carbonyl]-L-lysine-N<sup>6</sup>-yl)-8-oxooctanoyl)-D-lysinate(3-)](<sup>177</sup>Lu)lutetium

[*N*-{[(4*R*)-4-carboxy-κO-4-[4,7,10-tris(carboxy-κ<sup>3</sup>O<sup>4</sup>, O<sup>7</sup>, O<sup>10</sup>-méthyl)-1,4,7,10-tétraazacyclododécan-1-yl-κ<sup>4</sup>N<sup>1</sup>, N<sup>4</sup>, N<sup>7</sup>, N<sup>10</sup>]butanoyl]-3-iodo-D-tyrosyl-D-phénylalanyl-N<sup>6</sup>-(8-{N<sup>2</sup>-[(acide L-glutamique-N-yl)carbonyl]-L-lysine-N<sup>6</sup>-yl)-8-oxooctanoyl)-D-lysinate(3-)](<sup>177</sup>Lu)lutécium

[*N*-{[(4*R*)-4-carboxi-κO-4-[4,7,10-tris(carboxi-κ<sup>3</sup>O<sup>4</sup>, O<sup>7</sup>, O<sup>10</sup>-metil)-1,4,7,10-tetraazaciclododecan-1-il-κ<sup>4</sup>N<sup>1</sup>, N<sup>4</sup>, N<sup>7</sup>, N<sup>10</sup>]butanoil]-3-iodo-D-tirosil-D-fenilalanil-N<sup>6</sup>-(8-{N<sup>2</sup>-[(ácido L-glutámico-N-il)carbonil]-L-lisine-N<sup>6</sup>-il)-8-oxooctanoil)-D-lisinate(3-)](<sup>177</sup>Lu)lutecio







single chain (sc) VH-VH' (1-256) [humanized VH anti-ALB (*Vicugna pacos*IGHV3-3\*01 (81.6%) -(IGHD) -IGHJ3\*01 (92.3%)/*Homo sapiens* IGHV3-11\*05 (80.4%) -(IGHD) -IGHJ4\*01 (92.9%), CDR-IMGT [8.7.17] (26-33.51-57.96-112) (1-123)) -14-mer bis(tetraglycyl-glutamyl) tetraglycyl linker (124-137) - humanized VH anti-CFP (*Vicugna pacos* IGHV3S53\*01 (81.4%) -(IGHD) -IGHJ4\*01, Q123>L (251) (92.3%)/*Homo sapiens* IGHV3-23\*01 (80.2%) -(IGHD) -IGHJ4\*01 (100%), CDR-IMGT [8.7.13] (163-170.188-194.233-245) (138-256))], produced in Chinese hamster ovary (CHO) cells, cell line CHO-K1SV, non-glycosylated

immunoglobuline simple chaîne VH-VH', anti-[*Homo sapiens* ALB (albumine, sérum albumine humaine, SAH)] et anti-[*Homo sapiens* CFP (facteur du complément properdine, properdine)], anticorps monoclonal humanisé, bispécifique, bivalent; simple chaîne (sc) VH-VH' (1-256) [VH anti-ALB humanisé (*Vicugna pacos* IGHV3-3\*01 (81.6%) -(IGHD) -IGHJ3\*01 (92.3%)/*Homo sapiens* IGHV3-11\*05 (80.4%) -(IGHD) -IGHJ4\*01 (92.9%), CDR-IMGT [8.7.17] (26-33.51-57.96-112) (1-123)) -14-mer bis(tétraglycyl-glutamyl) tétraglycyl linker (124-137)-VH anti-CFP humanisé (*Vicugna pacos* IGHV3S53\*01 (81.4%) -(IGHD) -IGHJ4\*01, Q123>L (251) (92.3%)/*Homo sapiens* IGHV3-23\*01 (80.2%) -(IGHD) -IGHJ4\*01 (100%), CDR-IMGT [8.7.13] (163-170.188-194.233-245) (138-256))], produit dans des cellules ovariennes de hamster chinois (CHO), lignée cellulaire CHO-K1SV, non-glycosylé

inmunoglobulina cadena única VH-VH', anti-[*Homo sapiens* ALB (albúmina, albumina sérica humana, SAH)] y anti-[*Homo sapiens* CFP (factor complemento properdina, properdina)], anticuerpo monoclonal humanizado, biespecífico, bivalente; cadena única (sc) VH-VH' (1-256) [VH anti-ALB humanizado (*Vicugna pacos* IGHV3-3\*01 (81.6%) -(IGHD) -IGHJ3\*01 (92.3%)/*Homo sapiens* IGHV3-11\*05 (80.4%) -(IGHD) -IGHJ4\*01 (92.9%), CDR-IMGT [8.7.17] (26-33.51-57.96-112) (1-123)) -14-mer bis(tetraglicil-glutamil) tetraglicil linker (124-137)-VH anti-CFP humanizado (*Vicugna pacos* IGHV3S53\*01 (81.4%) -(IGHD) -IGHJ4\*01, Q123>L (251) (92.3%)/*Homo sapiens* IGHV3-23\*01 (80.2%) -(IGHD) -IGHJ4\*01 (100%), CDR-IMGT [8.7.13] (163-170.188-194.233-245) (138-256))], producido en las células ováricas de hámster chino (CHO), línea celular CHO-K1SV, no glicosilado

p. 505-  
506 **uliviprubartum #**  
uliviprubart  
uliviprubart  
uliviprubart

*replace the structure by the following one*  
*remplacer la structure par la suivante*  
*sustitúyase la estructura por la siguiente*

**Heavy chain / Chaîne lourde / Cadena pesada**

QVQLVQSGAE VVKPGASVKV SCKASGYTFT DHNHMWVKQA TGGGLEWFGF	50
INPNTGVTRY NQKFGQGRVTL TINKAISTAY LELSSLRSED TAVYYCARDY	100
YGSAWFAYWG QGTLVTVSSA STKGPSVFPL APSSKSTSGG TAALGCLVKD	150
YFPEPVTWSW NSGALTSQGVH TTPAVLQSSG LYSLSVVTV PSSSLGTQTY	200
ICNVNHKPSN TKVDKKEPK SCDKTHCTPP CPAPELLGGP SVFLFPPKPK	250
DTLMISRPE VTCVVVDVSH EDPEVKFNWY VDGVEVHNAK TKPREEQYNS	300
TYRVVSLTV LHQDVLNGKE YKCKVSNKAL PAPIEKTISK AKGQPREPQV	350
YTLPPSREEM TKNQVSLTCL VKGFPYSDIA VEWESNGQPE NNYKTTTPVL	400
DSDGSFFLYS KLTVDKSRWQ QGNVFCSSVM HEALHNHYTQ KSLSLSPGK	449

**Light chain / Chaîne légère / Cadena ligera**

DIVMTQSPDS LAVSLGERAT INCKSSQILL YSSDQKNYLA WYQQKPGQP	50
KLLIYWASTR ESGVPRDFSG SGSGLDFTLT ISSLQAEDVA VYQCQQYYNY	100
PTFGGGTKVE IKRTVAAPSV FIFPPSDEQL KSGTASVVCL LNNFYPREAK	150
VQWKVDNALQ SGNSQESVTE QDSKDSYSL SSTLTLSKAD YEKHKVYACE	200
VTHQGLSSPV TKSFNREGC	219

**Post-translational modifications**

Disulfide bridges location / Position des ponts disulfure / Posiciones de los puentes disulfuro

Intra-H (C23-C104)	22-96	146-202	263-323	369-427
	22"-96"	146"-202"	263"-323"	369"-427"
Intra-L (C23-C104)	23-94"	139-199"		
	23"-94"	139"-199"		
Inter-H-L (h 5-CL 126)	222-219"	222"-219"		
Inter-H-H (h 11, h 14)	228-228"	231-231"		

N-terminal glutaminyl cyclization / Cyclisation du glutaminyle N-terminal / Ciclación del glutaminilo N-terminal

Q > pyroglutamyl (pE, 5-oxoprolyl) / pyroglutamyle (pE, 5-oxoprolyle) / piroglutamilo (pE, 5-oxoprolylo)  
H VH Q1: 1, 1"

N-glycosylation sites / Sites de N-glycosylation / Posiciones de N-glicosilación

H CH2 N84.4: 299, 299"

Afucosylated complex bi-antennary CHO-type glycans / glycanes de type CHO bi-antennaires complexes afucosylés / glicanos de tipo CHO biantenaricos complejos afucosilados.

C-terminal lysine clipping / Coupure de la lysine C-terminale / Recorte de lisina C-terminal  
H CHS K2: 449, 449"

**Proposed International Nonproprietary Names (Prop. INN): List 127 - COVID-19 (special edition) – ADDENDUM**

**Dénominations communes internationales proposées (DCI Prop.): Liste 127 - COVID-19 (édition spéciale) – ADDENDUM**

**Denominaciones Comunes Internacionales Propuestas (DCI Prop.): Lista 127 - COVID-19 (edición especial) – ADDENDUM**

**(WHO Drug Information, Vol. 36, No. 2, 2022)**

p. 565-  
566 **zapomeranum #**  
zapomeran  
zapoméran  
zapomerán

*Please note that the MedNet file has been updated.*  
*Veillez noter que le fichier MedNet a été mis à jour.*  
*Por favor, tenga en cuenta que se ha actualizado el archivo MedNet.*

**Proposed International Nonproprietary Names (Prop. INN): List 128**  
**Dénominations communes internationales proposées (DCI Prop.): Liste 128**  
**Denominaciones Comunes Internacionales Propuestas (DCI Prop.): Lista 128**  
*(WHO Drug Information, Vol. 36, No. 4, 2022)*

p.941 **berahyaluronidasum alfa**  
berahyaluronidase alfa  
bérahyaluronidase alfa  
berahialuronidasa alfa

*replace the description by the following one*  
*remplacer la description par la suivante*  
*sustitúyase la descripción por la siguiente*

human hyaluronidase isozyme-5 (HYAL5, sperm adhesion molecule 1, SPAM1, hyaluronidase PH-20, EC:3.2.1.35) fragment (3-433, 1-431 in the current sequence) engineered variant with the structural domain replaced by the corresponding region of human hyaluronidase isozyme-1 (HYAL1) (<sup>306</sup>TLSIMRSMKSCLLDDNYMET]<sup>326</sup>>  
<sup>304</sup>SWENTRTRKESCQAIKEYMDTT<sup>324</sup>), produced in Chinese hamster ovary (CHO) cells, cell line DG44, glycoform alfa

variant modifié d'un fragment (3-433, 1-431 dans la séquence actuelle) de l'isozyme-5 de la hyaluronidase humaine (HYAL5, molécule d'adhésion des spermatozoïdes 1, SPAM1, hyaluronidase PH-20, EC:3.2.1.35) dont le domaine structurel a été remplacé par la région correspondante de l'isozyme-1 de la hyaluronidase humaine (HYAL1) (<sup>306</sup>TLSIMRSMKSCLLDDNYMET]<sup>326</sup>>  
<sup>304</sup>SWENTRTRKESCQAIKEYMDTT<sup>324</sup>), produit dans des cellules ovariennes de hamster chinois (CHO), lignée cellulaire DG44, glycoforme alfa

hialuronidasa humana isoenzima-5 (HYAL5, molécula de adhesión de esperma 1, SPAM1, hialuronidasa PH-20, EC:3.2.1.35) fragmento (3-433, 1-431 en la secuencia actual) variante diseñada con el dominio estructural reemplazado por la región correspondiente a la hialuronidasa humana isoenzima-1 (HYAL1) (<sup>306</sup>TLSIMRSMKSCLLDDNYMET]<sup>326</sup>>  
<sup>304</sup>SWENTRTRKESCQAIKEYMDTT<sup>324</sup>), producida en células ováricas de hámster Chino (CHO), línea celular DG44, forma glicosilada alfa

p.960 **dibutepinephrinum**  
dibutépinéphrine

*remplacer le nom chimique par le suivant*  
bis(2-méthylpropanoate) de 4-[(1R)-1-hydroxy-2-(méthylamino)éthyl]-1,2-phénylène

p.964-  
965      **efbalropendekinum alfa #**  
efbalropendekin alfa  
efbalropendékine alfa  
efbalropendekina alfa

*replace the description and structure by the following ones  
remplacer la description et la structure par les suivantes  
sustitúyase la descripción y la estructura por las siguientes*

human interleukin-15 (IL-15) fragment (1-114) variant (D<sup>30</sup>>N, E<sup>64</sup>>Q, N<sup>65</sup>>D) fused via peptide linker <sup>115</sup>GGGGS<sup>119</sup> to a human immunoglobulin G1 C-terminal Fc fragment (120-350) variant, [*Homo sapiens* IGHG1\*03; hinge: 120-134 (C124S); CH2: 135-243 (E137P, L138V, L139A, G139-140del, S170K, Q198E where by E137P, L138V, L139A, G139-140del matches IGHG2\*02); CH3: 244-348 (L271D, K273S, N287D, Q321E, N324D, M331L, N337S); CHS: 349-350], disulfide bridge with human interleukin-15 receptor subunit alpha fragment (1-65) fused via the <sup>66</sup>GGGGS<sup>70</sup> peptide linker to a human immunoglobulin G1 Fc fragment (71-301) variant [*Homo sapiens* IGHG1\*03; Hinge: 71-85 (C75S); CH2: 86-194 (E88P, L89V, L90A, G90-91del, S121K); CH3: 195-299 (E211Q, S218K, M282L, N288S); CHS: 300-301], disulfide bridged heterodimer, produced in Chinese hamster ovary **(CHO-M)** cells, glycoform alfa

variant (D<sup>30</sup>>N, E<sup>64</sup>>Q, N<sup>65</sup>>D) du fragment (1-114) de l'interleukine-15 (IL-15) humaine fusionné via la liaison peptidique <sup>115</sup>GGGGS<sup>119</sup> à un variant du fragment Fc C-terminal de l'immunoglobuline G1 humaine (120-350), [*Homo sapiens* IGHG1\*03; charnière: 120-134 (C124S); CH2: 135-243 (E137P, L138V, L139A, G139-140del, S170K, Q198E par lequel E137P, L138V, L139A, G139-140del correspond à IGHG2\*02); CH3: 244-348 (L271D, K273S, N287D, Q321E, N324D, M331L, N337S); CHS: 349-350], pont disulfure avec le fragment alpha de la sous-unité du récepteur de l'interleukine-15 humaine (1-65) fusionné via la liaison peptidique <sup>66</sup>GGGGS<sup>70</sup> à un variant du fragment Fc de l'immunoglobuline G1 humaine (71-301) [*Homo sapiens* IGHG1\*03; charnière: 71-85 (C75S); CH2 : 86-194 (E88P, L89V, L90A, G90-91del, S121K); CH3: 195-299 (E211Q, S218K, M282L, N288S); CHS: 300-301], hétérodimère à pont disulfure, produit dans des cellules ovariennes de hamster chinois **(CHO-M)**, glycoforme alfa

interleukina-15 humana (IL-15) fragmento (1-114) variante (D<sup>30</sup>>N, E<sup>64</sup>>Q, N<sup>65</sup>>D) fusionado a través del enlace peptídico <sup>115</sup>GGGGS<sup>119</sup> al fragment Fc de una inmunoglobulina humana terminal G1 C (120-350) variante, [*Homo sapiens* IGHG1\*03; bisagra: 120-134 (C124S); CH2: 135-243 (E137P, L138V, L139A, G139-140del, S170K, Q198E por lo cual E137P, L138V, L139A, G139-140del se corresponde con IGHG2\*02); CH3: 244-348 (L271D, K273S, N287D, Q321E, N324D, M331L, N337S); CHS: 349-350], puente disulfuro con el fragment de la subunidad alfa del receptor de la interleukina-15 humana (1-65) fusionado a través del enlace peptídico <sup>66</sup>GGGGS<sup>70</sup> al fragment Fc de la inmunoglobulina humana G1 (71-301) variante [*Homo sapiens* IGHG1\*03; bisagra: 71-85 (C75S); CH2: 86-194 (E88P, L89V, L90A, G90-91del, S121K); CH3: 195-299 (E211Q, S218K, M282L, N288S); CHS: 300-301], heterodímero con puente disulfuro, prodido en células ováricas de hámster Chino **(CHO-M)**, forma glicosilada alfa

Sequence / Séquence / Secuencia  
 IL15-Fc:  
**NWNVISDLK KIEDLIQSMH IDATLYTESN VHPSCKV TAM KCFLLLEQVI** 50  
**SLESGDASIH DTVQLLILLA NNSLSSNGNV TESSGCKECEE LEEKNIKKFL** 100  
**QSFVHLVQMF INTSGGGGSE P KSSDRKTHTC PCCPAPVVA G PSVFLFPPK** 150  
 KDTLMSRTP EVTCVVVDV**K** HEDPEVKFNW YVDGVEVHNA KTKPRE**E**YN 200  
 STYRVVSVLT VLHQDWLNGK EYCKVSNKA LPAPIEKTIS KAKGQPREPQ 250  
 VYTLPPSRREE MTKNQVSLT**C D V S**GDFYPSDI AVEWES**D**QOP ENNYKTTFPV 300  
 LDSDGSFFLY SKLTVDKSRW **E Q C D**VFSCSV **L H E A L H S H Y T** QKLSLSLSPGK 350

IL15R-Fc:  
**ITCPPPMSVE HADIWVKYS LYSRERYION SGFKRKGTS SLTECVLNKA** 50  
**TNVAHHTTPS LKCI RGGGGSE** EPKSDRKTHT CPPCPAP**VVA** GFSVFLFPPK 100  
 PKDTLMSRTP PEVTCVVVDV**K** HEDPEVKFNW WYVDGVEVHN AKTKPREEQY 150  
 NSTYRVVSVLT TVLHQDWLNGK KEYCKVSNK ALPAPIEKTI SKAKGQPREP 200  
 QVYTLPPSRRE **Q**MTKNQV**K C T** CLVKGFYPSD IAVEWESNGQ PENNYKTTFP 250  
 VLDSDGSFFL YSKLTVDKSR WQQGNVFSCS **V L H E A L H S H Y T** QKLSLSLSPG 300  
 K 301

Peptide linkers / Peptides liants / Péptidos de unión  
 IL15-IgGFc: GGGG 115-119  
 IL15R-IgGFc: GGGG 66-70

Mutation / Mutation / Mutación  
 IL-15: D<sup>30</sup>>N, E<sup>65</sup>>Q, N<sup>65</sup>>D  
 IL15-Fc: C<sup>124</sup>>S, E<sup>137</sup>>P, L<sup>138</sup>>Y, L<sup>139</sup>>A, G<sup>139-140</sup>>del, S<sup>170</sup>>K, Q<sup>198</sup>>E, L<sup>271</sup>>D, K<sup>273</sup>>S, N<sup>287</sup>>D, Q<sup>321</sup>>E, N<sup>324</sup>>D, M<sup>331</sup>>L, N<sup>337</sup>>S  
 IL15R-Fc: C<sup>75</sup>>S, E<sup>88</sup>>P, L<sup>89</sup>>Y, L<sup>90</sup>>A, G<sup>90-91</sup>>del, S<sup>121</sup>>K, E<sup>211</sup>>Q, S<sup>318</sup>>K, M<sup>383</sup>>L, N<sup>388</sup>>S

Post-translational modifications  
 Disulfide bridges location / Position des ponts disulfure / Posiciones de los puentes disulfuro  
 Intra-chain IL15-IgGFc: 35-85, 42-88, 164-224, 270-328  
 Intra-chain IL15R-IgGFc: 3-45, 29-63, 115-175, 221-279  
 Inter-chain: IL15Fc-IL15RFc: 130-81', 133-84'

N-glycosylation sites / Sites de N-glycosylation / Posiciones de N-glicosilación  
 IL15-IgGFc: N71, N79, N112, N200  
 IL15R-IgGFc: N151'

O-glycosylation sites / Sites de O-glycosylation / Posiciones de O-glicosilación  
 IL15R-IgGFc: T2'

p.967-968 **elriterceptum #**  
 elritercept  
 elritercept  
 elritercept

*replace the structure by the following one*  
*remplacer la structure par la suivante*  
*sustitúyase la estructura por la siguiente*

Sequence / Séquence / Secuencia  
 GAILGRSETQ ECLFYANANWE **L E R**TNQTGVE **R C E C E**KDKR**L** HCYATV**R**NIS 50  
 GSIEIVR**K**GC WLDD**F**NCYDR TDCV**T E E N P** QVYFCCCEGN MCNEKFSYFP 100  
 EMEVTPQ**T S G** GGDKTHTCPP CPAPELLGGP SVFLFPPKPK DTLMSRTP**E** 150  
 VTCVVVDVSH EDPEVKFNWY VDGVEVHNAK TKPREEQYNS TYRVVSVLTV 200  
 LHQDWLNGKE YKCKVSNKAL PAPIEKTISK AKGQPREPQV YTLPPSRDEL 250  
 TKNQVSLTCL VKGFYPSDIA VEWESNGQPE NNYKTTFPVL DSDGSFFLYS 300  
 KLTVDKSRWQ QGNVFSCSVM HEALHNYHTQ KLSLSLSPG 338

Peptide linker / Peptides liant / Péptido de unión  
GGG 110-112

Mutation / Mutation / Mutación  
 F<sup>15</sup>>Y, T<sup>21</sup>KD<sup>22</sup>>L**E**, D<sup>31</sup>>R, Y<sup>33</sup>>E, D<sup>35</sup>>E, R<sup>40</sup>>L, F<sup>43</sup>>Y, K<sup>47</sup>>R, Q<sup>58</sup>>K, I<sup>65</sup>>E, <sup>76</sup>KKDS<sup>79</sup>>**T E E N**, E<sup>81</sup>>Q

Post-translational modifications  
 Disulfide bridges location / Position des ponts disulfure / Posiciones de los puentes disulfuro  
 Intra-chain 12-42, 32-60, 67-86, 73-85, 87-92, 153-213, 259-317  
 12'-42', 32'-60', 67'-86', 73'-85', 87'-92', 153'-213', 259'-317'  
 Inter-chain 118-118', 121-121'

N-glycosylation sites / Sites de N-glycosylation / Posiciones de N-glicosilación  
 N25, N48, N189, N25', N48', N189'

O-glycosylation sites / Sites de O-glycosylation / Posiciones de O-glicosilación  
 S97, S97', **T108, T108', S109, S109'**

p.971-**ersodetugum**  
 972 ersodetug  
 ersodétug  
 ersodetug

*replace the description by the following one*  
*remplacer la description par la suivante*  
*sustitúyase la descripción por la siguiente*

immunoglobulin G2-kappa, anti-[*Homo sapiens* INSR (insulin receptor)], *Homo sapiens* monoclonal antibody, allosteric;  
 gamma2 heavy chain *Homo sapiens* (1-444) [VH (*Homo sapiens* IGHV3-**30**\*01 (98.0%) -(IGHD) -IGHJ6\*01 (93.8%), CDR-IMGT [8.8.11] (26-33.51-58.97-107)) (1-118) -*Homo sapiens* IGHG2\*02 (100%), G2m23 CH2 M45.1 (CH1 (119-216), hinge 1-12 (217-228), CH2 M45.1 (279) (229-337), CH3 (338-442), CHS (443-444)) (119-444)], (132-219')-disulfide with kappa light chain humanized (1'-219') [V-KAPPA (*Homo sapiens* IGKV2-30\*01 (93.0%) -IGKJ2\*01 (100%), CDR-IMGT [11.3.9] (27-37.55-57.94-102)) (1'-112') -*Homo sapiens* IGKC\*01, Km3 A45.1 (158), V101 (196) (113'-219')]; dimer (220-220":221-221":224-224":227-227")-tetrakisdisulfide, produced in Chinese hamster ovary (CHO) cells, derived from the cell line CHO-K1, glycoform alfa

immunoglobuline G2-kappa, anti-[*Homo sapiens* INSR (récepteur de l'insuline)], anticorps monoclonal *Homo sapiens*, allostérique;  
 chaîne lourde gamma2 *Homo sapiens* (1-444) [VH (*Homo sapiens* IGHV3-**30**\*01 (98.0%) -(IGHD) -IGHJ6\*01 (93.8%), CDR-IMGT [8.8.11] (26-33.51-58.97-107)) (1-118) -*Homo sapiens* IGHG2\*02 (100%), G2m23 CH2 M45.1 (CH1 (119-216), charnière 1-12 (217-228), CH2 M45.1 (279) (229-337), CH3 (338-442), CHS (443-444)) (119-444)], (132-219')-disulfure avec la chaîne légère kappa humanisée (1'-219') [V-KAPPA (*Homo sapiens* IGKV2-30\*01 (93.0%) -IGKJ2\*01 (100%), CDR-IMGT [11.3.9] (27-37.55-57.94-102)) (1'-112') -*Homo sapiens* IGKC\*01, Km3 A45.1 (158), V101 (196) (113'-219')]; dimère (220-220":221-221":224-224":227-227")- tétrakisdisulfure, produit dans des cellules ovariennes de hamster chinois (CHO), dérivant de la lignée cellulaire CHO-K1, glycoforme alfa

inmunoglobulina G2-kappa, anti-[*Homo sapiens* INSR (receptor de la insulina)], anticuerpo monoclonal *Homo sapiens*, alostérico;  
 cadena pesada gamma2 *Homo sapiens* (1-444) [VH (*Homo sapiens* IGHV3-**30**\*01 (98.0%) -(IGHD) -IGHJ6\*01 (93.8%), CDR-IMGT [8.8.11] (26-33.51-58.97-107)) (1-118) -*Homo sapiens* IGHG2\*02 (100%), G2m23 CH2 M45.1 (CH1 (119-216), bisagra 1-12 (217-228), CH2 M45.1 (279) (229-337), CH3 (338-442), CHS (443-444)) (119-444)], (132-219')-disulfuro con la cadena ligera kappa humanizada (1'-219') [V-KAPPA (*Homo sapiens* IGKV2-30\*01 (93.0%) -IGKJ2\*01 (100%), CDR-IMGT [11.3.9] (27-37.55-57.94-102)) (1'-112') -*Homo sapiens* IGKC\*01, Km3 A45.1 (158), V101 (196) (113'-219')]; dímero (220-220":221-221":224-224":227-227")-tetrakisdisulfuro, producido en las células ováricas de hámster chino (CHO), línea celular derivada de CHO-K1, forma glicosilada alfa

p.980- **firastotugum**  
981 firastotug  
firastotug  
firastotug

*replace the description by the following one*  
*remplacer la description par la suivante*  
*sustitúyase la descripción por la siguiente*

immunoglobulin G1- kappa, anti-[*Homo sapiens* CTLA4 (cytotoxic T-lymphocyte associated protein 4, CTLA-4, CD152)], monoclonal antibody;  
gamma1 heavy chain (1-446) [VH (*Homo sapiens* IGHV3-7\*01 (77.8%) -(IGHD) -IGHJ4\*01 (100%), CDR-IMGT [9.7.9] (26-34.52-58.97-105)) (1-116) -*Homo sapiens* IGHG1\*01 (100%), G1m17,1 CH1 K120, D12, L14 (CH1 K120 (213) (117-214), hinge 1-15 (215-229), CH2 (230-339), CH3 D12 (355), L14 (357) (340-444), CHS (445-446)) (117-446)], (219-215')-disulfide with kappa light chain (1'-215') [V-KAPPA (*Homo sapiens* IGKV1-13\*02 (85.3%) -IGKJ1\*01 (100%), CDR-IMGT [7.3.9](27-33.51-53.90-98)) (1'-108') -*Homo sapiens* IGKC\*01 (100%), Km3 A45.1 (154), V101 (192) (109'-215')]; dimer (225-225":228-228")-bisdisulfide, produced in Chinese hamster ovary (CHO) cells, cell line CHO-K1, glycoform alfa

immunoglobuline G1-kappa, anti-[*Homo sapiens* CTLA4 (protéine 4 associée aux lymphocytes T cytotoxiques, CTLA-4, CD152)], anticorps monoclonal;  
chaîne lourde gamma1 (1-446) [VH (*Homo sapiens* IGHV3-7\*01 (77.8%) -(IGHD) -IGHJ4\*01 (100%), CDR-IMGT [9.7.9] (26-34.52-58.97-105)) (1-116) -*Homo sapiens* IGHG1\*01 (100%), G1m17,1 CH1 K120, D12, L14 (CH1 K120 (213) (117-214), hinge 1-15 (215-229), CH2 (230-339), CH3 D12 (355), L14 (357) (340-444), CHS (445-446)) (117-446)], (219-215')-disulfure avec la chaîne légère kappa (1'-215') [V-KAPPA (*Homo sapiens* IGKV1-13\*02 (85.3%) -IGKJ1\*01 (100%), CDR-IMGT [7.3.9] (27-33.51-53.90-98)) (1'-108') -*Homo sapiens* IGKC\*01 (100%), Km3 A45.1 (154), V101 (192) (109'-215')]; dimère (225-225":228-228")-bisdisulfure, produit dans des cellules ovariennes de hamster chinois (CHO), lignée cellulaire CHO-K1, glycoforme alfa

immunoglobulina G1-kappa, anti-[*Homo sapiens* CTLA4 (proteína 4 asociada a los linfocitos T citotóxicos, CTLA-4, CD152)], anticuerpo monoclonal;  
cadena pesada gamma1 (1-446) [VH (*Homo sapiens* IGHV3-7\*01 (77.8%) -(IGHD) -IGHJ4\*01 (100%), CDR-IMGT [9.7.9] (26-34.52-58.97-105)) (1-116) -*Homo sapiens* IGHG1\*01 (100%), G1m17,1 CH1 K120, D12, L14 (CH1 K120 (213) (117-214), bisagra 1-15 (215-229), CH2 (230-339), CH3 D12 (355), L14 (357) (340-444), CHS (445-446)) (117-446)], (219-215')-disulfuro con la cadena ligera kappa (1'-215') [V-KAPPA (*Homo sapiens* IGKV1-13\*02 (85.3%) -IGKJ1\*01 (100%), CDR-IMGT [7.3.9] (27-33.51-53.90-98)) (1'-108') -*Homo sapiens* IGKC\*01 (100%), Km3 A45.1 (154), V101 (192) (109'-215')]; dímero (225-225":228-228")-bisdisulfuro, producido en las células ováricas de hamster chino (CHO), línea celular CHO-K1, forma glicosilada alfa

p.991-  
992 **iluzanebartum #**  
iluzanebart  
iluzanebart  
iluzanebart

*replace structure by the following one*  
*remplacer la structure par la suivante*  
*sustitúyase la estructura por la siguiente*

## Heavy chain / Chaîne lourde / Cadena pesada

```
EVQLVQSGAE VKKPGESLKI SCKGSGYSFT SYWIGWVRQM PGKGLEWMMGI 50
IYPGDADARY SPSFQGQVTI SADKSISTAY LQWSSLKASD TAMYFCARRR 100
QGIFGDALDF WQGGTLVTVS SASTKGPSVF FLAPSSKSTS GGTAAALGCLV 150
KDYFPEPVTV SWNSGALTSV VHTFPAVLQV SGLYSLSSVV TVPSSSLGTQ 200
TYICNVNHKP SNTKVDKKEV PKSCDKTHTC PPCAPELLG GPSVFLFPPK 250
PKDTLMISRT PEVTCVVVDV SHEDPEVKFN WYVDGVEVHN AKTKPCEEQY 300
GSTYRCVSVL TVLHQDWLNG KEYKCKVSNK ALPAPIEKTI SKAKGQPREP 350
QVYTLPPSRE EMTKNQVSLT CLVKGFPYPSD IAVEWESNGQ PENNYKTTTP 400
VLDSQDGSFFL YSKLTVDKSR WQQGNVFSCS VMHEALHNYH TQKSLSLSPG 450
K 451
```

## Light chain / Chaîne légère / Cadena ligera

```
EIVMTQSPAT LSVSPGERAT LSCRASQSVS SNLAWFQQKP GQAPRLLIYG 50
ASTRATGIPA RFGSGSGSTE FTLTISSLQV EDFAVVYCLQ DNNFPPTFGQ 100
GTKVDIKRTV AAPSVFIFPP SDEQLKSGTA SVVCLLNNFY PREAKVQMKV 150
DNALQSGNSQ ESVTEQDSKD STYLSLSLTL LSKADYEKHK VYACEVTHQG 200
LSSPVTKSFN RGECE 214
```

## Post-translational modifications

Disulfide bridges location / Position des ponts disulfure / Posiciones de los puentes disulfuro

Intra-H (C23-C104) 22'-96" 148"-204" 265'-325" 371"-429"  
22"-96" 148"-204" 265"-325" 371"-429"

Intra-CH2 (C83-C85)\* 296-306 296"-306"

Intra-L (C23-C104) 23'-88" 134'-194"  
23"-88" 134"-194"

Inter-H-L (h 5-CL 126) 224-214' 224"-214"

Inter-H-H (h 11, h 14) 230-230" 233-233"

\*Additional disulfide bond to stabilize the CH2 in the absence of N-glycosylation (G1v54)

No N-glycosylation sites / pas de sites de N-glycosylation / ningùn posició de N-glicosilación

H CH2 N84.4>G (G1v30): 301, 301"

C-terminal lysine clipping / Coupure de la lysine C-terminale / Recorte de lisina C-terminal  
H CHS K2: 451, 451"

p.1008-  
1009

*delete/supprimer/suprimase*  
**milrebrutinibum**  
milrebrutinib  
milrébrutinib  
milrebrutinib

*insert/insérer/insertese*  
**docirbrutinibum**  
docirbrutinib  
docirbrutinib  
docirbrutinib

p.1011

**muvalaplimum**

muvalaplin  
muvalapline  
muvalaplina

*replace the chemical name by the following one*  
*remplacer le nom chimique par le suivant*  
*sustitúyase el nombre químico por el siguiente*

(1<sup>3</sup>R,2S,10S,11<sup>3</sup>R)-6-[(3-((2S)-2-carboxy-2-[(3R)-pyrrolidin-3-yl]ethyl)phenyl)methyl]-6-aza-1,11(3)-dipyrrolidina-4,8(1,3)-dibenzenaundecaphane-2,10-dicarboxylic acid

acide (1<sup>3</sup>R,2S,10S,11<sup>3</sup>R)-6-[(3-((2S)-2-carboxy-2-[(3R)-pyrrolidin-3-yl]éthyl)phényl)méthyl]-6-aza-1,11(3)-dipyrrolidina-4,8(1,3)-dibenzénaundécaphane-2,10-dicarboxylique

ácido (1<sup>3</sup>R,2S,10S,11<sup>3</sup>R)-6-[(3-((2S)-2-carboxi-2-[(3R)-pirrolidin-3-il]etil)fenil)metil]-6-aza-1,11(3)-dipirrolidina-4,8(1,3)-dibencenaundecafano-2,10-dicarboxílico



p.1011- **muzastotugum**  
 1012 muzastotug  
 muzastotug  
 muzastotug

*replace the description by the following one*  
*remplacer la description par la suivante*  
*sustitúyase la descripción por la siguiente*

immunoglobulin G1- kappa, anti-[*Homo sapiens* CTLA4 (cytotoxic T-lymphocyte associated protein 4, CTLA-4, CD152)], monoclonal antibody with cleavable prodomain; gamma1 heavy chain (1-446) [VH (*Homo sapiens* IGHV3-7\*01 (77.8%) -(IGHD) -IGHJ4\*01 (100%), CDR-IMGT [9.7.9] (26-34.52-58.97-105)) (1-116) -*Homo sapiens* IGHG1\*01 (100%), G1m17,1 CH1 K120, D12, L14 (CH1 K120 (213) (117-214), hinge 1-15 (215-229), CH2 (230-339), CH3 D12 (355), L14 (357) (340-444), CHS (445-446)) (117-446)], (219-256')-disulfide with kappa light chain (1'-256') [cleavable prodomain (1'-41') fused to V-KAPPA (*Homo sapiens* IGKV1-13\*02 (85.3%) -IGKJ1\*01 (100%), CDR-IMGT [7.3.9] (68-74.92-94.131-139)) (42'-149') -*Homo sapiens* IGKC\*01 (100%), Km3 A45.1 (195), V101 (233) (150'-256')]; dimer (225-225":228-228")-bisdisulfide, produced in Chinese hamster ovary (CHO) cells, cell line CHO-K1, glycoform alfa

immunoglobuline G1-kappa, anti-[*Homo sapiens* CTLA4 (protéine 4 associée aux lymphocytes T cytotoxiques, CTLA-4, CD152)], anticorps monoclonal avec prodomaine clivable; chaîne lourde gamma1 (1-446) [VH (*Homo sapiens* IGHV3-7\*01 (77.8%) -(IGHD) -IGHJ4\*01 (100%), CDR-IMGT [9.7.9] (26-34.52-58.97-105)) (1-116) -*Homo sapiens* IGHG1\*01 (100%), G1m17,1 (CH1 K120 (213) (117-214), charnière 1-15 (215-229), CH2 (230-339), CH3 D12 (355), L14 (357) (340-444), CHS (445-446)) (117-446)], (219-256')-disulfure avec la chaîne légère kappa (1'-256') [prodomaine clivable (1'-41') fusionné à V-KAPPA (*Homo sapiens* IGKV1-13\*02 (85.3%) -IGKJ1\*01 (100%), CDR-IMGT [7.3.9] (68-74.92-94.131-139)) (42'-149') -*Homo sapiens* IGKC\*01 (100%), Km3 A45.1 (195), V101 (233) (150'-256')]; dimère (225-225":228-228")-bisdisulfure, produit dans des cellules ovariennes de hamster chinois (CHO), lignée cellulaire CHO-K1, glycoforme alfa

inmunoglobulina G1-kappa, anti-[*Homo sapiens* CTLA4 (proteína 4 asociada con los linfocitos T citotóxicos, CTLA-4, CD152)], anticuerpo monoclonal con prodominio escindible; cadena pesada gamma1 (1-446) [VH (*Homo sapiens* IGHV3-7\*01 (77.8%) -(IGHD) -IGHJ4\*01 (100%), CDR-IMGT [9.7.9] (26-34.52-58.97-105)) (1-116) -*Homo sapiens* IGHG1\*01 (100%), G1m17,1 (CH1 K120 (213) (117-214), bisagra 1-15 (215-229), CH2 (230-339), CH3 D12 (355), L14 (357) (340-444), CHS (445-446)) (117-446)], (219-256')-disulfuro con la cadena ligera kappa (1'-256') [prodominio escindible (1'-41') fusionado con V-KAPPA (*Homo sapiens* IGKV1-13\*02 (85.3%) -IGKJ1\*01 (100%), CDR-IMGT [7.3.9] (68-74.92-94.131-139)) (42'-149') -*Homo sapiens* IGKC\*01 (100%), Km3 A45.1 (195), V101 (233) (150'-256')]; dímero (225-225":228-228")-bisdisulfuro, producido en las células ováricas de hámster chino (CHO), línea celular CHO-K1, forma glicosilada alfa

p.1022- **oberotatugum #**  
 1023 oberotatug  
 obérotatug  
 oberotatug

*replace the description, CAS RN and structure by the following ones  
 remplacer le numéro de registre du CAS, le nom chimique et la  
 structure par les suivants  
 sustitúyase el número del CAS, el nombre químico y la estructura  
 por los siguientes*

immunoglobulin G1-kappa, anti-[*Homo sapiens* LY75 (human lymphocyte antigen 75, C-type lectin domain family 13 member B, CLEC13B, DEC-205, CD205)], *Homo sapiens* monoclonal antibody; H-gamma1 heavy chain *Homo sapiens* (1-449) [VH (*Homo sapiens* IGHV3-15\*01 (98.0%) -(IGHD) -IGHJ4\*01 (100%), CDR-IMGT [8.10.10] (26-33.51-60.99-108)) (1-119) -*Homo sapiens* IGHG1\*03v, G1m3>G1m17, nG1m1 CH1 K120, CH3 E12, M14 (CH1 R120>K (216) (120-217), hinge 1-15 (218-232), CH2 (233-342), CH3 E12 (358), M14 (360) (343-447), CHS (448-449)) (120-449)], (222-214')-disulfide with L-kappa light chain *Homo sapiens* (1'-214') [V-KAPPA (*Homo sapiens* IGKV1-39\*01 (88.4%) -IGKJ1\*01 (100%), CDR-IMGT [6.3.9] (27-32.50-52.89-97)) (1'-107') -*Homo sapiens* IGKC\*01 (100%), Km3, A45.1 (153), V101 (191) (108'-214')]; dimer (228-228":231-231")-bisdisulfide, produced in Chinese hamster ovary (CHO) cells, derived from the cell line CHO-K1SV, glycoform alfa

immunoglobuline G1-kappa, anti-[*Homo sapiens* LY75 (antigène 75 des lymphocytes humains, membre B de la famille 13 des lectines à domaine de type C, CLEC13B, DEC-205, CD205)], anticorps monoclonal *Homo sapiens*;  
 chaîne lourde H-gamma1 *Homo sapiens* (1-449) [VH (*Homo sapiens* IGHV3-15\*01 (98.0%) -(IGHD) -IGHJ4\*01 (100%), CDR-IMGT [8.10.10] (26-33.51-60.99-108)) (1-119) -*Homo sapiens* IGHG1\*03v, G1m3>G1m17, nG1m 1 CH1 K120, CH3 E12, M14 (CH1 R120>K (216) (120-217), charnière 1-15 (218-232), CH2 (233-342), CH3 E12 (358), M14 (360) (343-447), CHS (448-449)) (120-449)], (222-214')-disulfure avec la chaîne légère L-kappa *Homo sapiens* (1'-214') [V-KAPPA (*Homo sapiens* IGKV1-39\*01 (88.4%) -IGKJ1\*01 (100%), CDR-IMGT [6.3.9] (27-32.50-52.89-97)) (1'-107') -*Homo sapiens* IGKC\*01 (100%), Km3, A45.1 (153), V101 (191) (108'-214')]; dimère (228-228":231-231")-bisdisulfure, produit dans des cellules ovariennes de hamster chinois (CHO), dérivant de la lignée cellulaire CHO-K1SV, glycoforme alfa

immunoglobulina G1-kappa, anti-[*Homo sapiens* LY75 (antígeno 75 de los linfocitos humanos, miembro B de la familia 13 de las lectinas con dominio de tipo C, CLEC13B, DEC-205, CD205)], anticuerpo monoclonal *Homo sapiens*;  
 cadena pesada H-gamma1 *Homo sapiens* (1-449) [VH humanizado (*Homo sapiens* IGHV3-15\*01 (98.0%) -(IGHD) -IGHJ4\*01 (100%), CDR-IMGT [8.10.10] (26-33.51-60.99-108)) (1-119) -*Homo sapiens* IGHG1\*03v, G1m3>G1m17, nG1m1 CH1 K120, CH3 E12, M14 (CH1 R120>K (216) (120-217), bisagra 1-15 (218-232), CH2 (233-342), CH3 E12 (358), M14 (360) (343-447), CHS (448-449)) (120-449)], (222-214')-disulfuro con la cadena ligera L-kappa *Homo sapiens* (1'-214') [V-KAPPA (*Homo sapiens* IGKV1-39\*01 (88.4%) -IGKJ1\*01 (100%), CDR-IMGT [6.3.9] (27-32.50-52.89-97)) (1'-107') -*Homo sapiens* IGKC\*01 (100%), Km3, A45.1 (153), V101 (191) (108'-214')]; dímero (228-228":231-231")-bisdisulfuro, producido en las células ováricas de hámster chino (CHO), línea celular derivada de CHO-K1SV, forma glicosilada alfa

2641919-34-6

Heavy chain/ Chaîne lourde / Cadena pesada

EVQLVESGGG LVKPGGSLRL SCAASGFTYS NAWMSWVRQA PGKGLEWVGR 50  
 IKSKTDGGTT DYAAPVQGRF TISRDDSKNT LYLQMNLSKT EDTAVVYCTI 100  
 FGVVFDYWG QGTLTVVSSA STKGPSVFPL APSSKSTSGG TAALGLCVKD 150  
 YFPEPVTVSW NSGALTSQVH TFPVAVLQSSG LYSLSVVTV PSSSLGTQTY 200  
 ICNVNHKPSN TKVDKKEVEPK SCDKTHTCPP CPAPELLGGP SVFLFPPKPK 250  
 DTLMISRTPF VTCVVVDVSH EDPEVKFNWY VDGVEVHNAK TKPREEQYNS 300  
 TYRVVSVLTV LHQDNLNGKE YKCKVSNKAL PAPIEKTISK AKGQPREPQV 350  
 YTLPPSREEM TKNQVSLTCL VKGFYPSDIA VEWESNGQPE NNYKTTTPVL 400  
 DSDGSFFLYS KLTVDKSRWQ QGNVFSVCSVM HEALHNHYTQ KSLSLSPGK 449

Light chain/ Chaîne légère / Cadena ligera

DVQMTQSPSS LSASVGRVIT ITCRASQGIS DYLSWYQQRG GKAPNLLIYA 50  
 ASNLKTVGVP RFGSGSGSDT FTLTISTLQP EDFATYYCQQ SYRSPWTFGQ 100  
 GTKVEIKRTV AAPSVFIFPP SDEQLKSGTA SVVCLLNNFY BREAKVQWKV 150  
 DNALQSGNSQ ESVTEQDSKD STYLSLSTLT LSKADYEKHK VYACEVTHQG 200  
 LSSPVTKSFN RGEC 214

Post-translational modifications

Disulfide bridges location / Position des ponts disulfure / Posiciones de los puentes disulfuro

Intra-H (C23-C104) 22-98 146-202 263-323 369-427  
 22"-98" 146"-202" 263"-323" 369"-427"  
 Intra-L (C23-C104) 23'-88' 134'-194'  
 23"'-88"' 134"'-194"  
 Inter-H-L (h 5-CL 126) 222-214' 222"-214"  
 Inter-H-H (h 11, h 14) 228-228" 231-231"

N-glycosylation sites / Sites de N-glycosylation / Posiciones de N-glicosilación

H CH2 N84.4: 299, 299"

Fucosylated complex bi-antennary CHO-type glycans / glycanes de type CHO bi-antennaires complexes fucosylés / glicanos de tipo CHO biantenariarios complejos fucosilados

C-terminal lysine clipping / Coupure de la lysine C-terminale / Recorte de lisina C-terminal  
 H CHS K2: 449, 449"

p.1023-  
1024 **oberotatum ravtansinum** #

oberotatum ravtansine *replace the description and structure by the following ones*  
 obérotatum ravtansine *remplacer la description et la structure par les suivantes*  
 oberotatum ravtansina *sustitúyase la descripción y la estructura por las siguientes*

immunoglobulin G1-kappa, anti-[*Homo sapiens* LY75 (human lymphocyte antigen 75, C-type lectin domain family 13 member B, CLEC13B, DEC-205, CD205)], *Homo sapiens* monoclonal antibody; conjugated to *ravtansine*;  
 H-gamma1 heavy chain *Homo sapiens* (1-449) [VH (*Homo sapiens* IGHV3-15\*01 (98.0%) -(IGHD) -IGHJ4\*01 (100%), CDR-IMGT [8.10.10] (26-33.51-60.99-108)) (1-119) -*Homo sapiens* IGHG1\*03v, G1m3>G1m17, nG1m1 CH1 K120, CH3 E12, M14 (CH1 R120>K (216) (120-217), hinge 1-15 (218-232), CH2 (233-342), CH3 E12 (358), M14 (360) (343-447), CHS (448-449)) (120-449)], (222-214')-disulfide with L-kappa light chain *Homo sapiens* (1'-214') [V-KAPPA (*Homo sapiens* IGKV1-39\*01 (88.4%) -IGKJ1\*01 (100%), CDR-IMGT [6.3.9] (27-32.50-52.89-97)) (1'-107') -*Homo sapiens* IGKC\*01 (100%), Km3, A45.1 (153), V101 (191) (108'-214')]; dimer (228-228":231-231")-bisdisulfide, produced in Chinese hamster ovary (CHO) cells, derived from the cell line CHO-K1SV, glycoform alfa; conjugated at N<sup>6</sup> of an average of 3.5 lysyl residues with 4-[(5-[[[(2S)-1-[[[(1S,2R,3S,5S,6S,16E,18E,20R,21S)-11-chloro-21-hydroxy-12,20-dimethoxy-2,5,9,16-tetramethyl-8,23-dioxo-4,24-dioxo-9,22-diazatetracyclo[19.3.1.1<sup>10,14</sup>.0<sup>3,5</sup>]]hexacosano-10(26),11,13,16,18-pentaen-6-yl]oxy]-1-oxopropan-2-yl](methylamino)-2-methyl-5-oxopentan-2-yl)disulfanyl]butanoyl (*ravtansine*) groups

immunoglobuline G1-kappa, anti-[*Homo sapiens* LY75 (antigène 75 des lymphocytes humains, membre B de la famille 13 des lectines à domaine de type C, CLEC13B, DEC-205, CD205)], anticorps monoclonal *Homo sapiens*; conjugué à la *ravtansine*; chaîne lourde H-gamma1 *Homo sapiens* (1-449) [VH (*Homo sapiens* IGHV3-15\*01 (98.0%) -(IGHD) -IGHJ4\*01 (100%), CDR-IMGT [8.10.10] (26-33.51-60.99-108)) (1-119) -*Homo sapiens* IGHG1\*03v, G1m3>G1m17, nG1m1 CH1 K120, CH3 E12, M14 (CH1 R120>K (216) (120-217), charnière 1-15 (218-232), CH2 (233-342), CH3 E12 (358), M14 (360) (343-447), CHS (448-449)) (120-449)], (222-214')-disulfure avec la chaîne légère L-kappa *Homo sapiens* (1'-214') [V-KAPPA (*Homo sapiens* IGKV1-39\*01 (88.4%) -IGKJ1\*01 (100%), CDR-IMGT [6.3.9] (27-32.50-52.89-97)) (1'-107') -*Homo sapiens* IGKC\*01 (100%), Km3 A45.1 (153), V101 (191) (108'-214')]; dimère (228-228":231-231")-bisdisulfure, produit dans des cellules ovariennes de hamster chinois (CHO), dérivant de la lignée cellulaire CHO-K1SV, glycoforme alfa; conjugué en N<sup>6</sup> d'une moyenne de 3,5 résidus lysyl avec le groupe 4-[[5-[[[(2S)-1-[[[(1S,2R,3S,5S,6S,16E,18E,20R,21S)-11-chloro-21-hydroxy-12,20-diméthoxy-2,5,9,16-tétraméthyl-8,23-dioxo-4,24-dioxa-9,22-diazatétracyclo[19.3.1.1<sup>10,14</sup>.0<sup>3,5</sup>]hexacosano-10(26),11,13,16,18-pentaèn-6-yl]oxy]-1-oxopropan-2-yl](méthyl)amino]-2-méthyl-5-oxopentan-2-yl]disulfanyl]butanoyle (*ravtansine*)

immunoglobulina G1-kappa, anti-[*Homo sapiens* LY75 (antígeno 75 de los linfocitos humanos, miembro B de la familia 13 de las lectinas con dominio tipo C, CLEC13B, DEC-205, CD205)], anticuerpo monoclonal *Homo sapiens*; conjugado con *ravtansina*; cadena pesada H-gamma1 *Homo sapiens* (1-449) [VH humanizado (*Homo sapiens* IGHV3-15\*01 (98.0%) -(IGHD) -IGHJ4\*01 (100%), CDR-IMGT [8.10.10] (26-33.51-60.99-108)) (1-119) -*Homo sapiens* IGHG1\*03v, G1m3>G1m17, nG1m1 CH1 K120, CH3 E12, M14 (CH1 R120>K (216) (120-217), bisagra 1-15 (218-232), CH2 (233-342), CH3 E12 (358), M14 (360) (343-447), CHS (448-449)) (120-449)], (222-214')-disulfuro con la cadena ligera L-kappa *Homo sapiens* (1'-214') [V-KAPPA (*Homo sapiens* IGKV1-39\*01 (88.4%) -IGKJ1\*01 (100%), CDR-IMGT [6.3.9] (27-32.50-52.89-97)) (1'-107') -*Homo sapiens* IGKC\*01 (100%), Km3 A45.1 (153), V101 (191) (108'-214')]; dímero (228-228":231-231")-bisdisulfuro, producido en las células ováricas de hámster chino (CHO), línea celular derivada de CHO-K1SV, forma glicosilada alf; conjugado en N<sup>6</sup> de 3,5 lisil residuos, por termino medio, con grupos 4-[[5-[[[(2S)-1-[[[(1S,2R,3S,5S,6S,16E,18E,20R,21S)-11-cloro-21-hidroxi-2,5,9,16-tetrametil-12,20-dimetoxi-8,23-dioxo-4,24-dioxa-9,22-diazatetraciclo[19.3.1.1<sup>10,14</sup>.0<sup>3,5</sup>]hexacosano-10(26),11,13,16,18-pentaen-6-il]oxi]-1-oxopropan-2-il](metil)amino]-2-metil-5-oxopentan-2-il]disulfanil]butanoilo (*ravtansina*)

## Heavy chain/Chaîne lourde/Cadena pesada

EVQLVESGGG LVKPGGSLRL SCAASGFTYS NAWMSWRQRA PGKGLEWVGR 50  
 IKSRTDGGTT DYAAPVQGRF TISRDDSKNT LYLQMNLSKT EDTAVYYCTI 100  
 FGVVFDYWG QGTLVTVSSA STKGPSVFPFL APSKSTSGG TAALGCLVKD 150  
 YFPEFVTVSW NSGALTSGVH TFPVQLQSSG LYSLSVTVV PSSSLGTQTY 200  
 ICNVNHHKPSN TKVDKKEPK SCDRTHTCPP CPAPELLGGP SVFLFPPKPK 250  
 DTLMISRTE VTCVVVDVSH EDPEVKFNWY VDGVEVHNAK TKPREEQYNS 300  
 TYRVSVLTV LHQDNLNGKE YKCKVSNKAL PAPIEKTISK AKGQPREPQV 350  
 YTLPPSREEM TKNQVSLTCL VKGFYPSDIA VEWESNGQPE NNYKTTTTPVL 400  
 DSDGSEFFLYS KLTVDKSRWQ QGNVFSCSVM HEALHNYHTQ KSLSLSPGK 449

## Light chain/Chaîne légère/Cadena ligera

DVQMTQSPSS LSASVGRDVT ITCRAQSIS DYLSWYQRP GKAPNLLIYA 50  
 ASNLKTGVPV RFGSGSGSDT FTLTIISTLQP EDFATYYCQQ SYRSPWTFQG 100  
 GTKVEIKRTV AAPSVFIFPP SDEQLKSGTA SVVCLNNFY PREAKRVQWKV 150  
 DNALQSGNSQ ESVTEQDSKD STYLSLSTLT LSKADYEKHK VYACEVTHQG 200  
 LSSPVTKSFN RGECC

## Post-translational modifications

Disulfide bridges location / Position des ponts disulfure / Posiciones de los puentes disulfuro

Intra-H (C23-C104) 22-98 146-202 263-323 369-427  
 22"-98" 146"-202" 263"-323" 369"-427"

Intra-L (C23-C104) 23"-88" 134"-194"  
 23"-88" 134"-194"

Inter-H-L (h 5-CL 126) 222-214" 222"-214"

Inter-H-H (h 11, h 14) 228-228" 231-231"

N-glycosylation sites / Sites de N-glycosylation / Posiciones de N-glicosilación

H CH2 N84.4: 299, 299"

Fucosylated complex bi-antennary CHO-type glycans / glycanes de type CHO bi-antennaires complexes fucosylés / glicanos de tipo CHO biantenarijos complejos fucosilados

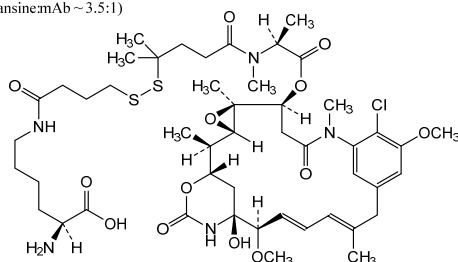
C-terminal lysine clipping / Coupure de la lysine C-terminale / Recorte de lisina C-terminal

H CHS K2: 449, 449"

Potential modified residues / résidus modifiés potentiels / restos modificados potenciales\*

K (Lys)

\*(ravtansinemAb ~3.5:1)



p.1029

*delete/supprimer/suprimáse*  
**onvitrelinum ucalontidum**  
 onvitrelin ucalontide  
 onvitréline ucalontide  
 onvitreлина ucalontida

*insert/insérer/insertese*  
**ucalolictidum**  
 ucalolictide  
 ucalolictide  
 ucalolictida

p.1056

**rizedisbenum**  
 rizedisben  
 rizedisbène  
 rizedisbén

*replace the chemical name by the following one*  
*remplacer le nom chimique par le suivant*  
*sustitúyase el nombre químico por el siguiente*

(4*E*,7*E*)-9<sup>4</sup>-amino-1<sup>4</sup>-(2-hydroxyethyl)-6<sup>3</sup>-methoxy-2 $\Lambda$ <sup>6</sup>-thia-1(1)-piperazina-3,6(1,4),9(1)-tribenzenanonaphane-4,7-diene-2,2-dione

(4*E*,7*E*)-9<sup>4</sup>-amino-1<sup>4</sup>-(2-hydroxyéthyl)-6<sup>3</sup>-méthoxy-2 $\Lambda$ <sup>6</sup>-thia-1(1)-pipérazina-3,6(1,4),9(1)-tribenzenanonaphane-4,7-diène-2,2-dione

(4*E*,7*E*)-9<sup>4</sup>-amino-1<sup>4</sup>-(2-hidroxietyl)-6<sup>3</sup>-metoxi-2 $\Lambda$ <sup>6</sup>-thia-1(1)-piperazina-3,6(1,4),9(1)-tribencenanonafano-4,7-dieno-2,2-diona

p.1110 **zelnecirnonum**

zelnecirnon *replace the chemical name by the following one*  
 zelnécirmon *remplacer le nom chimique par le suivant*  
 zelnecirnon *sustitúyase el nombre químico por el siguiente*

(1<sup>1r</sup>,1<sup>3R</sup>,2<sup>3R</sup>,6R)-4<sup>5</sup>,7<sup>2</sup>,7<sup>4</sup>-trichloro-4<sup>6</sup>,6-dimethyl-5-aza-4(2,4)-pyrimidina-2(1,3)-piperidina-3(3,1)-azetidina-7(1)-benzena-1(1)-cyclobutanaheptaphane-1<sup>3</sup>-carboxylic acid

acide (1<sup>1r</sup>,1<sup>3R</sup>,2<sup>3R</sup>,6R)-4<sup>5</sup>,7<sup>2</sup>,7<sup>4</sup>-trichloro-4<sup>6</sup>,6-diméthyl-5-aza-4(2,4)-pyrimidina-2(1,3)-pipéridina-3(3,1)-azétidina-7(1)-benzéna-1(1)-cyclobutanaheptaphane-1<sup>3</sup>-carboxylique

ácido (1<sup>1r</sup>,1<sup>3R</sup>,2<sup>3R</sup>,6R)-4<sup>5</sup>,7<sup>2</sup>,7<sup>4</sup>-triclóro-4<sup>6</sup>,6-dimetil-5-aza-4(2,4)-pirimidina-2(1,3)-piperidina-3(3,1)-azetidina-7(1)-bencena-1(1)-ciclobutanaheptafano-1<sup>3</sup>-carboxílico

p.1126- **nulabeglogenum autogedtemcelum #**

1128 nulabeglogén autogedtemcel *sustitúyase la descripción por la siguiente*

células madre y progenitoras hematopoyéticas (HSPCs) autólogas CD34+ obtenidas por aféresis de pacientes con anemia falciforme, modificadas genéticamente *ex vivo* mediante edición génica mediada por CRISPR/Cas9 (repeticiones palindrómicas cortas agrupadas y espaciadas regularmente /proteína asociada a CRISPR 9) consistente en un único RNA guía (sgRNA) dirigido al primer exón del gen de la β-globina humana (HBB) y usando un mecanismo de reparación dirigida por homología para corregir la mutación de ácido glutámico a valina en la posición 6 del gen HBB por medio de un vector de virus adenoasociado de serotipo 6 (AAV6) en el que la secuencia correctora se localiza entre dos brazos de homología en el HBB. Tras la modificación genética, cada célula puede tener una de seis combinaciones de alelos HBB (WT/WT, INDEL/WT, INDEL/INDEL, INDEL/HR, WT/HR, HR/HR, donde WT se refiere al alelo del tipo silvestre de la anemia falciforme, INDEL se refiere a un evento de inserción/delección, pero no corrección, del gen HBB, y HR se refiere a un alelo de HBB corregido). La substancia final consiste en células con ≥20% de los alelos corregidos de la mutación E6V, medido por la frecuencia de eventos de recombinación homóloga. La suspensión celular se enriquece en células CD34+ usando una separación con bolas magnéticas. La substancia consiste en células con el fenotipo CD45+ y CD34+, con ≥80% de pureza. La caracterización funcional de las células se basa en la capacidad de formar colonias eritroides y mieloides en medio semisólido basado en metilcelulosa

**Proposed International Nonproprietary Names (Prop. INN): List 128 - COVID-19 (special edition – ADDENDUM 2)**

**Dénominations communes internationales proposées (DCI Prop.): Liste 128 - COVID-19 (édition spéciale – ADDENDUM 2)**

**Denominaciones Comunes Internacionales Propuestas (DCI Prop.): Lista 128 - COVID-19 (edición especial – ADDENDUM 2)**

*(WHO Drug Information, Vol. 36, No. 4, 2022)*

p.1140 **mindeudesivirum**

mindeudesivir *replace the CAS RN by the following one*  
 mindeudésivir *remplacer le numéro de registre du CAS par le suivant*  
 mindeudesivir *sustitúyase el número del CAS por el siguiente*  
 2647442-33-7

**Proposed International Nonproprietary Names (Prop. INN): List 129**  
**Dénominations communes internationales proposées (DCI Prop.): Liste 129**  
**Denominaciones Comunes Internacionales Propuestas (DCI Prop.): Lista 129**  
*(WHO Drug Information, Vol. 37, No. 2, 2023)*

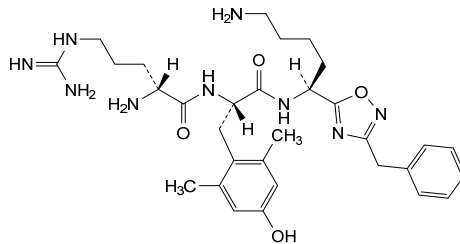
p.327 **bevemipretidum**  
 bevemipretide  
 bévémiprétide  
 bevemipretida

*replace the chemical name and structure by the following ones*  
*remplacer le nom chimique et la structure par les suivants*  
*sustitúyase el nombre químico y la estructura por los siguientes*

D-arginyl-**N**-[(1S)-5-amino-1-(3-benzyl-1,2,4-oxadiazol-5-yl)pentyl]-2,6-dimethyl-L-tyrosinamide

D-arginyl-**N**-[(1S)-5-amino-1-(3-benzyl-1,2,4-oxadiazol-5-yl)pentyl]-2,6-diméthyl-L-tyrosinamide

D-arginil-**N**-[(1S)-5-amino-1-(3-bencil-1,2,4-oxadiazol-5-il)pentil]-2,6-dimetil-L-tirosinamida



p.357-358 **efpegerglucagonum #**  
 efpegerglucagon  
 efépérglucagon  
 efpegerglucagón

*replace the structure by the following one*  
*remplacer la structure par la suivante*  
*sustitúyase la estructura por la siguiente*

Sequence / Séquence / Secuencia

IgG4Fc  
 PSCPAPEFLG GPSVFLFPPK PKDTLMISRT PEVTCVVVDV SQEDPEVQFN 50  
 WYVDGVEVHN AKTKPREEQF NSTYRVVSVL TVLHQDWLNG KEYKCKVSNK 100  
 GLPSSIEKTI SKAKQPREP QVYTLPPSQE EMTRKQVSLT CLVKGFPYPSD 150  
 IAVEWESNGQ PENNYKTTPP VLDSGDSFFL YSRLTVDKSR WQEGNVFSCS 200  
 VMHEALHNNHY TQKSLSLSLG K 221

glucagon

**Y**XQGTFTSDY SKYL**E**RR**A**K **E**EFVQWLMNT**C** 30

Mutation / Mutation / Mutación

glucagon: H1>**Y**", S2>Aib (**X**"), S16>**E**", Q20>**K**", D21>**E**", C30" added

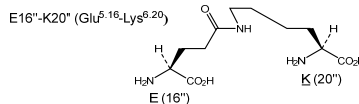
**Post-translational modifications**

Disulfide bridges location / Position des ponts disulfure / Posiciones de los puentes disulfuro

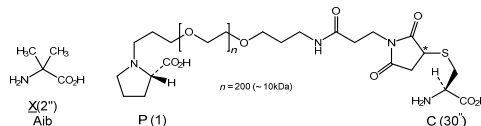
Intra-chain: 35-95, 141-199, 35'-95', 141'-199'

Inter-chain: 3-3'

Amide bridge location / Position du pont amide / Posición del puente amido



Modified residues / Résidus modifiés / Restos modificados



p.482 **troculeucelum**  
 troculeucel  
 troculeucel  
 troculeucel

*replace the description by the following one*  
*remplacer la description par la suivante*  
*sustitúyase la descripción por la siguiente*

**autologous** natural killer (NK) cells isolated from peripheral blood leukapheresis. The leukapheresis material is enriched for CD56+ cells by positive immunoselection and re-suspended in media containing fetal bovine serum (FBS), interleukin-2 (IL-2), and interleukin-21 (IL-21). The cells are initially cultured in media containing IL-2 and two different irradiated feeder cell lines and then cultured with IL-2 alone to induce cell expansion. The final cell population consists of CD3-CD56+ NK cells (≥80%), with highly expressed activating NK cell receptors [NKp30, NKp44 and NKp46, C-type lectin-like receptor (NKG2 family of receptors including NKG2C and NKG2D)], and other activating receptors such as CD16 and CD244. The cells also upregulate expression of perforin-1, granzyme, tumor necrosis factor alpha (TNF-α), interferon gamma (IFN-γ) and CD107a, and demonstrate cytotoxicity against K562 myeloid leukemia cells *in vitro* (≥50%)

cellules tueuses naturelles (NK) **autologues** isolées à partir de la leucaphérèse de sang périphérique. Le matériel de leucaphérèse est enrichi en cellules CD56+ par immunosélection positive et remis en suspension dans un milieu contenant du sérum bovin fœtal (FBS), de l'interleukine-2 (IL-2) et de l'interleukine-21 (IL-21). Les cellules sont d'abord cultivées dans un milieu contenant de l'IL-2 et deux lignées différentes de cellules nourricières irradiées, puis cultivées avec de l'IL-2 seule pour induire l'expansion cellulaire. La population cellulaire finale se compose de cellules NK CD3-CD56+ (≥80%), d'une forte expression de récepteurs activateurs des cellules NK [NKp30, NKp44 et NKp46, récepteur de type lectine C (famille des récepteurs NKG2 comprenant NKG2C et NKG2D)], et d'autres récepteurs activateurs tels que CD16 et CD244. Les cellules augmentent également l'expression de la perforine-1, de la granzyme, du facteur de nécrose tumorale alpha (TNF-α), de l'interféron gamma (IFN-γ) et du CD107a, et démontrent une cytotoxicité contre les cellules de leucémie myéloïde K562 *in vitro* (≥50%)

células NK **autólogas** aisladas de leucoaféresis de sangre periférica. El material de leucoaféresis se enriquece para células CD56+ mediante inmunoselección positiva y se resuspende en medio que contiene suero bovino fetal (FBS), interleuquina-2 (IL-2) e interleuquina-21 (IL-21). Las células se cultivan inicialmente en medio que contiene IL-2 y dos líneas celulares alimentadoras irradiadas diferentes, y después se cultivan sólo con IL-2 para inducir expansión. La población celular final consiste en células NK CD3-CD56+ (≥80%) con alta expresión de receptores activadores de NK [NKp30, NKp44 y NKp46, receptor similar a lectina tipo C (familia de receptores NKG2 incluyendo NKG2C y NKG2D)], y otros receptores activadores como CD16 y CD244. Las células también sobre regulan la expresión de perforina-1, granzima, factor de necrosis tumoral alfa (TNF-α), interferón gamma (IFN-γ) y CD107a, y demuestran citotoxicidad contra células de leucemia mielóide K562 *in vitro* (≥50%)



p.497 **vorbipiprantum**

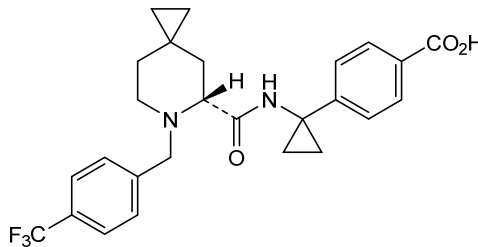
vorbipiprant *replace the chemical name, the CAS RN and structure by the following ones*  
 vorbipiprant *remplacer le nom chimique, le numéro de registre du CAS et la structure par les suivants*  
 vorbipiprant *sustitúyase el nombre químico, el número del CAS y la estructura por los siguientes*

~~rac~~-(5<sup>5</sup>R)-4-oxo-7<sup>4</sup>-trifluoromethyl-3,5<sup>6</sup>-diazia-1,7(1)-dibenzena-5(5,6)-spiro[2.5]octana-2(1,1)-cyclopropanaheptaphane-1<sup>4</sup>-carboxylic acid

acide ~~rac~~-(5<sup>5</sup>R)-4-oxo-7<sup>4</sup>-trifluorométhyl-3,5<sup>6</sup>-diazia-1,7(1)-dibenzéna-5(5,6)-spiro[2.5]octana-2(1,1)-cyclopropanaheptaphane-1<sup>4</sup>-carboxylique

ácido ~~rac~~-(5<sup>5</sup>R)-4-oxo-7<sup>4</sup>-trifluorometil-3,5<sup>6</sup>-diazia-1,7(1)-dibencena-5(5,6)-spiro[2.5]octana-2(1,1)-ciclopropanaheptafano-1<sup>4</sup>-carboxílico

2502965-92-4

p.519- **tegrenmeranum #**

520 tegrenmeran *replace the description by the following one*  
 tégrenmérán *remplacer la description par la suivante*  
 tegrenmerán *sustitúyase la descripción por la siguiente*

messenger RNA (mRNA), 5'-capped, encoding the codon-optimized receptor binding domain (RBD) of the severe acute respiratory syndrome coronavirus 2 (SARS-CoV-2) spike (S) glycoprotein (Omicron sub-lineages B.1.1.529.4 (BA.4) and B.1.1.529.5 (BA.5); based upon GISAID: EPI\_ISL\_12607996), with a cysteine to serine substitution at residue 233 (**corresponding to cys533 in the full-length spike glycoprotein**), expressed as a fusion protein with the S glycoprotein signal peptide derived from SARS-CoV-2 Wuhan-Hu 1 strain (GenBank: MN908947.3), flanked by 5' and 3' untranslated regions (UTRs) derived from the human  $\beta$ -globin gene and a 3' polyadenylation (polyA) tail; contains 5-methyluridine instead of uridine (*all-U*>5-Me-U) and 5-methylcytidine instead of cytidine (*all-C*>5-Me-C)

ARN messenger (ARNm), protégé d'une coiffe en 5', codant le domaine de liaison au récepteur (RBD) aux codons optimisés de la glycoprotéine de spicule (S) du coronavirus 2 du syndrome respiratoire aigu sévère (SARS-CoV-2) (sous-lignes Omicron B.1.1.529.4 (BA.4) et B.1.1.529.5 (BA.5); d'après GISAID: EPI\_ISL\_12607996), avec substitution de la cystéine 233 par la sérine (**correspondant à cys533 dans la glycoprotéine de spicule de pleine longueur**), exprimé sous la forme d'une protéine de fusion avec le peptide signal de la glycoprotéine S dérivée de la souche SARS-CoV-2 Wuhan-Hu 1 (GenBank: MN908947.3), flanquée des régions non traduites (UTR) en 5' et 3' dérivées du gène de la  $\beta$ -globine humaine et d'une queue de polyadénylation (polyA) en 3'; contient de la 5-méthyluridine en lieu de

'uridine (*tout-U*>5-Me-U) et de la 5-méthylcytidine en lieu de la cytidine (*tout-C*>5-Me-C)

ARN mensajero (ARNm), protegido en 5', que codifica, con codones optimizados, para el dominio de unión al receptor (RBD) de la glicoproteína de la espícula (S) del coronavirus 2 del síndrome respiratorio agudo severo (SARS-Cov-2) (sublinajes B.1.1.529.4 (BA.4) y B.1.1.529.5 (BA.5) de Omicron; basado en GISAID: EPI\_ISL\_12607996), con una substitución de la cisteína 233 a serina (**correspondiente a cys533 en la glicoproteína de la espícula de longitud completa**), expresado como una proteína de fusión con el péptido señal de la glicoproteína S derivada de la cepa Wuhan-Hu 1 de SARS-Cov-2 (GenBank: MN908947.3), flanqueado por regiones 5' y 3' no traducidas (UTRs) derivadas del gen de la  $\beta$ -globina humana y una cola poliadenilación (poliA) en 3'; contiene 5-metiluridina en lugar de uridina (*todo-U*>5-Me-U) y 5-metilcitosina en lugar de citidina (*todo-C*>5-Me-C)

p.545-  
546

### tarcoicimabum tedromerum #

tarcoicimab tedromer     *replace the structure by the following one*  
tarcoicimab tédomère     *remplacer la structure par la suivante*  
tarcoicimab tedrómero    *sustitúyase la estructura por la siguiente*

#### Heavy chain / Chaîne lourde / Cadena pesada

```
EVQLVESGGG LVQPGGSLRL SCAASGYDFT HYGMNWRVQA PGKGLEWVGW 50
INTYTGHEPTV AADFKRRFTF SLDTSKSTAY LQMNSLRAED TAVYYCAKYP 100
YYYGTSHWYF DWVGGQTLVT VSSASTKGPS VFPLAPSSKS TSGGTAALGC 150
LVKDYFFPEPV TVSWNSGALT SGVHTFFPAVL QSSGLYSLSS VVTVPSSSLG 200
TQTYYICNVNH KPSNTKVDKK VEPKSCDKTH TCPPCPAPEA AGAPSVFLFP 250
PKPKDTLMIS RTPEVTCVVV DVSHEDEPEVK FNWYVDGVEV HNAKTKPREE 300
QYNSTYRVVS VLTVLHQDWL NGKEYKCKVS NKALPAPIEK TISKARGQPR 350
EPQVYTLPPS REEMTKNQVS LTCLVKGFYP SDIAVEWESN GQPENNYKTT 400
PPVLDSDGSF FLYSKLTVDK SRWQQGNVFS CSVMHEALHN HTQKSLSCS 450
PKG 453
```

#### Light chain / Chaîne légère / Cadena ligera

```
DIQLTQSPSS LSASVGDRTV ITCSASQDIS NYLWNVYQQK GKAPKVLIIYF 50
TSSLHSGVPS RFGSGSGGTD FTLTISLLQP EDFATYICQQ YSTVPWTFGQ 100
GKVEIKRTV AAFSVFIFPP SDEQLKSGTA SVVCLLNNFY PREAKVQWKV 150
DNALQSGNSQ ESVTEQDSKD STYLSLSLT LSKADYKHK VYACEVTHQG 200
LSSPVTKSN RGEK 214
```

#### Post-translational modifications

Disulfide bridges location / Position des ponts disulfure / Posiciones de los puentes disulfuro

Intra-H (C23-C104) 22-96 150-206 267-327 373-431  
22"-96" 150"-206" 267"-327" 373"-431"

Intra-L (C23-C104) 23"-88" 134"-194"  
23""-88"" 134""-194""

Inter-H-L (h 5-CL 126) 226-214' 226"-214"

Inter-H-H (h 11, h 14) 232-232" 235-235"

N-glycosylation sites / Sites de N-glycosylation / Posiciones de N-glicosilación

H1CH2 N84.4: 303, 303"

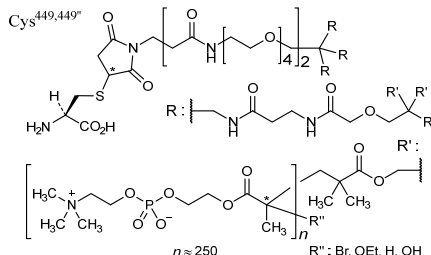
Fucosylated complex bi-antennary CHO-type glycans / glycanes de type CHO bi-antennaires complexes fucosylés / glicanos de tipo CHO biantennarios complejos fucosilados

C-terminal lysine clipping / Coupure de la lysine C-terminale / Recorte de lisina C-terminal

HCHS K2: 453, 453"

Conjugation sites / Sites de conjugation / Posiciones de conjugación:

HCH3 L123>C: 449, 449"



## ANNEX 1

**PROCEDURE FOR THE SELECTION OF RECOMMENDED INTERNATIONAL NONPROPRIETARY NAMES FOR PHARMACEUTICAL SUBSTANCES<sup>1</sup>**

The following procedure shall be followed by the World Health Organization (hereinafter also referred to as "WHO") in the selection of recommended international nonproprietary names for pharmaceutical substances, in accordance with resolution WHA3.11 of the World Health Assembly, and in the substitution of such names.

*Article 1* - Proposals for recommended international nonproprietary names and proposals for substitution of such names shall be submitted to WHO on the form provided therefore. The consideration of such proposals shall be subject to the payment of an administrative fee designed only to cover the corresponding costs of the Secretariat of WHO ("the Secretariat"). The amount of this fee shall be determined by the Secretariat and may, from time to time, be adjusted.

*Article 2* - Such proposals shall be submitted by the Secretariat to the members of the Expert Advisory Panel on the International Pharmacopoeia and Pharmaceutical Preparations designated for this purpose, such designated members hereinafter referred to as "the INN Expert Group", for consideration in accordance with the "General principles for guidance in devising International Nonproprietary Names for Pharmaceutical Substances", annexed to this procedure<sup>2</sup>. The name used by the person discovering or first developing and marketing a pharmaceutical substance shall be accepted, unless there are compelling reasons to the contrary.

*Article 3* - Subsequent to the examination provided for in article 2, the Secretariat shall give notice that a proposed international nonproprietary name is being considered.

a) Such notice shall be given by publication in *WHO Drug Information*<sup>3</sup> and by letter to Member States and to national and regional pharmacopoeia commissions or other bodies designated by Member States.

i) Notice shall also be sent to the person who submitted the proposal ("the original applicant") and other persons known to be concerned with a name under consideration.

b) Such notice shall:

i) set forth the name under consideration;

ii) identify the person who submitted the proposal for naming the substance, if so requested by such person;

iii) identify the substance for which a name is being considered;

iv) set forth the time within which comments and objections will be received and the person and place to whom they should be directed;

v) state the authority under which WHO is acting and refer to these rules of procedure.

c) In forwarding the notice, the Secretariat shall request that Member States take such steps as are necessary to prevent the acquisition of proprietary rights in the proposed name during the period it is under consideration by WHO.

*Article 4* - Comments on the proposed name may be forwarded by any person to WHO within four months of the date of publication, under article 3, of the name in *WHO Drug Information*.

---

<sup>1</sup> See Annex 1 in WHO Technical Report Series, No. 581, 1975. The original text was adopted by the Executive Board in resolution EB15.R7 and amended in resolutions EB43.R9 and EB115.R4.

<sup>2</sup> See Annex 2.

<sup>3</sup> Before 1987, lists of international nonproprietary names were published in the *Chronicle of the World Health Organization*.

*Article 5* - A formal objection to a proposed name may be filed by any interested person within four months of the date of publication, under article 3, of the name in *WHO Drug Information*.

Such objection shall:

- i) identify the person objecting;
- ii) state his or her interest in the name;
- iii) set forth the reasons for his or her objection to the name proposed.

*Article 6* - Where there is a formal objection under article 5, WHO may either reconsider the proposed name or use its good offices to attempt to obtain withdrawal of the objection. Without prejudice to the consideration by WHO of a substitute name or names, a name shall not be selected by WHO as a recommended international nonproprietary name while there exists a formal objection thereto filed under article 5 which has not been withdrawn.

*Article 7* - Where no objection has been filed under article 5, or all objections previously filed have been withdrawn, the Secretariat shall give notice in accordance with subsection (a) of article 3 that the name has been selected by WHO as a recommended international nonproprietary name.

*Article 8* - In forwarding a recommended international nonproprietary name to Member States under article 7, the Secretariat shall:

- a) request that it be recognized as the nonproprietary name for the substance; and
- b) request that Member States take such steps as are necessary to prevent the acquisition of proprietary rights in the name and to prohibit registration of the name as a trademark or trade name.

#### *Article 9*

a) In the extraordinary circumstance that a previously recommended international nonproprietary name gives rise to errors in medication, prescription or distribution, or a demonstrable risk thereof, because of similarity with another name in pharmaceutical and/or prescription practices, and it appears that such errors or potential errors cannot readily be resolved through other interventions than a possible substitution of a previously recommended international nonproprietary name, or in the event that a previously recommended international nonproprietary name differs substantially from the nonproprietary name approved in a significant number of Member States, or in other such extraordinary circumstances that justify a substitution of a recommended international nonproprietary name, proposals to that effect may be filed by any interested person. Such proposals shall be submitted on the form provided therefore and shall:

- i) identify the person making the proposal;
- ii) state his or her interest in the proposed substitution; and
- iii) set forth the reasons for the proposal; and
- iv) describe, and provide documentary evidence regarding the other interventions undertaken in an effort to resolve the situation, and the reasons why these other interventions were inadequate.

Such proposals may include a proposal for a new substitute international nonproprietary name, devised in accordance with the General principles, which takes into account the pharmaceutical substance for which the new substitute international nonproprietary name is being proposed.

The Secretariat shall forward a copy of the proposal, for consideration in accordance with the procedure described in subsection (b) below, to the INN Expert Group and the original applicant or its successor (if different from the person bringing the proposal for substitution and provided that the original applicant or its successor is known or can be found through diligent effort, including contacts with industry associations).

In addition, the Secretariat shall request comments on the proposal from:

- i) Member States and national and regional pharmacopoeia commissions or other bodies designated by Member States (by including a notice to that effect in the letter referred to in article 3(a), and
- ii) any other persons known to be concerned by the proposed substitution.

The request for comments shall:

- i) state the recommended international nonproprietary name that is being proposed for substitution (and the proposed substitute name, if provided);
- ii) identify the person who submitted the proposal for substitution (if so requested by such person);
- iii) identify the substance to which the proposed substitution relates and reasons put forward for substitution;
- iv) set forth the time within which comments will be received and the person and place to whom they should be directed; and
- v) state the authority under which WHO is acting and refer to these rules of procedure.

Comments on the proposed substitution may be forwarded by any person to WHO within four months of the date of the request for comments.

b) After the time period for comments referred to above has elapsed, the Secretariat shall forward any comments received to the INN Expert Group, the original applicant or its successor and the person bringing the proposal for substitution. If, after consideration of the proposal for substitution and the comments received, the INN Expert Group, the person bringing the proposal for substitution and the original applicant or its successor all agree that there is a need to substitute the previously recommended international nonproprietary name, the Secretariat shall submit the proposal for substitution to the INN Expert Group for further processing. Notwithstanding the foregoing, the original applicant or its successor shall not be entitled to withhold agreement to a proposal for substitution in the event the original applicant or its successor has no demonstrable continuing interest in the recommended international nonproprietary name proposed for substitution.

In the event that a proposal for substitution shall be submitted to the INN Expert Group for further processing, the INN Expert Group will select a new international nonproprietary name in accordance with the General principles referred to in article 2 and the procedure set forth in articles 3 to 8 inclusive. The notices to be given by the Secretariat under article 3 and article 7, respectively, including to the original applicant or its successor (if not the same as the person proposing the substitution, and provided that the original applicant or its successor is known or can be found through diligent effort, including contacts with industry associations), shall in such event indicate that the new name is a substitute for a previously recommended international nonproprietary name and that Member States may wish to make transitional arrangements in order to accommodate existing products that use the previously recommended international nonproprietary name on their label in accordance with national legislation.

If, after consideration of the proposal for substitution and the comments received in accordance with the procedure described above, the INN Expert Group, the original applicant or its successor and the person bringing the proposal for substitution do not agree that there are compelling reasons for substitution of a previously recommended international nonproprietary name, this name shall be retained (provided always that the original applicant or its successor shall not be entitled to withhold agreement to a proposal for substitution in the event that the original applicant or its successor has no demonstrable continuing interest in the recommended international nonproprietary name proposed to be substituted). In such an event, the Secretariat shall advise the person having proposed the substitution, as well as the original applicant or its

successor (if not the same as the person proposing the substitution, and provided that the original applicant or its successor is known or can be found through diligent effort, including contacts with industry associations), Member States, national and regional pharmacopoeia commissions, other bodies designated by Member States, and any other persons known to be concerned by the proposed substitution that, despite a proposal for substitution, it has been decided to retain the previously recommended international nonproprietary name (with a description of the reason(s) why the proposal for substitution was not considered sufficiently compelling).

## ANNEX 2

### GENERAL PRINCIPLES FOR GUIDANCE IN DEVISING INTERNATIONAL NONPROPRIETARY NAMES FOR PHARMACEUTICAL SUBSTANCES<sup>1</sup>

1. International Nonproprietary Names (INN) should be distinctive in sound and spelling. They should not be inconveniently long and should not be liable to confusion with names in common use.

2. The INN for a substance belonging to a group of pharmacologically related substances should, where appropriate, show this relationship. Names that are likely to convey to a patient an anatomical, physiological, pathological or therapeutic suggestion should be avoided.

*These primary principles are to be implemented by using the following secondary principles:*

3. In devising the INN of the first substance in a new pharmacological group, consideration should be given to the possibility of devising suitable INN for related substances, belonging to the new group.

4. In devising INN for acids, one-word names are preferred; their salts should be named without modifying the acid name, e.g. "oxacillin" and "oxacillin sodium", "ibufenac" and "ibufenac sodium".

5. INN for substances which are used as salts should in general apply to the active base or the active acid. Names for different salts or esters of the same active substance should differ only in respect of the name of the inactive acid or the inactive base.

For quaternary ammonium substances, the cation and anion should be named appropriately as separate components of a quaternary substance and not in the amine-salt style.

6. The use of an isolated letter or number should be avoided; hyphenated construction is also undesirable.

7. To facilitate the translation and pronunciation of INN, "f" should be used instead of "ph", "t" instead of "th", "e" instead of "ae" or "oe", and "i" instead of "y"; the use of the letters "h" and "k" should be avoided.

8. Provided that the names suggested are in accordance with these principles, names proposed by the person discovering or first developing and marketing a pharmaceutical preparation, or names already officially in use in any country, should receive preferential consideration.

9. Group relationship in INN (see General principle 2) should if possible be shown by using a common stem. The following list contains examples of stems for groups of substances, particularly for new groups. There are many other stems in active use.<sup>2</sup> Where a stem is shown without any hyphens it may be used anywhere in the name.

---

<sup>1</sup> In its Twentieth report (WHO Technical Report Series, No. 581, 1975), the WHO Expert committee on Nonproprietary Names for Pharmaceutical Substances reviewed the general principles for devising, and the procedures for selecting, INN in the light of developments in pharmaceutical compounds in recent years. The most significant change has been the extension to the naming of synthetic chemical substances of the practice previously used for substances originating in or derived from natural products. This practice involves the use of a characteristic "stem" indicative of a common property of the members of a group. The reason for, and the implications of, the change are fully discussed.

The guiding principles were updated during the 13<sup>th</sup> consultation on nonproprietary names for pharmaceutical substances (Geneva, 27-29 April 1983) (PHARM S/NOM 928 13 May 1983, revised 18 August 1983).

<sup>2</sup> A more extensive listing of stems is contained in the working document WHO/EMP/RHT/TSN/2018.1 which is regularly updated and can be requested from the INN Programme, WHO, Geneva.

<b>Latin</b>	<b>English</b>	
-acum	-ac	anti-inflammatory agents, ibufenac derivatives
-adolum	-adol }	analgesics
-adol-	-adol-}	
-astum	-ast	antiasthmatic, antiallergic substances not acting primarily as antihistaminics
-astinum	-astine	antihistaminics
-azepamum	-azepam	diazepam derivatives
bol	bol	steroids, anabolic
-cain-	-cain-	class I antiarrhythmics, procainamide and lidocaine derivatives
-cainum	-caine	local anaesthetics
cef-	cef-	antibiotics, cephalosporanic acid derivatives
-cillinum	-cillin	antibiotics, 6-aminopenicillanic acid derivatives
-conazolom	-conazole	systemic antifungal agents, miconazole derivatives
cort	cort	corticosteroids, except prednisolone derivatives
-coxibum	-coxib	selective cyclo-oxygenase inhibitors
-entanum	-entan	endothelin receptor antagonists
gab	gab	gabamimetic agents
gado-	gado-	diagnostic agents, gadolinium derivatives
-gatrnam	-gatrnam	thrombin inhibitors, antithrombotic agents
gest	gest	steroids, progestogens
gli	gli	antihyperglycaemics
io-	io-	iodine-containing contrast media
-metacinum	-metacin	anti-inflammatory, indometacin derivatives
-mycinum	-mycin	antibiotics, produced by <i>Streptomyces</i> strains
-nidazolom	-nidazole	antiprotozoal substances, metronidazole derivatives
-ololum	-olol	β-adrenoreceptor antagonists
-oxacinum	-oxacin	antibacterial agents, nalidixic acid derivatives
-platinum	-platin	antineoplastic agents, platinum derivatives
-poetinum	-poetin	erythropoietin type blood factors
-pril(at)um	-pril(at)	angiotensin-converting enzyme inhibitors
-profenum	-profen	anti-inflammatory substances, ibuprofen derivatives
prost	prost	prostaglandins
-relinum	-relin	pituitary hormone release-stimulating peptides
-sartanum	-sartan	angiotensin II receptor antagonists, antihypertensive (non-peptidic)
-vaptanum	-vaptan	vasopressin receptor antagonists
vin-	vin- }	vinca-type alkaloids
-vin-	-vin-}	

## ANNEXE 1

## PROCEDURE A SUIVRE EN VUE DU CHOIX DE DENOMINATIONS COMMUNES INTERNATIONALES RECOMMANDEES POUR LES SUBSTANCES PHARMACEUTIQUES<sup>1</sup>

L'Organisation mondiale de la Santé (également désignée ci-après sous l'appellation « OMS ») observe la procédure exposée ci-dessous pour l'attribution de dénominations communes internationales recommandées pour les substances pharmaceutiques, conformément à la résolution WHA3.11 de l'Assemblée mondiale de la Santé, et pour le remplacement de telles dénominations.

*Article 1* - Les propositions de dénominations communes internationales recommandées et les propositions de remplacement de telles dénominations sont soumises à l'OMS sur la formule prévue à cet effet. L'examen de telles propositions est soumis au paiement d'une taxe administrative destinée uniquement à couvrir les coûts correspondants assumés par le Secrétariat de l'OMS (« le Secrétariat »). Le montant de cette taxe est déterminé par le Secrétariat et peut être modifié de temps à autre.

<sup>1</sup> Voir annexe 1 dans OMS, Série de Rapports techniques, N° 581, 1975. Le texte original a été adopté par le Conseil exécutif dans sa résolution EB15.R7 et amendé dans ses résolutions EB43.R9 et EB115.R4.

**Article 2** - Ces propositions sont soumises par le Secrétariat aux experts désignés à cette fin parmi les personnalités inscrites au Tableau d'experts de la Pharmacopée internationale et des Préparations pharmaceutiques, ci-après désignés sous l'appellation « le Groupe d'experts des DCI » ; elles sont examinées par les experts conformément aux « Directives générales pour la formation de dénominations communes internationales pour les substances pharmaceutiques » reproduites ci-après<sup>1</sup>. La dénomination acceptée est la dénomination employée par la personne qui découvre ou qui, la première, fabrique et lance sur le marché une substance pharmaceutique, à moins que des raisons majeures n'obligent à s'écarter de cette règle.

**Article 3** - Après l'examen prévu à l'article 2, le Secrétariat notifie qu'un projet de dénomination commune internationale est à l'étude.

a) Cette notification est faite par une insertion dans *WHO Drug Information*<sup>2</sup> et par l'envoi d'une lettre aux Etats Membres et aux commissions nationales et régionales de pharmacopée ou autres organismes désignés par les Etats Membres.

i) Notification est également faite à la personne qui a soumis la proposition (« le demandeur initial ») et à d'autres personnes portant à la dénomination mise à l'étude un intérêt notoire.

b) Cette notification contient les indications suivantes :

i) dénomination mise à l'étude;

ii) nom de l'auteur de la proposition tendant à attribuer une dénomination à la substance, si cette personne le demande ;

iii) définition de la substance dont la dénomination est mise à l'étude ;

iv) délai pendant lequel seront reçues les observations et les objections à l'égard de cette dénomination ; nom et adresse de la personne habilitée à recevoir ces observations et objections ;

v) mention des pouvoirs en vertu desquels agit l'OMS et référence au présent règlement.

c) En envoyant cette notification, le Secrétariat demande aux Etats Membres de prendre les mesures nécessaires pour prévenir l'acquisition de droits de propriété sur la dénomination proposée pendant la période au cours de laquelle cette dénomination est mise à l'étude par l'OMS.

**Article 4** - Des observations sur la dénomination proposée peuvent être adressées à l'OMS par toute personne, dans les quatre mois qui suivent la date de publication de la dénomination dans *WHO Drug Information* (voir l'article 3).

**Article 5** - Toute personne intéressée peut formuler une objection formelle contre la dénomination proposée dans les quatre mois qui suivent la date de publication de la dénomination dans *WHO Drug Information* (voir l'article 3).

Cette objection doit s'accompagner des indications suivantes :

i) nom de l'auteur de l'objection ;

ii) intérêt qu'il ou elle porte à la dénomination en cause ;

iii) raisons motivant l'objection contre la dénomination proposée.

**Article 6** - Lorsqu'une objection formelle est formulée en vertu de l'article 5, l'OMS peut soit soumettre la dénomination proposée à un nouvel examen, soit intervenir pour tenter d'obtenir le retrait de l'objection. Sans préjudice de l'examen par l'OMS d'une ou de plusieurs appellations de

<sup>1</sup> Voir annexe 2.

<sup>2</sup> Avant 1987, les listes de dénominations communes internationales étaient publiées dans la *Chronique de l'Organisation mondiale de la Santé*.



remplacement, l'OMS n'adopte pas d'appellation comme dénomination commune internationale recommandée tant qu'une objection formelle présentée conformément à l'article 5 n'est pas levée.

*Article 7* - Lorsqu'il n'est formulé aucune objection en vertu de l'article 5, ou que toutes les objections présentées ont été levées, le Secrétariat fait une notification conformément aux dispositions du paragraphe a) de l'article 3, en indiquant que la dénomination a été choisie par l'OMS en tant que dénomination commune internationale recommandée.

*Article 8* - En communiquant aux Etats Membres, conformément à l'article 7, une dénomination commune internationale recommandée, le Secrétariat :

- a) demande que cette dénomination soit reconnue comme dénomination commune de la substance considérée ; et
- b) demande aux Etats Membres de prendre les mesures nécessaires pour prévenir l'acquisition de droits de propriété sur cette dénomination et interdire le dépôt de cette dénomination comme marque ou appellation commerciale.

*Article 9* -

a) Dans le cas exceptionnel où une dénomination commune internationale déjà recommandée donne lieu à des erreurs de médication, de prescription ou de distribution ou en comporte un risque démontrable, en raison d'une similitude avec une autre appellation dans la pratique pharmaceutique et/ou de prescription, et où il apparaît que ces erreurs ou ces risques d'erreur ne peuvent être facilement évités par d'autres interventions que le remplacement éventuel d'une dénomination commune internationale déjà recommandée, ou dans le cas où une dénomination commune internationale déjà recommandée diffère sensiblement de la dénomination commune approuvée dans un nombre important d'Etats Membres, ou dans d'autres circonstances exceptionnelles qui justifient le remplacement d'une dénomination commune internationale recommandée, toute personne intéressée peut formuler une proposition dans ce sens. Cette proposition est présentée sur la formule prévue à cet effet et doit s'accompagner des indications suivantes :

- i) nom de l'auteur de la proposition ;
- ii) intérêt qu'il ou elle porte au remplacement proposé ;
- iii) raisons motivant la proposition ; et
- iv) description, faits à l'appui, des autres interventions entreprises pour tenter de régler le problème et exposé des raisons pour lesquelles ces interventions ont échoué.

Les propositions peuvent comprendre une proposition de nouvelle dénomination commune internationale de remplacement, établie conformément aux Directives générales, compte tenu de la substance pharmaceutique pour laquelle la nouvelle dénomination commune internationale de remplacement est proposée.

Le Secrétariat transmet une copie de la proposition pour examen, conformément à la procédure exposée plus loin au paragraphe b), au Groupe d'experts des DCI et au demandeur initial ou à son successeur (s'il s'agit d'une personne différente de celle qui a formulé la proposition de remplacement et pour autant que le demandeur initial ou son successeur soit connu ou puisse être retrouvé moyennant des efforts diligents, notamment des contacts avec les associations industrielles).

De plus, le Secrétariat demande aux entités et personnes ci-après de formuler des observations sur la proposition :

- i) les Etats Membres et les commissions nationales et régionales de pharmacopée ou d'autres organismes désignés par les Etats Membres (en insérant une note à cet effet dans la lettre mentionnée à l'article 3.a), et
- ii) toutes autres personnes portant au remplacement proposé un intérêt notoire.

La demande d'observations contient les indications suivantes :

i) dénomination commune internationale recommandée pour laquelle un remplacement est proposé (et la dénomination de remplacement proposée, si elle est fournie) ;

ii) nom de l'auteur de la proposition de remplacement (si cette personne le demande) ;

iii) définition de la substance faisant l'objet du remplacement proposé et raisons avancées pour le remplacement ;

iv) délai pendant lequel seront reçus les commentaires et nom et adresse de la personne habilitée à recevoir ces commentaires ; et

v) mention des pouvoirs en vertu desquels agit l'OMS et référence au présent règlement.

Des observations sur la proposition de remplacement peuvent être communiquées par toute personne à l'OMS dans les quatre mois qui suivent la date de la demande d'observations.

b) Une fois échu le délai prévu ci-dessus pour la communication d'observations, le Secrétariat transmet les observations reçues au Groupe d'experts des DCI, au demandeur initial ou à son successeur et à l'auteur de la proposition de remplacement. Si, après avoir examiné la proposition de remplacement et les observations reçues, le Groupe d'experts des DCI, l'auteur de la proposition de remplacement et le demandeur initial ou son successeur reconnaissent tous qu'il est nécessaire de remplacer la dénomination commune internationale déjà recommandée, le Secrétariat soumet la proposition de remplacement au Groupe d'experts des DCI pour qu'il y donne suite.

Nonobstant ce qui précède, le demandeur initial ou son successeur n'est pas habilité à refuser son accord à une proposition de remplacement au cas où il ne peut être démontré qu'il porte un intérêt durable à la dénomination commune internationale recommandée qu'il est proposé de remplacer.

Dans le cas où une proposition de remplacement est soumise au Groupe d'experts des DCI pour qu'il y donne suite, le Groupe choisit une nouvelle dénomination commune internationale conformément aux Directives générales mentionnées à l'article 2 et selon la procédure décrite dans les articles 3 à 8 inclus. La notification faite par le Secrétariat en vertu de l'article 3 et de l'article 7, respectivement, y compris au demandeur initial ou à son successeur (si ce n'est pas la même personne que celle qui a proposé le remplacement et pour autant que le demandeur initial ou son successeur soit connu ou puisse être retrouvé moyennant des efforts diligents, notamment des contacts avec les associations industrielles), doit dans un tel cas indiquer que la nouvelle dénomination remplace une dénomination commune internationale déjà recommandée et que les Etats Membres peuvent souhaiter prendre des mesures transitoires pour les produits existants qui utilisent la dénomination commune internationale déjà recommandée sur leur étiquette conformément à la législation nationale.

Si, après examen de la proposition de remplacement et des observations communiquées conformément à la procédure exposée plus haut, le Groupe d'experts des DCI, le demandeur initial ou son successeur et l'auteur de la proposition de remplacement ne s'accordent pas sur le fait qu'il y a des raisons impératives de remplacer une dénomination commune internationale déjà recommandée, cette dernière est conservée (étant entendu toujours que le demandeur initial ou son successeur n'est pas habilité à refuser son accord à une proposition de remplacement au cas où il ne peut être démontré qu'il porte un intérêt durable à la dénomination commune internationale recommandée qu'il est proposé de remplacer). Dans un tel cas, le Secrétariat informe l'auteur de la proposition de remplacement, ainsi que le demandeur initial ou son successeur (s'il s'agit d'une personne différente de celle qui a formulé la proposition de remplacement et pour autant que le demandeur initial ou son successeur soit connu ou puisse être retrouvé moyennant des efforts diligents, notamment des contacts avec les associations industrielles), les Etats Membres, les commissions nationales et régionales de pharmacopée, les autres organismes désignés par les Etats Membres et toutes autres personnes portant un intérêt notoire au remplacement proposé que, malgré une proposition de remplacement, il a été décidé de conserver la dénomination commune internationale déjà recommandée (avec une brève description de la ou des raisons pour lesquelles la proposition de remplacement n'a pas été jugée suffisamment impérative).

## ANNEXE 2

## DIRECTIVES GENERALES POUR LA FORMATION DE DENOMINATIONS COMMUNES INTERNATIONALES APPLICABLES AUX SUBSTANCES PHARMACEUTIQUES<sup>1</sup>

1. Les dénominations communes internationales (DCI) devront se distinguer les unes des autres par leur consonance et leur orthographe. Elles ne devront pas être d'une longueur excessive, ni prêter à confusion avec des appellations déjà couramment employées.
  2. La DCI de chaque substance devra, si possible, indiquer sa parenté pharmacologique. Les dénominations susceptibles d'évoquer pour les malades des considérations anatomiques, physiologiques, pathologiques ou thérapeutiques devront être évitées dans la mesure du possible.
- Outre ces deux principes fondamentaux, on respectera les principes secondaires suivants :*
3. Lorsqu'on formera la DCI de la première substance d'un nouveau groupe pharmacologique, on tiendra compte de la possibilité de former ultérieurement d'autres DCI appropriées pour les substances apparentées du même groupe.
  4. Pour former des DCI des acides, on utilisera de préférence un seul mot. Leurs sels devront être désignés par un terme qui ne modifie pas le nom de l'acide d'origine : par exemple «oxacilline» et «oxacilline sodique», «ibufénac» et «ibufénac sodique».
  5. Les DCI pour les substances utilisées sous forme de sels devront en général s'appliquer à la base active (ou à l'acide actif). Les dénominations pour différents sels ou esters d'une même substance active ne différeront que par le nom de l'acide inactif (ou de la base inactif). En ce qui concerne les substances à base d'ammonium quaternaire, la dénomination s'appliquera de façon appropriée au cation et à l'anion en tant qu'éléments distincts d'une substance quaternaire. On évitera de choisir une désignation évoquant un sel aminé.
  6. On évitera d'ajouter une lettre ou un chiffre isolé ; en outre, on renoncera de préférence au trait d'union.
  7. Pour simplifier la traduction et la prononciation des DCI, la lettre « f » sera utilisée à la place de « ph », « t » à la place de « th », « e » à la place de « ae » ou « oe », et « i » à la place de « y » ; l'usage des lettres « h » et « k » sera aussi évité.
  8. On retiendra de préférence, pour autant qu'elles respectent les principes énoncés ici, les dénominations proposées par les personnes qui ont découvert ou qui, les premières, ont fabriqué et lancé sur le marché les préparations pharmaceutiques considérées, ou les dénominations déjà officiellement adoptées par un pays.
  9. La parenté entre substances d'un même groupe (voir Directive générale 2) sera si possible indiquée dans les DCI par l'emploi de segments-clés communs. La liste ci-après contient des exemples de segments-clés pour des groupes de substances, surtout pour des groupes récents. Il y a beaucoup d'autres segments-clés en utilisation active.<sup>2</sup> Les segments-clés indiqués sans trait d'union pourront être insérés n'importe où dans une dénomination.

<sup>1</sup> Dans son vingtième rapport (OMS, Série de Rapports techniques, N° 581, 1975), le Comité OMS d'experts des Dénominations communes pour les Substances pharmaceutiques a examiné les directives générales pour la formation des dénominations communes internationales et la procédure à suivre en vue de leur choix, compte tenu de l'évolution du secteur pharmaceutique au cours des dernières années. La modification la plus importante a été l'extension aux substances de synthèse de la pratique normalement suivie pour désigner les substances tirées ou dérivées de produits naturels. Cette pratique consiste à employer des syllabes communes ou groupes de syllabes communes (segments-clés) qui sont caractéristiques et indiquent une propriété commune aux membres du groupe des substances pour lequel ces segments-clés ont été retenus. Les raisons et les conséquences de cette modification ont fait l'objet de discussions approfondies.

Les directives ont été mises à jour lors de la treizième consultation sur les dénominations communes pour les substances pharmaceutiques (Genève, 27-29 avril 1983) (PHARM S/NOM 928, 13 mai 1983, révision en date du 18 août 1983).

<sup>2</sup> Une liste plus complète de segments-clés est contenue dans le document de travail WHO/EMP/RHT/TSN/2018.1 qui est régulièrement mis à jour et qui peut être demandé auprès du programme des DCI, OMS, Genève

Latin	Français	
-acum	-ac	substances anti-inflammatoires du groupe de l'ibufénac analgésiques
-adolum	-adol	
-adol-	-adol-	
-astum	-ast	antiasthmatiques, antiallergiques n'agissant pas principalement en tant qu'antihistaminiques
-astinum	-astine	antihistaminiques
-azepamum	-azépam	substances du groupe du diazépam
bol	bol	stéroïdes anabolisants
-caïn-	-caïn-	antiarythmiques de classe I, dérivés du procaïnamide et de la lidocaïne
-caïnum	-caïne	anesthésiques locaux
cef-	céf-	antibiotiques, dérivés de l'acide céphalosporanique
-cillinum	-cilline	antibiotiques, dérivés de l'acide 6-aminopénicillanique
-conazolium	-conazole	agents antifongiques systémiques du groupe du miconazole
cort	cort	corticostéroïdes, autres que les dérivés de la prednisolone
-coxibum	-coxib	inhibiteurs sélectifs de la cyclo-oxygénase
-entanum	-entan	antagonistes du récepteur de l'endothéline
gab	gab	gabamimétiques
gado-	gado-	agents diagnostiques, dérivés du gadolinium
-gatranum	-gatran	antithrombines, antithrombotiques
gest	gest	stéroïdes progestogènes
gli	gli	antihyperglycémiants
io-	io-	produits de contraste iodés
-metacinum	-métacine	substances anti-inflammatoires du groupe de l'indométacine
-mycinum	-mycine	antibiotiques produits par des souches de <i>Streptomyces</i>
-nidazolium	-nidazole	substances antiprotozoaires du groupe du métronidazole
-ololum	-olol	antagonistes des récepteurs β-adrénergiques
-oxacinum	-oxacine	substances antibactériennes du groupe de l'acide nalidixique
-platinum	-platine	antineoplasiques, dérivés du platine
-poetinum	-poétine	facteurs sanguins de type érythropoïétine
-pril(at)um	-pril(ate)	inhibiteurs de l'enzyme de conversion de l'angiotensine
-profenum	-profène	substances anti-inflammatoires du groupe de l'ibuprofène
prost	prost	prostaglandines
-relinum	-réline	peptides stimulant la libération d'hormones hypophysaires
-sartanum	-sartan	antagonistes d'un récepteur de l'angiotensine II, antihypertenseurs (non peptidiques)
-vaptanum	-vaptan	antagonistes du récepteur de la vasopressine
vin-	vin-	alcaloïdes du type vinca
-vin-	-vin-	

## ANEXO 1

**PROCEDIMIENTO DE SELECCIÓN DE DENOMINACIONES  
COMUNES INTERNACIONALES RECOMENDADAS PARA  
SUSTANCIAS FARMACÉUTICAS<sup>1</sup>**

La Organización Mundial de la Salud (OMS) seguirá el procedimiento que se expone a continuación tanto para seleccionar denominaciones comunes internacionales recomendadas para las sustancias farmacéuticas, de conformidad con lo dispuesto en la resolución WHA3.11, como para sustituir esas denominaciones.

*Artículo 1* - Las propuestas de denominaciones comunes internacionales recomendadas y las propuestas de sustitución de esas denominaciones se presentarán a la OMS en los formularios que se proporcionen a estos efectos. El estudio de estas propuestas estará sujeto al pago de una tasa destinada a sufragar los costos de administración que ello suponga para la Secretaría de la OMS («la Secretaría»). La Secretaría establecerá la cuantía de esa tasa y podrá ajustarla periódicamente.

*Artículo 2* - Estas propuestas serán sometidas por la Secretaría a los miembros del Cuadro de Expertos en Farmacopea Internacional y Preparaciones Farmacéuticas encargados de su estudio, en adelante designados como «el Grupo de Expertos en DCI», para que las examinen de conformidad con los «Principios generales de orientación para formar denominaciones comunes internacionales para sustancias farmacéuticas», anexos a este procedimiento.<sup>2</sup> A menos que haya poderosas razones en contra, la denominación aceptada será la empleada por la persona que haya descubierto o fabricado y comercializado por primera vez esa sustancia farmacéutica.

*Artículo 3* - Tras el examen al que se refiere el artículo 2, la Secretaría notificará que está en estudio un proyecto de denominación internacional.

a) Esa notificación se hará mediante una publicación en *Información Farmacéutica OMS*<sup>3</sup> y el envío de una carta a los Estados Miembros y a las comisiones nacionales y regionales de las farmacopeas u otros organismos designados por los Estados Miembros.

i) La notificación será enviada también a la persona que haya presentado la propuesta («el solicitante inicial») y a otras personas que tengan un interés especial en una denominación objeto de estudio.

b) En esa notificación se incluirán los siguientes datos:

i) la denominación sometida a estudio;

ii) la identidad de la persona que ha presentado la propuesta de denominación de la sustancia, si lo pide esa persona;

iii) la identidad de la sustancia cuya denominación está en estudio;

iv) el plazo fijado para recibir observaciones y objeciones, así como el nombre y la dirección de la persona a quien deban dirigirse; y

v) los poderes conferidos para el caso a la OMS y una referencia al presente procedimiento.

---

<sup>1</sup> Véase el anexo 1 en OMS, Serie de Informes Técnicos, N° 581, 1975. El texto vigente fue adoptado por el Consejo Ejecutivo en su resolución EB15.R7 y modificado en las resoluciones EB43.R9 y EB115.R4..

<sup>2</sup> Véase el anexo 2.

<sup>3</sup> Hasta 1987 las listas de DCI se publicaban en la *Crónica de la Organización Mundial de la Salud*.

c) Al enviar esa notificación, la Secretaría solicitará de los Estados Miembros la adopción de todas las medidas necesarias para impedir la adquisición de derechos de patente sobre la denominación propuesta, durante el periodo en que la OMS la tenga en estudio.

*Artículo 4* - Toda persona puede formular a la OMS observaciones sobre la denominación propuesta dentro de los cuatro meses siguientes a su publicación en *Información Farmacéutica OMS*, conforme a lo dispuesto en el artículo 3.

*Artículo 5* - Toda persona interesada puede presentar una objeción formal a una denominación propuesta dentro de los cuatro meses siguientes a su publicación en *Información Farmacéutica OMS*, conforme a lo dispuesto en el artículo 3.

Esa objeción deberá acompañarse de los siguientes datos:

- i) la identidad de la persona que formula la objeción;
- ii) las causas que motivan su interés por la denominación; y
- iii) las causas que motivan su objeción a la denominación propuesta.

*Artículo 6* - Cuando se haya presentado una objeción formal en la forma prevista en el artículo 5, la OMS podrá reconsiderar el nombre propuesto o utilizar sus buenos oficios para intentar lograr que se retire la objeción. La OMS no seleccionará como denominación común internacional una denominación a la que se haya hecho una objeción formal, presentada según lo previsto en el artículo 5, que no haya sido retirada, todo ello sin perjuicio de que la Organización examine otra denominación o denominaciones sustitutivas.

*Artículo 7* - Cuando no se haya formulado ninguna objeción en la forma prevista en el artículo 5, o cuando todas las objeciones presentadas hayan sido retiradas, la Secretaría notificará, conforme a lo dispuesto en el párrafo a) del artículo 3, que la denominación ha sido seleccionada por la OMS como denominación común internacional recomendada.

*Artículo 8* - Al comunicar a los Estados Miembros una denominación común internacional, conforme a lo previsto en el artículo 7, la Secretaría:

a) solicitará que esta denominación sea reconocida como denominación común para la sustancia de que se trate; y

b) solicitará a los Estados Miembros que adopten todas las medidas necesarias para impedir la adquisición de derechos de patente sobre la denominación, y prohíban que sea registrada como marca de fábrica o como nombre comercial.

*Artículo 9*

a) En el caso excepcional de que, debido a su semejanza con otra denominación utilizada en las prácticas farmacéuticas y/o de prescripción, una denominación común internacional recomendada anteriormente ocasione errores de medicación, prescripción o distribución, o suponga un riesgo manifiesto de que esto ocurra, y parezca que tales errores o potenciales errores no sean fácilmente subsanables con otras medidas que no sean la posible sustitución de esa denominación común internacional recomendada anteriormente; en el caso de que una denominación común internacional recomendada anteriormente difiera considerablemente de la denominación común aprobada en un número importante de Estados Miembros, o en otras circunstancias excepcionales que justifiquen el cambio de una denominación común internacional recomendada, cualquier persona interesada puede presentar propuestas en este sentido. Esas propuestas se presentarán en los formularios que se proporcionen a estos efectos e incluirán los siguientes datos:

- i) la identidad de la persona que presenta la propuesta;
- ii) las causas que motivan su interés en la sustitución propuesta;
- iii) las causas que motivan la propuesta; y

iv) una descripción, acompañada de pruebas documentales, de las otras medidas que se hayan adoptado con el fin de resolver la situación y de los motivos por los cuales dichas medidas no han sido suficientes.

Entre esas propuestas podrá figurar una relativa a una nueva denominación común internacional sustitutiva, formulada con arreglo a los Principios generales y que tenga en cuenta la sustancia farmacéutica para la que se proponga la nueva denominación común internacional sustitutiva.

La Secretaría enviará al Grupo de Expertos en DCI y al solicitante inicial o a su sucesor (en el caso de que sea una persona diferente de la que ha presentado la propuesta de sustitución y siempre que el solicitante inicial o su sucesor sean conocidos o puedan ser encontrados mediante esfuerzos diligentes, como el contacto con las asociaciones industriales) una copia de la propuesta, para que sea examinada de conformidad con el procedimiento descrito en el párrafo *b) infra*.

Además, la Secretaría solicitará observaciones sobre la propuesta:

i) a los Estados Miembros y a las comisiones nacionales y regionales de las farmacopeas u otros organismos designados por los Estados Miembros (ello se hará incluyendo una notificación a tal efecto en la carta a la que se refiere el párrafo a) del artículo 3), y

ii) a cualquier persona que tenga un interés especial en la sustitución propuesta.

Al solicitar que se formulen estas observaciones se facilitarán los siguientes datos:

i) la denominación común internacional recomendada que se propone sustituir (y la denominación sustitutiva propuesta, si se ha facilitado);

ii) la identidad de la persona que ha presentado la propuesta de sustitución (si lo pide esa persona);

iii) la identidad de la sustancia a la que se refiere la sustitución propuesta y las razones para presentar la propuesta de sustitución;

iv) el plazo fijado para recibir observaciones, así como el nombre y la dirección de la persona a quien deban dirigirse; y

v) los poderes conferidos para el caso a la OMS y una referencia al presente procedimiento.

Toda persona puede formular a la OMS observaciones sobre la sustitución propuesta dentro de los cuatro meses siguientes a la fecha en que se realizó la solicitud de observaciones.

b) Una vez agotado el mencionado plazo para la formulación de observaciones, la Secretaría enviará todos los comentarios recibidos al Grupo de Expertos en DCI, al solicitante inicial o a su sucesor, y a la persona que haya presentado la propuesta de sustitución. Si después de examinar la propuesta de sustitución y las observaciones recibidas, el Grupo de Expertos en DCI, la persona que haya presentado la propuesta de sustitución y el solicitante inicial, o su sucesor, están de acuerdo en la necesidad de sustituir la denominación común internacional recomendada anteriormente, la Secretaría remitirá la propuesta de sustitución al Grupo de Expertos en DCI para que la tramite.

No obstante lo anterior, el solicitante inicial o su sucesor no tendrán derecho a impedir el acuerdo sobre una propuesta de sustitución en el caso de que hayan dejado de tener un interés demostrable en la denominación común internacional cuya sustitución se propone.

En caso de que la propuesta de sustitución sea presentada al Grupo de Expertos en DCI para que la tramite, este grupo seleccionará una nueva denominación común internacional de conformidad con los Principios generales a los que se refiere el artículo 2 y al procedimiento establecido en los artículos 3 a 8 inclusive. En ese caso, en las notificaciones que la Secretaría ha de enviar con arreglo a los artículos 3 y 7, respectivamente, incluida la notificación al solicitante

inicial o a su sucesor (en el caso de que no sea la misma persona que propuso la sustitución y siempre que el solicitante inicial o su sucesor sean conocidos o puedan ser encontrados mediante esfuerzos diligentes, como el contacto con las asociaciones industriales), se indicará que la nueva denominación sustituye a una denominación común internacional recomendada anteriormente y que los Estados Miembros podrán, si lo estiman oportuno, adoptar disposiciones transitorias aplicables a los productos existentes en cuya etiqueta se utilice, con arreglo a la legislación nacional, la denominación común internacional recomendada anteriormente que se haya sustituido.

En caso de que, después de haber estudiado la propuesta de sustitución y los comentarios recibidos de conformidad con el procedimiento descrito anteriormente, el Grupo de Expertos en DCI, el solicitante inicial o su sucesor y la persona que haya presentado la propuesta de sustitución no lleguen a un acuerdo sobre la existencia de razones poderosas para sustituir una denominación común internacional recomendada anteriormente, esta denominación se mantendrá (siempre en el entendimiento de que el solicitante inicial o su sucesor no tendrán derecho a impedir el acuerdo sobre una propuesta de sustitución en el caso de que hayan dejado de tener un interés demostrable en la denominación común internacional cuya sustitución se propone). En ese caso, la Secretaría comunicará a la persona que haya propuesto la sustitución, así como al solicitante inicial o a su sucesor (en el caso de que no sea la misma persona que propuso la sustitución y siempre que el solicitante inicial o su sucesor sean conocidos o puedan ser encontrados mediante esfuerzos diligentes, como el contacto con las asociaciones industriales), a los Estados Miembros, a las comisiones nacionales y regionales de las farmacopeas o a otros organismos designados por los Estados Miembros y a cualquier otra persona que tenga interés en la sustitución propuesta, que, pese a la presentación de una propuesta de sustitución, se ha decidido mantener la denominación común internacional recomendada anteriormente (con una descripción de la o las razones por las que se ha considerado que la propuesta de sustitución no estaba respaldada por razones suficientemente poderosas).

## ANEXO 2

### PRINCIPIOS GENERALES DE ORIENTACIÓN PARA FORMAR DENOMINACIONES COMUNES INTERNACIONALES PARA SUSTANCIAS FARMACÉUTICAS<sup>1</sup>

1. Las denominaciones comunes internacionales (DCI) deberán diferenciarse tanto fonética como ortográficamente. No deberán ser incómodamente largas, ni dar lugar a confusión con denominaciones de uso común.

2. La DCI de una sustancia que pertenezca a un grupo de sustancias farmacológicamente emparentadas deberá mostrar apropiadamente este parentesco. Deberán evitarse las denominaciones que puedan tener connotaciones anatómicas, fisiológicas, patológicas o terapéuticas para el paciente.

*Estos principios primarios se pondrán en práctica utilizando los siguientes principios secundarios:*

3. Al idear la DCI de la primera sustancia de un nuevo grupo farmacológico, deberá tenerse en cuenta la posibilidad de poder formar DCI convenientes para las sustancias emparentadas que se agreguen al nuevo grupo.

4. Al idear DCI para ácidos, se preferirán las de una sola palabra; sus sales deberán denominarse sin modificar el nombre del ácido: p. ej. «oxacilina» y «oxacilina sódica», «ibufenaco» y «ibufenaco sódico».

---

<sup>1</sup> En su 20º informe (OMS, Serie de Informes Técnicos, Nº 581, 1975), el Comité de Expertos de la OMS en Denominaciones Comunes para las Sustancias Farmacéuticas revisó los Principios generales para formar denominaciones comunes internacionales (DCI), y su procedimiento de selección, a la luz de las novedades registradas en los últimos años en materia de compuestos farmacéuticos. El cambio más importante había consistido en hacer extensivo a la denominación de sustancias químicas sintéticas el método utilizado hasta entonces para las sustancias originadas en productos naturales o derivadas de éstos. Dicho método conlleva la utilización de una «partícula» característica que indica una propiedad común a los miembros de un grupo. En el citado informe se examinan en detalle las razones y consecuencias de este cambio.

Los Principios generales de orientación se actualizaron durante la 13ª consulta sobre denominaciones comunes para sustancias farmacéuticas (Ginebra, 27 a 29 de abril de 1983) (PHARM S/NOM 928, 13 de mayo de 1983, revisado el 18 de agosto de 1983).



5. Las DCI para las sustancias que se usan en forma de sal deberán en general aplicarse a la base activa o al ácido activo. Las denominaciones para diferentes sales o ésteres de la misma sustancia activa solamente deberán diferir en el nombre del ácido o de la base inactivos. En los compuestos de amonio cuaternario, el catión y el anión deberán denominarse adecuadamente por separado, como componentes independientes de una sustancia cuaternaria y no como sales de una amina.

6. Deberá evitarse el empleo de letras o números aislados; también es indeseable el empleo de guiones.

7. Para facilitar la traducción y la pronunciación, se emplearán de preferencia las letras «f» en lugar de «ph», «t» en lugar de «th», «e» en lugar de «ae» u «oe», e «i» en lugar de «y»; se deberá evitar el empleo de las letras «h» y «k».

8. Siempre que las denominaciones propuestas estén de acuerdo con estos principios, recibirán una consideración preferente las denominaciones propuestas por la persona que haya descubierto las sustancias, o que fabrique y comercialice por primera vez una sustancia farmacéutica, así como las denominaciones ya adoptadas oficialmente en cualquier país.

9. El parentesco entre sustancias del mismo grupo se pondrá de manifiesto en las DCI (véase el Principio 2) utilizando una partícula común. En la lista que figura a continuación se indican ejemplos de partículas para grupos de sustancias, en particular para grupos nuevos. Existen muchas otras partículas que se usan habitualmente.<sup>1</sup> Cuando una partícula aparece sin guión alguno, puede utilizarse en cualquier lugar de la palabra.

Latin	Español	
-acum	-aco	antiinflamatorios derivados del ibufenaco
-adolum	-adol )	analgésicos
-adol-	-adol- )	
-astum	-ast	antiasmáticos, sustancias antialérgicas cuya acción principal no es la antihistamínica
-astinum	-astina	antihistamínicos
-azepamum	-azepam	derivados del diazepam
bol	bol	esteroides anabolizantes
-cain-	-caína-	antiarrítmicos de clase I, derivados de procainamida y lidocaína
-cainum	-caína-	anestésicos locales
cef-	cef-	antibióticos, derivados del ácido cefalosporánico
-cillinum	-cilina	antibióticos derivados del ácido 6-aminopenicilánico
-conazolium	-conazol	antifúngicos sistémicos derivados del miconazol
cort	cort	corticosteroides, excepto derivados de prednisolona
-coxibum	-coxib	inhibidores selectivos de ciclooxigenasa
-entanum	-entán	antagonistas del receptor de endotelina
gab	gab	gabamiméticos
gado-	gado-	agentes para diagnóstico derivados de gadolinio
-gartranum	-gatrán	inhibidores de la trombina antitrombóticos
gest	gest	esteroides progestágenos
gli	gli	hipoglucemiantes, antihiperglucémicos
io-	io-	medios de contraste iodados
-metacinum	-metacina	antiinflamatorios derivados de indometacina
-mycinum	-micina	antibióticos producidos por cepas de <i>Streptomyces</i>
-nidazolium	-nidazol	antiprotozoarios derivados de metronidazol
-ololum	-olol	antagonistas de receptores $\beta$ -adrenérgicos

<sup>1</sup> En el documento de trabajo WHO/EMP/RHT/TSN/2018.1, que se actualiza periódicamente y puede solicitarse al Programa sobre Denominaciones Comunes Internacionales, OMS, Ginebra, figura una lista más amplia de partículas.

-oxacinum	-oxacino	antibacterianos derivados del ácido nalidíxico
-platinum	-platino	antineoplásicos derivados del platino
-poetinum	-poetina	factores sanguíneos similares a la eritropoyetina
-pril(at)um	-pril(at)	inhibidores de la enzima convertora de laangiotensina
-profenum	-profeno	antiinflamatorios derivados del ibuprofeno
prost	prost	prostaglandinas
-relinum	-relina	péptidos estimulantes de la liberación de hormonas hipofisarias
-sartanum	-sartán	antihipertensivos (no peptídicos) antagonistas del receptor de angiotensina II
-vaptanum	-vaptán	antagonistas del receptor de vasopresina
vin-	vin- )	alcaloides de la vinca
-vin-	-vin- )	